

19



OFICINA ESPAÑOLA DE
PATENTES Y MARCAS

ESPAÑA



11 Número de publicación: **2 540 538**

51 Int. Cl.:

C07K 16/28 (2006.01)

12

TRADUCCIÓN DE PATENTE EUROPEA

T3

96 Fecha de presentación y número de la solicitud europea: **23.12.2009 E 09795799 (7)**

97 Fecha y número de publicación de la concesión europea: **22.04.2015 EP 2367850**

54 Título: **Anticuerpos anti-TSHR humanos**

30 Prioridad:

24.12.2008 GB 0823562
22.05.2009 GB 0908945

45 Fecha de publicación y mención en BOPI de la traducción de la patente:
10.07.2015

73 Titular/es:

RSR LIMITED (100.0%)
Avenue Park Pentwyn
Cardiff CF23 8HE, GB

72 Inventor/es:

REES SMITH, BERNARD;
SANDERS, JANE y
FURMANIAK, JADWIGA

74 Agente/Representante:

VALLEJO LÓPEZ, Juan Pedro

Observaciones :

Véase nota informativa (Remarks) en el folleto original publicado por la Oficina Europea de Patentes

ES 2 540 538 T3

Aviso: En el plazo de nueve meses a contar desde la fecha de publicación en el Boletín europeo de patentes, de la mención de concesión de la patente europea, cualquier persona podrá oponerse ante la Oficina Europea de Patentes a la patente concedida. La oposición deberá formularse por escrito y estar motivada; sólo se considerará como formulada una vez que se haya realizado el pago de la tasa de oposición (art. 99.1 del Convenio sobre concesión de Patentes Europeas).

DESCRIPCIÓN

Anticuerpos anti-TSHR humanos

5 **Campo de la invención**

La presente invención se refiere a anticuerpos monoclonales humanos (MAb) reactivos con el receptor de la hormona estimulante de la tiroides (TSH) (TSHR). Uno de los MAb humanos (K1-18) tiene la capacidad de unirse con el TSHR y de estimular la actividad de AMP cíclico de TSHR. El otro MAb humano (K1-70) tiene la capacidad de unirse con el TSHR y de bloquear la acumulación de AMP cíclico mediada por anticuerpos estimulantes de TSH y TSHR. Ambos MAb humanos se aislaron de los linfocitos periféricos de un paciente que presentaba síntomas clínicos de hipotiroidismo.

15 **Antecedentes**

La función tiroidea está regulada por TSH secretada por la hipófisis (Szkudlinski MW, *et al* 2002. *Physiological Reviews* 82: 473-502). La TSH se une con TSHR en la superficie de tirocitos y esto es la primera etapa en el inicio de la cascada de señalización de TSHR. La unión de TSH con el TSHR da lugar a la estimulación de la formación o liberación de hormonas tiroideas; tiroxina (T4) y tri-yodotironina (T3). Un mecanismo de retroalimentación que implica los niveles de T4 y T3 en la circulación y hormona liberadora de tirotrópina (TRH) secretada por el hipotálamo controla la liberación de TSH que a su vez controla la estimulación de la tiroides y los niveles de hormonas tiroideas en suero (Szkudlinski MW, *et al*, 2002, mencionado anteriormente). El TSHR es un receptor acoplado a proteína G y está compuesto de tres dominios: un dominio de repetición rico en leucina (LRD), un dominio de escisión (CD) y un dominio transmembrana (TMD) (Núñez Miguel R, *et al* 2004. *Thyroid* 14: 991-1011).

Está bien documentado en la técnica que algunos pacientes con enfermedad tiroidea autoinmunitaria (AITD) desarrollan autoanticuerpos que son reactivos con el TSHR (Rees Smith B, *et al* 1988. *Endocrine Reviews* 9: 106-121). Hay dos tipos principales de autoanticuerpos de TSHR (TRAb); un tipo estimulante y un tipo de bloqueo. Los autoanticuerpos de tipo estimulante de la tiroides se unen con el TSHR e imitan las acciones de la TSH estimulando de este modo la tiroides para que produzca altos niveles de T4 y T3; estos autoanticuerpos también se describen como TRAb con actividad estimulante o actividad agonista de TSH (Rees Smith B, *et al* 2007. *Thyroid* 17: 923-938). El mecanismo de control de retroalimentación de la función tiroidea ya no es eficaz en presencia de autoanticuerpos estimulantes de la tiroides y pacientes que presentan los síntomas clínicos de una tiroides hiperactiva caracterizado por un exceso de hormonas tiroideas en suero y sus consecuencias metabólicas. Esta afección se conoce como enfermedad de Graves. Los TRAb con actividad estimulante también pueden interaccionar con los TSHR en tejido orbital y contribuir al desarrollo de las señales oculares de enfermedad de Graves. Se ha descrito en detalle en el documento WO 2004/050708A2 un autoanticuerpo monoclonal humano que actúa como un estimulador potente de la tiroides (hMAb TSHR1; también denominado M22). La estructura del complejo de M22 Fab unido con el TSHR LRD se ha resuelto por cristalografía de rayos X a una resolución de 2,55 Å como se describe en el documento WO 2008/025991A1. El análisis de la estructura del complejo de TSHR - M22 proporciona información detallada acerca de los restos del receptor y los restos del autoanticuerpo estimulante implicados en las interacciones entre sí.

Se ha usado M22 en ELISA para medición del anticuerpo de TSHR (Zöphel, K *et al*, *Clinica Chimica Acta* 2009 y Zöphel, K *et al*, *Clinica Chimica Acta* 2008).

Los TRAb de tipo de bloqueo aparecen menos frecuentemente en pacientes con AITD que los autoanticuerpos estimulantes. Los autoanticuerpos de tipo de bloqueo se unen con el TSHR, evitan que TSH se una con el receptor pero no tienen capacidad para estimular la actividad de TSHR. En consecuencia la formación y secreción de hormonas tiroideas (T4 y T3) se reduce en gran medida y los pacientes con este tipo de TRAb pueden presentar síntomas clínicos de un tiroides infraactivo (hipotiroidismo). Los autoanticuerpos de tipo bloqueo se conocen como TRAb con actividad de bloqueo o actividad antagonista de TSH (Rees Smith B, *et al* 1988 mencionado anteriormente y Rees Smith B, 2007 *et al* mencionado anteriormente). Los TRAb con actividad de bloqueo cuando están presentes en suero de mujeres embarazadas cruzan la placenta y pueden bloquear los TSHR en la tiroides fetal conduciendo a hipotiroidismo neonatal y graves consecuencias para el desarrollo. Además, los TRAb con actividad de bloqueo pueden encontrarse en leche materna de madres afectadas y pueden provocar hipotiroidismo clínico en el bebé (Evans C, *et al* 2004 *European Journal of Endocrinology* 150: 265-268). Un autoanticuerpo humano para el TSHR con actividad antagonista de TSHR (5C9) se ha descrito en detalle en el documento WO 2008/099185A1. Los síntomas clínicos en pacientes con AITD y TRAb en circulación están relacionados con el efecto de autoanticuerpos en la actividad de TSHR, es decir si los TRAb provocan estimulación o bloqueo. Se ha propuesto, sin embargo, que en algunos pacientes puede estar presente simultáneamente una mezcla de TRAb de estimulación y bloqueo con la presentación clínica general relacionada con mayor concentración y/o actividad de un tipo de los TRAbs (Rees Smith B *et al* 1988 mencionado anteriormente; Furmaniak J *et al* 1993 *Springer Seminars in Immunopathology* 14: 309-321 y Schott M *et al* 2005 *Trends in Endocrinology and Metabolism* 16: 243-248). Además, las concentraciones y/o actividades de TRAb estimulantes o de bloqueo pueden variar en el mismo paciente durante la evolución de la enfermedad y de hecho se ha presentado fluctuación de síntomas de hipo a hipertiroidismo en el mismo paciente a lo largo del tiempo (Rees Smith B *et al* 1988 mencionado anteriormente; Furmaniak J y Rees Smith B 1993

mencionado anteriormente y Schott M *et al* 2005 mencionado anteriormente). Sin embargo, los intentos de separar los TRAb con diferente bioactividad o de diferenciar entre estos TRAb en muestras de suero usando bioensayos disponibles en la actualidad son difíciles. Más recientemente, la invención descrita en el documento WO2006/016121A1 proporciona un medio para diferenciar entre tipos de TRAb estimulantes y de bloqueo usando bioensayos que emplean TSHR mutado en R255.

La TSH recombinante humana (Thyrogen®) es una preparación de TSH humana producida según las regulaciones de GMPc como una proteína recombinante y aprobada por la FDA de Estados Unidos como una ayuda para el diagnóstico de cáncer tiroideo residual o recurrente (Duntas LH, Cooper DS 2008 Thyroid 18: 509-516). El control de los pacientes con cáncer tiroideo después del tratamiento incluye la estimulación de restos de tiroides o metástasis con TSH humana recombinante seguido de una exploración de tiroides y/o medida de los niveles de tiroglobulina en suero (Duntas LH y Cooper DS 2008 mencionado anteriormente). La gonadotropina coriónica humana es una hormona producida durante el embarazo que tiene efectos leves estimulantes de la tiroides (Grossmann M *et al* 1997 Endocrine Reviews 18: 476-501). La caracterización de los tipos de TRAb estimulantes o de bloqueo y cómo interaccionan con el TSHR tiene importancia clínica para el desarrollo de métodos mejorados para diagnosticar y controlar diferentes formas de AITD. Además estos estudios son críticos para desarrollar nuevas estrategias para el control de enfermedades asociadas con una respuesta autoinmunitaria al TSHR. La disponibilidad de estimuladores de la tiroides potentes distintos de TSH humana recombinante proporcionan nuevas alternativas para controlar y tratar a pacientes con cáncer de tiroides.

Los anticuerpos aislados de linfocitos de sangre periférica de pacientes con enfermedad de Graves bloquean la unión de TSH a TSHR, según comunicó Valente *et al* (1982, Proceedings of the National Academy of Sciences of USA 79: es 6680-6684 presenta los específicos del TSHR) mientras que los anticuerpos antagonistas y agonistas humanos se han comunicado por Kohn *et al* (1997, Journal of Clinical Endocrinology and Metabolism 82: 3998-4009).

Solicitudes de Patente previas relacionadas

La invención descrita en el documento WO2004/050708A2 proporciona detalles de las propiedades de un autoanticuerpo monoclonal humano (MAb) con actividad estimulante potente y su interacción con el TSHR. Las interacciones entre este otro autoanticuerpo (M22) y el TSHR LRD se han resuelto a nivel molecular a partir de un análisis de difracción de rayos X (resolución de 2,55 Å) de un complejo entre las dos moléculas como se describe en el documento WO2008/025991A1. El documento WO2006/016121A1 desvela una preparación del TSHR mutado que incluye al menos una mutación puntual que puede usarse en la exploración diferencial e identificación de autoanticuerpos de TSHR estimulantes en suero del paciente, autoanticuerpos de TSHR de bloqueo en suero del paciente y TSH en una muestra de fluido corporal del Sumario de la Invención de un paciente que se está explorando. También se describe en el documento WO2004/050708A2 la generación y caracterización de un MAb de ratón (9D33) con actividad de bloqueos de TSHR. 9D33 se une con el TSHR con alta afinidad (2×10^{10} l/mol) y es un antagonista eficaz de TSH, hMAb TSHR1 (M22) y TRAb en suero de paciente con actividades estimulantes o de bloqueo. El documento WO2008/099185A1 desvela el aislamiento y caracterización de MAb humano (5C9) para el TSHR que es un antagonista eficaz del TSH y el TRAb estimulante en sueros de pacientes. Se ha descubierto que 5C9 inesperadamente inhibía la actividad constitutiva de TSHR (también denominada la actividad basal de TSHR), es decir la producción de AMP cíclico en un sistema de ensayo en ausencia de TSH o M22. Además, se ha descubierto que 5C9 inhibe la actividad de AMP cíclico de TSHR asociada con mutaciones de activación de TSHR. El documento WO2008/091981A2 describe un MAb de ratón que tiene la capacidad de suprimir la actividad constitutiva de TSHR y los métodos para usar el MAb para tratar enfermedades tiroideas incluyendo hipertiroidismo cáncer de tiroides. Las propiedades del MAb descrito en el documento WO2008/091981A2 también se desvelan en Chen CR *et al* 2007 Endocrinology 148: 2375-2382.

Presente invención

Se han aislado anticuerpos K1-18 y K1-70 de linfocitos de sangre periférica de una paciente de 54 años de edad con hipotiroidismo y altos niveles de autoanticuerpos de TSHR. La paciente tenía un historial de 8 años de AITD y presentó en primer lugar hipertiroidismo y respondió al tratamiento con metimazol que continuó durante 3 años. Sin embargo, aproximadamente 10 meses después de alcanzar el estado eutiroideo (es decir que tiene función normal) la paciente desarrolló hipotiroidismo y se trató con tirosina. La paciente tuvo hipotiroidismo durante aproximadamente 4,5 años en el momento de la recogida de sangre. En el momento del aislamiento de linfocitos los niveles de TRAb en suero eran de 160 unidades/l medidos por el ensayo de inhibición de la unión a TSH. El suero también mostró la capacidad de bloquear la estimulación por TSH del TSHR (ensayo basado en AMP cíclico). Los autoanticuerpos en suero para peroxidasa tiroidea fueron positivos a >500 unidades/ml (las Unidades son de la preparación de referencia 66/367 del Instituto Nacional para Patrones y Control (NIBSC) Potters Bar, Reino Unido).

Los linfocitos del paciente se inmortalizaron por infección con virus de Epstein Barr (EBV) y los sobrenadantes de cultivos de las células infectadas se exploraron con respecto a su capacidad para inhibir la unión de 125 I-TSH con tubos recubiertos con TSHR. Se fusionaron células de cultivos celulares positivos con una línea celular de ratón/humana y se exploraron como anteriormente. Se obtuvieron 2 clones estables que secretaban autoanticuerpos

de TSHR. Se purificaron IgG de sobrenadantes en los cultivos de clones y se evaluó la capacidad de los 2 MAb (K1-18 y K1-70) IgG para unirse con el TSHR e influir en la actividad de TSHR. En particular, se estudió la capacidad de K1-18 y K1-70 para inhibir la unión de TSH con el TSHR. La capacidad de K1-18 para estimular el TSHR también se estudió y se comparó con la actividad de diversos otros estimulantes de la tiroides. La capacidad de K1-70 para inhibir la capacidad de TSH para estimular el TSHR se estudió y se comparó con las actividades de otros antagonistas de TSH. Además, se evaluó la capacidad de TRAb de suero de paciente estimulantes o de bloqueo para inhibir la unión de TSHR y la actividad biológica de K1-18 y K1-70. Además, se investigó el uso de K1-18 y K1-70 en ensayos para anticuerpos de TSHR, TSH y compuestos relacionados. Los genes de región variable (región V) de las cadenas pesadas (HC) y ligeras (LC) de K1-18 y K1-70 se secuenciaron y se asignaron las regiones determinantes de complementariedad (CDR). Además, se cristalizaron preparaciones purificadas de K1-70 Fab y se analizaron usando métodos de difracción de rayos X. Estos análisis proporcionaron detalles a nivel molecular acerca de la estructura general de K1-70 Fab y la topografía del sitio de unión a antígeno de K1-70.

De acuerdo con un aspecto de la invención se proporciona una molécula de anticuerpo humana aislada que se une con un TSHR y que reduce la estimulación inducida por ligando de dicho TSHR pero no tiene ningún efecto en la actividad constitutiva de dicho TSHR en el que la molécula de anticuerpo humano aislada tiene la característica de autoanticuerpos de TSHR de suero de paciente, que inhiben la unión de TSH y M22 con el TSHR, y en el que la molécula de anticuerpo humano aislada comprende las SEC ID N°: 70 (CDR I), SEC ID N°: 71 (CDR II) y SEC ID N°: 72 (CDR III) y SEC ID N°: 42 o 52 (CDR I), SEC ID N°: 43 o 53 (CDR II) y SEC ID N°: 44 o 54 (CDR III).

Preferentemente la molécula de anticuerpo humano aislada o fragmento de la misma tiene al menos una característica adicional de autoanticuerpos de receptor de TSH de suero de paciente seleccionados de los que tenían una afinidad de unión por el TSHR de al menos 10^8 l/mol, preferentemente al menos 10^9 l/mol y la capacidad para provocar bloqueo detectable de la estimulación de TSHR inducida por ligando a una concentración de anticuerpo de menos de 1 µg/ml, preferentemente menos de 0,1 µg/ml. El anticuerpo humano aislado puede ser un antagonista de TSH y/o autoanticuerpos estimulantes de la tiroides y/o de gonadotropina coriónica humana.

La molécula de anticuerpo aislada puede comprender un dominio VH de anticuerpo seleccionado de la secuencia de aminoácidos de la Figura 5b y 5d (SEC ID N°: 41 y 51, respectivamente). La molécula de anticuerpo aislada puede comprender un dominio VH de anticuerpo que consiste preferentemente en la secuencia de aminoácidos de la Figura 5b y 5d (SEC ID N°: 41 y 51, respectivamente). La molécula de anticuerpo aislada puede comprender un dominio VL de anticuerpo seleccionado preferentemente de una secuencia de aminoácidos de la Figura 6d (SEC ID N°: 69). La molécula de anticuerpo aislada puede comprender un dominio VL de anticuerpo que consiste preferentemente en una secuencia de aminoácidos de la Figura 6d (SEC ID N°: 69).

En la mayoría de las aplicaciones un dominio VH en una molécula de anticuerpo de acuerdo con la invención se dispondrá con un dominio VL para proporcionar un sitio de unión a TSHR. En algunas aplicaciones puede proporcionarse un dominio VH solamente para unirse con un TSHR.

Se conocen bien en la técnica métodos para injertar dominios de anticuerpo de modo que pueda construirse alguna molécula de anticuerpo de acuerdo con la invención usando dominios VH y VL o partes de los mismos de diferentes fuentes.

La expresión "molécula de anticuerpo" y términos afines, tales como "moléculas de anticuerpo", usados en el presente documento en relación con moléculas de anticuerpo de la invención abarca, de acuerdo con el contexto, restos de unión basados en inmunoglobulina tales como anticuerpos monoclonales, recombinantes, sintéticos y policlonales, anticuerpos monocatenarios, anticuerpos multiespecíficos y también restos de unión, que pueden sustituirse por el destinatario experto en la materia para dichos restos de unión basados en inmunoglobulina, tales como anticuerpos de dominio, diacuerpos, así como restos IgG[Delta]CH2, F(ab')₂, Fab, scFv, VL, VH, dsFv, Minicuerpos, Triacuerpos, Tetracuerpos, (scFv)₂, scFv-Fc, F(ab')₃ (Holliger P, *et al* 1993 Proc Natl Acad Sci USA 90: 6444-6448.), (Carter PJ 2006 Nat Rev Immunol 6: 343-357). La expresión también abarca fragmentos de dichas entidades, preferentemente fragmentos que se unen con TSHR, y más preferentemente tienen los efectos de K1-18 o K1-70.

Las expresiones "receptor de hormona estimulante de la tiroides" y "TSHR" se refieren a un TSHR humano de longitud completa que tienen la secuencia de aminoácidos mostrada en la Figura 7a (SEC ID N°: 74) o variantes o fragmentos de la misma que tienen alta homología con dicho TSHR. Preferentemente, dichas variantes y fragmentos tienen del 70 al 99,9 % de homología con la secuencia de aminoácidos mostrada en la Figura 7a (SEC ID N°: 74). En realizaciones preferidas dichas variantes o fragmentos son al menos el 70 % idénticos, más preferentemente al menos 80 % idénticos, altamente preferentemente al menos 90 % idénticos, particularmente preferentemente al menos 95 % idénticos y especialmente preferentemente 99,9 % idénticos a esa secuencia.

El anticuerpo aislado de la invención puede estar preferentemente en forma de un anticuerpo monoclonal, un anticuerpo recombinante o un anticuerpo sintético. Pueden incorporarse las CDR I, II o III de los dominios VH o VL de K1-70 en un armazón adecuado. Pueden producirse variantes de los dominios VH y VL de K1-70 y sus CDR por modificaciones usando métodos bien conocidos por los expertos en la materia. Dichas variantes pueden comprender

una o más variaciones de secuencias de aminoácidos, incluyendo las mutaciones de adición, delección, sustitución o inserción. El armazón de K1-70 también puede modificarse en moléculas de anticuerpo de acuerdo con la invención.

5 De acuerdo con otro aspecto de la invención se proporciona un nucleótido aislado que codifica una molécula de anticuerpo aislada o fragmento de la misma de acuerdo con la invención.

El nucleótido aislado puede comprender una secuencia de nucleótidos de 5a (SEC ID N° 37), 5c (SEC ID N° 46) o 6c (SEC ID N° 64).

10 Puede proporcionarse una pluralidad de dichos nucleótidos, por ejemplo en una biblioteca de presentación en bacteriófagos. Dichas bibliotecas de presentación en bacteriófagos pueden usarse para expresar diversas moléculas de anticuerpo o fragmentos de las mismas tales como dominios aislados.

15 La invención también proporciona un vector que incluye un nucleótido aislado de acuerdo con la invención, o una célula hospedadora incluyendo dicho vector o un nucleótido de acuerdo con la invención. El vector puede ser un plásmido, virus o fragmento del mismo. Los destinatarios expertos en la materia conocen muchos tipos diferentes de vectores. La célula aislada puede expresar un anticuerpo de acuerdo con la invención. Preferentemente, la célula aislada secreta un anticuerpo de acuerdo con la invención. Preferentemente, una célula aislada de acuerdo con la invención es de una línea celular de hetero-híbrido estable.

20 De acuerdo con otro aspecto de la invención se proporciona una composición farmacéutica que comprende una molécula de anticuerpo aislada de acuerdo con la invención y, opcionalmente, un vehículo.

25 Una composición farmacéutica de acuerdo con la invención puede ser adecuada para administración a seres humanos. Preferentemente, una composición farmacéutica de acuerdo con la invención no tiene ningún efecto adverso significativo en el sistema inmunitario del sujeto.

Se contemplan diversos formatos para composiciones farmacéuticas de acuerdo con la invención. Una composición farmacéutica de acuerdo con la invención para uso en el tratamiento de una afección relacionada con la tiroides puede estar en un formato inyectable. Una composición farmacéutica de acuerdo con la invención para uso en el tratamiento de enfermedad oftálmica de Graves está preferentemente en forma de colirio. Las composiciones farmacéuticas de la presente invención comprenden un anticuerpo aislado de acuerdo con la invención, con un vehículo, adyuvante o transportador farmacéuticamente aceptable. Los vehículos, adyuvantes y transportadores farmacéuticamente aceptables que pueden usarse en las composiciones farmacéuticas de la presente invención incluyen, pero sin limitación, intercambiadores de iones, alúmina, estearato de aluminio, lecitina, proteínas de suero, tales como albúmina de suero humano, sustancias de tampón tales como fosfatos, glicina, ácido sórbico, sorbato potásico, mezclas de glicéridos parciales de ácidos grasos vegetales saturados, agua, sales o electrolitos, tales como sulfato de protamina, hidrogenofosfato disódico, hidrogenofosfato potásico, cloruro sódico, sales de cinc, sílice coloidal, trisilicato magnésico, polivinilpirrolidona, sustancias basadas en celulosa, polietilenglicol, carboximetilcelulosa sódica, poliacrilatos, ceras, polímeros de bloque de polietileno-polioxipropileno, polietilenglicol y lanolina. Las composiciones farmacéuticas de la invención pueden administrarse por vía oral, por vía parenteral, por pulverización, por inhalación, por vía tópica, por colirios, por vía rectal, por vía nasal, por vía bucal, por vía vaginal o mediante un depósito implantado. Los inventores prefieren la administración oral o administración por inyección. El término "parenteral" como se usa en el presente documento incluye técnicas de infusión o inyección subcutánea, intracutánea, intravenosa, intramuscular, intra-articular, intrasinovial, intraesternal, intratecal, intralesional e intracraneal. Las composiciones farmacéuticas pueden estar en forma de una preparación inyectable estéril, por ejemplo, como una suspensión acuosa u oleaginosas inyectables estériles. Esta suspensión puede formularse de acuerdo con técnicas conocidas en este campo usando agentes de dispersión o humectantes adecuados (tales como, por ejemplo, Tween 80) y agentes de suspensión. La preparación inyectable estéril también puede ser una solución o suspensión inyectable estéril en un diluyente o disolvente no tóxico parenteralmente aceptable, por ejemplo, como una solución en 1,3-butanodiol. Entre los vehículos y disolventes aceptables que pueden emplearse están manitol, agua, solución de Ringer y solución de cloruro sódico isotónica. Además, se emplean convencionalmente aceites estériles, fijos, como un disolvente o medio de suspensión. Para este fin, puede emplearse cualquier aceite no volátil insípido incluyendo mono o diglicéridos sintéticos. Son útiles ácidos grasos tales como ácido oleico y sus derivados de glicéridos en la preparación de inyectables, así como aceites farmacéuticamente aceptables naturales, tales como aceite de oliva o aceite de ricino, especialmente en sus versiones polioxiethyladas. Estas soluciones o suspensiones en aceite también pueden contener un diluyente de alcohol de cadena larga o dispersante tal como Ph. Helv o un alcohol similar. Las composiciones farmacéuticas de la presente invención se pueden administrar por vía oral en cualquier forma de dosificación oralmente aceptable incluyendo, pero sin limitación, cápsulas, comprimidos, y suspensiones y soluciones acuosas. En el caso de comprimidos para uso oral, los vehículos que se usan habitualmente incluyen lactosa y almidón de maíz. También se añaden normalmente agentes lubricantes tales como estearato de magnesio. Para administración oral en una fórmula de cápsula, los diluyentes útiles incluyen lactosa y almidón de maíz seco. Cuando se administran suspensiones acuosas por vía oral, el principio activo se combina con agentes emulsionantes y de suspensión. Si se desea, pueden añadirse ciertos agentes edulcorantes y/o saporíferos y/o colorantes. Las composiciones farmacéuticas de la presente invención también pueden proporcionarse en forma de supositorios para

administración rectal. Estas composiciones pueden prepararse mezclando un compuesto de la presente invención con un excipiente no irritante adecuado que es sólido a temperatura ambiente pero líquido a la temperatura rectal y por lo tanto se fundirá en el recto para liberar los componentes activos. Dichos materiales incluyen pero sin limitación, manteca de cacao, cera de abeja y polietilenglicoles. La administración tópica de las composiciones farmacéuticas de la presente invención es especialmente útil cuando el tratamiento deseado implica áreas u órganos fácilmente accesibles por aplicación tópica. Para aplicación por vía tópica a la piel, la composición farmacéutica debería formularse en una pomada adecuada que contenga los componentes activos suspendidos o disueltos en un vehículo. Los vehículos para administración tópica de los compuestos de la presente invención incluyen, pero sin limitación, aceite mineral, vaselina líquida, vaselina blanca, propilenglicol, compuesto de polioxetileno-polioxipropileno, cera emulsionante y agua. Como alternativa, la composición farmacéutica puede formularse con una loción o crema adecuada que contiene el compuesto activo disuelto o suspendido en un vehículo. Los vehículos adecuados, incluyen pero sin limitación, aceite mineral, monoestearato de sorbitán, polisorbato 60, cera de cetil ésteres, alcohol ceterarílico, 2-octildodecanol, alcohol bencílico y agua. Las composiciones farmacéuticas de la presente invención también pueden aplicarse por vía tópica al tracto intestinal inferior por formulación de supositorio rectal o en una formulación de enema adecuada. También se incluyen en la presente invención parches transdérmicos por vía tópica. Las composiciones farmacéuticas de la presente invención pueden administrarse por aerosol nasal o inhalación. Dichas composición se preparan de acuerdo con técnicas bien conocidas en este campo de la formulación farmacéutica y pueden prepararse como soluciones en solución salina, empleando alcohol bencílico u otros conservantes adecuados, promotores de absorción para potenciar la biodisponibilidad, fluorocarburos y/u otros agentes solubilizantes o dispersantes conocidos en la técnica.

Los anticuerpos de acuerdo con el primer aspecto mencionado de la invención tienen aplicaciones potenciales para tratamiento y control de afecciones asociadas con la activación del TSHR por ejemplo: enfermedad de Graves, oftalmopatía de Graves o hipertiroidismo debido a niveles anómalos de TSH o hCG.

De acuerdo con otro aspecto de la invención se proporciona el uso de una molécula de anticuerpo aislada o una composición farmacéutica de acuerdo con la invención en terapia. La invención también proporciona una molécula de anticuerpo aislada o una composición farmacéutica de acuerdo con la invención para su uso en terapia.

De acuerdo con otro aspecto de la invención se proporciona un método *in vitro* para caracterizar la actividad de los anticuerpos de TSHR, TSH o gonadotropina coriónica humana, comprendiendo el método una etapa que incluye el uso de una molécula de anticuerpo aislada de acuerdo con la invención.

De acuerdo con otro aspecto de la invención se proporciona un método de diagnóstico *in vitro* para detectar autoanticuerpos de analitos para el TSHR que comprende poner en contacto una muestra, que se ha aislado de un sujeto que se cree que contiene dichos analitos de autoanticuerpos y una molécula de anticuerpo de la invención con un TSHR o un fragmento del mismo. El TSHR o fragmento del mismo puede mutarse en arginina 255 de modo que interaccione preferentemente con analitos de anticuerpos de TSHR de tipo bloqueo en comparación con analitos de anticuerpos de TSHR de tipo estimulante. La unión del analito con TSHR260 o TSHR260 mutado en arginina 255 puede detectarse por la inhibición de la unión de un anticuerpo de TSHR marcado directa o indirectamente o fragmento del mismo con dicho TSHR260 o TSHR260 mutado en la arginina 255.

Un marcador detectable adecuado que puede emplearse en un método de acuerdo con la presente invención puede seleccionarse del grupo que consiste en marcadores enzimáticos, marcadores isotópicos, marcadores quimioluminiscentes, colorantes fluorescentes y similares.

En caso de que se emplee un marcador isotópico (tal como ^{125}I , ^{14}C , ^3H o ^{35}S), el control puede comprender por lo tanto medir la radioactividad que depende de la unión de una molécula de anticuerpo de acuerdo con la presente invención. La radioactividad se mide en general usando un contador gamma, o contador de centelleo líquido.

La presente invención puede proporcionar medios nuevos y/o mejorados para:

- 1 Prevenir la unión de autoanticuerpos estimulantes del tiroides con el TSHR en el tiroides y proporcionar de este modo un nuevo tratamiento para enfermedad de Graves.
- 2 Prevenir la unión de los anticuerpos de TSHR con los TSHR extra-tiroideos (por ejemplo en tejido retro-orbital o tejido pre-tibial) y de este modo proporcionar oportunidades mejoradas para el tratamiento de oftalmopatía de Graves y mixoedema pre-tibial.
- 3 Determinar los aminoácidos de TSHR críticos para unir TRAb con actividades estimulantes.
- 4 Determinar los aminoácidos de TSHR críticos para unir TRAb con actividades de bloqueo.
5. Comparar los aminoácidos de TSHR críticos para la unión de TRAb con actividades estimulantes y de bloqueo.
6. Desarrollar nuevos ensayos para TRAb que diferencian entre anticuerpos de bloqueo y estimulantes.
- 7 Desarrollar nuevos ensayos para TRAb basados en fragmentos de TSHR termoestables.
- 8 Determinar los aminoácidos de TSHR críticos para activación de TSHR inducida por ligando.
- 9 Determinar los aminoácidos de TSHR críticos para inactivación de TSHR inducida por ligando.
- 10 Determinar los aminoácidos de un autoanticuerpo de bloqueo críticos para la unión con el TSHR.

11 Determinar los aminoácidos de un autoanticuerpo de bloqueo críticos para afectar a la activación de TSHR mediada por anticuerpo estimulante de TSH o tiroideo.

12 Controlar el hipertiroidismo de la enfermedad de Graves, hipertiroidismo neonatal y las señales oculares de enfermedad de Graves. Como alternativa, la afección relacionada con el tiroides puede ser hipotiroidismo relacionado con la presencia de TRAb con actividad de bloqueo en pacientes con AITD, o hipotiroidismo neonatal debido a la transferencia de TRAb de tipo bloqueo materno (a través de la placenta o leche materna).

13 Entender las diferencias moleculares entre autoanticuerpos de TSHR con actividad estimulante o de bloqueo del tiroides producidos por el sistema inmunitario del mismo paciente y por el sistema inmunitario de diferentes pacientes.

14 Entender los mecanismos inmunológicos implicados en el desarrollo y producción de autoanticuerpos de TSHR estimulantes y de bloqueo.

15 Entender los mecanismos incluyendo fuerzas impulsoras evolutivas que son la base de la mimésis molecular entre autoanticuerpos de TSH y TSHR.

15 Breve descripción de los dibujos

Se describirán ahora moléculas de anticuerpo y métodos de acuerdo con la invención, solamente como ejemplo, con referencia a los dibujos adjuntos, Figuras 1 a 9, en las que:

La Figura 1 muestra las características de asociación y disociación de la unión de K1-70 marcado con ¹²⁵I o K1-18 marcado con ¹²⁵I con el TSHR: (a) el ciclo temporal de unión de K1-70 IgG y Fab marcado con ¹²⁵I con TSHR de longitud completa; (b) el ciclo temporal de la unión de K1-70 IgG marcado con ¹²⁵I con TSHR260; (c) el ciclo temporal de K1-70 Fab marcado con ¹²⁵I con TSHR260; (d) la disociación de K1-70 IgG marcado con ¹²⁵I del TSHR (longitud completa) en presencia de diversos ligandos; (e) la disociación de K1-70 IgG marcado con ¹²⁵I de TSHR (longitud completa) en presencia de K1-18 Fab; (f) la disociación de K1-70 Fab marcado con ¹²⁵I del TSHR (longitud completa) en presencia de diversos ligandos; (g) la disociación de K1-70 IgG marcado con ¹²⁵I de TSHR260 en presencia de diversos ligandos; (h) la disociación de K1-70 IgG marcado con ¹²⁵I de TSHR260 en presencia de K1-18 Fab; (i) la disociación de K1-70 Fab marcado con ¹²⁵I de TSHR260 en presencia de diversos ligandos; (j) el ciclo temporal de la unión de K1-18 IgG marcado con ¹²⁵I con TSHR de longitud completa y TSHR260; (k) la disociación de K1-18 IgG marcado con ¹²⁵I de TSHR de longitud completa en presencia de diversos ligandos; y (l) la disociación de K1-18 IgG marcado con ¹²⁵I de TSHR260 en presencia de diversos ligandos;

La Figura 2 muestra los resultados de las mediciones de los autoanticuerpos de TSHR en sueros de pacientes: (a) comparación de las mediciones en un ensayo de tubo recubierto con TRAb (basado en la inhibición de la unión con TSH) y en un ELISA de TSHR260-AP; (b) comparación de las mediciones por ELISA basándose en la inhibición de la unión de M22 con TSHR de longitud completa y por la inhibición de la unión de Fab M22 con TSHR260 en el ELISA; (c) comparación de las mediciones en un ensayo de tubo recubierto de TRAb (basándose en la inhibición de la unión con TSH) y por inhibición de la unión de Fab M22 con placas recubiertas con TSHR260 en un ELISA; y (d) comparación de las mediciones es un ELISA de TRAb (basándose en la inhibición de la unión de M22) y en un ELISA de TSHR260-AP;

La Figura 3 proporciona las secuencias de región variable de cadena pesada de K1-18 (HC): (a) la secuencia oligonucleotídica de K1-18 HC (SEC ID N° 1) mostrada en formas anotadas y no anotadas. En las formas anotadas, las secuencias usadas para cebadores de PCR están subrayadas; para Regiones Determinantes de Complementariedad (CDR) están encuadradas; y las regiones constantes están en negrita; (b) la secuencia de aminoácidos de K1-18 HC (SEC ID N° 5) derivada de la secuencia oligonucleotídica mostrada en (Figura 3a) en formas anotadas y no anotadas; (c) la secuencia oligonucleotídica preferida de K1-18 HC (SEC ID N° 10) con la secuencia N terminal real (la secuencia líder) mostrada en formas anotadas y no anotadas. En las formas anotadas, las secuencias usadas para cebadores de PCR están subrayadas, la secuencia líder se muestra en letras minúsculas; las CDR individuales están encuadradas; y las regiones constantes están en negrita; y (d) la secuencia de aminoácidos preferida de K1-18 HC (SEC ID N° 15) con la secuencia líder derivada de la secuencia oligonucleotídica mostrada en la Figura 3c en forma anotadas y no anotadas.

La Figura 4 proporciona las secuencias de región variable de la cadena ligera de K1-18 (LC): (a) la secuencia oligonucleotídica de K1-18 LC (SEC ID N° 19) mostrada en formas anotadas y no anotadas. En las En las formas anotadas, las secuencias usadas para cebadores de PCR están subrayadas; las CDR individuales están encuadradas; y las regiones constantes están en negrita; (b) la secuencia de aminoácidos de K1-18 LC (SEC ID N° 23) derivada de la secuencia de oligonucleótidos mostrada en la Figura 4a en formas anotadas y no anotadas; (c) la secuencia oligonucleotídica preferida de K1-18 LC (SEC ID N° 28) con la secuencia N terminal real (la secuencia líder) mostrada en formas anotadas y no anotadas. En las formas anotadas, las secuencias usadas para cebadores de PCR están subrayadas, la secuencia líder se muestra en letras minúsculas, las CDR individuales están encuadradas; y las regiones constantes están en negrita; y (d) la secuencia de aminoácidos preferida de K1-18 LC (SEC ID N° 33) con la secuencia líder derivada de la secuencia oligonucleotídica mostrada en la Figura 4c en formas anotadas y no anotadas;

La Figura 5 proporciona las secuencias de región variable de la cadena pesada de K1-70 (HC): (a) la secuencia oligonucleotídica de K1-70 HC (SEC ID N° 37) mostrada en formas anotadas y no anotadas. En las En las formas anotadas, las secuencias usadas para cebadores de PCR están subrayadas; las CDR individuales están encuadradas; y las regiones constantes están en negrita; (b) la secuencia de aminoácidos de K1-70 LC (SEC ID

Nº 41) derivada de la secuencia de oligonucleótidos mostrada en la Figura 5a en formas anotadas y no anotadas; (c) la secuencia oligonucleotídica preferida de K1-70 HC (SEC ID Nº 46) con la secuencia N terminal real (la secuencia líder) mostrada en formas anotadas y no anotadas. En las formas anotadas, las secuencias usadas para cebadores de PCR están subrayadas, la secuencia líder se muestra en letras minúsculas, las CDR individuales están encuadradas; y las regiones constantes están en negrita; y (d) la secuencia de aminoácidos preferida de K1-70 HC (SEC ID Nº 51) con la secuencia líder derivada de la secuencia oligonucleotídica mostrada en la Figura 5c en formas anotadas y no anotadas;

La Figura 6 proporciona las secuencias de región variable de la cadena ligera de K1-70 (LC): (a) la secuencia oligonucleotídica de K1-70 LC (SEC ID Nº 55) mostrada en formas anotadas y no anotadas. En las formas anotadas, las secuencias usadas para cebadores de PCR están subrayadas; las CDR individuales están encuadradas; y las regiones constantes están en negrita; (b) la secuencia de aminoácidos de K1-70 LC (SEC ID Nº 59) derivada de la secuencia de oligonucleótidos mostrada en la Figura 6a en formas anotadas y no anotadas; (c) la secuencia oligonucleotídica preferida de K1-70 LC (SEC ID Nº 64) con la secuencia N terminal real (la secuencia líder) mostrada en formas anotadas y no anotadas. En las formas anotadas, las secuencias usadas para cebadores de PCR están subrayadas, la secuencia líder se muestra en letras minúsculas, las CDR individuales están encuadradas; y las regiones constantes están en negrita; y (d) la secuencia de aminoácidos preferida de K1-70 LC (SEC ID Nº 69) con la secuencia líder derivada de la secuencia oligonucleotídica mostrada en la Figura 6c en formas anotadas y no anotadas; y (e) la secuencia de aminoácidos N terminal real (aminoácidos 2-21) SEC ID Nº 73) determinada por reacción de degradación de Edman;

La Figura 7 proporciona la secuencia de aminoácidos del TSHR humano: (a) ilustra la secuencia de aminoácidos consenso del TSHR humano (aminoácidos 1-764 (SEC ID Nº 74) (nº de referencia P16473; <http://www.ncbi.nlm.nih.gov/entrez/viewer.fcgi?db=protein&val=62298994>); (b) ilustra la secuencia de aminoácidos consenso de los aminoácidos 1-260 de TSHR humano. La secuencia líder (aminoácidos 1-21) se muestra en minúscula y la secuencia de histidina añadido para fines de purificación se muestra en el extremo C terminal en negrita (SEC ID Nº 75); y (c) ilustra la secuencia de aminoácidos del extremo C terminal de TSHR LRD. La secuencia líder (aminoácidos 1-21) se muestra en minúscula y la secuencia de histidina añadida para fines de purificación se muestra en el extremo C terminal en negrita (SEC ID Nº 76);

La Figura 8 proporciona las coordenadas de K1-70 Fab a una resolución de 2,22 Å.

La Figura 9 muestra: (a) la estructura de K1-70 Fab – representación de la estructura en formato Joy; (b) el potencial electrostático del sitio de combinación de K1-70 Fab; y (c) aminoácidos aromáticos del sitio de combinación de K1-70 Fab.

Métodos

Aislamiento de linfocitos y clonación de autoanticuerpos de TSHR monoclonales humanos

Los autoanticuerpos monoclonales K1-18 y K1-70 se aislaron usando el procedimiento descrito en el documento WO2004/050708A2. Los linfocitos se aislaron de una muestra de sangre recogida de una paciente con un historial clínico de 8 años de AITD de altos niveles de TRAb. Se obtuvieron el consentimiento de la paciente y la aprobación del Comité de Ética Local. Se diagnosticó a la paciente por primera vez hipertiroidismo, ésta alcanzó el estado eutiroideo después de tratamiento con metimazol, sin embargo, aproximadamente 4,5 años antes de la recogida de sangre desarrolló hipotiroidismo. En el momento de la recogida de sangre la paciente se estaba tratando con tiroxina (50 µg diarios). Los linfocitos se infectaron con Virus de Epstein Barr (Colección Europea de Cultivos Celulares – ECACC; Porton Down, SP4 0JG, Reino Unido) y se cultivaron en capas de alimentación de macrófagos como se describe en el documento WO2004/050708A2. Se fusionaron linfocitos inmortalizados que secretaban autoanticuerpos de de TSHR con una línea celular híbrida de ratón/humana K6H6/B5 (ECACC) y se clonaron cuatro veces por dilución limitante para obtener una única colonia. La presencia de autoanticuerpo de TSHR en sobrenadantes de cultivos celulares en diferentes estadios de clonación se detectó por la inhibición de la unión de TSH marcada con el TSHR (documento WO2004/050708A2). Se expandieron dos clones individuales que producían los autoanticuerpos de TSHR y se recogieron sobrenadantes de los cultivos para purificación de autoanticuerpos. Un clon se designó K1-18 y el otro K1-70.

Purificación, caracterización y marcaje de K1.18 y K1.70

Se purificaron MAb IgG humanos de TSHR de sobrenadantes de cultivo usando cromatografía de afinidad de proteína A en MabSelect™ (GE Healthcare, Reino Unido) como se describe en Sanders J *et al* 2004 (Thyroid 2004 14: 560-570) y se evaluó la pureza por electroforesis en gel de poliacrilamida-SDS (PAGE). El isotipo de cadena pesada se determinó usando un ensayo de difusión radial (The Binding Site; Birmingham, B29 6AT, Reino Unido), y el isotipo de cadena ligera se determinó por transferencia de Western con anticuerpos monoclonales de ratón específicos anti-cadena kappa humana y anti-cadena lambda humana (Sigma-Aldrich, Company Ltd., Poole, Reino Unido). Se trató IgG K1-18 purificada con mercuripapaína (Sigma Aldrich, Poole, Reino Unido) a una relación de IgG/enzima de 100:1 en solución salina tamponada con fosfato (PBS; NaCl 137 mmol/l, Na₂HPO₄ 8,1 mmol/l, KCl 2,7 mmol/l, KH₂PO₄ 1,47 mmol/l, pH 7,4 que contenía cisteína a una concentración final de 1 mmol/l y EDTA a una concentración final de 2 mmol/l) durante 4 horas a 37 °C. La reacción se detuvo mediante la adición de yodoacetamida (concentración final de 50 mmol/l) durante 30 minutos a temperatura ambiente. La mezcla de reacción se pasó a través de una columna de MabSelect para retirar cualquier IgG intacta o fragmentos Fc de la

preparación de Fab. La solución que contenía Fab se dializó en PBS que contenía NaN_3 3,1 mmol/l y se concentró usando un concentrador Centriprep (Millipore, Watford, WD18 8YH, Reino Unido) cuando fue apropiado. Se obtuvieron K1-70 Fab usando un método similar excepto que se usó una relación de IgG/enzima de 200:1 y la digestión con enzima fue durante una hora a 37 °C. El análisis por SDS-PAGE indicó que IgG intacta era indetectable en las preparaciones Fab. Las preparaciones de IgG se marcaron con ^{125}I como se describe en Sanders J *et al* 1999. Journal of Clinical Endocrinology and Metabolism. 1999 84: 3797-3802) o con hidrazida de biotina (Perbio Science, Cramlington, Reino Unido) (Rees Smith *et al* 2004. Thyroid 14: 830-835).

Inhibición de la unión de ^{125}I -TSH o MAb humanos marcados con ^{125}I con el TSHR

Se llevaron a cabo ensayos de inhibición de unión usando tubos recubiertos con TSHR como se describe en el documento WO2004/050708A2. En el ensayo, se incubaron 100 μl de muestra de ensayo (preparación de MAb, suero de paciente o TSH no marcada) y 50 μl de tampón de inicio (RSR Ltd.) en tubos recubiertos con TSHR durante 2 horas a temperatura ambiente con agitación suave. Después de la aspiración, los tubos se lavaron y se añadieron 100 μl de proteína marcada con ^{125}I (5×10^4 cpm) y se incubaron durante 1 hora a temperatura ambiente con agitación. Los tubos se aspiraron después, se lavaron y se contaron en un contador gamma. Se calculó la inhibición de unión de proteína marcada como $100 \times [1 - (\text{cpm unido en presencia de material de ensayo/cpm unido en presencia de material de control})]$. Las preparaciones de MAb usadas en estos experimentos fueron K1-18, K1-70, M22, 5C9, 9D33 descritos anteriormente. TSMab 1-7 son MAb estimulantes de tiroides de ratón (documento WO 03/01863 y Sanders J *et al* 2002, mencionado anteriormente). El material de control fue un grupo de sueros de donante de sangre sanos o sueros de donantes de sangre sanos individuales u otros materiales como se indica en los resultados de diversos experimentos.

Análisis de Scatchard de la unión de MAb IgG humana con el TSHR

Se incubaron IgG K1-18 o K1-70 no marcadas en 50 μl de tampón de ensayo (NaCl 50 mmol/l, Tris 10 mmol/l pH 7,8 y Triton X-100 al 0,1 %) y 50 μl de tampón de inicio (RSR Ltd) y 50 μl de IgG K1-18 o K1-70 marcada con ^{125}I respectivamente (30.000 cpm en tampón de ensayo) en tubos recubiertos con TSHR durante 2 horas a temperatura ambiente con agitación (se produjo unión máxima en estas condiciones), se aspiraron, se lavaron dos veces con 1 ml de tampón de ensayo y se contaron en un contador gamma. La concentración de IgG unida frente a unida/libre se representó (Scatchard G 1949. Annals of the New York Academy of Sciences 51: 660-672) para derivar la constante de asociación.

Inhibición de la unión de TSH con el TSHR medida por ELISA

Se usó un ELISA de TRAb basado en la unión de TSH-biotina con pocillos de ELISA recubiertos con TSHR como se ha descrito anteriormente (Bolton J, *et al* 1999 Clinical Chemistry 45: 2285-2287). En el ensayo se añadieron 75 μl de muestra de ensayo a 75 μl de tampón de inicio en los pocillos de las placas y se incubaron durante 2 horas a temperatura ambiente con agitación a aproximadamente 500 agitaciones/minuto. Después de lavar se añadieron 100 μl de TSH-biotina y la incubación continuó durante 25 minutos sin agitación. Los pocillos se lavaron de nuevo, la reacción se reveló usando procedimientos convencionales descritos y se leyó la absorbancia de cada pocillo a 450 nm.

Se calculó la inhibición de la unión de TSH-biotina como: $100 \times [1 - (\text{absorbancia de muestra de ensayo a 450 nm/absorbancia de muestra de control negativo a 450 nm})]$. Las preparaciones de MAb usadas en estos experimentos fueron K1-18, K1-70, M22, 5C9, 9D33 descritos anteriormente. Los TSMabs 1-7 son MAb estimulantes de tiroides de ratón (documento WO03/01863 y Sanders J, *et al* 2002 mencionado anteriormente). El material de muestra de control fue un grupo de sueros de donantes de sangre sanos u otros materiales como se indica en los resultados de diversos experimentos.

Inhibición de la unión de M22 con el TSHR en ELISA

Se usó un ELISA de TRAb basado en la unión de M22 marcado (M22 Fab-POD) con pocillos de ELISA recubiertos con TSHR (Rees Smith B *et al* 2004 mencionado anteriormente). El ensayo se llevó a cabo como el ELISA basado en TSH-biotina excepto en que la primera incubación fue durante 1 hora. Los resultados se expresaron como inhibición de la unión de M22 usando la fórmula: $100 \times [1 - (\text{absorbancia de muestra de ensayo a 450 nm/absorbancia de muestra de control negativo a 450 nm})]$. Las preparaciones de MAb usadas en estos experimentos fueron K1-18, K1-70, M22, 5C9, 9D33 descritos anteriormente. Los TSMab 1-7 son MAb estimulantes de tiroides de ratón (número de Solicitud de Patente WO03/01863 y Sanders J, 2002 mencionado anteriormente). El material de control fue un grupo de sueros de donantes de sangre sanos u otros materiales como se indica en los resultados de diversos experimentos.

Análisis de la estimulación de TSHR

La capacidad de IgG K1-18 o K1-70 y otras preparaciones para estimular la producción de AMP cíclico en células de

ovario de hámster Chino (CHO) transfectadas con el TSHR humano se ensayó como se describe en el documento WO2004/0507080A2. Se sembraron células CHO que expresaban aproximadamente 5×10^4 o aproximadamente 5×10^5 TSHR por célula en placas de 96 pocillos a 3×10^4 células por pocillo, se adaptaron a DMEM (Invitrogen Ltd, Paisley, Reino Unido) sin suero de ternero fetal y después se añadieron muestras de ensayo (TSH, IgG o suero de paciente) (100 μ l diluidos en tampón de ensayo de AMP cíclico, es decir, solución de Sales Tamponadas de Hank sin NaCl que contiene glucosa 1 g/l, HEPES 20 mmol/l, sacarosa 222 mmol/l, albúmina de suero bovino 15 g/l y 3-isobutil-1-metilxantina 0,5 mmol/l pH 7,4; tampón hipotónico de ensayo de AMP cíclico) y se incubó durante 1 hora a 37 °C. Después de retirar las soluciones de ensayo, las células se lisaron y se ensayó la concentración de AMP cíclico en los lisados usando kits de Correlación Directa de AMP Cíclico-EIA de Assay Designs; Cambridge Bioscience, Reino Unido. Los resultados se expresan como pmol/ml de AMP cíclico en el lisado celular (200 μ l). Algunos experimentos se llevaron a cabo en condiciones de tampón isotónico. En estos experimentos se usó tampón de Hepes de Krebs-Ringer (tampón KRH) (NaCl 124 mmol/l, KCl 5 mmol/l, MgSO₄ 1,25 mmol/l, CaCl₂ 1,45 mmol/l, KH₂PO₄ 1,25 mmol/l, HEPES 25 mmol/l, glucosa 8 mmol/l, albúmina de suero bovino 0,5 g/l, 3-isobutil-1-metilxantina 0,5 mmol/l, pH 7,4). Se permitió que las células alcanzaran la densidad requerida, el medio de cultivo se retiró y las células se lavaron con 1 ml de tampón KRH. Después se añadió tampón KRH nuevo y las células se incubaron durante 30 minutos a 37 °C. El tampón se retiró después y se reemplazó con tampón KRH nuevo que contenía muestras de ensayo (TSH, preparaciones de MAb, muestras de suero, etc.). Las siguientes etapas se llevaron a cabo posteriormente como se ha descrito con anterioridad para los experimentos en las condiciones hipotónicas (es decir, en tampón de ensayo de AMP cíclico). En algunos experimentos se evaluó el efecto de diversos de MAb en la actividad estimulante de TSHR de diversas preparaciones (por ejemplo, TSH, MAb humanos, sueros de pacientes) medido como se ha descrito anteriormente. Esto se llevó a cabo comparando (a) la actividad estimulante de la muestra sola con (b) actividad estimulante en presencia de diversos MAb.

Medición de la actividad antagonista (de bloqueo)

Se evaluó la capacidad de IgG K1-70 y otras preparaciones para inhibir la actividad estimulante de TSH porcina (p), TSH humana nativa (h) y TSH humana recombinante (rh), MAb M22, MAb K1-18 y TRAb del suero de paciente en células CHO que expresaban TSHR. Esto se llevó a cabo comparando el efecto estimulador de TSH, M22, K1-18 o TRAb en ausencia y en presencia de IgG K1-70 (u otras preparaciones que se ensayan). El ensayo se llevó a cabo como se ha descrito anteriormente excepto en que se añadieron 50 μ l de K1-70 (u otras preparaciones que se ensayan) diluidos en tampón de ensayo de AMP cíclico a los pocillos celulares seguido de 50 μ l de TSH o M22 o K1-18 o suero del paciente (diluido según sea apropiado en tampón de ensayo de AMP cíclico) y se incubó y se ensayó como para el ensayo de estimulación descrito anteriormente. Otros MAb y sueros de pacientes con TRAb de tipo de bloqueo se ensayaron en ese ensayo además de K1-70.

Asociación y disociación de la unión de K1-18 y K1-70 con el TSHR

La asociación y disociación de la unión IgG K1-18, Fab K1-K18, IgG K1-70 y Fab K1-K70 con el TSHR de longitud completa y el TSHR260 se estudió usando el método como se describe en: Nakatake N, *et al* Thyroid 2006, 16; 1077-1084. Se usó TSHR de longitud completa o TSHR260 para recubrir tubos de plástico que se habían recubierto previamente con un MAb de ratón adecuado al TSHR. En experimentos de asociación, se incubaron 100 μ l de IgG o Fab marcado con ¹²⁵I en los tubos recubiertos con TSHR a temperatura ambiente durante 5-180 min. Los tubos se aspiraron después, se lavaron con tampón de ensayo y se contaron en un contador gamma. En los experimentos de disociación se incubaron 100 μ l de IgG o Fab marcado con ¹²⁵I en tubos recubiertos con TSHR durante 180 min a temperatura ambiente seguido de la adición de 10 μ l de 1 mg/ml de diversas preparaciones de MAb IgG o Fab e incubación durante 0-180 min a temperatura ambiente. En diferentes puntos temporales los tubos se aspiraron, se lavaron y se contaron. En algunos experimentos se añadió TSH o tampón en lugar de una preparación de MAb.

Mutaciones de aminoácidos en el TSHR

Los métodos usados para introducir mutaciones específicas en la secuencia de TSHR se han descrito en la Solicitud de Patente WO2006/016121A. Además, la transfección de construcciones de TSHR mutado en células CHO usando el sistema de Flp-in también se describe en el documento WO2006/016121A. Se sembraron células Flp-In-CHO que expresaban TSHR de tipo silvestre o mutados en placas de 96 pocillos y se usaron para ensayar la capacidad de diversas preparaciones para estimular la actividad de AMP cíclico en las células de CHO que expresaban el TSHR que contenía mutaciones de aminoácidos. Estos experimentos se compararon con experimentos similares llevados a cabo usando células CHO que expresaban TSHR de tipo silvestre. También se usaron células Flp-In-CHO que expresaban TSHR bien de tipo silvestre o bien mutados en experimentos para estudiar la capacidad de diversas preparaciones para bloquear la actividad estimulante de TSH, estimular anticuerpos o TRAb de suero del paciente como se ha descrito anteriormente.

Producción de construcción de TSHR260-fosfatasa alcalina (TSHR260-AP)

La construcción de TSHR 260 (que codifica los aminoácidos 1-260 del TSHR humano; siendo los aminoácidos 1-21 la secuencia líder) se amplificó usando TSHR humano de longitud completa como molde (Oda Y, *et al* 1998. Journal

of Molecular Endocrinology 20: 233-244) y se unió con la secuencia codificante de una fosfatasa alcalina secretada (menos la secuencia líder de fosfatasa alcalina de 17 aminoácidos) usando el vector de clonación pSEAP2-basic (Clontech) como molde. Se llevaron a cabo dos reacciones de PCR, la primera usaba el TSHR de longitud completa amplificado con cebadores específicos de SEC ID N° 77 y SEC ID N° 78 (Sigma Genosys) que añadieron un sitio de restricción EcoRI en el extremo N terminal, y un enlazador de 1 aminoácido (Asparagina) y los primeros 8 aminoácidos (excluyendo la secuencia líder de 17 aminoácidos) de la fosfatasa alcalina secretada en el extremo C terminal. La segunda PCR se llevó a cabo usando el vector de clonación pSEAP2-basic amplificado con los cebadores SEC ID N° 79 y SEC ID N° 80 que añaden los aminoácidos 254-260 del TSHR y 1 enlazador de un aminoácido (Asparagina) al extremo N terminal de la fosfatasa alcalina secretada y un marcador de 6 histidinas, un codon de parada y un sitio de restricción XhoI en el extremo C terminal del gen la fosfatasa alcalina secretada. Las reacciones de PCR se llevaron a cabo durante 30 ciclos de 1 minuto a 94 °C, 1 minuto a 40 °C y 1 minuto a 72 °C seguido de 7 minutos a 72 °C. Los productos de PCR se procesaron en geles de agarosa al 1 % y el ADN se extrajo usando un kit geneclean II (Anachem Ltd., Luton) siguiendo las instrucciones del fabricante. Después se usaron productos de purificados de las PCR 1 y 2 para preparar una tercera PCR para construir el gen de fosfatasa alcalina de TSHR 260 completo. La reacción de PCR 3 contenía 200 ng de PCR 1 y 200 ng de producto de PCR 2 y la PCR 3 se llevo a cabo durante 7 ciclos a 94 °C durante 1,5 minutos, 65 °C durante 1,5 minutos y 72 °C durante 1,5 minutos. La temperatura se aumentó después a 94 °C de nuevo durante 2 minutos y se añadieron los cebadores SEC ID N° 77 y 80 seguido de 30 ciclos de 94 °C durante 1 minuto, 52 °C durante 1 minuto y 72 °C durante 2 minutos. El producto de PCR 3 se clonó en pFastBac1 usando sitios de restricción EcoRI y XhoI y la presencia de la mutación se verificó usando secuenciación por el método de Sanger-Coulson (Sanger F *et al* 1997. Proceedings of the National Academy of Sciences of the USA 74: 5463-5467). Se preparó ADN recombinante usando el sistema de expresión de Baculovirus Bac to Bac (Invitrogen, Reino Unido) y se transfectó en células Sf-9 para obtener y amplificar una reserva de baculovirus recombinante como se describe en el documento WO2008/025991A1. TSHR260-AP se expresó en células de insecto como se describe en el documento WO2008/025991A1.

ELISA basado en TSHR260-AP

Se estableció un ELISA basado en la capacidad de los anticuerpos de TSHR divalentes para unirse a un sitio de unión a antígeno para TSHR que recubre un pocillo de placa de ELISA y con el otro sitio de unión a antígeno para TSHR260-AP en una fase líquida, es decir, formando un enlace. El TSHR en forma de receptor de longitud completa solubilizado por detergente expresado en células CHO se usó para recubrir pocillos de placas de ELISA con un anticuerpo C terminal como se ha descrito previamente (Bolton J *et al* 1999 mencionado anteriormente). En el ensayo se añadieron 75 µl de tampón de inicio (como se describe para ELISA de TRAb; Bolton J *et al* 1999 mencionado anteriormente) y 75 µl de muestra de ensayo (sueros de pacientes o anticuerpos monoclonales) a los pocillos de placas de ELISA con el TSHR de longitud completa solubilizado en detergente y se incubó durante 2 horas a temperatura ambiente con agitación (500 rpm). Después se retiraron los contenidos de los pocillos, los pocillos se lavaron 3 veces con tampón de lavado (NaCl 50 mmol/l, Tris 20 mmol/l pH 7,8 Triton X-100 1 %) seguido de la adición de 100 µl de TSHR260-AP (diluido en tampón de lavado que contenía MgCl₂·6H₂O 0,2 g/l y BSA 2 g/l). Después de incubación durante 1 hora a temperatura ambiente con agitación (500 rpm) los pocillos se vaciaron, se lavaron (3 veces) y se añadieron 100 µl de sustrato de p-nitrofenil fosfato (pNpp) (Europa Bioproducts Ltd, Ely, Cambridge Reino Unido) y la placa se incubó en oscuridad durante 45 minutos. A continuación se añadieron 100 µl de solución de parada (NaOH 1 mol/l) y la absorbancia se leyó a 450 nm en un lector de placas de ELISA. Los resultados se expresaron como valores de absorbancia a DO₄₀₅ nm, los valores mayores que los observados con un panel de sueros de donantes de sangre sanos (HBD) indicaron la presencia de autoanticuerpos de TSHR en la muestra. En algunos experimentos se usaron preparaciones solubilizadas de TSHR expresado en CHO recombinante que contenía la mutación R255D para recubrir los pocillos de placas de ELISA.

Producción de construcción de TSHR LRD C-CAP

La construcción de TSHR LRD C-CAP que codificaba los aminoácidos de 1-409 de TSHR humano con los aminoácidos 306-384 retirados, se amplificó usando TSHR humano de longitud completa como el molde (Oda Y, *et al* 1998. Journal of Molecular Endocrinology 20: 233-244). Se llevaron a cabo dos reacciones de PCR, la primera usó el TSHR de longitud completa amplificado con cebador T7 (SEC ID N°: 81) y cebador específico SEC ID N°: 82 (Sigma Genosys, Gillingham, Dorset, Reino Unido) que añadió los aminoácidos 385-342 de TSHR al extremo C terminal del aminoácido 305 del TSHR. La segunda PCR se llevó a cabo usando el TSHR de longitud completa amplificado con el cebador inverso de BGH SEC ID N° 83 y el cebador específico (SEC ID N° 84), que añade los aminoácidos 298-305 del TSHR al extremo N terminal del aminoácido 385 del TSHR. Las reacciones de PCR se llevaron a cabo durante 30 ciclos de 1 minuto a 94 °C, 1 minuto a 40 °C y 2 minutos a 72 °C seguido de 7 minutos a 72 °C. Los productos de PCR se procesaron en geles de agarosa al 1 % y el ADN se extrajo usando un kit GeneClean II (Anachem Ltd, Luton, Reino Unido) siguiendo las instrucciones del fabricante. Después se usaron los productos de PCR purificados 1 y 2 para preparar una tercera PCR para construir una secuencia de TSHR continua uniendo Ser305 con Tyr385 con los aminoácidos 308-384 retirados. La reacción de PCR 3 que contenía 200 ng de producto de PCR 1 y 200 ng de producto de PCR 2 y la PCR 3 se llevó a cabo durante 7 ciclos a 94 °C durante 1,5 minutos, 65 °C durante 1,5 minutos y 72 °C durante 1,5 minutos. La temperatura se aumentó después a 94 °C de nuevo durante 2 minutos y se añadieron cebador T7 (SEC ID N°: 81) y cebador BGHR (SEC ID N° 83) seguido de 30

ciclos de 94 °C durante 1 minuto, 52 °C durante 1 minuto y 72 °C durante 2 minutos. El producto de PCR 3 que contenía la secuencia de TSHR que omitía los aminoácidos 306-384, se procesó después en un gel de agarosa al 1 % y el ADN se extrajo usando un kit GeneClean II (Anachem Ltd) siguiendo las instrucciones del fabricante. Se usó un producto de PCR3 purificado como el molde para construcción del gen de TSHR LRD C-CAP en PCR 4. La reacción de PCR 4 contenía 200 ng de PCR 3 como ADN molde y se amplificó con cebador T7 (SEC ID N° 81) y el cebador específico (SEC ID N° 85) que añade un marcador de 6 histidinas, un codon de parada y un sitio de restricción XhoI al extremo C terminal del aminoácido 409 de la secuencia de TSHR (1-409 con los aminoácidos 306-384 suprimidos). Se llevó a cabo PCR 4 durante 30 ciclos de 1 minuto a 94 °C, 1 minuto a 40 °C y 1 minuto a 72 °C, seguido de 10 minutos a 72 °C. El producto de PCR 4 se clonó en pFastBac1 usando sitios de restricción BamHI y XhoI y la presencia de la mutación se verificó usando secuenciación por el método de Sanger-Coulson (Sanger F. *et al* 1997. Proceedings of the National Academy of Sciences of the USA 74: 5463-5467). Se preparó ADN recombinante usando el sistema de expresión de Baculovirus Bac to Bac (Invitrogen, Paisley, Reino Unido) y se transfeció en células Sf-9 para obtener y amplificar reserva de baculovirus recombinante como se describe en el documento WO2008/025991A1. Se expresó TSHR LRD C-CAP (Figura 7c; SEC ID N° 76) en células de insecto usando el procedimiento descrito en el documento WO2008/025991A1.

Comparación de la estabilidad de diferentes preparaciones de TSHR

Se comparó estabilidad de temperatura de diferentes preparaciones de TSHR recombinante. Se ensayaron TSHR solubilizado de longitud completa expresado en células CHO, TSHR260 expresado en células de insecto, TSHR260-AP expresado en células de insecto y TSHR LRD C-CAP expresado en células de insecto. Se retiró una alícuota de cada una de las preparaciones anteriormente enumeradas de almacenamiento a -80 °C, se descongeló en hielo, se devolvió una muestra a -80 °C como un control mientras que el grueso se almacenó a temperatura ambiente (20-25 °C) durante 24 o 48 horas. Después de 24 o 48 horas a temperatura ambiente las preparaciones de TSHR se almacenaron a -80 °C y después se ensayaron como se describe posteriormente. Se recubrieron pocillos de placas de ELISA con una preparación F(ab')₂ del MAb de TSHR 14C4 (Jeffreys J *et al* 2002, Thyroid 12: 1051-1061 y Sanders J *et al* 2007 Thyroid 17: 395-410) a 1 µg/ml en tampón de recubrimiento (Bolton J *et al* 1999 mencionado anteriormente). Se diluyeron preparaciones de TSHR que se investigaron en el NaCl 20 mmol/l, Tris 10 mmol/l, pH 7,8, Triton X-100 1 % v/v, BSA 1 g/l, NaN₃ 200 mg/ml y se añadieron 150 µl a pocillos de placas de ELISA (por cuadruplicado). Después de incubación durante una noche a 4 °C para permitir que las preparaciones de TSHR se unieran con los pocillos recubiertos con anticuerpo (F(ab')₂ 14C4), los pocillos se lavaron y se incubaron con 75 µl de tampón de ensayo (NaCl 50 mmol/l, Tris 20 mmol/l pH 7,8, Triton X-100 1 % v/v, BSA 1 g/l) y 75 µl de suero de donante de sangre sano durante 1 hora a temperatura ambiente a 500 agitaciones por minuto en un agitador de placas de ELISA. A continuación los contenidos de los pocillos se vaciaron, los pocillos se lavaron y se añadieron 100 µl de conjugado de peroxidasa-Fab M22 (véase anteriormente) a cada pocillo. Después de 25 minutos de incubación a temperatura ambiente sin agitación los pocillos de las placas se lavaron de nuevo seguido de la adición de 100 µl de tetrametilbenzidina y una incubación adicional de 25 minutos a temperatura ambiente sin agitación. La reacción se detuvo mediante la adición de 50 µl de H₂SO₄ de 0,5 mol/l y se leyó la absorbancia de cada pocillo a 450 nm en un lector de placas de ELISA.

Análisis de genes de región variable

Los genes de región variable (V) de cadenas pesadas y ligeras K1-18 o K1-70 se determinaron como se describe en el documento WO2004/050708A2, usando ARN total preparado a partir de 1×10^7 células de hetero-hibridoma (que secreta IgG K1-18 o IgG K1-70) para producir ARNm para reacciones de RT-PCR (PCR de transcriptasa inversa). Se usaron cebadores oligonucleotídicos de cadena con sentido y antisentido IgG1 HC y kappa LC específicos diseñados usando la V-base del Consejo de Investigación Médica (<http://vbase.mrcpe.cam.ac.uk/>) y se sintetizaron por Invitrogen (Paisley, PA4 9RF, Reino Unido), se usaron en reacciones de RT-PCR con ARNm de K1-18. Se usaron cebadores de IgG HC y lambda LC específicos preparados como se ha descrito anteriormente en reacciones de RT-PCR con ARNm de K1-70. La reacción de RT se llevó a cabo a 50 °C durante 15 minutos seguido de 40 ciclos de PCR a 94 °C durante 15 segundos, 50 °C durante 30 segundos y 72 °C durante 30 segundos. Los productos de ADN se clonaron en pUC18 y se secuenciaron por el método de Sanger-Coulson (Sanger F, *et al* 1977 mencionado anteriormente). Las secuencias de región V se compararon con secuencias disponibles de genes Ig humanos usando blast de Ig (<http://www.ncbi.nlm.nih.gov/gblast/>). Las CDR se asignaron por el método de Kabat (Kabat E *et al* 1991 Sequences of proteins of immunological interest (US Public Health service, Bethesda, MD) Quinta edición) y blast de Ig (<http://www.ncbi.nlm.nih.gov/igblast/>). Se llevó a cabo un segundo ciclo de aislamiento de ARNm a partir de las líneas celulares de hibridoma tanto K1-70 como K1-18 que HC habían experimentos reclonación adicional por dilución limitante. Las secuencias de región V (HC K1-18, LC K1-18, K1-70 y LC K1-70) se obtuvieron por RT-PCR a partir del ARNm seguido de clonación y secuenciación como se ha descrito anteriormente. Además las reacciones de RT-PCR también se llevaron a cabo usando cebadores de PCR diseñados específicamente correspondientes al extremo 5' de las secuencias líder respectivas para cada una de las regiones V. Esto permitió la identificación de las secuencias oligonucleotídicas reales (y secuencias de aminoácidos derivadas) en los extremos N terminales de las regiones V HC y LC de K1-18 y K1-70. Además, la secuencia de aminoácidos N terminal de la proteína LC K1-70 se analizó por reacción de degradación de Edman por Alta Bioscience (Birmingham, Reino Unido). Esto fue posible después del "desbloqueo" N terminal de la preparación de

proteína LC K1-70 con piroglutamato aminopeptidasa. Se trataron Fab K1-70 purificados (10 µg) con 2,5 mU de piroglutamato aminopeptidasa (en Na₂HPO₄ 50 mmol/l pH 7,0; ditiotreitól 10 mmol/l y EDTA 1 mmol/l) durante 6 horas a 75 °C. Se añadió un volumen igual de tampón de muestra de SDS-PAGE y después de calentar a 100 °C durante 5 minutos, se resolvió el Fab K1-70 en el HC (parte Fd) y el LC en SDS-PAGE 15 %. La banda de LC se cortó cuidadosamente del gel y se determinó la secuencia proteica N terminal. Los ciclos de repetición de RT-PCR y secuenciación de HC K1-18, LC K1-18 y HC K1-70 confirmaron que las secuencias de región V eran iguales que las obtenidas antes mientras que la secuencia de región V de LC K1-70 era diferente. La secuencia de LC K1-70 obtenida en el ciclo de repetición de experimentos fue coherente con la secuencia proteica de los 2-21 aminoácidos N terminales consecutivos obtenidos por la reacción de Edman (Figura 6e; SEC ID N 73) y la densidad electrónica de los aminoácidos de LC en la estructura cristalina de Fab K1-70 (Figura 8) y en consecuencia se concluyó como la secuencia de LC K1-70 preferida (Figuras 6c y 6d; (SEC ID N° 64 y 69, respectivamente).

Análisis por difracción de rayos X de Fab K1-70

Se concentraron soluciones de Fab K1-70 preparadas como se ha descrito anteriormente a 15,5 mg/ml usando concentradores iCON (ThermoFisher Scientific, Loughborough, Reino Unido) con un punto de corte de 9000 Da y se almacenaron a -20 °C en alícuotas. Se cultivaron cristales de Fab K1-70 usando el método de gota colgante de difusión de vapor usando la exploración de matriz dispersa Exploración de Estructura 1 de Molecular Dimensions (Newmarket, Reino Unido). Se obtuvieron varios cristales en varias condiciones y todos se exploraron para identificar el cristal más adecuado para el análisis por difracción de rayos X en Biofocus DPI (Saffron Walden, Reino Unido). Se eligió un cristal que había crecido en PEG 400 al 30 %, Hepes sódico 0,1 M pH 7,5, cloruro de magnesio 0,2 M. Se lavó en solución de pocillo y se congeló instantáneamente sumergiéndolo en nitrógeno líquido. El conjunto de datos se recogió en un detector de placa de imágenes R-Axis IV de Rigaku y se clasificó, se integró y se cambió de escala usando MOSFLM y SCALA (del conjunto de programas CCP4 (Collaborative computational project, número 4. 1994. "The CCP4 Suite: Programs for Protein Crystallography". Acta Cryst. D50, 760-763). Se eligieron tres estructuras del Banco de Datos de Proteínas (<http://www.rcsb.org/pdb/home/home.do>) 1LIL (dominios VL y CL), 2BOS (dominio VH) y 2EH7 (dominio VL) para su uso en reemplazo molecular, basándose en el alineamiento de secuencias. Hubo dos moléculas Fab K1-70 completas en la unidad asimétrica y se proporciona al modelo resultante diez ciclos de refinamiento atómico con ponderaciones geométricas estrechas usando REFMAC5 (CCP4). Los mapas de densidad electrónica calculados de reemplazo molecular y el refinamiento inicial se examinaron en el programa de construcción de modelos COOT (Emsley P, Cowtan K 2004. Nature 355: 472-475) y se realizó reconstrucción de modelo automática usando BUCCANEER (CCP4). El modelo se reexaminó y se construyó manualmente cualquier elemento ausente restante y el modelo se refinó usando REFMAC5 (CCP4). Se añadieron después moléculas de agua usando la opción de posicionamiento en agua en COOT y se refinó usando REFMAC5 (CCP4). La geometría estructural de Fab K1-70 se comprobó usando PROCHECK (CCP4) y RAMPAGE (CCP4). Finalmente, los restos en el modelo se reenumeraron de acuerdo con el sistema de numeración de Kabat (Kabat E *et al* 1991 mencionado anteriormente).

Clonación y expresión de Fab K1-70 recombinante en *E. coli*

El producto de RT-PCR de HC K1-70 se cortó con endonucleasas de restricción XhoI y SpeI y el producto de PCR de LC K1-70 se cortó con endonucleasas de restricción SacI y XbaI y se clonaron ADNc tanto de HC como de LC en el vector Immunozap H/L (Stratagene Europe; Ámsterdam, Países Bajos) (Matthews I, *et al* 2002 Laboratory Investigation 82: 1-11) bajo el control del promotor lacZ. Se preparó ADN plasmídico usando el kit de purificación de plásmido midi Qiagen (Qiagen Ltd, Crawley, Reino Unido) y se confirmó la presencia de ADNc de HC y LC K1-70 por secuenciación usando el método de Sanger-Coulson (Sanger F, *et al* 1977, mencionado anteriormente). Se transformó ADN plasmídico en la cepa de *E. coli* HB2151 (GE Life Sciences, Little Chalfont, REINO UNIDO) y se cultivó durante una noche a 37 °C en placas de agar con ampicilina LB (Tripton 10 g/l, Extracto de Levadura 5 g/l, NaCl 10 g/l, concentración final de ampicilina 100 µg/ml) (agar 15 g/l). Se dejaron crecer precultivos (una colonia en 3 ml de ampicilina LB `glucosa 1 %) durante una noche a 30 °C con agitación. Se inhibe la producción del Fab recombinante en presencia de glucosa. Se diluyeron precultivos después de incubación durante una noche 1/100 (0,5 ml en 50 ml de ampicilina LB) y se cultivaron a 30 °C hasta que la DO₆₀₀ fue de 1,2 seguido de la adición de sacarosa (concentración final 0,3 mol/l) y se dejó crecer en cultivo a 30 °C hasta que la DO₆₀₀ volvió a 1,2. A continuación se añadió isopropilo-β-D-tiogalactósido (IPTG) a una concentración final de 1 mmol/l y los cultivos continuaron incubándose durante 24 horas a 23 °C con agitación. Los cultivos se centrifugaron después a través de un filtro de 0,45 µm y se dializaron durante una noche en PBS (Na₂HPO₄ 8,1 mmol/l, KH₂PO₄ 1,5 mmol/l, KCl 2,7 mmol, NaCl 137 mmol/l pH 7,4). El sobrenadante de cultivo de células HB2151 transformadas con el plásmido de K1-70 (HB215/K1-70) cultivadas con glucosa sin IPTG es decir no inducidas, se usaron como controles negativos. Los sobrenadantes de cultivo se ensayaron con respecto a (a) su capacidad para inhibir la unión de TSH con el TSHR y (b) su capacidad para inhibir la estimulación mediada por TSH de la producción de AMP cíclico en células CHO que expresan TSHR.

Resultados

Aislamiento y clonación de líneas celulares estables que secretan K1-18 o K1-70

5 Se infectaron linfocitos (26×10^6) obtenidos de 20 ml de sangre del paciente con VEB y se sembraron en placas a 1×10^6 células por pocillo en una placa de 48 pocillos en capas de alimentación de macrófagos de ratón. El día 13 después de la infección por VEB los sobrenadantes de pocillos de placa se controlaron con respecto a inhibición de la unión con ^{125}I -TSH. Los clones positivos se ensayaron adicionalmente con respecto a sus efectos (estimulantes o de bloqueo) en el TSHR. Las células de pocillos positivos (positivos en cualquiera de los ensayos usados) se expandieron y se fusionaron con la línea celular de hibridoma K6H6/B5 y se sembraron en placas de 96 pocillos. Se obtuvieron dos clones que producían de forma estable anticuerpos con actividad inhibidora de la unión con ^{125}I -TSH y se volvieron a clonar 4 veces. Uno de los clones secretó un MAb humano designado K1-18 que tenía actividad estimulante de TSHR. El anticuerpo K1-18 purificado de los sobrenadantes de cultivo de hetero-hibridoma fue de la subclase IgG1 con cadenas ligeras kappa. El otro clon estable secretó un MAb humano designado K1-70 que tenía la capacidad para bloquear la estimulación por TSH de la producción de AMP cíclico en células CHO transfectadas con TSHR. El anticuerpo K1-70 purificado a partir de sobrenadantes de cultivo de hetero-hibridoma fue de la subclase IgG1 con cadenas ligeras lambda.

Inhibición de la unión de ^{125}I -TSH con tubos recubiertos con TSHR

20 La capacidad de diferentes concentraciones de IgG K1-18 o K1-70 para inhibir la unión de TSH marcada con tubos recubiertos con TSHR se muestra en las Tablas 1a y 1b. Como se muestra en la Tabla 1a, IgG K1-18 diluido en suero de donantes de sangre sanos (HBD) mostró inhibición máxima de la unión de ^{125}I -TSH de aprox. 95 % a concentraciones de $1 \mu\text{g/ml}$. El efecto inhibitor de IgG K1-18 a concentraciones entre $1-0,001 \mu\text{g/ml}$ fue dependiente de la dosis. El efecto inhibitor de K1-18 fue comparable al efecto de IgG M22 a las mismas concentraciones. IgG K1-18 a $1 \mu\text{g/ml}$ es un inhibidor más potente de la unión con ^{125}I -TSH que IgG 5C9, IgG TSMAB 1-7 o IgG 9D33 (Tabla 1a). Se muestran efectos inhibidores de IgG o Fab K1-70 en la unión con ^{125}I -TSH en la Tabla 1b. IgG K1-70 diluido en suero de HBD mostró inhibición dependiente de dosis que variaba de $13,5 \pm 2,3 \%$ a $0,03 \mu\text{g/ml}$ a $95,9 \pm 0,8 \%$ a $100 \mu\text{g/ml}$. Los efectos inhibidores de Fab K1-70 fueron comparables a los efectos de IgG K1-70 a las mismas concentraciones (Tabla 1b). Las Tablas 1a y 1b también muestran los efectos en la unión de ^{125}I -TSH con tubos recubiertos con TSHR por K1-18 y K1-70 y diferentes MAb IgG diluidos en el tampón de ensayo de tubo recubierto; en el caso de todos los MAb excepto 5C9 estos efectos fueron comparables con los resultados observados cuando se diluyeron MAb en suero de HBD. La Tabla 2a muestra inhibición de la unión de ^{125}I -TSH con tubos recubiertos con TSHR por diferentes preparaciones de K1-18, suero de donante de K1 y suero de donante de K1-IgG. En este experimento, se observó una inhibición de aproximadamente el 12 % con tan poco como $0,01 \mu\text{g/ml}$ de IgG K1-18 diluido en sueros de HBD y la inhibición aumentó de una manera dependiente de dosis hasta el 95 % de inhibición a $10 \mu\text{g/ml}$ de IgG K1-18. Fab K1-18 a $0,01 \mu\text{g/ml}$ en sueros de HBD mostró inhibición del $5,6 \pm 7,3 \%$ y la inhibición aumentó de una manera dependiente de dosis hasta una inhibición máxima de $82,2 \pm 0,9 \%$ a $10 \mu\text{g/ml}$. Esto puede compararse con la inhibición de la unión de ^{125}I -TSH por IgG en suero de donante diluido en sueros de HBD; inhibición de $13,7 \pm 1,3 \%$ a $0,125 \text{ mg/ml}$ que aumenta de una manera dependiente de dosis a inhibición de $76,5 \pm 1,5 \%$ a 1 mg/ml . El suero de donante a diferentes diluciones también mostró inhibición dependiente de dosis de la unión de ^{125}I -TSH; inhibición de $9,1 \pm 0,8 \%$ y dilución de 1/160 a inhibición de $81,1 \pm 0,4 \%$ a dilución 1/10. Los datos en la Tabla 2a mostraron que IgG K1-18 purificado era 6600 veces más activo con respecto a inhibición de la unión con TSH en comparación con IgG de suero de donante K1. Cuando se diluyeron IgG de K1-18 e IgG de suero donante en tampón de ensayo la capacidad de IgG K1-18 para inhibir la unión con TSH fue de 4700 veces mayor que la de la IgG de suero donante (Tabla 2a). La Tabla 2b muestra inhibición de la unión de ^{125}I -TSH con el TSHR en ensayo de tubos recubiertos por diferentes preparaciones de K1-18 en comparación con el efecto de la preparación de referencia de Autoanticuerpo Estimulante de Tiroides 90/672 del Instituto Nacional para Patrones Biológicos y Control (NIBSC; Potters Bar, Reino Unido). IgG K1-18 diluido en suero de HBD mostró actividad inhibidora de la unión de ^{125}I -TSH de 69 NIBSC 90/672 unidades/mg (la media de la actividad calculada a tres concentraciones de IgG K1-18; 30 ng/ml , 100 ng/ml y 300 ng/ml) (Tabla 2b). La actividad inhibidora de la unión de ^{125}I -TSH de Fab K1-18 (diluido en suero) calculada en el mismo experimento de 46 NIBSC 90/672 unidades/mg (actividad a 30 ng/ml , 100 ng/ml y 300 ng/ml de Fab K1-18 se usó para los cálculos) (Tabla 2b). Esto puede compararse con la actividad inhibidora de la unión con ^{125}I -TSH de IgG M22 de 131 NIBSC unidades/mg (Tabla 2b). Las actividades inhibidores de la unión con ^{125}I -TSH de diluciones de suero de donante e IgG de suero de donante en comparación con la actividad de NIBSC 90/672 se muestran en la Tabla 2c. La actividad inhibidora de la unión con ^{125}I -TSH del suero de donante fue de 0,075 NIBSC 90/672 unidades/ml (media de los valores a diluciones 40x y 20x) y de IgG de suero de donante diluido en suero de HBD fue de 0,011 unidades/mg (media de los valores a 0,1; 0,3 y $1,0 \text{ mg/ml}$) (Tabla 2c). Esto puede compararse con la actividad de IgG K1-18 (diluido en suero de HBD) medida en el mismo experimento de 63,3 unidades de NIBSC 90/672/mg (medio de los valores a 30, 100 y 300 ng/ml) y la actividad de IgG K1-70 (diluido en suero de HBD) de 114 unidades/mg (media de los valores a 10, 30 y 100 ng/ml) (Tabla 2c). En consecuencia, en este sistema de ensayo la actividad específica de IgG K1-18 fue de 5755x la de la IgG de suero de donante. De forma similar, la actividad específica de IgG K1-70 fue de 10.364x la de la IgG de suero de donante.

65

Análisis de Scatchard de la unión de K1-18 y K1-70 con tubos recubiertos de TSHR

La afinidad de unión de IgG K1-18 por el TSHR (longitud completa) fue de $6,7 \pm 1,0 \times 10^9$ l/mol (media \pm DT; n =3) mientras que la afinidad de unión de Fab K1-18 fue de $1,8 \pm 1,0 \times 10^9$ l/mol (media \pm DT; n =3). La afinidad de unión de IgG K1-18 por el TSHR260 fue de $5,9 \pm 1,0 \times 10^9$ l/mol (media \pm DT; n =3). La afinidad de unión de IgG K1-70 por el TSHR (longitud completa) fue de $3,9 \pm 0,8 \times 10^{10}$ l/mol (media \pm DT; n =3) mientras que la afinidad de unión de Fab K1-70 fue de $2,3 \pm 0,3 \times 10^{10}$ l/mol (media \pm DT; n =3). La afinidad de unión de IgG K1-70 por el TSHR260 fue de $3,1 \pm 0,4 \times 10^{10}$ (media \pm DT; n =3) y de Fab K1-70 fue de $9,3 \pm 0,4 \times 10^9$ l/mol (media \pm DT; n =3). Esto puede compararse con la afinidad de unión de TSH porcina por el TSHR (longitud completa) de $0,6 \pm 0,9 \times 10^9$ l/mol (media \pm DT; n = 5) (Nakatake *et al* 2006 mencionado anteriormente).

Inhibición de la unión de TSH-biotina con el TSHR medida por ELISA

Los efectos de IgG K1-18 en la unión de TSH-biotina con pocillos de placas de ELISA recubiertas por TSHR se estudiaron y se compararon con los efectos de otros diversos MAb. Como se muestra en la Tabla 3a, IgG K1-18 diluido en suero de HBD tenía un efecto inhibitor dependiente de la dosis en la unión de TSH-biotina con inhibición del $10,0 \pm 0,8$ % en $0,01 \mu\text{g/ml}$, esencialmente inhibición máxima de $96,2 \pm 0,2$ % a $1 \mu\text{g/ml}$ y una estabilización de inhibición máxima a concentraciones de $3 \mu\text{g/ml}$ y superiores. Esto puede compararse con el efecto inhibitor de IgG M22 (diluido en suero de HBD) DE $17,5 \pm 2,0$ % a $0,01 \mu\text{g/ml}$ y $98,3 \pm 0,0$ % a $1 \mu\text{g/ml}$ (Tabla 3a). La actividad inhibitora de la unión de TSH-biotina de IgG K1-18 a $1 \mu\text{g/ml}$ (diluido en suero de HBD) fue mayor de IgG 5C9, IgG TSMAB 1-7 e IgG 9D33 como se ilustra por los ejemplos mostrados en la Tabla 3a. Cuando se ensayó IgG K1-18 diluido en tampón de ensayo de ELISA (NaCl 50 mmol/l , Tris 10 mmol/l pH 7,8, Triton X-100 $0,1$ % v/v, BSA 1 mg/ml) los efectos inhibitoros fueron esencialmente los mismos que cuando las diluciones se realizaron en suero de HBD (Tabla 3a). Como se muestra por los ejemplos en la Tabla 3b Fab K1-18 diluido en suero de HBD o en tampón de ensayo de ELISA también fue un inhibitor eficaz de la unión de TSH-biotina en el ELISA. Los efectos inhibitoros de IgG K1-18 diluido en tampón de ensayo de ELISA con adición de MAb IgG de control (5B3 que es un MAb humano para ácido glutámico descarboxilasa) a $100 \mu\text{g/ml}$ se muestra en la Tabla 3c. Cuando se diluye en el tampón que contiene MaB de control IgG K1-18 mostró actividad de inhibición de unión de TSH-biotina similar a cuando se diluyó en tampón que contenía BSA o en suero de HBD (Tabla 3c). En consecuencia, la presencia de un MAb IgG humano no relacionado a alta concentración ($100 \mu\text{g/ml}$) no tuvo ningún efecto en la actividad inhibitora de IgG K1-18 ni IgG M22 ni IgG 5C9. La Tabla 3d muestra los efectos de K1-70 en la unión de TSH-biotina con el TSHR y estos son comparables con los efectos de K1-18 o M22 (Tablas 3a y 3b). IgG K1-70 diluido en suero de HBD tuvo un efecto inhibitor dependiente de la dosis en la unión de TSH-biotina con $13,6 \pm 1,4$ %; $74,1 \pm 0,4$ % y $97,4 \pm 0,2$ % de inhibición a $0,01 \mu\text{g/ml}$; $0,1 \mu\text{g/ml}$ y $1 \mu\text{g/ml}$, respectivamente. Fab K1-70 fue similarmente activo con inhibiciones de $18,2 \pm 0,6$ %; $88,3 \pm 0,3$ % y $96,9 \pm 0,1$ % a $0,01 \mu\text{g/ml}$; $0,1 \mu\text{g/ml}$ y $1 \mu\text{g/ml}$, respectivamente. Cuando se diluyeron preparaciones de IgG o Fab K1-70 en tampón de ensayo de ELISA las actividades inhibitoras fueron esencialmente las mismas en comparación con diluciones realizadas en suero de HBD (Tabla 3d). La capacidad de IgG K1-18 para inhibir la unión de Fab M22-POD con pocillos de placas de ELISA recubiertos con TSHR se muestra en la Tabla 4a. IgG K1-18 diluido en suero de HBD inhibió la unión de Fab M22-POD de una manera dependiente de dosis; en particular se observaron inhibiciones a $0,03 \text{ mg/ml}$, $0,3 \text{ mg/ml}$ y 3 mg/ml , respectivamente. Este efecto fue comparable al efecto inhibitor de IgG M22 (diluido en suero de HBD) de $51,0 \pm 2,4$ %, $93,2 \pm 0,3$ % y $98,0 \pm 0,2$ % a $0,03 \text{ mg/ml}$, $0,3 \text{ mg/ml}$ y 3 mg/ml , respectivamente. Fab K1-18 mostró capacidad similar para inhibir la unión de Fab M22-POD como IgG K1-18 (Tabla 4b). Como se muestra en la Tabla 4a, la capacidad de K1-18 y M22 para inhibir la unión de M22 marcado con el TSHR fue mayor que las actividades inhibitoras de 5C9, TSMAB 1-7 y 9D33. Los efectos inhibitoros de todos los MAb estudiados cuando se diluyeron en tampón de ensayo de ELISA fueron similares a los observados cuando se diluyeron en suero de HBD (Tabla 4a y b). Los efectos inhibitoros de K1-18 y la unión de Fab-POD M22 con el TSHR pueden compararse con los efectos de K1-70 (Tabla 4c). IgG K1-70 diluido en suero de HBD mostró inhibición de $34,5 \pm 3,8$ %, $91,1 \pm 0,3$ % y $97,6 \pm 0,1$ % a $0,03 \text{ mg/ml}$, $0,3 \text{ mg/ml}$ y 3 mg/ml , respectivamente. Se observaron porcentajes de inhibición similares cuando IgG K1-70 se diluyó en tampón de ensayo de ELISA (Tabla 4c). Como se ilustra en la Tabla 4c Fab K1-70 diluido en suero de HBD o en tampón de ensayo de ELISA mostró actividad inhibitora de unión de M22-POD similar a IgG K1-70.

Inhibición de la unión de IgG o Fab K1-18 marcado con ^{125}I con tubos recubiertos con TSHR

En presencia de un IgG MAb 4B4 humano de control a concentraciones de $0,01 - 100 \mu\text{g/ml}$ (diluido en suero de HBD) la unión de ^{125}I -IgG K1-18 esencialmente no se vio afectada (Tabla 5a). Esto puede compararse con los efectos de diferentes concentraciones de IgG K1-18 no marcado (diluido en suero de HBD); dosis crecientes de $0,001$; $0,01$; $0,1$ y $1,0 \mu\text{g/ml}$ provocaron inhibición de la unión de K118 marcado con ^{125}I de $11,1 \pm 4,4$ %, $22,9 \pm 2,4$ %, $69,0 \pm 0,5$ % y $91,7 \pm 0,8$ %, respectivamente. El Fab K1-18 no marcado ensayado a concentraciones de $0,001 - 100 \text{ ng/ml}$ mostró inhibiciones que variaban de $10,3 \pm 2,2$ % (a $0,03 \mu\text{g/ml}$) hasta $84,8 \pm 0,9$ % (a $100 \mu\text{g/ml}$) (Tabla 5b). IgG y Fab K1-70 (ambos ensayados en el intervalo de concentraciones de $0,001 - 100 \mu\text{g/ml}$) también inhibieron la unión de ^{125}I -IgG K1-18 de una manera dependiente de dosis hasta una inhibición esencialmente completa de $95,1 \pm 0,3$ % a $10 \mu\text{g/ml}$ de IgG K1-70 y $9,28 \pm 1,1$ % a $3 \mu\text{g/ml}$ de Fab K1-70 (Tabla 5b). Además, la unión de ^{125}I -IgG K1-18 se inhibió de una manera dependiente de dosis por IgG M22, Fab M22, IgG 5C9, IgG

TSMAB 1-7 e IgG 9D33 (Tabla 5a y 5b). Cuando se llevaron a cabo los mismos experimentos usando diversas preparaciones de MAb diluidas en tampón de ensayo de tubo recubierto los efectores inhibidores de las preparaciones respectivas fueron comparables con el efecto observado cuando se diluyeron en suero de HBD excepto en el caso de IgG 5C9 (Tabla 5a). En el caso de 5C9 diluido en tampón de ensayo la inhibición máxima a 100 µg/ml fue de $91,3 \pm 0,4$ % en comparación con $57,7 \pm 2,4$ % cuando se diluyó en suero de HDB y las inhibiciones a 0,01 µg/ml fueron de $11,7 \pm 1,8$ % y $-1,8 \pm 2,7$ %, respectivamente (Tabla 5a). La unión de ^{125}I -IgG K1-18 con tubos recubiertos con TSHR se inhibió por el suero donante de linfocitos dando como resultado una inhibición de 35,2 % y 59,3 % en diluciones en suero de 1:20 y 1:10, respectivamente (Tabla 5c). Los sueros de 20 pacientes de Graves inhibieron la unión de ^{125}I -IgG K1-18 y el efecto inhibidor fue comparable al efecto inhibidor en la unión de ^{125}I -TSH (Tabla 5c). La Tabla 5c también muestra el efecto de diluciones de suero de dos pacientes con TRAb de bloqueo (B1 y B2) y sueros de dos pacientes con TRAb estimulantes (S1 y S2) en la unión tanto de IgG I-K1-18 como de ^{125}I -TSH. El efecto de diversos MAb en la unión de ^{125}I -Fab K1-18 con los tubos recubiertos con TSHR se muestra en la Tabla 5d. Ambos, IgG K1-18 y Fab K1-18 no marcados tuvieron efecto inhibidor dependiente de la dosis en la unión de ^{125}I -Fab K1-18 y estos efectos fueron comparables a los efectos de IgG M22, Fab M22 e IgG K1-70 (Tabla 5d). IgG 5C9, IgG TSMAB 1-7 e IgG 9D33 también inhibieron la unión de ^{125}I -Fab K1-18, sin embargo, sus efectos fueron menores en comparación con preparaciones de M22, K1-18 y K1-70 (Tabla 5d).

Estimulación de la producción de AMP cíclico en células CHO que expresan el TSHR

IgG K1-18 estimuló la producción de AMP cíclico en células CHO que expresaban el TSHR de una manera dependiente de dosis como se muestra en la Tabla 6a. En tampón hipotónico, los niveles de AMP cíclico en presencia de IgG K1-18 0,1 ng/ml fueron de $1,56 \pm 0,32$ pmol/l, a 1,0 ng/ml fueron de $4,08 \pm 0,28$ pmol/l, a 10 ng/ml fueron de $31,66 \pm 5,06$ pmol/l, a 100 ng/ml fueron de $64,95 \pm 9,61$ pmol/l y a 1000 ng/ml fueron de $67,90 \pm 10,44$ pmol/l. Los niveles de AMP cíclico a diferentes concentraciones de Fab K1-18 en tampón hipotónico fueron de $1,72 \pm 0,82$ pmol/l, $9,99 \pm 3,52$ pmol/l, $53,22$ pmol/l y $66,94 \pm 6,93$ pmol/l a 1 ng/ml, 10 ng/ml, 100 ng/ml y 1000 ng/ml de Fab K1-18 Fab, respectivamente. Fab M22 Fab a 1 ng/ml en tampón hipotónico estimuló la producción de AMP cíclico de $29,80 \pm 0,97$ pmol/l y a 10 ng/ml de $57,41 \pm 5,05$ pmol/l (Tabla 6a). La Tabla 6a también muestra el efecto de IgG o Fab K1-18 en la estimulación de AMP cíclico en células CHO que expresan el TSHR ensayado en las condiciones isotónicas. Como se ilustra por los ejemplos de la Tabla 6a tanto IgG como Fab K1-18 provocaron aumento de la producción de AMP cíclico en condiciones isotónicas aunque los niveles de AMP cíclico producido fueron menores en comparación con experimentos usando condiciones hipotónicas. Se muestra en la Tabla 6b la comparación de la actividad estimulante de IgG M22 e IgG K1-18 ensayados en tampón hipotónico. A una concentración de 3 ng/ml IgG M22 estimuló $24,3 \pm 2,3$ pmol/ml de AMP cíclico mientras que IgG K1-18, $8,3 \pm 0,5$ pmol/ml. A 10 ng/ml IgG M22 e IgG K1-18 provocó estimulación de $50,3 \pm 1,6$ y $25,0 \pm 1,0$ pmol/ml de AMP cíclico respectivamente y a 100 ng/ml $64,6 \pm 1,9$ y $62,6 \pm 2,7$ pmol/ml respectivamente. La actividad estimulante de IgG y Fab K1-18 también se evaluó en relación con la actividad de la preparación de referencia de NIBSC 90/672 (Tabla 6c). La actividad estimulante de AMP cíclico calculada de IgG K1-18 fue de 155 unidades de NIBSC 90/672 unidades/mg (media de la actividad calculada a las tres concentraciones de IgG K1-18; 1 ng/ml, 3 ng/ml y 10 ng/ml) (Tabla 6c). La actividad estimulante de AMP cíclico de Fab K1-18 calculada en el mismo experimento fue de 22 unidades de NIBSC 90/672/mg (actividad a 10 ng/ml, 30 ng/ml y 100 ng/ml de Fab K1-18 se usó para los cálculos) (Tabla 6c). Esto puede compararse con la actividad estimulante de AMP cíclico de IgG M22 de 286 unidades de NIBSC/mg (Tabla 6c). Para fines comparativos las actividades estimulantes de TSH porcina, TSH humana nativa y TSH humana recombinante en tampones isotónico e hipotónicos se muestran en la Tabla 6d.

Se muestran ejemplos adicionales en la Tabla 6e con respecto a los efectos estimulantes de IgG K1-18, IgG M22 o pTSH cuando se mezclan entre sí en diferentes combinaciones. El efecto estimulante de pTSH, M22 o K1-18 parece estar potenciado cuando dos estimulantes se mezclan entre sí en comparación con el efecto del estimulador solo a las mismas concentraciones. En particular, la producción de AMP cíclico de $11,01 \pm 0,99$ pmol/ml (media \pm DT) a 0,1 ng/ml de pTSH solo y de $35,17 \pm 6,38$ pmol/ml (media \pm DT) a 1 ng/ml de IgG M22 aumentó a $47,22 \pm 3,89$ pmol/ml (media \pm DT) cuando se mezclaron entre sí pTSH 0,1 ng/ml e IgG M22 1 ng/ml. También una mezcla de 0,1 ng/ml de pTSH y 10 ng/ml de IgG K1-18 tuvo un efecto estimulante mayor que estos estimulantes por sí solos (Tabla 6e). Además, dos anticuerpos estimulantes mezclados entre sí fueron más potentes que un único anticuerpo a las mismas concentraciones. Por ejemplo, se produjeron $29,95 \pm 1,18$ pmol/ml (media \pm DT) de AMP cíclico en respuesta a 5 ng/ml de IgG K1-18, se produjeron $20,20 \pm 2,48$ pmol/ml (media \pm DT) en respuesta a 0,5 ng/ml de IgG M22 mientras que se produjeron $4,01 \pm 7,19$ pmol/ml (media \pm DT) de AMP cíclico en respuesta a 5 ng/ml de K1-18 y 0,5 ng/ml de M22 mezclados entre sí (Tabla 6e).

Los resultados de dos experimentos en los que se compararon la capacidad de la IgG suero de donante de K1-18 y K1-70 para estimular AMP cíclico con la actividad estimulante de NIBSC 91/672 se muestran en las Tablas 6f y 6g. En el experimento 1, la actividad estimulante del suero del donante fue de $4,7 \pm 0,1$ pmol/ml de AMP cíclico a una dilución 30 veces en comparación con el efecto del suero de HBD a la misma dilución de $1,7 \pm 0,4$ pmol/ml mientras que la actividad estimulante da IgG del suero de donante fue de $7,7 \pm 1,0$ pmol/ml a 30 µg/ml lo que representó una actividad relativa a NIBSC 90/672 de 0,013 unidades/mg (Tabla 6f). En el experimento 2, el suero del donante diluido 30 veces provocó estimulación de AMP cíclico hasta $9,5 \pm 0,7$ pmol/ml mientras que la IgG del suero de donante a

30 $\mu\text{g/ml}$ provocó estimulación a $15,6 \pm 0,7$ pmol/ml que representaba actividad relativa a NIBSC 90/672 de 0,014 unidades/mg (Tabla 6g). Se inhibió la actividad estimulación TSHR por IgG K1-18 por MAb humanos con actividad antagonista de TSH (K1-70 y 5C9) como se ilustra por los ejemplos mostrados en la Tabla 6h. En particular, IgG K1-18 a 10 ng/ml provocó estimulación de AMP cíclico a $50,0 \pm 3,3$ pmol/ml y ésta se redujo a $3,8 \pm 1,0$ pmol/ml en presencia de 0,1 $\mu\text{g/ml}$ de IgG K1-70 (inhibición del 92 %). En presencia de 10 ng/ml de IgG K1-18 y 0,1 $\mu\text{g/ml}$ de IgG 5C9 los niveles de AMP cíclico fueron de $4,4 \pm 1,5$ pmol/ml (inhibición el 91 %). A concentraciones mayores de IgG K1-70 e IgG 5C9 el efecto inhibitor era completo (inhibición del 100 %) (Tabla 6h). En experimentos adicionales el efecto de IgG K1-70 mezclado junto con IgG 5C9 en actividad estimulante de IgG K1-18 se estudió (Tabla 6i). Como se muestra en la Tabla 6i la estimulación de IgG K1-18 a 10 ng/ml se inhibió eficazmente por 0,1 $\mu\text{g/ml}$ de IgG 5C9 o 0,1 $\mu\text{g/ml}$ de IgG K1-70. Cuando se mezclaron IgG K1-70 e IgG 5C9 para proporcionar una concentración total final de 0,1 $\mu\text{g/ml}$ la actividad estimulante de IgG K1-18 también se inhibió eficazmente (97,3 % de inhibición). Sin embargo a concentraciones menores IgG K1-70 e IgG 5C9 cuando se mezclaron entre sí fueron inhibidores más eficaces de la actividad estimulante de IgG K1-18 que un anticuerpo solamente. Por ejemplo, a 0,001 $\mu\text{g/ml}$ IgG K1-70 e IgG 5C9 no provocaron individualmente ninguna inhibición (0 % y 1 % respectivamente) mientras que cuando se mezclaron entre sí con la misma concentración final de IgG total (es decir 0,001 $\mu\text{g/ml}$) la inhibición fue del 25,5 %.

La Tabla 6i también muestra que la concentración de AMP cíclico en presencia de IgG K1-70 (100 $\mu\text{g/ml}$) era similar a la observada en presencia de tampón de ensayo mientras que en presencia de IgG K1-5C9 (100 $\mu\text{g/ml}$) la concentración de AMP cíclico fue menor ($0,89 \pm 0,13$; $0,89 \pm 0,15$ y $0,55 \pm 0,14$, respectivamente) (media \pm DT de determinaciones por triplicado). Cuando IgG K1-70 e IgG 5C9 se mezclaron entre sí (concentración final de 100 $\mu\text{g/ml}$ de IgG total) las concentraciones de AMP cíclico no se redujeron por debajo de los niveles observados en presencia de tampón (es decir, no menores de los niveles de actividad basal o constitutiva). Para comparación se observó inhibición esencialmente completa de la actividad estimulante de IgG M22 (3 ng/ml) a 1 $\mu\text{g/ml}$ de IgG 5C9 o 1 $\mu\text{g/ml}$ de IgG K1-70 (97,1 % y 96,6 % de inhibición respectivamente) e inhibiciones de 0,1 $\mu\text{g/ml}$ de IgG 5C9 o 0,1 $\mu\text{g/ml}$ de IgG K1-70 fueron de 92,8 % y 75,5 %, respectivamente (Tabla 6j). Sin embargo, cuando 5C9 y K1-70 se mezclaron entre sí hasta una concentración final de IgG total de 0,1 $\mu\text{g/ml}$ se observó una observación una inhibición del 91,9 % (Tabla 6j). Los efectos de las mezclas de IgG K1-70 e IgG 9D33 en la actividad estimulante de IgG K1-18 se muestran en la Tabla 6k. En el caso de IgG 9D33 se observó una inhibición del 95 % a 1 $\mu\text{g/ml}$ mientras que IgG K1-70 a 0,1 $\mu\text{g/ml}$ mostró la misma inhibición (95 % de inhibición). Cuando los dos MAb de bloqueo (9D33 y K1-70) se mezclaron entre sí hasta una concentración final de IgG total de 0,1 $\mu\text{g/ml}$ se observó también inhibición del 95 % (Tabla 6k). IgG 9D33 a 10 $\mu\text{g/ml}$ fue capaz de inhibir esencialmente de forma completa la estimulación de AMP cíclico por IgG M22 (94 % de inhibición) mientras que concentraciones menores de IgG K1-70 (1 $\mu\text{g/ml}$) tuvieron un efecto similar (inhibición del 96 %) (Tabla 6l). La inhibición esencialmente completa de la actividad de M22 (inhibición del 96 %) fue evidente a 1 $\mu\text{g/ml}$ de la mezcla 9D33 y K1-70 (Tabla 6l). Esto es comparable con el efecto inhibitor de una mezcla de 9D33 y K1-70 (1 $\mu\text{g/ml}$) en la actividad estimulante de TSH (inhibición del 97 %) (Tabla 6m). Sin embargo, debería observarse que la actividad estimulante de TSH se inhibió más eficazmente por IgG K1-70 solamente (inhibición del 98 % a 1 $\mu\text{g/ml}$) que por IgG 9D33 solamente (inhibición 95 % a 100 $\mu\text{g/ml}$) (Tabla 6m). La Tabla 6n muestra el efecto del suero de donante de linfocitos y tres sueros de pacientes que contenían TRAb con actividad de bloqueo (B1-B3) en la actividad estimulante de TSHR de TSH, IgG M22 e IgG K1-18. El suero de donante inhibió las actividades estimulantes de TSH, IgG M22 e IgG K1-18 (inhibiciones del 63,8 %, 80,1 % y 79,5 %, respectivamente). Tres sueros diferentes con TRAb de bloqueo que tenían un fuerte efecto inhibitor en TSH y la estimulación de IgG M22 también inhibieron la actividad estimulante de IgG K1-18 (Tabla 6n). Los efectos inhibitorios de los diferentes sueros de pacientes en las actividades estimulantes de TSH, IgG M22 o IgG K1-18 fueron comparables.

Medición de la actividad antagonista (de bloqueo)

La incubación de células CHO que expresaban el TSHR con TSH porcina a 3 ng/ml provocó la estimulación de la producción de AMP cíclico a $62,6 \pm 3,9$ pmol/ml (Tabla 7a). En presencia de cantidades crecientes de IgG K1-70 la actividad estimulante de TSH porcina se inhibió de una manera dependiente de dosis. En particular en presencia de 0,01, 0,05, 0,1 y 1 mg/ml de IgG K1-70 los niveles de AMP cíclicos fueron $60,1 \pm 1,6$, $31,4 \pm 1,9$, $5,8 \pm 2,8$ y $2,0 \pm 0,2$ pmol/ml respectivamente lo que representa una inhibición de 4,0 %, 49,8 %, 90,7 % y 96,8 % respectivamente en relación con el efecto del MAb IgG de control (5B3) (Tabla 7a). La Tabla 7a también muestra los efectos inhibitorios de IgG 5C9 para comparación. Los efectos de Fab K1-70 en la actividad estimulante de TSH en 2 condiciones experimentales diferentes se muestran en la Tabla 7b. En presencia de Fab K1-70 a 1 $\mu\text{g/ml}$ la actividad estimulante de TSH porcina se inhibió esencialmente de forma completa en ambas condiciones (es decir en medio isotónico y en medio hipotónico). El efecto de Fab K1-70 dependió de la dosis en el intervalo de concentraciones estudiado (0,003 $\mu\text{g/ml}$ a 3 $\mu\text{g/ml}$) mostrando tan poco como 0,5 $\mu\text{g/ml}$ de Fab una capacidad para reducir la estimulación de TSH porcina hasta $28,9 \pm 1,1$ pmol/ml de AMP cíclico desde $39,5 \pm 1,9$ pmol/ml en presencia de 1 $\mu\text{g/ml}$ de MAb de control (condiciones isotónicas) (Tabla 7b). La potencia de Fab K1-70 en condiciones hipotónicas fue similar a la observada en condiciones isotónicas (Tabla 7b).

Concentraciones crecientes de IgG K1-70 (intervalo de 0,001 – 100 $\mu\text{g/ml}$) no mostraron ninguna capacidad para

inhibir la actividad constitutiva (basal) de TSHR como se ilustra por los ejemplos mostrados en la Tabla 7c. Esto contrasta con los efectos de IgG 5C9 como se muestra en la Tabla 7c para comparación. El anticuerpo de ratón de bloqueo 9D33 ensayado en el mismo experimento no tuvo ninguna capacidad para afectar a la actividad constitutiva de TSHR (Tabla 7c) y se observó algo de actividad estimulante débil (aproximadamente 2 x la basal) con altas concentraciones de 9D33.

La actividad de bloqueo de IgG K1-70 se comparó con la actividad de bloqueo del suero de donante de linfocitos como se muestra en la Tabla 7d. Los niveles de AMP cíclico después de incubación con TSH porcina a 1 ng/ml fueron de $61,7 \pm 4,3$ pmol/ml y los niveles descendieron en presencia de suero donante (dilución 10x) hasta $14,9 \pm 1,2$ pmol/ml (inhibición del 75,9 %) y hasta $51,6 \pm 2,6$ pmol/ml con suero diluido 20 veces (inhibición del 16,4 %). El suero del donante a diluciones mayores no tuvo un efecto detectable en la actividad estimulante de la TSH. El efecto del suero de donante puede compararse con el efecto de IgG K1-70 que a 0,1 µg/ml tuvo efecto similar al suero diluido 10 veces (inhibición del 67,6 % y 75,9 % respectivamente) (Tabla 7d). IgG K1-70 tuvo la capacidad para bloquear la actividad estimulante de AMP cíclico de TSH porcina, TSH humana y TSH recombinante humana como se ilustra por los ejemplos en la Tabla 7e. IgG K1-70 a 0,1 µg/ml fue un bloqueador eficaz de la actividad estimulante de las tres preparaciones de TSH ensayadas en condiciones de medio hipotónico. La actividad de bloqueo de IgG K1-70 fue menos eficaz en condiciones de medio isotónico (Tabla 7e). Los efectos de IgG K1-70 en la estimulación mediada por IgG M22 de la producción de AMP cíclico en células CHO que expresaban el TSHR se muestran en la Tabla 7f. Los niveles de AMP cíclico observados a 3 ng/ml de IgG M22 fueron de $33,1 \pm 1,8$ pmol/l y éstos se redujeron en presencia de IgG K1-70 por ejemplo, $4,3 \pm 2,4$ pmol/l a 0,1 µg/ml (inhibición del 87 %) (Tabla 7f). Los efectos de IgG K1-70 fueron comparables a los efectos de IgG 5C9 ensayados en el mismo experimento (Tabla 7f). Además, IgG K1-70 mostró la capacidad para bloquear la actividad estimulante de AMP cíclico de TRAb en sueros de pacientes con enfermedad de Graves y los ejemplos en las Tablas 7g – 7k ilustran que concentraciones de 100 µg/ml de IgG K1-70 provocaron la inhibición completa de la actividad estimulante en los 15 sueros estudiados (la inhibición de T1-T15 varió de 90,8 % a 98,7 %). Los efectos de IgG K1-70 en las actividades estimulantes de sueros T1-T15 fueron comparables a los efectos de IgG 5C9 e IgG 9D33 ensayados en el mismo experimento excepto por un suero, es decir T11 (Tabla 7j). La actividad estimulante del suero T11 solamente se inhibió débilmente por 100 µg/ml de IgG 5C9 (inhibición del 8,5 %) mientras que en presencia de 100 µg/ml de K1-70 la inhibición fue esencialmente completa (inhibición del 95,1 %) (Tabla 7j). También se observó inhibición eficaz (87,1 %) de T11 con 9D33 100 µg/ml (Tabla 7j). El efecto de diferentes MAb de bloqueo a diferentes concentraciones (0,01 – 100 µg/ml) en las actividades estimulantes de tres sueros de Graves (incluyendo suero T11) se muestra en más detalle en las Tablas 7l-7n. Estos experimentos mostraron que IgG K1-70, IgG 5C9 e IgG 9D33 son inhibidores eficaces a concentraciones tan bajas como 0,1 µg/ml excepto en el caso del suero T11 en el que IgG 5C9 tuvo poco o ningún efecto (Tabla 7n). La Tabla 7o muestra la inhibición de la estimulación de TSH porcina por IgG K1-70 e IgG 5C9 cuando los dos MAb de bloqueo se mezclaron entre sí en un experimento. Estos experimentos mostraron que los dos MAb de bloqueo fueron eficaces en combinación en su capacidad para inhibir la estimulación de TSH de la producción de AMP cíclico. Además, se ensayó el efecto de IgG K1-70 e IgG 5C9 mezclados entre sí en la actividad constitutiva del TSHR. Como se muestra en las Tablas 7c y 7p IgG K1-70 no tuvo ningún efecto en la actividad basal del TSHR en contraste con IgG 5C9. Cuando se mezclaron entre sí IgG K1-70 y 5C9 para proporcionar una concentración de IgG final de 2 µg/ml los niveles de AMP cíclico descendieron ligeramente de $58,04 \pm 8,52$ pmol/ml (media \pm DT, n = 3), en presencia de tampón solamente hasta $55,28 \pm 6,17$ pmol/ml (media \pm DT, n = 3), es decir inhibición del 4,8 % (Tabla 7p). Sin embargo, cuando se mezcló IgG 5C9 con IgG 5B3 (anticuerpo de control para ácido glutámico descarboxilasa) para proporcionar una concentración de IgG final de 2 µg/ml se inhibió la actividad constitutiva del TSHR hasta el 52,1 % de los valores basales (nivel de AMP cíclico $27,78 \pm 2,96$ pmol/ml; media \pm DT, n = 3) (Tabla 7p). Estos experimentos muestran que en presencia de IgG K1-70, IgG 5C9 es incapaz de actuar como un inhibidor eficaz de la actividad constitutiva de TSHR.

Efecto de las mutaciones de TSHR en la actividad estimulante de K1-18

El efecto de IgG K1-18 en la estimulación de la producción de AMP cíclico se ensayó usando células CHO que expresaban TSHR con las siguientes mutaciones de aminoácidos: Lys58Ala, Arg80Ala, Tyr82Ala, Glu107Ala, Arg109Ala, Lys129Ala, Phe130Ala, Phe134Ala, Lys183Ala, Asp203Ala, Arg255Asp (Tabla 8a-k y resumido en la Tabla 10). La mutación de los aminoácidos de TSHR Lys58, Arg80, Tyr82, Glu107, Arg109, Lys129, Phe130, Phe134 y Asp203 a alanina no tuvo ningún efecto en la capacidad de IgG K1-18 para estimular la producción de AMP cíclico. La capacidad de IgG K1-18 para estimular la producción de AMP cíclico se perdió completamente con células CHO que expresaban TSHR que contenía mutaciones Lys183Ala y Arg255Asp y las concentraciones de AMP cíclico en respuesta a IgG K1-18 fueron similares a las concentraciones observadas en presencia del tampón de AMP cíclico solamente (Tabla 8i y 8k). Sin embargo, se conservó la sensibilidad a TSH con las mutaciones Lys183Ala y Arg255Asp. En una serie adicional de experimentos los efectos de las mutaciones de diversos aminoácidos del TSHR en la actividad estimulante de AMP cíclico de IgG K1-18 se ensayaron adicionalmente (Tablas 14a-14v y resumido en la Tabla 16). Las mutaciones (a alanina) de los restos de TSHR Asp43, Ile60, Glu61, Thr104, His105, Lys250, Arg255, Thr257, Asp276 y Ser281 no tuvieron ningún efecto en la capacidad de IgG K1-18 para estimular la producción de AMP cíclico. Las mutaciones de TSHR Asp151, Glu178, Lys209, Gln235, Glu251 a alanina provocaron una reducción pequeña de la actividad estimulante de IgG K1-18, sin embargo, estas mutaciones también afectaron a la actividad estimulante de TSH, por lo tanto, las interacciones con estos restos de TSHR no se

consideraron específicos para K1-18. Por el contrario, las mutaciones de TSHR Glu157Ala, Lys183Asp, Tyr185Ala y Asp232Ala dieron como resultado pérdida de la capacidad de IgG K1-18 para estimular el AMP cíclico (menos del 20 % de la actividad de tipo silvestre; Tablas 14g, 14i, 14j, 14m). Además, la capacidad de IgG K1-18 para estimular el TSHR mutado en Tyr206, Trp258 y Arg274 a alanina se redujo a aproximadamente 40-60 % de la actividad de tipo silvestre (Tablas 14k, 14s, 14t).

Efecto de las mutaciones de TSHR en la actividad de bloqueo K1-70

El efecto de IgG K1-70 en la estimulación por TSH de la producción de AMP cíclico se ensayó en células CHO que expresaban TSHR que contiene mutaciones de los siguientes aminoácidos a alanina: Lys58, Arg80, Tyr82, Glu107, Arg109, Lys129, Phe130, Phe134, Lys183 y Asp203. Además del efecto de TSHR se ensayó la mutación Arg255Asp. (Tabla 9 a-k y resumido en la Tabla 10). La mutación de los aminoácidos de TSHR Arg80, Glu107, Lys129, Phe130, Phe134 y Asp203 a alanina no tuvo ningún efecto en la capacidad de IgG K1-70 para inhibir la producción de AMP cíclico estimulada por TSH. La capacidad de K1-70 para inhibir la producción de AMP cíclico estimulada por TSH se redujo por la mutación de Lys58, Tyr82, Arg109 y Lys183 de TSHR a alanina. La mutación Lys58Ala tuvo el mayor efecto (Tabla 9a) seguido de Arg109Ala, Lys183Ala y Tyr82Ala que tuvo el menor efecto (Tablas 9e, 9i, 9c respectivamente y Tabla 10). Sin embargo, ninguna de las mutaciones estudiadas provocó una pérdida completa de la capacidad de IgG K1-70 para bloquear la producción de AMP cíclico estimulada por TSH. En una serie adicional de experimentos los efectos de las mutaciones de diversos aminoácidos del TSHR en la actividad de bloqueo de IgG K1-70 se ensayó adicionalmente (Tablas 15a-15v y resumido en la Tabla 16). La capacidad de K1-70 para inhibir la producción de AMP cíclico estimulada por TSHR en células CHO transfectadas con TSHR no se vio afectada por las mutaciones de TSHR Asp43, Thr104, His105, Asp151, Tyr185, Tyr206, Lys209, Asp232, Gln235, Glu251, Arg255, Thr257, Trp258, y Arg274 a alanina ni las mutaciones Asp160Lys y Lys183Asp. Las mutaciones (a alanina) en Glu178 y Ser281 de TSHR tuvieron un efecto pequeño en la capacidad de IgG K1-70 para bloquear la actividad estimulante de TSH (80-100 % de la actividad de tipo silvestre; Tablas 15h y 15v). Las mutaciones de TSHR Glu61, Lys250 y Asp276 a alanina provocaron algún efecto (60-80 % del tipo silvestre) en la actividad de bloqueo IgG K1-70 (Tablas 15c, 15o, 15u) mientras que la mutación de TSHR Ile60Ala provocó una reducción de la actividad de bloqueo de IgG K1-70 al 40-60 % de la actividad de tipo silvestre (Tabla 15b).

Inhibición de la unión de IgG o Fab K1-70 marcado con ¹²⁵I con el TSHR

La unión de ¹²⁵I-IgG K1-70 con tubos recubiertos con TSHR se inhibió de una manera dependiente de dosis por IgG K1-70 no marcado y a concentraciones de 0,003 µg/ml, 0,03 µg/ml, 0,3 µg/ml y 3 µg/ml (diluido en suero de HBD). Las inhibiciones fueron de 10,2 ± 2,4 %; 36,5 ± 1,9 %; 84,4 ± 0,8 % y 92,0 ± 0,5 %, respectivamente (Tabla 11 a). Como se muestra en la Tabla 11a la unión de ¹²⁵I-IgG K1-70 se inhibió de una manera muy similar a IgG M22 (diluido en suero de HBD); inhibiciones del 6,2 % (media de determinaciones por duplicado); 33,8 ± 0,9 %; 84,6 ± 1,1 % y 91,6 ± 0,5 % a concentraciones de 0,003 µg/ml, 0,03 µg/ml, 0,3 µg/ml y 3 µg/ml. Fab M22 mostró una mayor potencia para inhibir la unión de ¹²⁵I-IgG K1-70 a concentraciones menores con las inhibiciones de 16,7 ± 6,0 %; 60,2 ± 1,8 %; 89,9 ± 0,1 % y 92,0 ± 0,3 % a concentraciones de 0,003 µg/ml, 0,03 µg/ml, 0,3 µg/ml y 3 µg/ml (en suero de HBD) (Tabla 11a). Además, IgG y Fab K1-18 inhibieron la unión de ¹²⁵I-IgG K1-70 con el TSHR de una manera dependiente de dosis (Tabla 11b). Las diluciones de IgG K1-18 a 0,03 µg/ml, 0,3 µg/ml y 3 µg/ml (en suero de HBD) mostraron una inhibición del 20,0 ± 1,9 %, 73,9 ± 0,6 % y 91,0 ± 0,3 % respectivamente y Fab K1-18 a 0,03 µg/ml, 0,3 µg/ml y 3 µg/ml (en suero de HBD) mostró una inhibición del 10,2 ± 2,1 %, 60,9 ± 1,1 % y 80,5 ± 0,6 % respectivamente (Tabla 11b). Por el contrario, se requirieron mayores concentraciones de IgG 5C9 para inhibir la unión de ¹²⁵I-IgG K1-70; fue necesario 1 µg/ml para inhibición de 15,4 ± 3,4 % y 100 µg/ml mostraron inhibición de 68,5 ± 0,7 % (Tabla 11a). Las Tablas 11a y 11b también muestran los efectos de diversos MAb humanos en la unión de ¹²⁵I-IgG K1-70 en tampón de ensayo. Los efectos son más fuertes cuando se realizan diluciones en tampón de ensayo en comparación con sueros de HBD. Los efectos de diferentes anticuerpos monoclonales de ratón para el TSHR con la actividad estimulante de TSHR (TSMAB 1-7) y con actividad de bloqueo de TSHR (9D33) en la unión de ¹²⁵I-IgG K1-70 con el TSHR se muestran en la Tabla 11c. Todos los TSMAB ensayados tuvieron la capacidad para inhibir la unión de ¹²⁵I-IgG K1-70 y concentraciones de 100 µg/ml (en suero de HBD) provocaron una inhibición que varió de 33,5 ± 3,7 % (TSMAB 3) a 59,6 ± 0,6 % (TSMAB 5) (Tabla 11c). IgG 9D33 a 100 µg/ml (en suero de HBD) mostró inhibición de 51,1 ± 1,7 % (Tabla 11c). Cuando estos MAB se diluyeron en tampón de ensayo los % de inhibición fueron ligeramente mayores en comparación con sueros de HBD en algunos casos y ligeramente menores en otros (Tabla 11c). Experimentos adicionales mostraron que la unión de ¹²⁵I-Fab K1-70 con el TSHR también se inhibía eficazmente por IgG K1-18, Fab K1-18, IgG M22, Fab M22, IgG K1-70, Fab K1-70, y TSMAB de ratón de una manera dependiente de dosis (Tabla 11d). Los sueros de pacientes de Graves (n=20) que contenían autoanticuerpos de TSHR con actividad de inhibición de la unión de ¹²⁵I-TSH en el intervalo de 15,9 % a 80,0 % (en el ensayo de tubo recubierto con TSHR) también mostraron la capacidad para inhibir la unión de ¹²⁵I-IgG o Fab K1-70 con el TSHR (intervalo de 19,2 % a 77,6 % y 15,9 % a 72,8 %, respectivamente) (Tabla 11e). El % de inhibición para los tres ligandos marcados ensayados fue comparable en el caso de cada suero (Tabla 11e). Ninguno de los sueros de HBD (n=10) tuvo efecto en la unión con TSH marcado con ¹²⁵I, IgG o Fab K1-70 (Tabla 11e). La Tabla 11e muestra ejemplos de experimentos usando dos sueros con actividad estimulante de TSHR (S1 y S2) y dos sueros con actividad de bloqueo de TSHR (B1 y B2). Los sueros con uno de los tipos de actividad inhibieron la unión de IgG o Fab K1-70, TSH marcado con ¹²⁵I de una manera dependiente de dosis y el grado de inhibición de la unión de

los diferentes ligandos fue comparable para cada suero (Tabla 11e).

Cinética de la unión de K1-18 y K1-70 con el TSHR

5 La unión de IgG y Fab K1-70 marcado con ^{125}I con tubos recubiertos con TSHR (de longitud completa) a temperatura ambiente alcanzó un máximo después de 180 min (45,5 % y 37,1 % de unión respectivamente). Se produjo 50 % de la unión máxima después de aproximadamente 35 min (Figura 1a). La unión IgG K1-70 marcado con ^{125}I con tubos recubiertos con TSHR260 alcanzó el 36,2 % a 180 min y se observó 50 % de la unión máxima después de 60 min de incubación (Figura 1b). El ciclo temporal de la unión de Fab K1-70 marcado con ^{125}I con el TSHR260 fue similar al observado para IgG K1-70 con la unión máxima después de 60 min de incubación de 37,3 % y 50 % de unión máxima después de aproximadamente 60 min (Figura 1c). La adición de IgG o Fab K1-70, IgG o Fab K1-19, IgG M22 no marcados (todos a 1 mg/ml), TSH porcino (100 mU/ml) o tampón de ensayo a ^{125}I -IgG K1-70 o ^{125}I -Fab K1-70 unido con tubos recubiertos con TSHR (longitud completa) no dio como resultado asociación detectable incluso después de 180 min de incubación (Figura 1d, 1e y 1f). Sin embargo, después de la adición de Fab M22 no marcado (1 mg/ml) a ^{125}I -IgG K1-70 o ^{125}I -Fab K1-70 unido con tubos recubiertos de TSHR 41,2 % y 27,9 % respectivamente de los recuentos unidos se disociaron después de 180 min de incubación (Figura 1d y 1f). El efecto de disociación de diversos ligandos no marcados en IgG K1-70 marcado con ^{125}I unido con TSHR260 se muestra en la Figura 1g. TSH porcino, IgG M22 e IgG K1-18 no tuvieron ningún efecto mientras que Fab M22 y Fab K1-70 provocaron que aproximadamente el 30 % de IgG K1-70 marcado con ^{125}I unido se disociara de TSHR260 después de 30 min de incubación y a continuación la disociación no aumentó más hasta 180 min (Figura 1g). Fab K1-18 tuvo efecto similar como se muestra en la Figura 1h. La unión de ^{125}I -Fab K1-70 con tubos recubiertos con TSHR260 no se disoció por incubación con IgG K1-70, IgG K1-18, IgG M22 no marcados (todos a 1 mg/ml), TSH porcino (100 mU/ml) o tampón de ensayo. La incubación con Fab M22 o Fab K1-70 no marcado (1 mg/ml) provocó disociación de la unión de ^{125}I -Fab K1-70 con TSHR260 (58,9 % y 62 % respectivamente) (Figura 1i). La unión de IgG K1-18 marcado con ^{125}I con tubos recubiertos con TSHR a temperatura ambiente alcanzó un máximo después de 180 min de 32,7 % en el caso de tubos recubiertos con el TSHR de longitud completa y 23,3 % en el caso de tubos recubiertos con TSHR260 (Figura 1j). Se observó 50 % de unión máxima después de aprox. 45 min en el caso de TSHR de longitud completa y después de aprox. 50 min en el caso de TSHR260 (Figura 1j). IgG K1-18 marcado con ^{125}I unido con tubos de TSHR de longitud completa no se disoció en un pequeño grado por incubación con TSHR porcina no marcada mientras que la incubación con IgG K1-18, IgG M22, IgG K1-70, Fab K1-18 y Fab K1-70 no marcados tuvo un efecto ligeramente mayor (aprox. 25 % de disociación después de 180 min) (Figura 1k). Por el contrario, Fab M22 provocó un 29 % de disociación de ^{125}I -IgG K1-18 unido con TSHR de longitud completa después de 60 min de incubación que aumentaba al 43 % de disociación después de 180 min de incubación (34,5 % de ^{125}I -IgG K1-18 unido en ausencia de Fab M22 en comparación con 24,5 % y 19,8 % después de 60 y 180 min de incubación con Fab M22 respectivamente) (Figura 1k). En el caso de IgG K1-18 marcado con ^{125}I unido con tubos recubiertos con TSHR260 la incubación con TSH porcino no tuvo ningún efecto de disociación (Figura 1l). Por el contrario, la incubación con Fab M22, Fab K1-70 y Fab K1-18 no marcado provocó que ^{125}I -IgG K1-18 unido se disociara de TSHR260. En presencia de Fab M22 y Fab K1-70 la disociación fue rápida (aproximadamente 50 % después de 30 min de incubación) mientras que la incubación con Fab K1-18 provocó 50 % de disociación después de 90 min (Figura 1l). IgG M22, IgG K1-70 e IgG K1-18 tuvieron menor capacidad para disociar ^{125}I -IgG K1-18 de TSHR260 con aproximadamente 30 % de disociación observada después de 180 min de incubación (Figura 1l). Una serie de experimentos separada mostró que TSH porcina marcada con ^{125}I no fue capaz de unirse con tubos recubiertos con TSHR260. La unión de ^{125}I -TSH con tubos recubiertos con el TSHR de longitud completa se ha descrito anteriormente (Nakatake *et al* 2006 mencionado anteriormente).

Efectos de IgG K1-18 o K1-70 en un ELISA basado en TSHR260-AP

La capacidad de IgG K1-18 para formar un "puente" entre el TSHR de longitud completa inmovilizado en pocillos de placas de ELISA y TSHR260-AP en la fase líquida se ilustra por los ejemplos mostrados en la Tabla 12a. Los valores de DO_{405} nm aumentaron de una manera dependiente de la dosis con concentraciones crecientes de IgG K1-18 (diluido en suero de HBD). En particular, los valores de DO_{405} nm fueron de 0,013, 0,191, 0,511, 0,660 y 0,706 a 0,005, 0,05, 0,5, 10 y 100 $\mu\text{g/ml}$ de IgG K1-18 respectivamente en comparación con DO_{405} nm de -0,002 en presencia de suero de HBD solo. IgG K1-70 (diluido en sueros de HBD) también se unió bien en el ELISA de enlace y mostró valores de DO_{405} nm de 0,045, 0,290, 0,661, 0,738 y 0,794 a concentraciones de K1-70 IgG de 0,005, 0,05, 0,5, 10 y 100 $\mu\text{g/ml}$ (Tabla 12a). Los efectos de IgG K1-18 y K1-70 pueden compararse con la capacidad de IgG M22 para unirse con preparaciones de TSHR260-AP como se muestra en la Tabla 12a. En el ensayo, dosis crecientes de IgG M22 (que variaban de 0,005 $\mu\text{g/ml}$ a 10 $\mu\text{g/ml}$ diluido en sueros de HBD) se unieron con cantidades crecientes de los TSHR variando los valores de DO_{405} nm entre 0,045 y 0,796. Cuando se realizaron diluciones de MAb en tampón de ensayo de ELISA en lugar de sueros de HBD, las absorbancias a 450 nm fueron mayores particularmente en el caso de 5C9 (Tabla 12a). El principio del ELISA de "tipo puente" en el que IgG divalente se une con dos moléculas del TSHR se ha validado adicionalmente por los resultados de los experimentos mostrados en la Tabla 12b. Los IgG intactos de MAb humanos para el TSHR (M22, 5C9, K1-18 y K1-70) mostraron unión dependiente de dosis en el ELISA mientras que los fragmentos Fab monovalentes de los mismos MAb mostraron poca o ninguna respuesta (Tabla 12b). Los TSMAB 1-7 de ratón también se unieron bien en el ELISA de TSHR260-AP como se ilustra por los ejemplos en la Tabla 12c. La señal de DO_{405} nm varió de 0,103 a 0,561 a concentraciones de 10 $\mu\text{g/ml}$ de TSMAB 1-7 (Tabla 12c). El MAB 9D33 de bloque de TSHR de ratón también se

unión en este sistema de ensayo con una señal de DO_{405} nm de 0,481 a 10 μ g/ml (Tabla 12d). Los sueros de pacientes que contenían TRAb con actividad estimulante, es decir, sueros que mostraban una capacidad para estimular la actividad de AMP cíclico en células CHO que expresaban el TSHR reaccionaron bien en el ELISA de TSHR260-AP. La Tabla 12e muestra ejemplos de 6 sueros diferentes ensayados a diferentes diluciones y la señal de DO_{405} nm varió de 0,407 a 0,924 a diluciones 1/5 en sueros de HBD. Además los sueros de pacientes con autoanticuerpos de TSHR de tipo bloqueo se unieron bien en el ELISA de TSHR260-AP como se ilustra por los ejemplos en la Tabla 12f variando la señal de DO_{405} nm de 0,323 a 0,896 a diluciones 1/10 en sueros de HBD. La Tabla 12g muestra más ejemplos de unión de sueros de pacientes en el ELISA de TSHR260-AP. Se calcularon las concentraciones de TRAb en el ELISA de TSHR260-AP a partir de una curva de calibración preparada a partir de la preparación de referencia de NIBSC 90/672 y se comparó con concentraciones de TRAb (expresadas como un NIBSC U/L) medidas en los mismos sueros usando un ensayo de tubos recubiertos con TSHR. Hubo en general un buen acuerdo e las mediciones de TRAb realizadas usando el ELISA de TSHR260-AP y mediante inhibición de la unión de TSH con TSHR de longitud completa (ensayo de tubo recubierto) ($r=0,913$, $n=57$) (Figura 2a). La Tabla 12h muestra que los TRAb de suero del paciente tienen la capacidad para inhibir la unión de Fab M22 marcado con peroxidasa con TSHR260 que recubre pocillos de placas de ELISA. La comparación de la medición de TRAb en un ensayo basado en la inhibición de la unión de Fab M22 con TSHR de longitud completa se correlacionó bien con resultados en el ensayo basado en la inhibición de la unión de Fab M22 con TSHR260 ($r=0,761$; $n=56$) (Figura 2b). Otros datos de comparación se muestran en las Figuras 2c y 2d. Se ensayó el efecto de la mutación de TSHR R255D en la unión de anticuerpos en el ELISA de TSHR260-AP. En estos experimentos se usaron preparaciones de longitud completa de TSHR que contenía la mutación R255D para recubrir los pocillos de placas y el ELISA se llevó a cabo usando el protocolo convencional descrito anteriormente. Como se muestra en la Tabla 12i la unión de IgG K1-70 o IgG 9D33 se vio afectada solamente de forma ligera por la mutación de TSHR R255D. Por el contrario, la unión de IgG M22 se vio afectada notablemente por la mutación de TSHR R255D reduciéndose la señal de DO a todas las concentraciones estudiadas (Tabla 12i). La mutación de TSHR R255D tuvo poco efecto en concentraciones superiores de IgG K1-18 pero concentraciones menores (0,1 μ g/ml e inferiores) eran mucho menos eficaces en el ensayo usando el receptor mutado (Tabla 12i). La Tabla 12j también muestra que la señal de DO 405 nm con 10 sueros de Graves (no seleccionados para actividad estimulante de bloqueo de TSHR) se redujo cuando se usaron placas recubiertas con TSHR R255D en comparación con TSHR de tipo silvestre. En el grado de la reducción de señal varió con diferentes sueros (Tabla 12j). Los sueros de bloqueo de TSHR del paciente se unieron bien en el ELISA de TSHR260-AP (Tabla 12f) y la unión de los mismos sueros con TSHR R255D se muestra en la Tabla 12k. Los valores de señal de DO_{405} nm en experimentos con TSHR de tipo silvestre y TSHR mutado en R255D son similares y en consecuencia el efecto de la mutación de TSHR R255D en la unión de los sueros de bloqueo no parece evidente en este sistema de ensayo. El efecto de la mutación de R255D en la unión de sueros de bloqueo del paciente en el ELISA de TSHR260-AP puede compararse con el efecto de la misma mutación en la unión de sueros del paciente con actividad estimulante del tiroides. La Tabla 12l muestra la unión de seis sueros estimulantes (los sueros S1-S6 son los mismos que en la Tabla 12e) con TSHR R255D. En el caso de los seis sueros de los valores de DO_{405} nm fueron menores en los ensayos con TSHR R255D en comparación con TSHR de tipo silvestre. El grado de la reducción de señal varió; en el caso de los sueros S4, S5 y S6 (diluidos 1:5 en suero agrupado de HBD) la señal descendió de 0,646, 0,407 y 0,531 en los experimentos con el TSHR de tipo silvestre a 0,193, 0,133 y 0,342 en los experimentos con TSHR R255D, respectivamente (Tabla 12l). La reducción de los valores de DO_{405} nm en el caso de sueros con altos niveles de TRAb (sueros S1-S3 en la Tabla 12e y 12l) fue claramente evidente a diluciones de suero mayores. Por ejemplo, la señal de DO_{405} nm en el caso de sueros S1, S2 y S3 (diluidos 1:20 en grupo de HBD) de 0,583, 0,407 y 0,453 en los experimentos con el TSHR de tipo silvestre se redujeron claramente a 0,193, 0,117 y 0,210 en los experimentos con TSHR R255D, respectivamente. Los ejemplos mostrados en las Tablas 12k y 12l sugieren que los sueros con actividades estimulantes de TSHR pueden diferenciarse de los sueros con actividades de bloqueo de TSHR en algunos casos al menos basados en las diferencias en la unión con el TSHR que contiene la mutación R255D. La unión de sueros de pacientes con actividades estimulantes tiende a verse afectada por la mutación mientras que la unión de sueros de pacientes con actividades de bloqueo tiende a no estarlo.

Estabilidad frente a temperatura de diferentes preparaciones de TSHR

En los experimentos de estabilidad frente a temperatura los valores de DO_{450} nm de la unión de Fab M22-peroxidasa con el TSHR de longitud completa en el ELISA fueron de 0,748, 0,268 y 0,126 respectivamente para (a) preparaciones almacenadas a -80 °C (no tratadas), (b) incubadas durante 24 horas a temperatura ambiente seguido de devolución a -80 °C y (c) incubadas durante 48 horas a temperatura ambiente seguido de devolución a -80 °C, respectivamente. En consecuencia las preparaciones de TSHR de longitud completa almacenadas a temperatura ambiente durante 48 a 24 horas mostraron respectivamente solamente 7 % y 15 % de actividad en relación con preparaciones no tratadas. Los valores de DO_{450} nm de unión de Fab M22-peroxidasa fueron de 2,293 para TSHR260 no tratado y 1,836 y 1,676 para TSHR260 almacenado a temperatura ambiente durante 24 y 48 horas respectivamente. La actividad de TSHR260 almacenado a temperatura ambiente durante 24 a 48 horas en relación con preparaciones no tratadas fue del 80 % y 73 % respectivamente. Se observaron resultados similares en el caso de TSHR260-AP con DO_{450} nm de 2,106 y 1,983 para muestras almacenadas a temperatura ambiente durante 24 y 48 horas respectivamente en comparación con 2,395 para muestras no tratadas. Esto representó el 88 % y 83 % de actividad de unión después de 24 y 48 horas de almacenamiento a temperatura ambiente en relación con TSHR260-AP no tratado. En los experimentos con TSHR LRD C-CAP no tratado la DO_{450} nm fue de 1,826 y después de 24 y

48 horas de almacenamiento a temperatura ambiente 1,158 y 1,155, respectivamente. TSHR LRD C-CAP mostró 63 % de actividad en relación con preparaciones no tratadas después de 24 y 48 horas de almacenamiento a temperatura ambiente. Los experimentos anteriormente descritos mostraron que la capacidad para unirse con M22 de TSHR260, TSHR260-AP y TSHR LRD C-CAP después de tratamiento a temperatura ambiente fue mayor que las preparaciones de TSHR de longitud completa. Esto indica que TSHR260, TSHR260-AP y TSHR LRD C-CAP son más estables a temperatura ambiente en comparación con TSHR de longitud completa.

Secuencias de región variable

El análisis de secuencia de los genes que codificaban K1-18 indicó que los genes de región V HC fueron de la familia de VH5-51*01, los genes D de la familia D3-16*02 (o D3-16* 01) y los genes JH de la familia J3*02. En el caso del LC, los genes de región V fueron de la familia V3-20*01 y los genes de región J fueron de la línea germinal de JK-1*01. Las secuencias de nucleótidos y aminoácidos de HC se muestran en la Figura 3 (SEC ID N° 1-18) y las secuencias de nucleótidos y aminoácidos de LC se muestran en la Figura 4 (SEC ID N° 19-36). Hay mutaciones somáticas en la secuencia génica de HC en comparación con las secuencias de línea germinal; en particular una mutación silenciosa y una mutación de reemplazo en CDR 1, 1 mutación silenciosa y 3 de reemplazo en CDR 2, 3 mutaciones de reemplazo en FRW3 y 1 mutación silenciosa y 1 de reemplazo en CDR 3. La relación de mutación de reemplazo/silenciosa (R/S) para las CDR es de 2,7, sin embargo, además de las mutaciones hay una inserción de 8 pares de bases de longitud en la CDR 3. La CDR1 de HC (SEC ID N° 6 y 16) es de 5 aminoácidos de longitud, la CDR 2 (SEC ID N° 7 y 17) es de 17 aminoácidos de longitud y la CDR 3 (SEC ID N° 8 y 18) es de 13 aminoácidos de longitud (Figuras 3b y 3d, respectivamente). En la secuencia de LC hay: 2 mutaciones de reemplazo en CDR1, 1 mutación silenciosa en FWR2 y 3 mutaciones de reemplazo en CDR 3 con la relación de mutación de R/S general de 5,0 (FWR y CDR). La CDR 1 de LC (SEC ID N° 24 y 34) está compuesta de 12 aminoácidos, la CDR 2 (SEC ID N° 25 y 35) de 7 aminoácidos y la CDR 3 (SEC ID N° 26 y 36) de 9 aminoácidos (Figuras 4b y 4d, respectivamente). La región V de HC de K1-70 es de la línea germinal VH5-51*01, los genes D de la familia D1-7*01 y los genes JH de la familia J4*02. Los genes de LC son de la línea germinal LV1-51*01 combinada con genes JL de la LJ7*01. Las secuencias de nucleótidos y aminoácidos de HC se muestran en la Figura 5 (SEC ID N° 37-54), las secuencias de nucleótidos y aminoácidos de LC preferidas se muestran en las Figuras 6c y 6d (SEC ID N° 63-72). En la secuencia de HC de K1-70 hay tres puntuaciones de reemplazo en FWR1, 3 mutaciones de reemplazo den CDR1, 1 mutación de reemplazo en FWR2, 2 mutaciones silenciosas en CDR 2, 4 mutaciones de reemplazo en FWR3 y 1 mutación de reemplazo en FWR4. La relación general de mutación R/S (FWR y CDR) es de 6,0. Además hay 2 inserciones en la CDR 3; un inserción de 5 pares de bases en el punto de unión entre los genes V y D y una inserción de 12 pares de bases en el punto de unión entre los genes D y J (Figura 5b y 5d; SEC ID N° 41 y 51)). La CDR 1 de HC (SEC ID N° 42 y 52) es de 5 aminoácidos de longitud, la CDR 2 (SEC ID N° 43 y 53) es de 17 aminoácidos de longitud y la CDR 3 (SEC ID N° 44 y 54) es de 10 aminoácidos de longitud (Figuras 5b y 5d, respectivamente). Los genes de LC de K1-70 muestran 1 mutación silenciosa en FWR1, 1 mutación silenciosa y 1 de reemplazo en FWR2 y 1 mutación de reemplazo en FWR3. Hay 1 mutación silenciosa y 2 de reemplazo en la CDR1 y 2 mutaciones de reemplazo en la CDR3. La relación general de mutaciones R/S (FWR y CDR) es de 2,0. Además hay una inserción de 2 pares de bases entre los genes V y J de LC. La CDR 1 de LC (SEC ID N° 70) está compuesta de 13 aminoácidos, CDR 2 (SEC ID N° 71) de 7 aminoácidos y CDR 3 (SEC ID N° 72) de 11 aminoácidos (Figura 6d).

Estructura de Fab K1-70

Se ha determinado la estructura de Fab K1-70 a una resolución de 2,22 Å (Figura 8). Los parámetros de representación de Ramachandran y la estadística de refinamiento estuvieron dentro del intervalo aceptable para el refinamiento de estructura correcto. La unidad asimétrica contiene dos moléculas de Fab K1-70 completas, Fab A y Fab B. Fab A contiene la cadena pesada A y cadena ligera B, mientras que Fab B contiene cadena pesada C y cadena ligera D. Las dos moléculas de Fab no están relacionadas por simetría no cristalográfica debido a diferencias en los ángulos de codo (Fab A = 145,5°, Fab B = 163,1°). No hay roturas en la densidad electrónica de la cadena principal en la estructura, pero algunos restos están ausentes en los extremos terminales. En Fab A la cadena pesada A y cadena ligera B consisten en los restos 1 a 227 y 4 a 211, respectivamente, y en Fab B la cadena pesada C y la cadena ligera D consisten en los restos 1 a 227 y 2 a 212, respectivamente. Los restos en Fab A y Fab B están numerados de acuerdo con (el sistema de Kabat (Kabat E *et al* 1991 mencionado anteriormente). Véanse las Figuras 8 y 9a para más detalles. La densidad electrónica no pudo observarse para las cadenas laterales de los restos 1, 58, 129 y 213 de la cadena pesada A; las cadenas laterales de los restos 18, 94, 110, 126, 156, 163 y 166 de la cadena ligera B; las cadenas laterales de los restos 1, 58 y 218 de la cadena pesada C; y las cadenas laterales de los restos 17, 18, 94, 108, 156, 172, 184, 187 y 190 de la cadena ligera D. La ausencia de estas cadenas laterales en el mapa de densidad electrónica indica que son altamente móviles, principalmente debido a su posicionamiento en regiones accesibles al disolvente de la estructura cristalina. La raíz cuadrática media de la desviación (r.m.s.d) para las dos moléculas de Fab, calculada usando LSQKAB (CCP4), es de 0,20 Å para los dominios VH (117 átomos C α), 0,23 Å para dominios VL (106 átomos C α), 0,22 Å para dominios CH (96 átomos C α) y 0,29 Å para dominios CL (97 átomos C α). Esto demuestra que incluso aunque los ángulos de codo entre las dos moléculas de Fab difieren, los dominios en sí mismos muestran diferencias mínimas. La estructura de Fab K1-70 es convencional (Figura 9a); las estructuras canónicas adoptadas por las seis CDR son 1,1 y 2 para LC CDR1, LC CDR2 y LC CDR3 respectivamente y 1 y 2A para HC CDR1 y HC CDR2 respectivamente. La HC CDR3 no se ha asignado a ninguna clase canónica debido a mayores variaciones en la secuencia y conformación. Están presentes

enlaces disulfuro entre los restos de cisteína LC23-LC88, LC134-LC194, HC22-HC92, HC142-HC208. En la estructura cristalina de Fab K1-70 LC CDR1 es de 13 restos de longitud, LC CDR2 es de 7 restos de longitud y LC CDR3 es de 1 restos de longitud. HC CDR1 está compuesta de 5 restos, HC CDR2 de 17 restos y HC CDR3 de 12 restos. Para análisis adicional de la estructura las cadenas laterales de LC CDR3 Arg94 y HC CDR2 Arg58 (para las que la densidad electrónica estaba ausente en el conjunto de datos de difracción) se añadieron. En la descripción de la estructura posterior los valores entre paréntesis se refieren a los valores obtenidos incluyendo estas cadenas laterales. Hay 158 enlaces de hidrógeno dentro del LC y 177 dentro del HC. 52 (52) restos del LC están implicados en el contacto interfacial con 44 (45) restos del HC. Hay 7 enlaces de hidrógeno y 2 puentes salinos que mantienen las dos cadenas en su posición relativa. El área de superficie accesible al disolvente (ASA) para la LC CDR1 es de 525(485) Å², para LC CDR2 es 508(508) Å², para LC CDR3 es 257(442) Å², para HC CDR1 es 120 Å², para HC CDR2 es 759 (842) Å² y para HC CDR3 es 557(528) Å². La distribución de aminoácidos con carga en la superficie del sitio de unión a antígeno de Fab K1-70 se ha analizado y se muestra en la Figura 9b. La superficie del sitio de combinación está dominada por restos con carga negativa en un lado y por restos con carga positiva en el otro lado. Los parches ácidos en la superficie de unión a antígeno tienen contribuciones de los restos de LC: Asp27B (CDR1), Asp50 (CDR2), Asp92 (CDR3) y de los restos de HC: Asp31 (CDR1), Asp54 y Asp56 (CDR2) y Asp96 (CDR3). Los parches básicos tienen contribuciones de los restos de LC: Lys53 y Arg54 (CDR1) y Arg94 (CDR3) y de los restos de HC: Arg58 (CDR2) y Arg 101 (CDR3). Además, LC Lys 66 que está fuera de las regiones CDR también contribuye a un parche básico en la superficie. En general, el área con carga positiva en la superficie de unión a antígeno de K1-70 está compuesta predominantemente por los restos de LC mientras que el área con carga negativa por los restos de HC. La superficie de unión a antígeno de K1-70 también es rica en restos aromáticos con 5 tirosinas, una fenilalanina y tres triptófanos de las CDR de HC y LC (Figura 9c). Además, cuatro tirosinas y una fenilalanina de las regiones FRW contribuyen al área superficial.

La superficie global del área de unión a antígeno de K1-70 es altamente irregular con una cavidad cerca del centro. La cavidad está rodeada principalmente por restos aromáticos y por LC Asp50 (Figuras 9b y 9c). Además, el interior de la cavidad también está poblado por restos aromáticos. Esto sugiere que los contactos aromáticos pueden ser importantes para la interacción entre K1-70 y el TSHR con el resto aromático prominente en la superficie del TSHR "ajustándose" a la cavidad de la superficie de K1-70.

30 Fab K1-70 recombinante

La Tabla 17a muestra que Fab K1-70 recombinante en sobrenadante de cultivo de *E. coli* tuvo la capacidad para inhibir la unión de ¹²⁵I-TSH con el TSHR. El efecto inhibitor fue completo a diluciones menores de los sobrenadantes de cultivo (91,9 % a dilución 1:2) mientras que diluciones crecientes del sobrenadante provocan efecto inhibitor dependiente de dosis (27,9 % de inhibición a dilución 1:256) (Tabla 17a). El efecto de Fab K1-70 recombinante en la estimulación mediada por TSH de la producción de AMP cíclico en células CHO que expresan el TSHR se muestra en la Tabla 17b. Las diferentes diluciones de sobrenadantes de cultivo mostraron inhibición dependiente de dosis de la estimulación de AMP cíclico; del 89,3 % de inhibición a dilución 1:5 a 39,7 % de inhibición a dilución 1:40 (Tabla 17b). Los sobrenadantes de cultivo de control de cultivos de *E. coli* no inducidos no produjeron inhibición detectable de la unión de TSH o inhibición de estimulación de AMP cíclico mediada por TSH (Tablas 17a y b).

Sumario y conclusiones

Los experimentos descritos anteriormente muestran que dos autoanticuerpos monoclonales para el TSHR con actividades biológicas muy diferentes (K1-18 estimulante y K1-70 de bloqueo) pueden aislarse de una única preparación de linfocitos de un paciente. En consecuencia, el sistema inmunitario del paciente producía ambos tipos de autoanticuerpos de TSHR, es decir tipo estimulante y tipo de bloqueo al mismo tiempo. Una vez aislados (como se ha descrito anteriormente) en forma de autoanticuerpos monoclonales, las propiedades de los dos tipos de autoanticuerpos de TSHR pueden investigarse sin que se interfieran entre sí. Las características del nuevo MAb humano con actividad estimulante de TSHR (K1-18) se han descrito y comparado con las características de algunos otros MAb de TSHR conocidos, específicamente de un MAb humano estimulante (M22), un MAb humano de bloqueo (5C9), un MAb humano de bloqueo (K1-70), un MAb de ratón de bloqueo (9D33) y MAb estimulantes de ratón (TSMAB 1-7). Además se han descrito las características del nuevo MAb humano con actividad antagonista de TSH (K1-70) y se ha comparado con las características de MAb conocidos. Específicamente de un MAb humano de bloqueo (5C9), un MAb de ratón de bloqueo (9D33), un MAb humano estimulante (M22), un MAb humano estimulante (K1-18) y MAb estimulantes de ratón (TSMAB 1-7). Se ha mostrado que el nuevo MAB K1-18 de TSHR estimulante humano tiene propiedades similares al M22 con respecto a: inhibición de la unión de TSH marcada con el TSHR, inhibición de la unión entre sí con el TSHR, inhibición de la unión de MAb humanos de bloqueo (5C9 y K1-70) con el TSHR, inhibición de la unión de MAb de bloqueo estimulantes de ratón (9D33 y TSMAB 1-7). Además los TRAb de suero del paciente inhibieron la unión de K1-18 con el TSHR. Además, tanto M22 como K1-18 se unen con el TSHR con una alta afinidad y son capaces de unirse con un fragmento de TSHR que consiste en los aminoácidos 22-260 unidos con fosfatasa alcalina. Anticuerpos tales como M22 y K1-18 tienen la capacidad de estimular la actividad de AMP cíclico de TSHR aunque la potencia de los dos anticuerpos difiere en aproximadamente 1,5 veces. Los estudios muestran que las propiedades de los autoanticuerpos estimulantes de TSHR son similares en diferentes pacientes y que son representativas de las propiedades de los autoanticuerpos estimulantes de TSHR en todos los pacientes con enfermedad de Graves estudiados hasta el momento. Se muestra un sumario de las

características de K1-18 en la Tabla 13a. Los experimentos de los inventores también mostraron que el nuevo MAb humano de tipo de bloqueo K1-70 (obtenido de la misma muestra de linfocitos que el MAb estimulante K1-18) tiene la capacidad para: inhibir la unión de TSH marcada con el TSHR, inhibir la unión de MAb humanos (M22, K1-18 y 5C9) con el TSHR, inhibir la unión de MAb de bloqueo y estimulantes de ratón (9D33 y TSMab 1-7) con el TSHR. Además la unión de K1-70 con el TSHR se inhibió por TRAb de suero del paciente. K1-70 mostró una potente actividad antagonista de TSH y la capacidad para bloquear la estimulación del TSHR para todos los TRAb ensayados de suero del paciente. Se mostró que K1-70 era un inhibidor más eficaz de la unión de TSH con el TSHR que 5C9. K1-70 se une con el TSHR con una alta afinidad y es capaz de unirse con el fragmento de TSHR de los aminoácidos 22-260 unido a la fosfatasa alcalina. En consecuencia, K1-70 tiene las características de sueros de pacientes con TRAb de bloqueo incluyendo la alta afinidad de unión por el TSHR, la capacidad para inhibir la unión de TSH y M22 con el TSHR y la capacidad para bloquear la estimulación de TSHR inducida por ligando a bajas concentraciones de anticuerpo. Sin embargo, K1-70 no tuvo ningún efecto en la actividad constitutiva de TSHR mientras que 5C9 sí. Se muestra un resumen de las características de K1-70 en la Tabla 13b. La capacidad de K1-18 para estimular la actividad de AMP cíclico en células CHO que expresan TSHR se perdió cuando TSHR se mutó en Glu157Ala, Lys183Ala, Tyr185Ala, Asp232Ala o Arg255Asp. La capacidad de K1-70 para bloquear la actividad AMP cíclica mediada por TSH en células CHO que expresan TSHR se redujo en el caso de mutaciones de TSHR Lys58Ala, Ile60Ala, Arg109Ala, Lys183Ala, Lys250Ala y se redujo ligeramente por la mutación de TSHR Tyr82Ala. Tanto K1-18 como K1-70 así como M22 reaccionaron bien con el fragmento de TSHR de 22-260 en un ELISA basado en TSHR 260-AP. Además un panel de autoanticuerpos de TSHR de suero del paciente reaccionó bien con los aminoácidos de TSHR 22-260 en el mismo ensayo. Sueros de pacientes con uno de los tipos de actividades de TRAb (estimulante y de bloqueo) se unieron con TSHR260 en el ELISA. Además, los pocillos de placa de ELISA recubiertos con el fragmento de TSHR de los aminoácidos 22-260 se unieron bien con M22-peroxidasa (de RSR Ltd) y esta unión de M22-peroxidasa se inhibió por un panel de autoanticuerpos de TSHR de suero del paciente. Esta inhibición de la unión de M22-peroxidasa por los autoanticuerpos de TSHR de suero del paciente fue similar a la inhibición de la unión de M22-peroxidasa con TSHR de longitud completa. Sorprendentemente por lo tanto el fragmento de TSHR de los aminoácidos 22-260 (o quizás un fragmento menor) para que sea suficiente para ensayos rutinarios de autoanticuerpos TSHR. Además, M22 también se unió bien con un fragmento más largo del TSHR (TSHR LRD C-CAP). En estudios de estabilidad, la capacidad de M22 para unirse con TSHR260, TSHR260-AP y TSHR LRD C-CAP después de haberse preincubado a temperatura ambiente fue mayor que las preparaciones de TSHR de longitud completa que se habían preincubado en las mismas condiciones. Esto indica que TSHR260, TSHR260-AP y TSHR LRD C-CAP son más estables a temperatura ambiente en comparación con TSHR de longitud completa. La mutación de TSHR Arg255Asp no tuvo ningún efecto en la unión de IgG K1-70 mientras que IgG K1-18 (a concentraciones menores, es decir 0,1 µg/ml e inferiores) se unió menos eficazmente con el receptor mutado. Los experimentos con diferentes TRAb de suero del paciente indican que los sueros con actividades estimulantes de TSHR pueden diferenciarse de sueros con actividades de bloqueo de TSHR basándose en diferencias en la unión con el TSHR que contiene mutación R255D. La unión de sueros de pacientes con actividades estimulantes se ve afectada por la mutación mientras que la unión de sueros de pacientes con actividades de bloqueo se vio afectada menos o nada en absoluto. Los experimentos proporcionan secuencias de nucleótidos y aminoácidos de K1-18 y K1-70. Aunque genes de V de cadena pesada de L1-18, K1-70 derivan de la misma línea germinal que pertenece a la misma familia que los otros genes de V de cadena pesada de MAb humano M22 estimulantes, todos se combinan con genes D y J de diferentes familias; además K1-18 usa la cadena ligera kappa, mientras que M22 y K1-70 usan cadenas ligeras lambda. Los genes de línea germinal de 5C9 (el otro MAb humano de tipo de bloqueo) son diferentes de M22, K1-18 y K1-70 excepto que 5C9 y K1-70 usan genes de cadena pesada J4. Las secuencias de aminoácidos de las CDR de MAb estimulantes (M22 y K1-18) y MAb de bloqueo (5C9 y K1-70) son esencialmente diferentes en particular dentro de las CDR3 de cadenas pesadas y ligeras. Estas observaciones indican que cada uno de los 4 autoanticuerpos humanos se deriva de líneas germinales distintas. Además diferentes secuencias de CDR pueden mostrar actividades biológicas similares hacia el TSHR. Los datos de difracción de rayos X proporcionan detalles moleculares de la estructura de Fab K1-70 incluyendo la topografía del sitio de unión a antígeno. Un Fab K1-70 recombinante producido por clonación y expresión del HC K1-70 (SEC ID N° 46) y LC K1-70 (SEC ID N° 63 con SEC ID N° 64) en *E. coli* mostró la capacidad para inhibir la unión de TSH marcada con ¹²⁵I con el TSHR y la capacidad para inhibir la estimulación mediada por TSH de la actividad AMP cíclico de TSHR. En general los resultados indican que los anticuerpos de acuerdo con la invención tales como K1-18 y K1-70 muestran actividad de unión a TSHR similar y efectos biológicos similares en la función de TSHR como MAb TSHR descritos previamente (M22 y 5C9) y como autoanticuerpos de TSHR hallados en diferentes sueros de pacientes con enfermedad tiroidea autoinmunitaria.

Tabla 1a Inhibición de la unión de ¹²⁵I-TSH con tubos recubiertos con TSHR por IgG K1-18 y diferentes anticuerpos monoclonales de TSHR

Muestra de ensayo	Inhibición de la unión (%) de Diluciones en tampón de ensayo (media ± DT)	Inhibición de la unión (%) de diluciones en HBD (media ± DT)
IgG K1-18		
100 µg/ml	91,4 ± 0,7	95,9 ± 0,2
30 µg/ml	89,5 ± 1,0	96,0 ± 0,3

ES 2 540 538 T3

Muestra de ensayo	Inhibición de la unión (%) de Diluciones en tampón de ensayo (media ± DT)	Inhibición de la unión (%) de diluciones en HBD (media ± DT)
10 µg/ml	91,1 ± 1,1	96,0 ± 0,5
3 µg/ml	89,1 ± 0,4	95,3 ± 0,5
1 µg/ml	89,3 ± 1,3	94,0 ± 0,7
0,3 µg/ml	89,7 ± 0,7	82,6 ± 1,0
0,1 µg/ml	78,5 ± 0,6	62,0 ± 1,6
0,03 µg/ml	45,2 ± 2,3	26,6 ± 1,2
0,01 µg/ml	21,1 ± 2,3	9,3 ± 2,1
0,003 µg/ml	0,5*	11,4 ± 3,0
0,001 µg/ml	-4,6*	1,6 ± 3,2
IgG M22		
100 µg/ml	91,4 ± 1,8	96,5 ± 0,1
30 µg/ml	89,2 ± 0,5	96,1 ± 0,5
10 µg/ml	89,3 ± 0,6	96,1 ± 0,5
3 µg/ml	89,6 ± 0,4	96,0 ± 0,6
1 µg/ml	89,9 ± 1,7	95,5 ± 0,3
0,3 µg/ml	88,6 ± 1,2	89,9 ± 0,2
0,1 µg/ml	87,2 ± 1,2	76,1 ± 2,2
0,03 µg/ml	58,3 ± 1,5	41,6 ± 3,5
0,01 µg/ml	23,4 ± 3,4	18,0 ± 0,8
0,003 µg/ml	7,1*	11,1 ± 2,9
0,001 µg/ml	1,5*	10,6 ± 8,7
IgG 5C9		
100 µg/ml	82,9 ± 1,0	35,3 ± 2,8
10 µg/ml	40,5 ± 0,3	40,9 ± 1,1
1 µg/ml	23,5 ± 2,9	19,7 ± 1,2
0,1 µg/ml	21,3*	16,2 ± 4,3
0,01 µg/ml	15,9*	4,1 ± 2,2
IgG TSMAb 1		
100 µg/ml	61,1 ± 4,1	54,1 ± 4,1
10 µg/ml	48,1 ± 1,7	43,4 ± 1,1
1 µg/ml	29,3 ± 1,5	26,5 ± 0,5
0,1 µg/ml	11,0 ± 1,7	6,8 ± 1,7
0,01 µg/ml	2,6 ± 2,1	2,4*
IgG TSMAb 2		
100 µg/ml	77,6 ± 7,7	48,0 ± 4,4
10 µg/ml	37,7 ± 2,6	39,0 ± 0,5

ES 2 540 538 T3

Muestra de ensayo	Inhibición de la unión (%) de Diluciones en tampón de ensayo (media ± DT)	Inhibición de la unión (%) de diluciones en HBD (media ± DT)
1 µg/ml	29,1 ± 2,5	33,6*
0,1 µg/ml	23,4 ± 2,7	15,9 ± 0,8
0,01 µg/ml	1,6 ± 1,5	0,7 ± 1,7
IgG TSMAB 3		
100 µg/ml	81,1 ± 2,9	54,3 ± 3,3
10 µg/ml	58,1 ± 1,1	44,7 ± 2,8
1 µg/ml	35,2 ± 1,5	37,7 ± 0,7
0,1 µg/ml	30,7 ± 0,8	15,7 ± 4,9
0,01 µg/ml	9,0 ± 0,5	-2,5 ± 4,1
IgG TSMAB 4		
100 µg/ml	57,2 ± 4,7	63,5 ± 5,6
10 µg/ml	40,8 ± 1,3	56,5 ± 1,2
1 µg/ml	39,8 ± 0,8	53,9 ± 2,3
0,1 µg/ml	42,8 ± 61,4	32,1 ± 3,3
0,01 µg/ml	33,3*	8,6 ± 7,2
IgG TSMAB 5		
100 µg/ml	87,8 ± 1,0	61,9 ± 2,8
10 µg/ml	64,6 ± 1,1	56,9 ± 1,9
1 µg/ml	43,9 ± 1,1	53,8 ± 2,6
0,1 µg/ml	39,7 ± 0,9	38,6 ± 2,4
0,01 µg/ml	15,9 ± 9,4	7,5 ± 0,6
IgG TSMAB 6		
100 µg/ml	68,6 ± 2,5	46,9 ± 2,6
10 µg/ml	32,8 ± 0,9	40,8 ± 2,3
1 µg/ml	28,9 ± 3,0	40,2 ± 0,9
0,1 µg/ml	24,6 ± 0,6	30,2 ± 1,3
0,01 µg/ml	9,5 ± 5,8	19,6 ± 0,6
IgG TSMAB 7		
100 µg/ml	69,4 ± 3,4	45,9 ± 1,1
10 µg/ml	43,9 ± 0,6	42,0 ± 0,7
1 µg/ml	28,5 ± 4,8	37,7 ± 1,6
0,1 µg/ml	19,8 ± 1,5	19,9 ± 1,5
0,01 µg/ml	-3,1 ± 5,2	8,0 ± 2,1
IgG 9D33		
100 µg/ml	75,6 ± 1,2	67,4 ± 4,6
10 µg/ml	58,7 ± 4,1	60,5 ± 2,6

Muestra de ensayo	Inhibición de la unión (%) de Diluciones en tampón de ensayo (media ± DT)	Inhibición de la unión (%) de diluciones en HBD (media ± DT)
1 µg/ml	50,9 ± 2,9	50,8 ± 2,2
0,1 µg/ml	48,3 ± 2,6	30,5 ± 2,7
0,01 µg/ml	15,8 ± 3,0	3,6 ± 3,3
IgG 5B3		
100 µg/ml	22,4 ± 1,5	-3,9 ± 5,7
10 µg/ml	-5,7 ± 2,1	-1,9 ± 1,5
1 µg/ml	-1,7 ± 5,3	-4,9 ± 3,4
0,1 µg/ml	-5,0 ± 3,7	4,4 ± 2,5
0,01 µg/ml	-5,8*	2,6*

Los resultados mostrados son la media ± DT de determinaciones por triplicado. *Media de determinaciones por duplicado. HBD = grupo de sueros de donantes de sangre sanos. 5B3 es un MAb de ácido glutámico descarboxilasa (control negativo). La unión de ¹²⁵I-TSH en presencia de tampón de ensayo fue del 11 %. La unión de ¹²⁵I-TSH en presencia de grupo de HBD fue del 11,5 %. El tampón de ensayo es NaCl 50 mmol/l, Tris 10 mmol/l pH 7,8, Triton X-100 0,1 %.

Tabla 1b Inhibición de la unión de ¹²⁵I-TSH con tubos recubiertos con TSHR por IgG K1-70 y Fab K1-70 y por diversos anticuerpos monoclonales de TSHR

Muestra de ensayo	Inhibición de la unión (%) de Diluciones en tampón de ensayo (media ± DT)	Inhibición de la unión (%) de diluciones en HBD (media ± DT)
IgG K1-70		
100 µg/ml	94,6 ± 0,2	95,9 ± 0,8
30 µg/ml	93,3 ± 0,4	94,9 ± 0,4
10 µg/ml	92,7 ± 0,8	93,9 ± 1,4
3 µg/ml	91,8 ± 0,5	94,1 ± 0,4
1 µg/ml	92,3 ± 0,4	91,9 ± 0,9
0,3 µg/ml	91,3 ± 1,1	83,5 ± 1,3
0,1 µg/ml	86,9 ± 1,1	50,0 ± 1,6
0,03 µg/ml	50,5 ± 2,0	13,5 ± 2,3
0,01 µg/ml	8,3 ± 2,8	-7,0 ± 1,9
0,003 µg/ml	-3,7 ± 1,6	0,8 ± 4,7
0,001 µg/ml	-6,1 ± 5,5	-3,0 ± 2,2
Fab K1-70		
100 µg/ml	87,3 ± 0,9	93,3 ± 1,2
30 µg/ml	89,0 ± 0,1	92,5 ± 0,8
10 µg/ml	87,2 ± 0,9	91,2 ± 0,2
3 µg/ml	88,2 ± 0,4	91,6 ± 0,5
1 µg/ml	88,1 ± 0,7	91,8 ± 1,3
0,3 µg/ml	87,5 ± 0,3	88,1 ± 2,3
0,1 µg/ml	85,0 ± 0,4	71,6 ± 3,1
0,03 µg/ml	70,3 ± 0,6	40,7 ± 0,6

ES 2 540 538 T3

Muestra de ensayo	Inhibición de la unión (%) de Diluciones en tampón de ensayo (media ± DT)	Inhibición de la unión (%) de diluciones en HBD (media ± DT)
0,01 µg/ml	24,8 ± 1,3	18,9 ± 0,5
0,003 µg/ml	2,7 ± 2,8	*-1,7
0,001 µg/ml	-2,6 ± 3,5	7,2 ± 2,8
IgG M22		
100 µg/ml	88,5 ± 0,9	96,2 ± 0,5
30 µg/ml	90,0 ± 2,4	94,3 ± 0,3
10 µg/ml	87,5 ± 1,4	93,4 ± 1,6
3 µg/ml	89,5 ± 2,5	94,6 ± 0,7
1 µg/ml	91,6 ± 0,8	92,6 ± 1,6
0,3 µg/ml	89,9 ± 0,6	82,2 ± 2,0
0,1 µg/ml	84,3 ± 0,9	62,1 ± 1,7
0,03 µg/ml	48,3 ± 0,9	31,4 ± 3,8
0,01 µg/ml	7,5 ± 1,1	-0,3 ± 5,5
0,003 µg/ml	-1,5 ± 5,5	-1,8 ± 4,0
0,001 µg/ml	-11,0 ± 0,7	1,2 ± 6,9
Fab M22		
100 µg/ml	91,3 ± 0,1	94,4 ± 0,8
30 µg/ml	89,9 ± 3,1	93,5 ± 0,7
10 µg/ml	90,1 ± 1,6	93,9 ± 0,7
3 µg/ml	87,5 ± 1,2	93,4 ± 0,5
1 µg/ml	89,2 ± 0,4	92,5 ± 0,5
0,3 µg/ml	87,3 ± 0,7	90,0 ± 0,2
0,1 µg/ml	86,7 ± 0,5	77,1 ± 2,9
0,03 µg/ml	71,4 ± 1,4	35,3 ± 3,3
0,01 µg/ml	27,1 ± 2,7	8,7 ± 4,9
0,003 µg/ml	1,1 ± 6,8	-7,9 ± 0,3
0,001 µg/ml	-9,3 ± 2,1	-11,2 ± 1,9
IgG 5C9		
100 µg/ml	92,5 ± 0,4	59,2 ± 5,3
10 µg/ml	76,7 ± 1,3	39,9 ± 5,6
1 µg/ml	38,7 ± 0,7	24,8 ± 0,8
0,1 µg/ml	24,4 ± 4,5	7,0 ± 2,4
0,01 µg/ml	8,3 ± 3,3	-5,5 ± 4,8
0,001 µg/ml	-11,2 ± 2,9	-8,0 ± 1,1

Véase leyenda de la Tabla 1a para detalles. La unión de ¹²⁵I-TSH en presencia de tampón de ensayo fue del 13,4 %. La unión de ¹²⁵I-TSH en presencia de grupos de HBD fue del 11,5 %.

ES 2 540 538 T3

Tabla 2a Inhibición de la unión de ¹²⁵I-TSH con tubos recubiertos con TSHR por suero de donante K1 e IgG y por IgG y Fab K1-18

Muestra de ensayo	Inhibición de la unión (%) de Diluciones en tampón de ensayo (media ± DT)	Inhibición de la unión (%) de diluciones en HBD (media ± DT)
Dilución de suero de donante K1		
1/10	94,7 ± 0,9	81,1 ± 0,4
1/20	89,3 ± 0,7	62,4 ± 3,5
1/40	67,0 ± 1,0	39,0 ± 0,9
1/80	34,0 ± 3,8	19,8 ± 1,9
1/160	13,1 ± 3,1	9,1 ± 0,8
1/320	6,6 ± 0,9	2,17 ± 1,5
IgG de suero de donante K1		
1 µg/ml	89,6 ± 0,8	76,5 ± 1,5
0,5 µg/ml	79,4 ± 0,7	52,3 ± 0,7
0,25 µg/ml	52,1 ± 2,0	27,8 ± 0,4
0,125 µg/ml	29,5 ± 2,6	13,7 ± 1,3
IgG K1-18		
100 µg/ml	93,7 ± 0,6	95,7 ± 0,6
30 µg/ml	93,3 ± 0,5	95,3 ± 0,0
10 µg/ml	93,3 ± 1,1	95,3 ± 0,4
3 µg/ml	94,2 ± 1,4	94,3 ± 0,6
1 µg/ml	93,3 ± 1,0	92,0 ± 0,4
0,3 µg/ml	90,9 ± 1,3	80,9 ± 2,2
0,1 µg/ml	78,0 ± 0,4	54,0 ± 2,4
0,03 µg/ml	38,8 ± 2,2	25,5 ± 3,2
0,01 µg/ml	14,6 ± 5,2	11,8 ± 6,1
0,003 µg/ml	0,2 ± 0,2	2,4 ± 4,2
0,001 µg/ml	0,5 ± 0,9	0,9 ± 1,5
Fab K1-18		
100 µg/ml	88,9 ± 0,8	81,7 ± 1,6
30 µg/ml	85,6 ± 0,3	81,3 ± 1,4
10 µg/ml	82,9 ± 1,1	82,2 ± 0,9
3 µg/ml	79,3 ± 0,9	80,9 ± 2,1
1 µg/ml	77,0 ± 1,8	76,8 ± 1,6
0,3 µg/ml	72,4 ± 1,1	60,6 ± 1,3
0,1 µg/ml	56,2 ± 4,2	35,7 ± 3,3
0,03 µg/ml	25,6 ± 4,9	15,9 ± 4,6
0,01 µg/ml	7,4 ± 4,8	5,6 ± 7,3

ES 2 540 538 T3

Muestra de ensayo	Inhibición de la unión (%) de Diluciones en tampón de ensayo (media ± DT)	Inhibición de la unión (%) de diluciones en HBD (media ± DT)
0,003 µg/ml	2,4 ± 3,9	0,5 ± 0,86
Dilución de suero de donante K1		
0,001 µg/ml	0,0 ± 0,0	2,1 ± 2,2
Véase leyenda de la Tabla 1a para detalles. La unión de ¹²⁵ I-TSH en presencia de tampón de ensayo fue del 10,8 %. La unión de ¹²⁵ I-TSH en presencia de grupo de HBD fue del 12,4 %.		

Tabla 2b Inhibición de la unión de ¹²⁵I-TSH con tubos recubiertos con TSHR por preparación de referencia de la OMS NIBSC 90/672 y por preparaciones de IgG y Fab K1-18

Muestra de ensayo	Muestras diluidas en suero				Muestras diluidas en tampón de ensayo			
	Inhibición de la unión (%) (media ± DT)	unidades/l	unidades/mg	media de unidades/mg	Inhibición de la unión (%) (media ± DT)	unidades/l	unidades/mg	media de unidades/mg
NIBSC 90/672								
0,125 unidades/l	0				0			
0,25 unidades/l	0				0			
0,5 unidades/l	5,6 ± 2,5				3,1 ± 1,6			
1,0 unidades/l	8,1 ± 5,8				14,0 ± 2,6			
2,0 unidades/l	18,2 ± 1,2				26,2 ± 4,2			
4,0 unidades/l	34,8 ± 0,6				49,0 ± 4,3			
8,0 unidades/l	65,3 ± 0,3				62,7 ± 0,2			
40,0 unidades/l	90,9 ± 0,5				91,0 ± 0,6			
IgG M22								
0,3 ng/ml	0				0			
1 ng/ml	0				4,5 ± 1,6			
3 ng/ml	0				10,9 ± 3,5			
10 ng/ml	13,0 ± 1,51	1,5	150		26,4 ± 0,1	2,5	250	
30 ng/ml	37,6 ± 1,7	4,3	143	131	64,1 ± 3,2	8,6	287	266
100 ng/ml	70,4 ± 1,1	9,9	99		87,6 ± 0,6	26	260	
300 ng/ml	87,9 ± 0,1				87,6 ± 0,5			
NIBSC 90/672								
1000 ng/ml	92,5 ± 0,5				91,2 ± 0,3			
IgG K1-18								
0,3 ng/ml	0				0,6 ± 1,9			

ES 2 540 538 T3

Muestra de ensayo	Muestras diluidas en suero				Muestras diluidas en tampón de ensayo			
	Inhibición de la unión (%) (media ± DT)	unidades/l	unidades/mg	media de unidades/mg	Inhibición de la unión (%) (media ± DT)	unidades/l	unidades/mg	media de unidades/mg
1 ng/ml	0				4,5 ± 2,9			
3 ng/ml	0				7,8 ± 2,1			
10 ng/ml	6,4 ± 0,8				21,4 ± 1,8	1,52	152	
30 ng/ml	24,7 ± 4,7	2,7	90		49,9 ± 4,2	5,3	177	181
100 ng/ml	60,2 ± 1,7	7	70	69	84,3 ± 0,9	21,5	215	
300 ng/ml	79,9 ± 1,7	14,5	48		87,8 ± 1,1			
1000 ng/ml	90,7 ± 0,8				90,1 ± 0,3			
Fab K1-18								
0,3 ng/ml	0				2,0 ± 0,9			
1 ng/ml	0				5,7 ± 3,0			
3 ng/ml	0				7,8 ± 5,4			
10 ng/ml	2,6 ± 3,2				16,6 ± 1,9	1,2	120	
30 ng/ml	17,1 ± 1,0	1,9	63		34,5 ± 1,1	3,12	104	86
100 ng/ml	41,0 ± 2,4	4,6	46	46	58,7 ± 0,7	7,1	71	
300 ng/ml	66,6 ± 0,9	8,4	28		70,8 ± 2,5	15	50	
1000 ng/ml	74,4 ± 4,3				75,7 ± 0,8			
IgG 4B4								
0,3 ng/ml	0				5,0 ± 3,5			
3 ng/ml	0				0,8 ± 1,9			
NIBSC 90/672								
30 ng/ml	0				1,9 ± 0,8			
300 ng/ml	0				0,7 ± 2,0			
Fab 4B4								
0,3 ng/ml	0				10,7 ± 3,9			
3 ng/ml	0				8,9 ± 2,5			
30 ng/ml	0				0			
300 ng/ml	0				0,5 ± 0,5			

Véase leyenda de la Tabla 1a para detalles. La unión de ¹²⁵I-TSH en presencia de tampón de ensayo fue del 17,7 %. La unión de ¹²⁵I-TSH en presencia de grupo de HBD fue del 16,0 %.

Tabla 2c Inhibición de la unión de ¹²⁵I-TSH con tubos recubiertos con TSHR por IgG de suero del donante de linfocitos

Muestra de ensayo	Muestras diluidas en suero				Muestras diluidas en tampón de ensayo			
	Inhibición de la unión (%) (media ± DT)	unidades/l	unidades/mg (o U/ml en suero no diluido)	media de unidades/mg (o medio de unidades/ml)	Inhibición de la unión (%) (media ± DT)	unidades/l	unidades/mg (o U/ml en suero no diluido)	media de unidades/mg (o media de unidades/ml)
NIBSC 90/672								
0,125 unidades/l	2,4 ± 0,7				5,1 ± 4,2			
0,25 unidades/l	3,5 ± 2,0				0,9 ± 1,4			
0,5 unidades/l	9,3 ± 2,7				2,8 ± 2,2			
1 unidad/l	15,5 ± 1,7				14,1 ± 2,7			
2 unidades/l	22,9 ± 6,4				27,2 ± 5,4			
4 unidades/l	49,2 ± 1,2				53,3 ± 2,1			
8 unidades/l	63,2 ± 1,1				62,2 ± 1,8			
40 unidades/l	90,0 ± 0,1				90,9 ± 1,0			
NIBSC 90/672 de suero del donante								
diluido 160x	3,5 ± 1,9				5,3 ± 0,7			
diluido 80x	10,4 ± 1,0				17,9 ± 2,9	1,25	(0,1)	
diluido 40x	23,3 ± 2,6	2	(0,08)	(0,075)	39,5 ± 1,3	2,8	(0,112)	(0,144)
diluido 20x	39,7 ± 4,4	3,3	(0,07)		67,8 ± 1,6	11	(0,22)	
IgG de suero del donante								
0,01 mg/ml	0				5,1 ± 8,5			
0,03 mg/ml	0,4 ± 2,7				4,4 ± 2,7			
0,1 mg/ml	13,5 ± 1,6	0,8	0,008		19,8 ± 1,5	1,4	0,014	
0,3 mg/ml	36,1 ± 3,0	3,0	0,010	0,011	60,6 ± 2,8	7	0,023	0,024
1 mg/ml	72,3 ± 1,2	13,5	0,014		87,2 ± 2,0	34	0,034	
HBD								
diluido 160x	0				0			
diluido 80x	0				0			
diluido 40x	0				0			
diluido 20x	0				0			
IgG HBD								

Muestra de ensayo	Muestras diluidas en suero				Muestras diluidas en tampón de ensayo			
	Inhibición de la unión (%) (media ± DT)	unidades/l	unidades/mg (o U/ml en suero no diluido)	media de unidades/mg (o medio de unidades/ml)	Inhibición de la unión (%) (media ± DT)	unidades/l	unidades/mg (o U/ml en suero no diluido)	media de unidades/mg (o media de unidades/ml)
0,01 mg/ml	0				0			
0,1 mg/ml	0				0			
1 mg/ml	0				0			
NIBSC 90/672								
IgG K1-18								
0,3 ng/ml	0				0			
1 ng/ml	0				1,7 ± 4,4			
3 ng/ml	0				12,9 ± 7,0			
10 ng/ml	6,0 ± 1,3				20,5 ± 6,4	1,4	140	
30 ng/ml	24,4 ± 1,8	2,1	70,0		48,1 ± 5,5	3,5	116,7	150,4
100 ng/ml	53,6 ± 0,6	5,0	50,0	63,3	79,7 ± 2,8	22,5	225	
300 ng/ml	79,7 ± 0,6	21	70,0		88,5 ± 2,6	36	120	
1000 ng/ml	91,3 ± 0,7				± 5,3			
IgG K1-70								
0,3 ng/ml	0				0			
1 ng/ml	0				0			
3 ng/ml	1,0 ± 5,9				5,2 ± 4,0	0,56	186,7	
10 ng/ml	14,9 ± 2,1	1,0	100		21,1 ± 2,1	1,45	145	166,1
30 ng/ml	36,4 ± 1,6	3,5	117	114	55,8 ± 0,6	5	166,7	
100 ng/ml	71,9 ± 1,4	12,5	125		89,8 ± 0,7			
300 ng/ml	89,4 ± 0,6				89,2 ± 0,6			
1000 ng/ml	93,2 ± 0,7				90,7 ± 1,4			

Véase leyenda de la Tabla 1a para detalles. La unión de ¹²⁵I-TSH en presencia de tampón de ensayo fue del 12,6 %. La unión de ¹²⁵I-TSH en presencia de grupo de HBD fue del 12,9 %.

Tabla 3a Inhibición de la unión de TSH-biotina con pocillos de placas de ELISA recubiertos con TSHR por IgG K1-18 y diferentes anticuerpos monoclonales de TSHR

Muestra de ensayo	Inhibición de la unión (%) de Diluciones en tampón de ensayo (media ± DT)	Inhibición de la unión (%) de diluciones en HBD (media ± DT)
IgG K1-18		
100 µg/ml	96,9 ± 0,2	98,6 ± 0,1
30 µg/ml	96,7 ± 0,2	98,4 ± 0,1
10 µg/ml	96,2 ± 0,2	98,3 ± 0,1
3 µg/ml	96,6 ± 0,2	98,2 ± 0,1
1 µg/ml	96,6 ± 0,3	96,2 ± 0,2
0,3 µg/ml	93,8 ± 0,4	90,7 ± 0,3
0,1 µg/ml	76,3 ± 1,8	55,0 ± 0,2

ES 2 540 538 T3

Muestra de ensayo	Inhibición de la unión (%) de Diluciones en tampón de ensayo (media ± DT)	Inhibición de la unión (%) de diluciones en HBD (media ± DT)
0,03 µg/ml	33,8 ± 1,2	31,9 ± 0,2
0,01 µg/ml	12,9 ± 2,8	10,0 ± 0,8
0,003 µg/ml	1,6 ± 0,5	1,4 ± 2,1
0,001 µg/ml	-4,2 ± 0,9	-3,7 ± 1,1
IgG M22		
100 µg/ml	96,8 ± 0,2	98,8 ± 0,1
30 µg/ml	97,0 ± 0,1	98,8 ± 0,1
10 µg/ml	97,0 ± 0,1	98,7 ± 0,1
3 µg/ml	97,1 ± 0,1	98,6 ± 0,1
1 µg/ml	97,0 ± 0,1	98,3 ± 0,0
0,3 µg/ml	96,0 ± 0,2	95,5 ± 0,1
0,1 µg/ml	88,3 ± 1,1	78,2 ± 0,7
0,03 µg/ml	35,2 ± 2,4	33,3 ± 2,0
0,01 µg/ml	14,9 ± 2,0	17,5 ± 2,0
0,003 µg/ml	9,2 ± 3,4	12,1 ± 4,7
0,001 µg/ml	0,4*	7,8 ± 5,1
IgG SC9		
100 µg/ml	54,3 ± 1,3	37,1 ± 2,2
10 µg/ml	37,8 ± 2,1	37,4 ± 0,9
1 µg/ml	31,4 ± 1,9	28,5 ± 1,6
0,1 µg/ml	26,1 ± 3,2	10,4 ± 1,6
0,01 µg/ml	7,5 ± 0,9	-2,6 ± 2,3
IgG TSMAB 1		
100 µg/ml	84,3 ± 0,8	82,6 ± 2,2
10 µg/ml	73,4 ± 2,8	74,6 ± 1,3
1 µg/ml	44,3 ± 1,2	47,9*
0,1 µg/ml	3,8 ± 5,9	21,2 ± 1,5
0,01 µg/ml	-6,3 ± 3,3	12,8 ± 2,9
IgG TSMAB 2		
100 µg/ml	85,2 ± 0,3	78,6 ± 1,4
10 µg/ml	77,0 ± 0,7	75,1 ± 0,6
1 µg/ml	67,3 ± 1,5	65,0 ± 1,0
0,1 µg/ml	39,6 ± 0,8	29,1 ± 0,7
0,01 µg/ml	8,8 ± 0,4	7,5 ± 0,1
IgG TSMAB 3		I
100 µg/ml	82,6 ± 0,1	78,6 ± 1,4

ES 2 540 538 T3

Muestra de ensayo	Inhibición de la unión (%) de Diluciones en tampón de ensayo (media ± DT)	Inhibición de la unión (%) de diluciones en HBD (media ± DT)
10 µg/ml	77,0 ± 0,7	75,1 ± 0,6
1 µg/ml	67,3 ± 1,5	65,0 ± 1,0
0,1 µg/ml	39,6 ± 0,8	29,1 ± 0,7
0,01 µg/ml	8,8 ± 0,4	7,5 ± 0,1
IgG TSMAb 4		
100 µg/ml	73,1 ± 1,8	81,0 ± 1,5
10 µg/ml	72,0 ± 0,5	79,6 ± 0,3
1 µg/ml	73,1 ± 1,3	73,3 ± 1,3
0,1 µg/ml	59,0 ± 1,7	50,1 ± 1,6
0,01 µg/ml	18,9 ± 0,7	14,8 ± 3,8
IgG TSMAb 5		
100 µg/ml	89,9 ± 0,3	85,2 ± 0,1
10 µg/ml	85,8 ± 0,7	82,8 ± 0,4
1 µg/ml	79,0 ± 2,2	79,2 ± 0,7
0,1 µg/ml	60,9 ± 4,0	55,2 ± 0,9
0,01 µg/ml	19,1 ± 3,1	19,3 ± 0,4
IgG TSMAb 6		
100 µg/ml	80,3 ± 1,0	77,8 ± 0,6
10 µg/ml	73,0 ± 0,6	75,6 ± 0,4
1 µg/ml	69,5 ± 2,5	73,6 ± 0,9
0,1 µg/ml	58,5 ± 3,1	54,7 ± 2,3
0,01 µg/ml	16,9 ± 3,1	19,2 ± 1,8
IgG TSMAb 7		
100 µg/ml	83,1 ± 0,7	77,6 ± 0,5
10 µg/ml	75,3 ± 0,2	73,4 ± 0,8
1 µg/ml	62,8 ± 2,3	67,4 ± 1,9
0,1 µg/ml	38,2 ± 7,1	36,8 ± 3,4
0,01 µg/ml	14,1 ± 3,8	20,5 ± 1,7
IgG 9D33		
IgG TSMAb 4		
100 µg/ml	86,8 ± 0,3	84,0 ± 0,3
10 µg/ml	84,8 ± 0,2	83,2 ± 0,2
1 µg/ml	81,8 ± 0,1	76,0 ± 0,4
0,1 µg/ml	59,7 ± 0,5	39,0 ± 1,5
0,01 µg/ml	15,3 ± 0,9	10,1 ± 4,2
IgG 5B3		

Muestra de ensayo	Inhibición de la unión (%) de Diluciones en tampón de ensayo (media ± DT)	Inhibición de la unión (%) de diluciones en HBD (media ± DT)
100 µg/ml	1,3 ± 1,9	-2,3 ± 2,2
10 µg/ml	-8,4 ± 2,3	-1,6 ± 3,3
1 µg/ml	-8,3 ± 3,8	-3,5 ± 0,5
0,1 µg/ml	-7,8 ± 10,0	-1,2 ± 4,3
0,01 µg/ml	-5,9 ± 4,4	-5,1 ± 3,3

Los resultados mostrados son la media ± DT de determinación por triplicado. *Media de determinaciones por duplicado. HBD = grupo de sueros de donantes de sangre sanos. 5B3 es un MAb humano para ácido glutámico descarboxilasa (control negativo). El tampón de ensayo es NaCl 50 mmol/l, Tris 10 mmol/l pH 7,8, Triton X-100 0,1 %, BSA 1 g/ml.

Tabla 3b Inhibición de la unión de TSH-biotina con pocillos de placas de ELISA recubiertos con TSHR por IgG K1-18 y Fab K1-18

Muestra de ensayo	Inhibición de la unión (%) de Diluciones en tampón de ensayo (media ± DT)	Inhibición de la unión (%) de diluciones en HBD (media ± DT)
IgG K1-18		
100 µg/ml	97,0 ± 0,2	98,1 ± 0,0
30 µg/ml	97,0 ± 0,1	97,9 ± 0,2
10 µg/ml	96,9 ± 0,1	97,9 ± 0,1
3 µg/ml	96,8 ± 0,2	97,9 ± 0,0
1 µg/ml	96,3 ± 0,1	96,8 ± 0,0
0,3 µg/ml	94,2 ± 0,1	87,8 ± 0,1
0,1 µg/ml	78,1 ± 0,3	61,8 ± 1,2
0,03 µg/ml	34,9 ± 0,3	26,3 ± 1,1
0,01 µg/ml	13,7 ± 0,4	8,2 ± 1,2
0,003 µg/ml	8,5 ± 1,1	3,0 ± 2,9
0,001 µg/ml	0,8 ± 2,6	-1,9 ± 0,1
Fab K1-18		
100 µg/ml	93,8 ± 0,2	95,6 ± 0,1
30 µg/ml	93,6 ± 0,2	95,6 ± 0,1
10 µg/ml	93,3 ± 0,1	95,6 ± 0,3
3 µg/ml	92,9 ± 0,6	95,3 ± 0,2
1 µg/ml	91,2 ± 0,2	92,9 ± 0,4
0,3 µg/ml	85,1 ± 0,4	80,3 ± 0,2
0,1 µg/ml	61,7 ± 1,6	47,7 ± 0,7
IgG K1-18		
0,03 µg/ml	28,9 ± 2,6	18,2 ± 1,6
0,01 µg/ml	10,5 ± 3,0	5,7*
0,003 µg/ml	5,1 ± 0,9	3,1 ± 4,7
0,001 µg/ml	-0,1 ± 2,3	0,3 ± 2,2
Fab M22		

Muestra de ensayo	Inhibición de la unión (%) de Diluciones en tampón de ensayo (media \pm DT)	Inhibición de la unión (%) de diluciones en HBD (media \pm DT)
0,1 μ g/ml	92,9 \pm 0,3	89,7 \pm 0,5
0,03 μ g/ml	57,0 \pm 1,5	49,9 \pm 2,2
0,01 μ g/ml	18,6 \pm 3,0	16,3 \pm 3,2
0,003 μ g/ml	5,3 \pm 1,8	5,4 \pm 5,6
0,001 μ g/ml	-0,1 \pm 0,5	-1,4 \pm 7,0

Véase leyenda de la Tabla 3a para detalles. Los resultados de MAB de control negativo (IgG 5B3) se muestran en la Tabla 3a.

Tabla 3c Inhibición de la unión de TSH-biotina con pocillos de placas recubiertas con TSHR por IgG K1-18 (efecto de diferentes condiciones de ensayo)

Muestra de ensayo	% de Inhibición (media \pm DT) de Diluciones en tampón de ensayo	% de Inhibición (media \pm DT) de Diluciones en HBD	% de Inhibición (media \pm DT) de Diluciones en tampón de ensayo + IgG 5B3 100 μ g/ml
IgG K1-18			
100 μ g/ml	96,9 \pm 0,2	98,6 \pm 0,1	96,7 \pm 0,1
30 μ g/ml	96,7 \pm 0,2	98,4 \pm 0,1	96,7 \pm 0,2
10 μ g/ml	96,2 \pm 0,2	98,3 \pm 0,1	96,6 \pm 0,1
3 μ g/ml	96,6 \pm 0,2	98,2 \pm 0,1	96,6 \pm 0,1
1 μ g/ml	96,6 \pm 0,3	96,2 \pm 0,2	96,4 \pm 0,0
0,3 μ g/ml	93,8 \pm 0,4	90,7 \pm 0,3	94,8 \pm 0,1
0,1 μ g/ml	76,3 \pm 1,8	55,0 \pm 0,2	82,8 \pm 0,4
0,03 μ g/ml	33,8 \pm 1,2	31,9 \pm 0,2	45,6 \pm 1,1
0,01 μ g/ml	12,9 \pm 2,8	10,0 \pm 0,8	17,6 \pm 4,9
0,003 μ g/ml	1,6 \pm 0,5	1,4 \pm 2,1	4,6 \pm 1,3
0,001 μ g/ml	-4,2 \pm 0,9	-3,7 \pm 1,1	-4,0 \pm 5,2
IgG M22			
100 μ g/ml	96,8 \pm 0,2	98,8 \pm 0,1	97,2 \pm 0,9
30 μ g/ml	97,0 \pm 0,1	98,8 \pm 0,1	97,0 \pm 0,1
10 μ g/ml	97,0 \pm 0,1	98,7 \pm 0,1	97,0 \pm 0,0
3 μ g/ml	97,1 \pm 0,1	98,6 \pm 0,1	96,9 \pm 0,0
1 μ g/ml	97,0 \pm 0,1	98,3 \pm 0,0	96,8 \pm 0,0
0,3 μ g/ml	96,0 \pm 0,2	95,5 \pm 0,1	96,4 \pm 0,0
0,1 μ g/ml	88,3 \pm 1,1	78,2 \pm 0,7	91,2 \pm 0,1
0,03 μ g/ml	35,2 \pm 2,4	33,3 \pm 2,0	43,6 \pm 3,4
0,01 μ g/ml	14,9 \pm 2,0	17,5 \pm 2,0	12,9 \pm 2,0
0,003 μ g/ml	9,2 \pm 3,4	12,1 \pm 4,7	-0,5 \pm 5,1
0,001 μ g/ml	0,4*	7,8 \pm 5,1	-7,7 \pm 5,8
IgG 5C9			
100 μ g/ml	91,2 \pm 0,8	48,6 \pm 1,8	92,3 \pm 0,3
10 μ g/ml	58,2 \pm 0,5	42,6 \pm 4,6	63,9 \pm 0,8

Muestra de ensayo	% de Inhibición (media ± DT) de Diluciones en tampón de ensayo	% de Inhibición (media ± DT) de Diluciones en HBD	% de Inhibición (media ± DT) de Diluciones en tampón de ensayo + IgG 5B3 100 µg/ml
1 µg/ml	42,9 ± 1,6	35,7 ± 4,0	46,7 ± 1,7
0,1 µg/ml	34,9 ± 4,0	21,6 ± 4,7	36,3 ± 2,0
0,01 µg/ml	16,1 ± 2,9	7,5 ± 5,4	20,7 ± 2,9
IgG 5B3			
100 µg/ml	8,3 ± 2,4	10,9 ± 2,9	1,1 ± 3,6
10 µg/ml	0,9 ± 0,6	11,6 ± 3,3	-4,8 ± 1,8
1 µg/ml	-1,0 ± 0,2	8,0 ± 1,7	-4,8 ± 3,2
0,1 µg/ml	-2,0 ± 0,7	8,6 ± 1,9	-6,4 ± 2,6
Véase leyenda de la Tabla 3a para detalles.			

Tabla 3d Inhibición de la unión de TSH-biotina con pocillos de placa recubiertas con TSHR por IgG K1-70 y Fab K1-70

Muestra de ensayo	Inhibición de la unión (%) de Diluciones en tampón de ensayo (media ± DT)	Inhibición de la unión (%) de Diluciones en HBD (media ± DT)
IgG K1-70		
100 µg/ml	97,2 ± 0,2	98,2 ± 0,1
30 µg/ml	97,2 ± 0,1	98,2 ± 0,1
10 µg/ml	97,3 ± 0,1	97,9 ± 0
3 µg/ml	97,2 ± 0,2	97,8 ± 0,1
1 µg/ml	97,3 ± 0,1	97,4 ± 0,2
0,3 µg/ml	97,0 ± 0,1	93,8 ± 0,1
0,1 µg/ml	91,3 ± 0,8	74,1 ± 0,4
0,03 µg/ml	45,0 ± 3,1	35,0 ± 1,0
0,01 µg/ml	10,7 ± 0,7	13,6 ± 1,4
0,003 µg/ml	-1,7 ± 2,6	12,1 ± 2,8
0,001 µg/ml	-0,1 ± 3,9	3,5 ± 1,8
Fab K1-70		
100 µg/ml	96,5 ± 0,2	97,3 ± 0,1
30 µg/ml	96,4 ± 0	97,4 ± 0,2
10 µg/ml	96,3 ± 0,1	97,3 ± 0
3 µg/ml	97,3 ± 0,2	97,3 ± 0,1
1 µg/ml	96,2 ± 0,1	96,9 ± 0,1
0,3 µg/ml	95,8 ± 0,1	95,8 ± 0,7
0,1 µg/ml	94,2 ± 0,6	88,3 ± 0,3
0,03 µg/ml	57,6 ± 1,2	55,5 ± 1,5
0,01 µg/ml	23,4 ± 3,1	18,2 ± 0,6
0,003 µg/ml	18,3 ± 0,6	9,2 ± 5,6
0,001 µg/ml	-3,2 ± 3,3	4,8 ± 4,7

ES 2 540 538 T3

Véase leyenda de la Tabla 3a para detalles. Los resultados de MAb de control negativo (IgG 5B3) se muestran en la Tabla 3a.

Tabla 4a Inhibición de la unión de M22-peroxidasa con pocillos de placas de ELISA recubiertos con TSHR por IgG K1-18 y diferentes anticuerpos monoclonales de TSHR

Muestra de ensayo	Inhibición de la unión (%) de Diluciones en tampón de ensayo (media ± DT)	Inhibición de la unión (%) de Diluciones en HBD (media ± DT)
IgG K1-18		
100 µg/ml	98,4 ± 0,1	98,0 ± 0,1
30 µg/ml	98,2 ± 0,1	97,8 ± 0,1
10 µg/ml	98,2 ± 0,1	97,6 ± 0,2
3 µg/ml	98,1 ± 0,1	97,2 ± 0,1
1 µg/ml	97,2 ± 0,3	94,5 ± 0,0
0,3 µg/ml	92,1 ± 0,7	81,6 ± 0,5
0,1 µg/ml	73,9 ± 7,1	49,8 ± 0,6
0,03 µg/ml	29,9 ± 5,3	21,0 ± 1,3
0,01 µg/ml	9,1 ± 3,7	1,2 ± 4,6
0,003 µg/ml	-1,7 ± 4,0	0,4 ± 4,3
0,001 µg/ml	-5,2 ± 4,7	-0,0 ± 2,0
IgG M22		
100 µg/ml	98,9 ± 0,1	98,6 ± 0,1
30 µg/ml	98,6 ± 0,1	98,4 ± 0,0
10 µg/ml	98,6 ± 0,1	98,4 ± 0,1
3 µg/ml	98,4 ± 0,1	98,0 ± 0,2
1 µg/ml	98,3 ± 0,0	97,4 ± 0,1
0,3 µg/ml	96,7 ± 0,3	93,2 ± 0,3
0,1 µg/ml	90,6 ± 0,9	79,4 ± 0,5
0,03 µg/ml	66,0 ± 2,1	51,0 ± 2,4
0,01 µg/ml	29,5 ± 0,9	22,7 ± 3,7
0,003 µg/ml	5,7 ± 1,4	8,8 ± 4,4
0,001 µg/ml	2,0 ± 4,1	2,6 ± 3,4
IgG 5C9		
100 µg/ml	24,6 ± 1,3	19,6 ± 5,3
10 µg/ml	13,2 ± 2,6	13,0 ± 2,6
1 µg/ml	12,1 ± 2,1	7,8 ± 2,4
0,1 µg/ml	7,1 ± 0,9	6,3 ± 2,7
0,01 µg/ml	0,6 ± 3,6	0,9 ± 1,0
IgG TSMAB 1		
100 µg/ml	74,0 ± 0,6	71,0 ± 1,2
10 µg/ml	68,6 ± 0,4	63,5 ± 1,9

ES 2 540 538 T3

Muestra de ensayo	Inhibición de la unión (%) de Diluciones en tampón de ensayo (media ± DT)	Inhibición de la unión (%) de Diluciones en HBD (media ± DT)
1 µg/ml	39,0 ± 1,8	30,6 ± 3,8
0,1 µg/ml	8,8 ± 1,8	2,4 ± 3,4
0,01 µg/ml	4,3 ± 1,7	-6,3 ± 1,1
IgG TSMAb 2		
100 µg/ml	63,1 ± 0,2	65,2 ± 3,9
10 µg/ml	58,3 ± 1,2	62,4 ± 1,2
1 µg/ml	52,8 ± 0,7	56,4 ± 3,9
0,1 µg/ml	29,5 ± 1,6	25,8 ± 2,8
0,01 µg/ml	5,6 ± 2,8	8,4 ± 3,8
IgG TSMAb 3		
100 µg/ml	34,5 ± 0,5	42,7 ± 2,9
10 µg/ml	38,4 ± 1,5	40,7 ± 3,1
1 µg/ml	34,3 ± 1,5	29,8 ± 2,5
0,1 µg/ml	19,4 ± 1,6	16,7 ± 7,1
0,01 µg/ml	8,2 ± 1,3	3,8 ± 3,1
IgG TSMAb 4		
100 µg/ml	56,6 ± 2,8	55,2 ± 3,1
10 µg/ml	56,0 ± 1,7	55,4 ± 1,8
1 µg/ml	55,6 ± 1,3	52,4 ± 1,3
0,1 µg/ml	40,2 ± 1,6	25,2 ± 0,7
0,01 µg/ml	13,7 ± 3,5	11,6 ± 5,0
IgG TSMAb 5		
100 µg/ml	67,2 ± 1,2	63,7 ± 1,7
10 µg/ml	65,4 ± 1,0	63,6 ± 2,3
1 µg/ml	63,4 ± 1,0	59,2 ± 1,1
0,1 µg/ml	54,3 ± 2,8	37,1 ± 1,9
0,01 µg/ml	22,6 ± 1,3	9,1 ± 2,9
IgG TSMAb 6		
100 µg/ml	62,9 ± 4,4	56,3 ± 2,0
10 µg/ml	55,8 ± 1,1	52,2 ± 1,5
1 µg/ml	54,7 ± 0,7	51,3 ± 1,1
0,1 µg/ml	40,7 ± 2,5	37,3 ± 5,7
0,01 µg/ml	11,6 ± 2,5	2,9 ± 1,6
IgG TSMAb 7		
100 µg/ml	51,2 ± 1,0	46,8 ± 0,2
10 µg/ml	54,1 ± 4,4	46,1 ± 1,2

Muestra de ensayo	Inhibición de la unión (%) de Diluciones en tampón de ensayo (media ± DT)	Inhibición de la unión (%) de Diluciones en HBD (media ± DT)
1 µg/ml	46,9 ± 1,1	44,9 ± 2,2
0,1 µg/ml	28,9 ± 2,9	28,3 ± 8,5
0,01 µg/ml	3,9 ± 1,5	1,4 ± 1,4
IgG 9D33		
100 µg/ml	64,1 ± 1,7	65,9 ± 0,3
10 µg/ml	64,2 ± 1,7	66,7 ± 1,4
1 µg/ml	60,1 ± 0,9	57,8 ± 1,2
0,1 µg/ml	35,1 ± 2,0	24,1 ± 1,9
0,01 µg/ml	14,8 ± 3,5	6,2 ± 4,9
IgG 5B3		
100 µg/ml	8,1 ± 0,9	3,8 ± 2,5
10 µg/ml	2,4 ± 1,2	4,9 ± 7,1
1 µg/ml	3,4 ± 1,7	9,7 ± 3,9
0,1 µg/ml	1,4 ± 1,9	3,0 ± 3,1
0,01 µg/ml	2,2 ± 6,1	4,3 ± 3,0

Los resultados mostrados son la media ± DT de determinaciones por triplicado. *Media de determinaciones por duplicado. HBD = grupo de sueros de donantes de sangre sanos. 5B3 es un MAb humano para ácido glutámico descarboxilasa (control negativo). El tampón de ensayo es NaCl 50 mmol/l, Tris 10 mmol/l pH 7,8, Triton X-100 0,1 %, BSA 1 mg/ml.

Tabla 4b Inhibición de la unión de M22-peroxidasa con pocillos de placas de ELISA recubiertos con TSHR por preparaciones de IgG K1-18, Fab K1-18 y Fab M22

Muestra de ensayo	Inhibición de la unión (%) de Diluciones en tampón de ensayo (media ± DT)	Inhibición de la unión (%) de Diluciones en HBD (media ± DT)
IgG K1-18		
3 µg/ml	97,7 ± 0,1	96,7 ± 0,3
1 µg/ml	96,5 ± 0,4	93,2 ± 0,3
0,3 µg/ml	91,9 ± 0,8	82,2 ± 1,2
0,1 µg/ml	71,9 ± 0,6	45,3 ± 1,5
0,03 µg/ml	37,2 ± 2,6	24,4 ± 1,7
0,01 µg/ml	16,7 ± 0,9	4,7 ± 0,6
0,003 µg/ml	6,5*	2,6*
Fab K1-18		
100 µg/ml	95,1 ± 0,8	93,4 ± 0,4
30 µg/ml	94,8 ± 0,1	92,6 ± 0,2
10 µg/ml	93,6 ± 0,4	92,0 ± 0,3
3 µg/ml	92,5 ± 0,1	91,7 ± 0,5
1 µg/ml	90,4 ± 0,1	87,5 ± 0,9
0,3 µg/ml	79,5 ± 0,1	70,4 ± 1,7

ES 2 540 538 T3

Muestra de ensayo	Inhibición de la unión (%) de Diluciones en tampón de ensayo (media ± DT)	Inhibición de la unión (%) de Diluciones en HBD (media ± DT)
0,1 µg/ml	53,5 ± 0,3	47,3 ± 6,3
0,03 µg/ml	24,6 ± 3,4	14,5 ± 4,7
0,01 µg/ml	11,2 ± 1,9	11,7 ± 7
0,003 µg/ml	6,3 ± 1,1	4,9 ± 7,9
0,001 µg/ml	3,6*	2,4 ± 5,0
M22 Fab		
3 µg/ml	97,5 ± 0,3	96,8 ± 0,3
1 µg/ml	97,2 ± 0,3	96,4 ± 0,2
0,3 µg/ml	96,9 ± 0,1	94,7 ± 0,3
0,1 µg/ml	93,9 ± 0,5	85,2 ± 0,3
0,03 µg/ml	80,0 ± 1,1	60,0 ± 4,9
0,01 µg/ml	44,7 ± 2,0	28,8 ± 1,1
0,003 µg/ml	17,4 ± 3,8	13,1 ± 3,1
0,001 µg/ml	5,0*	8,5*

Véase leyenda de la Tabla 4a para detalles. Los resultados del MAb de control negativo (IgG 5B3) se muestran en la Tabla 4a.

Tabla 4c Inhibición de la unión de M22-peroxidasa con pocillos de placas de ELISA recubiertos por TSHR por preparaciones de IgG K1-70 y Fab K1-70

Muestra de ensayo	Inhibición de la unión (%) de Diluciones en tampón de ensayo (media ± DT)	Inhibición de la unión (%) de Diluciones en HBD (media ± DT)
IgG K1-70		
100 µg/ml	98,5 ± 0,3	98,3 ± 0,2
30 µg/ml	98,2 ± 0,1	97,9 ± 0,1
10 µg/ml	97,9 ± 0,2	97,8 ± 0,1
3 µg/ml	98,1 ± 0,2	97,6 ± 0,1
1 µg/ml	98,1 ± 0,1	96,4 ± 0,2
0,3 µg/ml	97,3 ± 0,3	91,1 ± 0,3
0,1 µg/ml	93,0 ± 0,3	69,7 ± 0,7
0,03 µg/ml	71,8 ± 4,2	34,5 ± 3,8
0,01 µg/ml	28,0 ± 2,8	92 ± 2,6
0,003 µg/ml	6,4 ± 3,1	9,6*
0,001 µg/ml	-5,0 ± 2,7	0,8*
Fab K1-70		
100 µg/ml	97,4 ± 0,1	97,4 ± 0,1
30 µg/ml	97,6 ± 0,05	97,5 ± 0,2
10 µg/ml	97,5 ± 0,1	97,1 ± 0,1
3 µg/ml	97,2 ± 0,2	96,5 ± 0,5
1 µg/ml	97,2 ± 0,1	96,1 ± 0,3

ES 2 540 538 T3

Muestra de ensayo	Inhibición de la unión (%) de Diluciones en tampón de ensayo (media ± DT)	Inhibición de la unión (%) de Diluciones en HBD (media ± DT)
0,3 µg/ml	96,8 ± 0,2	94,4 ± 0,1
0,1 µg/ml	94,6 ± 0,2	86,0 ± 0,4
0,03 µg/ml	82,0 ± 0,7	58,8 ± 1,2
0,01 µg/ml	57,5 ± 3,7	27,9 ± 3,2
0,003 µg/ml	21,8 ± 3,9	8,2 ± 2,1
0,001 µg/ml	4,9 ± 0,4	-6,6 ± 1,9
IgG K1-18		
1 µg/ml	96,3 ± 0,2	94,6 ± 0,2
0,1 µg/ml	71,9 ± 0,9	56,3 ± 1,1
0,03 µg/ml	35,7 ± 4,2	13,6 ± 0,8
0,01 µg/ml	8,9 ± 3,2	-4,0 ± 4,9
0,003 µg/ml	-1,9*	-1,3 ± 2,9

Véase leyenda de la Tabla 4a para detalles. Los resultados del MAb de control negativo (IgG 5B3) se muestran en la Tabla 4a.

Tabla 5a Inhibición de la unión de ¹²⁵I-IgG K1-18 con tubos recubiertos con TSHR por IgG K1-18, Fab K1-18, IgG K1-70 y otros MAb

Muestra de ensayo	Inhibición de la unión (%) de Diluciones en tampón de ensayo (media ± DT)	Inhibición de la unión (%) de Diluciones en HBD (media ± DT)
IgG K1-18		
100 µg/ml	94,0 ± 0,9	94,9 ± 0,2
30 µg/ml	93,2 ± 0,3	94,7 ± 0,2
10 µg/ml	92,4 ± 1,5	93,6 ± 0,9
3 µg/ml	93,0 ± 0,3	93,5 ± 0,8
1 µg/ml	92,6 ± 0,4	91,7 ± 0,8
0,3 µg/ml	91,0 ± 0,5	84,6 ± 0,5
0,1 µg/ml	82,9 ± 1,8	69,0 ± 0,5
0,03 µg/ml	52,7 ± 0,9	36,0 ± 1,8
0,01 µg/ml	19,4 ± 4,1	22,9 ± 2,4
0,003 µg/ml	9,2 ± 2,6	7,2 ± 3,5
0,001 µg/ml	1,9 ± 7,2	11,1 ± 4,4
IgG M22		
100 µg/ml	94,5 ± 1,2	95,5 ± 0,9
30 µg/ml	93,3 ± 0,9	94,3 ± 1,2
10 µg/ml	93,3 ± 0,8	94,9 ± 0,7
3 µg/ml	93,4 ± 0,6	94,6 ± 0,1
1 µg/ml	92,3 ± 0,4	94,1 ± 0,4
0,3 µg/ml	92,2 ± 0,3	92,4 ± 0,6
0,1 µg/ml	87,1 ± 0,5	80,9 ± 0,3

ES 2 540 538 T3

Muestra de ensayo	Inhibición de la unión (%) de Diluciones en tampón de ensayo (media ± DT)	Inhibición de la unión (%) de Diluciones en HBD (media ± DT)
0,03 µg/ml	53,3 ± 3,4	56,5 ± 1,7
0,01 µg/ml	18,3 ± 5,3	36,9 ± 5,4
0,003 µg/ml	5,1 ± 3,1	14,3 ± 3,4
0,001 µg/ml	-1,6 ± 3,8	11,0 ± 0,4
Fab M22		
100 µg/ml	95,0 ± 0,6	94,1 ± 0,9
10 µg/ml	91,8 ± 0,8	92,6 ± 1,2
1 µg/ml	91,6 ± 0,8	92,8 ± 0,2
0,1 µg/ml	90,2 ± 0,1	87,4 ± 0,5
0,01 µg/ml	39,1 ± 2,8	48,0 ± 1,0
0,001 µg/ml	2,9 ± 2,8	9,3*
IgG K1-70		
100 µg/ml	94,6 ± 1,2	95,2 ± 2,0
30 µg/ml	94,6 ± 0,6	95,2 ± 0,1
10 µg/ml	93,6 ± 0,8	94,5 ± 0,3
3 µg/ml	93,1 ± 1,0	94,6 ± 0,5
1 µg/ml	93,6 ± 1,4	93,1 ± 0,1
0,3 µg/ml	92,7 ± 0,5	88,6 ± 0,3
0,1 µg/ml	89,0 ± 1,9	87,1 ± 1,3
0,03 µg/ml	55,7 ± 1,4	58,6 ± 2,0
0,01 µg/ml	18,5 ± 4,1	48,7 ± 1,3
0,003 µg/ml	1,5 ± 2,9	17,5 ± 3,9
0,001 µg/ml	1,3 ± 4,1	10,7 ± 0,9
IgG 484		
100 µg/ml	20,7 ± 2,7	-1,6 ± 2,3
10 µg/ml	5,1 ± 3,9	0,6 ± 3,0
1 µg/ml	4,5 ± 2,9	7,4 ± 5,4
0,1 µg/ml	-2,3 ± 2,0	1,8 ± 4,3
0,01 µg/ml	-3,5 ± 4,24	-0,8 ± 1,3
Fab 4B4		
100 µg/ml	-6,3 ± 0,8	-0,2 ± 1,0
10 µg/ml	-4,9 ± 3,9	3,0 ± 1,5
IgG 5C9		
100 µg/ml	91,3 ± 0,4	57,7 ± 2,4
10 µg/ml	65,9 ± 1,4	46,7 ± 0,6
1 µg/ml	48,0 ± 7,5	26,8*

ES 2 540 538 T3

Muestra de ensayo	Inhibición de la unión (%) de Diluciones en tampón de ensayo (media ± DT)	Inhibición de la unión (%) de Diluciones en HBD (media ± DT)
0,1 µg/ml	33,4 ± 0,2	21,3 ± 6,4
0,01 µg/ml	11,7 ± 1,8	-1,8 ± 2,7
IgG TSMAB 1		
100 µg/ml	56,1 ± 2,0	62,5 ± 4,0
10 µg/ml	46,0 ± 2,2	57,8 ± 1,5
1 µg/ml	41,0 ± 0,4	36,3 ± 1,0
0,1 µg/ml	17,6 ± 4,5	3,8 ± 3,8
0,01 µg/ml	3,6 ± 9,5	-6,9 ± 3,4
IgG TSMAB 2		
100 µg/ml	72,8 ± 5,9	64,5 ± 7,3
10 µg/ml	48,2 ± 1,5	62,0 ± 2,6
1 µg/ml	43,2 ± 2,0	48,8 ± 2,8
0,1 µg/ml	37,1 ± 0,6	30,2 ± 3,2
0,01 µg/ml	7,6 ± 1,2	4,9 ± 2,0
IgG TSMAB 3		
100 µg/ml	62,7 ± 1,2	64,8 ± 7,4
10 µg/ml	54,2 ± 0,4	55,6 ± 0,4
1 µg/ml	54,3 ± 1,3	46,1 ± 1,3
0,1 µg/ml	45,7 ± 5,1	24,0 ± 8,5
0,01 µg/ml	23,4 ± 3,8	-1,5 ± 2,0
IgG TSMAB 4		
100 µg/ml	64,4 ± 2,0	81,6 ± 3,8
10 µg/ml	59,7 ± 0,4	75,7 ± 2,1
1 µg/ml	57,5 ± 1,5	70,5 ± 4,6
0,1 µg/ml	48,5 ± 0,7	39,2 ± 0,3
0,01 µg/ml	12,3 ± 2,9	5,1 ± 0,9
IgG TSMAB 5		
100 µg/ml	71,9 ± 1,0	85,3 ± 3,4
10 µg/ml	67,7 ± 1,5	78,9 ± 1,6
1 µg/ml	60,5 ± 1,0	70,8 ± 1,1
0,1 µg/ml	52,7 ± 0,7	47,7 ± 1,8
0,01 µg/ml	14,4 ± 1,5	17,5 ± 9,9
IgG TSMAB 6		
100 µg/ml	72,0 ± 1,6	71,3 ± 1,6
10 µg/ml	49,3 ± 0,6	60,5 ± 1,1
1 µg/ml	46,9 ± 1,1	57,0 ± 0,6

Muestra de ensayo	Inhibición de la unión (%) de Diluciones en tampón de ensayo (media ± DT)	Inhibición de la unión (%) de Diluciones en HBD (media ± DT)
0,1 µg/ml	40,4 ± 2,4	38,6 ± 3,8
0,01 µg/ml	19,1 ± 2,4	9,6 ± 2,4
IgG TSMAb 7		
100 µg/ml	68,7 ± 1,0	65,3 ± 4,1
10 µg/ml	53,4 ± 0,5	59,9 ± 1,3
1 µg/ml	41,0 ± 0,2	54,8 ± 2,3
0,1 µg/ml	29,4 ± 1,4	28,6 ± 1,0
0,01 µg/ml	4,3 ± 2,0	-1,0 ± 3,0
IgG 9D33		
100 µg/ml	72,5 ± 0,8	68,7 ± 2,2
10 µg/ml	63,2 ± 0,8	68,1 ± 1,5
1 µg/ml	63,0 ± 0,9	62,1 ± 2,1
0,1 µg/ml	54,8 ± 1,4	33,8 ± 3,0
0,01 µg/ml	20,9 ± 0,7	5,3 ± 1,5
IgG 5B3		
100 µg/ml	6,7 ± 2,1	29,4 ± 3,4
10 µg/ml	-2,7 ± 1,1	-0,1*
1 µg/ml	-3,8 ± 1,0	-6,2 ± 0,7
0,1 µg/ml	-4,8 ± 1,8	-7,8 ± 0,6
0,01 µg/ml	-4,2 ± 3,2	-8,1 ± 1,4

Los resultados mostrados son la media ± DT de determinaciones por triplicado. *Media de determinaciones por duplicado. HBD = grupo de sueros de donantes de sangre sanos. 4B4 es un MAb humano para ácido glutámico descarboxilasa (control negativo). 5B3 es un MAB humano para ácido glutámico descarboxilasa (control negativo). La unión de ¹²⁵I-IgG K1-18 en presencia de tampón de ensayo fue del 13,6 %. La unión de ¹²⁵I-IgG K1-18 en presencia del grupo de HBD fue del 13,8 %. El tampón de ensayo es NaCl 50 mmol/l, Tris 10 mmol/l pH 7,8, Triton X-100 0,1 %.

Tabla 5b Inhibición de la unión de ¹²⁵I-IgG K1-18 con tubos recubiertos con TSHR por preparaciones de IgG K1-18, Fab K1-18, IgG K1-70 y Fab K1-70

Muestra de ensayo	Inhibición de la unión (%) de Diluciones en tampón de ensayo (media ± DT)	Inhibición de la unión (%) de Diluciones en HBD (media ± DT)
IgG K1-18		
100 µg/ml	94,5 ± 0,8	96,1 ± 0,0
30 µg/ml	93,8 ± 1,2	95,6 ± 0,8
10 µg/ml	92,5 ± 1,4	94,0 ± 1,2
3 µg/ml	93,0 ± 0,5	94,0 ± 0,3
1 µg/ml	92,8 ± 1,0	91,1 ± 0,5
0,3 µg/ml	90,9 ± 0,5	78,3 ± 3,4
0,1 µg/ml	78,9 ± 2,9	49,4 ± 2,3
0,03 µg/ml	39,3 ± 1,6	15,1 ± 2,9

ES 2 540 538 T3

Muestra de ensayo	Inhibición de la unión (%) de Diluciones en tampón de ensayo (media ± DT)	Inhibición de la unión (%) de Diluciones en HBD (media ± DT)
0,01 µg/ml	14,9 ± 2,1	5,8 ± 5,5
0,003 µg/ml	2,9 ± 5,4	-0,3 ± 2,5
0,001 µg/ml	6,9 ± 5,1	2,7 ± 1,8
Fab K1-18		
100 µg/ml	86,2 ± 2,2	84,8 ± 0,9
30 µg/ml	83,0 ± 0,8	85,0 ± 0,8
10 µg/ml	81,8 ± 0,7	83,0 ± 1,7
3 µg/ml	81,9 ± 1,3	83,4 ± 1,1
1 µg/ml	77,5 ± 1,6	80,2 ± 1,1
0,3 µg/ml	71,1 ± 0,8	65,5 ± 1,5
0,1 µg/ml	56,7 ± 0,8	39,0 ± 2,3
0,03 µg/ml	24,8 ± 0,2	10,3 ± 2,2
0,01 µg/ml	8,8 ± 2,6	1,8 ± 2,0
0,003 µg/ml	0,8 ± 4,5	1,0 ± 1,6
0,001 µg/ml	-2,6 ± 5,2	-1,0 ± 3,4
IgG K1-70		
100 µg/ml	94,5 ± 0,6	95,3 ± 0,1
30 µg/ml	93,1 ± 1,0	93,9 ± 1,9
10 µg/ml	91,9 ± 0,4	95,1 ± 0,3
3 µg/ml	92,9 ± 0,9	94,1 ± 0,6
1 µg/ml	92,0 ± 0,7	92,9 ± 0,4
0,3 µg/ml	91,5 ± 0,2	82,2 ± 0,6
0,1 µg/ml	89,2 ± 1,5	55,6 ± 1,2
0,03 µg/ml	45,6 ± 2,8	17,8 ± 2,1
0,01 µg/ml	6,8 ± 1,0	6,1 ± 4,2
0,003 µg/ml	0,1 ± 2,2	2,1 ± 3,4
0,001 µg/ml	-1,7 ± 2,2	-0,0 ± 2,3
Fab K1-70		
100 µg/ml	93,3 ± 0,6	92,5 ± 0,3
30 µg/ml	92,2 ± 1,5	91,8 ± 2,1
10 µg/ml	92,4 ± 1,2	92,6 ± 0,4
3 µg/ml	91,1 ± 0,8	92,8 ± 1,1
1 µg/ml	91,0 ± 0,5	92,1 ± 0,2
0,3 µg/ml	89,6 ± 0,1	88,1 ± 1,1
0,1 µg/ml	87,6 ± 1,5	75,2 ± 1,1
0,03 µg/ml	68,8 ± 2,3	35,0 ± 3,5

Muestra de ensayo	Inhibición de la unión (%) de Diluciones en tampón de ensayo (media ± DT)	Inhibición de la unión (%) de Diluciones en HBD (media ± DT)
0,01 µg/ml	25,6 ± 4,3	16,2 ± 1,2
0,003 µg/ml	4,1 ± 4,8	3,7 ± 2,6
0,001 µg/ml	-3,9 ± 0,8	-3,2 ± 4,0
Fab M22		
1 µg/ml	90,5 ± 0,7	91,8 ± 0,4
0,3 µg/ml	87,7 ± 4,0	87,8 ± 1,8
0,01 µg/ml	90,2 ± 0,6	77,4 ± 1,7
0,03 µg/ml	77,0 ± 1,1	39,5 ± 0,7
0,01 µg/ml	29,1 ± 6,0	10,5 ± 2,9
0,003 µg/ml	1,9 ± 3,1	1,0 ± 0,5
0,001 µg/ml	-7,3 ± 3,5	3,8 ± 2,6
IgG 4B4		
100 µg/ml	17,7 ± 1,8	-3,5 ± 2,2
10 µg/ml	-0,5 ± 2,1	0,6 ± 5,3
1 µg/ml	2,1 ± 1,5	-1,2 ± 1,5
Véase leyenda de la Tabla 5a para detalles. La unión de ¹²⁵ I-IgG K1-18 en presencia de tampón de ensayo fue del 19,1 %. La unión de ¹²⁵ I-IgG K1-18 en presencia del grupo de HBD fue del 15,3 %.		

Tabla 5c Inhibición de la unión de ¹²⁵I-IgG K1-18 con tubos recubiertos con TSHR por sueros de pacientes positivos para TRAb (estimulante y de bloqueo) y por K1 de suero de donante

Muestra de ensayo	% de inhibición de la unión de ¹²⁵ I-IgG K1-18	% de inhibición de la unión de ¹²⁵ I-TSH
G1	37,8	38,6
G2	43,1	31,5
G3	36,5	35,6
G4	44,1	47,1
G5	42,6	44,7
G6	54,5	52,1
G7	25,5	15,9
G8	48,2	41,8
G9	79,5	80,0
G10	63,1	68,7
G11	37,2	31,0
G12	37,2	29,7
G13	63,1	57,9
G14	56,4	49,3
G15	43,8	38,6
G16	44,0	42,9
G17	27,7	24,5

ES 2 540 538 T3

Muestra de ensayo	% de inhibición de la unión de ¹²⁵I-IgG K1-18	% de inhibición de la unión de ¹²⁵I-TSH
G18	44,5	39,1
G19	23,2	20,6
G20	54,4	38,4
HBD 1	1,9	-12,6
HBD 2	-1,2	-4,2
HBD 3	7,7	-5,4
HBD 4	5,7	-11,8
HBD 5	14,7	-4,7
HBD 6	11,8	1,8
HBD 7	0,0	-13,7
HBD 8	1,5	-12,8
HBD 9	0,2	-11,0
HBD 10	1,1	-10,6
suero de donante K1		
diluido 10x	59,3	67,2
diluido 20x	35,2	44,0
diluido 40x	14,2	24,8
diluido 80x	6,9	11,9
diluido 160x	5,1	2,7
diluido 320x	5,7	2,1
B1		
diluido 5x	88,1	91,5
diluido 10x	77,6	83,9
diluido 20x	57,1	65,8
diluido 40x	35,5	39,6
diluido 80x	18,7	20,7
diluido 160x	11,6	7,5
diluido 320x	5,4	-2,5
B2		
diluido 20x	90,3	93,5
diluido 40x	79,1	86,5
diluido 80x	58,7	68,7
diluido 160x	32,9	42,8
diluido 320x	32,6	20,4
diluido 640x	10,7	10,5
diluido 1280x	9,6	14,1
S1		

ES 2 540 538 T3

Muestra de ensayo	% de inhibición de la unión de ¹²⁵ I-IgG K1-18	% de inhibición de la unión de ¹²⁵ I-TSH
diluido 5x	80,6	82,0
diluido 10x	66,9	66,5
diluido 20x	52,0	47,1
diluido 40x	32,4	32,5
diluido 80x	13,6	17,4
diluido 160x	15,8	5,2
diluido 320x	10,2	2,3
S2		
diluido 5x	58,0	55,1
diluido 10x	41,5	33,7
diluido 20x	27,9	18,4
diluido 40x	19,5	9,5
diluido 80x	10,6	7,7
diluido 160x	6,7	-0,7

G1-G20 son sueros de pacientes con enfermedad de Graves positiva para TRAb. HBD 1-10 son sueros individuales de donantes de sangre sanos. B1 y B2 son sueros de pacientes con TRAb de tipo bloqueo. S1 y S2 son sueros de pacientes con TRAb de tipo estimulante.

Tabla 5d Inhibición de la unión de ¹²⁵I-Fab K1-18 con tubos recubiertos con TSHR por preparaciones de IgG K1-18, Fab K1-18 e IgG K1-70

Muestra de ensayo	Inhibición de la unión (%) de Diluciones en tampón de ensayo (media ± DT)	Inhibición de la unión (%) de Diluciones en HBD (media ± DT)
IgG K1-18		
100 µg/ml	94,8 ± 0,8	96,0 ± 0,8
30 µg/ml	94,5 ± 0,8	95,7 ± 1,2
10 µg/ml	94,8 ± 2,6	94,5 ± 1,6
3 µg/ml	93,7 ± 0,5	94,0 ± 0,2
1 µg/ml	93,3 ± 0,7	91,9 ± 0,7
0,3 µg/ml	91,1 ± 0,9	83,5 ± 1,9
0,1 µg/ml	78,5 ± 2,5	57,0 ± 2,8
0,3 µg/ml	22,0 ± 1,4	23,5 ± 2,1
0,01 µg/ml	8,6 ± 1,4	11,0 ± 2,7
0,003 µg/ml	1,4 ± 1,7	9,0 ± 2,5
0,001 µg/ml	-3,0 ± 6,1	9,4 ± 5,3
Fab K1-18		
100 µg/ml	86,2 ± 3,3	84,8 ± 1,0
30 µg/ml	84,2 ± 2,6	82,6 ± 0,9
10 µg/ml	83,5 ± 3,0	81,6 ± 1,8
3 µg/ml	81,1 ± 0,1	82,8 ± 1,0
1 µg/ml	81,5 ± 3,8	79,2 ± 1,4

ES 2 540 538 T3

Muestra de ensayo	Inhibición de la unión (%) de Diluciones en tampón de ensayo (media ± DT)	Inhibición de la unión (%) de Diluciones en HBD (media ± DT)
0,1 µg/ml	62,5 ± 0,9	43,9 ± 1,3
IgG M22		
100 µg/ml	94,9 ± 0,3	95,9 ± 0,2
30 µg/ml	93,9 ± 2,0	95,2 ± 2,4
10 µg/ml	95,3 ± 1,1	95,5 ± 0,2
3 µg/ml	94,4 ± 0,7	95,1 ± 0,4
1 µg/ml	93,4 ± 0,5	93,6 ± 1,0
0,3 µg/ml	92,5 ± 0,5	87,1 ± 0,6
0,1 µg/ml	69,8 ± 2,0	61,5 ± 1,4
0,03 µg/ml	14,7 ± 3,2	23,8 ± 1,9
0,01 µg/ml	8,0 ± 10,2	10,9 ± 2,5
0,003 µg/ml	9,0 ± 10,3	10,8 ± 5,8
0,001 µg/ml	2,9 ± 2,4	2,9 ± 3,7
Fab M22		
100 µg/ml	94,5 ± 0,4	94,5 ± 1,1
10 µg/ml	92,0 ± 2,1	92,8 ± 1,5
1 µg/ml	91,4 ± 0,5	92,8 ± 0,4
0,1 µg/ml	79,5 ± 1,2	84,5 ± 0,2
0,01 µg/ml	3,1 ± 3,3	20,4 ± 5,6
0,001 µg/ml	-0,7 ± 6,4	4,7 ± 3,9
IgG K1-70		
100 µg/ml	94,8 ± 2,2	95,6 ± 1,8
30 µg/ml	95,1 ± 0,4	95,5 ± 0,6
10 µg/ml	94,6 ± 1,0	95,8 ± 0,4
3 µg/ml	94,5 ± 0,5	95,3 ± 0,3
1 µg/ml	94,0 ± 0,5	94,0 ± 0,2
0,3 µg/ml	93,4 ± 0,6	87,7 ± 0,9
0,1 µg/ml	73,8 ± 0,6	60,1 ± 2,8
0,03 µg/ml	24,1 ± 5,8	28,7 ± 1,5
0,01 µg/ml	4,8 ± 3,5	11,7 ± 4,6
0,003 µg/ml	2,2 ± 2,2	6,4 ± 2,2
0,001 µg/ml	-3,9 ± 4,3	4,7 ± 3,5
IgG 4B4		
100 µg/ml	17,9 ± 3,9	2,7 ± 5,2
10 µg/ml	-1,35 ± 3,2	1,3 ± 0,7
1 µg/ml	-2,16 ± 0,6	5,5 ± 3,6

ES 2 540 538 T3

Muestra de ensayo	Inhibición de la unión (%) de Diluciones en tampón de ensayo (media ± DT)	Inhibición de la unión (%) de Diluciones en HBD (media ± DT)
0,1 µg/ml	-4,5 ± 2,4	1,6 ± 1,7
0,01 µg/ml	-8,9 ± 1,3	1,9 ± 1,1
Fab 4B4		
100 µg/ml	-7,8 ± 3,5	-0,8 ± 2,2
10 µg/ml	-8,5 ± 1,4	1,6 ± 2,8
IgG 5C9		
100 µg/ml	85,2 ± 1,0	61,3 ± 1,6
10 µg/ml	63,8 ± 2,1	49,8 ± 1,6
1 µg/ml	52,5 ± 1,3	23,2 ± 1,9
0,1 µg/ml	27,7 ± 1,5	6,3 ± 0,4
0,01 µg/ml	3,0 ± 2,7	5,7 ± 8,8
IgG TSMAB 1		
100 µg/ml	67,0 ± 2,0	76,8 ± 1,5
10 µg/ml	61,1 ± 3,1	67,7 ± 5,0
1 µg/ml	48,5 ± 0,8	43,4 ± 1,6
0,1 µg/ml	13,1 ± 2,0	12,8 ± 2,7
0,01 µg/ml	-0,1 ± 2,6	6,3 ± 2,7
IgG TSMAB 2		
100 µg/ml	82,8 ± 1,8	83,9 ± 3,1
10 µg/ml	60,5 ± 2,5	77,1 ± 1,4
1 µg/ml	57,5 ± 0,9	63,1 ± 2,9
0,1 µg/ml	39,5 ± 1,4	32,1 ± 2,8
0,01 µg/ml	4,7 ± 4,2	6,5 ± 3,8
IgG TSMAB 3		
100 µg/ml	76,5 ± 2,4	78,5 ± 4,1
10 µg/ml	68,6 ± 1,3	72,4 ± 1,1
1 µg/ml	66,0 ± 1,9	59,4 ± 1,8
0,1 µg/ml	41,3 ± 1,2	19,7 ± 3,9
0,01 µg/ml	5,5 ± 0,4	1,4 ± 3,9
IgG TSMAB 4		
100 µg/ml	71,4 ± 1,5	82,7 ± 2,4
10 µg/ml	67,6 ± 0,6	80,5 ± 1,1
1 µg/ml	66,2 ± 0,2	70,3 ± 1,5
0,1 µg/ml	46,1 ± 0,6	31,1 ± 4,0
0,01 µg/ml	8,1 ± 2,1	2,5 ± 1,9
IgG TSMAB 5		

Muestra de ensayo	Inhibición de la unión (%) de Diluciones en tampón de ensayo (media ± DT)	Inhibición de la unión (%) de Diluciones en HBD (media ± DT)
100 µg/ml	87,3 ± 0,9	86,4 ± 2,7
10 µg/ml	79,8 ± 1,3	81,1 ± 2,1
1 µg/ml	69,9 ± 0,9	75,9 ± 1,4
0,1 µg/ml	50,0 ± 3,0	44,1 ± 0,6
0,01 µg/ml	4,2 ± 2,5	3,3 ± 4,5
IgG TSMAB 6		
100 µg/ml	75,8 ± 2,5	77,5 ± 1,9
10 µg/ml	59,0 ± 0,7	75,4 ± 0,5
1 µg/ml	56,3 ± 4,0	70,0 ± 1,8
0,1 µg/ml	43,9 ± 0,8	40,2 ± 2,5
0,01 µg/ml	*5,6	7,1 ± 3,4
IgG TSMAB 7		
100 µg/ml	78,0 ± 0,4	77,4 ± 1,3
10 µg/ml	61,8 ± 2,2	72,5 ± 2,9
1 µg/ml	51,1 ± 1,5	62,8 ± 1,0
0,1 µg/ml	30,2 ± 1,2	31,3 ± 1,5
0,01 µg/ml	2,0 ± 7,0	5,6 ± 0,8
IgG 9D33		
100 µg/ml	81,5 ± 2,0	77,3 ± 2,2
10 µg/ml	69,5 ± 3,9	73,9 ± 0,9
1 µg/ml	66,5 ± 0,9	64,8 ± 0,7
0,1 µg/ml	48,6 ± 2,7	32,2 ± 1,1
0,01 µg/ml	7,9 ± 1,8	2,3 ± 3,0
IgG 5B3		
100 µg/ml	6,3 ± 4,5	-1,1 ± 4,8
10 µg/ml	0,6 ± 3,9	-0,1 ± 0,8
1 µg/ml	-0,9 ± 1,7	-3,1 ± 3,5
0,1 µg/ml	-3,6 ± 2,5	-8,3 ± 2,0
0,01 µg/ml	-0,0 ± 2,3	-8,6 ± 1,3

Véase leyenda de la Tabla 5a para detalles. La unión de ¹²⁵I-Fab K1-18 en presencia de tampón de ensayo fue del 10 %. La unión de ¹²⁵I-Fab K1-18 en presencia de grupo de HBD fue del 9,4 %.

Tabla 6a Comparación de la estimulación de la producción de AMP cíclico por IgG K1-18, Fab K1-18 y Fab M22 en células CHO que expresan el TSHR

Muestra de ensayo	Estimulación de la producción de AMP cíclico en tampón isotónico (media de pmol/ml de AMP cíclico ± DT)	Estimulación de la producción de AMP cíclico en tampón hipotónico (media de pmol/ml de AMP cíclico ± DT)
Tampón de AMP cíclico	0,88 ± 0,12	1,48 ± 0,13

Muestra de ensayo	Estimulación de la producción de AMP cíclico en tampón isotónico (media de pmol/ml de AMP cíclico ± DT)	Estimulación de la producción de AMP cíclico en tampón hipotónico (media de pmol/ml de AMP cíclico ± DT)
IgG K1-18		
1000 ng/ml	51,16 ± 5,29	67,90 ± 10,44
100 ng/ml	22,95 ± 2,90	64,95 ± 9,61
30 ng/ml	9,63 ± 0,76	50,72 ± 3,69
10 ng/ml	4,81 ± 0,22	31,66 ± 5,06
3 ng/ml	1,61 ± 0,77	12,55 ± 1,75
1 ng/ml	1,56 ± 0,40	4,08 ± 0,28
0,3 ng/ml	1,14 ± 0,10	2,32 ± 0,47
0,1 ng/ml	1,29 ± 0,31	1,56 ± 0,32
0,03 ng/ml	0,95 ± 0,04	1,26 ± 0,30
Fab K1-18		
1000 ng/ml	35,73 ± 2,25	66,94 ± 6,93
100 ng/ml	8,93 ± 0,18	* 53,22
30 ng/ml	2,97 ± 0,82	27,99 ± 6,25
10 ng/ml	1,65 ± 0,20	9,99 ± 3,52
3 ng/ml	1,14 ± 0,19	2,93 ± 0,17
1 ng/ml	0,79 ± 0,10	1,72 ± 0,82
0,3 ng/ml	0,71 ± 0,10	1,13 ± 0,24
0,1 ng/ml	0,84 ± 0,41	1,33 ± 0,53
0,03 ng/ml	0,50 ± 0,44	0,68 ± 0,18
Fab M22		
10 ng/ml	34,71 ± 1,43	57,41 ± 5,05
3 ng/ml	16,30 ± 1,49	55,34 ± 7,49
1 ng/ml	9,14 ± 0,82	29,80 ± 0,97
0,3 ng/ml	2,19 ± 0,19	10,08 ± 0,95
0,1 ng/ml	1,38 ± 0,07	3,83 ± 0,30
Los resultados mostrados son la media ± DT de determinaciones por triplicado. *Media de determinaciones por duplicado. Las muestras de ensayo se diluyeron en tampón de AMP cíclico.		

Tabla 6b Estimulación de la producción de AMP cíclico por IgG K1-18, IgG M22 y pTSH en células CHO que expresan el TSHR

Muestra de ensayo	Concentración de producción de AMP cíclico (media de pmol/ml ± DT)
Tampón de AMP	1,3 ± 0,2
IgG K1-18	
300 ng/ml	63,3 ± 3,7
100 ng/ml	62,6 ± 2,7
30 ng/ml	38,4 ± 3,1

Muestra de ensayo	Concentración de producción de AMP cíclico (media de pmol/ml ± DT)
10 ng/ml	25,0 ± 1,0
3 ng/ml	8,3 ± 0,5
1 ng/ml	3,0 ± 1,0
0,3 ng/ml	1,7 ± 0,3
0,1 ng/ml	0,9 ± 0,2
0,03 ng/ml	1,0 ± 0,2
0,01 ng/ml	1,0 ± 0,2
IgG M22	
100 ng/ml	64,6 ± 1,9
30 ng/ml	60,9 ± 3,5
10 ng/ml	50,3 ± 1,6
3 ng/ml	24,3 ± 2,3
1 ng/ml	8,1 ± 1,2
0,3 ng/ml	2,9 ± 0,9
pTSH	
3 ng/ml	55,4 ± 7,3
1 ng/ml	51,7 ± 3,6
0,3 ng/ml	18,5 ± 1,5
0,1 ng/ml	7,2 ± 0,6
0,03 ng/ml	2,4 ± 0,7
0,01 ng/ml	1,4 ± 0,3
Véase leyenda de la Tabla 6a para detalles.	

Tabla 6c Estimulación de la producción de AMP cíclico por la preparación de referencia de NIBSC 90/672 y por preparaciones de IgG y Fab K1-18 en comparación con IgG M22

Muestra de ensayo	Concentración de AMP cíclico (media de pmol/ml ± DT)	unidades/l	unidades/mg	media de unidades/mg
Tampón de AMP cíclico	1,36 ± 0,39			
NIBSC 90/672				
3 unidades/l	60,37 ± 3,73			
1 unidad/l	27,43 ± 3,52			
0,3 unidades/l	12,47 ± 0,23			
0,1 unidades/l	5,00 ± 0,69			
IgG K1-18				
100 ng/ml	73,05 ± 3,43			
30 ng/ml	63,68 ± 1,54			
10 ng/ml	41,91 ± 3,97	1,85	185	
3 ng/ml	16,87 ± 0,96	0,48	160	155

ES 2 540 538 T3

Muestra de ensayo	de	Concentración de AMP cíclico (media de pmol/ml ± DT)	unidades/l	unidades/mg	media de unidades/mg
1 ng/ml		5,36 ± 0,68	0,12	120	
0,3 ng/ml		1,91 ± 0,45			
Fab K1-18					
100 ng/ml		51,38 ± 1,87	2,40	24	
30 ng/ml		22,25 ± 0,81	0,70	23	22
10 ng/ml		8,34 ± 1,91	0,18	18	
3 ng/ml		3,40 ± 0,52			
1 ng/ml		1,91 ± 0,30			
0,3 ng/ml		1,30 ± 0,32			
IgG M22					
10 ng/ml		58,88 ± 8,96	2,9	290	
3 ng/ml		24,57 ± 6,55	0,8	267	286
1 ng/ml		12,01 ± 2,52	0,3	300	
0,3 ng/ml		2,36 ± 0,29			
IgG 4B4					
10 ng/ml		1,00 ± 0,33			
1 ng/ml		1,09 ± 0,22			
Fab 4B4					
10 ng/ml		0,89 ± 0,11			
1 ng/ml		0,68*			

Véase leyenda de la Tabla 6a para detalles. 4B4 es un MAb humano para ácido glutámico descarboxilasa (control negativo). Las muestras de ensayo se diluyeron en tampón de AMP cíclico hipotónico.

Tabla 6d Comparación de la estimulación de la producción de AMP cíclico por TSH porcina (p), humana nativa (h) y humana recombinante (rh) en células CHO que expresan el TSHR

Muestra de ensayo	Cíclico en tampón isotónico (media de pmol/ml ± DT)	Concentración de AMP cíclico en tampón hipotónico (media de pmol/ml ± DT)
Tampón de AMP cíclico	1,3 ± 0,5	2,0 ± 0,1
pTSH		
20 ng/ml	73,9 ± 12,7	89,9 ± 10,1
3 ng/ml	46,6 ± 3,3	76,6 ± 0,0
2 ng/ml	49,5 ± 3,9	77,6 ± 9,2
1 ng/ml	37,8 ± 3,8	69,0 ± 1,4
0,3 ng/ml	14,3 ± 1,1	34,1 ± 2,8
0,1 ng/ml	4,0 ± 0,4	11,0 ± 0,6
0,03 ng/ml	2,0 ± 0,3	4,1 ± 0,3
0,01 ng/ml	1,4 ± 0,2	2,4 ± 0,2
hTSH nativa		
250 ng/ml	57,9 ± 7,2	79,3 ± 1,0

Muestra de ensayo	Cíclico en tampón isotónico (media de pmol/ml \pm DT)	Concentración de AMP cíclico en tampón hipotónico (media de pmol/ml \pm DT)
100 ng/ml	41,6 \pm 3,0	74,4 \pm 0,9
50 ng/ml	29,0 \pm 0,8	69,4 \pm 11,7
25 ng/ml	19,9 \pm 1,2	55,2 \pm 2,7
10 ng/ml	9,6 \pm 1,7	37,8 \pm 2,0
2,5 ng/ml	3,7 \pm 0,4	11,6 \pm 0,2
1 ng/ml	2,0 \pm 1,2	6,1 \pm 0,6
rhTSH		
250 ng/ml	46,2 \pm 10,2	67,4 \pm 4,6
100 ng/ml	35,4 \pm 2,5	63,0 \pm 7,9
50 ng/ml	24,5 \pm 1,3	44,7 \pm 4,3
25 ng/ml	14,4 \pm 0,6	30,6 \pm 1,4
10 ng/ml	6,2 \pm 1,1	14,3 \pm 1,2
2,5 ng/ml	2,1 \pm 0,4	6,0 \pm 1,9
1 ng/ml	1,4 \pm 0,3	3,0 \pm 0,3

Véase leyenda de la Tabla 6a para detalles. pTSH fue de RSR Ltd, Cardiff, CF23 8HE, RU. hTSH nativa fue una preparación de referencia de NIBSC 81/565. rhTSH fue una preparación de referencia de NIBSC 94/674.

Tabla 6e Estimulación de la producción de AMP cíclico en células CHO transfectadas con TSHR por pTSH, IgG M22 e IgG K1-18 mezclados entre sí en diferentes combinaciones

Muestra de ensayo	AMP cíclico (pmol/ml; media \pm DT)
Tampón de AMP cíclico	1,00 \pm 0,72
IgG 5B3 10 ng/ml	1,58*
IgG 5B3 1 ng/ml	1,19*
IgG 5B3 0,1 ng/ml	1,53*
pTSH 0,1 ng/ml	11,01 \pm 0,99
IgG M22 1 ng/ml	35,17 \pm 6,38
pTSH 0,1 ng/ml + IgG M22 1 ng/ml	47,22 \pm 3,89
pTSH 0,05 ng/ml	5,83*
IgG M22 0,5 ng/ml	20,20*
pTSH 0,05 ng/ml + IgG M22 0,5 ng/ml	25,99 \pm 2,19
pTSH 0,1 ng/ml	11,01 \pm 0,99
IgG K1-18 10 ng/ml	45,09 \pm 6,15
pTSH 0,1 ng/ml + IgG K1-18 10 ng/ml	52,84 \pm 6,76
pTSH 0,05 ng/ml	5,83*
IgG K1-18 5 ng/ml	29,95*
pTSH 0,05 ng/ml + IgG K1-18 5 ng/ml	29,87 \pm 4,34
IgG K1-18 10 ng/ml	45,09 \pm 6,15
IgG M221 ng/ml	35,17 \pm 6,38

Muestra de ensayo	AMP cíclico (pmol/ml; media ± DT)
IgG K1-18 10 ng/ml + IgG M22 1 ng/ml	52,84 ± 6,76
IgG K1-18 5 ng/ml	29,95*
IgG M22 0,5 ng/ml	20,20*
IgG K1-18 5 ng/ml + IgG M22 0,5 ng/ml	44,01 ± 7,19

Véase leyenda de la Tabla 6a para detalles. 5B3 es un MAb humano para ácido glutámico descarboxilasa (control negativo). Las muestras del ensayo se diluyeron en tampón de AMP cíclico hipotónico.

Tabla 6f Estimulación de la producción de AMP cíclico en células CHO transfectadas con TSHR por la preparación de referencia de NIBSC 90/672 y por IgG K1-18, suero de donante e IgG de suero de donante (experimento 1)

Muestra de ensayo	Concentración de AMP cíclico (media de pmol/ml ± DT)	unidades/l	unidades/mg	media de unidades/mg
Tampón de AMP cíclico	1,5 ± 0,3			
NIBSC 90/672				
3 unidades/l	37,6 ± 3,9			
1 unidad/l	19,0 ± 1,4			
0,3 unidades/l	6,8 ± 0,5			
0,1 unidades/l	2,7 ± 0,3			
IgG de donante K1				
30 µg/ml	7,7 ± 1,0	0,45	0,013	0,013
10 µg/ml	3,3 ± 0,2			
3 µg/ml	1,8 ± 0,3			
suero de donante K1				
diluido 10x	3,2 ± 0,4			
diluido 30x	4,7 ± 0,1	0,29		
diluido 100x	2,8 ± 0,0			
diluido 300x	2,4 ± 0,3			
suero de HBD				
diluido 10x	1,8 ± 0,1			
diluido 30x	1,7 ± 0,4			
diluido 100x	1,4 ± 0,4			
IgG de suero de HBD				
30 µg/ml	1,2 ± 0,2			
10 µg/ml	1,2 ± 0,2			
3 µg/ml	2,1 ± 0,2			

Véase leyenda de la Tabla 6a para detalles. HBD = suero de un donante de sangre sano (se aisló IgG de HBD del mismo suero). Las muestras de ensayo se diluyeron en tampón de AMP cíclico hipotónico.

Tabla 6g Estimulación de la producción de AMP cíclico en células CHO transfectadas con TSHR por la preparación de referencia de NIBSC 90/672 y por IgG K1-18, suero de donante e IgG de suero de donante (experimento 2)

Muestra de ensayo	Concentración de AMP cíclico (media de pmol/ml ± DT)	unidades/l	unidades/mg	media de unidades/mg
Tampón de AMP cíclico	2,5*			
NIBSC 90/672				
3 unidades/l	64,6 ± 6,9			
1 unidad/l	36,4 ± 4,6			
0,3 unidades/l	10,2 ± 1,0			
0,1 unidades/l	4,3 ± 0,5			
IgG de donante K1				
30 µg/ml	15,6 ± 0,7	0,42	0,014	0,014
10 µg/ml	* 5,7			
3 µg/ml	2,2 ± 0,3			
suero de donante K1				
diluido 10x	6,9 ± 0,6			
diluido 30x	9,5 ± 0,7	0,28		
diluido 100x	6,6 ± 0,9			
diluido 300x	3,9 ± 2,4			
suero de HBD				
diluido 10x	3,0 ± 0,7			
diluido 30x	1,5 ± 1,5			
diluido 100x	2,1 ± 0,3			
IgG de suero de HBD				
30 µg/ml	2,0 ± 0,2			
10 µg/ml	2,1 ± 0,2			
3 µg/ml	2,3 ± 0,9			

Véase leyenda de la Tabla 6a para detalles. HBD = suero de un donante de sangre sano (se aisló IgG de HBD del mismo suero). Las muestras de ensayo se diluyeron en tampón de AMP cíclico hipotónico.

Tabla 6h Inhibición de la actividad estimulante de TSHR de IgG K1-18 por MAb humanos IgG K1-70 y 5C9 con actividad antagonista de TSH

5

Muestra de ensayo	Concentración de AMP cíclico (media de pmol/ml ± DT)	% de inhibición
Tampón de AMP cíclico	1,6 ± 0,2	
IgG K1-70 100 µg/ml	1,1 ± 0,2	
IgG 5B3 100 µg/ml	1,6 ± 0,5	
IgG 5C9 100 µg/ml	1,0 ± 0,1	
IgG K1-18 10 ng/ml	50,0 ± 3,3	
IgG K1-18 10 ng/ml + IgG 5B3 100 µg/ml	61,1 ± 5,9	0

Muestra de ensayo	Concentración de AMP cíclico (media de pmol/ml \pm DT)	% de inhibición
IgG K1-18 10 ng/ml + IgG K1-70 100 μ g/ml	1,3 \pm 1,7	97
IgG K1-18 10 ng/ml + IgG K1-70 50 μ g/ml	0,9 \pm 1,5	98
IgG K1-18 10 ng/ml + IgG K1-70 10 μ g/ml	0,1 \pm 0,0	100
IgG K1-18 10 ng/ml + IgG K1-70 5 μ g/ml	0,0 \pm 0,0	100
IgG K1-18 10 ng/ml + IgG K1-70 1 μ g/ml	0,1 \pm 0,0	100
IgG K1-18 10 ng/ml + IgG K1-70 0,5 μ g/ml	0,0 \pm 0,0	100
IgG K1-18 10 ng/ml + IgG K1-70 0,1 μ g/ml	3,8 \pm 1,0	92
IgG K1-18 10 ng/ml + IgG K1-70 0,01 μ g/ml	48,6 \pm 1,7	3
IgG K1-18 10 ng/ml + IgG K1-70 0,001 μ g/ml	52,1 \pm 11,4	0
IgG K1-18 10 ng/ml + IgG 5C9 100 μ g/ml	0,1 \pm 0,0	100
IgG K1-18 10 ng/ml + IgG 5C9 50 μ g/ml	0,1*	100
IgG K1-18 10 ng/ml + IgG 5C9 10 μ g/ml	1,4 \pm 1,5	97
IgG K1-18 10 ng/ml + IgG 5C9 5 μ g/ml	1,5 \pm 2,4	97
IgG K1-18 10 ng/ml + IgG 5C9 1 μ g/ml	0,9 \pm 1,4	98
IgG K1-18 10 ng/ml + IgG 5C9 0,5 μ g/ml	0,3*	99
IgG K1-18 10 ng/ml + IgG 5C9 0,1 μ g/ml	4,4 \pm 1,5	91
IgG K1-18 10 ng/ml + IgG 5C9 0,01 μ g/ml	51,8 \pm 4,9	0
IgG K1-18 10 ng/ml + IgG 5C9 0,001 μ g/ml	40,4 \pm 7,0	19

Véase leyenda de la Tabla 6a para detalles. 5B3 es un MAb humano para ácido glutámico descarboxilasa (control negativo). Las muestras de ensayo se diluyeron en tampón de AMP cíclico hipotónico.

Tabla 6i Inhibición de la estimulación por IgG K1-18 de la producción de AMP cíclico en células CHO transfectadas con TSHR por IgG K1-70 y 5C9 mezclados entre sí

Muestra de ensayo	Concentración de AMP cíclico (pmol/ml; media \pm DT)	% de inhibición
Tampón de AMP cíclico	0,89 \pm 0,15	

Muestra de ensayo	Concentración de AMP cíclico (pmol/ml; media ± DT)	% de inhibición
IgG K1-18 10 ng/ml	50,3 ± 4,97	
IgG 5B3 100 µg/ml	1,20 ± 0,24	
IgG 5C9 100 µg/ml	0,55 ± 0,14	
IgG K1-70 100 µg/ml	0,89 ± 0,13	
(IgG K1-70 + IgG 5C9) ^a 100 µg/ml	0,86 ± 0,17	
K1-18 10 ng/ml + IgG 5B3 100 µg/ml	52,8 ± 0,21	0
K1-18 10 ng/ml + IgG 5B3 10 µg/ml	48,5 ± 2,16	3,5
K1-18 10 ng/ml + IgG 5C9 100 µg/ml	0,66 ± 0,25	98,7
K1-18 10 ng/ml + IgG 5C9 10 µg/ml	0,21 ± 0,18	99,6
K1-18 10 ng/ml + IgG 5C9 1 µg/ml	0,29 ± 0,25	99,4
K1-18 10 ng/ml + IgG 5C9 0,1 µg/ml	0,50 ± 0,62	99,0
K1-18 10 ng/ml + IgG 5C9 0,01 µg/ml	37,7 ± 1,75	25,0
K1-18 10 ng/ml + IgG 5C9 0,001 µg/ml	51,2 ± 2,6	0
K1-18 10 ng/ml + IgG K1-70 100 µg/ml	0,74 ± 0,12	98,5
K1-18 10 ng/ml + IgG K1-70 10 µg/ml	0,38 ± 0,19	99,2
K1-18 10 ng/ml + IgG K1-70 1 µg/ml	0,37 ± 0,15	99,3
K1-18 10 ng/ml + IgG K1-70 0,1 µg/ml	1,88 ± 0,06	96,3
K1-18 10 ng/ml + IgG K1-70 0,01 µg/ml	40,4 ± 3,19	19,6
K1-18 10 ng/ml + K1-70 0,001 µg/ml	49,74 ± 1,73	1,0
K1-18 10 ng/ml + (IgG K1-70 + IgG 5C9) ^a 100 µg/ml	0,57 ± 0,18	98,9
K1-18 10 ng/ml + (IgG K1-70 + IgG 5C9) ^a 10 µg/ml	0,59 ± 0,11	98,8
K1-18 10 ng/ml + (IgG K1-70 + IgG 5C9) ^a 1 µg/ml	0,39 ± 0,09	99,2
K1-18 10 ng/ml + (IgG K1-70 + IgG 5C9) ^a 0,1 µg/ml	1,37 ± 0,92	97,3
K1-18 10 ng/ml + (IgG K1-70 + IgG 5C9) ^a 0,01 µg/ml	34,15 ± 0,62	32,0
18 10 ng/ml + (IgG K1-70 + IgG 5C9) ^a 0,001 µg/ml	37,4 ± 1,84	25,5

Véase leyenda de la Tabla 6a para detalles. 5B3 es un MAb humano para ácido glutámico descarboxilasa (control negativo). ^aSe muestra la concentración final total de la mezcla de IgG; es decir en el caso de (IgG K1-70 + IgG 5C9) 100 µg/ml la mezcla contiene IgG K1-70 50 µg/ml e IgG 5C9 50 µg/ml. En consecuencia, el efecto combinado de dos IgG a 100 µg/ml puede compararse con el efecto del IgG individual a la misma concentración (100 µg/ml). Las muestras de ensayo se diluyeron en tampón de AMP cíclico hipotónico.

Tabla 6j Inhibición de la estimulación por IgG M22 de la producción de AMP cíclico en células CHO transfectadas con TSHR por IgG K1-70 y 5C9 mezclados entre sí

Muestra de ensayo	Concentración de AMP cíclico (pmol/ml; media ± DT)	% de inhibición
Tampón de AMP cíclico	1,8 ± 0,2	
IgG M22 3 ng/ml	44,4 ± 7,1	
IgG 5B3 100 µg/ml	2,3 ± 0,2	

Muestra de ensayo	Concentración de AMP cíclico (pmol/ml; media ± DT)	% de inhibición
IgG 5C9 100 µg/ml	1,7 ± 0,2	
IgG K1-70 100 µg/ml	1,8 ± 0,2	
(IgG K1-70 + IgG 5C9) ^a 100 µg/ml	1,9 ± 0,2	
IgG M22 3 ng/ml + IgG 5B3 100 µg/ml	51,3 ± 1,2	0
IgG M22 3 ng/ml + IgG 5B3 10 µg/ml	44,7 ± 4,3	0
IgG M22 3 ng/ml + IgG 5C9 100 µg/ml	1,3 ± 0,2	97,1
IgG M22 3 ng/ml + IgG 5C9 10 µg/ml	2,5 ± 1,6	94,4
IgG M22 3 ng/ml + IgG 5C9 1 µg/ml	1,3 ± 0,1	97,1
IgG M22 3 ng/ml + IgG 5C9 0,1 µg/ml	3,2 ± 0,5	92,8
IgG M22 3 ng/ml + IgG 5C9 0,01 µg/ml	33,2 ± 1,5	25,2
IgG M22 3 ng/ml + IgG 5C9 0,001 µg/ml	41,0 ± 1,9	7,7
IgG M22 3 ng/ml + IgG K1-70 100 µg/ml	1,4 ± 0,1	96,8
IgG M22 3 ng/ml + IgG K1-70 10 µg/ml	1,2 ± 0,1	97,3
IgG M22 3 ng/ml + IgG K1-70 1 µg/ml	1,5 ± 0,2	96,6
IgG M22 3 ng/ml + IgG K1-70 0,1 µg/ml	10,9 ± 3,7	75,5
IgG M22 3 ng/ml + IgG K1-70 0,01 µg/ml	38,4 ± 3,2	13,5
IgG M22 3 ng/ml + IgG K1-70 0,001 µg/ml	40,5 ± 1,3	8,8
IgG M22 3 ng/ml + (IgG K1-70 + IgG 5C9) ^a 100 µg/ml	1,7 ± 0,1	96,2
IgG M22 3 ng/ml + (IgG K1-70 + IgG 5C9) ^a 10 µg/ml	1,8 ± 0,2	95,9
IgG M22 3 ng/ml + (IgG K1-70 + IgG 5C9) ^a 1 µg/ml	1,4 ± 0,1	96,8
IgG M22 3 ng/ml + (IgG K1-70 + IgG 5C9) ^a 0,1 µg/ml	3,6 ± 0,4	91,9
IgG M22 3 ng/ml + (IgG K1-70 + IgG 5C9) ^a 0,01 µg/ml	39,1 ± 7,9	11,9
IgG M22 3 ng/ml + (IgG K1-70 + IgG 5C9) ^a 0,001 µg/ml	36,5 ± 2,8	17,8

Véase leyenda de la Tabla 6i para detalles.

Tabla 6k Inhibición de la estimulación por IgG K1-18 de la producción de AMP cíclico en células CHO transfectadas con TSHR por IgG K1-70 y 9D33 mezclados entre sí

Muestra de ensayo	Concentración de AMP cíclico (pmol/ml; media ± DT)	% de inhibición
Tampón de AMP cíclico	1,5 ± 0,05	
IgG K1-18 10 ng/ml	37,0 ± 0,9	
IgG 5B3 100 µg/ml	1,3 ± 0,1	
IgG 9D33 100 µg/ml	2,0 ± 0,6	
IgG K1-70 100 µg/ml	1,3 ± 0,1	
(IgG K1-70 + IgG 9D33) ^a 100 µg/ml	1,3 ± 0,2	

Muestra de ensayo	Concentración de AMP cíclico (pmol/ml; media \pm DT)	% de inhibición
IgG K1-18 10 ng/ml + IgG 5B3 100 μ g/ml	41,9 \pm 4,3	-13
IgG K1-18 10 ng/ml + IgG 5B3 10 μ g/ml	35,4 \pm 1,6	4
IgG K1-18 10 ng/ml + IgG 9D33 100 μ g/ml	2,2 \pm 0,7	94
IgG K1-18 10 ng/ml + IgG 9D33 10 μ g/ml	1,9 \pm 0,6	95
IgG K1-18 10 ng/ml + IgG 9D33 1 μ g/ml	1,9 \pm 0,2	95
IgG K1-18 10 ng/ml + IgG 9D33 0,1 μ g/ml	5,3 \pm 1,1	86
IgG K1-18 10 ng/ml + IgG 9D33 0,01 μ g/ml	31,32 \pm 3,3	15
IgG K1-18 10 ng/ml + IgG 9D33 0,001 μ g/ml	35,8 \pm 2,3	3
IgG K1-18 10 ng/ml + IgG K1-70 100 μ g/ml	1,4 \pm 0,4	96
IgG K1-18 10 ng/ml + IgG K1-70 10 μ g/ml	0,9 \pm 0,1	98
IgG K1-18 10 ng/ml + IgG K1-70 1 μ g/ml	1,1 \pm 0,5	97
IgG K1-18 10 ng/ml + IgG K1-70 0,1 μ g/ml	1,7 \pm 0,8	95
IgG K1-18 10 ng/ml + IgG K1-70 0,01 μ g/ml	27,7 \pm 0,8	25
IgG K1-18 10 ng/ml + IgG K1-70 0,001 μ g/ml	37,4 \pm 1,3	-1
IgG K1-18 10 ng/ml + (IgG K1-70 + IgG 9D33) ^a 100 μ g/ml	1,2 \pm 0,1	97
IgG K1-18 10 ng/ml + (IgG K1-70 + IgG 9D33) ^a 10 μ g/ml	0,9 \pm 0,2	98
IgG K1-18 10 ng/ml + (IgG K1-70 + IgG 9D33) ^a 1 μ g/ml	1,1 \pm 0,1	97
IgG K1-18 10 ng/ml + (IgG K1-70 + IgG 9D33) ^a 0,1 μ g/ml	1,7 \pm 0,05	95
IgG K1-18 10 ng/ml + (IgG K1-70 + IgG 9D33) ^a 0,01 μ g/ml	29,4 \pm 0,6	20
IgG K1-18 10 ng/ml + (IgG K1-70 + IgG 9D33) ^a 0,001 μ g/ml	35,2 \pm 1,7	5

Véase leyenda de la Tabla 6i para detalles. ^aSe muestra la concentración total final de mezcla de IgG; es decir en el caso de (IgG K1-70 + IgG 9D33) 100 μ g/ml la mezcla contiene IgG K1-70 50 μ g/ml e IgG 9D33 50 ng/ml. En consecuencia, el efecto combinado de dos IgG a 100 μ g/ml puede compararse con el efecto del IgG individual a la misma concentración (100 μ g/ml).

Tabla 6i Inhibición de la estimulación por IgG M22 de la producción de AMP cíclico en células CHO transfectadas con TSHR por IgG K1-70 y 9D33 mezclados entre sí

Muestra de ensayo	Concentración de AMP cíclico (pmol/ml; media \pm DT)	% de inhibición
Tampón de AMP cíclico	0,52 \pm 0,3	
IgG M22 3 ng/ml	21,33 \pm 1,3	
IgG 5B3 100 μ g/ml	1,10 \pm 0,3	
IgG 9D33 100 μ g/ml	1,31 \pm 0,4	
IgG K1-70 100 μ g/ml	0,47 \pm 0,1	
(IgG K1-70 + IgG 9D33) ^a 100 μ g/ml	0,45 \pm 0,02	

Muestra de ensayo	Concentración de AMP cíclico (pmol/ml; media ± DT)	% de inhibición
IgG M22 3 ng/ml + IgG 5B3 100 µg/ml	28,13 ± 3,9	0
IgG M22 3 ng/ml + IgG 5B3 10 µg/ml	21,55 ± 1,2	0
IgG M22 3 ng/ml + IgG 9D33 100 µg/ml	1,01 ± 0,18	95
IgG M22 3 ng/ml + IgG 9D33 10 µg/ml	1,20 ± 0,1	94
IgG M22 3 ng/ml + IgG 9D33 1 µg/ml	1,48 ± 0,1	93
IgG M22 3 ng/ml + IgG 9D33 0,1 µg/ml	7,19 ± 1,6	66
IgG M22 3 ng/ml + IgG 9D33 0,01 µg/ml	21,00 ± 1,25	2
IgG M22 3 ng/ml + IgG 9D33 0,001 µg/ml	19,36 ± 7,3	9
IgG M22 3 ng/ml + IgG K1-70 100 µg/ml	0,77 ± 0,3	96
IgG M22 3 ng/ml + IgG K1-70 10 µg/ml	0,72 ± 0,3	97
IgG M22 3 ng/ml + IgG K1-70 1 µg/ml	0,82 ± 0,1	96
IgG M22 3 ng/ml + IgG K1-70 0,1 µg/ml	4,82 ± 0,7	77
IgG M22 3 ng/ml + IgG K1-70 0,01 µg/ml	18,67 ± 1,9	12
IgG M22 3 ng/ml + IgG K1-70 0,001 µg/ml	19,82 ± 0,3	7
IgG M22 3 ng/ml + (IgG K1-70 + IgG 9D33) ^a 100 µg/ml	0,77 ± 0,1	96
IgG M22 3 ng/ml + (IgG K1-70 + IgG 9D33) ^a 10 µg/ml	0,56 ± 0,4	97
IgG M22 3 ng/ml + (IgG K1-70 + IgG 9D33) ^a 1 µg/ml	0,90 ± 0,4	96
IgG M22 3 ng/ml + (IgG K1-70 + IgG 9D33) ^a 0,1 µg/ml	3,34 ± 2,4	84
IgG M22 3 ng/ml + (IgG K1-70 + IgG 9D33) ^a 0,01 µg/ml	18,20 ± 2,0	15
IgG M22 3 ng/ml + (IgG K1-70 + IgG 9D33) ^a 0,001 µg/ml	21,09 ± 0,6	1

Véase leyenda de la Tabla 6i para detalles. ^aSe muestra la concentración total final de mezcla de IgG; es decir en el caso de (IgG K1-70 + IgG 9D33) 100 µg/ml la mezcla contiene IgG K1-70 50 µg/ml e IgG 9D33 50 µg/ml. En consecuencia, el efecto combinado de dos IgG a 100 µg/ml puede compararse con el efecto del IgG individual a la misma concentración (100 µg/ml).

Tabla 6m Inhibición de la estimulación por pTSH de la producción de AMP cíclico en células CHO transfectadas con TSHR por IgG K1-70 y 9D33 mezclados entre sí

Muestra de ensayo	Concentración de AMP cíclico (pmol/ml; media ± DT)	% de inhibición
Tampón de AMP cíclico	6,04 ± 1,78	
pTSH 3 ng/ml	70,82 ± 1,75	
IgG 5B3 100 µg/ml	3,29 ± 0,18	
IgG 9D33 100 µg/ml	1,58 ± 0,25	
IgG K1-70 100 µg/ml	1,27 ± 0,17	
(IgG K1-70 + IgG 9D33) ^a 100 µg/ml	0,41 ± 0,68	
pTSH 3 ng/ml + IgG 5B3 100 µg/ml	65,74*	7
pTSH 3 ng/ml + IgG 5B3 10 µg/ml	65,97 ± 7,7	7

Muestra de ensayo	Concentración de AMP cíclico (pmol/ml; media ± DT)	% de inhibición
pTSH 3 ng/ml + IgG 9D33 100 µg/ml	3,26 ± 0,17	95
pTSH 3 ng/ml + IgG 9D33 10 µg/ml	9,17 ± 1,46	87
pTSH 3 ng/ml + IgG 9D33 1 µg/ml	23,60 ± 1,33	67
pTSH 3 ng/ml + IgG 9D33 0,1 µg/ml	50,73 ± 5,03	28
pTSH 3 ng/ml + IgG 9D33 0,01 µg/ml	67,60 ± 7,15	5
pTSH 3 ng/ml + IgG 9D33 0,001 µg/ml	61,65 ± 6,60	13
pTSH 3 ng/ml + IgG K1-70 100 µg/ml	1,46 ± 0,11	98
pTSH 3 ng/ml + IgG K1-70 10 µg/ml	1,52 ± 0,25	98
pTSH 3 ng/ml + IgG K1-70 1 µg/ml	1,70 ± 0,19	98
pTSH 3 ng/ml + IgG K1-70 0,1 µg/ml	27,50 ± 3,26	61
pTSH 3 ng/ml + IgG K1-70 0,01 µg/ml	74,70 ± 9,2	0
pTSH 3 ng/ml + IgG K1-70 0,001 µg/ml	86,95 ± 4,38	0
pTSH 3 ng/ml + (IgG K1-70 + IgG 9D33) ^a 100 µg/ml	1,69 ± 0,12	98
pTSH 3 ng/ml + (IgG K1-70 + IgG 9D33) ^a 10 µg/ml	1,39 ± 0,08	98
pTSH 3 ng/ml + (IgG K1-70 + IgG 9D33) ^a 1 µg/ml	1,90 ± 0,13	97
3 ng/ml pTSH + (IgG K1-70 + IgG 9D33) ^a 0,1 µg/ml	16,30 ± 1,16	77
pTSH 3 ng/ml + (IgG K1-70 + IgG 9D33) ^a 0,01 µg/ml	61,50 ± 5,06	13
pTSH 3 ng/ml + (IgG K1-70 + IgG 9D33) ^a 0,001 µg/ml	72,11 ± 5,5	0

Véase leyenda de la Tabla 6i para detalles. ^aSe muestra la concentración total final de mezcla de IgG; es decir en el caso de (IgG K1-70 + IgG 9D33) 100 µg/ml la mezcla contiene IgG K1-70 50 µg/ml e IgG 9D33 50 µg/ml. En consecuencia, el efecto combinado de dos IgG a 100 µg/ml puede compararse con el efecto del IgG individual a la misma concentración (100 µg/ml).

Tabla 6n Efecto de suero de donante K1 y TRAb del suero con actividad de bloqueo en la actividad estimulante de TSH, IgG M22 e IgG K1-18

Muestra de ensayo	Concentración de AMP cíclico (media de pmol/ml ± DT)	% de inhibición
Tampón de AMP cíclico	0,9 ± 0,2	
pTSH 3 ng/ml	73,7 ± 6,0	
IgG M22 3 ng/ml	42,0 ± 9,5	
IgG K1-18 10 ng/ml	44,1 ± 3,3	
control de HBD	0,5 ± 0,4	
HBD + pTSH 3 ng/ml	99,4 ± 4,3	0
HBD + IgG M22 3 ng/ml	34,7 ± 3,9	0
HBD + IgG K1-18 10 ng/ml	22,0 ± 3,1	0
B1	2,0 ± 0,1	
B1 + pTSH 3 ng/ml	32,0 ± 5,2	67,8

Muestra de ensayo	Concentración de AMP cíclico (media de pmol/ml ± DT)	% de inhibición
B1 + IgG M22 3 ng/ml	4,5 ± 1,3	87,0
B1 + IgG K1-18 10 ng/ml	3,8 ± 1,2	82,7
B2	1,0 ± 0,7	
B2 + pTSH 3 ng/ml	1,7 ± 0,2	98,3
B2 + IgG M22 3 ng/ml	0,9 ± 0,1	97,4
B2 + IgG K1-18 10 ng/ml	0,6 ± 0,3	97,3
B3	0,4 ± 0,1	
B3 + pTSH 3 ng/ml	9,3 ± 2,2	90,6
B3 + IgG M22 3 ng/ml	4,9 ± 0,7	85,9
B3 + IgG K1-18 10 ng/ml	6,1 ± 0,6	72,3
Donante K1	3,8 ± 1,5	
K1 + pTSH 3 ng/ml	36,0 ± 3,7	63,8
K1 + IgG M22 3 ng/ml	6,9 ± 0,8	80,1
K1 + IgG K1-18 10 ng/ml	4,5 ± 0,2	79,5

Véase leyenda de la Tabla 6a para detalles. pTSH = TSH porcina. B1-B3 son sueros de pacientes con TRAb de tipo bloqueo. HBD = suero de donante de sangre sano. Las muestras de ensayo se diluyeron en tampón de AMP cíclico hipotónico.

Tabla 7a Inhibición de la estimulación por TSH porcina (p) de la producción de AMP cíclico en células CHO transfectadas con TSHR por IgG K1-70 e IgG 5C9

Muestra de ensayo	Concentración de AMP cíclico (media de pmol/ml ± DT)	% de inhibición
Tampón de AMP cíclico solamente	1,6 ± 0,3	
pTSH 3 ng/ml	62,6 ± 3,9	0
IgG 5B3		
100 µg/ml + pTSH 3 ng/ml	66,7 ± 3,7	0
10 µg/ml + pTSH 3 ng/ml	67,8 ± 3,7	0
IgG K1-70		
3 µg/ml + pTSH 3 ng/ml	1,7 ± 0,6	97,3
1 ng/ml + pTSH 3 ng/ml	2,0 ± 0,2	96,8
0,3 µg/ml + pTSH 3 ng/ml	2,5 ± 0,9	96,0
0,1 µg/ml + pTSH 3 ng/ml	5,8 ± 2,8	90,7
0,075 µg/ml + pTSH 3 ng/ml	11,6 ± 2,0	81,5
0,05 µg/ml + pTSH 3 ng/ml	31,4 ± 1,9	49,8
0,025 µg/ml + pTSH 3 ng/ml	50,5 ± 7,3	19,3
0,01 µg/ml + pTSH 3 ng/ml	60,1 ± 1,6	4,0
0,003 µg/ml + pTSH 3 ng/ml	59,5 ± 5,1	5,0
3 µg/ml + sin pTSH	0,8 ± 0,1	
IgG 5C9		

Muestra de ensayo	Concentración de AMP cíclico (media de pmol/ml \pm DT)	% de inhibición
3 μ g/ml + pTSH 3 ng/ml	4,5 \pm 1,5	92,8
1 μ g/ml + pTSH 3 ng/ml	4,8 \pm 0,7	92,3
0,3 μ g/ml + pTSH 3 ng/ml	7,8 \pm 2,1	87,5
0,1 μ g/ml + pTSH 3 ng/ml	11,4 \pm 1,1	81,8
0,0075 + 3	14,7 \pm 0,6	76,5
0,05 μ g/ml + pTSH 3 ng/ml	23,3 \pm 2,9	62,8
0,025 μ g/ml + pTSH 3 ng/ml	46,3 \pm 4,6	26,0
0,01 μ g/ml + pTSH 3 ng/ml	61,8 \pm 4,8	1,0
0,003 μ g/ml + pTSH 3 ng/ml	56,1 \pm 7,5	10,4
3 μ g/ml + sin pTSH	0,9 \pm 0,1	

Los resultados mostrados son la media \pm DT de determinaciones por triplicado. 5B3 es un MAb humano para ácido glutámico descarboxilasa (control negativo). Las muestras de ensayo se diluyeron en tampón de AMP cíclico hipotónico.

Tabla 7b Inhibición de la estimulación por TSH porcina (p) de la producción de AMP cíclico en células CHO transfectadas con TSHR por preparaciones de IgG y Fab K1-70

Muestra de ensayo	Concentración de AMP cíclico en medio hipotónico (media de pmol/ml \pm DT)	Concentración de AMP cíclico en medio isotónico (media de pmol/ml \pm DT)
Tampón de AMP cíclico solamente	2,4 \pm 0,4	0,7 \pm 0,1
IgG 5B3 3 μ g/ml	1,9 \pm 0,3	0,5 \pm 0,1
IgG K1-70 3 μ g/ml	2,3 \pm 0,9	0,5 \pm 0,1
Fab K1-70 3 μ g/ml	2,3 \pm 0,8	0,8 \pm 0,2
pTSH 3 ng/ml	65,2 \pm 11,2	42,4 \pm 1,1
IgG 5B3		
3 μ g/ml + pTSH 3 ng/ml	75,7 \pm 11,4	42,5 \pm 2,8
1 μ g/ml + pTSH 3 ng/ml	71,9 \pm 14,3	39,5 \pm 1,9
IgG K1-70		
3 μ g/ml + pTSH 3 ng/ml	3,0 \pm 1,2	1,1 \pm 0,2
1 μ g/ml + pTSH 3 ng/ml	4,0 \pm 0,7	2,2 \pm 0,2
0,3 μ g/ml + pTSH 3 ng/ml	4,5 \pm 0,6	8,2 \pm 0,4
0,1 μ g/ml + pTSH 3 ng/ml	6,4 \pm 0,9	27,0 \pm 3,5
0,075 μ g/ml + pTSH 3 ng/ml	16,3 \pm 1,3	33,3 \pm 0,7
0,05 μ g/ml + pTSH 3 ng/ml	24,5 \pm 5,2	36,5 \pm 2,2
0,025 μ g/ml + pTSH 3 ng/ml	71,0 \pm 4,5	38,1 \pm 3,8
0,01 μ g/ml + pTSH 3 ng/ml	64,0 \pm 9,9	45,0 \pm 3,0
0,003 μ g/ml + pTSH 3 ng/ml	72,5 \pm 16,2	40,8 \pm 3,5
Fab K1-70		
3 μ g/ml + pTSH 3 ng/ml	3,7 \pm 0,3	1,8 \pm 0,5

Muestra de ensayo	Concentración de AMP cíclico en medio hipotónico (media de pmol/ml ± DT)	Concentración de AMP cíclico en medio isotónico (media de pmol/ml ± DT)
1 µg/ml + pTSH 3 ng/ml	3,8 ± 0,2	2,1 ± 0,8
0,3 µg/ml + pTSH 3 ng/ml	5,2 ± 1,0	5,6 ± 1,3
0,1 µg/ml + pTSH 3 ng/ml	12,9 ± 1,4	18,5 ± 2,1
0,075 µg/ml + pTSH 3 ng/ml	14,1 ± 1,0	22,4 ± 0,4
0,05 µg/ml + pTSH 3 ng/ml	28,9 ± 1,5	28,9 ± 1,1
0,025 µg/ml + pTSH 3 ng/ml	59,9 ± 5,8	42,4 ± 1,1
0,01 µg/ml + pTSH 3 ng/ml	58,8 ± 1,5	43,2 ± 4,0
0,003 µg/ml + pTSH 3 ng/ml	56,3 ± 6,0	41,2 ± 1,0
Véase leyenda de la Tabla 7a para detalles. Las muestras de ensayo se diluyeron en tampón de AMP cíclico.		

Tabla 7c El efecto de MAb de bloqueo de TSHR humano y de ratón (K1-70, 5C9 y 9D33) en la actividad constitutiva (es decir actividad basal) del TSHR

Muestra de ensayo	Concentración de AMP cíclico (media de pmol/ml ± DT)	% de inhibición
Tampón de AMP solamente	18,7 ± 2,3	0
IgG K1-70		
100 µg/ml	17,6 ± 1,6	6
10 µg/ml	17,3 ± 0,3	7
3 µg/ml	18,1 ± 0,7	3
1 µg/ml	16,8 ± 0,5	10
0,3 µg/ml	18,9 ± 1,2	0
0,1 µg/ml	19,6 ± 0,8	0
0,01 µg/ml	19,1 ± 2,6	0
0,001 µg/ml	20,3 ± 3,1	0
IgG 5C9		
100 µg/ml	9,0 ± 1,0	52
10 µg/ml	8,3 ± 0,9	56
3 µg/ml	6,9 ± 0,8	63
1 µg/ml	7,4 ± 1,3	61
0,3 µg/ml	9,3 ± 1,2	50
0,1 µg/ml	16,3 ± 0,9	13
0,01 µg/ml	18,6 ± 1,7	1
0,001 µg/ml	19,1 ± 0,8	0
IgG 9D33		
100 µg/ml	38,0 ± 1,9	0
10 µg/ml	34,3 ± 1,4	0
3 µg/ml	32,3 ± 2,3	0

Muestra de ensayo	Concentración de AMP cíclico (media de pmol/ml ± DT)	% de inhibición
1 µg/ml	35,5 ± 4,3	0
0,3 µg/ml	26,4 ± 1,2	0
0,1 µg/ml	23,9 ± 2,7	0
0,01 µg/ml	20,3 ± 1,2	0
0,001 µg/ml	18,8 ± 2,1	0

Véase leyenda de la Tabla 7a para detalles. Los experimentos se llevaron a cabo usando la línea celular CHO que expresa TSHR de tipo silvestre a aproximadamente 5×10^5 receptores por célula.

Tabla 7d Efecto del suero de donante K1 en la estimulación mediada por TSH del AMP cíclico en células CHO que expresan TSHR

Muestra de ensayo	Concentración de AMP cíclico (media de pmol/ml ± DT)	% de inhibición
Tampón de AMP cíclico	1,7 ± 1,0	
pTSH 1 ng/ml	61,7 ± 4,3	
IgG K1-70 3 µg/ml	1,7 ± 0,1	
1 ng/ml + IgG K1-70 3	3,6 ± 0,6	94,2
pTSH 1 ng/ml + IgG K1-70 1 µg/ml	3,9 ± 0,1	93,7
pTSH 1 ng/ml + IgG K1-70 0,3 µg/ml	3,3 ± 0,4	94,7
pTSH 1 ng/ml + IgG K1-70 0,1 µg/ml	20,0 ± 1,2	67,6
pTSH 1 ng/ml + IgG K1-70 0,03 µg/ml	52,2 ± 11,2	18,2
pTSH 1 ng/ml + IgG K1-70 0,01 µg/ml	67,7 ± 3,7	0
pTSH 1 ng/ml + IgG K1-70 0,003 µg/ml	72,4 ± 5,5	0
pTSH 1 ng/ml + IgG K1-70 0,001 µg/ml	58,7 ± 2,2	4,9
pTSH 1 ng/ml + IgG K1-70 0,0003 µg/ml	66,2 ± 1,7	0
IgG 5B3 100 µg/ml	2,6 ± 0,2	
pTSH 1 ng/ml + IgG 5B3 100 µg/ml	79,3 ± 8,9	0
pTSH 1 ng/ml + IgG 5B3 10 µg/ml	80,7 ± 1,1	0
pTSH 1 ng/ml + suero de donante K1 diluido 10x	14,9 ± 1,2	75,9
pTSH 1 ng/ml+ suero de donante K1 diluido 20x	51,6 ± 2,6	16,4
pTSH 1 ng/ml+ suero de donante K1 diluido 40x pTSH 1 ng/ml+ suero de donante K1 diluido 80x pTSH 1 ng/ml+ suero de donante K1 diluido 160x	63,0 ± 3,4	0
	64,4 ± 3,5	0
	63,9 ± 3,6	0
suero de donante K1 diluido 10x	4,7 ± 0,3	
pTSH 1 ng/ml + HBD diluido 10x pTSH 1 ng/ml + HBD diluido 20x	101,3 ± 5,1	0
	88,6 ± 6,4	0
HBD diluido 10x	2,2 ± 1,0	

Véase leyenda de la Tabla 7a para detalles. HBD = grupo de sueros de donantes de sangre sanos. pTSH = TSH porcina.

Tabla 7e Efecto de IgG K1-70 en la estimulación de la producción de AMP cíclico por TSH porcina (p), humana (h) y humana recombinante (rh) en células CHO que expresan el TSHR

Muestra de ensayo	Concentración de AMP cíclico en medio hipotónico (media de pmol/ml ± DT)	Concentración de AMP cíclico en medio isotónico (media de pmol/ml ± DT)
Tampón de AMP cíclico	2,5 ± 0,5	1,1 ± 0,4
IgG 5B3 100 µg/ml	2,2 ± 0,6	1,4 ± 0,5
IgG K1-70 100 µg/ml	2,5 ± 0,5	1,1 ± 0,2
3 ng/ml	48,1 ± 0,9	41,1 ± 2,2
pTSH 3 ng/ml + IgG K1-70 100 µg/ml	0,1 ± 0,0	1,3 ± 0,3
pTSH 3 ng/ml + IgG K1-70 10 µg/ml	0,2 ± 0,1	1,2 ± 0,3
pTSH 3 ng/ml + IgG K1-70 1 µg/ml	0,1*	2,0 ± 0,4
pTSH 3 ng/ml + IgG K1-70 0,1 µg/ml	3,3 ± 2,8	24,4 ± 1,2
pTSH 3 ng/ml + IgG K1-70 0,01 µg/ml	53,8 ± 3,4	39,7 ± 3,0
pTSH 3 ng/ml + IgG K1-70 0,001 µg/ml	44,9 ± 1,8	36,6 ± 5,8
hTSH 100	56,8 ± 0,1	42,3 ± 4,5
hTSH 100 ng/ml + IgG K1-70 100 µg/ml	0,1*	1,3 ± 0,3
hTSH 100 ng/ml + IgG K1-70 10 µg/ml	0,1 ± 0,0	1,0 ± 0,3
hTSH 100 ng/ml + IgG K1-70 1 µg/ml	0,2 ± 0,1	1,9 ± 0,2
100 ng/ml hTSH + IgG K1-70 0,1 µg/ml	0,1 ± 0,0	29,8 ± 1,5
hTSH 100 ng/ml + IgG K1-70 0,01 µg/ml	55,2*	37,9 ± 2,7
hTSH 100 ng/ml + IgG K1-70 0,001 µg/ml	55,0 ± 3,0	38,8 ± 2,8
rhTSH 100 ng/ml	37,8 ± 4,9	29,9 ± 2,3
rhTSH 100 ng/ml + IgG K1-70 100 µg/ml	0,3 ± 0,1	0,9 ± 0,1
rhTSH 100 ng/ml + IgG K1-70 10 µg/ml	0,2 ± 0,1	0,7 ± 0,2
rhTSH 100 ng/ml + IgG K1-70 1 µg/ml	0,3*	1,3 ± 0,6
rhTSH 100 ng/ml + IgG K1-70 0,1 µg/ml	0,3 ± 0,1	10,2 ± 0,9
rhTSH 100 ng/ml + IgG K1-70 0,01 µg/ml	27,3 ± 5,5	21,4 ± 1,0

Muestra de ensayo	Concentración de AMP cíclico en medio hipotónico (media de pmol/ml ± DT)	Concentración de AMP cíclico en medio isotónico (media de pmol/ml ± DT)
rhTSH 100 ng/ml + IgG K1-70 0,001 µg/ml	30,8 ± 1,4	23,0 ± 3,8
rhTSH 100 ng/ml + IgG K1-70 100 µg/ml	36,7 ± 3,4	28,1 ± 1,5

Véase leyenda de la Tabla 7a para detalles. *Media de determinaciones por duplicado. Las muestras de ensayo se diluyeron en tampón de AMP cíclico.

Tabla 7f Efecto de IgG K1-70 en la estimulación mediada por IgG M22 de la producción de AMP cíclico en células CHO que expresan el TSHR

Muestra de ensayo	Concentración de AMP cíclico (media de pmol/ml ± DT)	% de inhibición
Tampón de AMP cíclico	1,4 ± 0,4	
IgG K1-70 100 µg/ml	1,1 ± 0,5	
IgG 5B3 100 µg/ml	1,2 ± 0,5	
IgG 5C9 100 µg/ml	0,5 ± 0,2	
IgG M22 3 ng/ml	33,1 ± 1,8	0
IgG M22 3 ng/ml + IgG 5B3 100 µg/ml	41,8 ± 5,3	0
IgG M22 3 ng/ml + IgG K1-70 100 µg/ml	0,6 ± 0,3	98,2
IgG M22 3 ng/ml + IgG K1-70 50 µg/ml	0,8 ± 0,4	97,6
IgG M22 3 ng/ml + IgG K1-70 10 µg/ml	0,6 ± 0,4	98,2
IgG M22 3 ng/ml + IgG K1-70 5 µg/ml	0,1 ± 0,2	99,7
IgG M22 3 ng/ml + IgG K1-70 1 µg/ml	0,6 ± 0,2	98,2
IgG M22 3 ng/ml + IgG K1-70 0,5 µg/ml	0,5 ± 0,3	98,5
IgG M22 3 ng/ml + IgG K1-70 0,1 µg/ml	4,3 ± 2,4	87,0
IgG M22 3 ng/ml + IgG K1-70 0,01 µg/ml	33,0 ± 3,2	0
IgG M22 3 ng/ml + IgG K1-70 0,001 µg/ml	35,9 ± 3,2	0
IgG M22 3 ng/ml + IgG 5C9 100 µg/ml	0,4 ± 0,4	98,8
IgG M22 3 ng/ml + IgG 5C9 50 µg/ml	0,3 ± 0,1	99,1
IgG M22 3 ng/ml + IgG 5C9 10 µg/ml	0,3 ± 0,1	99,1
IgG M22 3 ng/ml + IgG 5C9 5 µg/ml	0,2 ± 0,2	99,4
IgG M22 3 ng/ml + IgG 5C9 1 µg/ml	0,8 ± 0,4	97,6
IgG M22 3 ng/ml + IgG 5C9 0,5 µg/ml	1,0 ± 0,1	97,0
IgG M22 3 ng/ml + IgG 5C9 0,1 µg/ml	2,9 ± 0,6	91,2
IgG M22 3 ng/ml + IgG 5C9 0,01 µg/ml	42,3 ± 7,1	0

Muestra de ensayo	Concentración de AMP cíclico (media de pmol/ml \pm DT)	% de inhibición
IgG M22 3 ng/ml + IgG 5C9 0,001 μ g/ml	39,3 \pm 3,6	0
Véase leyenda de la Tabla 7a para detalles. HBD = sueros de donantes de sangre sanos.		

Tabla 7g Efecto de IgG K1-70 en la actividad estimulante de TSHR de sueros de pacientes positivos para TRAb (T1-T3)

Muestra de ensayo	Concentración de AMP cíclico (media de pmol/ml \pm DT)	% de inhibición
Tampón de AMP cíclico	2,0 \pm 0,6	
HBD	1,7 \pm 0,2	
HBD + IgG 5B3 100 μ g/ml	2,0 \pm 0,1	
HBD + IgG K1-70 100 μ g/ml	1,2 \pm 0,1	
HBD + IgG 5C9 100 μ g/ml	0,9 \pm 0,3	
HBD + IgG 9D33 100 μ g/ml	1,9 \pm 0,1	
suero T1	99,8 \pm 6,1	0
Suero T1 + IgG 5B3 100 μ g/ml	94,9 \pm 14,2	4,9
Suero T1 + IgG K1-70 100 μ g/ml	1,4 \pm 0,3	98,6
Suero T1 + IgG 5C9 100 μ g/ml	1,3 \pm 0,2	98,7
Suero T1 + IgG 9D33 100 μ g/ml	4,6 \pm 0,7	95,4
Suero T2	61,8 \pm 6,3	0
Suero T2 + IgG 5B3 100 μ g/ml	62,0 \pm 14,6	0
Suero T2 + IgG K1-70 100 μ g/ml	1,5 \pm 0,1	97,6
Suero T2 + IgG 5C9 100 μ g/ml	1,1 \pm 0,3	98,2
Suero T2 + IgG 9D33 100 μ g/ml	2,0 \pm 0,2	96,8
Suero T3	63,3 \pm 9,7	0
Suero T3 + IgG 5B3 100 μ g/ml	54,2 \pm 3,8	14,4
Suero T3 + IgG K1-70 100 μ g/ml	1,2 \pm 0,3	98,1
Suero T3 + IgG 5C9 100 μ g/ml	1,4 \pm 0,2	97,8
Suero T3 + IgG 9D33 100 μ g/ml	3,7 \pm 1,0	94,2
IgG 5B3 100 μ g/ml	1,0 \pm 0,4	
IgG K1-70 100 μ g/ml	0,8 \pm 0,1	
IgG 5C9 100 μ g/ml	1,0 \pm 0,5	
IgG 9D33 100 μ g/ml	2,1 \pm 0,5	
Véase leyenda de la Tabla 7a para detalles. HBD = grupo de sueros de donantes de sangre sanos. Los sueros se diluyeron hasta una concentración final de 1:10 en tampón de ensayo de AMP cíclico hipotónico.		

5 **Tabla 7h** Efecto de IgG K1-70 en la actividad estimulante de TSHR de sueros de pacientes positivos para TRAb (T4-T6)

Muestra de ensayo	Concentración de AMP cíclico (media de pmol/ml \pm DT)	% de inhibición
Tampón de AMP cíclico	1,9 \pm 0,4	

Muestra de ensayo	Concentración de AMP cíclico (media de pmol/ml ± DT)	% de inhibición
HBD	2,4 ± 0,1	
HBD + IgG 5B3 100 µg/ml	3,0 ± 0,1	
HBD + IgG K1-70 100 µg/ml	2,1 ± 0,2	
HBD + IgG 5C9 100 µg/ml	1,8 ± 0,9	
HBD + 9D33 100 µg/ml	3,9 ± 0,5	
Suero T4	78,9 ± 8,2	0
Suero T4 + IgG 5B3 100 µg/ml	55,0 ± 14,0	30,3
Suero T4 + IgG K1-70 100 µg/ml	3,0 ± 0,4	96,2
Suero T4 + IgG 5C9 100 µg/ml	1,9 ± 0,3	97,6
Suero T4 + 9D33 100 µg/ml	4,1 ± 1,1	94,8
Suero T5	66,6*	0
Suero T5 + IgG 5B3 100 µg/ml	66,7 ± 5,3	0
Suero T5 + IgG K1-70 100 µg/ml	1,6 ± 0,4	97,6
Suero T5 + IgG 5C9 100 µg/ml	1,1 ± 0,2	98,3
Suero T5 + 9D33 100 µg/ml	2,9 ± 0,2	95,6
Suero T6	83,0 ± 6,9	0
Suero T6 + IgG 5B3 100 µg/ml	81,5 ± 20,5	1,8
Suero T6 + IgG K1-70 100 µg/ml	2,5 ± 0,1	97,0
Suero T6 + IgG 5C9 100 µg/ml	1,8 ± 0,4	97,8
Suero T6 + 9D33 100 µg/ml	5,0 ± 1,0	94,0
IgG 5B3 100 µg/ml	2,6 ± 0,7	
IgG K1-70 100 µg/ml	1,4 ± 0,5	
IgG 5C9 100 µg/ml	1,2 ± 0,3	
9D33 100 µg/ml	2,0 ± 0,6	

Véase leyenda de la Tabla 7g para detalles. *Media de determinaciones por duplicado. HBD = grupo de sueros de donantes de sangre sanos.

Tabla 7i Efecto de IgG K1-70 en la actividad estimulante de TSHR de sueros de pacientes positivos para TRAb (T7-T9)

Muestra de ensayo	Concentración de AMP cíclico (media de pmol/ml ± DT)	% de inhibición
Tampón de AMP cíclico	2,9 ± 1,1	
HBD	3,1 ± 0,4	
HBD + IgG 5B3 100 µg/ml	4,0 ± 0,4	
HBD + IgG K1-70 100 µg/ml	2,7 ± 0,1	
HBD + IgG 5C9 100 µg/ml	2,7 ± 1,4	
HBD + IgG 9D33 100 µg/ml	5,4 ± 0,3	
Suero T7	90,6*	
Suero T7 + IgG 5B3 100 µg/ml	91,9 ± 29,6	0
Suero T7 + IgG K1-70 100 µg/ml	3,2 ± 0,4	96,5

ES 2 540 538 T3

Muestra de ensayo	Concentración de AMP cíclico (media de pmol/ml ± DT)	% de inhibición
Suero T7 + IgG 5C9 100 µg/ml	2,1 ± 0,5	97,7
Suero T7 + IgG 9D33 100 µg/ml	6,3 ± 1,2	93,0
Suero T8	85,6*	0
Suero T8 + IgG 5B3 100 µg/ml	76,3 ± 10,7	10,9
Suero T8 + IgG K1-70 100 µg/ml	3,2 ± 0,5	96,3
Suero T8 + IgG 5C9 100 µg/ml	1,8 ± 0,3	97,9
Suero T8 + IgG 9D33 100 µg/ml	4,3 ± 0,6	95,0
Suero T9	56,4 ± 0,0	0
Suero T9 + IgG 5B3 100 µg/ml	53,2*	0
Suero T9 + IgG K1-70 100 µg/ml	5,2 ± 0,5	90,8
Suero T9 + 5C9 100	3,0 ± 0,4	94,7
Suero T9 + IgG 9D33 100 µg/ml	7,2 ± 1,1	87,2
IgG 5B3 100 µg/ml	2,7 ± 0,3	
IgG K1-70 100 µg/ml	1,6 ± 0,4	
IgG 5C9 100 µg/ml	1,0 ± 0,5	
IgG 9D33 100 µg/ml	2,4 ± 0,4	

Véase leyenda de la Tabla 7 g para detalles. *Media de determinaciones por duplicado. HBD = grupo de sueros de donantes de sangre sanos.

Tabla 7j Efecto de IgG K1-70 en la actividad estimulante de TSHR de sueros de pacientes positivos para TRAb (T10-T12)

Muestra de ensayo	Concentración de AMP cíclico (media de pmol/ml ± DT)	% de inhibición
Tampón de AMP cíclico	1,8 ± 0,2	
HBD	2,2 ± 0,2	
HBD + IgG 5B3 100 µg/ml	2,4 ± 0,4	
HBD + IgG K1-70 100 µg/ml	1,7 ± 0,0	
HBD + IgG 5C9 100 µg/ml	1,1 ± 0,3	
HBD + IgG 9D33 100 µg/ml	3,2 ± 0,6	
Suero T10	56,3 ± 5,2	0
Suero T10 + IgG 5B3 100 µg/ml	59,3 ± 7,1	0
Suero T10 + IgG K1-70 100 µg/ml	1,8 ± 0,2	96,8
Suero T10 + IgG 5C9 100 µg/ml	0,9 ± 0,1	98,4
Suero T10 + IgG 9D33 100 µg/ml	2,6 ± 0,3	95,4
Suero T11	41,0 ± 4,5	0
Suero T11 + IgG 5B3 100 µg/ml	39,7 ± 1,8	3,2
Suero T11 + IgG K1-70 100 µg/ml	2,0 ± 0,2	95,1
Suero T11 + IgG 5C9 100 µg/ml	37,5 ± 3,9	8,5
Suero T11 + IgG 9D33 100 µg/ml	5,3 ± 1,6	87,1

Muestra de ensayo	Concentración de AMP cíclico (media de pmol/ml ± DT)	% de inhibición
Suero T12	43,2 ± 3,1	0
Suero T12 + IgG 5B3 100 µg/ml	43,3 ± 4,0	0
Suero T12 + IgG K1-70 100 µg/ml	1,8 ± 0,0	95,8
Suero T12 + IgG 5C9 100 µg/ml	1,6 ± 0,7	96,3
Suero T12 + IgG 9D33 100 µg/ml	3,6 ± 0,1	91,7
IgG 5B3 100 µg/ml	2,0 ± 0,4	
IgG K1-70 100 µg/ml	1,1 ± 0,1	
IgG 5C9 100 µg/ml	0,9 ± 0,1	
IgG 9D33 100 µg/ml	1,9 ± 0,4	

Véase leyenda de la Tabla 7 g para detalles. HBD = grupo de sueros de donantes de sangre sanos.

Tabla 7k Efecto de IgG K1-70 en la actividad estimulante de TSHR de sueros de pacientes positivos para TRAb (T13-T15)

Muestra de ensayo	Concentración de AMP cíclico (media de pmol/ml ± DT)	% de inhibición
Tampón de AMP cíclico	1,6 ± 0,2	
HBD	2,2 ± 0,4	
HBD + IgG 5B3 100 µg/ml	5,1 ± 1,2	
HBD + IgG K1-70 100 µg/ml	2,1 ± 0,8	
HBD + IgG 5C9 100 µg/ml	1,0 ± 0,2	
HBD + IgG 9D33 100 µg/ml	3,3 ± 0,3	
Suero T13	48,5 ± 3,8	0
Suero T13 + IgG 5B3 100 µg/ml	37,6 ± 3,4	22,5
Suero T13 + IgG K1-70 100 µg/ml	2,1 ± 0,3	95,7
Suero T13 + IgG 5C9 100 µg/ml	1,2 ± 0,3	97,5
Suero T13 + IgG 9D33 100 µg/ml	3,8 ± 0,3	92,2
Suero T14	27,2 ± 3,6	0
Suero T14 + IgG 5B3 100 µg/ml	20,5 ± 2,3	24,6
Suero T14 + IgG K1-70 100 µg/ml	1,9 ± 0,4	
Suero T14 + IgG 5C9 100 µg/ml	1,4 ± 0,5	94,9
Suero T14 + IgG 9D33 100 µg/ml	2,8 ± 0,3	89,7
Suero T15	51,3*	0
Suero T15 + IgG 5B3 100 µg/ml	41,9 ± 4,0	18,3
Suero T15 + IgG K1-70 100 µg/ml	2,7 ± 0,1	94,7
Suero T15 + IgG 5C9 100 µg/ml	1,6 ± 0,3	96,9
Suero T15 + IgG 9D33 100 µg/ml	3,9 ± 0,2	92,4
IgG 5B3 100 µg/ml	4,1 ± 0,9	
IgG K1-70 100 µg/ml	2,6 ± 1,5	

ES 2 540 538 T3

Muestra de ensayo	Concentración de AMP cíclico (media de pmol/ml ± DT)	% de inhibición
IgG 5C9 100 µg/ml	0,9 ± 0,2	
IgG 9D33 100 µg/ml	2,3 ± 0,2	

Véase leyenda de la Tabla 7g para detalles. *Media de determinaciones por duplicado. HBD = grupo de sueros de donantes de sangre sanos.

Tabla 7I Efecto en la actividad estimulante de suero T5 de diferentes concentraciones de anticuerpos monoclonales de bloqueo de TSHR (K1-70, 5C9, 9D33)

Muestra de ensayo	Concentración de AMP cíclico (media de pmol/ml ± DT)	% de inhibición
Tampón de AMP cíclico	1,4 ± 0,5	
HBD diluido 10x	2,8 ± 0,7	
Suero T5 diluido 10x	63,9 ± 5,9	
IgG 5B3 (control negativo)		
100 µg/ml	1,1 ± 0,5	
100 µg/ml + T5	55,9 ± 5,5	12,5
10 µg/ml + T5	61,9 ± 2,6	3,1
1 µg/ml + T5	61,3 ± 5,5	4,1
0,1 µg/ml + T5	59,4*	7,0
IgG K1-70		
100 µg/ml	1,0 ± 0,3	
100 µg/ml + T5	1,4 ± 0,6	97,8
10 µg/ml + T5	0,9 ± 0,1	98,6
1 µg/ml + T5	1,4 ± 0,1	97,8
0,1 µg/ml + T5	8,3 ± 1,1	87,0
0,01 µg/ml + T5	52,4 ± 4,8	18,0
IgG 5C9		
100 µg/ml	1,1 ± 0,3	
100 µg/ml + T5	0,7 ± 0,1	98,9
10 µg/ml + T5	0,7 ± 0,0	98,9
1 µg/ml + T5	1,4 ± 0,5	97,8
0,1 µg/ml + T5	5,6 ± 0,3	91,2
0,01 µg/ml + T5	52,9 ± 2,0	17,2
IgG 9D33		
100 µg/ml	2,4 ± 0,2	
100 µg/ml + T5	3,0 ± 0,2	95,3
10 µg/ml + T5	2,3 ± 0,2	96,4
1 µg/ml + T5	4,1 ± 0,3	93,6
0,1 µg/ml + T5	28,3 ± 0,8	55,7
0,01 µg/ml + T5	49,2 ± 3,5	23,0

Véase leyenda de la Tabla 7a para detalles. T5 = Suero positivo para TRAb con actividad estimulante del tiroides; el suero T5 se diluyó hasta una concentración final de 1:10 en tampón de AMP cíclico hipotónico. HBD = grupo de sueros de donantes de sangre sanos.

Tabla 7m Efecto en la actividad estimulante de suero T8 de diferentes concentraciones de anticuerpos monoclonales de bloqueo de TSHR (K1-70, 5C9, 9D33)

Muestra de ensayo	Concentración de AMP cíclico (media de pmol/ml \pm DT)	% de inhibición
Tampón de AMP cíclico	1,7 \pm 0,2	
HBD diluido 10x	2,5 \pm 1,0	
Suero T8 diluido 10x	52,3 \pm 10,5	
IgG 5B3		
100 μ g/ml	2,1 \pm 0,5	
100 μ g/ml + T8	50,5 \pm 3,1	3
10 μ g/ml + T8	56,0 \pm 14,7	0
1 μ g/ml + T8	51,4 \pm 2,7	2
0,1 μ g/ml + T8	50,7 \pm 10,2	3
IgG K1-70		
100 μ g/ml	1,8 \pm 0,2	
100 μ g/ml + T8	2,4 \pm 0,3	95
10 μ g/ml + T8	2,1 \pm 0,7	96
1 μ g/ml + T8	2,5 \pm 0,2	95
0,1 μ g/ml + T8	5,8 \pm 0,3	89
0,01 μ g/ml + T8	63,4 \pm 8,0	0
IgG 5C9		
100 μ g/ml	1,2 \pm 0,2	
100 μ g/ml + T8	1,7 \pm 0,8	97
10 μ g/ml + T8	1,7 \pm 0,2	97
1 μ g/ml + T8	2,2 \pm 0,3	96
0,1 μ g/ml + T8	4,6 \pm 0,5	91
0,01 μ g/ml + T8	53,7 \pm 7,1	0
IgG 9D33		
100 μ g/ml	2,4 \pm 0,5	
100 μ g/ml + T8	3,6 \pm 0,8	93
10 μ g/ml + T8	3,7 \pm 0,5	93
1 μ g/ml + T8	4,7 \pm 0,2	91
0,1 μ g/ml + T8	22,9 \pm 0,4	56
0,01 μ g/ml + T8	45,8 \pm 4,9	12

Véase leyenda de la Tabla 7a para detalles. T8 = Suero positivo para TRAb con actividad estimulante del receptor de TSH; el suero T8 se diluyó hasta una concentración final de 1:10 en tampón de AMP cíclico hipotónico. HBD = grupo de sueros de donantes de sangre sanos.

Tabla 7n Efecto en la actividad estimulante de suero T11 de diferentes concentraciones de anticuerpos monoclonales de bloqueo de TSHR (K1-70, 5C9, 9D33)

Muestra de ensayo	Concentración de AMP cíclico (media de pmol/ml ± DT)	% de inhibición
Tampón de AMP cíclico	1,2 ± 0,4	
HBD diluido 10x	1,8 ± 0,4	
Suero T11 diluido 10x	25,2 ± 4,4	
IgG 5B3		
100 µg/ml	1,0 ± 0,2	
100 µg/ml + T11	18,4 ± 1,3	27,0
10 µg/ml + T11	18,8 ± 1,3	25,4
1 µg/ml + T11	19,8 ± 1,2	21,4
0,1 µg/ml + T11	17,7 ± 2,1	29,8
IgG K1-70		
100 µg/ml	0,9 ± 0,2	
100 µg/ml + T11	1,0 ± 0,3	96,0
10 µg/ml + T11	1,1 ± 0,1	95,6
1 µg/ml + T11	1,1 ± 0,1	95,6
0,1 µg/ml + T11	2,4 ± 0,3	90,5
0,01 µg/ml + T11	22,1 ± 0,8	12,3
IgG 5C9		
100 µg/ml	0,9 ± 0,1	
100 µg/ml + T11	22,4 ± 1,9	11,1
10 µg/ml + T11	21,7 ± 0,5	13,9
1 µg/ml + T11	19,4 ± 2,2	23,0
0,1 µg/ml + T11	20,2 ± 0,4	19,8
0,01 µg/ml + T11	24,1 ± 0,5	4,3
IgG 9D33		
100 µg/ml	1,3 ± 0,2	
100 µg/ml + T11	2,1 ± 0,1	94,8
10 µg/ml + T11	2,5 ± 0,1	90,1
1 µg/ml + T11	3,1 ± 0,3	87,7
0,1 µg/ml + T11	12,5 ± 0,3	50,4
0,01 µg/ml + T11	20,9 ± 0,3	17,1

Véase leyenda de la Tabla 7a para detalles. T11 = Suero positivo para TRAb con actividad estimulante del receptor de TSH; el suero T11 se diluyó hasta una concentración final de 1:10 en tampón de AMP cíclico hipotónico. HBD = grupo de sueros de donantes de sangre sanos.

Tabla 7o Inhibición de la estimulación por TSH porcina (p) de la producción de AMP cíclico en células CHO transfectadas con TSHR por K1-70 y 5C9 mezclados entre sí

Muestra de ensayo	Concentración de AMP cíclico (media de pmol/ml \pm DT)	% de inhibición
Tampón de AMP cíclico	0,6 \pm 0,1	
pTSH 3 ng/ml	64,2 \pm 3,5	
5B3 100 μ g/ml	0,9 \pm 0,2	
5C9 100 μ g/ml	0,2 \pm 0,0	
K1-70 100 μ g/ml	0,6 \pm 0,2	
(K1-70 + 5C9) ^a 100 μ g/ml	0,7 \pm 0,5	
pTSH 3 ng/ml + 5B3 100 μ g/ml	63,9 \pm 5,1	0,5
pTSH 3 ng/ml + 5B3 10 μ g/ml	66,9 \pm 6,5	0
pTSH 3 ng/ml + 5C9 100 μ g/ml	0,5 \pm 0,0	99,2
pTSH 3 ng/ml + 5C9 10 μ g/ml	1,3 \pm 0,4	98,0
pTSH 3 ng/ml + 5C9 1 μ g/ml	4,2 \pm 0,6	93,5
pTSH 3 ng/ml + 5C9 0,1 μ g/ml	13,7 \pm 4,9	78,7
pTSH 3 ng/ml + 5C9 0,01 μ g/ml	64,6 \pm 1,4	0
pTSH 3 ng/ml + 5C9 0,001 μ g/ml	64,1 \pm 7,3	0,2
pTSH 3 ng/ml + K1-70 100 μ g/ml	0,7 \pm 0,1	98,9
pTSH 3 ng/ml + K1-70 10 μ g/ml	1,0 \pm 0,6	98,4
pTSH 3 ng/ml + K1-70 1 μ g/ml	0,7 \pm 0,4	98,9
pTSH 3 ng/ml + K1-70 0,1 μ g/ml	5,9 \pm 2,8	90,8
pTSH 3 ng/ml + K1-70 0,01 μ g/ml	52,0 \pm 3,0	19,0
pTSH 3 ng/ml + K1-70 0,001 μ g/ml	59,4 \pm 3,7	7,5
pTSH 3 ng/ml + (K1-70 + 5C9) ^a 100 μ g/ml	1,1 \pm 0,4	98,3
pTSH 3 ng/ml + (K1-70 + 5C9) ^a 10 μ g/ml	0,5 \pm 0,1	99,2
pTSH 3 ng/ml + (K1-70 + 5C9) ^a 1 μ g/ml	2,5 \pm 0,3	96,1
pTSH 3 ng/ml + (K1-70 + 5C9) ^a 0,1 μ g/ml	9,4 \pm 4,0	85,4
pTSH 3 ng/ml + (K1-70 + 5C9) ^a 0,01 μ g/ml	49,4 \pm 2,9	23,0
pTSH 3 ng/ml + (K1-70 + 5C9) ^a 0,001 μ g/ml	48,3 \pm 4,8	24,8

Véase leyenda de la Tabla 7a para detalles. K1-70, 5C9 y 5B3: se usaron IgG purificados de los MAb en todos los experimentos. ^aEn algunos experimentos los MAb se mezclaron en proporciones iguales y la concentración mostrada para una mezcla representa la cantidad total de IgG añadida, es decir: (K1-70 + 5C9) 100 μ g/ml = 50 μ g/ml de K1-70 + 50 μ g/ml de 5C9 usado en el experimento.

Tabla 7p El efecto de IgG K1-70 y 5C9 mezclados entre sí en la actividad constitutiva (es decir actividad basal) del TSHR

Muestra de ensayo	Concentración de AMP cíclico (media de pmol/ml \pm DT)	% de inhibición
Tampón de AMP cíclico solamente	58,04 \pm 8,52	

Muestra de ensayo	Concentración de AMP cíclico (media de pmol/ml ± DT)	% de inhibición
IgG 5C9 0,1 µg/ml	68,21 ± 2,81	0
IgG 5C9 0,2 µg/ml	58,75 ± 3,92	0
IgG 5C9 1 µg/ml	31,40 ± 0,89	45,9
IgG 5C9 2 µg/ml	31,75 ± 2,73	45,3
IgG K1-70 0,01 µg/ml	92,24 ± 3,92	0
IgG K1-70 0,1 µg/ml	62,77 ± 2,18	0
IgG K1-70 0,2 µg/ml	58,75 ± 3,92	0
IgG K1-70 1 µg/ml	61,52 ± 5,04	0
IgG K1-70 2 µg/ml	52,12 ± 1,84	10,2
IgG 5B3 0,01 µg/ml	58,16 ± 9,42	0
IgG 5B3 0,1 µg/ml	58,75 ± 3,92	0
IgG 5B3 0,2 µg/ml	53,30 ± 3,36	8,2
IgG 5B3 1 µg/ml	54,39 ± 2,62	6,3
IgG 5B3 2 µg/ml	50,57 ± 2,39	12,9
IgG 5C9 0,01 µg/ml + IgG K1-70 ^a	83,80 ± 5,12	0
IgG 5C9 0,1 µg/ml + IgG K1-70 ^a	76,28 ± 1,72	0
IgG 5C9 0,2 µg/ml + IgG K1-70 ^a	71,85 ± 5,96	0
IgG 5C9 1 µg/ml + IgG K1-70 ^a	67,70 ± 12,58	0
IgG 5C9 2 µg/ml + IgG K1-70 ^a	55,28 ± 6,17	4,8
IgG 5C9 0,01 µg/ml + IgG 5B3 ^a	73,53 ± 4,31	0
IgG 5C9 0,1 µg/ml + IgG 5B3 ^a	82,26 ± 12,07	0
IgG 5C9 0,2 µg/ml + IgG 5B3 ^a	62,03 ± 1,22	0
IgG 5C9 1 µg/ml + IgG 5B3 ^a	36,49 ± 1,10	37,1
IgG 5C9 2 µg/ml + IgG 5B3 ^a	27,78 ± 2,96	52,1

Véase leyenda de la Tabla 7a para detalles. Los experimentos se llevaron a cabo usando células CHO que expresaban TSHR de tipo silvestre a aproximadamente a 5×10^5 receptores por células. ^aSe muestra la concentración total final de la mezcla de IgG; es decir en el caso de IgG K1-70 + IgG 5C9 2 µg/ml, la mezcla contiene IgG K1-70 1 µg/ml e IgG 5C9 1 µg/ml. En consecuencia, el efecto combinado de dos IgG a 2 µg/ml puede compararse con el efecto del IgG individual a la misma concentración (2 µg/ml).

Tabla 8a Niveles de AMP cíclico en células CHO que expresan TSHR de tipo silvestre y TSHR con Lys58 mutado a Ala. Efecto de diferentes diluciones de anticuerpo monoclonal humano para el TSHR (K1-18) con actividad agonista de TSH

	AMP cíclico producido (pmol/mlpmol/ml) media ± DT (n = 3)		Mutado/Tipo silvestre (%)
	TSHR de tipo silvestre	TSHR mutado	
Tampón de ensayo de AMP cíclico	2,32 ± 0,37	8,23 ± 0,00	355
K1-18			
0,3 ng/ml	4,69 ± 0,95	12,02 ± 1,52	256

	AMP cíclico producido (pmol/mlpmol/ml) media ± DT (n = 3)		Mutado/Tipo silvestre (%)
	TSHR de tipo silvestre	TSHR mutado	
1 ng/ml	8,95 ± 0,18	19,35 ± 3,45	216
3 ng/ml	25,47 ± 4,30	43,07 ± 13,04	169
10 ng/ml	66,57 ± 3,17	69,61 ± 1,25	105
30 ng/ml	84,18 ± 11,86	79,39 ± 9,40	94
100 ng/ml	98,12 ± 5,31	102,88 ± 3,31	105
TSH			
0,01 ng/ml	3,11 ± 1,09	7,16 ± 0,97	230
0,03 ng/ml	4,43 ± 0,67	10,00 ± 0,29	226
0,1 ng/ml	10,11 ± 1,27	17,24 ± 1,77	171
0,3 ng/ml	41,25 ± 5,41	45,94 ± 1,43	111
1 ng/ml	74,52 ± 3,07	75,22*	101
3 ng/ml	95,34 ± 6,60	83,71 ± 7,10	88

Los resultados mostrados son la media ± DT de determinaciones por triplicado. *Determinación por duplicado. Muestra diluidas en tampón de AMP cíclico hipotónico.

Tabla 8b Niveles de AMP cíclico en células CHO que expresan TSHR de tipo silvestre y TSHR con Arg80 mutada a Ala. Efecto de diferentes diluciones de anticuerpo monoclonal humano para el TSHR (K1-18) con actividad agonista de TSH

	AMP cíclico producido (pmol/mlpmol/ml) media ± DT (n = 3)		Mutado/Tipo silvestre (%)
	TSHR de tipo silvestre	TSHR mutado	
Tampón de ensayo de AMP cíclico	1,65 0,40	4,76 ± 1,30	288
K1-18			
0,3 ng/ml	2,46 ± 0,49	4,59 ± 0,41	187
1 ng/ml	5,11 ± 0,77	7,22 ± 0,69	141
3 ng/ml	10,65 ± 1,17	13,81 ± 2,53	130
10 ng/ml	31,34 ± 5,31	31,72 ± 1,53	101
30 ng/ml	50,15 ± 6,02	45,47 ± 3,59	91
100 ng/ml	66,30 ± 6,93	64,50 ± 0,51	97
TSH			
0,01 ng/ml	2,00 ± 0,81	4,06 ± 0,36	203
0,03 ng/ml	3,68 ± 0,28	6,19 ± 0,95	168
0,1 ng/ml	9,10 ± 1,19	13,31 ± 1,94	146
0,3 ng/ml	22,19 ± 1,46	27,66 ± 2,20	125
1 ng/ml	57,48 ± 4,57	54,55 ± 10,40	95
3 ng/ml	58,48 ± 8,87	56,95 ± 3,97	97

Véase leyenda de la Tabla 8a para detalles.

Tabla 8c Niveles de AMP cíclico en células CHO que expresan TSHR de tipo silvestre y TSHR con Tyr82 mutada a Ala. Efecto de diferentes diluciones de anticuerpo monoclonal humano para el TSHR (K1-18) con actividad agonista de TSH

	AMP cíclico producido (pmol/mlpmol/ml) media ± DT (n = 3)		
	TSHR de tipo silvestre	TSHR mutado	Mutado/Tipo silvestre (%)
Tampón de ensayo de AMP cíclico	0,52 ± 0,09	1,88 ± 0,25	362
K1-18			
0,3 ng/ml	1,39 ± 0,10	4,72 ± 0,95	340
1 ng/ml	2,95 ± 0,51	5,48 ± 0,91	186
3 ng/ml	7,22 ± 1,08	13,26 ± 1,61	184
10 ng/ml	26,07 ± 1,15	28,73 ± 2,65	110
30 ng/ml	36,96 ± 2,55	41,91 ± 5,06	113
100 ng/ml	50,72 ± 6,93	57,64 ± 1,84	114
TSH			
0,01 ng/ml	1,01 ± 0,42	2,60 ± 0,44	257
0,03 ng/ml	4,39 ± 1,65	4,10 ± 0,63	93
0,1 ng/ml	9,67 ± 1,07	9,64 ± 1,49	100
0,3 ng/ml	29,80 ± 2,51	33,66 ± 4,57	113
1 ng/ml	53,34 ± 4,68	49,96 ± 0,72	94
3 ng/ml	56,56 ± 4,76	61,34 ± 4,96	108
Véase leyenda de la Tabla 8a para detalles.			

5 **Tabla 8d** Niveles de AMP cíclico en células CHO que expresan TSHR de tipo silvestre y TSHR con Glu107 mutada a Ala. Efecto de diferentes diluciones de anticuerpo monoclonal humano para el TSHR (K1-18) con actividad agonista de TSH

	AMP cíclico producido (pmol/mlpmol/ml) media ± DT (n = 3)		
	TSHR de tipo silvestre	TSHR mutado	Mutado/Tipo silvestre (%)
Tampón de ensayo de AMP cíclico	0,91 ± 0,15	7,16 ± 0,17	787
K1-18 (ng/ml)			
0,3 ng/ml	1,78 ± 0,20	9,30 ± 1,48	522
1 ng/ml	3,73 ± 0,09	10,96 ± 0,69	294
3 ng/ml	11,06 ± 1,45	20,55 ± 3,83	186
10 ng/ml	30,04 ± 2,34	31,49 ± 2,70	105
30 ng/ml	49,28 ± 3,28	40,92 ± 2,03	83
100 ng/ml	57,80 ± 5,23	53,62 ± 3,86	93
TSH (ng/ml)			
0,01 ng/ml	1,41 ± 0,10	8,20 ± 1,87	582
0,03 ng/ml	1,99 ± 0,09	8,92 ± 2,93	448

	AMP cíclico producido (pmol/mlpmol/ml) media ± DT (n = 3)		
	TSHR de tipo silvestre	TSHR mutado	Mutado/Tipo silvestre (%)
0,1 ng/ml	5,54 ± 0,60	8,24 ± 0,60	149
0,3 ng/ml	16,27 ± 4,48	15,72 ± 0,81	97
1 ng/ml	44,20 ± 3,64	30,22 ± 2,62	68
3 ng/ml	53,86 ± 7,00	43,91 ± 2,61	82
Véase leyenda de la Tabla 8a para detalles.			

Tabla 8e Niveles de AMP cíclico en células CHO que expresan TSHR de tipo silvestre y TSHR con Arg109 mutada a Ala. Efecto de diferentes diluciones de anticuerpo monoclonal humano para el TSHR (K1-18) con actividad agonista de TSH

	AMP cíclico producido (pmol/mlpmol/ml) media ± DT (n = 3)		
	TSHR de tipo silvestre	TSHR mutado	Mutado/Tipo silvestre (%)
Tampón de ensayo de AMP cíclico	1,75 ± 0,35	3,42 ± 0,41	195
K1-18 (ng/ml)			
0,3 ng/ml	2,66 ± 0,13	5,31 ± 0,11	200
1 ng/ml	5,81 ± 0,13	9,39 ± 0,88	162
3 ng/ml	12,86 ± 0,77	17,99 ± 3,94	140
10 ng/ml	40,46 ± 1,76	40,55 ± 3,48	100
30 ng/ml	58,91 ± 9,28	50,84 ± 1,01	86
100 ng/ml	66,01 ± 4,85	59,9 ± 1,25	91
TSH (ng/ml)			
0,01 ng/ml	2,74 ± 0,37	3,15 ± 0,22	115
0,03 ng/ml	4,24 ± 0,24	4,92 ± 0,54	116
0,1 ng/ml	9,39 ± 1,16	8,39 ± 0,46	89
0,3 ng/ml	39,63 ± 2,57	39,17 ± 1,70	99
1 ng/ml	61,19 ± 8,50	43,82 ± 1,69	72
3 ng/ml	70,6 ± 10,03	55,16 ± 2,59	78
Véase leyenda de la Tabla 8a para detalles.			

5

Tabla 8f Niveles de AMP cíclico en células CHO que expresan TSHR de tipo silvestre y TSHR con Lys129 mutada a Ala. Efecto de diferentes diluciones de anticuerpo monoclonal humano para el TSHR (K1-18) con actividad agonista de TSH

	AMP cíclico producido (pmol/mlpmol/ml) media ± DT (n = 3)		
	TSHR de tipo silvestre	TSHR mutado	Mutado/Tipo silvestre (%)
Tampón de ensayo de AMP cíclico	1,72 ± 0,44	2,69 ± 0,25	156
K1-18			
0,3 ng/ml	2,49 ± 0,34	3,24 ± 0,03	130

	AMP cíclico producido (pmol/mlpmol/ml) media ± DT (n = 3)		
	TSHR de tipo silvestre	TSHR mutado	Mutado/Tipo silvestre (%)
1 ng/ml	4,78 ± 0,88	5,53 ± 1,04	116
3 ng/ml	12,22 ± 0,32	10,58 ± 0,61	87
10 ng/ml	30,88 ± 3,70	23,53 ± 1,04	76
30 ng/ml	44,61 ± 4,59	33,46 ± 2,66	75
100 ng/ml	52,57 ± 1,30	52,88 ± 2,31	101
TSH			
0,01 ng/ml	2,01 ± 0,40	2,69 ± 0,44	134
0,03 ng/ml	3,32 ± 0,26	5,34 ± 0,05	161
0,1 ng/ml	9,69 ± 0,91	12,69 ± 1,06	131
0,3 ng/ml	26,14 ± 2,72	29,0 ± 1,07	111
1 ng/ml	46,33 ± 2,29	40,78 ± 5,20	88
3 ng/ml	48,07 ± 2,77	48,50 ± 5,38	101
Véase leyenda de la Tabla 8a para detalles.			

Tabla 8 g Niveles de AMP cíclico en células CHO que expresan TSHR de tipo silvestre y TSHR con Phe130 mutada a Ala. Efecto de diferentes diluciones de anticuerpo monoclonal humano para el TSHR (K1-18) con actividad agonista de TSH

	AMP cíclico producido (pmol/mlpmol/ml) media ± DT (n = 3)		
	TSHR de tipo silvestre	TSHR mutado	Mutado/Tipo silvestre (%)
Tampón de ensayo de AMP cíclico	1,96 ± 0,22	3,38 ± 0,47	172
K1-18			
0,3 ng/ml	3,23 ± 0,26	4,01 ± 0,03	124
1 ng/ml	6,24 ± 0,70	6,71 ± 0,35	108
3 ng/ml	15,42 ± 1,00	14,89 ± 12,46	97
10 ng/ml	49,72 ± 5,36	36,36 ± 2,23	73
30 ng/ml	51,57 ± 8,02	54,0 ± 2,20	66
100 ng/ml	98,73 ± 8,67	78,11 ± 7,43	79
TSH			
0,01 ng/ml	2,28 ± 0,15	3,05 ± 0,29	134
0,03 ng/ml	3,77 ± 0,83	4,12 ± 0,55	109
0,1 ng/ml	9,55 ± 0,15	9,61 ± 1,14	101
0,3 ng/ml	28,77 ± 1,08	35,64 ± 3,00	124
1 ng/ml	76,83 ± 10,33	66,16 ± 4,97	86
3 ng/ml	93,08 ± 7,22	80,37 ± 3,05	86
Véase leyenda de la Tabla 8a para detalles.			

Tabla 8h Niveles de AMP cíclico en células CHO que expresan TSHR de tipo silvestre y TSHR con Phe134 mutada a Ala. Efecto de diferentes diluciones de anticuerpo monoclonal humano para el TSHR (K1-18) con actividad agonista de TSH

	AMP cíclico producido (pmol/ml) media ± DT (n = 3)		
	TSHR de tipo silvestre	TSHR mutado	Mutado/Tipo silvestre (%)
Tampón de ensayo de AMP cíclico	1,85 ± 0,37	4,62 ± 0,89	250
K1-18			
0,3 ng/ml	2,44 ± 0,12	2,71 ± 0,65	234
1 ng/ml	5,97 ± 0,63	9,56 ± 0,52	160
3 ng/ml	13,43 ± 0,46	24,24 ± 1,93	180
10 ng/ml	35,49 ± 1,71	43,41 ± 1,29	122
30 ng/ml	46,48 ± 3,34	66,25 ± 11,73	143
100 ng/ml	58,93 ± 10,42	78,69 ± 6,43	134
TSH			
0,01 ng/ml	2,50 ± 0,43	4,73 ± 0,24	189
0,03 ng/ml	4,29 ± 0,33	6,05 ± 0,21	141
0,1 ng/ml	10,60 ± 0,56	12,70 ± 2,22	120
0,3 ng/ml	28,93 ± 3,07	27,28 ± 1,96	94
1 ng/ml	52,55 ± 3,97	53,68 ± 4,76	102
3 ng/ml	61,09 ± 8,26	61,51 ± 0,99	101
Véase leyenda de la Tabla 8a para detalles.			

5 **Tabla 8i** Niveles de AMP cíclico en células CHO que expresan TSHR de tipo silvestre y TSHR con Lys183 mutada a Ala. Efecto de diferentes diluciones de anticuerpo monoclonal humano para el TSHR (K1-18) con actividad agonista de TSH

	AMP cíclico producido (pmol/ml) media ± DT (n = 3)		
	TSHR de tipo silvestre	TSHR mutado	Mutado/Tipo silvestre (%)
<i>Experimento 1</i>			
Tampón de ensayo de AMP cíclico	1,49 ± 0,31	4,54 ± 0,23	305
K1-18			
0,3 ng/ml	2,67 ± 0,30	4,41 ± 0,07	165
1 ng/ml	5,69 ± 0,26	4,72 ± 0,53	83
3 ng/ml	14,43 ± 2,30	4,55 ± 0,32	32
10 ng/ml	43,94 ± 2,59	4,73 ± 0,57	11
30 ng/ml	73,60 ± 9,07	4,58 ± 0,29	6
100 ng/ml	84,59 ± 5,65	5,31 ± 1,38	6
TSH			
0,01 ng/ml	1,80 ± 0,13	4,95 ± 0,23	275
0,03 ng/ml	3,91 ± 0,06	6,94 ± 1,04	177
0,1 ng/ml	8,92 ± 1,47	13,04 ± 1,12	146

ES 2 540 538 T3

	AMP cíclico producido (pmol/ml) media ± DT (n = 3)		
	TSHR de tipo silvestre	TSHR mutado	Mutado/Tipo silvestre (%)
0,3 ng/ml	33,01 ± 3,49	34,95 ± 1,12	106
1 ng/ml	76,07 ± 4,42	57,18 ± 2,97	75
3 ng/ml	86,17 ± 2,02	69,15 ± 3,34	80
<i>Experimento 2</i>			
Tampón de ensayo de AMP cíclico	0,53 ± 0,27	3,72 ± 0,19	702
K1-18			
0,3 ng/ml	1,93 ± 0,92	3,25 ± 0,23	168
1 ng/ml	3,59 ± 0,47	2,77 ± 1,32	77
3 ng/ml	6,56 ± 2,29	3,24 ± 0,63	49
10 ng/ml	27,79 ± 1,77	0,58 ± 0,89	2
30 ng/ml	46,16 ± 5,72	1,97 ± 0,11	4
100 ng/ml	61,78 ± 3,78	0,92 ± 1,17	1
TSH			
0,01 ng/ml	1,30 ± 0,20	3,73 ± 0,10	287
0,03 ng/ml	3,00 ± 0,12	5,37 ± 0,31	179
0,1 ng/ml	6,69 ± 0,41	10,08 ± 0,82	151
0,3 ng/ml	26,22 ± 6,92	27,84 ± 2,8	106
1 ng/ml	68,12 ± 15,71	55,78 ± 2,52	82
3 ng/ml	69,75 ± 13,30	72,17 ± 8,74	103
Véase leyenda de la Tabla 8a para detalles.			

Tabla 8j Niveles de AMP cíclico en células CHO que expresan TSHR de tipo silvestre y TSHR con Asp203 mutado a Ala. Efecto de diferentes diluciones de anticuerpo monoclonal humano para el TSHR (K1-18) con actividad agonista de TSH

	AMP cíclico producido (pmol/ml) media ± DT (n = 3)		
	TSHR de tipo silvestre	TSHR mutado	Mutado/Tipo silvestre (%)
Tampón de ensayo de AMP cíclico	1,64 ± 0,17	6,06 ± 0,16	370
K1-18			
0,3 ng/ml	2,68 ± 0,21	8,14 ± 0,24	304
1 ng/ml	5,60 ± 0,27	12,54 ± 0,46	224
3 ng/ml	11,54 ± 2,20	26,08 ± 2,19	226
10 ng/ml	38,16 ± 0,90	49,54 ± 2,38	130
30 ng/ml	60,04 ± 6,18	67,45 ± 4,04	112
100 ng/ml	76,63 ± 4,54	78,94 ± 3,75	103
TSH			
0,01 ng/ml	2,29 ± 0,18	5,30 ± 0,53	231

ES 2 540 538 T3

0,03 ng/ml	3,56 ± 0,21	7,13 ± 0,29	200
0,1 ng/ml	8,45 ± 0,07	13,02 ± 2,00	154
0,3 ng/ml	26,33 ± 1,63	33,77 ± 1,37	128
1 ng/ml	65,72 ± 5,74	58,56 ± 3,02	89
3 ng/ml	77,11 ± 4,86	69,26 ± 0,68	90
Véase leyenda de la Tabla 8a para detalles.			

Tabla 8k Niveles de AMP cíclico en células CHO que expresan TSHR de tipo silvestre y TSHR con Arg255 mutada a Asp. Efecto de diferentes diluciones de anticuerpo monoclonal humano para el TSHR (K1-18) con actividad agonista de TSH

	AMP cíclico producido (pmol/ml) media ± DT (n = 3)		
	TSHR de tipo silvestre	TSHR mutado	Mutado/Tipo silvestre (%)
<i>Experimento 1</i>			
Tampón de ensayo de AMP cíclico	2,65 ± 0,20	1,89 ± 0,28	71
K1-18			
0,3 ng/ml	4,40 ± 0,67	1,93 ± 0,23	44
1 ng/ml	8,93 ± 2,17	2,19 ± 0,25	25
3 ng/ml	16,31 ± 1,29	4,14 ± 0,95	25
10 ng/ml	42,50 ± 3,42	7,87 ± 0,53	19
30 ng/ml	49,10 ± 9,27	15,59 ± 1,15	32
100 ng/ml	55,17 ± 10,84	31,58 ± 6,83	57
TSH			
0,01 ng/ml	4,36 ± 1,05	2,59 ± 0,31	59
0,03 ng/ml	9,19 ± 1,74	6,47 ± 0,10	70
0,1 ng/ml	26,86 ± 2,67	19,18 ± 2,69	71
0,3 ng/ml	42,03 ± 6,15	51,67 ± 3,38	123
1 ng/ml	60,08 ± 4,20	68,59 ± 7,07	114
3 ng/ml	61,27 ± 2,99	57,72 ± 9,50	94
<i>Experimento 2</i>			
Tampón de ensayo de AMP cíclico	1,80 ± 0,14	2,35 ± 0,45	131
K1-18			
0,3 ng/ml	2,26 ± 0,22	2,13 ± 0,19	94
1 ng/ml	5,21 ± 0,60	1,93 ± 0,67	37
3 ng/ml	11,23 ± 1,35	3,49 ± 0,08	31
10 ng/ml	30,58 ± 1,89	6,08 ± 0,93	20
30 ng/ml	51,91 ± 5,11	7,96 ± 0,29	15
100 ng/ml	67,17 ± 5,84	20,23 ± 0,48	30
TSH			

ES 2 540 538 T3

	AMP cíclico producido (pmol/ml) media ± DT (n = 3)		
	TSHR de tipo silvestre	TSHR mutado	Mutado/Tipo silvestre (%)
0,01 ng/ml	2,21 ± 0,25	1,49 ± 0,25	67
0,03 ng/ml	3,61 ± 0,28	2,81 ± 0,38	78
0,1 ng/ml	7,86 ± 3,02	6,92 ± 0,35	88
0,3 ng/ml	27,07 ± 2,08	21,24*	78
1 ng/ml	54,24 ± 5,41	41,06 ± 1,0	76
3 ng/ml	58,14 ± 3,02	52,35 ± 3,20	90
<i>Experimento 3</i>			
Tampón de ensayo de AMP cíclico	4,02 ± 0,14	5,88 ± 0,27	146
K1-18			
0,3 ng/ml	5,65 ± 0,61	5,76 ± 0,33	102
1 ng/ml	9,40 ± 0,97	5,93 ± 0	63
3 ng/ml	21,39 ± 0,55	6,06 ± 0,40	28
10 ng/ml	67,31 ± 4,56	9,44 ± 0,82	14
30 ng/ml	131,53 ± 5,0	13,46 ± 1,25	10
100 ng/ml	226,28 ± 15,17	30,07 ± 5,98	13
TSH			
0,01 ng/ml	5,19 ± 0,15	6,46 ± 0,13	124
0,03 ng/ml	9,82 ± 0,96	9,44 ± 0,27	96
0,1 ng/ml	24,96*	22,74 ± 2,24	91
0,3 ng/ml	91,70 ± 3,45	68,89 ± 3,12	75
1 ng/ml	191,94 ± 11,08	154,26 ± 4,66	80
3 ng/ml	226,42 ± 16,78	201,17 ± 16,22	89
Véase leyenda de la Tabla 8a para detalles.			

Tabla 9a Producción de AMP cíclico inducida por TSH en células CHO que expresan TSHR de tipo silvestre y TSHR con Lys58 mutada a Ala. Efecto de diferentes diluciones de anticuerpo monoclonal humano para el TSHR (K1-70) con actividad antagonista de TSH

<i>Experimento 1</i>			
Muestra de ensayo ^a	AMP cíclico producido (pmol/ml; media ± DT, n=3)		
	TSHR de tipo silvestre	TSHR mutado	Mutado/Tipo silvestre (%)
Tampón de ensayo de AMP cíclico solamente	1,86 ± 0,41	5,03 ± 0,29	270
TSH ^b	68,83 ± 0,70	78,46 ± 4,71	114
5B3 10 µg/ml + TSH ^b	82,85 ± 10,89	81,62 ± 5,07	99
5B3 100 µg/ml + TSH ^b	80,67 ± 13,25	81,61 ± 5,04	101
K1-70 0,001 µg + TSH ^b	92,76 ± 13,12	104,76 ± 7,65	113

ES 2 540 538 T3

K1-70 0,01 µg + TSH ^b	82,54 ± 2,17	108,22 ± 8,17	131
K1-70 0,1 µg + TSH ^b	4,26 ± 0,83	85,28 ± 6,13	2002
K1-70 1,0 µg + TSH ^b	1,56 ± 0,20	61,47 ± 2,61	3940
K1-70 10 µg + TSH ^b	1,72 ± 0,34	33,11 ± 4,67	1925
K1-70 100 µg + TSH ^b	1,58 ± 0,05	18,75 ± 4,91	1187
K1-70 100 µg	1,04 ± 0,61	4,06 ± 0,66	390
TSH (2)	74,30 ± 18,86	85,20 ± 4,48	115
% de inhibición de la estimulación de TSH^c			
Concentración de anticuerpo	TSHR de tipo silvestre		TSHR mutado
5B3 10 µg/ml	0		0
5B3 100 µg/ml	0		0
K1-70 0,001 µg	0		0
K1-70 0,01 µg/ml	0		0
K1-70 0,1 µg/ml	94		0
K1-70 1 µg/ml	98		22
K1-70 10 µg/ml	98		58
K1-70 100 µg/ml	98		76
TSH (2)	0		0
Experimento 2			
Cíclico	AMP cíclico producido (pmol/ml; media ± DT, n=3)		
Muestra de ensayo^a	TSHR de tipo silvestre	TSHR mutado	Mutado/Tipo silvestre (%)
Tampón de ensayo de AMP cíclico solamente	1,49 ± 0,21	3,68 ± 0,45	247
TSH ^b	97,87 ± 4,55	96,77 ± 9,54	99
5B3 10 µg/ml + TSH ^b	105,71 ± 16,43	92,91 ± 1,17	88
5B3 100 µg/ml + TSH ^b	90,43 ± 5,84	95,85 ± 6,56	106
K1-70 0,001 µg+TSH ^b	101,80 ± 13,32	105,33 ± 11,55	103
K1-70 0,01 µg + TSH ^b	115,21 ± 7,84	107,32 ± 11,90	93
K1-70 0,1 µg + TSH ^b	8,94 ± 2,47	83,06 ± 10,21	929
K1-70 1,0 µg + TSH ^b	1,71 ± 0,40	60,95 ± 3,72	3564
K1-70 10 µg + TSH ^b	1,27 ± 0,47	25,12 ± 4,15	1978
K1-70 100 µg + TSH ^b	1,31 ± 0,33	17,34 ± 1,35	1324
K1-70 100 µg	1,38 ± 1,81	2,56 ± 0,20	186
TSH (2)	102,41 ± 6,78	95,84 ± 1,30	94
% de inhibición de la estimulación de TSH^c			

Concentración de anticuerpo	TSHR de tipo silvestre	TSHR mutado
5B3 10 µg/ml	0	4
5B3 100 µg/ml	8	1
K1-70 0,001 µg	0	0
K1-70 0,01 µg/ml	0	0
K1-70 0,1 µg/ml	91	14
K1-70 1 µg/ml	98	37
K1-70 10 µg/ml	99	74
K1-70 100 µg/ml	99	82
TSH (2)	0	1

^aMuestras de ensayo en tampón de ensayo de AMP cíclico hipotónico.
^bConcentración final de TSH = 3 ng/ml
^c% de inhibición = 100 x [1 - (AMP cíclico en presencia de muestras de ensayo y TSH/AMP cíclico en presencia de tampón de AMP cíclico y TSH)], 5B3 es un anticuerpo monoclonal humano para GAD (control negativo para K1-70)

Tabla 9b Producción de AMP cíclico inducida por TSH en células CHO que expresan TSHR de tipo silvestre y TSHR con Arg80 mutada a Ala. Efecto de diferentes diluciones de anticuerpo monoclonal humano para el TSHR (K1-70) con actividad antagonista de TSH

Muestra de ensayo ^a	AMP cíclico producido (pmol/ml; media ± DT, n=3)		Mutado/Tipo silvestre (%)
	TSHR de tipo silvestre	TSHR mutado	
Tampón de ensayo de AMP cíclico solamente	3,44 ± 0,35	4,01 ± 0,07	117
TSH ^b	85,04 ± 5,88	105,33 ± 10,10	124
5B3 10 µg/ml + TSH ^b	103,34 ± 14,25	104,97 ± 12,48	102
5B3 100 µg/ml + TSH ^b	94,76 ± 19,53	101,43 ± 4,34	107
K1-70 0,001 µg + TSH ^b	79,24 ± 9,29	90,78 ± 8,65	115
K1-70 0,01 µg + TSH ^b	83,30 ± 7,42	99,26 ± 7,04	119
K1-70 0,1 µg + TSH ^b	40,75 ± 8,82	38,83 ± 8,04	95
K1-70 1,0 µg + TSH ^b	5,0 ± 0,72	6,71 ± 1,42	134
K1-70 10 µg + TSH ^b	3,17 ± 0,18	5,14 ± 1,43	162
K1-70 100 µg + TSH ^b	4,67 ± 0,32	4,83 ± 0,25	103
K1-70 100 µg	2,98 ± 0,13	3,19 ± 0,51	107
TSH (2)	93,53 ± 17,83	88,18 ± 2,24	94
% de inhibición de la estimulación de TSH^c			
Concentración de anticuerpo	TSHR de tipo silvestre	TSHR mutado	
5B3 10 µg/ml	0	0,3	
5B3 100 µg/ml	0	4	
K1-70 0,001 µg	7	14	
K1-70 0,01 µg/ml	2	6	
K1-70 0,1 µg/ml	52	63	

K1-70 11 µg/ml	94	94
K1-70 10 µg/ml	96	95
K1-70 100 µg/ml	95	95
TSH (2)	0	16
Véase leyenda de la Tabla 9a para detalles.		

Tabla 9c Producción de AMP cíclico inducida por TSH en células CHO que expresan TSHR de tipo silvestre y TSHR con Tyr82 mutada a Ala. Efecto de diferentes diluciones de anticuerpo monoclonal humano para el TSHR (K1-70) con actividad antagonista de TSH

<i>Experimento 1</i>			
	AMP cíclico producido (pmol/ml; media ± DT, n=3)		
Muestra de ensayo ^a	TSHR de tipo silvestre	TSHR mutado	Mutado/Tipo silvestre (%)
Tampón de ensayo de AMP cíclico solamente	1,38 ± 0,19	2,00 ± 0,22	145
TSH ^b	153,65 ± 17,41	165,92 ± 11,45	108
5B3 10 µg/ml + TSH ^b	163,14 ± 13,71	139,01 ± 5,40	85
5B3 100 µg/ml + TSH ^b	146,23 ± 19,81	139,28 ± 11,07	95
K1-70 0,001 µg + TSH ^b	172,63 ± 16,69	103,81 ± 9,73	60
K1-70 0,01 µg + TSH ^b	146,19 ± 29,10	99,95 ± 12,23	68
K1-70 0,1 µg + TSH ^b	21,73 ± 3,85	69,85 ± 16,62	321
K1-70 1,0 µg + TSH ^b	1,88 ± 0,24	31,82 ± 3,29	1696
K1-70 10 µg + TSH ^b	1,35 ± 0,26	11,74 ± 1,33	870
K1-70 100 µg + TSH ^b	1,05 ± 0,07	7,88 ± 2,09	750
K1-70 100 µg	0,84 ± 0,12	1,81 ± 0,13	215
TSH (2)	159,76 ± 4,28	92,29 ± 5,79	58
% de inhibición de la estimulación de TSH^c			
Concentración de anticuerpo	TSHR de tipo silvestre	TSHR mutado	
5B3 10 µg/ml	0	16	
5B3 100 µg/ml	5	16	
K1-70 0,001 µg	0	62	

ES 2 540 538 T3

K1-70 0,01 µg/ml	5	40	
K1-70 0,1 µg/ml	86	60	
K1-70 1 µg/ml	99	81	
K1-70 10 µg/ml	99	93	
K1-70 100 µg/ml	99	95	
TSH (2)	0	44	
<i>Experimento 2</i>			
	AMP cíclico producido (pmol/ml; media ± DT, n=3)		
Muestra de ensayo^a	TSHR de tipo silvestre	TSHR mutado	Mutado/Tipo silvestre (%)
Tampón de ensayo de AMP cíclico solamente	0,62 ± 0,16	5,67 ± 0,29	915
TSH ^b	59,91 ± 5,85	74,61 ± 6,62	125
5B3 10 µg/ml + TSH ^b	73,66 ± 23,18	71,92 ± 5,39	96
5B3 100 µg/ml + TSH ^b	68,87 ± 10,44	68,46 ± 3,41	99
K1-70 0,001 µg + TSH ^b	97,15 ± 2,87	89,47 ± 9,17	92
K1-70 0,01 µg + TSH ^b	81,95 ± 4,74	95,68 ± 7,62	117
K1-70 0,1 µg + TSH ^b	5,79 ± 0,68	50,57 ± 19,35	873
K1-70 1,0 µg + TSH ^b	1,01 ± 0,36	14,55 ± 0,65	1440
K1-70 10 µg + TSH ^b	1,02 ± 0,19	9,07 ± 0,70	889
K1-70 100 µg + TSH ^b	1,00 ± 0,19	7,28 ± 0,44	728
K1-70 100 µg	0,84 ± 0,14	5,32 ± 0,74	633
TSH (2)	61,54 ± 7,58	57,87 ± 1,52	94
% de inhibición de la estimulación de TSH^c			
Concentración de anticuerpo	TSHR de tipo silvestre	TSHR mutado	
5B3 10 µg/ml	0	4	

5B3 100 µg/ml	0	8
K1-70 0,001 g	0	0
K1-70 0,01 µg/ml	0	0
K1-70 0,1 µg/ml	90	32
K1-70 1 µg/ml	98	80
K1-70 10 µg/ml	98	88
K1-70 100 µg/ml	98	90
TSH (2)	0	22
Véase leyenda de la Tabla 9a para detalles.		

Tabla 9d Producción de AMP cíclico inducida por TSH en células CHO que expresan TSHR de tipo silvestre y TSHR con Glu107 mutado a Ala. Efecto de diferentes diluciones de anticuerpo monoclonal humano para el TSHR (K1-70) con actividad antagonista de TSH

Muestra de ensayo ^a	AMP cíclico producido (pmol/ml; media ± DT, n=3)		Mutado/Tipo silvestre (%)
	TSHR de tipo silvestre	TSHR mutado	
Tampón de ensayo de AMP cíclico solamente	1,60 ± 0,19	5,29 ± 0,36	331
TSH ^b	76,22 ± 4,52	83,70 ± 3,92	110
5B3 10 µg/ml + TSH ^b	85,30 ± 5,68	70,93 ± 5,64	83
5B3 100 µg/ml + TSH ^b	81,64 ± 5,48	66,84 ± 7,24	82
K1-70 0,001 µg + TSH ^b	103,6 ± 5,93	94,45 ± 8,21	91
K1-70 0,01 µg + TSH ^b	89,43 ± 19,6	82,88 ± 4,50	93
K1-70 0,1 µg + TSH ^b	12,10 ± 2,22	4,97 ± 0,59	41
K1-70 1,0 µg + TSH ^b	1,71 ± 0,32	2,71 ± 0,05	158
K1-70 10 µg + TSH ^b	1,49 ± 0,16	2,45 ± 0,13	164
K1-70 100 µg + TSH ^b	1,86 ± 0,23	2,75 ± 0,17	148
K1-70 100 µg	1,60 ± 0,07	1,80 ± 0,30	113
TSH (2)	93,75 ± 9,25	73,24 ± 5,57	78
% de inhibición de la estimulación de TSH^c			
Concentración de anticuerpo	TSHR de tipo silvestre	TSHR mutado	
5B3 10 µg/ml	0	15	
5B3 100 µg/ml	0	17	
K1-70 0,001 µg	0	0	
K1-70 0,01 µg/ml	0	1	
K1-70 0,1 µg/ml	84	94	

ES 2 540 538 T3

K1-70 1 µg/ml	98	97
K1-70 10 µg/ml	98	97
K1-70 100 µg/ml	98	97
TSH (2)	0	12
Véase leyenda de la Tabla 9a para detalles.		

Tabla 9e Producción de AMP cíclico inducida por TSH en células CHO que expresan TSHR de tipo silvestre y TSHR con Arg109 mutada a Ala. Efecto de diferentes diluciones de anticuerpo monoclonal humano para el TSHR (K1-70) con actividad antagonista de TSH

Experimento 1			
Muestra de ensayo ^a	AMP cíclico producido (pmol/ml; media ± DT, n=3)		Mutado/Tipo silvestre (%)
	TSHR de tipo silvestre	TSHR mutado	
Tampón de ensayo de AMP cíclico solamente	1,94 ± 0,35	4,42 ± 0,55	228
TSH ^b	67,67 ± 4,90	32,90 ± 2,55	49
5B3 10 µg/ml + TSH ^b	65,84 ± 1,73	34,41 ± 1,67	52
5B3 100 µg/ml + TSH ^b	68,54 ± 1,22	34,51 ± 5,03	50
K1-70 0,001 µg + TSH ^b	66,99 ± 8,59	34,24 ± 0,25	51
K1-70 0,01 µg + TSH ^b	66,85 ± 2,02	32,56 ± 1,04	49
K1-70 0,1 µg + TSH ^b	6,41 ± 0,32	24,84 ± 1,94	388
K1-70 1,0 µg + TSH ^b	1,60 ± 0,28	24,45 ± 0,49	1528
K1-70 10 µg + TSH ^b	1,51 ± 0,08	18,92 ± 2,16	1253
K1-70 100 µg + TSH ^b	1,36 ± 0,17	14,05 ± 3,4	1033
K1-70 100 µg	1,48 ± 0,1	3,39 ± 0,29	229
TSH (2)	67,54 ± 2,56	33,30 ± 2,27	49
% de inhibición de la estimulación de TSH ^c			
Concentración de anticuerpo	TSHR de tipo silvestre	TSHR mutado	
5B3 10 µg/ml	3	0	
5B3 100 µg/ml	0	0	
K1-70 0,001 µg	1	0	
K1-70 0,01 µg/ml	1	0	
K1-70 0,1 µg/ml	91	24	
K1-70 1 µg/ml	98	26	
K1-70 10 µg/ml	98	42	
K1-70 100 µg/ml	98	57	
TSH (2)	0,1	0	
Experimento 2			
AMP cíclico producido (pmol/ml; media ± DT, n=3)			

Muestra de ensayo ^a	TSHR de tipo silvestre	TSHR mutado	Mutado/Tipo silvestre (%)
Tampón de ensayo de AMP cíclico solamente	0,89 ± 0,19	1,61 ± 0,14	181
TSH ^b	60,73 ± 7,97	53,41 ± 3,69	88
5B3 10 µg/ml + TSH ^b	68,59 ± 2,26	60,65 ± 0,63	88
5B3 100 µg/ml + TSH ^b	66,50 ± 2,55	56,57 ± 3,26	85
K1-70 0,001 µg + TSH ^b	55,89 ± 6,77	61,82 ± 17,17	111
K1-70 0,01 µg + TSH ^b	61,90 ± 1,57	46,01 ± 0,91	74
K1-70 0,1 µg + TSH ^b	5,54 ± 1,21	30,32 ± 3,35	547
K1-70 1,0 µg + TSH ^b	1,32 ± 0,21	25,25 ± 1,54	1913
K1-70 10 µg + TSH ^b	0,97*	14,80 ± 0	1526
K1-70 100 µg + TSH ^b	0,88 ± 0,11	9,14 ± 0,91	1039
K1-70 100 µg	1,02 ± 0,06	126 ± 0,41	124
TSH (2)	67,80 ± 3,83	50,39 ± 2,52	74
*Determinación por duplicado			
% de inhibición de la estimulación de TSH^c			
Concentración de anticuerpo	TSHR de tipo silvestre	TSHR mutado	
5B3 10 µg/ml	0	0	
5B3 100 µg/ml	0	0	
K1-70 0,001 µg	8	0	
K1-70 0,01 µg/ml	0	14	
K1-70 0,1 µg/ml	91	43	
K1-70 1,0 µg/ml	98	53	
K1-70 10 µg/ml	98	72	
K1-70 100 µg/ml	99	83	
TSH (2)	0	6	
Véase leyenda de la Tabla 9a para detalles.			

Tabla 9f Producción de AMP cíclico inducida por TSH en células CHO que expresan TSHR de tipo silvestre y TSHR con Lys129 mutada a Ala. Efecto de diferentes diluciones de anticuerpo monoclonal humano para el TSHR (K1-70) con actividad antagonista de TSH

	AMP cíclico producido (pmol/ml; media ± DT, n=3)		
Muestra de ensayo ^a	TSHR de tipo silvestre	TSHR mutado	Mutado/Tipo silvestre (%)
Tampón de ensayo de AMP cíclico solamente	3,10 ± 2,74	3,37 ± 0,85	109
TSH ^b	50,03 ± 3,0	49,2 ± 6,7	98
5B3 10 µg/ml + TSH ^b	53,88 ± 3,67	50,5 ± 3,43	94
5B3 100 µg/ml + TSH ^b	52,60 ± 6,43	42,63 ± 2,35	81
K1-70 0,001 µg + TSH ^b	49,48 ± 6,51	44,76 ± 2,58	90

ES 2 540 538 T3

K1-70 0,01 µg + TSH ^b	51,04 ± 0,00	38,66 ± 2,03	76
K1-70 0,1 µg + TSH ^b	4,70 ± 1,25	9,86 ± 1,14	210
K1-70 1,0 µg + TSH ^b	0,74 ± 0,06	3,23 ± 0,15	436
K1-70 10 µg + TSH ^b	0,80 ± 0,33	2,83 ± 0,71	354
K1-70 100 µg + TSH ^b	1,12 ± 0,46	2,82 ± 0,21	251
K1-70 100 µg	0,88 ± 0,21	3,06 ± 1,11	348
TSH (2)	53,1 ± 8,0	47,9 ± 0,41	90
% de inhibición de la estimulación de TSH^c			
Concentración de anticuerpo	TSHR de tipo silvestre TSHR mutado		
5B3 10 µg/ml	0		0
5B3 100 µg/ml	0		13
K1-70 0,001 µg	1		9
K1-70 0,01 µg/ml	0		21
K1-70 0,1 µg/ml	91		80
K1-70 1 µg/ml	99		93
K1-70 10 µg/ml	98		94
K1-70 100 µg/ml	98		94
TSH (2)	0		3
Véase leyenda de la Tabla 9a para detalles.			

Tabla 9 g Producción de AMP cíclico inducida por TSH en células CHO que expresan TSHR de tipo silvestre y TSHR con Phe130 mutada a Ala. Efecto de diferentes diluciones de anticuerpo monoclonal humano para el TSHR (K1-70) con actividad antagonista de TSH

Muestra de ensayo^a	AMP cíclico producido (pmol/ml; media ± DT, n=3)		Mutado/Tipo silvestre (%)
	TSHR de tipo silvestre	TSHR mutado	
Tampón de ensayo de AMP cíclico solamente	1,39 ± 0,29	3,53 ± 0,49	254
TSH ^b	79,42 ± 5,15	120,74 ± 2,87	152
5B3 10 µg/ml + TSH ^b	78,18 ± 1,95	110,76 ± 1,49	142
5B3 100 µg/ml + TSH ^b	86,94 ± 15,80	113,8 ± 11,11	131
K1-70 0,001 µg + TSH ^b	82,73 ± 3,36	102,43 ± 7,59	124
K1-70 0,01 µg + TSH ^b	83,95 ± 5,31	103,90 ± 7,14	124
K1-70 0,1 µg + TSH ^b	4,86 ± 1,52	12,71 ± 3,24	262
K1-70 1,0 µg + TSH ^b	1,56 ± 0,61	2,87 ± 0,28	184
K1-70 10 µg + TSH ^b	1,27 ± 0,15	2,22 ± 0,40	175
K1-70 100 µg + TSH ^b	1,18 ± 0,09	2,68 ± 0,41	242
K1-70 100 µg	1,23 ± 0,08	2,37 ± 0,26	193
TSH (2)	89,12 ± 4,45	95,39 ± 7,44	107

Concentración de anticuerpo	% de inhibición de la estimulación de TSH ^c	
	TSHR de tipo silvestre	TSHR mutado
5B3 10 µg/ml	2	8
5B3 100 µg/ml	0	6
K1-70 0,001 µg	0	15
K1-70 0,01 µg/ml	0	14
K1-70 0,1 µg/ml	94	89
K1-70 1 µg/ml	98	98
K1-70 10 µg/ml	98	98
K1-70 100 µg/ml	99	98
TSH (2)	0	0

Véase leyenda de la Tabla 9a para detalles.

Tabla 9h Producción de AMP cíclico inducida por TSH en células CHO que expresan TSHR de tipo silvestre y TSHR con Phe134 mutada a Ala. Efecto de diferentes diluciones de anticuerpo monoclonal humano para el TSHR (K1-70) con actividad antagonista de TSH

Muestra de ensayo ^a	AMP cíclico producido (pmol/ml; media ± DT, n=3)		Mutado/Tipo silvestre (%)
	TSHR de tipo silvestre	TSHR mutado	
Tampón de ensayo de AMP cíclico solamente	6,83 ± 1,44	14,86 ± 2,75	218
TSH ^b	108,08 ± 13,83	111,16 ± 2,0	103
5B3 10 µg/ml + TSH ^b	131,38 ± 6,77	101,30 ± 8,44	77
5B3 100 µg/ml + TSH ^b	112,49 ± 2,66	115,54 ± 9,72	103
K1-70 0,001 µg + TSH ^b	137,02 ± 27,32	106,92 ± 15,54	78
K1-70 0,01 µg + TSH ^b	120,16 ± 3,88	111,84 ± 6,01	93
K1-70 0,1 µg + TSH ^b	8,09 ± 1,00	27,86 ± 3,72	344
K1-70 1,0 µg + TSH ^b	2,02 ± 0,39	5,59 ± 1,40	277
K1-70 10 µg + TSH ^b	1,88 ± 0,35	4,00 ± 1,77	213
K1-70 100 µg + TSH ^b	1,48 ± 0,33	3,50 ± 0,09	236
K1-70 100 µg	1,34 ± 0,40	2,86 ± 0,41	213
TSH (2)	142,29 ± 13,46	101,70 ± 1,33	71

Concentración de anticuerpo	% de inhibición de la estimulación de TSH ^c	
	TSHR de tipo silvestre	TSHR mutado
5B3 10 µg/ml	0	9
5B3 100 µg/ml	0	0
K1-70 0,001 µg	0	4
K1-70 0,01 µg/ml	0	0
K1-70 0,1 µg/ml	93	75
K1-70 1 µg/ml	98	95

ES 2 540 538 T3

K1-70 10 µg/ml	98	96
K1-70 100 µg/ml	99	97
TSH (2)	0	9
Véase leyenda de la Tabla 9a para detalles.		

Tabla 9i Producción de AMP cíclico inducida por TSH en células CHO que expresan TSHR de tipo silvestre y TSHR con Lys183 mutada a Ala. Efecto de diferentes diluciones de anticuerpo monoclonal humano para el TSHR (K1-70) con actividad antagonista de TSH

<i>Experimento 1</i>			
	AMP cíclico producido (pmol/ml; media ± DT, n=3)		
Muestra de ensayo ^a	TSHR de tipo silvestre	TSHR mutado	Mutado/Tipo silvestre (%)
Tampón de ensayo de AMP cíclico solamente	0,43 ± 0,69	3,20 ± 0,15	744
TSH ^b	61,1 ± 2,48	75,8 ± 8,25	124
583 10 µg/ml + TSH ^b	62,03 ± 12,77	57,82 ± 7,43	93
5B3 100 µg/ml + TSH ^b	69,24 ± 6,19	63,12 ± 10,69	91
K1-70 0,001 µg + TSH ^b	83,86 ± 6,22	64,26 ± 2,45	77
K1-70 0,01 µg + TSH ^b	91,30 ± 15,24	61,76 ± 5,46	68
K1-70 0,1 µg + TSH ^b	9,35 ± 4,52	35,73 ± 5,57	382
K1-70 1,0 µg + TSH ^b	0,94 ± 0,34	4,02 ± 0,35	428
K1-70 10 µg + TSH ^b	0,52 ± 0,44	2,13 ± 0,89	410
K1-70 100 µg + TSH ^b	1,22 ± 0,32	1,88 ± 0,17	154
K1-70 100 µg	0,02 ± 0,01	1,42 ± 0,18	7100
TSH (2)	83,6 ± 2,95	62,16 ± 4,39	74
% de inhibición de la estimulación de TSH ^c			
Concentración de anticuerpo	TSHR de tipo silvestre	TSHR mutado	
5B3 10 µg/ml	0	24	
5B3 100 µg/ml	0	17	
K1-70 0,001 µg	0	15	
K1-70 0,01 µg/ml	0	19	
K1-70 0,1 µg/ml	85	53	
K1-70 1 µg/ml	98	95	
K1-70 10 µg/ml	99	97	
K1-70 100 µg/ml	98	98	
TSH (2)	0	18	
<i>Experimento 2</i>			
	AMP cíclico producido (pmol/ml; media ± DT, n=3)		

ES 2 540 538 T3

Muestra de ensayo ^a	TSHR de tipo silvestre	TSHR mutado	Mutado/Tipo silvestre (%)
Tampón de ensayo de AMP cíclico solamente	2,28 ± 0,08	4,86 ± 0,69	213
TSH ^b	78,45 ± 5,2	100,68 ± 6,89	128
5B3 10 µg/ml + TSH ^b	87,4 ± 1,07	91,25 ± 1,14	104
5B3 100 µg/ml + TSH ^b	82,72 ± 3,42	91,89 ± 0,00	111
K1-70 0,001 µg + TSH ^b	94,13 ± 3,00	98,03 ± 9,02	104
K1-70 0,01 µg + TSH ^b	101,52 ± 6,79	103,40 ± 5,88	102
K1-70 0,1 µg + TSH ^b	19,94 ± 4,38	69,63 ± 3,65	349
K1-70 1,0 µg + TSH ^b	2,26 ± 0,17	13,36 ± 3,85	591
K1-70 10 µg + TSH ^b	2,24 ± 0,33	4,32 ± 0,30	193
K1-70 100 µg + TSH ^b	2,29 ± 0,42	4,01 ± 0,56	175
K1-70 100 µg	2,32 ± 0,21	3,26 ± 0,08	141
TSH (2)	79,45 ± 4,3	77,34 ± 3,86	97
% de inhibición de la estimulación de TSH^c			
Concentración de anticuerpo	TSHR de tipo silvestre	TSHR mutado	
5B3 10 µg/ml	0	9	
5B3 100 µg/ml	0	9	
K1-70 0,001 µg	0	3	
K1-70 0,01 µg/ml	0	0	
K1-70 0,1 µg/ml	75	31	
K1-70 1 µg/ml	97	87	
K1-70 10 µg/ml	97	96	
K1-70 100 µg/ml	97	96	
TSH (2)	0	23	
Véase leyenda de la Tabla 9a para detalles.			

Tabla 9j Producción de AMP cíclico inducida por TSH en células CHO que expresan TSHR de tipo silvestre y TSHR con Asp203 mutado a Ala. Efecto de diferentes diluciones de anticuerpo monoclonal humano para el TSHR (K1-70) con actividad antagonista de TSH

Muestra de ensayo ^a	AMP cíclico producido (pmol/ml; media ± DT, n=3)		Mutado/Tipo silvestre (%)
	TSHR de tipo silvestre	TSHR mutado	
Tampón de ensayo de AMP cíclico solamente	1,55 ± 0,40	5,22 ± 0,77	337
TSH ^b	71,0 ± 6,52	53,85 ± 2,96	76
5B3 10 µg/ml + TSH ^b	72,22 ± 3,73	64,34 ± 5,43	89
5B3 100 µg/ml + TSH ^b	72,78 ± 4,65	61,38 ± 1,95	84
K1-70 0,001 µg + TSH ^b	79,43 ± 2,28	65,83 ± 4,66	83
K1-70 0,01 µg + TSH ^b	80,84 ± 4,72	63,32 ± 8,41	78

ES 2 540 538 T3

K1-70 0,1 µg + TSH ^b	7,51 ± 0,12	15,13 ± 3,92	201
K1-70 1,0 µg + TSH ^b	1,33 ± 0,03	4,43 ± 0,96	333
K1-70 10 µg + TSH ^b	0,39 ± 0,31	4,37 ± 0,56	1121
K1-70 100 µg + TSH ^b	0,62 ± 0,45	4,55 ± 1,57	734
K1-70 100 µg	0,53 ± 0,27	3,79 ± 0,59	715
TSH (2)	68,0 ± 3,15	59,29 ± 9,87	87
% de inhibición de la estimulación de TSH^c			
Concentración de anticuerpo	TSHR de tipo silvestre	TSHR mutado	
5B3 10 µg/ml	0	0	
5B3 100 µg/ml	0	0	
K1-70 0,001 µg	0	0	
K1-70 0,01 µg/ml	0	0	
K1-70 0,1 µg/ml	89	72	
K1-70 1 µg/ml	98	92	
K1-70 10 µg/ml	99	92	
K1-70 100 µg/ml	99	92	
TSH (2)	0	0	
Véase leyenda de la Tabla 9a para detalles.			

Tabla 9k Producción de AMP cíclico inducida por TSH en células CHO que expresan TSHR de tipo silvestre y TSHR con Arg255 mutada a Asp. Efecto de diferentes diluciones de anticuerpo monoclonal humano para el TSHR (K1-70) con actividad antagonista de TSH

Muestra de ensayo^a	AMP cíclico producido (pmol/ml; media ± DT, n=3)		Mutado/Tipo silvestre (%)
	TSHR de tipo silvestre	TSHR mutado R255D	
Tampón de ensayo de AMP cíclico solamente	1,95 ± 0,25	2,17 ± 0,78	111
TSH ^b	66,48 ± 5,07	57,84 ± 4,45	87
5B3 10 µg/ml + TSH ^b	69,15 ± 0,73	59,42 ± 3,05	86
5B3 100 µg/ml + TSH ^b	83,38 ± 7,53	62,20 ± 10,14	75
K1-70 0,001 µg + TSH ^b	74,70 ± 1,78	55,65 ± 3,99	74
K1-70 0,01 µg + TSH ^b	77,09 ± 6,60	56,26 ± 3,14	73
K1-70 0,1 µg + TSH ^b	24,06 ± 0,32	5,67 ± 1,26	24
K1-70 1,0 µg + TSH ^b	3,22 ± 0,64	1,56 ± 0,34	48
K1-70 10 µg + TSH ^b	2,38 ± 0,28	0,10 ± 0,08	4
K1-70 100 µg + TSH ^b	1,99 ± 0,14	1,05 ± 0,56	53
K1-70 100 µg	1,85 ± 0,44	0,60 ± 0,47	32
TSH (2)	64,84 ± 8,16	50,21 ± 5,27	77
% de inhibición de la estimulación de TSH^c			

Concentración de anticuerpo	TSHR de tipo silvestre	TSHR mutado
5B3 10 µg/ml	0	0
5B3 100 µg/ml	0	0
K1-70 0,001 g	0	4
K1-70 0,01 µg/ml	0	3
K1-70 0,1 µg/ml	64	90
K1-70 1 µg/ml	95	97
K1-70 10 µg/ml	96	100
K1-70 100 µg/ml	97	98
TSH (2)	2	13

Véase leyenda de la Tabla 9a para detalles.

Tabla 10 Sumario de los efectos de mutaciones de TSHR (en relación con el tipo silvestre) en la capacidad de IgG K1-18 para estimular el TSHR y de IgG K1-70 para bloquear la estimulación por TSH del TSHR

Mutación de TSHR	Estimulación de la producción de AMP cíclico por IgG K1-18	Bloqueo por K1-70 de la estimulación por TSH de la producción de AMP cíclico
Tipo silvestre	+++++	+++++
Lys58 Ala	+++++	++
Arg80 Ala	+++++	+++++
Tyr82 Ala	+++++	++++
Glu107 Ala	+++++	+++++
Arg109 Ala	+++++	+++
Lys129 Ala	+++++	+++++
Phe130 Ala	+++++	+++++
Phe134 Ala	+++++	+++++
Lys183 Ala	0	+++
Asp203 Ala	+++++	+++++
Arg255 Asp	0	+++++

Los efectos de las mutaciones de TSHR se expresaron como porcentaje de la actividad observada con el tipo silvestre de la siguiente manera: +++++ = 100 % de actividad de tipo silvestre; ++++ = <100-80 % de la actividad de tipo silvestre; +++ = <80-60 % de la actividad de tipo silvestre; ++ = <60-40 % de la actividad de tipo silvestre; + = <40-20 % de la actividad de tipo silvestre; 0 = <20 % de la actividad de tipo silvestre.

5 **Tabla 11a** Inhibición de la unión de ¹²⁵I-IgG K1-70 con tubos recubiertos con TSHR por autoanticuerpos de TSHR monoclonales humanos

Muestra de ensayo	Inhibición de la unión (%) de Diluciones en tampón de ensayo (media ± DT)	Inhibición de la unión (%) de Diluciones en HBD (media ± DT)
IgG M22		
100 µg/ml	92,2 ± 0,2	94,0 ± 0,6
30 µg/ml	90,5 ± 0,4	94,4 ± 1,1
10 µg/ml	90,2 ± 0,7	92,5 ± 0,1
3 µg/ml	89,5 ± 1,0	91,6 ± 0,5
1 µg/ml	89,0 ± 0,1	90,4 ± 0,7

ES 2 540 538 T3

Muestra de ensayo	Inhibición de la unión (%) de Diluciones en tampón de ensayo (media ± DT)	Inhibición de la unión (%) de Diluciones en HBD (media ± DT)
0,3 µg/ml	87,7 ± 0,4	84,6 ± 1,1
0,1 µg/ml	84,5 ± 0,4	65,5 ± 0,2
0,03 µg/ml	70,4 ± 1,1	33,8 ± 0,9
0,01 µg/ml	43,4 ± 1,9	17,1 ± 2,4
0,003 µg/ml	16,7 ± 3,7	6,2*
0,001 µg/ml	5,5 ± 0,7	3,0 ± 3,6
Fab M22		
100 µg/ml	93,2 ± 0,5	93,1 ± 0,2
30 µg/ml	92,2 ± 0,7	93,2 ± 0,3
10 µg/ml	89,4 ± 1,3	92,6 ± 0,4
3 µg/ml	89,1 ± 1,0	92,0 ± 0,3
1 µg/ml	88,8 ± 0,8	91,7 ± 0,7
0,3 µg/ml	88,0 ± 0,4	89,9 ± 0,1
0,1 µg/ml	86,5 ± 0,1	82,5 ± 0,4
0,03 µg/ml	79,7 ± 0,4	60,2 ± 1,8
0,01 µg/ml	63,5 ± 0,8	34,0 ± 2,1
0,003 µg/ml	31,0 ± 3,3	16,7 ± 6,0
0,001 µg/ml	15,9 ± 3,1	9,3 ± 1,3
IgG K1-70		
100 µg/ml	93,0 ± 0,3	94,6 ± 0,7
30 µg/ml	92,3 ± 0,2	93,7 ± 0,5
10 µg/ml	90,8 ± 1,0	92,6 ± 0,4
3 µg/ml	89,7 ± 0,4	92,0 ± 0,5
1 µg/ml	89,9 ± 0,7	91,8 ± 0,9
0,3 µg/ml	89,0 ± 0,5	84,4 ± 0,8
0,1 µg/ml	86,7 ± 0,5	67,4 ± 0,7
0,03 µg/ml	77,0 ± 0,6	36,5 ± 1,9
0,01 µg/ml	50,7 ± 1,5	19,9 ± 5,8
0,003 µg/ml	17,0 ± 0,8	10,2 ± 2,4
0,001 µg/ml	3,4 ± 0,7	4,8 ± 4,8
IgG 5C9		
100 µg/ml	93,3 ± 0,2	68,5 ± 0,7
10 µg/ml	84,8 ± 0,8	22,7 ± 1,0
1 µg/ml	56,4 ± 0,9	15,4 ± 3,4
0,1 µg/ml	24,6 ± 0,4	4,4 ± 2,7
0,01 µg/ml	4,5 ± 2,4	2,8 ± 4,5

Muestra de ensayo	Inhibición de la unión (%) de Diluciones en tampón de ensayo (media ± DT)	Inhibición de la unión (%) de Diluciones en HBD (media ± DT)
IgG 5B3		
100 µg/ml	15,2 ± 2,5	1,1*
10 µg/ml	-2,1 ± 1,3	-0,7 ± 2,2
1 µg/ml	-2,6 ± 1,1	0,0*
0,1 µg/ml	1,0 ± 2,7	9,4 ± 4,2
0,01 µg/ml	3,2 ± 3,4	3,2 ± 3,4
0,001 µg/ml	-1,5 ± 4,3	3,7 ± 2,1

Los resultados mostrados son la media ± DT de determinaciones por triplicado. *Determinación por duplicado. HBD = grupo de sueros de donantes de sangre sanos. 5B3 es un MAb humano para ácido glutámico descarboxilasa (control negativo). ¹²⁵I-IgG K1-70 en presencia de tampón de ensayo proporcionó 20,4 % de unión. ¹²⁵I-IgG K1-70 en presencia del grupo de HBD proporcionó 20,5 % de unión. El tampón de ensayo es NaCl 50 mmol/l, Tris 10 mmol/l pH 7,8, Triton X-100 0,1 %.

Tabla 11b Inhibición de la unión de ¹²⁵I-IgG K1-70 con tubos recubiertos con TSHR por autoanticuerpos de TSHR monoclonales humanos

Muestra de ensayo	Inhibición de la unión (%) de Diluciones en tampón de ensayo (media ± DT)	Inhibición de la unión (%) de Diluciones en HBD (media ± DT)
IgG K1-18		
100 µg/ml	92,9 ± 0,2	93,5 ± 0,2
30 µg/ml	91,2 ± 0,7	92,2 ± 0,6
10 µg/ml	91,8 ± 0,3	92,5 ± 0,7
3 µg/ml	90,5 ± 1,0	91,0 ± 0,3
1 µg/ml	89,6 ± 1,2	85,8 ± 0,3
0,3 µg/ml	86,4 ± 0,8	73,9 ± 0,6
0,1 µg/ml	77,9 ± 0,2	48,6 ± 0,9
0,03 µg/ml	53,9 ± 1,9	20,0 ± 1,9
0,01 µg/ml	30,2 ± 2,1	3,1 ± 2,0
0,003 µg/ml	17,0 ± 3,1	-2,7 ± 7,9
0,001 µg/ml	7,2 ± 2,5	-3,0 ± 3,9
Fab K1-18		
100 µg/ml	86,0 ± 1,4	83,6 ± 0,3
30 µg/ml	83,3 ± 1,5	83,2 ± 1,4
10 µg/ml	81,9 ± 0,9	82,0 ± 0,2
3 µg/ml	79,4 ± 1,1	80,5 ± 0,6
1 µg/ml	78,5 ± 1,8	75,6 ± 1,0
0,3 µg/ml	71,4 ± 1,7	60,9 ± 1,1
0,1 µg/ml	62,8 ± 5,1	38,4 ± 1,2
0,03 µg/ml	31,3 ± 1,0	10,2 ± 2,1
0,01 µg/ml	23,7 ± 5,4	1,1 ± 2,6
0,003 µg/ml	15,2 ± 3,4	-3,5 ± 3,1

Muestra de ensayo	Inhibición de la unión (%) de Diluciones en tampón de ensayo (media ± DT)	Inhibición de la unión (%) de Diluciones en HBD (media ± DT)
0,001 µg/ml	13,8 ± 5,9	0,5 ± 4,4
IgG K1-70		
100 µg/ml	93,8 ± 0,2	93,6 ± 0,4
30 µg/ml	93,1 ± 0,5	94,3 ± 0,2
10 µg/ml	92,3 ± 0,3	93,1 ± 0,6
3 µg/ml	90,7 ± 0,4	91,7 ± 0,4
1 µg/ml	90,8 ± 0,4	90,4 ± 0,3
0,3 µg/ml	89,2 ± 0,6	82,7 ± 0,6
0,1 µg/ml	87,1 ± 0,6	62,8 ± 1,1
0,03 µg/ml	74,2 ± 1,5	33,6 ± 1,8
0,01 µg/ml	50,9 ± 0,8	11,4 ± 3,6
0,003 µg/ml	24,0 ± 4,5	2,2 ± 6,2
0,001 µg/ml	15,3 ± 1,1	-7,6 ± 2,8
Fab K1-70		
100 µg/ml	91,5 ± 0,2	90,8 ± 0,6
30 µg/ml	90,7 ± 0,1	91,0 ± 0,7
10 µg/ml	89,8 ± 1,2	90,6 ± 0,1
3 µg/ml	89,4 ± 0,3	90,9 ± 0,4
1 µg/ml	88,3 ± 0,4	89,5 ± 0,3
0,3 µg/ml	88,0 ± 0,1	87,3 ± 0,6
0,1 µg/ml	87,5 ± 0,8	76,5 ± 0,4
0,03 µg/ml	81,7 ± 0,6	49,6 ± 0,4
0,01 µg/ml	64,8 ± 2,7	21,6 ± 3,8
0,003 µg/ml	32,7 ± 2,7	5,6 ± 6,0
0,001 µg/ml	12,2 ± 2,3	-3,6 ± 1,0
Véase leyenda de la Tabla 11a para detalles. ¹²⁵ I-IgG K1-70 en presencia de tampón de ensayo proporcionó 20,4 % de unión. ¹²⁵ I-IgG K1-70 en presencia del grupo de HBD proporcionó 20,5 % de unión. El efecto de IgG 5B3 (MAb humano para ácido glutámico descarboxilasa; control negativo) se muestra en la Tabla 11a.		

Tabla 11c Inhibición de la unión de ¹²⁵I-IgG K1-70 con tubos recubiertos con TSHR por autoanticuerpos de TSHR monoclonales de ratón

Muestra de ensayo	Inhibición de la unión (%) de Diluciones en tampón de ensayo (media ± DT)	Inhibición de la unión (%) de Diluciones en HBD (media ± DT)
IgG TSMAB 1		
100 µg/ml	47,4 ± 1,2	44,7 ± 0,5
10 µg/ml	23,0 ± 0,5	37,7 ± 1,2
1 µg/ml	14,8 ± 0,5	16,8 ± 2,3
0,1 µg/ml	2,3 ± 2,3	-2,2 ± 1,9
0,01 µg/ml	-1,0 ± 4,4	-3,3 ± 2,9

ES 2 540 538 T3

Muestra de ensayo	Inhibición de la unión (%) de Diluciones en tampón de ensayo (media ± DT)	Inhibición de la unión (%) de Diluciones en HBD (media ± DT)
IgG TSMAb 2		
100 µg/ml	53,7 ± 1,4	43,8 ± 0,9
10 µg/ml	14,5 ± 1,4	35,5 ± 1,3
1 µg/ml	9,3 ± 1,6	28,6 ± 0,6
0,1 µg/ml	6,5 ± 2,3	10,2 ± 0,8
0,01 µg/ml	0,3 ± 3,4	1,2 ± 3,6
IgG TSMAb 3		
100 µg/ml	54,8 ± 2,8	33,5 ± 3,7
10 µg/ml	25,4 ± 2,9	24,9 ± 2,8
1 µg/ml	14,6 ± 0,9	18,5 ± 0,8
0,1 µg/ml	13,1 ± 0,7	4,8 ± 1,7
0,01 µg/ml	5,3 ± 0,7	-1,3 ± 0,3
IgG TSMAb 4		
100 µg/ml	47,7 ± 2,6	54,2 ± 1,7
10 µg/ml	31,9 ± 0,7	52,8 ± 2,5
1 µg/ml	29,9 ± 1,0	42,8 ± 1,2
0,1 µg/ml	22,6 ± 1,6	18,6 ± 0,2
0,01 µg/ml	6,7 ± 0,6	2,3 ± 3,1
IgG TSMAb 5		
100 µg/ml	72,5 ± 1,3	59,6 ± 0,6
10 µg/ml	53,1 ± 1,6	53,8 ± 0,7
1 µg/ml	33,8 ± 3,9	46,3 ± 1,3
0,1 µg/ml	25,7 ± 0,7	30,6 ± 1,5
0,01 µg/ml	10,9 ± 3,1	7,2 ± 1,4
IgG TSMAb 6		
100 µg/ml	59,5 ± 3,2	48,1 ± 2,1
10 µg/ml	23,9 ± 3,0	47,4 ± 4,1
1 µg/ml	19,2 ± 2,3	37,0 ± 1,4
0,1 µg/ml	16,6 ± 1,1	22,0 ± 1,2
0,01 µg/ml	7,8 ± 0,5	3,6 ± 1,6
IgG TSMAb 7		
100 µg/ml	61,2 ± 0,8	44,7 ± 1,6
10 µg/ml	41,2 ± 2,3	41,8 ± 2,7
1 µg/ml	19,4 ± 3,7	33,1 ± 1,4
0,1 µg/ml	13,4 ± 1,5	13,0 ± 1,2
0,01 µg/ml	2,9 ± 1,2	-2,1 ± 0,4

Muestra de ensayo	Inhibición de la unión (%) de Diluciones en tampón de ensayo (media ± DT)	Inhibición de la unión (%) de Diluciones en HBD (media ± DT)
IgG 9D33		
100 µg/ml	61,4 ± 0,4	51,1 ± 1,7
10 µg/ml	41,7 ± 1,6	48,0 ± 2,2
1 µg/ml	37,2 ± 4,0	40,5 ± 3,6
0,1 µg/ml	24,8 ± 1,1	14,8 ± 0,2
0,01 µg/ml	9,4 ± 1,1	0,6 ± 0,4
IgG 5B3		
100 µg/ml	1,3 ± 0,6	-0,9 ± 2,6
10 µg/ml	2,3 ± 2,3	-1,5 ± 1,5
1 µg/ml	4,2 ± 5,3	-1,5 ± 5,4
0,1 µg/ml	-1,2 ± 1,3	-3,6 ± 3,3
0,01 µg/ml	-3,6 ± 1,8	-5,8 ± 1,9
Véase leyenda de la Tabla 11a para detalles. ¹²⁵ I-IgG K1-70 en presencia de tampón de ensayo proporcionó 20,3 % de unión. ¹²⁵ I-IgG K1-70 en presencia del grupo de HBD proporcionó 19,5 % de unión.		

Tabla 11d Inhibición de la unión de ¹²⁵I-Fab K1-70 con tubos recubiertos con TSHR por autoanticuerpos de TSHR monoclonales humanos y de ratón

Muestra de ensayo	Inhibición de la unión (%) de Diluciones en tampón de ensayo (media ± DT)	Inhibición de la unión (%) de Diluciones en HBD (media ± DT)
IgG K1-18		
100 µg/ml	95,3 ± 0,2	96,0 ± 0,0
30 µg/ml	94,5 ± 0,1	95,6 ± 0,4
10 µg/ml	94,0 ± 0,4	94,8 ± 0,3
3 µg/ml	93,3 ± 0,5	93,0 ± 0,5
1 µg/ml	93,1 ± 0,3	89,4 ± 0,7
0,3 µg/ml	92,6 ± 0,8	77,7 ± 1,5
0,1 µg/ml	83,6 ± 0,3	51,0 ± 3,2
0,03 µg/ml	63,1 ± 0,6	17,2 ± 2,6
0,01 µg/ml	30,3 ± 2,1	2,2 ± 7,8
0,003 µg/ml	11,4 ± 4,1	-9,4 ± 3,1
0,001 µg/ml	5,9 ± 5,6	-6,8 ± 5,4
Fab K1-18		
100 µg/ml	86,4 ± 0,5	85,7 ± 1,6
30 µg/ml	83,2 ± 0,1	85,4 ± 0,8
10 µg/ml	80,8 ± 0,9	83,2 ± 0,7
3 µg/ml	80,6 ± 1,9	82,6 ± 0,5
1 µg/ml	79,0 ± 1,5	78,7 ± 1,6
0,3 µg/ml	75,9 ± 0,2	63,9 ± 1,3
0,1 µg/ml	62,9 ± 0,7	36,9 ± 2,2

ES 2 540 538 T3

Muestra de ensayo	Inhibición de la unión (%) de Diluciones en tampón de ensayo (media ± DT)	Inhibición de la unión (%) de Diluciones en HBD (media ± DT)
0,03 µg/ml	38,8 ± 0,4	7,9 ± 1,5
0,01 µg/ml	16,7 ± 0,4	-0,8 ± 4,7
0,003 µg/ml	5,0 ± 4,6	-9,6 ± 4,8
0,001 µg/ml	3,8 ± 5,8	-8,2 ± 5,6
IgG M22		
100 µg/ml	97,2 ± 0,3	96,5 ± 0,5
30 µg/ml	96,3 ± 0,5	95,8 ± 0,3
10 µg/ml	95,8 ± 0,5	95,4 ± 0,7
3 µg/ml	95,4 ± 0,4	95,1 ± 0,4
1 µg/ml	94,5 ± 0,9	93,1 ± 0,2
0,3 µg/ml	93,1 ± 0,3	86,6 ± 3,3
0,1 µg/ml	89,4 ± 0,4	68,2 ± 0,4
0,03 µg/ml	72,7 ± 1,3	32,7 ± 1,3
0,01 µg/ml	41,0 ± 2,4	5,7 ± 2,0
0,003 µg/ml	19,3 ± 3,1	-5,8 ± 2,8
0,001 µg/ml	12,1 ± 4,8	-3,1 ± 5,5
M22 Fab		
100 µg/ml	97,7 ± 0,1	94,9 ± 0,5
30 µg/ml	96,2 ± 0,3	95,3 ± 0,2
10 µg/ml	95,5 ± 0,1	94,8 ± 0,5
3 µg/ml	94,2 ± 0,2	94,1 ± 0,4
1 µg/ml	93,6 ± 0,5	93,7 ± 0,7
0,3 µg/ml	92,7 ± 0,4	92,2 ± 0,7
0,1 µg/ml	91,8 ± 0,2	86,4 ± 1,8
0,03 µg/ml	83,9 ± 0,8	66,8 ± 0,8
0,01 µg/ml	61,6 ± 1,2	36,6 ± 1,0
0,003 µg/ml	29,7 ± 1,4	11,5 ± 1,9
0,001 µg/ml	10,9 ± 0,5	7,7 ± 7,3
IgG K1-70		
100 µg/ml	97,7 ± 0,2	97,7 ± 0,2
30 µg/ml	97,7 ± 0,2	97,4 ± 0,2
10 µg/ml	96,9 ± 0,3	96,6 ± 0,2
3 µg/ml	95,5 ± 0,5	96,2 ± 0,5
1 µg/ml	95,2 ± 0,3	94,1 ± 0,4
0,3 µg/ml	94,2 ± 0,2	97,0 ± 1,0
0,1 µg/ml	93,5 ± 0,7	66,5 ± 1,4

ES 2 540 538 T3

Muestra de ensayo	Inhibición de la unión (%) de Diluciones en tampón de ensayo (media ± DT)	Inhibición de la unión (%) de Diluciones en HBD (media ± DT)
0,03 µg/ml	89,0 ± 0,5	37,8 ± 3,3
0,01 µg/ml	66,2 ± 2,1	10,6 ± 1,6
0,003 µg/ml	27,7 ± 3,8	-0,8 ± 2,6
0,001 µg/ml	5,5 ± 1,0	-8,8 ± 2,4
Fab K1-70		
100 µg/ml	96,7 ± 0,4	96,3 ± 0,1
30 µg/ml	95,1 ± 0,9	95,7 ± 0,4
10 µg/ml	93,6 ± 0,0	94,8 ± 0,5
3 µg/ml	93,5 ± 0,2	94,9 ± 0,3
1 µg/ml	93,5 ± 0,1	94,2 ± 0,3
0,3 µg/ml	92,7 ± 0,4	91,4 ± 0,8
0,1 µg/ml	92,2 ± 0,3	81,9 ± 0,5
0,03 µg/ml	89,0 ± 0,3	57,2 ± 2,6
0,01 µg/ml	75,6 ± 1,3	25,3 ± 3,9
0,003 µg/ml	40,0 ± 3,9	2,5 ± 5,8
0,001 µg/ml	11,9 ± 2,6	-2,5 ± 3,2
IgG 5C9		
100 µg/ml	93,3 ± 0,9	40,6 ± 3,8
10 µg/ml	80,4 ± 2,4	20,7 ± 1,1
1 µg/ml	41,5 ± 3,2	8,1 ± 5,5
0,1 µg/ml	21,9 ± 0,6	6,0 ± 8,6
0,01 µg/ml	10,9 ± 1,6	-4,4 ± 5,9
IgG TSMAB 1		
100 µg/ml	48,8 ± 1,9	46,3 ± 1,6
10 µg/ml	29,9 ± 0,4	41,4 ± 1,3
1 µg/ml	21,9 ± 1,5	25,0 ± 2,0
0,1 µg/ml	4,1 ± 3,0	8,4 ± 4,3
0,01 µg/ml	-2,5 ± 2,5	3,5 ± 3,5
IgG TSMAB 2		
100 µg/ml	56,3 ± 2,1	38,3 ± 3,0
10 µg/ml	24,0 ± 3,8	34,7 ± 1,2
1 µg/ml	16,8 ± 1,4	26,9 ± -2,9
0,1 µg/ml	13,0 ± 2,2	12,5 ± 1,7
0,01 µg/ml	4,0 ± 2,1	8,6 ± 8,6
IgG TSMAB 3		
100 µg/ml	58,9 ± 3,2	32,6 ± 2,6

ES 2 540 538 T3

Muestra de ensayo	Inhibición de la unión (%) de Diluciones en tampón de ensayo (media ± DT)	Inhibición de la unión (%) de Diluciones en HBD (media ± DT)
10 µg/ml	30,3 ± 1,8	29,0 ± 3,4
1 µg/ml	29,3 ± 3,2	18,2 ± 2,1
0,1 µg/ml	21,1 ± 1,9	3,6 ± 1,3
0,01 µg/ml	7,2 ± 1,7	2,4 ± 3,7
IgG TSMAB 4		
100 µg/ml	53,8 ± 3,4	57,8 ± 3,3
10 µg/ml	41,8 ± 2,1	53,5 ± 1,4
1 µg/ml	38,8 ± 2,2	41,2 ± 0,1
0,1 µg/ml	29,9 ± 1,3	12,8 ± 1,6
0,01 µg/ml	8,6 ± 1,2	-1,4 ± 1,7
IgG TSMAB 5		
100 µg/ml	81,8 ± 1,5	57,5 ± 1,6
10 µg/ml	62,0 ± 5,7	57,0 ± 2,6
1 µg/ml	41,2 ± 0,9	52,3 ± 1,2
0,1 µg/ml	34,4 ± 1,4	28,8 ± 1,2
0,01 µg/ml	14,4 ± 1,9	6,8 ± 0,4
IgG TSMAB 6		
100 µg/ml	68,3 ± 2,9	43,9 ± 1,0
10 µg/ml	28,9 ± 3,7	39,2 ± 3,8
1 µg/ml	25,4 ± 2,4	36,9 ± 4,7
0,1 µg/ml	19,5 ± 2,0	19,2 ± 1,6
0,01 µg/ml	4,9 ± 0,7	0,2 ± 0,9
IgG TSMAB 7		
100 µg/ml	59,8 ± 2,8	38,2 ± 2,1
10 µg/ml	40,6 ± 1,2	39,5 ± 5,5
1 µg/ml	21,7 ± 2,1	30,7 ± 2,8
0,1 µg/ml	13,5 ± 1,7	9,3 ± 2,7
0,01 µg/ml	-1,7 ± 1,6	-2,9 ± 2,3
IgG 9D33		
100 µg/ml	62,7 ± 2,5	55,7 ± 7,1
10 µg/ml	48,0 ± 2,6	47,7 ± 1,7
1 µg/ml	43,8 ± 1,8	38,8 ± 3,3
0,1 µg/ml	29,7 ± 3,4	12,7 ± 1,8
0,01 µg/ml	5,0 ± 0,4	-1,2 ± 2,7
IgG 5B3		
100 µg/ml	1,4 ± 0,6	-8,6 ± 1,2

Muestra de ensayo	Inhibición de la unión (%) de Diluciones en tampón de ensayo (media ± DT)	Inhibición de la unión (%) de Diluciones en HBD (media ± DT)
10 µg/ml	-2,1 ± 2,6	-5,7 ± 4,4
1 µg/ml	-1,7 ± 0,2	-7,8 ± 2,2
0,1 µg/ml	2,2 ± 0,8	-8,7 ± 0,8
0,01 µg/ml	-1,7 ± 1,7	-5,3 ± 7,0
0,001 µg/ml	-1,8 ± 3,1	-12,1 ± 2,8

Véase leyenda de la Tabla 11a para detalles. ¹²⁵I-Fab K1-70 en presencia de tampón de ensayo proporcionó 20,3 % de unión. ¹²⁵I-Fab K1-70 en presencia del grupo de HBD proporcionó 19,5 % de unión.

Tabla 11e Inhibición de la unión de ¹²⁵I-Fab K1-70, ¹²⁵I-IgG K1-70 y ¹²⁵I-TSH con tubos recubiertos con TSHR por sueros de pacientes

Muestra de ensayo	% de inhibición de la unión de ¹²⁵ I-Fab K1-70	% de inhibición de la unión de ¹²⁵ I-IgG K1-70	% de inhibición de la unión de ¹²⁵ I-TSH
G1	43,7	47,6	38,6
G2	29,0	33,8	31,5
G3	33,3	44,7	35,6
G4	39,2	47,5	47,1
G5	40,9	41,1	44,7
G6	50,2	55,1	52,1
G7	15,9	19,2	15,9
G8	34,6	41,5	41,8
G9	72,8	77,6	80,0
G10	55,2	62,4	68,7
G11	32,7	38,3	31,0
G12	30,8	42,1	29,7
G13	47,3	51,8	57,9
G14	49,7	53,3	49,3
G15	41,1	48,4	38,6
G16	36,9	43,3	42,9
G17	17,5	23,3	24,5
G18	33,9	40,6	39,1
G19	22,2	33,4	20,6
G20	33,5	38,1	38,4
HBD 1	-4,7	-6,5	-12,6
HBD 2	-1,7	-3,5	-4,2
HBD 3	1,2	-2,8	-5,4
HBD 4	-3,4	0,8	-11,8
HBD 5	-0,5	5,6	-4,7
HBD	1,6	4,1	1,8

ES 2 540 538 T3

Muestra de ensayo	% de inhibición de la unión de ¹²⁵ I-Fab K1- 70	% de inhibición de la unión de ¹²⁵ I-IgG K1-70	% de inhibición de la unión de ¹²⁵ I-TSH
HBD 7	-9,0	-2,4	-13,7
HBD 8	-4,6	0,8	-12,8
HBD 9	-0,6	1,2	-11,0
HBD 10	-4,3	2,1	-10,6
Suero de donante K1			
diluido 10x	72,9	73,7	67,2
diluido 20x	52,2	56,6	44,0
diluido 40x	29,5	39,5	24,8
diluido 80x	15,5	26,2	11,9
diluido 160x	7,8	15,3	2,7
diluido 320x	3,2	8,0	2,1
B1			
diluido 5x	85,7	89,0	91,5
diluido 10x	76,5	81,7	83,9
diluido 20x	60,6	68,1	65,8
diluido 40x	38,4	51,3	39,6
diluido 80x	21,0	36,9	20,7
diluido 160x	8,6	20,4	7,5
diluido 320x	3,6	10,7	-2,5
B2			
diluido 5x	90,4	89,9	93,5
diluido 10x	84,6	86,6	86,5
diluido 20x	71,9	78,1	68,7
diluido 40x	52,4	63,1	42,8
diluido 80x	34,9	45,1	20,4
diluido 160x	18,6	29,5	10,5
diluido 320x	10,7	16,6	14,1
S1			
diluido 5x	73,6	72,1	82,0
diluido 10x	58,6	60,2	66,5
diluido 20x	45,1	45,7	47,1
diluido 40x	32,9	34,5	32,5
diluido 80x	19,7	21,6	17,4
diluido 160x	9,7	13,7	5,2
diluido 320x	2,2	4,7	2,3
S2			

Muestra de ensayo	% de inhibición de la unión de ¹²⁵ I-Fab K1-70	% de inhibición de la unión de ¹²⁵ I-IgG K1-70	% de inhibición de la unión de ¹²⁵ I-TSH
diluido 5x	50,0	54,7	55,1
diluido 10x	34,8	38,9	33,7
diluido 20x	24,2	22,9	18,4
diluido 40x	11,8	16,0	9,5
diluido 80x	5,6	9,4	7,7
diluido 160x	0,3	4,9	-0,7

Véase leyenda de la Tabla 11a para detalles. Se realizaron diluciones en el suero de grupo de HBD. HBD 1-10 = sueros de donantes de sangre sanos 1-10. B1, B2 = sueros de dos pacientes diferentes con autoanticuerpos de bloqueo de TSHR. S1, S2 = sueros de dos pacientes diferentes con autoanticuerpos estimulantes de TSHR.

Tabla 12a Unión de MAb humanos con TSHR260-AP en un ELISA

Muestra de ensayo	Absorbancia media a 405 nm	
	Muestra de ensayo diluida en HBD	Muestra de ensayo diluida en tampón de ensayo
Tampón de ensayo		-0,005
Suero de HBD	-0,002	
IgG K1-18		
250 µg/ml	0,722	1,197
100 µg/ml	0,706	0,993
10 µg/ml	0,660	0,800
1 µg/ml	0,578	0,715
0,5 µg/ml	0,511	0,673
0,1 µg/ml	0,292	0,545
0,05 µg/ml	0,191	0,396
0,01 µg/ml	0,053	0,255
0,005 µg/ml	0,013	0,136
IgG K1-70		
250 µg/ml	0,817	1,134
100 µg/ml	0,794	1,030
10 µg/ml	0,738	0,885
1 µg/ml	0,677	0,806
0,5 µg/ml	0,661	0,802
0,1 µg/ml	0,440	0,713
0,05 µg/ml	0,290	0,593
0,01 µg/ml	0,086	0,183
0,005 µg/ml	0,045	0,085
IgG M22		
250 µg/ml	0,833	1,007
100 µg/ml	0,851	0,967

ES 2 540 538 T3

Absorbancia media a 405 nm		
Muestra de ensayo	Muestra de ensayo diluida en HBD	Muestra de ensayo diluida en tampón de ensayo
10 µg/ml	0,796	0,872
1 µg/ml	0,726	0,821
0,5 µg/ml	0,657	0,776
0,1 µg/ml	0,365	0,653
0,05 µg/ml	0,204	0,484
0,01 µg/ml	0,030	0,101
0,005 µg/ml	0,045	0,075
IgG 5C9		
250 µg/ml	0,058	1,124
100 µg/ml	0,027	0,669
10 µg/ml	0,004	0,099
1 µg/ml	0,045	0,011
0,5 µg/ml	0,016	-0,005
0,1 µg/ml	-0,005	-0,013
0,05 µg/ml	-0,003	-0,008
0,01 µg/ml	0,017	-0,001
0,005 µg/ml	0,020	-0,009
IgG 5B3		
250 µg/ml	0,012	0,018
100 µg/ml	0,003	-0,011
10 µg/ml	-0,006	-0,014
1 µg/ml	0,049	-0,004
0,5 µg/ml	-0,001	-0,006
0,1 µg/ml	-0,002	-0,013
0,05 µg/ml	-0,006	-0,009
0,01 µg/ml	0,027	0,012
0,005 µg/ml	-0,002	-0,012

TSHR260-AP es una proteína de fusión que consiste en un fragmento de TSHR humano (aminoácidos 22-260) con fosfatasa alcalina. HBD = grupo de sueros de donantes de sangre sanos. Las muestras de ensayo se diluyeron en suero de HBD o tampón de ensayo. El tampón de ensayo es NaCl 50 mmol/l, Tris 10 mmol/l pH 7,8, Triton X-100 0,1 %, BSA 1 µg/ml. 5B3 es un MAb humano para ácido glutámico descarboxilasa (control negativo). Absorbancia media = media de determinaciones por duplicado.

Tabla 12b Unión de MAb de TSHR humanos (preparaciones de IgG y Fab) en el ELISA basado en TSHR260-AP

Muestra de ensayo	Absorbancia media a 405 nm de Diluciones en HBD		Absorbancia media a 405 nm de Diluciones en tampón de ensayo	
	IgG	Fab	IgG	Fab
IgG M22				
250 µg/ml	0,833	0,031	1,007	0,077

ES 2 540 538 T3

Muestra de ensayo	Absorbancia media a 405 nm de Diluciones en HBD		Absorbancia media a 405 nm de Diluciones en tampón de ensayo	
	IgG	Fab	IgG	Fab
100 µg/ml	0,851	-	0,967	-
10 µg/ml	0,796	0,010	0,872	0,034
1 µg/ml	0,726	-	0,821	-
0,5 µg/ml	0,657	-	0,776	-
0,1 µg/ml	0,365	-0,007	0,653	0,015
0,05 µg/ml	0,204	-	0,484	-
0,01 µg/ml	0,030	-	0,101	-
0,005 µg/ml	0,045	-0,013	0,075	-0,004
IgG 5C9				
250 µg/ml	0,058	-0,008	1,124	0,204
100 µg/ml	0,027	-	0,669	-
10 µg/ml	0,004	-0,008	0,099	0,016
1 µg/ml	0,045	-	0,011	-
0,5 µg/ml	0,016	-	-0,005	-
0,1 µg/ml	-0,005	-0,009	-0,013	-0,009
0,05 µg/ml	-0,003	-	-0,008	-
0,01 µg/ml	0,017	-	-0,001	-
0,005 µg/ml	0,020	-0,012	-0,009	0,000
IgG K1-18				
250 µg/ml	0,722	-0,007	1,197	0,049
100 µg/ml	0,706	-	0,993	-
10 µg/ml	0,660	-0,002	0,800	0,008
1 µg/ml	0,578	-	0,715	-
0,5 µg/ml	0,511	-	0,673	-
0,1 µg/ml	0,292	-0,011	0,545	0,002
0,05 µg/ml	0,191	-	0,396	-
0,01 µg/ml	0,053	-	0,255	-
0,005 µg/ml	0,013	-0,011	0,136	-0,004
IgG K1-70				
250 µg/ml	0,817	0,020	1,134	0,056
100 µg/ml	0,794	-	1,030	-
10 µg/ml	0,738	0,018	0,885	0,033
1 g/ml	0,677	-	0,806	-
0,5 µg/ml	0,661	-	0,802	-
0,1 µg/ml	0,440	-0,010	0,713	0,007

Muestra de ensayo	Absorbancia media a 405 nm de Diluciones en HBD		Absorbancia media a 405 nm de Diluciones en tampón de ensayo	
	IgG	Fab	IgG	Fab
0,05 µg/ml	0,290	-	0,593	-
0,01 µg/ml	0,086	-	0,183	-
0,005 µg/ml	0,045	-0,010	0,085	-0,004
IgG 5B3				
250 µg/ml	0,012	-	0,018	-
100 µg/ml	0,003	-	-0,011	-
10 µg/ml	-0,006	-	-0,014	-
1 µg/ml	0,049	-	-0,004	-
0,5 µg/ml	-0,001	-	-0,006	-
0,1 µg/ml	-0,002	-	-0,013	-
0,05 µg/ml	-0,006	-	-0,009	-
0,01 µg/ml	0,027	-	0,012	-
0,005 µg/ml	-0,002	-	-0,012	-
IgG 4B4				
250 µg/ml	-	-0,009	-	-0,004
100 µg/ml	-	-	-	-
10 µg/ml	-	-0,009	-	0,012
1 µg/ml	-	-	-	-
0,5 µg/ml	-	-	-	-
0,1 µg/ml	-	-0,001	-	-0,006
0,05 µg/ml	-	-	-	-
0,01 µg/ml	-	-	-	-
0,005 µg/ml	-	-0,014	-	0,000

Véase leyenda de la Tabla 12a para detalles. 4B4 es un MAh humano para ácido glutámico descarboxilasa (control negativo).

Tabla 12c Unión de TSMAb de ratón en el ELISA de TSHR260-AP

Muestra de ensayo	Absorbancia media a 405 nm de diluciones en HBD
HBD	-0,010
TSMAb 1	
10 µg/ml	0,166
0,5 µg/ml	0,036
0,05 µg/ml	-0,002
0,005 µg/ml	0,006
TSMAb 2	
10 µg/ml	0,410
0,5 µg/ml	0,191
0,05 µg/ml	0,033
0,005 µg/ml	0,003
TSMAb 3	

Muestra de ensayo	Absorbancia media a 405 nm de diluciones en HBD
10 µg/ml	0,103
0,5 µg/ml	0,029
0,05 µg/ml	-0,001
0,005 µg/ml	0,003
TSMAb 4	
10 µg/ml	0,428
0,5 µg/ml	0,253
0,05 µg/ml	0,048
0,005 µg/ml	0,013
TSMAb 5	
10 µg/ml	0,561
0,5 µg/ml	0,319
0,05 µg/ml	0,054
0,005 µg/ml	0,011
TSMAb 6	
10 µg/ml	0,486
0,5 µg/ml	0,310
0,05 µg/ml	0,090
0,005 µg/ml	0,002
TSMAb 7	
10 µg/ml	0,357
0,5 µg/ml	0,184
0,05 µg/ml	0,027
0,005 µg/ml	0,004
IgG K1-70	
10 µg/ml	1,252
1 µg/ml	1,122
0,5 µg/ml	1,038
0,1 µg/ml	0,606
0,05 µg/ml	0,348
0,01 µg/ml	0,069
0,005 µg/ml	0,076
IgG M22	
10 µg/ml	1,272
1 µg/ml	1,094
0,5 µg/ml	1,018
0,1 µg/ml	0,548
0,05 µg/ml	0,292
0,01 µg/ml	0,043
0,005 µg/ml	0,011
Véase la leyenda de la Tabla 12a para detalles. La unión de 5B3 y 4B4 (MAb humanos para ácido glutámico descarboxilasa; controles negativos) se muestra en la Tabla 12b.	

Tabla 12d Unión de MAb de bloqueo de TSHR de ratón (9D33) en el ELISA de TSHR260-AP

Muestra de ensayo	Absorbancia media a 405 nm de diluciones en HBD
HBD	0,003
IgG 9D33	
10 µg/ml	0,481

Muestra de ensayo	Absorbancia media a 405 nm de diluciones en HBD
1 µg/ml	0,329
0,5 µg/ml	0,273
0,1 µg/ml	0,102
0,05 µg/ml	0,056
0,01 µg/ml	0,011
0,005 µg/ml	0,006
IgG K1-70	
10 µg/ml	1,324
1 µg/ml	1,164
0,5 µg/ml	1,083
0,1 µg/ml	0,639
0,05 µg/ml	0,388
0,01 µg/ml	0,094
0,005 µg/ml	0,059
IgG M22	
10 µg/ml	1,360
1 µg/ml	1,172
0,5 µg/ml	1,093
0,1 µg/ml	0,599
0,05 µg/ml	0,332
0,01 µg/ml	0,064
0,005 µg/ml	0,032

Véase la leyenda de la Tabla 12a para detalles. La unión de 5B3 y 4B4 (MAb humanos para ácido glutámico descarboxilasa; controles negativos) se muestra en la Tabla 12b.

Tabla 12e Unión de sueros de pacientes con actividad estimulante de TSHR en el ELISA de TSHR260-AP

Muestra de ensayo	ELISA de TSHR260-AP			Inhibición de ELISA de la unión de TSH	Estimulación de la producción de AMP cíclico ³ (pmol/ml)
	Absorbancia media a 405 nm	conc. de TRAb ¹ (µg/ml)	conc. de TRAb ² (U/l)	conc. de TRAb ² (U/l)	
HBD	0,003	0	0	0	
S1					
diluido 1:5	0,924	0,31	38,0	>40	37,2
diluido 1:10	0,788	0,18	19,7	31,1	
diluido 1:20	0,583	0,10	9,5	16,2	
diluido 1:40	0,378	0,05	5,2	7,1	
S2					
diluido 1:5	0,740	0,17	17,9	36,0	47,6
diluido 1:10	0,595	0,10	9,8	23,6	
diluido 1:20	0,407	0,06	5,7	13,6	
diluido 1:40	0,235	0,03	2,9	6,6	
S3					
diluido 1:5	0,868	0,25	28,5	>40	35,9
diluido 1:10	0,651	0,12	11,8	34,0	
diluido 1:20	0,453	0,06	6,5	23,5	
diluido 1:40	0,290	0,04	3,8	12,2	
S4					

Muestra de ensayo	ELISA de TSHR260-AP			Inhibición de ELISA de la unión de TSH	Estimulación de la producción de AMP cíclico ³ (pmol/ml)
	Absorbancia media a 405 nm	conc. de TRAb ¹ (µg/ml)	conc. de TRAb ² (U/l)	conc. de TRAb ² (U/l)	
diluido 1:5	0,646	0,11	11,6	19,8	107,5
diluido 1:10	0,362	0,05	4,9	7,6	
diluido 1:20	0,171	0,02	2,0	3,1	
diluido 1:40	0,080	0,01	1,0	1,4	
S5					
diluido 1:5	0,407	0,06	5,7	9,4	40,6
diluido 1:10	0,221	0,03	2,7	4,4	
diluido 1:20	0,109	0,01	1,3	2,1	
diluido 1:40	0,059	0,01	0,9	1,1	
S6					
diluido 1:5	0,531	0,08	8,2	19,9	43,5
diluido 1:10	0,363	0,05	5,0	9,2	
diluido 1:20	0,213	0,03	2,6	4,7	
diluido 1:40	0,124	0,02	1,5	2,0	

Véase leyenda de la Tabla 12a para detalles. Lectura de la curva de calibración de IgG M22 (se procesó 0,005, 0,001, 0,05, 0,1, 0,5, 1,0 y 10 µg/ml en cada ensayo). ²Las unidades son NIBSC 90/672. ³Se ensayó la estimulación de la producción de AMP cíclico (suero diluido 1:10 en tampón de AMP cíclico hipotónico) usando células CHO que expresan el TSHR de longitud completa. S1 = suero 1 de paciente estimulante de TSHR, S2 = suero 2 de paciente estimulante de TSHR, S3 = suero 3 de paciente estimulante de TSHR, S4 = suero 4 de paciente estimulante de TSHR, S5 = suero 5 de paciente estimulante de TSHR, S6 = suero 6 de paciente estimulante de TSHR. Se realizaron diluciones del suero para ambos ELISA en HBD.

Tabla 12f Unión de sueros de pacientes con actividad de bloqueo de TSHR en el ELISA de TSHR260-AP

Muestra de ensayo	ELISA de TSHR260-AP		Nivel de TRAb medido en ensayo de tubo recubierto con TSHR	
	Diluido en HBD	Diluido en tampón de ensayo	% de inhibición de la unión de ¹²⁵ I-TSH	U/l
	Absorbancia media a 405 nm	Absorbancia media a 405 nm		
B1				
no diluido	0,859	0,859	NT	NT
diluido 1:10	0,484	0,667	73	16,8
diluido 1:20	0,284	0,457	45	4,3
diluido 1:40	0,154	0,243	22	1,4
diluido 1:80	0,078	0,119	4	0,1
diluido 1:160	0,037	0,062	0	0
diluido 1:320	0,021	0,032	NT	NT
B2				
no diluido	0,323	0,323	NT	NT
diluido 1:10	0,097	0,165	82	25,6
diluido 1:20	0,052	0,114	70	14,6
diluido 1:40	0,029	0,063	47	4,5
diluido 1:80	0,015	0,036	23	2
diluido 1:160	0,008	0,018	9	0,7
diluido 1:320	0,007	0,014	NT	NT
B3				
diluido 1:10	0,896	1,061	85 ^a	NT
diluido 1:20	0,588	0,768	73 ^a	NT

Muestra de ensayo	ELISA de TSHR260-AP		Nivel de TRAb medido en ensayo de tubo recubierto con TSHR	
	Diluido en HBD	Diluido en tampón de ensayo		
	Absorbancia media a 405 nm	Absorbancia media a 405 nm	% de inhibición de la unión de ¹²⁵ I-TSH	U/I
diluido1:40	0,320	0,443	51 ^a	NT
diluido1:80	0,168	0,218	34 ^a	NT
diluido1:160	0,091	0,104	22 ^a	NT
diluido1:320	0,041	0,054	13 ^a	NT
B4				
diluido1:10	0,729	0,826	94 ^a	NT
diluido1:20	0,612	0,734	91 ^a	NT
diluido1:40	0,453	0,592	80 ^a	NT
diluido1:80	0,270	0,353	55 ^a	NT
diluido1:160	0,141	0,153	33 ^a	NT
diluido1:320	0,068	0,066	17 ^a	NT
B5				
diluido1:10	0,772	0,910	98	>40
diluido1:20	0,652	0,835	97	>40
diluido1:40	0,470	0,735	95	>40
diluido1:80	0,291	0,522	90	36,2
diluido1:160	0,155	0,276	76	12,0
diluido1:320	0,077	0,130	45	3,0

Véase leyenda de la Tabla 12a para detalles. NT = no ensayado. B1 = Suero 1 de paciente de bloqueo de TSHR (suero de donante de linfocitos K1). B2 = Suero 2 de paciente de bloqueo de TSHR, B3 = TSHR Suero 3 de paciente de bloqueo de TSHR, B4 = Suero 4 de paciente de bloqueo de TSHR, B5 = Suero 5 de paciente de bloqueo de TSHR. Se realizaron diluciones en suero en HBD o tampón de ensayo. ^a La inhibición de la unión de ¹²⁵I-TSH se llevó a cabo usando el ensayo de precipitación de PEG (Southgate K, Creagh F, Teece M, Kingwood C, Rees Smith B. A receptor assay for the measurement of TSH receptor antibodies in unextracted Suero. Clin Endocrinol 1984; 20: 539-548).

Tabla 12g Unión de sueros de pacientes en el ELISA de TSHR260-AP

Muestra de ensayo	Absorbancia media a 405 nm	Concentración de TRAb leída de la curva de calibración de IgG M22 (µg/ml)	Concentración de TRAb en ELISA de TSHR260-AP (U/I)	Concentración de TRAb en ensayo de tubo recubierto con TSHR (U/I)
Suero 1	0,06	0,007	0,7	1,0
Suero 2	0,072	0,008	0,9	1,0
Suero 3	0,067	0,008	0,8	1,1
Suero 4	-0,004	0,000	0	1,1
Suero 5	0,38	0,052	5,2	1,2
Suero 6	0,099	0,012	1,2	1,2
Suero 7	0,051	0,006	0,6	1,2
Suero 8	0,113	0,014	1,3	1,4
Suero 9	0,07	0,008	0,8	1,4
Suero 10	0,157	0,019	1,9	1,5
Suero 11	0,191	0,025	2,5	2,0
Suero 12	0,157	0,019	1,9	2,1
Suero 13	0,23	0,029	2,9	2,2
Suero 14	0,047	0,006	0,7	2,7
Suero 15	0,198	0,026	2,6	2,7
Suero 16	0,238	0,032	3,2	3,0
Suero 17	0,296	0,041	4,1	3,0

ES 2 540 538 T3

Muestra de ensayo	Absorbancia media a 405 nm	Concentración de TRAb leída de la curva de calibración de IgG M22 (µg/ml)	Concentración de TRAb en ELISA de TSHR260-AP (U/l)	Concentración de TRAb en ensayo de tubo recubierto con TSHR (U/l)
Suero 18	0,322	0,042	4,3	3,6
Suero 19	0,326	0,043	4,3	3,7
Suero 20	0,088	0,011	1,1	4,7
Suero 21	0,005	<0,005	<0,6	5,1
Suero 22	0,383	0,056	5,5	5,1
Suero 23	0,211	0,026	2,6	5,7
Suero 24	0,461	0,071	7	6,4
Suero 25	0,453	0,067	6,6	6,6
Suero 26	0,295	0,038	3,8	6,7
Suero 27	0,419	0,062	6,2	7,1
Suero 28	0,363	0,050	5	8,1
Suero 29	0,526	0,086	8,6	8,5
Suero 30	0,611	0,112	11,3	11,8
Suero 31	0,49	0,077	7,7	14,3
Suero 32	0,621	0,116	11,7	16,9
Suero 33	0,696	0,150	15,6	17,8
Suero 34	0,592	0,104	10,4	19,0
Suero 35	0,832	0,259	30,4	21,1
Suero 36	0,78	0,222	24,5	21,2
Suero 37	0,782	0,224	24,6	21,5
Suero 38	0,754	0,196	21,1	21,7
Suero 39	1,008	1,375	>61	26,2
Suero 40	-0,008	0	0	0
Suero 41	-0,005	0	0	0
Suero 42	-0,006	0	0	0
Suero 43	-0,004	0	0	0
Suero 44	-0,007	0	0	0
Suero 45	-0,007	0	0	0
Suero 46	-0,002	<0,005	<0,6	0
Suero 47	-0,001	0	0	0
Suero 48	0,0095	<0,005	<0,6	0
Suero 49	-0,002	0	0	0
Suero 50	0,003	0	0	0
Suero 51	0,005	<0,005	<0,6	0
Suero 52	0,008	<0,005	<0,6	0
Suero 53	-0,003	0	0	0
Suero 54	-0,005	0	0	0
Suero 55	-0,006	0	0	<1
Suero 56	0,0065	<0,005	<0,6	0
Suero 57	-0,004	0	0	0
Suero 58	0,001	0	0,0	<1
Suero 59	0,041	0,005	0,6	0

Véase leyenda de la Tabla 12a para detalles. Los sueros 1-39 son de pacientes a los que se ha diagnosticado o se sospecha que tienen enfermedad de Graves. Los sueros 1-39 fueron positivos para TRAb en el ensayo de tubo recubierto (basado en la inhibición de la unión de ¹²⁵I con TSHR de longitud completa que recubre los tubos). Los sueros 40-59 fueron de donantes de sangre sanos y fueron negativos para TRAb en el ensayo de tubo recubierto.

Tabla 12h Medición de TRAb en suero por la inhibición de la unión de M22-peroxidasa con el TSHR260 en un ELISA

Muestra de ensayo	ELISA de TRAb (TSHR de longitud completa que recubre placas)			ELISA de TRAb (TSHR260 que recubre placas)		
	Absorbancia media a 450 nm	% de inhibición de unión de TSH-biotina	concentr. de TRAb (U/l)	Absorbancia media a 450 nm	% de inhibición de la unión de Fab M22-peroxidasa	concentr. de TRAb (U/l)
Suero 60	0,224	90	30,7	0,196	92	>40
Suero 61	0,514	77	15,2	0,569	77	14,7
Suero 62	0,605	73	12,4	0,470	81	24,7
Suero 63	1,555	30	2,1	1,109	55	3,7
Suero 64	1,639	26	1,7	1,208	51	3,1
Suero 65	1,488	33	2,4	1,341	45	2,4
Suero 66	1,267	43	3,6	0,706	71	8,5
Suero 67	1,066	52	5,1	0,908	63	5,3
Suero 68	1,341	40	3,1	0,704	71	8,6
Suero 69	1,414	37	2,7	0,764	69	7,3
Suero 70	0,704	68	10,0	0,797	67	6,7
Suero 71	1,691	24	1,5	0,797	67	6,7
Suero 72	2,404	-8	0	2,791	-14	0
Suero 73	2,203	1	0,1	2,509	-3	0
Suero 74	2,228	0	0,1	2,737	-12	0
Suero 75	2,274	-2	0	2,758	-13	0
Suero 76	2,178	2	0,2	2,215	10	0,3
Suero 77	2,292	-3	0	2,152	12	0,3
Suero 78	2,425	-9	0	2,676	-9	0
Suero 79	2,397	-8	0	3,363	-37	0
Suero 80	2,410	-8	0	2,905	-19	0
Suero 81	2,148	4	0,2	2,523	-3	0

Los sueros 60-71 son de pacientes a los que se ha diagnosticado o se sospecha que tienen enfermedad de Graves. Los sueros 60-71 fueron positivos para TRAb en el ensayo de tubo recubierto (basado en la inhibición de la unión de ¹²⁵I-TSH con TSHR de longitud completa que recubre los tubos). Los sueros 72-81 fueron de donantes de sangre sanos que fueron negativos para TRAb en el ensayo de tubo recubierto.

Tabla 12i Capacidad de los MAb de TSHR para unirse con TSHR de tipo silvestre de longitud completa y TSHR Arg255 Asp que recubre pocillos de una placa de ELISA. TSHR260-AP usado para detectar la unión de MAb

Muestra de ensayo	TSHR de tipo silvestre	TSHR Arg255 Asp
	Absorbancia media a 405 nm	Absorbancia media a 405 nm
HBD	0,003	0,005
IgG K1-70		
10 µg/ml	1,324	1,357
1 µg/ml	1,164	1,141
0,5 µg/ml	1,083	0,998
0,1 µg/ml	0,639	0,322
0,05 µg/ml	0,388	0,146
0,01 µg/ml	0,094	0,021
0,005 µg/ml	0,059	0,008
IgG M22		
10 µg/ml	1,360	0,551
1 µg/ml	1,172	0,340
0,5 µg/ml	1,093	0,262

ES 2 540 538 T3

Muestra de ensayo	TSHR de tipo silvestre	TSHR Arg255 Asp
	Absorbancia media a 405 nm	Absorbancia media a 405 nm
0,1 µg/ml	0,599	0,050
0,05 µg/ml	0,332	0,017
0,01 µg/ml	0,064	-0,002
0,005 µg/ml	0,032	-0,007
IgG K1-18		
10 µg/ml	1,187	1,111
1 µg/ml	0,986	0,888
0,5 µg/ml	0,876	0,710
0,1 µg/ml	0,452	0,176
0,05 µg/ml	0,301	0,099
0,01 µg/ml	0,072	0,014
0,005 µg/ml	0,038	0,002
IgG 9D33		
10 µg/ml	0,481	0,534
1 µg/ml	0,329	0,322
0,5 µg/ml	0,273	0,242
0,1 µg/ml	0,102	0,053
0,05 µg/ml	0,056	0,020
0,01 µg/ml	0,011	-0,004
0,005 µg/ml	0,006	0,001
Véase leyenda de la Tabla 12a para detalles. Se realizaron diluciones en suero en HBD.		

Tabla 12j Capacidad de los sueros de los pacientes para unirse con TSHR de longitud completa de tipo silvestre y TSHR Arg255 Asp que recubre pocillos de placas de ELISA. Se usó TSHR260-AP para detectar la unión

Muestra de ensayo	TSHR de tipo silvestre		TSHR Arg255 Asp		nivel de TRAb en ensayo de tubo recubierto con TSHR
	Absorbancia media a 405 nm	µg/ml (leído de la calibración de IgG K1-70)	Absorbancia media a 405 nm	µg/ml (leído de la calibración de IgG K1-70)	U/I
Sueros de los pacientes					
Suero 1	0,707	0,121	0,558	0,176	14,7
Suero 2	0,798	0,159	0,677	0,227	17,1
Suero 3	0,647	0,102	0,237	0,076	8,1
Suero 4	0,692	0,116	0,585	0,187	12,3
Suero 5	0,560	0,081	0,169	0,057	9,9
Suero 6	0,278	0,034	0,096	0,036	5,9
Suero 7	0,388	0,050	0,167	0,056	5,6
Suero 8	0,367	0,047	0,112	0,040	8,3
Suero 9	0,198	0,023	0,074	0,029	11,3
Suero 10	0,788	0,154	0,447	0,137	17
HBD	0,003	0	0,005	0	0

Véase leyenda de la Tabla 12a para detalles. Los sueros 1-10 son de pacientes con niveles de TRAb detectables en el ensayo de tubo recubierto. Se procesó una curva de calibración usando IgG K1-70 (0,005, 0,01, 0,05, 0,1, 0,5, 1,0 y 10 µg/ml) en cada ensayo.

ES 2 540 538 T3

Tabla 12k Capacidad de los sueros de los pacientes con actividad de bloqueo de TSHR para unirse con TSHR de tipo silvestre de longitud completa y TSHR Arg255 Asp que recubre pocillos de placas de ELISA. Se usó TSHR260-AP para detectar la unión

Muestra de ensayo	ELISA de TSHR260-AP			
	TSHR de tipo silvestre		TSHR Arg255 Asp	
	Absorbancia media a 405 nm	µg/ml de IgG ^a leído de la calibración de IgG M22)	Absorbancia media a 405 nm	µg/ml de IgG ^b leído de la calibración de IgG K1-70)
Suero 1				
no diluido	0,859	0,30	0,879	0,47
1:10	0,484	0,09	0,202	0,08
1:20	0,284	0,05	NT	NT
1:40	0,154	0,02	NT	NT
1:50	NT	NT	0,027	0,02
1:80	0,078	0,01	NT	NT
1:100	NT	NT	0,015	0,02
1:160	0,037	0,01	NT	NT
1:320	0,021	0,00	NT	NT
Suero 2				
no diluido	0,323	0,05	0,274	0,11
1:10	0,097	0,02	0,021	0,02
1:20	0,052	0,01	NT	NT
1:40	0,029	0,00	NT	NT
1:50	NT	NT	0,005	0,00
1:80	0,015	0,00	NT	NT
1:100	NT	NT	0,009	0,00
1:160	0,008	0,00	NT	NT
1:320	0,007	0,00	NT	NT
Suero 3				
1:10	0,896	0,46	0,510	0,19
1:20	0,588	0,13	NT	NT
1:40	0,320	0,06	NT	NT
1:50	NT	NT	0,056	0,04
1:80	0,168	0,03	NT	NT
1:100	NT	NT	0,020	0,02
1:160	0,091	0,02	NT	NT
1:320	0,041	0,01	NT	NT
Suero 4				
1:10	0,729	0,21	0,639	0,25
1:20	0,612	0,14	NT	NT
1:40	0,453	0,08	NT	NT
1:50	NT	NT	0,107	0,05
1:80	0,270	0,05	NT	NT
1:100	NT	NT	0,040	0,03
1:160	0,141	0,02	NT	NT
1:320	0,068	0,01	NT	NT
Suero 5				
1:10	0,772	0,21	0,536	0,2
1:20	0,652	0,14	NT	NT
1:40	0,470	0,08	NT	NT
1:50	NT	NT	0,114	0,06

Muestra de ensayo	ELISA de TSHR260-AP			
	TSHR de tipo silvestre		TSHR Arg255 Asp	
	Absorbancia media a 405 nm	$\mu\text{g/ml}$ de IgG ^a leído de la calibración de IgG M22)	Absorbancia media a 405 nm	$\mu\text{g/ml}$ de IgG ^b leído de la calibración de IgG K1-70)
1:80	0,291	0,05	NT	NT
1:100	NT	NT	0,035	0,03
1:160	0,155	0,03	NT	NT
1:320	0,077	0,01	NT	NT

Véase leyenda de la Tabla 12a para detalles. NT = no ensayado. Suero 1 = Suero de donante de linfocitos K1. Suero 2 = Suero de paciente con autoanticuerpos de bloqueo de TSHR. Suero 3 = Suero de paciente con autoanticuerpos de bloqueo de TSHR. Suero 4 = Suero de paciente con autoanticuerpos de bloqueo de TSHR. Suero 5 = Suero de paciente con autoanticuerpos de bloqueo de TSHR. Se realizaron diluciones de suero en HBD.

^aSe procesó una curva de calibración usando IgG M22 (0,005, 0,01, 0,05, 0,1, 0,5, 1,0 y 10 $\mu\text{g/ml}$) en cada ensayo.

^bSe procesó una curva de calibración usando IgG K1-70 (0,005, 0,01, 0,05, 0,1, 0,5, 1,0 y 10 $\mu\text{g/ml}$) en cada ensayo.

Tabla 12I Capacidad de los sueros de los pacientes con actividad estimulante de TSHR para unirse con TSHR de tipo silvestre de longitud completa y TSHR Arg255 Asp que recubre pocillos de placas de ELISA. Se usó TSHR260-AP para detectar la unión

Muestra de ensayo	ELISA de TSHR260-AP			
	TSHR de tipo silvestre		TSHR Arg255 Asp	
	Absorbancia media a 405 nm	$\mu\text{g/ml}$ de IgG ^a leído de la calibración de IgG M22	Absorbancia media a 405 nm	$\mu\text{g/ml}$ de IgG ^b leído de la calibración de IgG K1-70
HBD	0,003	0	-0,01	0
S1				
diluido 1:5	0,924	0,31	0,66	0,26
diluido 1:10	0,788	0,18	0,40	0,15
diluido 1:20	0,583	0,10	0,19	0,08
diluido 1:40	0,378	0,05	0,09	0,04
S2				
diluido 1:5	0,740	0,17	0,50	0,19
diluido 1:10	0,595	0,10	0,26	0,10
diluido 1:20	0,407	0,06	0,12	0,05
diluido 1:40	0,235	0,03	0,05	0,03
S3				
diluido 1:5	0,868	0,25	0,75	0,32
diluido 1:10	0,651	0,12	0,74	0,16
diluido 1:20	0,453	0,06	0,21	0,09
diluido 1:40	0,290	0,04	0,10	0,04
S4				
diluido 1:5	0,646	0,11	0,19	0,08
diluido 1:10	0,362	0,05	0,07	0,04
diluido 1:20	0,171	0,02	0,02	0,02
diluido 1:40	0,080	0,01	0,00	0,01
S5				
diluido 1:5	0,407	0,06	0,13	0,06
diluido 1:10	0,221	0,03	0,04	0,02
diluido 1:20	0,109	0,01	0,01	0,01
diluido 1:40	0,059	0,01	0,01	0,01
S6				
diluido 1:5	0,531	0,08	0,34	0,13
diluido 1:10	0,363	0,05	0,16	0,07

Muestra de ensayo	ELISA de TSHR260-AP			
	TSHR de tipo silvestre		TSHR Arg255 Asp	
	Absorbancia media a 405 nm	µg/ml de IgG ^a leído de la calibración de IgG M22	Absorbancia media a 405 nm	µg/ml de IgG ^b leído de la calibración de IgG K1-70
diluido 1:20	0,213	0,03	0,06	0,03
diluido 1:40	0,124	0,02	0,03	0,02

Véase leyenda de la Tabla 12a para detalles. Se realizaron diluciones de suero en HBD. Los sueros S1-S6 son los mismos sueros mostrados en Tabla 12e. ^aSe procesó una curva de calibración usando IgG M22 (0,005, 0,01, 0,05, 0,1, 0,5, 1,0 y 10 µg/ml) en cada ensayo. ^bSe procesó una curva de calibración usando IgG K1-70 (0,005, 0,01, 0,05, 0,1, 0,5, 1,0 y 10 µg/ml) en cada ensayo.

Tabla 13a Sumario de las propiedades de MAb estimulante K1-18 (IgG1 kappa)

Afinidad de unión con TSHR	IgG	0,7 x 10 ¹⁰ l/mol	
	Fab	0,13 x 10 ¹⁰ l/mol	
Inhibición de la unión de ¹²⁵ I-TSH con el TSHR	IgG (1 µg/ml)	94 % 181 unidades/mg (NIBSC 90/672)	Tabla 1a Tabla 2b
	Fab (1 µg/ml)	77 % 86 unidades/mg (NIBSC 90/672)	Tabla 2a Tabla 2b
Inhibición de la unión de TSH-biotina con el TSHR	IgG (1 µg/ml)	96 %	Tabla 3a
	Fab (1 µg/ml)	93 %	Tabla 3b
Inhibición de la unión de Fab M22 peroxidasa con el TSHR	IgG (1 µg/ml)	95 %	Tabla 4a
	Fab (1 µg/ml)	88 %	Tabla 4b
Estimulación de AMP cíclico en células CHO que expresan TSHR	IgG (100 ng/ml)	40x basal 155 unidades/mg (NIBSC 90/672)	Tabla 6a Tabla 6c
	Fab (100 ng/ml)	35x basal 22 unidades/mg (NIBSC 90/672)	Tabla 6a Tabla 6c
Unión con 260-AP TSHR	IgG (1 µg/ml)	DO405 = 0,578	Tabla 12a
Regiones V	Cadena pesada (IgG1)	VH5-51*01 D3-16*02 (D3-16*01) J3*02	Figura 3a y Figura 3c
	Cadena ligera (kappa)	V3-20*01 JK-1*01	Figura 4a y Figura 4c

Tabla 13b Sumario de las propiedades de MAb K1-70 de bloqueo (IgG1 lambda)

Afinidad de unión con TSHR	IgG	3,9 ± 6 0,8 x 10 ¹⁰ l/mol	
Inhibición de la unión de ¹²⁵ I-TSH con el TSHR	IgG (1 µg/ml)	92 % 166 unidades/mg (NIBSC 90/672)	Tabla 1b y Tabla 2c
	Fab (1 µg/ml)	92 %	Tabla 1b
Inhibición de la unión de TSH-biotina con el TSHR	IgG (1 µg/ml)	97 %	Tabla 3d Tabla 3d
	Fab (1 µg/ml)	97 %	Tabla 3d
Inhibición de la unión de Fab M22 peroxidasa con el TSHR	IgG (1 µg/ml)	96 %	Tabla 4c
	Fab (1 µg/ml)	96 %	Tabla 4c
Estimulación de AMP cíclico mediada por TSH de bloqueo en células CHO que expresan TSHR	IgG (1 µg/ml)	94 %	Tabla 7b

	Fab (1 µg/ml)	94 %	Tabla 7b
Unión con TSHR 260-AP	IgG (1 µg/ml)	DO405 = 0,677	Tabla 12a
Regiones V	Cadena pesada (IgG1)	VH5-51*01 D1-7*01 J4*02	Figura 5a y Figura 5c
	Cadena ligera (lambda)	LV1-51*01 LJ7*01	Figura 6c

Tabla 14a Producción de AMP cíclico en células CHO que expresan TSHR de tipo silvestre y TSHR con Asp43 mutado a Ala. Efecto de diferentes diluciones de anticuerpo monoclonal humano para el TSHR (K1-18) con actividad agonista de TSH

	Media de AMP cíclico producido (pmol/ml) ± DT (n = 3)		Mutado/Tipo silvestre (%)
	TSHR de tipo silvestre	TSHR mutado	
Tampón de ensayo de AMP cíclico	2,52 ± 0,23	2,60 ± 0,33	103
K1-18			
0,3 ng/ml	3,84 ± 0,42	3,35 ± 0,20	87
1 ng/ml	7,35 ± 0,07	5,53 ± 0,15	75
3 ng/ml	17,04 ± 0,62	11,59 ± 0,42	68
10 ng/ml	37,74 ± 0,67	26,69 ± 1,57	71
30 ng/ml	51,46 ± 2,52	40,80 ± 0,74	79
100 ng/ml	57,08 ± 4,79	48,50 ± 4,25	85
TSH			
0,01 ng/ml	2,85 ± 0,08	2,84 ± 0,14	100
0,03 ng/ml	3,81 ± 0,06	4,30 ± 0,10	113
0,1 ng/ml	8,70 ± 0,49	10,35 ± 2,47	119
0,3 ng/ml	22,78 ± 1,49	19,69 ± 1,60	86
1 ng/ml	46,09 ± 0,00	39,56 ± 0,31	86
3 ng/ml	54,16 ± 3,56	47,87 ± 0,09	88

Los resultados mostrados son la media ± DT de determinaciones por triplicado. Las muestras de ensayo se diluyeron en tampón de ensayo AMP cíclico hipotónico.

5

Tabla 14b Producción de AMP cíclico en células CHO que expresan TSHR de tipo silvestre y TSHR con Ile60 mutada a Ala. Efecto de diferentes diluciones de anticuerpo monoclonal humano para el TSHR (K1-18) con actividad agonista de TSH

	Media de AMP cíclico producido (pmol/ml) ± DT (n = 3)		Mutado/Tipo silvestre (%)
	TSHR de tipo silvestre	TSHR mutado	
Tampón de ensayo de AMP cíclico	1,00 ± 0,09	5,02 ± 1,03	502
K1-18			
0,3 ng/ml	2,58 ± 0,33	7,76 ± 0,36	301
1 ng/ml	5,33 ± 0,59	10,94 ± 0,61	205
3 ng/ml	12,64 ± 2,43	23,29 ± 1,42	184
10 ng/ml	51,08 ± 11,46	44,53 ± 4,03	87
30 ng/ml	69,95 ± 3,59	57,58 ± 2,07	82
100 ng/ml	87,39 ± 6,54	67,02 ± 4,87	77
TSH			
0,01 ng/ml	1,51 ± 0,49	5,40 ± 0,84	358
0,03 ng/ml	3,34 ± 1,14	5,93 ± 0,56	178

	Media de AMP cíclico producido (pmol/ml) \pm DT (n = 3)		
	TSHR de tipo silvestre	TSHR mutado	Mutado/Tipo silvestre (%)
0,1 ng/ml	5,58 \pm 2,31	11,24 \pm 1,18	201
0,3 ng/ml	29,97 \pm 6,61	28,85 \pm 1,39	96
1 ng/ml	64,61 \pm 4,81	49,65 \pm 5,10	77
3 ng/ml	73,22 \pm 4,70	60,45 \pm 7,70	83
Véase leyenda de la Tabla 14a para detalles.			

Tabla 14c Producción de AMP cíclico en células CHO que expresan TSHR de tipo silvestre y TSHR con Glu61 mutado a Ala. Efecto de diferentes diluciones de anticuerpo monoclonal humano para el TSHR (K1-18) con actividad agonista de TSH

	Media de AMP cíclico producido (pmol/ml) \pm DT (n = 3)		
	TSHR de tipo silvestre	TSHR Mutado	Mutado/Tipo silvestre (%)
Tampón de ensayo de AMP cíclico	1,47 \pm 0,15	5,22 \pm 0,71	355
K1-18			
0,3 ng/ml	1,79 \pm 0,19	6,02 \pm 0,33	336
1 ng/ml	3,68 \pm 0,26	8,45 \pm 0,76	230
3 ng/ml	9,15 \pm 0,43	15,04 \pm 1,69	164
10 ng/ml	32,03 \pm 0,84	34,30 \pm 1,21	107
30 ng/ml	63,25 \pm 0,99	55,51 \pm 6,57	88
100 ng/ml	73,14 \pm 1,81	81,13 \pm 7,20	111
TSH			
0,01 ng/ml	1,09 \pm 0,28	5,12 \pm 0,48	470
0,03 ng/ml	1,75 \pm 0,06	6,46 \pm 0,67	369
0,1 ng/ml	2,91 \pm 0,16	7,88 \pm 0,56	271
0,3 ng/ml	7,29 \pm 0,10	13,74 \pm 0,45	188
1 ng/ml	26,58 \pm 1,60	34,30 \pm 1,21	129
3 ng/ml	57,99 \pm 3,45	63,63 \pm 5,01	110
Véase leyenda de la Tabla 14a para detalles			

5

Tabla 14d Producción de AMP cíclico en células CHO que expresan TSHR de tipo silvestre y TSHR con Thr104 mutada a Ala. Efecto de diferentes diluciones de anticuerpo monoclonal humano para el TSHR (K1-18) con actividad agonista de TSH

	Media de AMP cíclico producido (pmol/ml) \pm DT (n = 3)		
<i>Experimento 1</i>	TSHR de tipo silvestre	TSHR Mutado	Mutado/Tipo silvestre (%)
Tampón de ensayo de AMP cíclico	1,34 \pm 0,29	3,56 \pm 0,24	266
K1-18			
0,3 ng/ml	2,95 \pm 0,47	4,64 \pm 0,14	157
1 ng/ml	6,14 \pm 0,36	7,38 \pm 0,38	120
3 ng/ml	14,80 \pm 1,02	14,53 \pm 1,12	98
10 ng/ml	39,45 \pm 12,99	21,62 \pm 16,74	55
30 ng/ml	68,16 \pm 7,99	35,85 \pm 26,65	53
100 ng/ml	83,92 \pm 10,03	62,56 \pm 6,94	75
TSH			

	Media de AMP cíclico producido (pmol/ml) ± DT (n = 3)		
<i>Experimento 1</i>	TSHR de tipo silvestre	TSHR Mutado	Mutado/Tipo silvestre (%)
0,01 ng/ml	1,37 ± 0,21	2,58 ± 0,21	188
0,03 ng/ml	1,58 ± 0,10	3,20 ± 0,60	203
0,1 ng/ml	1,83 ± 0,88	3,64 ± 0,19	199
0,3 ng/ml	3,20**	5,38 ± 0,07	168
1 ng/ml	15,90 ± 0,95	15,80 ± 0,41	99
3 ng/ml	47,64 ± 6,10	34,47 ± 1,54	72
<i>Experimento 2</i>			
Tampón de ensayo de AMP cíclico	1,04 ± 0,26	3,70 ± 0,49	356
K1-18			
0,3 ng/ml	4,94 ± 0,29	6,65 ± 0,23	135
1 ng/ml	9,47 ± 0,98	10,37 ± 1,18	110
3 ng/ml	26,53 ± 2,22	21,47 ± 3,41	81
10 ng/ml	54,89 ± 1,67	38,87 ± 3,69	71
30 ng/ml	79,51 ± 5,35	50,95 ± 3,65	64
100 ng/ml	78,3 ± 6,52	64,82 ± 5,61	83
TSH			
0,01 ng/ml	2,10 ± 0,39	4,28 ± 0,18	204
0,03 ng/ml	4,48 ± 0,53	5,71 ± 0,77	127
0,1 ng/ml	10,27 ± 1,87	9,80 ± 0,53	95
0,3 ng/ml	35,72 ± 5,54	35,74 ± 1,21	100
1 ng/ml	71,99 ± 7,40	57,09 ± 2,53	79
3 ng/ml	79,18 ± 6,82	58,46 ± 0,86	74
Véase leyenda de la Tabla 14a para detalles. **determinación individual			

Tabla 14e Producción de AMP cíclico en células CHO que expresan TSHR de tipo silvestre y TSHR con His105 mutada a Ala. Efecto de diferentes diluciones de anticuerpo monoclonal humano para el TSHR (K1-18) con actividad agonista de TSH

	Media de AMP cíclico producido (pmol/ml) ± DT (n = 3)		
	TSHR de tipo silvestre	TSHR Mutado	Mutado/Tipo silvestre (%)
Tampón de ensayo de AMP cíclico	2,02 ± 0,26	3,51 ± 0,31	173
K1-18			
0,3 ng/ml	2,51 ± 0,14	3,91 ± 0,29	156
1 ng/ml	4,59 ± 0,48	4,99 ± 0,14	109
3 ng/ml	9,26 ± 0,49	10,42 ± 0,32	113
10 ng/ml	39,21 ± 2,49	27,25 ± 0,37	69
30 ng/ml	69,70 ± 5,97	51,22 ± 4,24	73
100 ng/ml	99,18 ± 3,63	78,03 ± 4,40	79
TSH			
0,01 ng/ml	1,56 ± 0,28	4,80 ± 2,60	308
0,03 ng/ml	2,42 ± 0,39	3,55 ± 0,20	147
0,1 ng/ml	4,09 ± 0,79	4,82 ± 0,29	118

	Media de AMP cíclico producido (pmol/ml) \pm DT (n = 3)		
	TSHR de tipo silvestre	TSHR Mutado	Mutado/Tipo silvestre (%)
0,3 ng/ml	11,44 \pm 2,32	11,88 \pm 2,77	104
1 ng/ml	45,62 \pm 1,99	34,56 \pm 1,21	76
3 ng/ml	77,89 \pm 8,17	58,28 \pm 4,66	75
Véase leyenda de la Tabla 14a para detalles.			

Tabla 14f Producción de AMP cíclico en células CHO que expresan TSHR de tipo silvestre y TSHR con Asp151 mutado a Ala. Efecto de diferentes diluciones de anticuerpo monoclonal humano para el TSHR (K1-18) con actividad agonista de TSH

	Media de AMP cíclico producido (pmol/ml) \pm DT (n = 3)		
	TSHR de tipo silvestre	TSHR mutado	Mutado/Tipo silvestre (%)
Tampón de ensayo de AMP cíclico	1,90 \pm 0,61	5,93 \pm 0,60	312
K1-18			
0,3 ng/ml	4,01 \pm 0,43	7,36 \pm 0,35	184
1 ng/ml	9,64 \pm 0,27	11,42 \pm 2,31	118
3 ng/ml	20,53 \pm 1,64	18,27 \pm 0,51	89
10 ng/ml	54,20 \pm 1,61	40,81 \pm 7,12	75
30 ng/ml	81,74 \pm 5,92	51,20 \pm 5,41	63
100 ng/ml	79,82 \pm 4,86	66,01 \pm 5,14	83
TSH			
0,01 ng/ml	2,96 \pm 0,26	6,19 \pm 0,36	209
0,03 ng/ml	5,36 \pm 0,60	7,99 \pm 1,12	149
0,1 ng/ml	14,33 \pm 1,46	14,12 \pm 0,67	99
0,3 ng/ml	43,55 \pm 6,31	35,02 \pm 4,18	80
1 ng/ml	73,50 \pm 9,55	48,53 \pm 6,40	66
3 ng/ml	80,67 \pm 3,49	54,55 \pm 3,53	68
Véase leyenda de la Tabla 14a para detalles.			

5

Tabla 14g Producción de AMP cíclico en células CHO que expresan TSHR de tipo silvestre y TSHR con Glu 57 mutado a Ala. Efecto de diferentes diluciones de anticuerpo monoclonal humano para el TSHR (K1-18) con actividad agonista de TSH

	Media de AMP cíclico producido (pmol/ml) \pm DT (n = 3)		
	TSHR de tipo silvestre	TSHR mutado	Mutado/Tipo silvestre (%)
Tampón de ensayo de AMP cíclico	1,89 \pm 0,08	9,18 \pm 0,08	485
K1-18			
0,3 ng/ml	3,77 \pm 0,18	11,44 \pm 3,63	303
1 ng/ml	7,52 \pm 0,26	9,76 \pm 0,93	130
3 ng/ml	19,14 \pm 0,40	9,31 \pm 0,91	49
10 ng/ml	45,88 \pm 1,10	14,37 \pm 6,84	31
30 ng/ml	56,81 \pm 5,21	11,01 \pm 3,30	19
100 ng/ml	64,73 \pm 5,17	9,39 \pm 2,46	15
TSH			
0,01 ng/ml	2,55 \pm 0,32	11,48 \pm 1,63	450

	Media de AMP cíclico producido (pmol/ml) ± DT (n = 3)		
	TSHR de tipo silvestre	TSHR mutado	Mutado/Tipo silvestre (%)
0,03 ng/ml	3,56 ± 0,17	11,67 ± 1,56	328
0,1 ng/ml	8,19 ± 0,96	13,43 ± 1,26	164
0,3 ng/ml	21,83 ± 0,73	25,78 ± 4,64	118
1 ng/ml	46,44 ± 3,10	40,14 ± 1,60	86
3 ng/ml	52,73 ± 2,18	60,81 ± 5,71	115
Véase leyenda de la Tabla 14a para detalles.			

Tabla 14h Producción de AMP cíclico en células CHO que expresan TSHR de tipo silvestre y TSHR con Glu178 mutada a Ala. Efecto de diferentes diluciones de anticuerpo monoclonal humano para el TSHR (K1-18) con actividad agonista de TSH

	Media de AMP cíclico producido (pmol/ml) ± DT (n = 3)		
	TSHR de tipo silvestre	TSHR mutado	Mutado/Tipo silvestre (%)
Tampón de ensayo de AMP cíclico	1,39 ± 0,21	9,71 ± 0,36	699
K1-18			
0,3 ng/ml	3,10 ± 0,45	10,89 ± 0,67	351
1 ng/ml	7,67 ± 0,57	13,37 ± 0,56	174
3 ng/ml	19,48 ± 2,03	20,66*	106
10 ng/ml	56,35 ± 2,84	40,02*	71
30 ng/ml	72,19 ± 2,66	46,23 ± 1,87	64
100 ng/ml	77,30 ± 4,83	61,85 ± 3,91	80
TSH			
0,01 ng/ml	1,99 ± 0,11	9,29 ± 1,00	467
0,03 ng/ml	4,84 ± 0,30	11,60 ± 0,21	240
0,1 ng/ml	12,93 ± 0,64	14,83 ± 2,25	115
0,3 ng/ml	47,70 ± 4,82	33,72 ± 3,43	71
1 ng/ml	79,36 ± 7,46	43,12 ± 1,05	54
3 ng/ml	74,89 ± 8,91	54,84 ± 4,58	73
Véase leyenda de la Tabla 14a para detalles. *media de duplicados.			

5

Tabla 14i Producción de AMP cíclico en células CHO que expresan TSHR de tipo silvestre y TSHR con Lys183 mutada a Ala. Efecto de diferentes diluciones de anticuerpo monoclonal humano para el TSHR (K1-18) con actividad agonista de TSH

	Media de AMP cíclico producido (pmol/ml) ± DT (n = 3)		
	TSHR de tipo silvestre	TSHR mutado	Mutado/Tipo silvestre (%)
Tampón de ensayo de AMP cíclico	2,23 ± 0,06	2,51 ± 0,63	113
K1-18			
0,3 ng/ml	4,15 ± 0,47	2,40 ± 0,34	58
1 ng/ml	8,37 ± 2,15	2,20 ± 0,54	26
3 ng/ml	18,71 ± 2,79	3,05 ± 0,46	16
10 ng/ml	54,30 ± 2,14	2,35 ± 0,77	4
30 ng/ml	89,01 ± 13,58	2,24 ± 0,79	3
100 ng/ml	109,78 ± 16,33	2,30 ± 0,72	2

	Media de AMP cíclico producido (pmol/ml) ± DT (n = 3)		
	TSHR de tipo silvestre	TSHR mutado	Mutado/Tipo silvestre (%)
TSH			
0,01 ng/ml	2,48 ± 0,32	4,08 ± 1,06	165
0,03 ng/ml	4,62 ± 0,25	7,18 ± 0,78	155
0,1 ng/ml	17,59 ± 8,60	19,10 ± 3,55	109
0,3 ng/ml	40,35 ± 5,38	51,68 ± 4,48	128
1 ng/ml	92,49 ± 2,61	93,34 ± 4,90	101
3 ng/ml	103,97 ± 13,32	106,27 ± 8,71	102

Véase leyenda de la Tabla 14a para detalles.

Tabla 14j Producción de AMP cíclico en células CHO que expresan TSHR de tipo silvestre y TSHR con Tyr185 mutada a Ala. Efecto de diferentes diluciones de anticuerpo monoclonal humano para el TSHR (K1-18) con actividad agonista de TSH

	Media de AMP cíclico producido (pmol/ml) ± DT (n = 3)		
	TSHR de tipo silvestre	TSHR mutado	Mutado/Tipo silvestre (%)
<i>Experimento 1</i>			
Tampón de ensayo de AMP cíclico	2,04 ± 0,15	3,02 ± 0,58	148
K1-18 (ng/ml)			
0,3 ng/ml	3,69 ± 0,22	2,68 ± 0,19	73
1 ng/ml	7,76 ± 1,36	2,95 ± 0,51	38
3 ng/ml	22,97 ± 1,30	2,31 ± 0,50	10
10 ng/ml	55,05 ± 5,19	3,21 ± 0,80	6
30 ng/ml	97,56 ± 6,65	4,58 ± 0,63	5
100 ng/ml	120,10 ± 15,75	5,57 ± 1,20	5
TSH (ng/ml)			
0,01 ng/ml	2,60 ± 0,30	3,33 ± 0,81	128
0,03 ng/ml	4,27 ± 0,38	3,85 ± 0,37	90
0,1 ng/ml	10,94 ± 1,68	8,36 ± 0,98	76
0,3 ng/ml	32,33 ± 2,26	21,15 ± 3,60	65
1 ng/ml	84,95 ± 2,47	37,84 ± 1,45	45
3 ng/ml	124,05 ± 7,70	42,9 ± 5,23	35
<i>Experimento 2</i>			
Tampón de ensayo de AMP cíclico	2,15 ± 0,04	4,23 ± 0,89	197
K1-18 (ng/ml)			
0,3 ng/ml	7,38 ± 0,53	4,33 ± 0,20	59
1 ng/ml	7,51 ± 1,67	4,39 ± 0,45	58
3 ng/ml	28,12 ± 0,86	4,10 ± 0,68	15
10 ng/ml	50,76 ± 7,00	4,38 ± 1,82	9
30 ng/ml	89,92 ± 4,11	3,90 ± 1,06	4
100 ng/ml	105,22 ± 5,18	7,08 ± 0,31	7
TSH (ng/ml)			
0,01 ng/ml	3,89 ± 0,51	3,82 ± 0,64	98
0,03 ng/ml	5,52 ± 0,31	5,60 ± 1,20	101
0,1 ng/ml	13,28 ± 0,63	12,32 ± 0,57	93

ES 2 540 538 T3

0,3 ng/ml	35,35 ± 2,72	30,54 ± 3,00	86
1 ng/ml	82,08 ± 4,80	50,65 ± 1,32	62
3 ng/ml	91,67 ± 10,28	56,30 ± 6,87	61
Véase leyenda de la Tabla 14a para detalles.			

Tabla 14k Producción de AMP cíclico en células CHO que expresan TSHR de tipo silvestre y TSHR con Tyr206 mutada a Ala. Efecto de diferentes diluciones de anticuerpo monoclonal humano para el TSHR (K1-18) con actividad agonista de TSH

	Media de AMP cíclico producido (pmol/ml) ± DT (n = 3)		
	TSHR de tipo silvestre	TSHR mutado	Mutado/Tipo silvestre (%)
<i>Experimento 1</i>			
Tampón de ensayo de AMP cíclico	1,50 ± 0,27	2,47 ± 0,13	165
K1-18			
0,3 ng/ml	1,19 ± 1,22	2,68 ± 0,23	225
1 ng/ml	6,57 ± 0,16	3,11 ± 0,24	47
3 ng/ml	16,50 ± 1,42	1,75 ± 0,81	11
10 ng/ml	31,40 ± 14,65	8,14 ± 2,38	26
30 ng/ml	62,92 ± 1,83	15,07 ± 1,02	24
100 ng/ml	61,48 ± 14,14	20,32 ± 12,27	33
TSH			
0,01 ng/ml	2,09 ± 0,51	1,74 ± 1,50	83
0,03 ng/ml	2,93 ± 0,48	3,64 ± 0,84	124
0,1 ng/ml	9,04 ± 0,73	8,40 ± 0,72	93
0,3 ng/ml	19,08 ± 12,79	19,83 ± 6,50	104
1 ng/ml	59,48 ± 1,26	38,98 ± 1,84	66
3 ng/ml	75,64 ± 2,36	46,68 ± 2,01	62
<i>Experimento 2</i>			
Tampón de ensayo de AMP cíclico	1,96 ± 0,19	4,35 ± 0,24	222
K1-18			
0,3 ng/ml	5,09 ± 1,70	4,50 ± 0,37	88
1 ng/ml	7,69 ± 1,28	6,23 ± 0,55	81
3 ng/ml	18,47 ± 1,00	8,07 ± 0,28	44
10 ng/ml	55,94 ± 8,77	22,41 ± 2,17	40
30 ng/ml	69,92 ± 4,84	33,57 ± 1,65	48
100 ng/ml	85,46 ± 15,91	45,40 ± 3,53	53
TSH			
0,01 ng/ml	3,63 ± 1,30	4,90 ± 1,14	135
0,03 ng/ml	4,60 ± 0,31	6,64 ± 0,51	144
0,1 ng/ml	10,82 ± 0,50	19,25 ± 5,14	178
0,3 ng/ml	34,70 ± 5,34	38,33 ± 1,28	110
1 ng/ml	65,17 ± 6,68	60,87 ± 6,66	93
3 ng/ml	75,13 ± 8,64	73,06 ± 3,01	97
Véase leyenda de la Tabla 14a para detalles.			

Tabla 14l Producción de AMP cíclico en células CHO que expresan TSHR de tipo silvestre y TSHR con Lys209 mutada a Ala. Efecto de diferentes diluciones de anticuerpo monoclonal humano para el TSHR (K1-18) con actividad agonista de TSH

	Media de AMP cíclico producido (pmol/ml) \pm DT (n = 3)		
	TSHR de tipo silvestre	TSHR mutado	Mutado/Tipo silvestre (%)
Tampón de ensayo de AMP cíclico	1,97 \pm 0,24	4,79 \pm 0,77	243
K1-18			
0,3 ng/ml	4,08 \pm 0,19	5,52 \pm 0,33	135
1 ng/ml	9,47 \pm 0,42	8,07 \pm 0,57	85
3 ng/ml	21,43 \pm 1,03	12,65 \pm 1,18	59
10 ng/ml	62,15 \pm 8,08	32,55 \pm 4,45	52
30 ng/ml	91,57 \pm 5,64	43,71 \pm 9,76	48
100 ng/ml	99,88 \pm 10,13	69,49 \pm 7,10	70
TSH			
0,01 ng/ml	3,02 \pm 0,62	5,16 \pm 0,11	171
0,03 ng/ml	4,59 \pm 0,54	5,87 \pm 0,17	128
0,1 ng/ml	14,25 \pm 1,09	9,27 \pm 0,81	65
0,3 ng/ml	38,20 \pm 6,84	24,27 \pm 1,60	64
1 ng/ml	87,25 \pm 1,51	39,31 \pm 5,78	45
3 ng/ml	101,72 \pm 11,82	63,25 \pm 6,11	62
Véase leyenda de la Tabla 14a para detalles.			

5 **Tabla 14m** Producción de AMP cíclico en células CHO que expresan TSHR de tipo silvestre y TSHR con Asp232 mutado a Ala. Efecto de diferentes diluciones de anticuerpo monoclonal humano para el TSHR (K1-18) con actividad agonista de TSH

	Media de AMP cíclico producido (μ mol/ml) \pm DT (n = 3)		
	TSHR de tipo silvestre	TSHR mutado	Mutado/Tipo silvestre (%)
<i>Experimento 1</i>			
Tampón de ensayo de AMP cíclico	2,02 \pm 0,09	1,33 \pm 0,21	66
K1-18			
0,3 ng/ml	2,54 \pm 0,06	0,99 \pm 0,10	39
1 ng/ml	6,16 \pm 0,44	1,31 \pm 0,05	21
3 ng/ml	14,61 \pm 0,83	1,80 \pm 0,36	12
10 ng/ml	38,90 \pm 1,79	3,61 \pm 0,02	9
30 ng/ml	60,13 \pm 3,16	8,21 \pm 0,04	14
100 ng/ml	65,85 \pm 1,99	16,17 \pm 0,08	25
TSH			
0,01 ng/ml	1,69 \pm 0,21	1,40 \pm 0,08	83
0,03 ng/ml	2,46 \pm 0,20	2,16 \pm 0,13	88
0,1 ng/ml	6,18 \pm 0,69	5,39 \pm 0,28	87
0,3 ng/ml	18,94 \pm 0,29	15,11 \pm 0,50	80
1 ng/ml	45,19 \pm 3,19	31,85 \pm 1,24	70
3 ng/ml	61,65 \pm 5,29	40,95 \pm 2,42	66
<i>Experimento 2</i>			
Tampón de ensayo de AMP cíclico	1,74 \pm 1,29	2,80 \pm 0,16	161

	Media de AMP cíclico producido ($\mu\text{mol/ml}$) \pm DT (n = 3)		
<i>Experimento 1</i>	TSHR de tipo silvestre	TSHR mutado	Mutado/Tipo silvestre (%)
K1-18			
0,3 ng/ml	4,93 \pm 0,61	2,86 \pm 0,15	58
1 ng/ml	8,65 \pm 0,84	3,53 \pm 0,52	41
3 ng/ml	21,61 \pm 0,47	4,78 \pm 0,27	22
10 ng/ml	54,40 \pm 0,93	1,76 \pm 0,18	3
30 ng/ml	86,44 \pm 6,25	3,79 \pm 0,17	4
100 ng/ml	99,65 \pm 10,16	6,49 \pm 0,05	7
TSH			
0,01 ng/ml	4,16 \pm 1,96	2,58 \pm 0,09	62
0,03 ng/ml	4,92 \pm 0,92	4,10 \pm 0,23	83
0,1 ng/ml	11,24 \pm 1,01	9,44 \pm 0,60	84
0,3 ng/ml	31,44 \pm 1,09	23,47 \pm 1,51	75
1 ng/ml	74,30 \pm 2,40	44,35 \pm 1,57	60
3 ng/ml	96,39 \pm 4,85	62,02 \pm 8,15	64
Véase leyenda de la Tabla 14a para detalles.			

Tabla 14n Producción de AMP cíclico en células CHO que expresan TSHR de tipo silvestre y TSHR con Gln235 mutada a Ala. Efecto de diferentes diluciones de anticuerpo monoclonal humano para el TSHR (K1-18) con actividad agonista de TSH

	Media de AMP cíclico producido (pmol/ml) \pm DT (n = 3)		
<i>Experimento 1</i>	TSHR de tipo silvestre	TSHR mutado	Mutado/Tipo silvestre (%)
Tampón de ensayo de AMP cíclico	0,70 \pm 0,09	1,98 \pm 0,62	283
K1-18			
0,3 ng/ml	1,80 \pm 0,35	2,51 \pm 0,43	139
1 ng/ml	4,34 \pm 0,52	4,48 \pm 0,64	103
3 ng/ml	9,25 \pm 2,14	6,01 \pm 1,95	65
10 ng/ml	33,66 \pm 5,21	18,80 \pm 1,99	56
30 ng/ml	79,70 \pm 7,46	30,92 \pm 2,83	39
100 ng/ml	74,66 \pm 3,56	47,71 \pm 1,54	64
TSH			
0,01 ng/ml	1,09 \pm 0,35	1,75 \pm 0,00	161
0,03 ng/ml	2,31 \pm 0,17	2,89 \pm 0,03	125
0,1 ng/ml	6,54 \pm 0,20	5,97 \pm 1,62	91
0,3 ng/ml	26,48 \pm 0,68	17,61 \pm 0,48	67
1 ng/ml	67,72 \pm 7,23	44,19 \pm 18,05	65
3 ng/ml	83,50*	46,59 \pm 8,21	56
<i>Experimento 2</i>			
Tampón de ensayo de AMP cíclico	1,85 \pm 0,32	4,10 \pm 0,42	222
K1-18			
0,3 ng/ml	2,58 \pm 0,21	4,27 \pm 1,53	166
1 ng/ml	5,15 \pm 0,85	7,30 \pm 0,74	142
3 ng/ml	14,11 \pm 0,27	12,33 \pm 3,43	87

	Media de AMP cíclico producido (pmol/ml) \pm DT (n = 3)		
<i>Experimento 1</i>	TSHR de tipo silvestre	TSHR mutado	Mutado/Tipo silvestre (%)
10 ng/ml	32,68 \pm 5,49	24,02 \pm 3,07	74
30 ng/ml	58,74 \pm 1,82	32,71 \pm 2,05	56
100 ng/ml	66,70 \pm 2,49	43,93 \pm 0,41	66
TSH			
0,01 ng/ml	1,9,3 \pm 0,13	3,42 \pm 0,30	177
0,03 ng/ml	2,75 \pm 0,41	4,55 \pm 0,24	165
0,1 ng/ml	7,25 \pm 1,02	7,77 \pm 1,16	107
0,3 ng/ml	25,26 \pm 0,96	17,14 \pm 0,56	68
1 ng/ml	50,96 \pm 2,69	31,70 \pm 1,10	62
3 ng/ml	69,68 \pm 2,04	37,14 \pm 1,16	53

Véase leyenda de la Tabla 14a para detalles. *media de duplicados.

Tabla 14o Producción de AMP cíclico en células CHO que expresan TSHR de tipo silvestre y TSHR con Lys250 mutada a Ala. Efecto de diferentes diluciones de anticuerpo monoclonal humano para el TSHR (K1-18) con actividad agonista de TSH

	Media de AMP cíclico producido (pmol/ml) \pm DT (n = 3)		
	TSHR de tipo silvestre	TSHR mutado	Mutado/Tipo silvestre (%)
Tampón de ensayo de AMP cíclico	1,41 \pm 0,87	6,48 \pm 0,22	460
K1-18			
0,3 ng/ml	3,20 \pm 0,31	10,50 \pm 0,55	328
1 ng/ml	8,57 \pm 0,31	23,44 \pm 6,81	274
3 ng/ml	27,68 \pm 3,34	35,88 \pm 0,55	130
10 ng/ml	54,04 \pm 4,74	68,33 \pm 5,39	126
30 ng/ml	85,58 \pm 3,88	91,29 \pm 2,75	107
100 ng/ml	81,79 \pm 1,55	100,62 \pm 8,66	123
TSH			
0,01 ng/ml	4,00 \pm 0,10	8,29 \pm 0,69	207
0,03 ng/ml	6,66 \pm 0,59	12,58 \pm 0,44	189
0,1 ng/ml	19,66 \pm 2,56	28,81 \pm 3,56	147
0,3 ng/ml	44,98 \pm 3,85	66,19 \pm 0,67	147
1 ng/ml	75,67 \pm 6,21	87,90 \pm 5,38	116
3 ng/ml	87,19 \pm 1,94	110,23 \pm 9,68	126

Véase leyenda de la Tabla 14a para detalles.

5

Tabla 14p Producción de AMP cíclico en células CHO que expresan TSHR de tipo silvestre y TSHR con Glu251 mutada a Ala. Efecto de diferentes diluciones de anticuerpo monoclonal humano para el TSHR (K1-18) con actividad agonista de TSH

	Media de AMP cíclico producido (pmol/ml) \pm DT (n = 3)		
	TSHR de tipo silvestre	TSHR mutado	Mutado/Tipo silvestre (%)
Tampón de ensayo de AMP cíclico	1,22 \pm 0,42	6,69 \pm 2,73	548
K1-18			
0,3 ng/ml	2,36 \pm 0,37	6,85 \pm 0,56	290

	Media de AMP cíclico producido (pmol/ml) ± DT (n = 3))		
	TSHR de tipo silvestre	TSHR mutado	Mutado/Tipo silvestre (%)
1 ng/ml	6,40 ± 0,43	9,70 ± 1,01	152
3 ng/ml	19,16 ± 1,47	19,57 ± 1,63	102
10 ng/ml	55,42 ± 4,77	39,70 ± 4,02	72
30 ng/ml	84,02*	66,74 ± 3,34	79
100 ng/ml	111,09 ± 6,17	78,15 ± 0,89	70
TSH			
0,01 ng/ml	1,64 ± 0,28	3,99 ± 0,94	243
0,03 ng/ml	2,67 ± 0,32	5,99 ± 2,43	224
0,1 ng/ml	9,75 ± 1,97	11,18 ± 1,33	115
0,3 ng/ml	33,26 ± 9,03	22,15 ± 3,42	67
1 ng/ml	77,73 ± 4,07	53,68 ± 1,90	69
3 ng/ml	109,36 ± 2,78	71,71*	66

Véase leyenda de la Tabla 14a para detalles. *media de duplicados.

Tabla 14q Producción de AMP cíclico en células CHO que expresan TSHR de tipo silvestre y TSHR con Arg255 mutada a Ala. Efecto de diferentes diluciones de anticuerpo monoclonal humano para el TSHR (K1-18) con actividad agonista de TSH

	Media de AMP cíclico producido (pmol/ml) ± DT (n = 3)		
	TSHR de tipo silvestre	TSHR mutado	Mutado/Tipo silvestre (%)
Tampón de ensayo de AMP cíclico	2,29 ± 1,04	4,37 ± 0,75	191
K1-18			
0,3 ng/ml	4,64 ± 0,55	5,46 ± 0,19	118
1 ng/ml	8,87 ± 0,31	8,37 ± 0,20	94
3 ng/ml	18,48 ± 0,81	13,80 ± 1,77	75
10 ng/ml	55,33 ± 0,69	42,85 ± 1,72	77
30 ng/ml	73,94 ± 4,06	59,25 ± 2,70	80
100 ng/ml	79,57 ± 6,78	77,80 ± 4,90	98
TSH			
0,01 ng/ml	2,94 ± 0,54	4,72 ± 0,33	161
0,03 ng/ml	4,82 ± 0,70	6,78 ± 0,49	141
0,1 ng/ml	9,25 ± 0,11	11,66 ± 0,75	126
0,3 ng/ml	36,20 ± 3,81	36,72 ± 3,56	101
1 ng/ml	69,17 ± 5,01	61,95 ± 3,97	90
3 ng/ml	88,05*	80,08 ± 0,72	91

Véase leyenda de la Tabla 14a para detalles. *media de duplicados.

5

Tabla 14r Producción de AMP cíclico en células CHO que expresan TSHR de tipo silvestre y TSHR con Thr275 mutada a Ala. Efecto de diferentes diluciones de anticuerpo monoclonal humano para el TSHR (K1-18) con actividad agonista de TSH

	Media de AMP cíclico producido (pmol/ml) ± DT (n = 3)		
	TSHR de tipo silvestre	TSHR mutado	Mutado/Tipo silvestre (%)
Tampón de ensayo de AMP	1,01 ± 0,34	1,13 ± 0,45	112

	Media de AMP cíclico producido (pmol/ml) \pm DT (n = 3)		
	TSHR de tipo silvestre	TSHR mutado	Mutado/Tipo silvestre (%)
cíclico			
K1-18			
0,3 ng/ml	1,50 \pm 0,68	1,54 \pm 0,29	103
1 ng/ml	3,60 \pm 0,36	2,69 \pm 1,11	75
3 ng/ml	8,09 \pm 0,45	7,13 \pm 0,88	88
10 ng/ml	27,52 \pm 3,28	20,22 \pm 1,90	73
30 ng/ml	64,52 \pm 1,71	39,26 \pm 3,48	61
100 ng/ml	100,30 \pm 2,04	81,11 \pm 5,12	81
TSH			
0,01 ng/ml	1,67 \pm 0,27	1,50 \pm 0,29	90
0,03 ng/ml	3,13 \pm 0,68	2,92 \pm 0,45	93
0,1 ng/ml	8,30 \pm 0,37	7,65 \pm 1,51	92
0,3 ng/ml	24,05 \pm 2,75	25,30 \pm 0,41	105
1 ng/ml	64,57 \pm 3,16	60,69 \pm 3,98	94
3 ng/ml	102,12 \pm 9,89	88,24 \pm 12,78	86
Véase leyenda de la Tabla 14a para detalles.			

Tabla 14s Producción de AMP cíclico en células CHO que expresan TSHR de tipo silvestre y TSHR con Trp258 mutado a Ala. Efecto de diferentes diluciones de anticuerpo monoclonal humano para el TSHR (K1-18) con actividad agonista de TSH

	Media de AMP cíclico producido (pmol/ml) \pm DT (n = 3)		
<i>Experimento 1</i>	Tipo silvestre	TSHR mutado	Mutado/Tipo silvestre (%)
Tampón de ensayo de AMP cíclico	0,90 \pm 0,08	2,05 \pm 0,38	228
K1-18			
0,3 ng/ml	2,29 \pm 0,25	2,93 \pm 0,39	128
1 ng/ml	5,47 \pm 0,90	4,39 \pm 0,24	80
3 ng/ml	15,27 \pm 1,02	11,47 \pm 0,72	75
10 ng/ml	45,65 \pm 2,67	25,35 \pm 2,59	56
30 ng/ml	70,22 \pm 8,09	40,36 \pm 0,00	57
100 ng/ml	77,74 \pm 5,05	52,44 \pm 4,72	67
TSH			
0,01 ng/ml	1,22 \pm 0,34	1,93 \pm 0,24	158
0,03 ng/ml	1,85 \pm 0,62	2,88 \pm 0,09	156
0,1 ng/ml	4,89 \pm 0,35	7,51 \pm 1,57	154
0,3 ng/ml	17,37 \pm 0,87	22,29 \pm 3,45	128
1 ng/ml	52,88 \pm 6,38	45,69 \pm 7,63	86
3 ng/ml	70,63 \pm 3,87	53,97 \pm 3,81	76
<i>Experimento 2</i>			
Tampón de ensayo de AMP cíclico	1,45 \pm 0,28	0,92 \pm 0,21	63
K1-18			
0,3 ng/ml	1,68 \pm 0,21	1,53 \pm 0,31	91

	Media de AMP cíclico producido (pmol/ml) ± DT (n = 3)		
<i>Experimento 1</i>	Tipo silvestre	TSHR mutado	Mutado/Tipo silvestre (%)
1 ng/ml	5,21 ± 0,29	3,29 ± 0,75	63
3 ng/ml	15,99 ± 1,07	6,25 ± 0,22	39
10 ng/ml	41,40 ± 4,90	15,6 4 ± 0,90	38
30 ng/ml	77,09 ± 1,32	38,59 ± 1,52	50
100 ng/ml	106,57 ± 3,64	57,31 ± 2,41	54
TSH			
0,01 ng/ml	2,02 ± 0,51	1,56 ± 0,18	77
0,03 ng/ml	1,96 ± 0,06	2,76 ± 0,71	141
0,1 ng/ml	4,49 ± 0,81	7,04 ± 0,83	156
0,3 ng/ml	13,47 ± 1,96	17,26 ± 4,12	128
1 ng/ml	43,24 ± 1,20	49,17 ± 5,52	114
3 ng/ml	84,76 ± 9,98	84,70*	100

Véase leyenda de la Tabla 14a para detalles. *media de duplicados.

Tabla 14t Producción de AMP cíclico en células CHO que expresan TSHR de tipo silvestre y TSHR con Arg274 mutada a Ala. Efecto de diferentes diluciones de anticuerpo monoclonal humano para el TSHR (K1-18) con actividad agonista de TSH

	Media de AMP cíclico producido (pmol/ml) ± DT (n = 3)		
<i>Experimento 1</i>	TSHR de tipo silvestre	TSHR mutado	Mutado/Tipo silvestre (%)
Tampón de ensayo de AMP cíclico	1,58 ± 0,21	1,71 ± 0,07	108
K1-18			
0,3 ng/ml	1,75 ± 0,14	1,74 ± 0,17	99
1 ng/ml	3,17 ± 0,20	1,97 ± 0,82	62
3 ng/ml	10,91 ± 1,52	3,46 ± 0,07	32
10 ng/ml	28,17 ± 2,38	9,44 ± 0,80	34
30 ng/ml	71,50 ± 3,54	27,91 ± 1,72	39
100 ng/ml	96,37 ± 4,71	70,48 ± 5,61	73
TSH			
0,01 ng/ml	1,86 ± 0,23	1,97 ± 0,06	106
0,03 ng/ml	3,32 ± 0,07	4,14 ± 1,36	125
0,1 ng/ml	14,60 ± 1,90	9,38 ± 0,23	64
0,3 ng/ml	48,54 ± 4,12	27,28 ± 1,62	56
1 ng/ml	91,18 ± 4,31	67,63 ± 0,93	74
3 ng/ml	118,63 ± 16,76	98,80 ± 7,10	83
<i>Experimento 2</i>			
Tampón de ensayo de AMP cíclico	2,08 ± 0,14	1,65 ± 0,12	79
K1-18			
0,3 ng/ml	2,70 ± 0,08	1,71 ± 0,13	63
1 ng/ml	5,96 ± 0,25	2,65 ± 0,20	44
3 ng/ml	14,95 ± 0	5,45 ± 0,28	36
10 ng/ml	51,80 ± 4,35	14,83 ± 1,86	29
30 ng/ml	81,16 ± 2,80	35,53 ± 0,93	44

	Media de AMP cíclico producido (pmol/ml) \pm DT (n = 3)		
<i>Experimento 1</i>	TSHR de tipo silvestre	TSHR mutado	Mutado/Tipo silvestre (%)
100 ng/ml	97,09 \pm 10,91	60,73 \pm 3,26	63
TSH			
0,01 ng/ml	2,49 \pm 0,39	1,37 \pm 0,18	55
0,03 ng/ml	5,12 \pm 0,22	2,94 \pm 0,11	57
0,1 ng/ml	13,66 \pm 1,00	8,29 \pm 0,74	61
0,3 ng/ml	39,93 \pm 2,47	25,47 \pm 0,43	64
1 ng/ml	74,35 \pm 5,04	58,49 \pm 4,84	79
3 ng/ml	88,28 \pm 15,49	73,19 \pm 3,18	<u>82</u>
Véase leyenda de la Tabla 14a para detalles.			

Tabla 14u Producción de AMP cíclico en células CHO que expresan TSHR de tipo silvestre y TSHR con Asp276 mutada a Ala. Efecto de diferentes diluciones de anticuerpo monoclonal humano para el TSHR (K1-18) con actividad agonista de TSH

	Media de AMP cíclico producido (pmol/ml) \pm DT (n = 3)		
	TSHR de tipo silvestre	TSHR mutado	Mutado/Tipo silvestre (%)
Tampón de ensayo de AMP cíclico	1,05 \pm 0,23	13,94 \pm 2,05	1328
K1-18			
0,3 ng/ml	2,27 \pm 0,23	17,17 \pm 0,64	756
1 ng/ml	6,16 \pm 0,90	23,79 \pm 1,67	386
3 ng/ml	17,36 \pm 0,80	32,67 \pm 3,05	188
10 ng/ml	52,57 \pm 0	56,94 \pm 0,50	108
30 ng/ml	81,08 \pm 11,47	65,05 \pm 4,25	80
100 ng/ml	87,81 \pm 14,82	86,02 \pm 6,77	98
TSH			
0,01 ng/ml	2,45 \pm 0,68	14,29 \pm 1,97	583
0,03 ng/ml	4,78 \pm 0,57	17,64 \pm 0,44	369
0,1 ng/ml	16,19 \pm 0,95	21,70 \pm 4,65	134
0,3 ng/ml	44,34 \pm 6,02	45,58 \pm 1,03	103
1 ng/ml	77,19 \pm 4,48	68,31 \pm 7,05	88
3 ng/ml	95,50 \pm 7,45	76,02 \pm 5,12	80
Véase leyenda de la Tabla 14a para detalles.			

5

Tabla 14v Producción de AMP cíclico en células CHO que expresan TSHR de tipo silvestre y TSHR con Ser281 mutada a Ala. Efecto de diferentes diluciones de anticuerpo monoclonal humano para el TSHR (K1-18) con actividad agonista de TSH

	Media de AMP cíclico producido (pmol/ml) \pm DT (n = 3)		
	TSHR de tipo silvestre	TSHR mutado	Mutado/Tipo silvestre (%)
Tampón de ensayo de AMP cíclico	1,72 \pm 0,28	2,04 \pm 0,29	119
K1-18 (ng/ml)			
0,3 ng/ml	3,09 \pm 0,17	3,62 \pm 0,35	117
1 ng/ml	6,04 \pm 0,42	7,01 \pm 0,55	116
3 ng/ml	18,37 \pm 1,19	15,23 \pm 0,92	83

	Media de AMP cíclico producido (pmol/ml) ± DT (n = 3)		
	TSHR de tipo silvestre	TSHR mutado	Mutado/Tipo silvestre (%)
10 ng/ml	43,48 ± 0,76	31,25 ± 1,85	72
30 ng/ml	72,75 ± 5,88	55,19 ± 0,59	76
100 ng/ml	81,95 ± 2,57	65,22 ± 6,42	80
TSH (ng/ml)			
0,01 ng/ml	2,03 ± 0,30	2,84 ± 0,06	140
0,03 ng/ml	3,65 ± 0,64	4,69 ± 0,05	128
0,1 ng/ml	9,65 ± 1,53	11,33 ± 0,62	117
0,3 ng/ml	31,40 ± 0,93	27,48 ± 2,15	88
1 ng/ml	61,04 ± 3,63	51,63 ± 0,54	85
3 ng/ml	82,58 ± 2,92	67,98 ± 2,73	82

Véase leyenda de la Tabla 14a para detalles.

Tabla 15a Producción de AMP cíclico inducida por TSH en células CHO que expresan TSHR de tipo silvestre y TSHR con Asp43 mutado a Ala. Efecto de diferentes diluciones de anticuerpo monoclonal humano para el TSHR (K1-70) con actividad antagonista de TSH

	AMP cíclico producido (pmol/ml; media ± DT, n = 3)		
Muestra de ensayo ^a	TSHR de tipo silvestre	TSHR mutado	Mutado/tipo silvestre (%)
Tampón de ensayo de AMP cíclico solamente	3,57 ± 1,18	1,40 ± 0,04	39
TSH ^b	93,92 ± 3,88	ND	ND
5B3 10 µg/ml + TSH ^b	106,48 ± 12,76	73,73 ± 6,47	69
5B3 100 µg/ml + TSH ^b	104,40 ± 2,12	57,99 ± 7,76	56
K1-70 0,001 µg + TSH ^b	109,98 ± 20,13	65,19 ± 11,37	59
K1-70 0,01 µg + TSH ^b	118,99 ± 3,21	61,42 ± 3,26	52
K1-70 0,1 µg + TSH ^b	82,87 ± 8,78	23,56 ± 12,03	28
K1-70 1,0 µg + TSH ^b	3,37 ± 0,81	1,82 ± 0,25	54
K1-70 10 µg + TSH ^b	2,05 ± 0,10	0,97 ± 0,16	47
K1-70 100 µg + TSH ^b	2,34 ± 0,18	1,16 ± 0,25	50
K1-70 100 µg	1,89 ± 0,12	1,64 ± 0,98	87
^b TSH (2)	92,19 ± 5,64	60,27 ± 7,64	65
	% de inhibición de estimulación de TSH^c		
Concentración de anticuerpo	TSHR de tipo silvestre	TSHR Mutado	
5B3 10 µg/ml	0	0	
5B3 100 µg/ml	0	4	
K1-70 0,001 µg	0	0	
K1-70 0,01 µg/ml	0	0	
K1-70 0,1 µg/ml	12	61	
K1-70 1 µg/ml	96	97	
K1-70 10 µg/ml	98	98	
K1-70 100 µg/ml	98	98	
^b TSH (2)	2	0	

^aMuestras de ensayo en tampón de AMP cíclico hipotónico, ^bconcentración final de TSH = 3 ng/ml. ^c% de inhibición = 100 x [1 - (AMP cíclico en presencia de muestras de ensayo y TSH/AMP cíclico en presencia de tampón de AMP

	AMP cíclico producido (pmol/ml; media ± DT, n = 3)		
Muestra de ensayo ^a	TSHR de tipo silvestre	TSHR mutado	Mutado/tipo silvestre (%)
cíclico y TSH)]. 5B3 es un anticuerpo monoclonal humano para GAD (control negativo para K1-70). ND = no determinado. TSH(2) = procesado al final del ensayo.			

Tabla 15b Producción de AMP cíclico inducida por TSH en células CHO que expresan TSHR de tipo silvestre y TSHR con Ile60 mutado a Ala. Efecto de diferentes diluciones de anticuerpo monoclonal humano para el TSHR (K1-70) con actividad antagonista de TSH

<i>Experimento 1</i>			
	AMP cíclico producido (pmol/ml; media ± DT, n = 3)		
Muestra de ensayo ^a	TSHR de tipo silvestre	TSHR mutado	Mutado/tipo silvestre (%)
Tampón de ensayo de AMP cíclico solamente	1,78 ± 0,12	4,07 ± 0,08	229
TSH ^b	90,09 ± 1,19	51,32 ± 3,85	57
5B3 10 µg/ml + TSH ^b	95,17 ± 4,45	54,77 ± 12,78	58
5B3 100 µg/ml + TSH ^b	88,16 ± 5,03	43,98 ± 3,05	50
K1-70 0,001 µg + TSH ^b	91,53 ± 28,48	42,91 ± 2,83	47
K1-70 0,01 µg + TSH ^b	92,89 ± 10,08	47,49 ± 2,80	51
K1-70 0,1 µg + TSH ^b	8,45 ± 0,58	44,85 ± 7,20	531
K1-70 1,0 µg + TSH ^b	2,39 ± 0,42	21,99 ± 1,61	920
K1-70 10 µg + TSH ^b	1,78 ± 0,21	10,90 ± 0,67	612
K1-70 100 µg + TSH ^b	1,54 ± 0,21	7,61 ± 0,53	494
K1-70 100 µg	1,12 ± 0,51	3,84 ± 0,56	343
^b TSH (2)	82,90 ± 1,87	45,09 ± 0,90	54
% de inhibición de estimulación de TSH ^c			
Concentración de anticuerpo	TSHR de tipo silvestre	TSHR Mutado	
5B3 10 µg/ml	0	0	
5B3 100 µg/ml	2	14	
K1-70 0,001 µg	0	16	
K1-70 0,01 µg/ml	0	7	
K1-70 0,1 µg/ml	91	13	
K1-70 1 µg/ml	97	57	
K1-70 10 µg/ml	98	79	
K1-70 100 µg/ml	98	85	
^b TSH (2)	8	12	
<i>Experimento 2</i>			
	AMP cíclico producido (pmol/ml; media ± DT, n = 3)		
Muestra de ensayo ^a	TSHR de tipo silvestre	TSHR mutado	Mutado/tipo silvestre (%)
Tampón de ensayo de AMP cíclico solamente	1,16 ± 0,21	5,06 ± 0,31	436
TSH ^b	81,69 ± 3,88	65,78 ± 5,98	81
5B3 10 µg/ml + TSH ^b	102,63 ± 13,71	54,69 ± 7,88	53
5B3 100 µg/ml + TSH ^b	107,64 ± 13,05	66,83 ± 6,83	62
K1-70 0,001 µg + TSH ^b	93,21 ± 9,01	57,98 ± 6,22	62
K1-70 0,01 µg + TSH ^b	92,99 ± 6,39	58,40 ± 1,47	63
K1-70 0,1 µg + TSH ^b	4,12 ± 0,54	54,06 ± 5,59	1312
K1-70 1,0 µg + TSH ^b	1,16 ± 0,09	14,82 ± 1,13	1278

K1-70 10 µg + TSH ^b	1,85 ± 0,28	11,15 ± 2,09	603
K1-70 100 µg + TSH ^b	1,71 ± 0,56	7,87 ± 0,63	460
K1-70 100 µg	1,50 ± 0,25	4,13 ± 0,28	275
^b TSH (2)	82,55 ± 7,76	56,96 ± 7,01	69
% de inhibición de estimulación de TSH^c			
Concentración de anticuerpo	TSHR de tipo silvestre	TSHR Mutado	
5B3 10 µg/ml	0	17	
5B3 100 µg/ml	0	0	
K1-70 0,001 µg	0	12	
K1-70 0,01 µg/ml	0	11	
K1-70 0,1 µg/ml	95	18	
K1-70 1 µg/ml	99	77	
K1-70 10 µg/ml	98	83	
K1-70 100 µg/ml	98	88	
^b TSH (2)	0	13	
Véase leyenda de la Tabla 15a para detalles.			

Tabla 15c Producción de AMP cíclico inducida por TSH en células CHO que expresan TSHR de tipo silvestre y TSHR con Glu61 mutado a Ala. Efecto de diferentes diluciones de anticuerpo monoclonal humano para el TSHR (K1-70) con actividad antagonista de TSH

Muestra de ensayo ^a	AMP cíclico producido (pmol/ml; media ± DT, n = 3)		Mutado/tipo silvestre (%)
	TSHR de tipo silvestre	TSHR mutado	
Tampón de AMP cíclico solamente	0,63 ± 0,27	1,49 ± 0,48	237
TSH ^b	115,33 ± 1,56	77,74 ± 6,57	67
5B3 10 µg/ml + TSH ^b	114,68 ± 8,12	77,87 ± 8,10	68
5B3 100 µg/ml + TSH ^b	127,08 ± 6,55	70,47 ± 2,85	55
K1-70 0,001 µg+TSH ^b	102,62 ± 6,91	72,39 ± 4,36	71
K1-70 0,01 µg + TSH ^b	109,66 ± 14,99	71,93 ± 9,10	66
K1-70 0,1 µg + TSH ^b	43,68 ± 13,73	54,35 ± 9,85	124
K1-70 1,0 µg + TSH ^b	1,35 ± 0,08	1,18 ± 0,23	87
K1-70 10 µg + TSH ^b	1,25 ± 0,35	0,76 ± 0,23	60,8
K1-70 100 µg + TSH ^b	0,61 ± 0,46	0,91 ± 0,36	149
K1-70 100 µg	0,49 ± 0,47	1,69 ± 0,34	345
^b TSH (2)	126,05 ± 6,29	64,74 ± 4,96	51
% de inhibición de estimulación de TSH^c			
Concentración de anticuerpo	TSHR de tipo silvestre	TSHR Mutado	
5B3 10 µg/ml	1	0	
5B3 100 µg/ml	0	9	
K1-70 0,001 µg	11	7	
K1-70 0,01 µg/ml	5	7	
K1-70 0,1 µg/ml	62	30	
K1-70 1 µg/ml	99	98	
K1-70 10 µg/ml	99	99	
K1-70 100 µg/ml	99	99	

Muestra de ensayo ^a	AMP cíclico producido (pmol/ml; media ± DT, n = 3)		Mutado/tipo silvestre (%)
	TSHR de tipo silvestre	TSHR mutado	
^b TSH (2)	0		17

Véase leyenda de la Tabla 15a para detalles.

Tabla 15d Producción de AMP cíclico inducida por TSH en células CHO que expresan TSHR de tipo silvestre y TSHR con Thr104 mutada a Ala. Efecto de diferentes diluciones de anticuerpo monoclonal humano para el TSHR (K1-70) con actividad antagonista de TSH

Muestra de ensayo ^a	AMP cíclico producido (pmol/ml; media ± DT, n = 3)		Mutado/tipo silvestre (%)
	TSHR de tipo silvestre	TSHR mutado	
Tampón de AMP cíclico solamente	0,89 ± 0,29	1,36 ± 0,89	153
TSH ^b	83,78 ± 6,86	63,69 ± 1,38	76
5B3 10 µg/ml + TSH ^b	83,61 ± 3,29	59,13 ± 0,82	71
5B3 100 µg/ml + TSH ^b	88,04 ± 5,58	60,01 ± 3,04	68
K1-70 0,001 µg + TSH ^b	90,15 ± 15,94	64,74 ± 6,20	72
K1-70 0,01 µg + TSH ^b	92,33 ± 8,48	54,64 ± 1,42	59
K1-70 0,1 µg + TSH ^b	34,13 ± 3,95	24,89 ± 3,39	73
K1-70 1,0 µg + TSH ^b	1,58 ± 0,16	2,55 ± 0,11	161
K1-70 10 µg + TSH ^b	1,07 ± 0,33	2,15 ± 1,06	201
K1-70 100 µg + TSH ^b	1,19 ± 0,35	1,86 ± 0,06	156
K1-70 100 µg	0,74 ± 0,30	1,48 ± 0,13	200
^b TSH (2)	83,61 ± 3,30	57,01 ± 1,62	68
% de inhibición de estimulación de TSH^c			
Concentración de anticuerpo	TSHR de tipo silvestre	TSHR Mutado	
5B3 10 µg/ml	0	7	
5B3 100 µg/ml	0	6	
K1-70 0,001 µg	0	0	
K1-70 0,01 µg/ml	0	14	
K1-70 0,1 µg/ml	59	61	
K1-70 1 µg/ml	98	96	
K1-70 10 µg/ml	99	97	
K1-70 100 µg/ml	99	97	
^b TSH (2)	0,2	10	

Véase leyenda de la Tabla 15a para detalles.

5

Tabla 15e Producción de AMP cíclico inducida por TSH en células CHO que expresan TSHR de tipo silvestre y TSHR con His105 mutada a Ala. Efecto de diferentes diluciones de anticuerpo monoclonal humano para el TSHR (K1-70) con actividad antagonista de TSH

Muestra de ensayo ^a	AMP cíclico producido (pmol/ml; media ± DT, n = 3)		Mutado/tipo silvestre (%)
	TSHR de tipo silvestre	TSHR mutado	
Tampón de ensayo de AMP cíclico solamente	0,64 ± 0,08	0,99 ± 0,06	155
TSH ^b	93,59 ± 6,12	65,93 ± 4,03	70
5B3 10 µg/ml + TSH ^b	91,63 ± 10,00	75,20 ± 5,73	82
5B3 100 µg/ml + TSH ^b	133,84 ± 27,40	66,67 ± 1,51	50

ES 2 540 538 T3

K1-70 0,001 µg + TSH ^b	135,86 ± 3,01	89,32 ± 7,04	66
K1-70 TSH ^b	119,40 ± 22,33	82,69 ± 6,53	69
K1-70 0,1 µg + TSH ^b	24,43 ± 4,03	10,46 ± 2,84	43
K1-70 1,0 µg + TSH ^b	1,34 ± 0,26	1,47 ± 0,40	110
K1-70 10 µg + TSH ^b	1,96 ± 2,03	0,70 ± 0,16	36
K1-70 100 µg + TSH ^b	0,70 ± 0,24	0,80 ± 0,24	114
K1-70 100 µg	0,89 ± 0,19	0,66 ± 0,13	74
^b TSH (2)	116,74 ± 5,43	58,53 ± 2,95	50
% de inhibición de estimulación de TSH^c			
Concentración de anticuerpo	TSHR de tipo silvestre	TSHR Mutado	
5B3 10 µg/ml	2	0	
5B3 100 µg/ml	0	0	
K1-70 0,001 µg	0	0	
K1-70 0,01 µg/ml	0	0	
K1-70 0,1 µg/ml	74	84	
K1-70 1 µg/ml	99	98	
K1-70 10 µg/ml	98	99	
K1-70 100 µg/ml	99	99	
^b TSH (2)	0	<u>11</u>	

Véase leyenda de la Tabla 15a para detalles.

Tabla 15f Producción de AMP cíclico inducida por TSH en células CHO que expresan TSHR de tipo silvestre y TSHR con Asp151 mutado a Ala. Efecto de diferentes diluciones de anticuerpo monoclonal humano para el TSHR (K1-70) con actividad antagonista de TSH

Muestra de ensayo ^a	AMP cíclico producido (pmol/ml; media ± DT, n = 3)		Mutado/tipo silvestre (%)
	TSHR de tipo silvestre	TSHR mutado	
Tampón de ensayo de AMP cíclico solamente	1,06 ± 0,22	2,03 ± 0,48	192
TSH ^D	74,09 ± 8,63	45,72 ± 0,43	62
5B3 10 µg/ml + TSH ^b	76,94 ± 7,67	40,70 ± 2,59	53
5B3 100 µg/ml + TSH ^b	81,59 ± 6,54	46,24 ± 1,77	57
K1-70 0,001 µg + TSH ^b	80,09 ± 1,95	45,85 ± 4,25	57
K1-70 0,01 µg + TSH ^b	80,41 ± 8,03	44,71 ± 2,24	56
K1-70 0,1 µg + TSH ^b	13,74 ± 6,49	10,24 ± 0,91	75
K1-70 1,0 µg + TSH ^b	1,10 ± 0,24	2,04 ± 0,41	185
K1-70 10 µg + TSH ^b	1,21 ± 0,33	1,60 ± 0,35	132
K1-70 100 µg + TSH ^b	1,06 ± 0,54	1,68 ± 0,19	158
K1-70 100 µg	1,20 ± 0,13	1,72 ± 0,68	143
^b TSH (2)	95,46 ± 17,64	41,53 ± 1,51	44
% de inhibición de estimulación de TSH^c			
Concentración de anticuerpo	TSHR de tipo silvestre	TSHR Mutado	
5B3 10 µg/ml	0	11	
5B3 100 µg/ml	0	0	
K1-70 0,001 µg	0	0	
K1-70 0,01 µg/ml	0	2	
K1-70 0,1 µg/ml	81	78	

K1-70 1 µg/ml	99	96
K1-70 10 µg/ml	98	97
K1-70 100 µg/ml	99	96
^b TSH (2)	0	9

Véase leyenda de la Tabla 15a para detalles.

Tabla 15g Producción de AMP cíclico inducida por TSH en células CHO que expresan TSHR de tipo silvestre y TSHR con Asp160 mutado a Lys. Efecto de diferentes diluciones de anticuerpo monoclonal humano para el TSHR (K1-70) con actividad antagonista de TSH

Muestra de ensayo ^a	AMP cíclico producido (pmol/ml; media ± DT, n = 3)		Mutado/tipo silvestre (%)
	TSHR de tipo silvestre	TSHR mutado	
Tampón de ensayo de AMP cíclico solamente	0,71 ± 0,10	5,83 ± 0,11	821
M22 ^b	65,25 ± 4,95	51,70 ± 2,57	79
5B3 10 µg/ml + M22 ^b	75,97 ± 4,49	52,50 ± 4,25	69
5B3 100 µg/ml + M22 ^b	76,92 ± 9,97	45,83 ± 3,53	60
K1-70 0,001 µg + M22 ^b	88,89 ± 11,87	51,99 ± 6,36	58
K1-70 0,01 µg + M22 ^b	81,52 ± 12,62	41,02 ± 6,06	50
K1-70 0,1 µg + M22 ^b	10,95 ± 1,07	9,26 ± 2,35	85
K1-70 1,0 µg + M22 ^b	0,46 ± 0,06	0,25 ± 0,06	54
K1-70 10 µg + M22 ^b	0,63 ± 0,33	0,07 ± 0,08	11
K1-70 100 µg + M22 ^b	0,52 ± 0,46	0,27 ± 0,12	52
K1-70 100 µg	1,00 ± 0,68	0,09 ± 0,06	9
^b M22 (2)	71,04 ± 1,30	45,81 ± 5,56	64

% de inhibición de estimulación de TSH^c

Concentración de anticuerpo	% de inhibición de estimulación de TSH ^c	
	TSHR de tipo silvestre	TSHR Mutado
5B3 10 µg/ml	0	0
5B3 100 µg/ml	0	11
K1-70 0,001 µg	0	0
K1-70 0,01 µg/ml	0	21
K1-70 0,1 µg/ml	83	82
K1-70 1 µg/ml	99	99
K1-70 10 µg/ml	99	100
K1-70 100 µg/ml	99	99
^b M22 (2)	0	11

Véase leyenda de la Tabla 15a para detalles.

5

Tabla 15h Producción de AMP cíclico inducida por TSH en células CHO que expresan TSHR de tipo silvestre y TSHR con Glu178 mutado a Ala. Efecto de diferentes diluciones de anticuerpo monoclonal humano para el TSHR (K1-70) con actividad antagonista de TSH

Experimento 1			
Muestra de ensayo ^a	AMP cíclico producido (pmol/ml; media ± DT, n = 3)		Mutado/tipo silvestre (%)
	TSHR de tipo silvestre	TSHR mutado	
Tampón de AMP cíclico solamente	0,35 ± 0,47	9,18 ± 0,59	2623
TSH ^b	52,9 ± 3,27	56,61 ± 6,05	107
563 10 µg/ml + TSH ^b	65,73 ± 1,11	57,61 ± 2,52	88
5B3 + TSH ^b	65,49 ± 4,50	57,04 ± 7,63	87

ES 2 540 538 T3

K1-70 0,001 µg + TSH ^b	63,14 ± 5,08	45,91 ± 1,28	73
K1-70 0,01 µg + TSH ^b	60,67 ± 7,43	47,28 ± 2,68	78
K1-70 TSH ^b	6,32 ± 2,70	37,53 ± 7,25	594
K1-70 1,0 µg + TSH ^b	0,78 ± 0,64	6,96 ± 0,61	892
K1-70 10 µg + TSH ^b	0,66 ± 0,34	5,65 ± 0,22	856
+ TSH ^b	0,42 ± 0,22	6,80 ± 0,16	1619
K1-70 100 µg	0,01*	6,11 ± 0,14	61100
^b TSH (2)	77,16 ± 8,61	50,08 ± 5,73	65
% de inhibición de estimulación de TSH^c			
Concentración de anticuerpo	TSHR de tipo silvestre	TSHR Mutado	
5B3 10 µg/ml	0	0	
5B3 100 µg/ml	0	0	
K1-70 0,001 µg	0	19	
K1-70 0,01 µg/ml	0	16	
K1-70 0,1 µg/ml	88	34	
K1-70 1 µg/ml	99	88	
K1-70 10 µg/ml	99	90	
K1-70 100 µg/ml	99	88	
^b TSH	0	12	
<i>Experimento 2</i>			
	AMP cíclico producido (pmol/ml; media ± DT, n = 3)		
Muestra de ensayo^a	TSHR de tipo silvestre	TSHR mutado	Mutado/tipo silvestre (%)
Tampón de ensayo de AMP cíclico solamente	1,83 ± 0,13	6,13 ± 0,45	335
TSH ^b	87,25 ± 10,43	46,20 ± 2,13	53
5B3 10 µg/ml + TSH ^b	100,35 ± 7,09	54,97 ± 4,10	55
5B3 100 µg/ml + TSH ^b	98,11 ± 11,88	44,98 ± 4,80	46
K1-70 0,001 µg + TSH ^b	103,37 ± 16,45	49,40 ± 4,23	48
K1-70 0,01 µg + TSH ^b	96,22 ± 16,49	48,01 ± 5,37	50
K1-70 0,1 µg + TSH ^b	20,35 ± 9,35	30,71 ± 3,37	151
K1-70 1,0 µg + TSH ^b	1,13 ± 0,62	5,78 ± 0,42	512
K1-70 10 µg + TSH ^b	1,43 ± 0,34	4,88 ± 0,15	341
K1-70 100 µg + TSH ^b	1,54 ± 0,24	4,84 ± 0,32	314
K1-70 100 µg	1,08 ± 0,32	3,73 ± 0,64	345
^b TSH (2)	88,09 ± 7,60	44,11 ± 1,34	50
% de inhibición de estimulación de TSH^c			
Concentración de anticuerpo	TSHR de tipo silvestre	TSHR mutado	
5B3 10 µg/ml	0	0	
5B3 100 µg/ml	0	3	
K1-70 0,001 µg	0	0	
K1-70 0,01 µg/ml	0	0	
K1-70 0,1 µg/ml	77	34	
K1-70 1 µg/ml	99	87	
K1-70 10 µg/ml	98	89	

K1-70 100 µg/ml	98	90
^b TSH (2)	0	5

Véase leyenda de la Tabla 15a para detalles.

Tabla 15i Producción de AMP cíclico inducida por TSH en células CHO que expresan TSHR de tipo silvestre y TSHR con Lys183 mutada a Asp. Efecto de diferentes diluciones de anticuerpo monoclonal humano para el TSHR (K1-70) con actividad antagonista de TSH

Muestra de ensayo ^a	AMP cíclico producido (pmol/ml; media ± DT, n = 3)		Mutado/tipo silvestre (%)
	TSHR de tipo silvestre	TSHR mutado	
Tampón de ensayo de AMP cíclico solamente	0,83 ± 0,70	1,26 ± 0,02	152
TSH ^b	85,81 ± 4,18	117,28 ± 3,46	137
5B3 10 µg/ml + TSH ^b	93,70 ± 8,12	104,75 ± 8,56	112
5B3 100 µg/ml + TSH ^b	108,83 ± 3,13	127,83 ± 6,64	117
K1-70 0,001 µg + TSH ^b	90,69 ± 2,74	101,41 ± 11,08	112
K1-70 0,01 µg + TSH ^b	97,27 ± 2,97	101,74 ± 14,23	105
K1-70 0,1 µg + TSH ^b	69,05 ± 10,81	33,97 ± 2,51	49
K1-70 1,0 µg + TSH ^b	2,33 ± 0,54	3,04 ± 1,07	130
K1-70 10 µg + TSH ^b	1,74 ± 0,11	0,85 ± 0,38	49
K1-70 100 µg + TSH ^b	1,61 ± 0,27	0,98 ± 0,23□	61
K1-70 100 µg	1,46 ± 0,16	0,84 ± 0,26	58
^b TSH (2)	97,81 ± 21,58	93,44 ± 3,40	96
% de inhibición de estimulación de TSH^c			
Concentración de anticuerpo	TSHR de tipo silvestre	TSHR Mutado	
5B3 10 µg/ml	0	11	
5B3 100 µg/ml	0	0	
K1-70 0,001 µg	0	14	
K1-70 0,01 µg/ml	0	13	
K1-70 0,1 µg/ml	20	71	
K1-70 1 µg/ml	97	97	
K1-70 10 µg/ml	98	99	
K1-70 100 µg/ml	98	99	
^b TSH (2)	0	20	

Véase leyenda de la Tabla 15a para detalles.

5

Tabla 15j Producción de AMP cíclico inducida por TSH en células CHO que expresan TSHR de tipo silvestre y TSHR con Tyr185 mutada a Ala. Efecto de diferentes diluciones de anticuerpo monoclonal humano para el TSHR (K1-70) con actividad antagonista de TSH

Muestra de ensayo ^a	AMP cíclico producido (pmol/ml; media ± DT, n = 3)		Mutado/tipo silvestre (%)
	TSHR de tipo silvestre	TSHR mutado	
Tampón de ensayo de AMP cíclico solamente	1,20 ± 0,46	2,17 ± 0,33	181
TSH ^b	100,81 ± 7,98	52,49 ± 3,51	52
5B3 10 µg/ml + TSH ^b	125,53 ± 9,18	47,02 ± 2,22	37
5B3 100 µg/ml + TSH ^b	97,32 ± 11,29	56,13 ± 6,76	58
K1-70 0,001 µg + TSH ^b	118,92 ± 0 5	1,39 ± 4,61	43
K1-70 0,01 µg + TSH ^b	120,80 ± 7,93	46,06 ± 1,89	38

K1-70 0,1 µg + TSH ^b	15,05 ± 4,72	10,84 ± 2,53	72
K1-70 1,0 µg + TSH ^b	1,30 ± 0,32	2,10 ± 0,52	162
K1-70 10 µg + TSH ^b	1,61 ± 0,80	1,64 ± 0,49	102
K1-70 100 µg + TSH ^b	1,38 ± 0,09	2,07 ± 0,62	150
K1-70 100 ng	1,30 ± 0,17	1,54 ± 0,39	118
^b TSH	131,33 ± 9,02	41,01 ± 1,66	31,2
% de inhibición de estimulación de TSH^c			
Concentración de anticuerpo	TSHR de tipo silvestre		TSHR Mutado
5B3 10 µg/ml	0		10
5B3 100 µg/ml	3		0
K1-70 0,001 µg	0		2
K1-70 0,01 µg/ml	0		12
K1-70 0,1 µg/ml	85		79
K1-70 1 µg/ml	99		96
K1-70 10 µg/ml	98		97
K1-70 100 µg/ml	99		96
^b TSH (2)	0		22
Véase leyenda de la Tabla 15a para detalles.			

Tabla 15k Producción de AMP cíclico inducida por TSH en células CHO que expresan TSHR de tipo silvestre y TSHR con Tyr206 mutada a Ala. Efecto de diferentes diluciones de anticuerpo monoclonal humano para el TSHR (K1-70) con actividad antagonista de TSH

Muestra de ensayo ^a	AMP cíclico producido (pmol/ml; media ± DT, n = 3)		Mutado/tipo silvestre (%)
	TSHR de tipo silvestre	TSHR mutado	
Tampón de ensayo AMP cíclico solamente	1,45 ± 0,33	2,33 ± 0,17	161
TSH ^b	92,20 ± 5,95	82,89 ± 7,13	90
5B3 10 µg/ml + TSH ^b	94,47 ± 3,74	74,63 ± 5,45	79
5B3 100 µg/ml + TSH ^b	101,41 ± 6,91	75,18 ± 4,79	74
K1-70 0,001 µg + TSH ^b	102,14 ± 23,36	68,25 ± 5,23	67
K1-70 0,01 µg + TSH ^b	92,18 ± 10,18	73,26 ± 6,48	79
K1-70 0,1 µg + TSH ^b	9,63 ± 0,78	7,55 ± 0,73	78
K1-70 1,0 µg + TSH ^b	2,01 ± 1,50	2,46 ± 0,55	122
K1-70 10 µg + TSH ^b	1,45 ± 0,19	2,18 ± 0,16	150
K1-70 100 µg + TSH ^b	1,62 ± 0,44	2,31 ± 0,08	143
K1-70 100 µg	1,44 ± 0,23	2,13 ± 0,38	148
^b TSH (2)	107,85 ± 5,97	69,48 ± 2,42	64
% de inhibición de estimulación de TSH^c			
Concentración de anticuerpo	TSHR de tipo silvestre		TSHR Mutado
5B3 10 µg/ml	0		10
5B3 100 µg/ml	0		9
K1-70 0,001 µg	0		18
K1-70 0,01 µg/ml	0		12
K1-70 0,1 µg/ml	90		91
K1-70 1 µg/ml	98		97

K1-70 10 µg/ml	98	97
K1-70 100 µg/ml	98	97
^b TSH (2)	0	16

Véase leyenda de la Tabla 15a para detalles.

Tabla 15l Producción de AMP cíclico inducida por TSH en células CHO que expresan TSHR de tipo silvestre y TSHR con Lys209 mutada a Ala. Efecto de diferentes diluciones de anticuerpo monoclonal humano para el TSHR (K1-70) con actividad antagonista de TSH

Muestra de ensayo ^a	AMP cíclico producido (pmol/ml; media ± DT, n = 3)		Mutado/tipo silvestre (%)
	TSHR de tipo silvestre	TSHR mutado	
Tampón de AMP cíclico solamente	0,88 ± 0,03	2,14 ± 0,56	243
TSH ^b	78,97 ± 8,73	57,94 ± 4,39	73
5B3 10 µg/ml + TSH ^b	76,61 ± 6,55	56,52 ± 4,26	74
5B3 100 µg/ml + TSH ^b	87,72 ± 5,48	55,93 ± 3,69	64
K1-70 0,001 µg + TSH ^b	97,83 ± 2,41	52,17 ± 7,95	53
K1-70 0,01 µg + TSH ^b	99,22*	42,31 ± 6,68	43
K1-70 0,1 mg + TSH ^b	9,58 ± 1,13	5,45 ± 2,69	57
K1-70 1,0 µg + TSH ^b	1,36 ± 0,10	1,43 ± 0,13	105
K1-70 10 µg + TSH ^b	0,88 ± 0	1,37 ± 0,29	156
K1-70 100 µg + TSH ^b	0,98 ± 0,24	1,58 ± 0,10	161
K1-70 100 µg	0,81 ± 0,09	1,84 ± 0,32	227
^b TSH (2)	91,50 ± 6,84	47,73 ± 3,41	52
% de inhibición de estimulación de TSH^c			
Concentración de anticuerpo	TSHR de tipo silvestre	TSHR Mutado	
5B3 10 µg/ml	3	2	
5B3 100 µg/ml	0	3	
K1-70 0,001 µg	0	10	
K1-70 0,01 µg/ml	0	27	
K1-70 0,1 µg/ml	88	91	
K1-70 1 µg/ml	98	98	
K1-70 10 µg/ml	99	98	
K1-70 100 µg/ml	99	97	
^b TSH (2)	0	18	

Véase leyenda de la Tabla 15a para detalles.

5

Tabla 15m Producción de AMP cíclico inducida por TSH en células CHO que expresan TSHR de tipo silvestre y TSHR con Asp232 mutado a Ala. Efecto de diferentes diluciones de anticuerpo monoclonal humano para el TSHR (K1-70) con actividad antagonista de TSH

Muestra de ensayo ^a	AMP cíclico producido (pmol/ml; media ± DT, n = 3)		Mutado/tipo silvestre (%)
	TSHR de tipo silvestre	TSHR mutado	
Tampón de ensayo de AMP cíclico solamente	1,93 ± 0,10	2,61 ± 0,62	135
TSH ^b	82,02 ± 7,26	57,02 ± 6,10	70
5B3 10 µg/ml + TSH ^b	86,80 ± 8,83	51,42 ± 3,83	59
5B3 100 µg/ml + TSH ^b	92,84 ± 3,94	53,61 ± 5,00	58
K1-70 0,001 µg + TSH ^b	96,66 ± 2,53	56,21 ± 2,78	58

K1-70 0,01 µg + TSH ^b	93,85 ± 4,23	32,28 ± 7,68	34
K1-70 0,1 µg + TSH ^b	4,46 ± 1,38	2,98 ± 0,19	67
K1-70 1,0 µg + TSH ^b	1,66 ± 0,13	2,03 ± 0,10	122
K1-70 10 µg + TSH ^b	1,71 ± 0,25	2,35 ± 0,21	137
K1-70 100 µg + TSH ^b	1,81 ± 0,34	2,62 ± 0,17	145
K1-70 100 µg	1,13 ± 0,97	2,18 ± 0,32	193
^b TSH (2)	82,64 ± 7,95	62,58 ± 3,86	76
% de inhibición de estimulación de TSH^c			
Concentración de anticuerpo	TSHR de tipo silvestre	TSHR Mutado	
5B3 10 µg/ml	0	10	
5B3 100 µg/ml	0	6	
K1-70 0,001 µg	0	1	
K1-70 0,01 µg/ml	0	43	
K1-70 0,1 µg/ml	95	95	
K1-70 1 µg/ml	98	96	
K1-70 10 µg/ml	98	96	
K1-70 100 µg/ml	98	95	
^b TSH (2)	0	0	

Véase leyenda de la Tabla 15a para detalles.

Tabla 15n Producción de AMP cíclico inducida por TSH en células CHO que expresan TSHR de tipo silvestre y TSHR con Gln235 mutada a Ala. Efecto de diferentes diluciones de anticuerpo monoclonal humano para el TSHR (K1-70) con actividad antagonista de TSH

<i>Experimento 1</i>			
	AMP cíclico producido (pmol/ml; media ± DT, n = 3)		
Muestra de ensayo^a	TSHR de tipo silvestre	TSHR mutado	Mutado/tipo silvestre (%)
Tampón de ensayo de AMP cíclico solamente	1,55 ± 0,63	3,85 ± 0,62	248
TSH ^b	79,85 ± 5,00	55,54 ± 2,28	70
5B3 10 µg/ml + TSH ^b	80,10 ± 8,09	63,73 ± 3,15	80
5B3 100 µg/ml + TSH ^b	93,18 ± 7,43	58,27 ± 3,67	63
K1-70 0,001 µg + TSH ^b	75,94 ± 9,09	50,44 ± 3,80	66
K1-70 0,01 µg + TSH ^b	83,71 ± 2,23	51,03 ± 3,63	61
K1-70 0,1 µg + TSH ^b	7,69 ± 0,71	23,70 ± 3,03	308
K1-70 1,0 µg + TSH ^b	1,05 ± 0,12	5,05 ± 0,37	481
K1-70 10 µg + TSH ^b	1,81 ± 0,58	3,76 ± 0,11	208
K1-70 100 µg + TSH ^b	1,43 ± 0,56	4,93 ± 0,84	345
K1-70 100 µg	0,76 ± 0,42	3,59 ± 0,48	472
^b TSH (2)	80,04 ± 7,76	48,55 ± 4,54	61
% de inhibición de estimulación de TSH^c			
Concentración de anticuerpo	TSHR de tipo silvestre	TSHR Mutado	
5B3 10 µg/ml	0	0	
5B3 100 µg/ml	0	0	
K1-70 0,001 µg	5	9	
K1-70 0,01 µg/ml	0	8	
K1-70 0,11 µg/ml	90	57	

K1-70 1 µg/ml	99	91	
K1-70 10 µg/ml	98	93	
K1-70 100 µg/ml	98	91	
^b TSH (2)	0	13	
<i>Experimento 2</i>			
	AMP cíclico producido (pmol/ml; media ± DT, n = 3)		
Muestra de ensayo^a	TSHR de tipo silvestre	TSHR mutado	Mutado/tipo silvestre (%)
Tampón de AMP cíclico solamente	0,88 ± 0,09	2,06 ± 0,39	234
TSH ^p	56,39 ± 3,44	56,59 ± 2,20	100
5B3 10 µg/ml + TSH ^b	62,97 ± 1,58	48,72 ± 6,02	77
5B3 100 µg/ml + TSH ^b	60,63 ± 1,31	57,90 ± 6,25	95
K1-70 0,001 µg + TSH ^b	61,57 ± 5,25	54,73 ± 13,72	89
K1-70 0,01 µg + TSH ^b	55,31 ± 5,21	61,63 ± 17,52	111
K1-70 0,1 µg + TSH ^b	30,91 ± 2,16	27,18 ± 5,31	88
K1-70 1,0 µg + TSH ^b	1,95 ± 1,37	2,82 ± 0,34	145
K1-70 10 µg + TSH ^b	1,15 ± 0,35	1,40 ± 0,15	122
K1-70 100 µg + TSH ^b	1,12 ± 0,41	1,65 ± 0,29	147
K1-70 100 µg	0,63 ± 0,11	1,20 ± 0,07	190
^b TSH (2)	77,33 ± 18,51	55,10 ± 2,99	71
% de inhibición de estimulación de TSH^c			
Concentración de anticuerpo	TSHR de tipo silvestre	TSHR Mutado	
5B3 10 µg/ml	0	14	
5B3 100 µg/ml	0	0	
K1-70 0,001 µg	0	3	
K1-70 0,01 µg/ml	2	0	
K1-70 0,1 µg/ml	45	52	
K1-70 1 µg/ml	97	95	
K1-70 10 µg/ml	98	98	
K1-70 100 µg/ml	98	97	
^b TSH (2)	0	3	

Véase leyenda de la Tabla 15a para detalles.

Tabla 15o Producción de AMP cíclico inducida por TSH en células CHO que expresan TSHR de tipo silvestre y TSHR con Lys250 mutada a Ala. Efecto de diferentes diluciones de anticuerpo monoclonal humano para el TSHR (K1-70) con actividad antagonista de TSH

<i>Experimento 1</i>			
	AMP cíclico producido (pmol/ml; media ± DT, n = 3)		
Muestra de ensayo^a	TSHR de tipo silvestre	TSHR mutado	Mutado/tipo silvestre (%)
Tampón de AMP cíclico solamente	1,37 ± 0,11	5,15 ± 0,63	376
TSH ^p	77,89 ± 4,29	64,69 ± 4,82	83
5B3 10 µg/ml + TSH ^b	77,80 ± 3,64	67,66 ± 1,21	87
5B3 100 µg/ml + TSH ^b	79,92 ± 5,52	66,12 ± 2,92	83
K1-70 0,001 µg + TSH ^b	80,20 ± 4,04	64,15 ± 0	80
K1-70 0,01 µg + TSH ^b	68,64 ± 9,75	57,52 ± 4,14	84

ES 2 540 538 T3

K1-70 0,1 µg + TSH ^b	5,75 ± 0,88	42,40 ± 1,47	737
K1-70 1,0 µg + TSH ^b	1,67 ± 0,29	6,09 ± 0,05	365
K1-70 10 µg + TSH ^b	1,37 ± 0,06	4,29 ± 0,62	313
K1-70 100 µg + TSH ^b	1,48 ± 0,08	4,75 ± 0,08	319
K1-70 100 µg	1,66 ± 0,33	3,17 ± 0,19	191
^b TSH (2)	84,45 ± 1,63	58,26 ± 3,24	69
% de inhibición de estimulación de TSH^c			
Concentración de anticuerpo	TSHR de tipo silvestre	TSHR Mutado	
5B3 10 µg/ml	0,1	0	
5B3 100 µg/ml	0	0	
K1-70 0,001 µg	0	1	
K1-70 0,01 µg/ml	12	11	
K1-70 0,1 µg/ml	93	34	
K1-70 1 µg/ml	98	91	
K1-70 10 µg/ml	98	93	
K1-70 100 µg/ml	98	93	
^b TSH (2)	0	10	
<i>Experimento 2</i>			
	AMP cíclico producido (pmol/ml; media ± DT, n = 3)		
Muestra de ensayo^a	TSHR de tipo silvestre	TSHR mutado	Mutado/tipo silvestre (%)
Tampón de ensayo de AMP cíclico solamente	0,36 ± 0,14	0,90 ± 0,36	250
TSH ^b	86,55 ± 2,19	54,99 ± 5,70	64
5B3 10 µg/ml + TSH ^b	90,58 ± 4,34	47,09 ± 1,88	52
5B3 100 µg/ml + TSH ^b	87,52 ± 2,25	54,67 ± 4,74	62
K1-70 0,001 µg + TSH ^b	88,48 ± 4,56	44,31 ± 3,00	50
K1-70 0,01 µg + TSH ^b	86,20 ± 7,37	45,44 ± 2,16	53
K1-70 0,1 µg + TSH ^b	8,81 ± 0,84	27,64 ± 1,41	314
K1-70 1,0 µg + TSH ^b	1,05 ± 0,35	1,98 ± 0,29	189
K1-70 10 µg + TSH ^b	0,76 ± 0,58	0,72 ± 0,11	95
K1-70 100 µg + TSH ^b	0,40 ± 0,09	0,64 ± 0,16	160
K1-70 100 µg	0,61 ± 0,20	0,90 ± 0,15	148
^b TSH (2)	75,91 ± 7,48	51,08 ± 3,64	67
% de inhibición de estimulación de TSH^c			
Concentración de anticuerpo	TSHR de tipo silvestre	TSHR Mutado	
5B3 10 µg/ml	0	14	
5B3 100 µg/ml	0	1	
K1-70 0,001 µg	0	19	
K1-70 0,01 µg/ml	0	17	
K1-70 0,1 µg/ml	90	50	
K1-70 1 µg/ml	99	96	
K1-70 10 µg/ml	99	99	
K1-70 100 µg/ml	99	99	
^b TSH (2)	12	7	
Véase leyenda de la Tabla 15a para detalles.			

Tabla 15p Producción de AMP cíclico inducida por TSH en células CHO que expresan TSHR de tipo silvestre y TSHR con Glu251 mutado a Ala. Efecto de diferentes diluciones de anticuerpo monoclonal humano para el TSHR (K1-70) con actividad antagonista de TSH

Muestra de ensayo ^a	AMP cíclico producido (pmol/ml; media ± DT, n = 3)		Mutado/tipo silvestre (%)
	TSHR de tipo silvestre	TSHR mutado	
Tampón de ensayo de AMP cíclico solamente	1,78 ± 0,15	4,76 ± 0,73	267
TSH ^b	97,46 ± 6,92	76,06 ± 10,78	78
5B3 10 µg/ml + TSH ^b	92,91 ± 4,18	68,71 ± 3,38	74
5B3 100 µg/ml + TSH ^b	86,30 ± 10,26	76,69 ± 7,01	89
K1-70 0,001 µg + TSH ^b	90,50 ± 10,61	76,43 ± 13,91	84
K1-70 0,01 µg + TSH ^b	88,13 ± 2,76	60,62 ± 2,31	69
K1-70 0,1 µg + TSH ^b	4,06 ± 0,74	6,28 ± 2,22	155
K1-70 1,0 µg + TSH ^b	1,73 ± 0,11	2,17 ± 0,04	125
K1-70 10 µg + TSH ^b	1,58 ± 0,15	3,18 ± 1,36	201
K1-70 100 µg + TSH ^b	1,66 ± 0,03	2,72 ± 0,52	164
K1-70 100 µg	1,54 ± 0,15	4,41 ± 1,24	286
^b TSH (2)	104,06 ± 3,26	87,36 ± 14,82	84
% de inhibición de estimulación de TSH^c			
Concentración de anticuerpo	TSHR de tipo silvestre	TSHR Mutado	
5B3 10 µg/ml	5	10	
5B3 100 µg/ml	11	0	
K1-70 0,001 µg	7	0	
K1-70 0,01 µg/ml	10	20	
K1-70 0,1 µg/ml	96	92	
K1-70 1 µg/ml	98	97	
K1-70 10 µg/ml	98	96	
K1-70 100 µg/ml	98	96	
^b TSH (2)	0	0	

Véase leyenda de la Tabla 15a para detalles.

5

Tabla 15q Producción de AMP cíclico inducida por TSH en células CHO que expresan TSHR de tipo silvestre y TSHR con Arg255 mutada a Ala. Efecto de diferentes diluciones de anticuerpo monoclonal humano para el TSHR (K1-70) con actividad antagonista de TSH

Muestra de ensayo ^a	AMP cíclico producido (pmol/ml; media ± DT, n = 3)		Mutado/tipo silvestre (%)
	TSHR de tipo silvestre	TSHR mutado	
Tampón de AMP cíclico solamente	1,65 ± 0,42	2,04 ± 0,48	124
TSH ^b	62,43 ± 4,24	63,86 ± 4,18	102
5B3 10 µg/ml + TSH ^b	75,59*	56,36 ± 3,72	75
5B3 100 µg/ml + TSH ^b	68,28 ± 4,90	62,53 ± 5,33	92
K1-70 0,001 µg + TSH ^b	89,67 ± 5,46	65,87 ± 8,49	73
K1-70 0,01 µg + TSH ^b	87,27 ± 9,27	55,02 ± 4,02	63
K1-70 0,1 µg + TSH ^b	33,63 ± 2,97	19,38 ± 3,27	58
K1-70 1,0 µg + TSH ^b	2,30 ± 0,34	3,96 ± 1,02	172
K1-70 10 µg + TSH ^b	1,28 ± 1,09	2,38 ± 0,52	186

K1-70 100 µg + TSH ^b	2,88 ± 1,98	1,94 ± 0,45	67
K1-70 100 µg	1,16 ± 0,45	1,34 ± 0,50	116
^b TSH (2)	68,39 ± 1,88	59,58 ± 1,64	87
% de inhibición de estimulación de TSH^c			
Concentración de anticuerpo	TSHR de tipo silvestre	TSHR Mutado	
5B3 10 µg/ml	0	12	
5B3 100 µg/ml	0	2	
K1-70 0,001 µg	0	0	
K1-70 0,01 µg/ml	0	14	
K1-70 0,1 µg/ml	46	70	
K1-70 11 µg/ml	96	94	
K1-70 10 µg/ml	98	96	
K1-70 100 µg/ml	95	97	
^b TSH (2)	0	7	

Véase leyenda de la Tabla 15a para detalles.

Tabla 15r Producción de AMP cíclico inducida por TSH en células CHO que expresan TSHR de tipo silvestre y TSHR con Thr257 mutado a Ala. Efecto de diferentes diluciones de anticuerpo monoclonal humano para el TSHR (K1-70) con actividad antagonista de TSH

Muestra de ensayo ^a	AMP cíclico producido (pmol/ml; media ± DT, n = 3)		Mutado/tipo silvestre (%)
	TSHR de tipo silvestre	TSHR mutado	
Tampón de ensayo de AMP cíclico solamente	0,67 ± 0,13	2,08 ± 0,22	310
TSH ^b	66,07 ± 7,95	93,16 ± 6,69	141
5B3 10 µg/ml + TSH ^b	85,93 ± 3,35	94,23 ± 2,23	110
5B3 100 µg/ml + TSH ^b	83,73 ± 9,86	86,78 ± 13,03	104
K1-70 0,001 µg + TSH ^b	88,71 ± 7,01	87,21 ± 14,51	98
K1-70 0,01 µg + TSH ^b	84,72 ± 18,03	97,91 ± 10,18	116
K1-70 0,1 µg + TSH ^b	55,12 ± 14,21	80,13 ± 9,78	145
K1-70 1,0 µg + TSH ^b	1,66 ± 0,44	3,97 ± 0,06	239
K1-70 10 µg + TSH ^b	0,91 ± 0,37	2,00 ± 0,28	220
K1-70 100 µg + TSH ^b	0,87 ± 0,31	2,25 ± 0,24	259
K1-70 100 µg	1,14 ± 0,11	1,44 ± 0,15	126
^b TSH (2)	92,96 ± 1,88	85,41 ± 4,14	92
% de inhibición de estimulación de TSH^c			
Concentración de anticuerpo	TSHR de tipo silvestre	TSHR Mutado	
5B3 10 µg/ml	0	0	
5B3 100 µg/ml	0	7	
K1-70 0,001 µg	0	6	
K1-70 0,01 µg/ml	0	0	
K1-70 0,1 µg/ml	17	14	
K1-70 1 µg/ml	97	96	
K1-70 10 µg/ml	99	98	
K1-70 100 µg/ml	99	98	
^b TSH (2)	0	8	

Véase leyenda de la Tabla 15a para detalles.

Tabla 15s Producción de AMP cíclico inducida por TSH en células CHO que expresan TSHR de tipo silvestre y TSHR con Trp258 mutado a Ala. Efecto de diferentes diluciones de anticuerpo monoclonal humano para el TSHR (K1-70) con actividad antagonista de TSH

Muestra de ensayo ^a	AMP cíclico producido (pmol/ml; media ± DT, n = 3)		Mutado/tipo silvestre (%)
	TSHR de tipo silvestre	TSHR mutado	
Tampón de ensayo de AMP cíclico solamente	1,09 ± 0,13	1,93 ± 0,27	177
TSH ^b	58,81 ± 3,32	59,87 ± 5,65	102
5B3 10 µg/ml+TSH ^b	67,66 ± 2,16	50,71 ± 1,58	75
5B3 100 µg/ml + TSH ^b	72,85 ± 11,12	57,62 ± 12,06	79
K1-70 0,001 µg + TSH ^b	64,08 ± 4,50	51,10 ± 5,86	80
K1-70 0,01 µg + TSH ^b	68,76 ± 7,18	51,22 ± 2,22	74
K1-70 0,1 µg + TSH ^b	12,46 ± 3,44	11,56 ± 5,39	93
K1-70 1,0 µg + TSH ^b	0,99 ± 0,52	1,38 ± 0,12	139
K1-70 10 µg+TSH ^b	0,64 ± 0,08	1,06 ± 0,21	166
K1-70 100 µg + TSH ^b	0,77 ± 0,27	1,38 ± 0,65 1	79
K1-70 100 µg	0,52 ± 0,23	1,34 ± 0,29	258
^b TSH (2)	69,57 ± 4,31	47,82 ± 3,23	69
% de inhibición de estimulación de TSH^c			
Concentración de anticuerpo	TSHR de tipo silvestre	TSHR Mutado	
5B3 10 µg/ml	0	15	
5B3 100 µg/ml	0	4	
K1-70 0,001 µg	0	15	
K1-70 0,01 µg/ml	0	14	
K1-70 0,1 µg/ml	79	81	
K1-70 1 µg/ml	98	98	
K1-70 10 µg/ml	99	98	
K1-70 100 µg/ml	99	98	
^b TSH (2)	0	20	

Véase leyenda de la Tabla 15a para detalles.

5

Tabla 15t Producción de AMP cíclico inducida por TSH en células CHO que expresan TSHR de tipo silvestre y TSHR con Arg274 mutada a Ala. Efecto de diferentes diluciones de anticuerpo monoclonal humano para el TSHR (K1-70) con actividad antagonista de TSH

Muestra de ensayo ^a	AMP cíclico producido (pmol/ml; media ± DT, n = 3)		Mutado/tipo silvestre (%)
	TSHR de tipo silvestre	TSHR mutado	
Tampón de ensayo de AMP cíclico solamente	1,91 ± 0,23	2,61 ± 0,37	137
TSH ^b	97,06 ± 3,16	99,22 ± 9,24	102
5 ^b 3 10 µg/ml + TSH ^b	115,56 ± 7,73	106,00 ± 9,5	92
5 ^b 3 100 µg/ml + TSH ^b	120,83 ± 30,02	95,33 ± 4,48	79
K1-70 0,001 µg + TSH ^b	146,34 ± 0 11	7,54 ± 6,34	80
K1-70 0,01 µg + TSH ^b	133,74 ± 11,45	105,88 ± 9,33	79
K1-70 0,1 µg + TSH ^b	9,83 ± 1,02	4,09 ± 0,09	42
K1-70 1,0 µg + TSH ^b	1,99 ± 0,45	1,70 ± 0,34	85
K1-70 10 µg + TSH ^b	1,49 ± 0,15	1,90 ± 0,14	128

ES 2 540 538 T3

K1-70 100 µg + TSH ^b	1,54 ± 0,16	1,62 ± 0,21	105
K1-70 100 µg	1,30 ± 0,25	1,75 ± 0,34	135
^b TSH (2)	109,43 ± 12,79	100,21 ± 9,82	92
% de inhibición de estimulación de TSH^c			
Concentración de anticuerpo	TSHR de tipo silvestre	TSHR Mutado	
5B3 10 µg/ml	0	0	
5B3 100 µg/ml	0	4	
K1-70 0,001 µg	0	0	
K1-70 0,01 µg/ml	0	0	
K1-70 0,1 µg/ml	90	96	
K1-70 1 µg/ml	98	98	
K1-70 10 µg/ml	98	98	
K1-70 100 µg/ml	98	98	
^b TSH (2)	0	0	

Véase leyenda de la Tabla 15a para detalles.

Tabla 15u Producción de AMP cíclico inducida por TSH en células CHO que expresan TSHR de tipo silvestre y TSHR con Asp276 mutado a Ala. Efecto de diferentes diluciones de anticuerpo monoclonal humano para el TSHR (K1-70) con actividad antagonista de TSH

<i>Experimento 1</i>			
	AMP cíclico producido (pmol/ml; media ± DT, n = 3)		
Muestra de ensayo^a	TSHR de tipo silvestre	TSHR mutado	Mutado/tipo silvestre (%)
Tampón de ensayo de AMP cíclico solamente	1,19 ± 0,45	7,20 ± 0,74	605
TSH ^b	78,01 ± 7,81	71,24 ± 4,72	91
5B3 10 µg/ml + TSH ^b	79,58 ± 5,41	66,78 ± 3,68	84
5B3 100 µg/ml + TSH ^b	72,68 ± 2,09	68,46 ± 7,03	94
K1-70 0,001 µg + TSH ^b	76,64 ± 4,38	68,87 ± 4,91	90
K1-70 0,01 µg + TSH ^b	71,64 ± 8,57	63,50 ± 3,61	89
K1-70 0,1 µg TSH ^b	9,89 ± 3,19	67,79 ± 9,74	685
K1-70 1,0 µg + TSH ^b	1,02 ± 0,24	10,21 ± 0,58	1001
K1-70 10 µg + TSH ^b	0,36 ± 0,31	5,07 ± 1,35	1408
K1-70 100 µg + TSH ^b	0,70 ± 0,26	5,14 ± 3,18	734
K1-70 100 µg	0,21 ± 0,30	3,56 ± 0,74	1695
^b TSH (2)	74,30 ± 8,20	67,04 ± 6,95	90
% de inhibición de estimulación de TSH^c			
Concentración de anticuerpo	TSHR de tipo silvestre	TSHR Mutado	
5B3 10 µg/ml	0	6	
5B3 100 µg/ml	7	4	
K1-70 0,001 µg	2	3	
K1-70 0,01 µg/ml	8	11	
K1-70 0,1 µg/ml	87	5	
K1-70 1 µg/ml	99	86	
K1-70 10 µg/ml	99	93	
K1-70 100 µg/ml	99	93	
^b TSH (2)	5	6	

<i>Experimento 2</i>			
	AMP cíclico producido (pmol/ml; media ± DT, n = 3)		
Muestra de ensayo ^a	TSHR de tipo silvestre	TSHR mutado	Mutado/tipo silvestre (%)
Tampón de ensayo de AMP cíclico solamente	0,65 ± 0,27	12,17 ± 1,47	1872
TSH ^b	95,81 ± 9,24	74,82 ± 9,47	78
5B3 10 µg/ml + TSH ^b	106,73 ± 8,52	71,56 ± 4,30	67
5B3 100 µg/ml + TSH ^b	101,10 ± 2,58	75,93 ± 6,03	75
K1-70 0,001 µg + TSH ^b	104,99 ± 10,76	72,63 ± 9,99	69
K1-70 0,01 µg + TSH ^b	108,84 ± 12,41	78,47 ± 3,50	72
K-70 0,1 µg + TSH ^b	18,40 ± 12,30	66,36 ± 5,38	361
K1-70 1,0 µg + TSH ^b	1,49 ± 0,67	9,63 ± 1,53	646
K1-70 10 µg + TSH ^b	0,85 ± 0,28	6,66 ± 0,81	784
K1-70 100 µg + TSH ^b	1,58 ± 0,41	6,53 ± 1,33	413
K1-70 100 µg	0,64 ± 0,04	5,88 ± ,36	919
^b TSH (2)	92,86 ± 4,90	61,21 ± 1,70	66
% de inhibición de estimulación de TSH ^c			
Concentración de anticuerpo	TSHR de tipo silvestre	TSHR Mutado	
5B3 10 µg/ml	0	4	
5B3 100 µg/ml	0	0	
K1-70 0,001 µg	0	3	
K1-70 0,01 µg/ml	0	0	
K1-70 0,1 µg/ml	81	11	
K1-70 1 µg/ml	98	87	
K1-70 10 µg/ml	99	91	
K1-70 100 µg/ml	98	91	
^b TSH (2)	31	8	

Véase leyenda de la Tabla 15a para detalles.

Tabla 15v Producción de AMP cíclico inducida por TSH en células CHO que expresan TSHR de tipo silvestre y TSHR con Ser281 mutada a Ala. Efecto de diferentes diluciones de anticuerpo monoclonal humano para el TSHR (K1-70) con actividad antagonista de TSH

<i>Experimento 1</i>			
	AMP cíclico producido (pmol/ml; media ± DT, n = 3)		
Muestra de ensayo ^a	TSHR de tipo silvestre	TSHR mutado	Mutado/tipo silvestre (%)
Tampón de ensayo de AMP cíclico solamente	1,27 ± 0,10	1,47 ± 0,26	116
TSH ^b	87,93 ± 17,36	69,80 ± 10,34	79
5B3 10 µg/ml + TSH ^b	84,72 ± 5,57	56,72 ± 2,69	67
5B3 100 µg/ml + TSH ^b	87,99 ± 4,63	62,11 ± 5,75	71
K1-70 0,001 µg + TSH ^b	86,36*	56,42 ± 8,88	65
K1-70 TSH ^b	79,79 ± 8,53	50,66 ± 7,96	63
K1-70 0,1 µg + TSH ^b	25,52 ± 8,47	40,25 ± 1,49	158
K1-70 1,0 µg + TSH ^b	1,47 ± 0,12	2,19 ± 0,52	150
K1-70 10 µg + TSH ^b	1,51 ± 0,11	2,08 ± 0,95	138
K1-70 100 µg + TSH ^b	1,18 ± 0,32	1,52 ± 0,19	129

K1-70 100 µg	0,99 ± 0,29	1,22 ± 0,07	123
^b TSH (2)	99,13 ± 16,11	56,62 ± 5,48	57
% de inhibición de estimulación de TSH^c			
Concentración de anticuerpo	TSHR de tipo silvestre	TSHR Mutado	
5B3 10 µg/ml	4	19	
5B3 100 µg/ml	0	11	
K1-70 0,001 µg	2	19	
K1-70 0,01 µg/ml	9	27	
K1-70 0,1 µg/ml	71	42	
K1-70 1 µg/ml	98	97	
K1-70 10 µg/ml	98	97	
K1-70 100 µg/ml	99	98	
^b TSH (2)	0	19	
<i>Experimento 2</i>			
	AMP cíclico producido (pmol/ml; media ± DT, n = 3)		
Muestra de ensayo^a	TSHR de tipo silvestre	TSHR mutado	Mutado/tipo silvestre (%)
Tampón de ensayo de AMP cíclico solamente	60,51 ± 0,27	2,70 ± 0,22	529
TSH ^b	75,33 ± 3,18	68,98 ± 3,03	92
5B3 10 µg/ml + TSH ^b	82,84 ± 2,66	66,07 ± 3,09	80
5B3 100 µg/ml + TSH ^b	82,89 ± 4,01	72,42 ± 3,12	87
K1-70 0,001 µg + TSH ^b	77,43 ± 3,86	53,94 ± 3,95	70
K1-70 0,01 µg + TSH ^b	87,16 ± 9,24	51,53 ± 6,84	59
K1-70 0,1 µg + TSH ^b	18,38 ± 2,79	40,45 ± 9,45	220
K1-70 1,0 µg + TSH ^b	0,60 ± 0,27	2,56 ± 0,63	427±
K1-70 10 µg + TSH ^b	0,38 ± 0,07	2,17 ± 0,83	571
K1-70 100 µg + TSH ^b	0,42 ± 0,20	1,85 ± 0,40	440
K1-70 100 µg	0,22± 0,07	2,08 ± 1,29	945
^b TSH (2)	83,91 ± 6,87	5,94 ± 6,27	79
% de inhibición de estimulación de TSH^c			
Concentración de anticuerpo	TSHR de tipo silvestre	TSHR Mutado	
5B3 10 µg/ml	0	4	
5B3 100 µg/ml	0	0	
K1-70 0,001 µg	0	22	
K1-70 0,01 µg/ml	0	25	
K1-70 0,1 µg/ml	76	41	
K1-70 11 µg/ml	99	96	
K1-70 10 µg/ml	99	97	
K1-70 100 µg/ml	99	97	
^b TSH	0	4	
Véase leyenda de la Tabla 15a para detalles.			

Tabla 16 Sumario de los efectos de mutaciones de TSHR (en relación con tipo silvestre) en la capacidad de IgG K1-18 IgG para estimular AMP cíclico e IgG K1-70 para bloquear la estimulación por TSH de la producción de AMP cíclico en células CHO transfectadas con TSHR

Mutación de TSHR	Estimulación (en relación con el tipo silvestre) de la producción de AMP cíclico por TSH	Estimulación (en relación con el tipo silvestre) de la producción de AMP cíclico por IgG K1-18	Bloqueo (en relación con el tipo silvestre) de la estimulación por TSH de la producción de AMP cíclico por IgG K1-70
Tipo silvestre	+++++	+++++	+++++
Asp43 Ala	+++++	+++++	+++++
Ile60 Ala	+++++	+++++	++
Glu61 Ala	+++++	+++++	+++
Thr104 Ala	+++++	+++++	+++++
His105 Ala	+++++	+++++	+++++
Asp151 Ala	++++	++++	+++++
Glu157 Ala	+++++	0	NT
Glu178 Ala	+++	++++	++++
Tyr185 Ala	++++	0	+++++
Tyr206 Ala	+++++	++	+++++
Lys209 Ala	++++	++++	+++++
Asp232 Ala	++++	0	+++++
Gln235 Ala	++++	++++	+++++
Lys250 Ala	+++++	+++++	+++
Glu251 Ala	++++	++++	+++++
Arg255 Ala	+++++	+++++	+++++
Thr257 Ala	+++++	+++++	+++++
Trp258 Ala	+++++	++	+++++
Arg274 Ala	+++++	++	+++++
Asp276 Ala	+++++	+++++	+++
Ser281 Ala	+++++	+++++	++++
Asp160 Lys	0	NT	+++++
Lys163 Asp*	+++++	0	+++++

Los efectos relativos de las mutaciones de TSHR se expresaron como un porcentaje de la actividad observada con el tipo silvestre de la siguiente manera:

+++++ = 100 % de la actividad de tipo silvestre; ++++ = <100-80 % de la actividad de tipo silvestre; +++ = <80-60 % de la actividad de tipo silvestre; ++ = <60-40 % de la actividad de tipo silvestre; + = <40-20 % de la actividad de tipo silvestre; 0 = <20 % de la actividad de tipo silvestre.

*Se llevó a cabo bloqueo de la estimulación para esta mutación usando estimulación por M22 ya que el mutante no respondió a la estimulación con TSH. Concentración final de Fab M22 = 3 ng/ml.

5 **Tabla 17a** Inhibición de la unión de ¹²⁵I-TSH con tubos recubiertos con TSHR por Fab K1-70 recombinante expresado en células de *E. coli* HB2151

Muestra de ensayo	Dilución de sobrenadante de cultivo (o concentración ¹ de Fab K1-70 ng/ml)	% de unión de ¹²⁵ I-TSH	% de inhibición ²
Tampón de ensayo solamente		12,4	0
Células transformadas con Fab K1-70 pero no inducidas	1:2	11,4	8,0
	1:4	12,3	0,7
	1:8	10,9	12,4
	1:16	11,8	5,0
	1:32	12,6	-1,4
	1:64	11,9	3,9
	1:128	11,5	7,6
	1:256	10,8	13,5
	1:512	10,4	16,3
1:1024	10,7	14,2	

Muestra de ensayo	Dilución de sobrenadante de cultivo (o concentración ¹ de Fab K1- 70 ng/ml)	% de unión de ¹²⁵ I-TSH	% de inhibición ²
Células transformadas con Fab K1-70 e inducidas	1:2 (700)	1,0	91,9
	1:4 (350)	1,3	89,4
	1:8 (175)	1,5	87,8
	1:16 (87,5)	1,3	89,6
	1:32 (44,8)	1,5	88,0
	1:64 (22,4)	3,4	72,9
	1:128 (11,2)	6,1	51,3
	1:256 (5,6)	9,0	27,9
	1:512 (2,8)	10,8	13,1
	1:1024 (1,4)	11,6	6,6
Fab K1-70 (de IgG producido de hibridoma)	(100)	1,6	87,5
	(50)	1,7	86,1
	(25)	2,2	81,9
	(10)	6,6	47,0
	(5)	9,9	20,0
	(2,5)	11,0	11,5
	(1)	12,4	0,4

Concentración de Fab K1-70 recombinante en sobrenadante de cultivo medida usando el kit de ensayo de IgG Humano de Easy-Titer (H=L) (Pierce Biotechnology) usando diferentes concentraciones de Fab K1-70 producido por hibridoma como una curva de calibración,
²La inhibición de la unión se calculó usando la fórmula: % de inhibición = 100 - [A/B x 100] en la que A = % de unión de ¹²⁵I-TSH en presencia de la muestra en ensayo; y B = % de la unión de ¹²⁵I-TSH en presencia de tampón de ensayo (NaCl 50 mM, Tris 10 mM, pH 7,8, Triton X-100 1 % y BSA 1 mg/ml),

Tabla 17b Inhibición de la estimulación mediada por TSH de la producción de AMP cíclico en células CHO que expresan el TSHR por Fab K1-70 recombinante expresado en células de *E. coli* HB2151

Muestra de ensayo	Dilución ² de sobrenadante de cultivo (o concentración ³ de Fab K1-70 ng/ml)	Media AMP cíclico (pmol/ml) ± DT (n = 3)	% de inhibición de la estimulación por TSH del AMP cíclico ⁴
Tampón de ensayo ¹ solamente		2,39 ± 0,20	
TSH 3 ng/ml		61,87 ± 2,74	0
Células transformadas con Fab K1-70 pero no inducidas	1:10	5,67 ± 0,31	
Células transformadas con Fab K1-70 pero no inducidas + TSH 3 ng/ml	1:5	70,95 ± 6,32	-14,7
	1:10	76,24 ± 6,55	-23,2
	1:20	67,11 ± 3,51	-8,5
	1:40	61,05 ± 8,44	1,3
	1:80	64,94 ± 5,20	-5,0
Células inducidas y transformadas con Fab K1-70	1:10(140)	274 ± 0,59	
Células inducidas y transformadas con Fab K1-70 + TSH 3 ng/ml	1:5 (280)	6,64 ± 0,07	89,3
	1:10 (140)	9,71 ± 1,50	84,3
	1:20 (70)	18,55 ± 3,30	70,0
	1:40 (35)	37,29 ± 6,47	39,7
	1:80 (17,5)	51,68 ± 3,59	16,5
Fab K1-70 (de IgG producido por hibridoma)	(100.000)	1,71 ± 0,36	
Fab K1-70 (de IgG producido por hibridoma) + TSH 3ng/ml	(100.000)	1,66 ± 0,08	97,3
	(10.000)	2,20 ± 0,17	96,4
	(1.000)	3,11 ± 0,09	95,0
	(100)	6,52 ± 0,07	89,5
	(10)	55,13 ± 5,26	10,9

Muestra de ensayo	Dilución ² de sobrenadante de cultivo (o concentración ³ de Fab K1-70 ng/ml)	Media AMP cíclico (pmol/ml) ± DT (n = 3)	% de inhibición de la estimulación por TSH del AMP cíclico ⁴
¹ Tampón de ensayo: Solución salina tamponada de Hank (sin NaCl) que contiene glucosa 1 g/l, HEPES 20 mmol/l, sacarosa 222 mmol/l, BSA 15 g/l y 2-isobutil-1-metilxantina 0,5 mmol/l pH 7,4 ² Diluciones en tampón de ensayo ³ Concentración de Fab K1-70 recombinante en sobrenadante de cultivo medido usando el kit de ensayo de IgG Humana (H=L) Easy-Titer (Pierce Biotechnology) usando diferentes concentraciones de Fab K1-70 producido por hibridoma como una curva de calibración ⁴ % de inhibición de la estimulación por TSH del AMP cíclico: % de inhibición = 100 – [A/B x 100] en la que A = estimulación de AMP cíclico por TSH 3 ng/ml en presencia de muestra de ensayo; y B = estimulación de AMP cíclico por TSH 3 ng/ml.			

LISTADO DE SECUENCIAS

5	<110> RSR Limited <120> Anticuerpos <130> P110921GB <160> 85 <170> Patent In versión 3.5		
10	<210> 1 <211> 687 <212> ADN <213> <i>Homo sapiens</i> <400> 1		
15		gaagtgcagc tgggtggagtc tggagcagag gtgaaaaagc ccgggggagtc tctgaagatc 60 tcctgcaagg gttctggata cagctttacc aactactgga tgggctgggt gcgccagatg 120 cccgggaaag gcctggagtg gatggggatc atctatcctt atgactctga taccagatat 180 agcccgtcct tcgaaggcca ggtcaccatc tcagccgaca agtccatcag gaccgcctac 240 ctgcactgga gcagcctgaa ggctcggac accgccatgt attactgtgt gagaccccgc 300 gatgggagct atccttatga tgcttttgat atctggggcc aagggacaat ggtcaccgtc 360 tcttcagcct ccaccaaggg cccatcggtc ttecccctgg caccctcctc caagagcacc 420 tctgggggca cagcggccct gggctgectg gtcaaggact acttccccga accggtgacg 480 gtgtcgtgga actcaggcgc cctgaccagc ggcgtgcaca ccttccccgc tgtectacag 540 tcctcaggac tctactcct cagcagcgtg gtgaccgtgc cctccagcag cttgggcacc 600 cagacctaca tctgcaacgt gaatcacaag cccagcaaca ccaaggtgga caagagagtt 660 gagcccaaat cttgtgacaa aactagt 687	
20	<210> 2 <211> 15 <212> ADN <213> <i>Homo sapiens</i> <400> 2 aactactgga tcggc 15		
25	<210> 3 <211> 51 <212> ADN <213> <i>Homo sapiens</i> <400> 3		
30	atcatctatc cttatgactc tgataccaga tatagcccgt ccttgaagg c		51

<210> 4
 <211> 39
 <212> ADN
 <213> *Homo sapiens*
 <400> 4
 ccccgcatg ggagctatcc ttatgatgct tttgatatc 39

5

<210> 5
 <211> 229
 <212> PRT
 <213> *Homo sapiens*
 <400> 5

10

Glu Val Gln Leu Val Glu Ser Gly Ala Glu Val Lys Lys Pro Gly Glu
 1 5 10 15
 Ser Leu Lys Ile Ser Cys Lys Gly Ser Gly Tyr Ser Phe Thr Asn Tyr
 20 25 30
 Trp Ile Gly Trp Val Arg Gln Met Pro Gly Lys Gly Leu Glu Trp Met
 35 40 45
 Gly Ile Ile Tyr Pro Tyr Asp Ser Asp Thr Arg Tyr Ser Pro Ser Phe
 50 55 60
 Glu Gly Gln Val Thr Ile Ser Ala Asp Lys Ser Ile Arg Thr Ala Tyr
 65 70 75 80
 Leu His Trp Ser Ser Leu Lys Ala Ser Asp Thr Ala Met Tyr Tyr Cys
 85 90 95
 Val Arg Pro Arg Asp Gly Ser Tyr Pro Tyr Asp Ala Phe Asp Ile Trp
 100 105 110
 Gly Gln Gly Thr Met Val Thr Val Ser Ser Ala Ser Thr Lys Gly Pro
 115 120 125
 Ser Val Phe Pro Leu Ala Pro Ser Ser Lys Ser Thr Ser Gly Gly Thr
 130 135 140
 Ala Ala Leu Gly Cys Leu Val Lys Asp Tyr Phe Pro Glu Pro Val Thr
 145 150 155 160
 Val Ser Trp Asn Ser Gly Ala Leu Thr Ser Gly Val His Thr Phe Pro
 165 170 175
 Ala Val Leu Gln Ser Ser Gly Leu Tyr Ser Leu Ser Ser Val Val Thr
 180 185 190
 Val Pro Ser Ser Ser Leu Gly Thr Gln Thr Tyr Ile Cys Asn Val Asn
 195 200 205
 His Lys Pro Ser Asn Thr Lys Val Asp Lys Arg Val Glu Pro Lys Ser
 210 215 220
 Cys Asp Lys Thr Ser
 225

15

<210> 6
 <211> 5
 <212> PRT
 <213> *Homo sapiens*
 <400> 6

20

Asn Tyr Trp Ile Gly
 1 5

25

<210> 7
 <211> 17
 <212> PRT
 <213> *Homo sapiens*
 <400> 7

Ile Ile Tyr Pro Tyr Asp Ser Asp Thr Arg Tyr Ser Pro Ser Phe Glu
 1 5 10 15
 Gly

30

ES 2 540 538 T3

```

5      <210> 8
      <211> 13
      <212> PRT
      <213> Homo sapiens
      <400> 8

              Pro Arg Asp Gly Ser Tyr Pro Tyr Asp Ala Phe Asp Ile
              1             5             10

10     <210> 9
      <211> 57
      <212> ADN
      <213> Homo sapiens
      <400> 9
15     atggggtcaa ccgccatcct cgcctcctc ctgggtgttc tccaaggagt ctgtggc          57

      <210> 10
      <211> 672
      <212> ADN
      <213> Homo sapiens
      <400> 10

      gaggtgcagc tgggtgcagtc tggagcagag gtgaaaaagc ccggggagtc tctgaagatc          60
      tcctgcaagg gttctggata cagctttacc aactactgga tcggetgggt gcgccagatg          120
      cccgggaaag gcctggagtg gatggggatc atctatcctt atgactctga taccagatat          180
      agcccgtcct tcgaaggcca ggtcaccatc tcagccgaca agtccatcag gaccgcctac          240
      ctgcaactgga gcagcctgaa ggcctcggac accgccatgt attactgtgt gagaccccgc          300
      gatgggagct atccttatga tgcttttgat atctggggcc aagggacaat ggtcaccgtc          360
      tcttcagcct ccaccaaggg cccatcggtc tccccctgg caccctcctc caagagcacc          420
      tctgggggca cagcggccct gggctgcctg gtcaaggact acttccccga accggtgacg          480
      gtgtcgtgga actcaggcgc cctgaccagc ggcgtgcaca ccttcccggc tgtcctacag          540
      tcctcaggac tctactcctc cagcagcgtg gtgaccgtgc cctccagcag cttgggcacc          600
      cagacctaca tctgcaacgt gaatcacaag cccagcaaca ccaaggtgga caagacagtt          660
      gagcgcaaat ct          672

25     <210> 11
      <211> 15
      <212> ADN
      <213> Homo sapiens
      <400> 11
30     aactactgga tcggc          15

      <210> 12
      <211> 51
      <212> ADN
      <213> Homo sapiens
      <400> 12
35     atcatctatc cttatgactc tgataccaga tatagcccgt ccttgaagg c          51

40     <210> 13
      <211> 39
      <212> ADN
      <213> Homo sapiens
      <400> 13

```

ES 2 540 538 T3

ccccgcgatg ggagctatcc ttatgatgct tttgatatc 39

5 <210> 14
 <211> 19
 <212> PRT
 <213> *Homo sapiens*
 <400> 14

Met Gly Ser Thr Ala Ile Leu Ala Leu Leu Leu Gly Val Leu Gln Gly
 1 5 10 15
 Val Cys Gly

10 <210> 15
 <211> 224
 <212> PRT
 <213> *Homo sapiens*
 15 <400> 15

Glu Val Gln Leu Val Gln Ser Gly Ala Glu Val Lys Lys Pro Gly Glu
 1 5 10 15
 Ser Leu Lys Ile Ser Cys Lys Gly Ser Gly Tyr Ser Phe Thr Asn Tyr
 20 25 30
 Trp Ile Gly Trp Val Arg Gln Met Pro Gly Lys Gly Leu Glu Trp Met
 35 40 45
 Gly Ile Ile Tyr Pro Tyr Asp Ser Asp Thr Arg Tyr Ser Pro Ser Phe
 50 55 60
 Glu Gly Gln Val Thr Ile Ser Ala Asp Lys Ser Ile Arg Thr Ala Tyr
 65 70 75 80
 Leu His Trp Ser Ser Leu Lys Ala Ser Asp Thr Ala Met Tyr Tyr Cys
 85 90 95
 Val Arg Pro Arg Asp Gly Ser Tyr Pro Tyr Asp Ala Phe Asp Ile Trp
 100 105 110
 Gly Gln Gly Thr Met Val Thr Val Ser Ser Ala Ser Thr Lys Gly Pro
 115 120 125
 Ser Val Phe Pro Leu Ala Pro Ser Ser Lys Ser Thr Ser Gly Gly Thr
 130 135 140
 Ala Ala Leu Gly Cys Leu Val Lys Asp Tyr Phe Pro Glu Pro Val Thr
 145 150 155 160
 Val Ser Trp Asn Ser Gly Ala Leu Thr Ser Gly Val His Thr Phe Pro
 165 170 175
 Ala Val Leu Gln Ser Ser Gly Leu Tyr Ser Leu Ser Ser Val Val Thr
 180 185 190
 Val Pro Ser Ser Ser Leu Gly Thr Gln Thr Tyr Ile Cys Asn Val Asn
 195 200 205
 His Lys Pro Ser Asn Thr Lys Val Asp Lys Thr Val Glu Arg Lys Ser
 210 215 220

20 <210> 16
 <211> 5
 <212> PRT
 <213> *Homo sapiens*
 <400> 16

Asn Tyr Trp Ile Gly
 1 5

25 <210> 17
 <211> 17
 <212> PRT
 <213> *Homo sapiens*
 30 <400> 17

Ile Ile Tyr Pro Tyr Asp Ser Asp Thr Arg Tyr Ser Pro Ser Phe Glu
 1 5 10 15
 Gly

5 <210> 18
 <211> 13
 <212> PRT
 <213> *Homo sapiens*
 <400> 18

Pro Arg Asp Gly Ser Tyr Pro Tyr Asp Ala Phe Asp Ile
 1 5 10

10 <210> 19
 <211> 618
 <212> ADN
 <213> *Homo sapiens*
 15 <400> 19

gaaattgtgt tgacgcagtc tccaggcacc ctgtctttgt ctccagggga aagagccacc 60
 ctctcctgca gggccagtca gagtgttagc aacaactact tagcctggta ccagcagaag 120
 cctggccagg ctcccaggct cctcatctat ggtgcatcca gcagggccac tggcatccca 180
 gacaggttca gtggcagtgg gtctgggaca gacttcactc tcaccatcag cagactggag 240
 cctgaagatt ttgcagtgta ttactgtcag cattgtggta gctcaactgag ggcgttcggc 300
 caagggacca aggtggaaat caaacgaact gtggctgcac catctgtctt catcttcccg 360
 ccatctgatg agcagttgaa atctggaact gcctctgttg tgtgctgct gaataacttc 420
 tatccagag aggccaaagt acagtggaag gtggataacg ccctccaatc gggttaactcc 480
 caggagagtg tcacagagca ggacagcaag gacagcacct acagcctcag cagcacctg 540
 acgctgagca aagcagacta cgagaaacac aaactctacg cctgcgaagt cacccatcag 600
 ggctgagct cgcccgtc 618

20 <210> 20
 <211> 36
 <212> ADN
 <213> *Homo sapiens*
 <400> 20
 25 agggccagtc agagtgttag caacaactac ttagcc 36

<210> 21
 <211> 21
 <212> ADN
 <213> *Homo sapiens*
 30 <400> 21
 ggtgcatcca gcagggccac t 21

<210> 22
 <211> 27
 <212> ADN
 <213> *Homo sapiens*
 <400> 22
 35 cagcattgtg gtagctcact gagggcg 27

40 <210> 23

<211> 206
 <212> PRT
 <213> *Homo sapiens*
 <400> 23

5

```

Glu Ile Val Leu Thr Gln Ser Pro Gly Thr Leu Ser Leu Ser Pro Gly
1          5          10          15
Glu Arg Ala Thr Leu Ser Cys Arg Ala Ser Gln Ser Val Ser Asn Asn
          20          25          30

Tyr Leu Ala Trp Tyr Gln Gln Lys Pro Gly Gln Ala Pro Arg Leu Leu
          35          40          45
Ile Tyr Gly Ala Ser Ser Arg Ala Thr Gly Ile Pro Asp Arg Phe Ser
          50          55          60
Gly Ser Gly Ser Gly Thr Asp Phe Thr Leu Thr Ile Ser Arg Leu Glu
65          70          75          80
Pro Glu Asp Phe Ala Val Tyr Tyr Cys Gln His Cys Gly Ser Ser Leu
          85          90          95
Arg Ala Phe Gly Gln Gly Thr Lys Val Glu Ile Lys Arg Thr Val Ala
          100          105          110
Ala Pro Ser Val Phe Ile Phe Pro Pro Ser Asp Glu Gln Leu Lys Ser
          115          120          125
Gly Thr Ala Ser Val Val Cys Leu Leu Asn Asn Phe Tyr Pro Arg Glu
          130          135          140
Ala Lys Val Gln Trp Lys Val Asp Asn Ala Leu Gln Ser Gly Asn Ser
145          150          155          160
Gln Glu Ser Val Thr Glu Gln Asp Ser Lys Asp Ser Thr Tyr Ser Leu
          165          170          175
Ser Ser Thr Leu Thr Leu Ser Lys Ala Asp Tyr Glu Lys His Lys Leu
          180          185          190
Tyr Ala Cys Glu Val Thr His Gln Gly Leu Ser Ser Pro Val
          195          200          205
    
```

<210> 24
 <211> 12
 <212> PRT
 <213> *Homo sapiens*
 <400> 24

10

```

Arg Ala Ser Gln Ser Val Ser Asn Asn Tyr Leu Ala
1          5          10
    
```

15

<210> 25
 <211> 7
 <212> PRT
 <213> *Homo sapiens*
 <400> 25

20

```

Gly Ala Ser Ser Arg Ala Thr
1          5
    
```

25

<210> 26
 <211> 9
 <212> PRT
 <213> *Homo sapiens*
 <400> 26

30

```

Gln His Cys Gly Ser Ser Leu Arg Ala
1          5
    
```

<210> 27
 <211> 60

ES 2 540 538 T3

<212> ADN
 <213> *Homo sapiens*
 <400> 27
 atggaacc cagcgagct tctctctc ctgtactct ggctccaga taccaccga 60
 5
 <210> 28
 <211> 621
 <212> ADN
 <213> *Homo sapiens*
 <400> 28
 10 gaaattgt tgacgcagtc tcaggcacc ctgtcttgt ctccaggga aagagccacc 60
 ctctctgca gggccagtca gagtgttagc aacaactact tagcctggta ccagcagaag 120
 cctggccagg etcccaggct cctcatctat ggtgcatcca gcagggccac tggcatccca 180
 gacaggttca gtggcagtgg gtctgggaca gacttcactc tcaccatcag cagactggag 240
 cctgaagatt ttgcagtgta ttactgtcag cattgtggta gtcactgag ggcgttcggc 300
 caagggacca aggtggaat caaacgaact gtggctgcac catctgtctt catcttcccg 360
 ccatctgatg agcagttgaa atctggaact gcctctgttg tgtgctgct gaataacttc 420
 tatcccagag aggccaaagt acagtggaag gtggataacg ccctccaatc gggtaactcc 480
 caggagagtg tcacagagca ggacagcaag gacagcacct acagcctcag cagcaccctg 540
 acgctgagca aagcagacta cgagaaacac aaactctacg cctgcgaagt cacccatcag 600
 ggcctgagct cgcccgtcac a 621
 15
 <210> 29
 <211> 36
 <212> ADN
 <213> *Homo sapiens*
 <400> 29
 20 agggccagtc agagtgttag caacaactac ttagcc 36
 <210> 30
 <211> 21
 <212> ADN
 <213> *Homo sapiens*
 <400> 30
 25 ggtgcatcca gcaggccac t 21
 <210> 31
 <211> 27
 <212> ADN
 <213> *Homo sapiens*
 <400> 31
 30 cagcattgtg gtagctcact gagggcg 27
 <210> 32
 <211> 20
 <212> PRT
 <213> *Homo sapiens*
 <400> 32
 35
 40 Met Glu Thr Pro Ala Gln Leu Leu Phe Leu Leu Leu Leu Trp Leu Pro
 1 5 10 15
 Asp Thr Thr Gly
 20
 <210> 33
 <211> 207

<212> PRT
 <213> *Homo sapiens*
 <400> 33

Glu Ile Val Leu Thr Gln Ser Pro Gly Thr Leu Ser Leu Ser Pro Gly
 1 5 10 15
 Glu Arg Ala Thr Leu Ser Cys Arg Ala Ser Gln Ser Val Ser Asn Asn

20 25 30
 Tyr Leu Ala Trp Tyr Gln Gln Lys Pro Gly Gln Ala Pro Arg Leu Leu
 35 40 45
 Ile Tyr Gly Ala Ser Ser Arg Ala Thr Gly Ile Pro Asp Arg Phe Ser
 50 55 60
 Gly Ser Gly Ser Gly Thr Asp Phe Thr Leu Thr Ile Ser Arg Leu Glu
 65 70 75 80
 Pro Glu Asp Phe Ala Val Tyr Tyr Cys Gln His Cys Gly Ser Ser Leu
 85 90 95
 Arg Ala Phe Gly Gln Gly Thr Lys Val Glu Ile Lys Arg Thr Val Ala
 100 105 110
 Ala Pro Ser Val Phe Ile Phe Pro Pro Ser Asp Glu Gln Leu Lys Ser
 115 120 125
 Gly Thr Ala Ser Val Val Cys Leu Leu Asn Asn Phe Tyr Pro Arg Glu
 130 135 140
 Ala Lys Val Gln Trp Lys Val Asp Asn Ala Leu Gln Ser Gly Asn Ser
 145 150 155 160
 Gln Glu Ser Val Thr Glu Gln Asp Ser Lys Asp Ser Thr Tyr Ser Leu
 165 170 175
 Ser Ser Thr Leu Thr Leu Ser Lys Ala Asp Tyr Glu Lys His Lys Leu
 180 185 190
 Tyr Ala Cys Glu Val Thr His Gln Gly Leu Ser Ser Pro Val Thr
 195 200 205

5

<210> 34
 <211> 12
 <212> PRT
 <213> *Homo sapiens*
 <400> 34

10

Arg Ala Ser Gln Ser Val Ser Asn Asn Tyr Leu Ala
 1 5 10

15

<210> 35
 <211> 7
 <212> PRT
 <213> *Homo sapiens*
 <400> 35

20

Gly Ala Ser Ser Arg Ala Thr
 1 5

25

<210> 36
 <211> 9
 <212> PRT
 <213> *Homo sapiens*
 <400> 36

Gln His Cys Gly Ser Ser Leu Arg Ala
 1 5

30

<210> 37
 <211> 679

ES 2 540 538 T3

<212> ADN
 <213> *Homo sapiens*
 <400> 37

caggttcagc tgggtgcagtc tggagcagag gtgaaaaagc ccgggcagtc tctgaagatc 60
 tcctgtaagg cttctggata cagcttaacc gacaactgga tcggctgggt gcgccagaag 120
 cccgggaaag gcctggagtg gatggggatc atctatcctg gtgactctga caccagatac 180
 agtccgtcct tccaaggcca ggtcaccatc tcagccgaca agtccatcaa caccgcctac 240
 ctgcagtgga gcagcctgaa ggccctcggac accgccatat attactgtgt gggactcgat 300
 tggaaactaca accccctgcg atactggggc ccgggaaccc tggtcaccgt ctctcagcc 360
 tccaccaagg gcccatcggc cttccccctg gcaccctcct ccaagagcac ctctgggggc 420
 acagcggccc tgggctgcct ggtcaaggac tacttccccg aaccggtgac ggtgtcgtgg 480
 aactcaggcg ccctgaccag cggcgtgcac accttccccg ctgtcctaca gtcctcagga 540
 ctctactccc tcagcagcgt ggtgaccgtg ccctccagca gcttggggac ccagacctac 600
 atctgcaacg tgaatcacia gccacagcaac accaaggtgg acaagaaagt tgagcccaaa 660
 tcttgtgaca aaactagtg 679

5

<210> 38
 <211> 15
 <212> ADN
 <213> *Homo sapiens*
 <400> 38
 gacaactgga tcggc 15

10

<210> 39
 <211> 51
 <212> ADN
 <213> *Homo sapiens*
 <400> 39
 atcatctatc ctggtgactc tgacaccaga tacagtccgt cctccaagg c 51

20

<210> 40
 <211> 30
 <212> ADN
 <213> *Homo sapiens*
 <400> 40
 ctcgattgga actacaaccc cctgcgatac 30

25

<210> 41
 <211> 226
 <212> PRT
 <213> *Homo sapiens*
 <400> 41

30

Gln Val Gln Leu Val Gln Ser Gly Ala Glu Val Lys Lys Pro Gly Gln
 1 5 10 15
 Ser Leu Lys Ile Ser Cys Lys Ala Ser Gly Tyr Ser Leu Thr Asp Asn
 20 25 30
 Trp Ile Gly Trp Val Arg Gln Lys Pro Gly Lys Gly Leu Glu Trp Met
 35 40 45
 Gly Ile Ile Tyr Pro Gly Asp Ser Asp Thr Arg Tyr Ser Pro Ser Phe
 50 55 60
 Gln Gly Gln Val Thr Ile Ser Ala Asp Lys Ser Ile Asn Thr Ala Tyr
 65 70 75 80
 Leu Gln Trp Ser Ser Leu Lys Ala Ser Asp Thr Ala Ile Tyr Tyr Cys
 85 90 95
 Val Gly Leu Asp Trp Asn Tyr Asn Pro Leu Arg Tyr Trp Gly Pro Gly
 100 105 110
 Thr Leu Val Thr Val Ser Ser Ala Ser Thr Lys Gly Pro Ser Val Phe
 115 120 125
 Pro Leu Ala Pro Ser Ser Lys Ser Thr Ser Gly Gly Thr Ala Ala Leu

130 135 140
 Gly Cys Leu Val Lys Asp Tyr Phe Pro Glu Pro Val Thr Val Ser Trp
 145 150 155 160
 Asn Ser Gly Ala Leu Thr Ser Gly Val His Thr Phe Pro Ala Val Leu
 165 170 175
 Gln Ser Ser Gly Leu Tyr Ser Leu Ser Ser Val Val Thr Val Pro Ser
 180 185 190
 Ser Ser Leu Gly Thr Gln Thr Tyr Ile Cys Asn Val Asn His Lys Pro
 195 200 205
 Ser Asn Thr Lys Val Asp Lys Lys Val Glu Pro Lys Ser Cys Asp Lys
 210 215 220
 Thr Ser
 225

<210> 42
 <211> 5
 <212> PRT
 <213> *Homo sapiens*
 <400> 42

Asp Asn Trp Ile Gly
 1 5

<210> 43
 <211> 17
 <212> PRT
 <213> *Homo sapiens*
 <400> 43

Ile Ile Tyr Pro Gly Asp Ser Asp Thr Arg Tyr Ser Pro Ser Phe Gln
 1 5 10 15
 Gly

<210> 44
 <211> 10
 <212> PRT
 <213> *Homo sapiens*
 <400> 44

Leu Asp Trp Asn Tyr Asn Pro Leu Arg Tyr
 1 5 10

ES 2 540 538 T3

<210> 45
 <211> 57
 <212> ADN
 <213> *Homo sapiens*
 <400> 45
 atggggtaa cgcctatcct cgcctcctc ctggctgttc tccagggagt ctgtgcc 57

<210> 46
 <211> 663
 <212> ADN
 <213> *Homo sapiens*
 <400> 46

gaggtgcagc tgggtgcagtc tggagcagag gtgaaaaagc ccgggcagtc tctgaagatc 60
tcctgtaagg cttctggata cagcttaacc gacaactgga tcggctgggt gcgccagaag 120
cccgggaaag gcctggagtg gatggggatc atctatcctg gtgactctga caccagatac 180
agtccgtcct tccaaggcca ggtcaccatc tcagccgaca agtccatcaa caccgcctac 240

ctgcagtgga gcagcctgaa ggcctcggac accgccaatattactgtgt gggactcgat 300
tggaactaca accccctgcg atactggggc ccgggaaccc tggtcaccgt ctctcagcc 360
tccaccaagg gcccatcggg cttccccctg gcaccctcct ccaagagcac ctctgggggc 420
acagcggccc tgggctgcct ggtcaaggac tacttccccg aaccggtgac ggtgtcgtgg 480
aactcaggcg ccctgaccag cggcgtgcac accttccccg ctgtcctaca gtcctcagga 540
ctctactccc tcagcagcgt ggtgaccgtg ccctccagca gcttgggcac ccagacctac 600
atctgcaacg tgaatcacia gccagcaac accaagggtg acaagacagt tgagcgcaaa 660
tct 663

<210> 47
 <211> 15
 <212> ADN
 <213> *Homo sapiens*
 <400> 47
 gacaactgga tcggc 15

<210> 48
 <211> 51
 <212> ADN
 <213> *Homo sapiens*
 <400> 48
 atcatctatc ctggtgactc tgacaccaga tacagtcctg cctccaagg c 51

<210> 49
 <211> 30
 <212> ADN
 <213> *Homo sapiens*
 <400> 49
 ctcgattgga actacaacc cctgcgatac 30

<210> 50
 <211> 19
 <212> PRT
 <213> *Homo sapiens*
 <400> 50

Met Gly Ser Thr Ala Ile Leu Ala Leu Leu Leu Ala Val Leu Gln Gly
 1 5 10 15
 Val Cys Ala

5 <210> 51
 <211> 221
 <212> PRT
 <213> *Homo sapiens*
 <400> 51

Glu Val Gln Leu Val Gln Ser Gly Ala Glu Val Lys Lys Pro Gly Gln
 1 5 10 15
 Ser Leu Lys Ile Ser Cys Lys Ala Ser Gly Tyr Ser Leu Thr Asp Asn
 20 25 30
 Trp Ile Gly Trp Val Arg Gln Lys Pro Gly Lys Gly Leu Glu Trp Met
 35 40 45
 Gly Ile Ile Tyr Pro Gly Asp Ser Asp Thr Arg Tyr Ser Pro Ser Phe
 50 55 60

Gln Gly Gln Val Thr Ile Ser Ala Asp Lys Ser Ile Asn Thr Ala Tyr
 65 70 75 80
 Leu Gln Trp Ser Ser Leu Lys Ala Ser Asp Thr Ala Ile Tyr Tyr Cys
 85 90 95
 Val Gly Leu Asp Trp Asn Tyr Asn Pro Leu Arg Tyr Trp Gly Pro Gly
 100 105 110
 Thr Leu Val Thr Val Ser Ser Ala Ser Thr Lys Gly Pro Ser Val Phe
 115 120 125
 Pro Leu Ala Pro Ser Ser Lys Ser Thr Ser Gly Gly Thr Ala Ala Leu
 130 135 140
 Gly Cys Leu Val Lys Asp Tyr Phe Pro Glu Pro Val Thr Val Ser Trp
 145 150 155 160
 Asn Ser Gly Ala Leu Thr Ser Gly Val His Thr Phe Pro Ala Val Leu
 165 170 175
 Gln Ser Ser Gly Leu Tyr Ser Leu Ser Ser Val Val Thr Val Pro Ser
 180 185 190
 Ser Ser Leu Gly Thr Gln Thr Tyr Ile Cys Asn Val Asn His Lys Pro
 195 200 205
 Ser Asn Thr Lys Val Asp Lys Thr Val Glu Arg Lys Ser
 210 215 220

10 <210> 52
 <211> 5
 <212> PRT
 <213> *Homo sapiens*
 15 <400> 52

Asp Asn Trp Ile Gly
 1 5

20 <210> 53
 <211> 17
 <212> PRT
 <213> *Homo sapiens*
 <400> 53

Ile Ile Tyr Pro Gly Asp Ser Asp Thr Arg Tyr Ser Pro Ser Phe Gln
 1 5 10 15
 Gly

25

ES 2 540 538 T3

<210> 54
 <211> 10
 <212> PRT
 <213> *Homo sapiens*
 <400> 54

Leu Asp Trp Asn Tyr Asn Pro Leu Arg Tyr
1 5 10

<210> 55
 <211> 639
 <212> ADN
 <213> *Homo sapiens*
 <400> 55

ctgcctgtgc tgactcagcc accctcagtg tccgtgtccc caggacagac agccagcatc 60
 acctgctctg gagataaatt gggggataaa tatgcttgct ggtatcagca gaagccaggc 120
 cagtcccctg tgctggatcat ctatcaagat agcaagcggc cctcagggat ccctgagcga 180
 ttctctggct ccaactctgg gaacacagcc actctgacca tcagcgggac ccaggctatg 240
 gatgaggctg actattactg tcaggcgtgg gacagcagca ctgccgtggt attcggcgga 300
 gggaccaage tgaccgtcct aggtcagccc aaggctgccc cctcggtcac tctgttcccg 360
 ccctcctctg aggagcttca agccaacaag gccacactgg tgtgtctcat aagtgacttc 420
 taccggggag ccgtgacagt ggcctggaag gcagatagca gccccgtcaa ggcgggagtg 480
 gagaccacca caccctcaa acaaagcaac aacaagtacg cggccagcag ctatctgagc 540
 ctgacgcctg agcagtgga gtcccacaga agctacagct gccaggtcac gcatgaaggg 600
 agcaccgtgg agaagacagt ggcccctaca gaatgttca 639

<210> 56
 <211> 33
 <212> ADN
 <213> *Homo sapiens*
 <400> 56
 tctggagata aattggggga taaatatgct tgc 33

<210> 57
 <211> 21
 <212> ADN
 <213> *Homo sapiens*
 <400> 57
 caagatagca agcggcctc a 21

<210> 58
 <211> 30
 <212> ADN
 <213> *Homo sapiens*
 <400> 58
 caggcgtggg acagcagcac tgccgtgta 30

<210> 59
 <211> 213
 <212> PRT
 <213> *Homo sapiens*
 <400> 59

Leu Pro Val Leu Thr Gln Pro Pro Ser Val Ser Val Ser Pro Gly Gln
 1 5 10 15
 Thr Ala Ser Ile Thr Cys Ser Gly Asp Lys Leu Gly Asp Lys Tyr Ala
 20 25 30
 Cys Trp Tyr Gln Gln Lys Pro Gly Gln Ser Pro Val Leu Val Ile Tyr
 35 40 45
 Gln Asp Ser Lys Arg Pro Ser Gly Ile Pro Glu Arg Phe Ser Gly Ser
 50 55 60
 Asn Ser Gly Asn Thr Ala Thr Leu Thr Ile Ser Gly Thr Gln Ala Met
 65 70 75 80
 Asp Glu Ala Asp Tyr Cys Gln Ala Trp Asp Ser Ser Thr Ala Val
 85 90 95
 Val Phe Gly Gly Gly Thr Lys Leu Thr Val Leu Gly Gln Pro Lys Ala
 100 105 110
 Ala Pro Ser Val Thr Leu Phe Pro Pro Ser Ser Glu Glu Leu Gln Ala
 115 120 125
 Asn Lys Ala Thr Leu Val Cys Leu Ile Ser Asp Phe Tyr Pro Gly Ala
 130 135 140
 Val Thr Val Ala Trp Lys Ala Asp Ser Ser Pro Val Lys Ala Gly Val
 145 150 155 160
 Glu Thr Thr Thr Pro Ser Lys Gln Ser Asn Asn Lys Tyr Ala Ala Ser

 165 170 175
 Ser Tyr Leu Ser Leu Thr Pro Glu Gln Trp Lys Ser His Arg Ser Tyr
 180 185 190
 Ser Cys Gln Val Thr His Glu Gly Ser Thr Val Glu Lys Thr Val Ala
 195 200 205
 Pro Thr Glu Cys Ser
 210

5 <210> 60
 <211> 11
 <212> PRT
 <213> *Homo sapiens*
 <400> 60

Ser Gly Asp Lys Leu Gly Asp Lys Tyr Ala Cys
 1 5 10

10 <210> 61
 <211> 7
 <212> PRT
 <213> *Homo sapiens*
 15 <400> 61

Gln Asp Ser Lys Arg Pro Ser
 1 5

20 <210> 62
 <211> 10
 <212> PRT
 <213> *Homo sapiens*
 <400> 62

Gln Ala Trp Asp Ser Ser Thr Ala Val Val
 1 5 10

25 <210> 63
 <211> 57
 <212> ADN
 30 <213> *Homo sapiens*

ES 2 540 538 T3

<400> 63
atggcctggt ctctctct cctcaccct ctcttctact gcacagggtc ctgggcc 57

5
<210> 64
<211> 648
<212> ADN
<213> *Homo sapiens*
<400> 64

 cagtctgtgt tgacgcagcc gccctcagtg totgoggccc caggacagaa ggtcaccatt 60
 tcctgctccg gaagcagctc cgacattggg agtaattatg tatcctggta ccagcagttc 120
 ccgggaacag cccccaaact cctcatttat gacaataata agcgaccctc agcgattcct 180
 gaccgattct ctggctccaa gtctggcacg tcagccacce tgggcatcac cggactccag 240
 actggggacg aggccgatta ttactgcgga acatgggata gcagactggg tattgctgtg 300
 ttcggaggag gcaccagct gaccgtcctc ggtcagccca aggetgcccc atcggtcact 360
 ctgttcccac cctcctctga ggagcttcaa gccacaagg ccacactggt gtgtctcgta 420
 agtgacttct acccgggagc cgtgacagtg gcctggaagg cagatggcag ccccgtaag 480

10
 gtgggagtgg agaccaccaa accctccaaa caaagcaaca acaagtatgc ggccagcagc 540
 tacctgagcc tgacgcccga gcagtggaag tcccacagaa gctacagctg ccgggtcacg 600
 catgaagga gcaccgtgga gaagacagtg gccctacag aatgttca 648

15
<210> 65
<211> 39
<212> ADN
<213> *Homo sapiens*
<400> 65
tccggaagca gctccgacat tgggagtaat tatgtatcc 39

20
<210> 66
<211> 21
<212> ADN
<213> *Homo sapiens*
<400> 66
gacaataata agcgaccctc a 21

25
<210> 67
<211> 33
<212> ADN
<213> *Homo sapiens*
<400> 67
ggaacatggg atagcagact ggtattgct gtg 33

30
<210> 68
<211> 19
<212> PRT
<213> *Homo sapiens*
<400> 68

35
 Met Ala Trp Ser Pro Leu Leu Leu Thr Leu Leu Ile His Cys Thr Gly
 1 5 10 15
 Ser Trp Ala

40
<210> 69
<211> 216

<212> PRT
 <213> *Homo sapiens*
 <400> 69

Gln Ser Val Leu Thr Gln Pro Pro Ser Val Ser Ala Ala Pro Gly Gln
 1 5 10 15
 Lys Val Thr Ile Ser Cys Ser Gly Ser Ser Ser Asp Ile Gly Ser Asn
 20 25 30
 Tyr Val Ser Trp Tyr Gln Gln Phe Pro Gly Thr Ala Pro Lys Leu Leu
 35 40 45
 Ile Tyr Asp Asn Asn Lys Arg Pro Ser Ala Ile Pro Asp Arg Phe Ser
 50 55 60
 Gly Ser Lys Ser Gly Thr Ser Ala Thr Leu Gly Ile Thr Gly Leu Gln
 65 70 75 80
 Thr Gly Asp Glu Ala Asp Tyr Tyr Cys Gly Thr Trp Asp Ser Arg Leu
 85 90 95
 Gly Ile Ala Val Phe Gly Gly Gly Thr Gln Leu Thr Val Leu Gly Gln
 100 105 110
 Pro Lys Ala Ala Pro Ser Val Thr Leu Phe Pro Pro Ser Ser Glu Glu
 115 120 125
 Leu Gln Ala Asn Lys Ala Thr Leu Val Cys Leu Val Ser Asp Phe Tyr
 130 135 140
 Pro Gly Ala Val Thr Val Ala Trp Lys Ala Asp Gly Ser Pro Val Lys

145 150 155 160
 Val Gly Val Glu Thr Lys Pro Ser Lys Gln Ser Asn Asn Lys Tyr
 165 170 175
 Ala Ala Ser Ser Tyr Leu Ser Leu Thr Pro Glu Gln Trp Lys Ser His
 180 185 190
 Arg Ser Tyr Ser Cys Arg Val Thr His Glu Gly Ser Thr Val Glu Lys
 195 200 205
 Thr Val Ala Pro Thr Glu Cys Ser
 210 215

5

<210> 70
 <211> 13
 <212> PRT
 <213> *Homo sapiens*
 <400> 70

Ser Gly Ser Ser Ser Asp Ile Gly Ser Asn Tyr Val Ser
 1 5 10

15

<210> 71
 <211> 7
 <212> PRT
 <213> *Homo sapiens*
 <400> 71

20

Asp Asn Asn Lys Arg Pro Ser
 1 5

25

<210> 72
 <211> 11
 <212> PRT
 <213> *Homo sapiens*
 <400> 72

Gly Thr Trp Asp Ser Arg Leu Gly Ile Ala Val
 1 5 10

ES 2 540 538 T3

5 <210> 73
 <211> 20
 <212> PRT
 <213> *Homo sapiens*
 <220>
 <221> MISC_FEATURE
 <223> Secuencia proteica de LC K1-70 de los aminoácidos N terminales 2-21 consecutivos obtenidos por
 10 reacción de Edman
 <400> 73

Ser Val Leu Thr Gln Pro Pro Ser Val Ser Ala Ala Pro Gly Gln Lys
1 5 10 15
Val Thr Ile Ser
20

15 <210> 74
 <211> 764
 <212> PRT
 <213> *Homo sapiens*
 <400> 74

Met Arg Pro Ala Asp Leu Leu Gln Leu Val Leu Leu Leu Asp Leu Pro
1 5 10 15
Arg Asp Leu Gly Gly Met Gly Cys Ser Ser Pro Pro Cys Glu Cys His
20 25 30
Gln Glu Glu Asp Phe Arg Val Thr Cys Lys Asp Ile Gln Arg Ile Pro
35 40 45
Ser Leu Pro Pro Ser Thr Gln Thr Leu Lys Leu Ile Glu Thr His Leu

20

	50					55					60				
Arg	Thr	Ile	Pro	Ser	His	Ala	Phe	Ser	Asn	Leu	Pro	Asn	Ile	Ser	Arg
65					70					75					80
Ile	Tyr	Val	Ser	Ile	Asp	Val	Thr	Leu	Gln	Gln	Leu	Glu	Ser	His	Ser
				85					90					95	
Phe	Tyr	Asn	Leu	Ser	Lys	Val	Thr	His	Ile	Glu	Ile	Arg	Asn	Thr	Arg
			100					105					110		
Asn	Leu	Thr	Tyr	Ile	Asp	Pro	Asp	Ala	Leu	Lys	Glu	Leu	Pro	Leu	Leu
		115					120					125			
Lys	Phe	Leu	Gly	Ile	Phe	Asn	Thr	Gly	Leu	Lys	Met	Phe	Pro	Asp	Leu
	130					135					140				
Thr	Lys	Val	Tyr	Ser	Thr	Asp	Ile	Phe	Phe	Ile	Leu	Glu	Ile	Thr	Asp
145					150					155					160
Asn	Pro	Tyr	Met	Thr	Ser	Ile	Pro	Val	Asn	Ala	Phe	Gln	Gly	Leu	Cys
				165					170					175	
Asn	Glu	Thr	Leu	Thr	Leu	Lys	Leu	Tyr	Asn	Asn	Gly	Phe	Thr	Ser	Val
		180						185					190		
Gln	Gly	Tyr	Ala	Phe	Asn	Gly	Thr	Lys	Leu	Asp	Ala	Val	Tyr	Leu	Asn
		195				200						205			
Lys	Asn	Lys	Tyr	Leu	Thr	Val	Ile	Asp	Lys	Asp	Ala	Phe	Gly	Gly	Val
	210					215					220				
Tyr	Ser	Gly	Pro	Ser	Leu	Leu	Asp	Val	Ser	Gln	Thr	Ser	Val	Thr	Ala
225					230					235					240
Leu	Pro	Ser	Lys	Gly	Leu	Glu	His	Leu	Lys	Glu	Leu	Ile	Ala	Arg	Asn
				245					250					255	
Thr	Trp	Thr	Leu	Lys	Lys	Leu	Pro	Leu	Ser	Leu	Ser	Phe	Leu	His	Leu
			260					265					270		
Thr	Arg	Ala	Asp	Leu	Ser	Tyr	Pro	Ser	His	Cys	Cys	Ala	Phe	Lys	Asn
		275				280						285			
Gln	Lys	Lys	Ile	Arg	Gly	Ile	Leu	Glu	Ser	Leu	Met	Cys	Asn	Glu	Ser
	290				295						300				
Ser	Met	Gln	Ser	Leu	Arg	Gln	Arg	Lys	Ser	Val	Asn	Ala	Leu	Asn	Ser
305					310					315					320
Pro	Leu	His	Gln	Glu	Tyr	Glu	Glu	Asn	Leu	Gly	Asp	Ser	Ile	Val	Gly
				325					330					335	
Tyr	Lys	Glu	Lys	Ser	Lys	Phe	Gln	Asp	Thr	His	Asn	Asn	Ala	His	Tyr
			340					345					350		
Tyr	Val	Phe	Phe	Glu	Glu	Gln	Glu	Asp	Glu	Ile	Ile	Gly	Phe	Gly	Gln
		355				360						365			
Glu	Leu	Lys	Asn	Pro	Gln	Glu	Glu	Thr	Leu	Gln	Ala	Phe	Asp	Ser	His
	370					375					380				
Tyr	Asp	Tyr	Thr	Ile	Cys	Gly	Asp	Ser	Glu	Asp	Met	Val	Cys	Thr	Pro
385					390					395					400
Lys	Ser	Asp	Glu	Phe	Asn	Pro	Cys	Glu	Asp	Ile	Met	Gly	Tyr	Lys	Phe
				405					410					415	
Leu	Arg	Ile	Val	Val	Trp	Phe	Val	Ser	Leu	Leu	Ala	Leu	Leu	Gly	Asn
			420					425					430		
Val	Phe	Val	Leu	Leu	Ile	Leu	Leu	Thr	Ser	His	Tyr	Lys	Leu	Asn	Val
		435					440					445			
Pro	Arg	Phe	Leu	Met	Cys	Asn	Leu	Ala	Phe	Ala	Asp	Phe	Cys	Met	Gly
	450					455					460				
Met	Tyr	Leu	Leu	Leu	Ile	Ala	Ser	Val	Asp	Leu	Tyr	Thr	His	Ser	Glu
465					470					475					480
Tyr	Tyr	Asn	His	Ala	Ile	Asp	Trp	Gln	Thr	Gly	Pro	Gly	Cys	Asn	Thr
				485					490					495	
Ala	Gly	Phe	Phe	Thr	Val	Phe	Ala	Ser	Glu	Leu	Ser	Val	Tyr	Thr	Leu
			500					505					510		
Thr	Val	Ile	Thr	Leu	Glu	Arg	Trp	Tyr	Ala	Ile	Thr	Phe	Ala	Met	Arg
		515					520					525			
Leu	Asp	Arg	Lys	Ile	Arg	Leu	Arg	His	Ala	Cys	Ala	Ile	Met	Val	Gly

530					535					540					
Gly	Trp	Val	Cys	Cys	Phe	Leu	Leu	Ala	Leu	Leu	Pro	Leu	Val	Gly	Ile
545					550					555					560
Ser	Ser	Tyr	Ala	Lys	Val	Ser	Ile	Cys	Leu	Pro	Met	Asp	Thr	Glu	Thr
				565						570					575
Pro	Leu	Ala	Leu	Ala	Tyr	Ile	Val	Phe	Val	Leu	Thr	Leu	Asn	Ile	Val
				580						585					590
Ala	Phe	Val	Ile	Val	Cys	Cys	Cys	Tyr	Val	Lys	Ile	Tyr	Ile	Thr	Val
				595						600					605
Arg	Asn	Pro	Gln	Tyr	Asn	Pro	Gly	Asp	Lys	Asp	Thr	Lys	Ile	Ala	Lys
					610										615
Arg	Met	Ala	Val	Leu	Ile	Phe	Thr	Asp	Phe	Ile	Cys	Met	Ala	Pro	Ile
					620										625
Ser	Phe	Tyr	Ala	Leu	Ser	Ala	Ile	Leu	Asn	Lys	Pro	Leu	Ile	Thr	Val
					630										635
Ser	Asn	Ser	Lys	Ile	Leu	Leu	Val	Leu	Phe	Tyr	Pro	Leu	Asn	Ser	Cys
				640											645
Ala	Asn	Pro	Phe	Leu	Tyr	Ala	Ile	Phe	Thr	Lys	Ala	Phe	Gln	Arg	Asp
					650										655
Val	Phe	Ile	Leu	Leu	Ser	Lys	Phe	Gly	Ile	Cys	Lys	Arg	Gln	Ala	Gln
					660										665
Ala	Tyr	Arg	Gly	Gln	Arg	Val	Pro	Pro	Lys	Asn	Ser	Thr	Asp	Ile	Gln
					670										675
Val	Gln	Lys	Val	Thr	His	Asp	Met	Arg	Gln	Gly	Leu	His	Asn	Met	Glu
					680										685
Asp	Val	Tyr	Glu	Leu	Ile	Glu	Asn	Ser	His	Leu	Thr	Pro	Lys	Lys	Gln
					690										695
Gly	Gln	Ile	Ser	Glu	Glu	Tyr	Met	Gln	Thr	Val	Leu				
					700										705
															710
															715
															720
															725
															730
															735
															740
															745
															750
															755
															760

<210> 75
 <211> 267
 <212> PRT
 <213> *Homo sapiens*
 <400> 75

5

Met	Arg	Pro	Ala	Asp	Leu	Leu	Gln	Leu	Val	Leu	Leu	Leu	Asp	Leu	Pro
1				5					10					15	
Arg	Asp	Leu	Gly	Gly	Met	Gly	Cys	Ser	Ser	Pro	Pro	Cys	Glu	Cys	His
			20					25					30		
Gln	Glu	Glu	Asp	Phe	Arg	Val	Thr	Cys	Lys	Asp	Ile	Gln	Arg	Ile	Pro
			35				40					45			
Ser	Leu	Pro	Pro	Ser	Thr	Gln	Thr	Leu	Lys	Leu	Ile	Glu	Thr	His	Leu
						55					60				
Arg	Thr	Ile	Pro	Ser	His	Ala	Phe	Ser	Asn	Leu	Pro	Asn	Ile	Ser	Arg
					70					75					80
Ile	Tyr	Val	Ser	Ile	Asp	Val	Thr	Leu	Gln	Gln	Leu	Glu	Ser	His	Ser
				85					90						95
Phe	Tyr	Asn	Leu	Ser	Lys	Val	Thr	His	Ile	Glu	Ile	Arg	Asn	Thr	Arg
				100				105					110		
Asn	Leu	Thr	Tyr	Ile	Asp	Pro	Asp	Ala	Leu	Lys	Glu	Leu	Pro	Leu	Leu
				115			120					125			
Lys	Phe	Leu	Gly	Ile	Phe	Asn	Thr	Gly	Leu	Lys	Met	Phe	Pro	Asp	Leu
				130		135					140				
Thr	Lys	Val	Tyr	Ser	Thr	Asp	Ile	Phe	Phe	Ile	Leu	Glu	Ile	Thr	Asp
					150					155					160
Asn	Pro	Tyr	Met	Thr	Ser	Ile	Pro	Val	Asn	Ala	Phe	Gln	Gly	Leu	Cys
				165					170					175	
Asn	Glu	Thr	Leu	Thr	Leu	Lys	Leu	Tyr	Asn	Asn	Gly	Phe	Thr	Ser	Val
				180				185							190
Gln	Gly	Tyr	Ala	Phe	Asn	Gly	Thr	Lys	Leu	Asp	Ala	Val	Tyr	Leu	Asn

```

          195                200                205
Lys Asn Lys Tyr Leu Thr Val Ile Asp Lys Asp Ala Phe Gly Gly Val
  210                215                220
Tyr Ser Gly Pro Ser Leu Leu Asp Val Ser Gln Thr Ser Val Thr Ala
225                230                235                240
Leu Pro Ser Lys Gly Leu Glu His Leu Lys Glu Leu Ile Ala Arg Asn
          245                250                255
Thr Trp Thr Leu Asn His His His His His His
          260                265
    
```

<210> 76
 <211> 336
 <212> PRT
 <213> *Homo sapiens*
 <400> 76

5

```

Met Arg Pro Ala Asp Leu Leu Gln Leu Val Leu Leu Leu Asp Leu Pro
 1          5          10          15
Arg Asp Leu Gly Met Gly Cys Ser Ser Pro Pro Cys Glu Cys His
          20          25          30
Gln Glu Glu Asp Phe Arg Val Thr Cys Lys Asp Ile Gln Arg Ile Pro
          35          40          45
Ser Leu Pro Pro Ser Thr Gln Thr Leu Lys Leu Ile Glu Thr His Leu
 50          55          60
Arg Thr Ile Pro Ser His Ala Phe Ser Asn Leu Pro Asn Ile Ser Arg
65          70          75          80
Ile Tyr Val Ser Ile Asp Val Thr Leu Gln Gln Leu Glu Ser His Ser
          85          90          95
Phe Tyr Asn Leu Ser Lys Val Thr His Ile Glu Ile Arg Asn Thr Arg
          100          105          110
Asn Leu Thr Tyr Ile Asp Pro Asp Ala Leu Lys Glu Leu Pro Leu Leu
          115          120          125
Lys Phe Leu Gly Ile Phe Asn Thr Gly Leu Lys Met Phe Pro Asp Leu
130          135          140
Thr Lys Val Tyr Ser Thr Asp Ile Phe Phe Ile Leu Glu Ile Thr Asp
145          150          155          160
Asn Pro Tyr Met Thr Ser Ile Pro Val Asn Ala Phe Gln Gly Leu Cys
          165          170          175
Asn Glu Thr Leu Thr Leu Lys Leu Tyr Asn Asn Gly Phe Thr Ser Val
          180          185          190
Gln Gly Tyr Ala Phe Asn Gly Thr Lys Leu Asp Ala Val Tyr Leu Asn
          195          200          205
Lys Asn Lys Tyr Leu Thr Val Ile Asp Lys Asp Ala Phe Gly Gly Val
 210                215                220
Tyr Ser Gly Pro Ser Leu Leu Asp Val Ser Gln Thr Ser Val Thr Ala
225                230                235                240
Leu Pro Ser Lys Gly Leu Glu His Leu Lys Glu Leu Ile Ala Arg Asn
          245                250                255
Thr Trp Thr Leu Lys Lys Leu Pro Leu Ser Leu Ser Phe Leu His Leu
          260                265                270
Thr Arg Ala Asp Leu Ser Tyr Pro Ser His Cys Cys Ala Phe Lys Asn
          275                280                285
Gln Lys Lys Ile Arg Gly Ile Leu Glu Ser Leu Met Cys Asn Glu Ser
 290                295                300
Ser Tyr Asp Tyr Thr Ile Cys Gly Asp Ser Glu Asp Met Val Cys Thr
305                310                315                320
Pro Lys Ser Asp Glu Phe Asn Pro Cys Glu His His His His His His
          325                330                335
    
```

10

<210> 77
 <211> 36
 <212> ADN

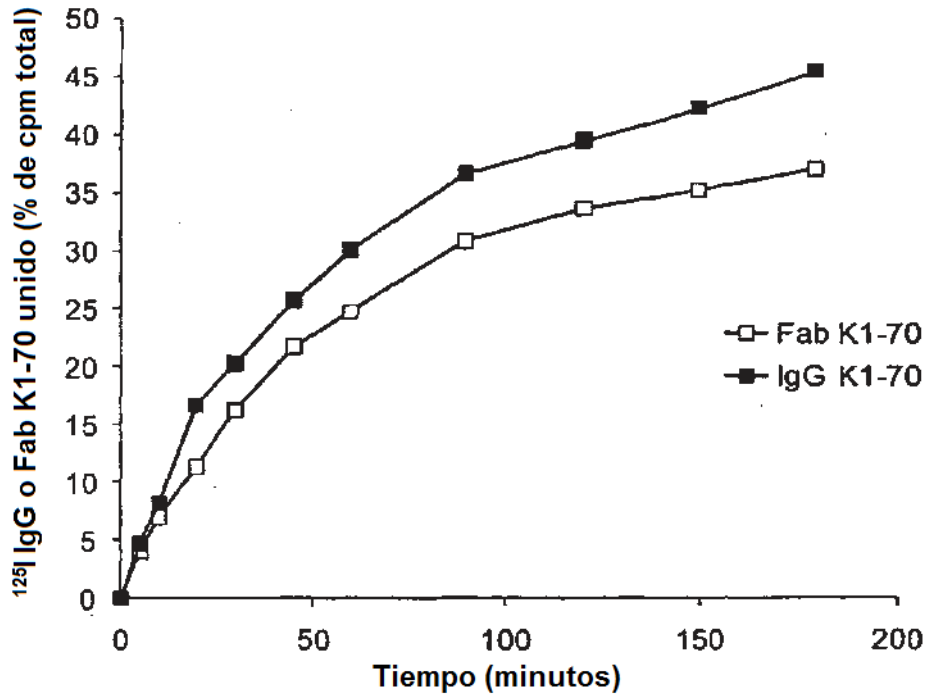
ES 2 540 538 T3

	<213> <i>Homo sapiens</i> <400> 77 cactgcgaat tcaaatgag gccggcggac ttgctg	36
5	<210> 78 <211> 48 <212> ADN <213> <i>Homo sapiens</i> <400> 78 gttctctctcc tcaactggga tgatgttaag agtccaggtg tttcttgc	48
10	<210> 79 <211> 48 <212> ADN <213> <i>Homo sapiens</i> <400> 79 gcaagaaaca cctggactct taacatcatc ccagttgagg aggagaac	48
15	<210> 80 <211> 54 <212> ADN <213> <i>Homo sapiens</i> <400> 80 gcagctctcg agtcagtggg ggtgggtggg gtgtgtctgc tcgaagcggc cggc	54
20	<210> 81 <211> 20 <212> ADN <213> <i>Homo sapiens</i> <400> 81 taatacgact cactataggg	20
25	<210> 82 <211> 50 <212> ADN <213> <i>Homo sapiens</i> <400> 82 tgtecccaaca tatgggtgtag tcataactgc tctcattaca catcaaggac	50
30	<210> 83 <211> 18 <212> ADN <213> <i>Homo sapiens</i> <400> 83 tagaaggcac agtcgagg	18
35	<210> 84 <211> 50 <212> ADN <213> <i>Homo sapiens</i> <400> 84 gtccttgatg tgtaatgaga gcagttatga ctacaccata tgtggggaca	50
40	<210> 85 <211> 59 <212> ADN <213> <i>Homo sapiens</i> <400> 85 gctactcgag ctagtgggtg tgggtgggtg gttcacacgg gttgaactca tcggacttg	59
45		
50		
55		
60		

REIVINDICACIONES

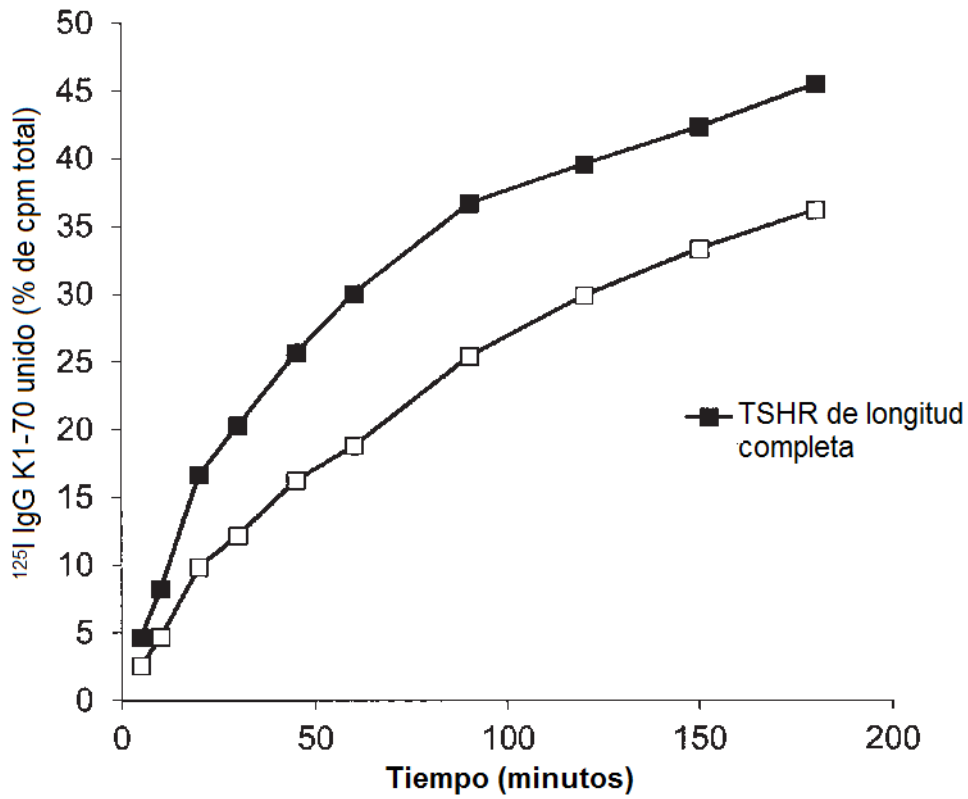
1. Una molécula de anticuerpo recombinante o monoclonal humana que se une al TSHR y que reduce la estimulación inducida por ligando del TSHR pero no tiene ningún efecto en la actividad constitutiva de TSHR en donde la molécula de anticuerpo humana aislada tiene la característica de autoanticuerpos de TSHR de suero del paciente de inhibir la unión de TSH y M22 al TSHR, y en donde la molécula de anticuerpo humana aislada comprende SEC ID N°: 70 (CDR I), SEC ID N°: 71 (CDR II) y SEC ID N°: 72 (CDR III) y SEC ID N°: 42 o 52 (CDR I), SEC ID N°: 43 o 53 (CDR II) y SEC ID N°: 44 o 54 (CDR III).
2. Una molécula de anticuerpo humana aislada de acuerdo con la reivindicación 1, que tiene al menos una característica adicional de autoanticuerpos de TSHR de suero del paciente seleccionada de una afinidad de unión por el TSHR de al menos 10^8 l/mol, preferentemente de al menos 10^9 l/mol, y la capacidad para bloquear la estimulación de TSHR inducida por ligando a una concentración de anticuerpo de menos de 1 µg/ml, preferentemente menos de 0,1 µg/ml.
3. Una molécula de anticuerpo humana aislada de acuerdo con las reivindicaciones 1 o 2 que es un antagonista de TSH, autoanticuerpos estimulantes del tiroides o gonadotropina coriónica humana.
4. Una molécula de anticuerpo aislada de acuerdo con cualquier reivindicación anterior que comprende un dominio VH de anticuerpo seleccionado de las secuencias de aminoácidos de SEC ID N° 41 y 51, preferentemente una molécula de anticuerpo aislada que comprende un dominio VH de anticuerpo que consiste en la secuencia de aminoácidos de SEC ID N°: 41 y 51.
5. Una molécula de anticuerpo humana aislada de acuerdo con cualquier reivindicación anterior que comprende una molécula de anticuerpo aislada que comprende un dominio VL de anticuerpo que consiste en la secuencia de aminoácidos de SEC ID N°: 69.
6. Un nucleótido aislado que codifica una molécula de anticuerpo aislada de acuerdo con una cualquiera de las reivindicaciones 1-5.
7. Un nucleótido aislado de acuerdo con la reivindicación 6 que comprende una secuencia de nucleótidos de SEC ID N°: 37, SEC ID N°: 46 o SEC ID N°: 64.
8. Un vector que incluye un nucleótido aislado de acuerdo con las reivindicaciones 6 o 7.
9. Una célula hospedadora que incluye un nucleótido de acuerdo con las reivindicaciones 6 o 7, o un vector de acuerdo con la reivindicación 8.
10. Una composición farmacéutica que comprende una molécula de anticuerpo aislada de acuerdo con una cualquiera de las reivindicaciones 1-5.
11. Una molécula de anticuerpo aislada de acuerdo con una cualquiera de las reivindicaciones 1-5 o una composición farmacéutica de acuerdo con la reivindicación 10 para uso en terapia.
12. Un método *in vitro* para caracterizar la actividad de anticuerpos de TSHR, TSH o gonadotropina coriónica humana, comprendiendo el método una etapa que incluye el uso de una molécula de anticuerpo aislada de acuerdo con cualquiera de las reivindicaciones 1-5.
13. Un método de diagnóstico *in vitro* para detectar autoanticuerpos de analitos para el TSHR, comprendiendo el método poner en contacto una muestra, que se ha aislado de un sujeto que se cree que contiene dichos autoanticuerpos de analitos, y una molécula de anticuerpo de acuerdo con una cualquiera de las reivindicaciones 1-5 con un TSHR o un fragmento del mismo.
14. Un método de diagnóstico *in vitro* para detectar anticuerpos de analitos para el TSHR de acuerdo con la reivindicación 13 en el que el TSHR o el fragmento del mismo están mutado en la arginina 255 de modo que en dicho método de diagnóstico dicho TSHR mutado o dicho fragmento del mismo interaccionen preferentemente con anticuerpos de TSHR de tipo bloqueo de analito en comparación con anticuerpos de TSHR de tipo estimulante de analito.
15. Un método de diagnóstico *in vitro* de acuerdo con la reivindicación 14 en el que se detecta la unión de anticuerpo de TSHR de analito con TSHR260 o TSHR260 mutado en la arginina 255 mediante inhibición de la unión de un anticuerpo de TSHR marcado directa o directamente o de un fragmento del mismo con dicho TSHR260 o TSHR260 mutado en la arginina 255.
16. Un método de diagnóstico *in vitro* de acuerdo con la reivindicación 15 en el que dicho anticuerpo de TSHR marcado es un anticuerpo monoclonal, recombinante o sintético o un fragmento del mismo.

Figura 1a Ciclo temporal de la unión de IgG y Fab K1-70 marcado con ^{125}I con tubos recubiertos con TSHR (longitud completa)



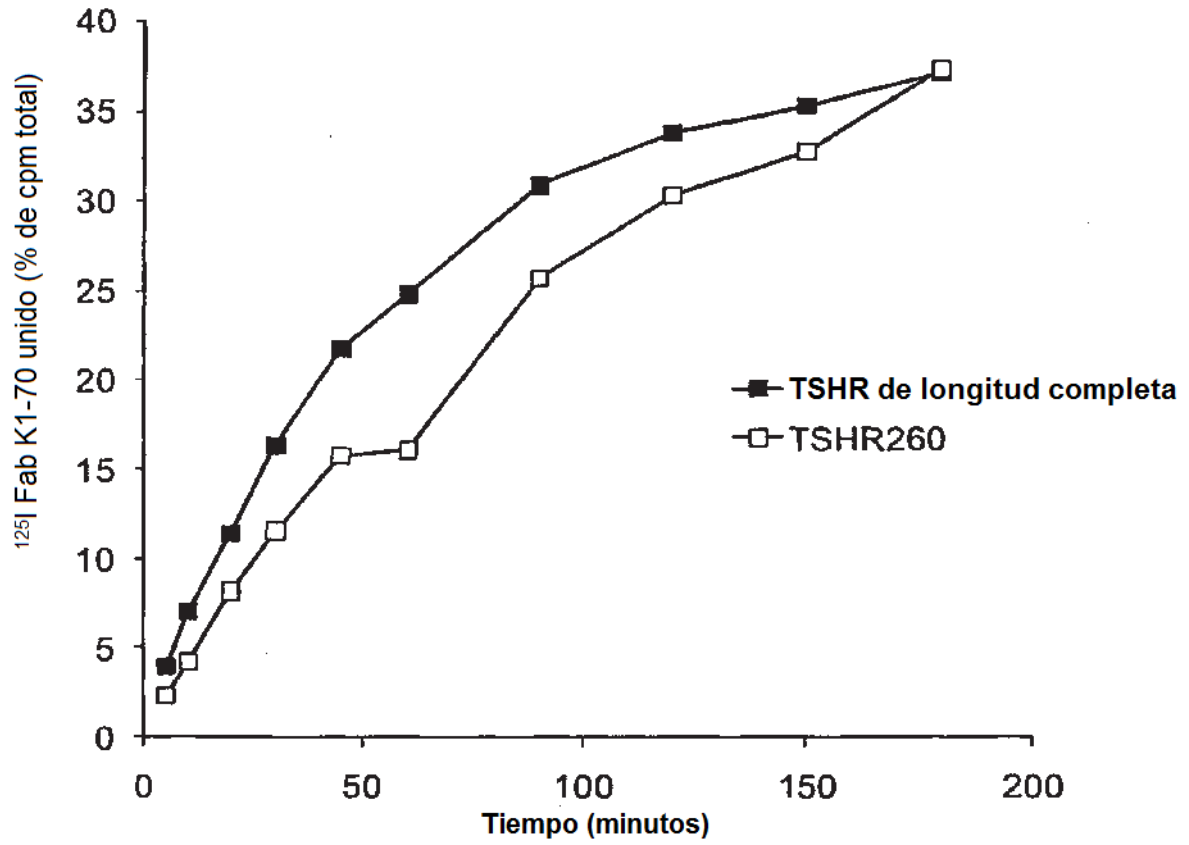
La unión no específica, es decir, la unión de IgG/Fab K1-70 marcado con tubos no recubiertos con el TSHR estaba por debajo del 2 % de cpm total añadido y no se restó de los datos mostrados en la Figura.

Figura 1b Ciclo temporal de la unión de IgG K1-70 marcado con ^{125}I con tubos recubiertos con TSHR de longitud completa y TSHR260



La unión no específica, es decir, la unión de IgG K1-70 marcado con tubos no recubiertos con el TSHR estaba por debajo del 2 % de cpm total añadido y no se restó de los datos mostrados en la Figura.

Figura 1c Ciclo temporal de la unión de Fab K1-70 marcado con ^{125}I con tubos recubiertos con TSHR de longitud completa y TSHR260



La unión no específica, es decir, la unión de IgG K1-70 marcado con tubos no recubiertos con el TSHR estaba por debajo del 2 % de cpm total añadido y no se restó de los datos mostrados en la Figura.

Figura 1d Disociación de ¹²⁵I-IgG K1-70 de tubos recubiertos con TSHR (longitud completa) en presencia de diversos ligandos no marcados

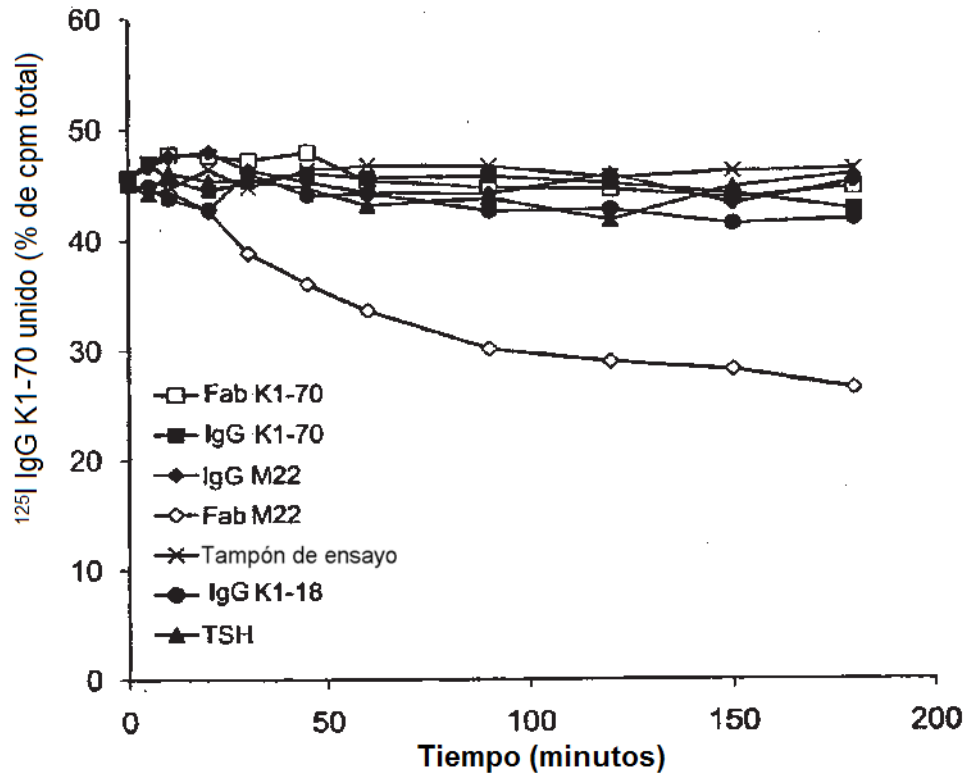


Figura 1e Disociación de ^{125}I -IgG K1-70 de tubos recubiertos con TSHR (longitud completa) en presencia de Fab K1-18

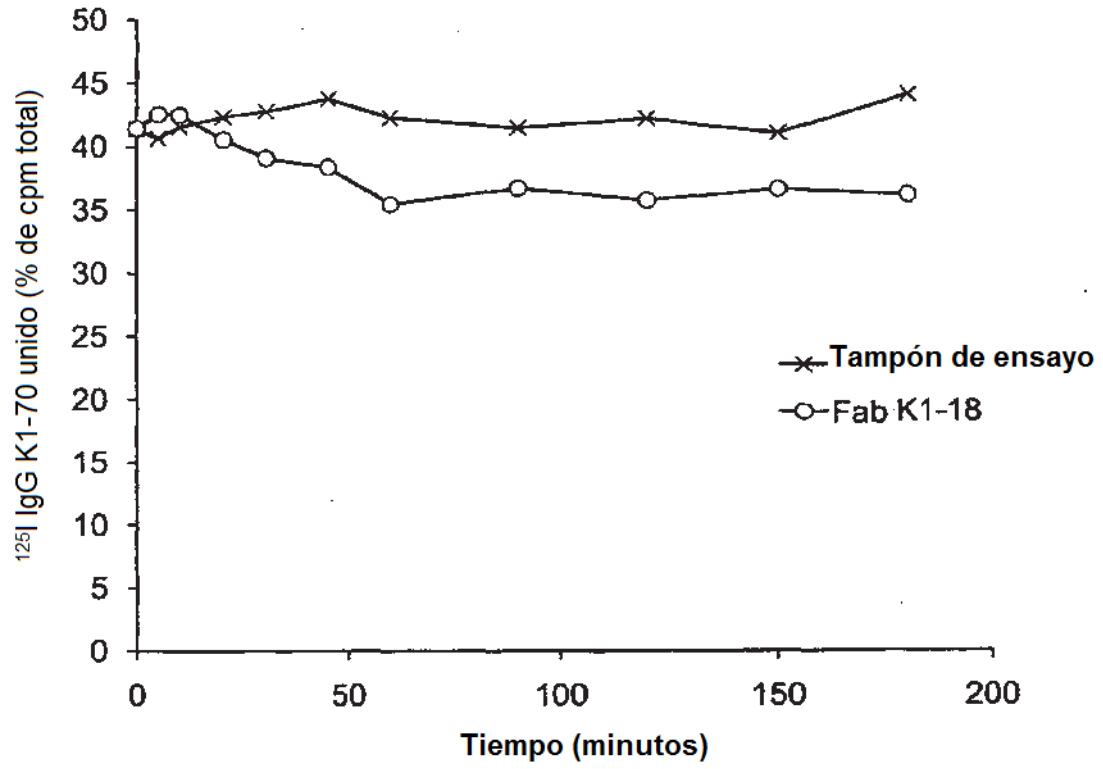
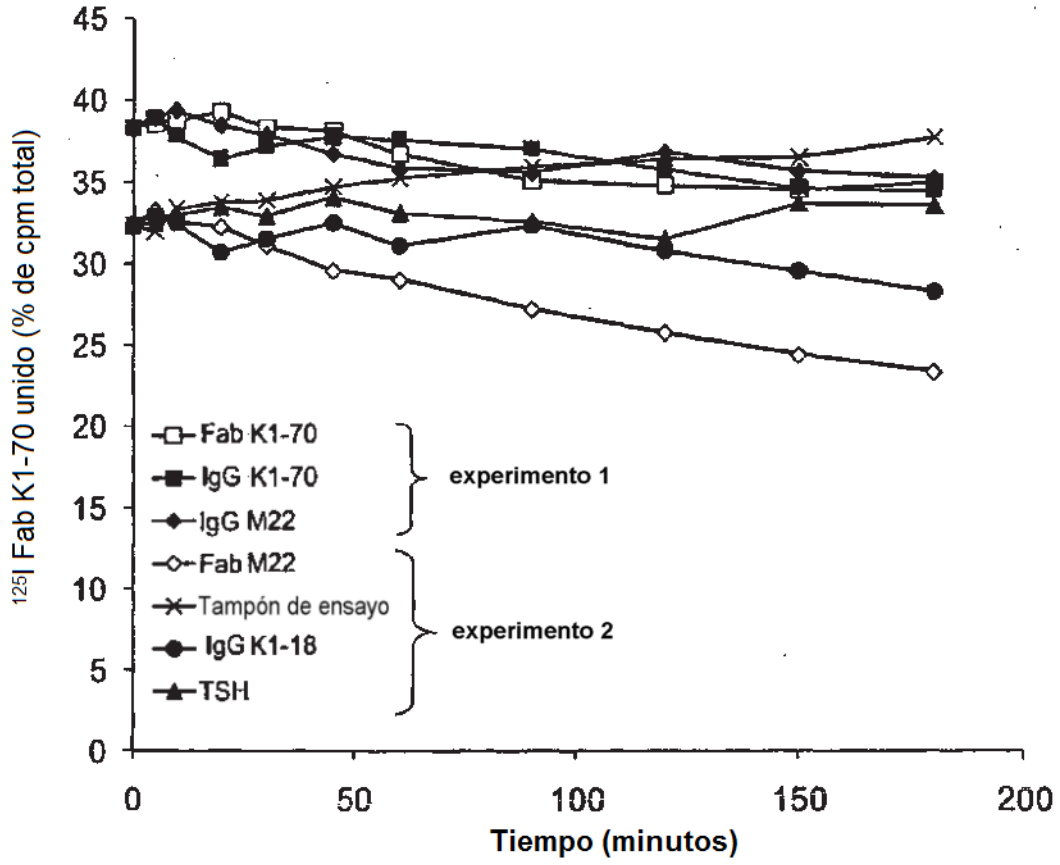


Figura 1f Disociación de ¹²⁵I-Fab K1-70 de tubos recubiertos con TSHR (longitud completa) en presencia de diversos ligandos no marcados



Los experimentos 1 y 2 se llevaron a cabo en días separados, con diferentes lotes de tubos recubiertos con TSHR.

Figura 1g Disociación de ¹²⁵I-IgG K1-70 de tubos recubiertos con TSHR260 en presencia de diversos ligandos no marcados

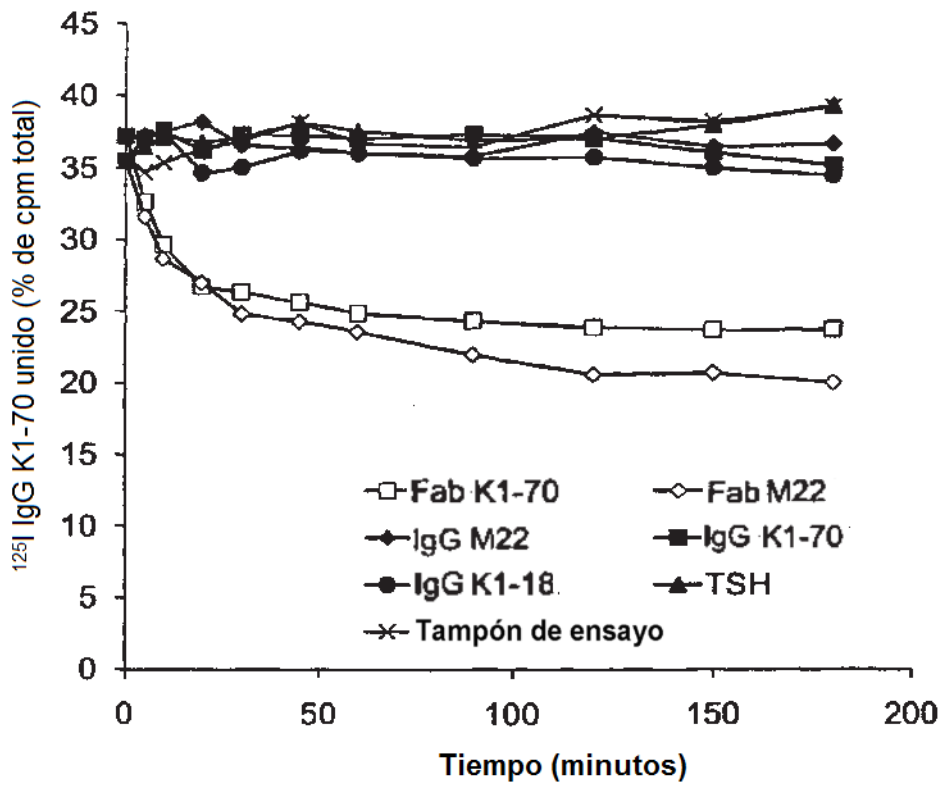


Figura 1h Disociación de ^{125}I -IgG K1-70 de tubos recubiertos con TSHR260 en presencia de Fab K1-18

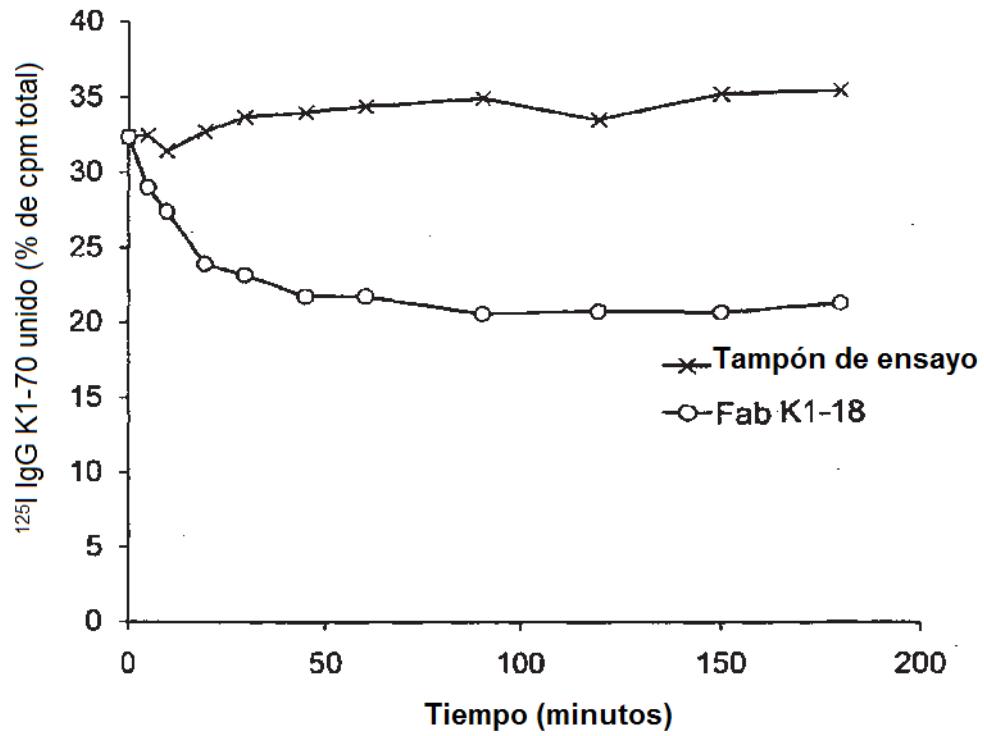


Figura 1i Disociación de ¹²⁵I-Fab K1-70 de tubos recubiertos con TSHR260 en presencia de diversos ligandos no marcados,

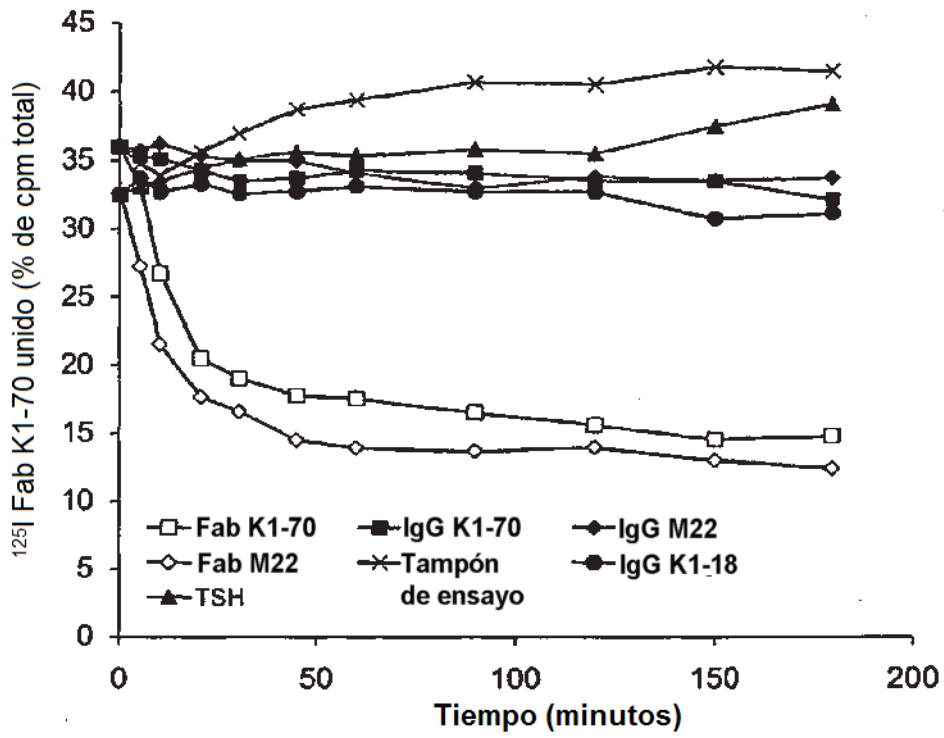


Figura 1j Ciclo temporal de la unión de IgG K1-18 marcado con ^{125}I con tubos recubiertos con TSHR de longitud completa y TSHR260

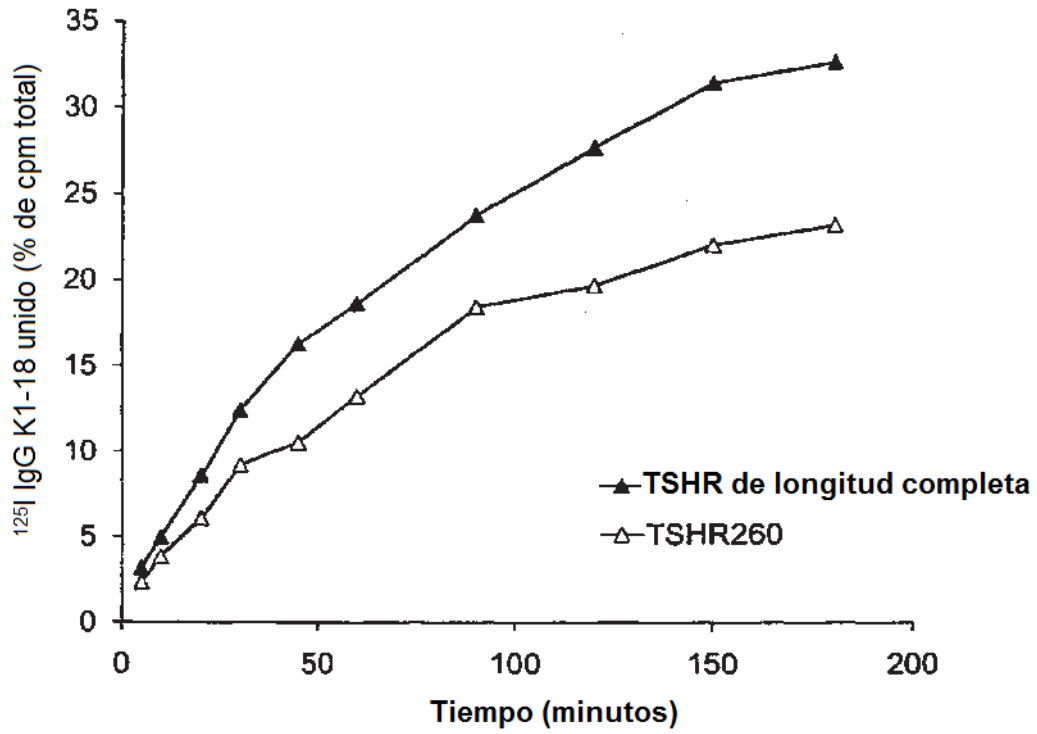


Figura 1k Disociación de ¹²⁵I-IgG K1-18 de tubos recubiertos con TSHR (longitud completa) en presencia de diversos ligandos no marcados,

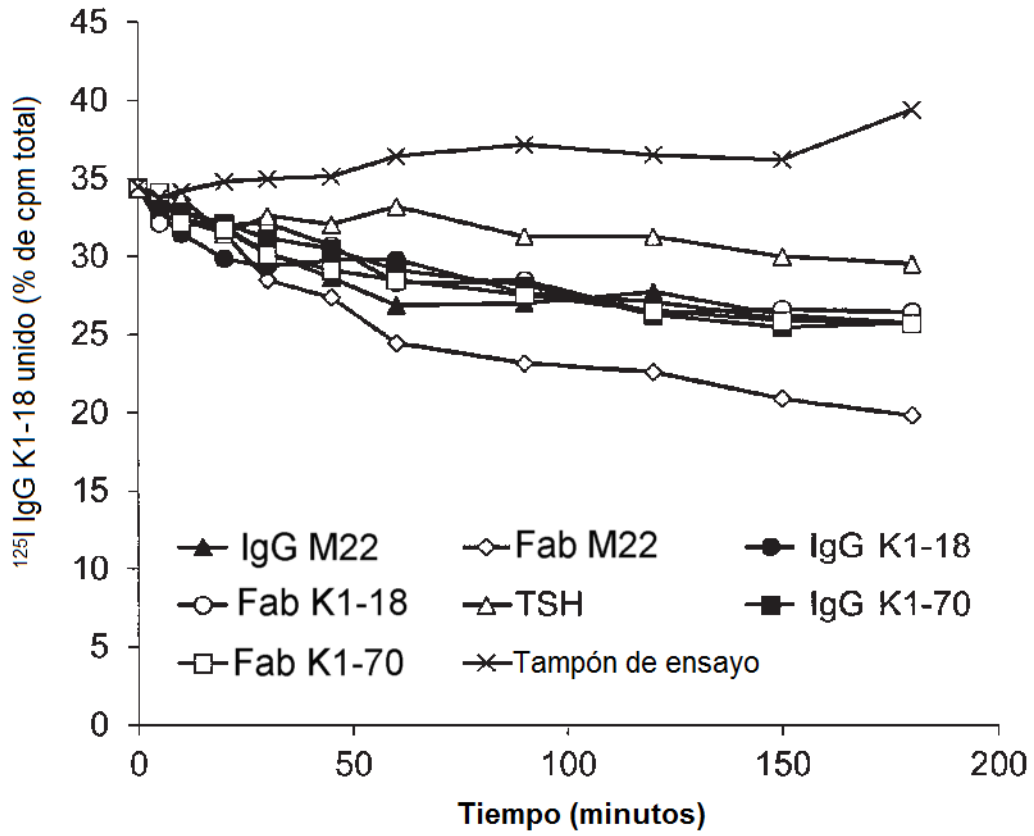


Figura 11 Disociación de ¹²⁵I-IgG K1-18 de tubos recubiertos con TSHR260 en presencia de diversos ligandos no marcados,

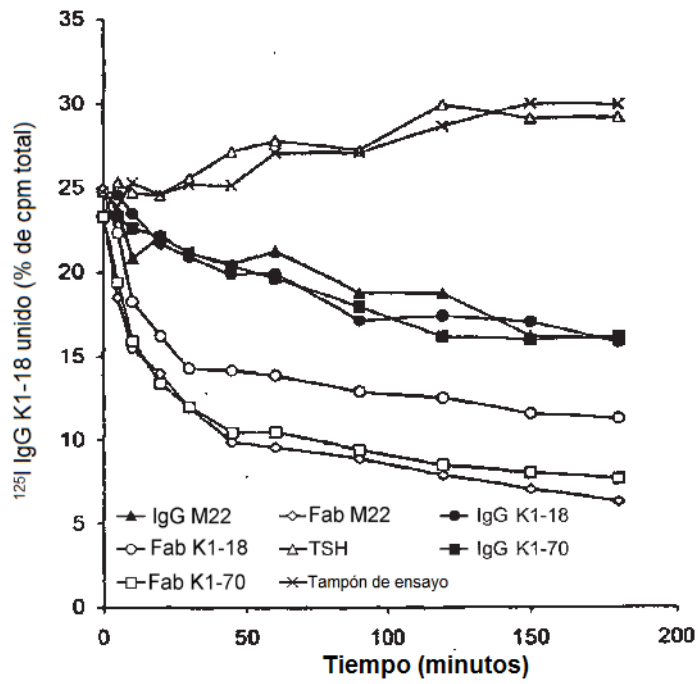


Figura 2a Comparación de las mediciones de TRAb de suero del paciente en un ensayo de tubo recubierto con TRAb (basado en la inhibición de la unión de TSH) y en un ELISA de TSHR260-AP

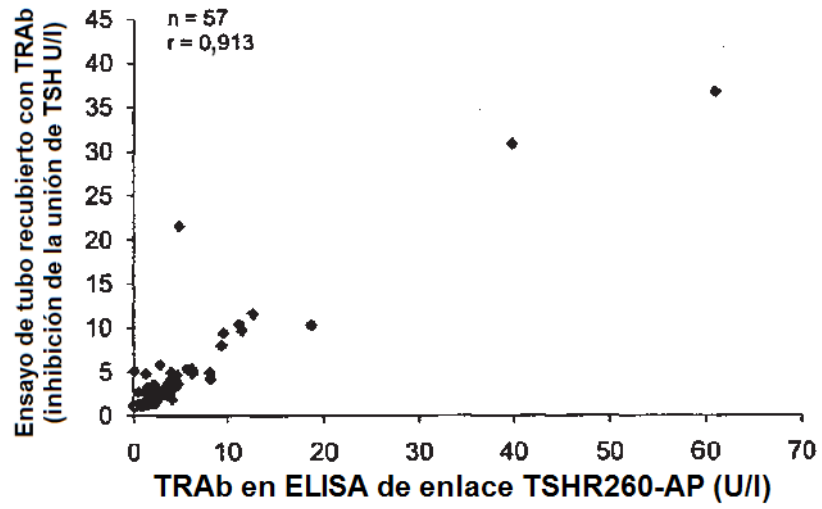


Figura 2b Comparación de las mediciones por ELISA basada en la inhibición de la unión de Fab M22 con TSHR de longitud completa y por la inhibición de la unión de Fab M22 con TSHR260

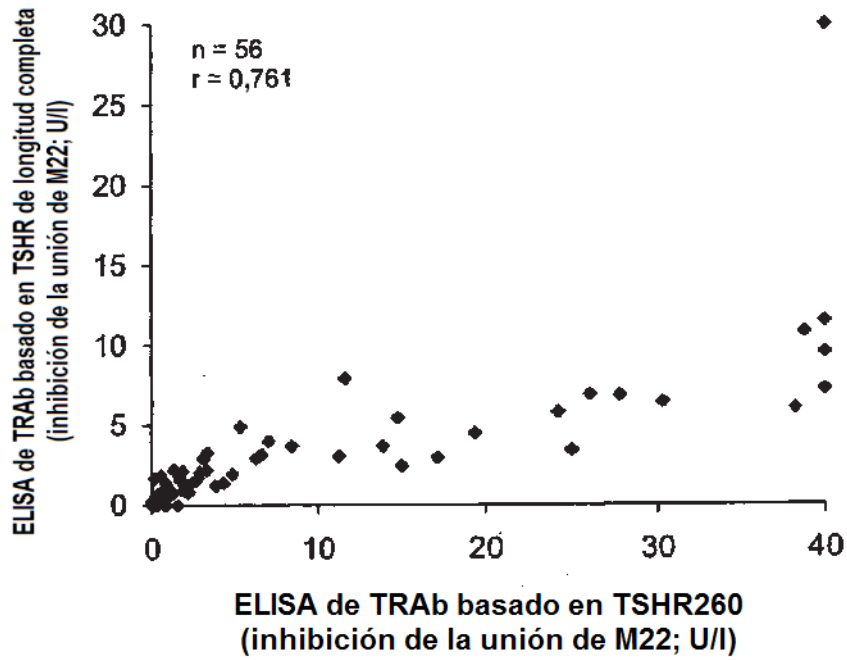


Figura 2c Comparación de las mediciones de TRAb de suero de paciente en un ensayo de tubo recubierto con TRAb (basado en la inhibición de la unión de TSH con TSHR de longitud completa) y por inhibición de la unión de Fab M22 con placas recubiertas con TSHR260 en un ELISA

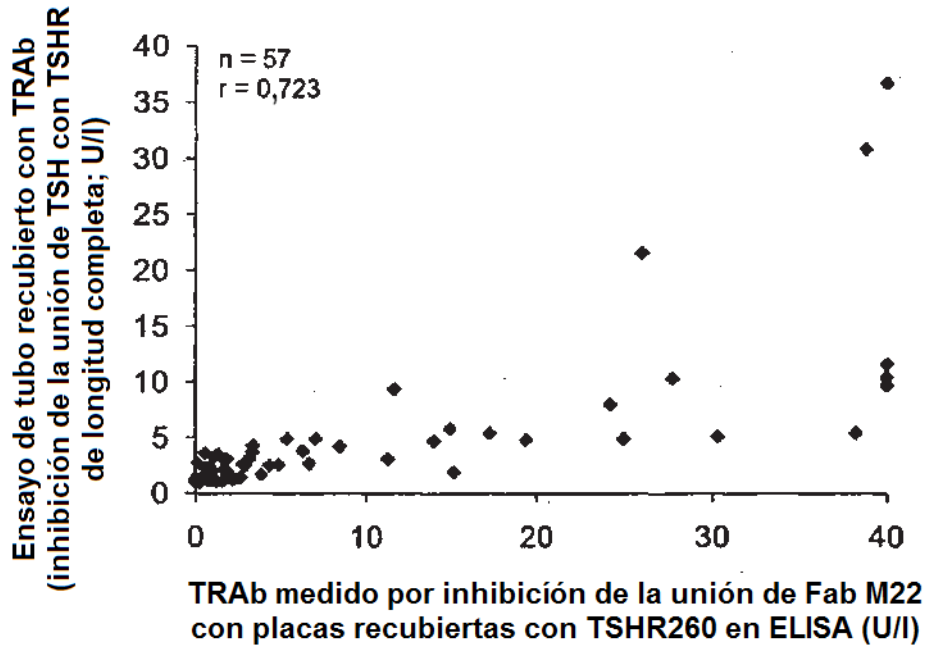


Figura 2d Comparación de las mediciones de TRAb del suero del paciente en un ELISA de TRAb (basado en la inhibición de la unión de Fab M22 con TSHR de longitud completa) y en un ELISA de TSHR260-AP

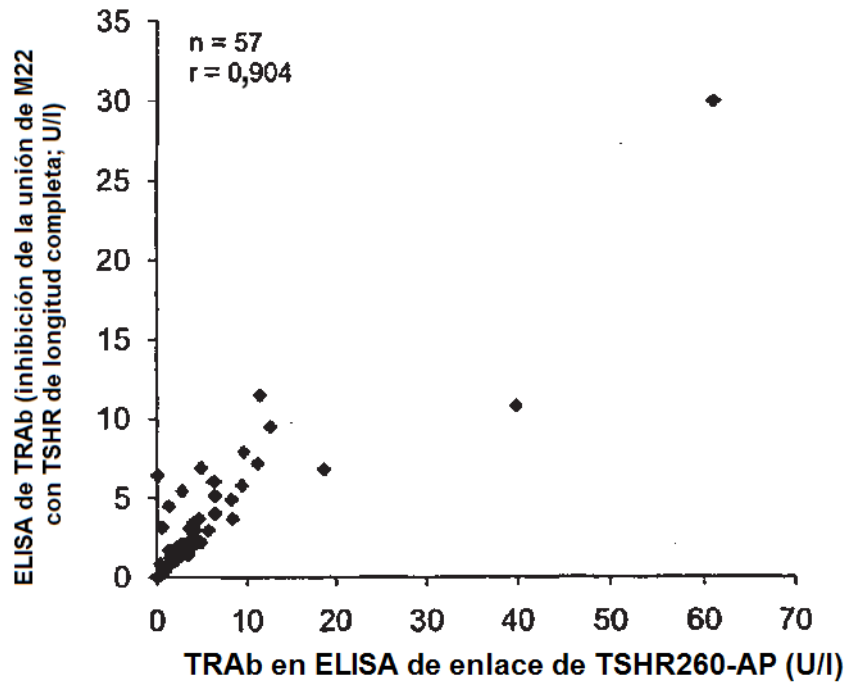


Figura 3a ADN de cadena pesada de K1-18

GAAGTGCAGCTGGTGGAGTCTGGAGCAGAGGTGAAAAGCCCGGGGAGTC
TCTGAAGATCTCCTGCAAGGGTTCTGGATACAGCTTTACCAACTACTGGA
TCGGCTGGGTGCGCCAGATGCCCGGAAAGGCCTGGAGTGGATGGGGATC
ATCTATCCTTATGACTCTGATACCAGATATAGCCCGTCTTCGAAGGCCA
GGTCACCATCTCAGCCGACAAGTCCATCAGGACCGCCTACCTGCACTGGA
GCAGCCTGAAGGCCTCGGACACCGCCATGTATTACTGTGTGAGACCCCGC
GATGGGAGCTATCCTTATGATGCTTTTGATATCTGGGGCCAAGGGACAAT
GGTCACCGTCTCTTCAGCCTCCACCAAGGGCCATCGGTCTTCCCCCTGG
CACCTCCTCCAAGAGCACCTCTGGGGGCACAGCGGCCCTGGGCTGCCTG
GTCAAGGACTACTTCCCCGAACCGGTGACGGTGTGCGTGGAACTCAGGCGC
CCTGACCAGCGGCGTGCACACCTTCCCGGCTGTCCTACAGTCCTCAGGAC
TCTACTCCCTCAGCAGCGTGGTGACCGTGCCCTCCAGCAGCTTGGGCACC
CAGACCTACATCTGCAACGTGAATCACAAGCCCAGCAACACCAAGGTGGA
CAAGAGAGTTGAGCCCAAATCTTGTGACAAAAC TAGT

GAAGTGCAGCTGGTGGAGTCTGGAGCAGAGGTGAAAAAGCCCGGGGAGTC 50
 cebador de PCR
 TCTGAAGATCTCCTGCAAGGGTTCTGGATACAGCTTTACCAACTACTGGA 100
 CDR I
TCGGCTGGGTGCGCCAGATGCCCGGAAAGGCCTGGAGTGGATGGGCATC 150
 CDR II
ATCTATCCTTATGACTCTGATACCAGATATAGCCCGTCCTTCGAAGGCCA 200
 GGTCACCATCTCAGCCGACAAGTCCATCAGGACCGCCTACCTGCACTGGA 250
 GCAGCCTGAAGGCCCTCGGACACCGCCATGTATTACTGTGTGAGACCCCGC 300
 CDR III
GATGGGAGCTATCCTTATGATGCTTTTGATATCTGGGGCCAAGGGACAAT 350
 GGTCACCGTCTCTTCAGCCTCCACCAAGGGCCCATCGGTCTTCCCCCTGG 400
 región constante
 CACCCTCCTCCAAGAGCACCTCTGGGGGCACAGCGGCCCTGGGCTGCCTG 450
 GTCAAGGACTACTTCCCCGAACCGGTGACGGTGTCTGGAACCTCAGGCGC 500
 CCTGACCAGCGGCGTGACACCTTCCCGGCTGTCTACAGTCCTCAGGAC 550
 TCTACTCCCTCAGCAGCGTGGTGACCGTGCCCTCCAGCAGCTTGGGCACC 600
 CAGACCTACATCTGCAACGTGAATCACAAGCCCAGCAACACCAAGGTGGA 650
 CAAGAGAGTTGAGCCCAAATCTTGAGACAAAAGT 687
 cebador de PCR

ES 2 540 538 T3

Figura 3b Proteína de cadena pesada de K1 -18

EVQLVESGAEVKPKGESLKISCKGSGYSFTNYWIGWVRQMPGKGLEWMGI
 IYPYDSDTRYSPSFEGQVTISADKSI RTAYLHWSSLKASDTAMYVCVRPR
 DGSYPYDAFDIWGQGMVTVSSASTKGPSVFPLAPSSKSTSGGTAALGCL
 VKDYFPEPVTVSWNSGALTSGVHTFPAVLQSSGLYSLSSVVTVPSSSLGT
 QTYICNVNHKPSNTKVDKRVEPKSCDKTS

EVQLVESGAEVKPKGESLKISCKGSGYSFTNYWIGWVRQMPGKGLEWMGI	50
cebador de PCR	CDR I
IYPYDSDTRYSPSFEGQVTISADKSI RTAYLHWSSLKASDTAMYVCVRPR	100
CDR II	
DGSYPYDAFDIWGQGMVTVSSASTKGPSVFPLAPSSKSTSGGTAALGCL	150
CDR III	región constante
VKDYFPEPVTVSWNSGALTSGVHTFPAVLQSSGLYSLSSVVTVPSSSLGT	200
QTYICNVNHKPSNTKVDKRVEPKSCDKTS	229
cebador de PCR	

Figura 3c ADN de cadena pesada de K1-18

ATGGGGTCAACCGCCATCCTCGCCCTCCTCCTGGGTGTTCTCCAAGGAGTCTGTGGCGAGGTGCAGCTGGTGCAGTC
TGGAGCAGAGGTGAAAAAGCCCGGGGAGTCTCTGAAGATCTCTGCAAGGGTCTGGATACAGCTTTACCAACTACT
GGATCGGCTGGGTGCGCCAGATGCCCGGAAAGGCCCTGGAGTGGATGGGGATCATCTATCCTTATGACTCTGATACC
AGATATAGCCCGTCTTCGAAGGCCAGGTCACCATCTCAGCCGACAAGTCCATCAGGACCGCCTACCTGCAC TGGAG
CAGCCTGAAGGCCTCGGACACCGCCATGTATTACTGTGTGAGACCCCGCATGGGAGCTATCCTTATGATGCTTTTG
ATATCTGGGGCAAGGGACAATGGTCACCGTCTCTTCAGCCTCCACCAAGGGCCCATCGGTCTTCCCCCTGGCACCC
TCCTCCAAGAGCACCTCTGGGGCACAGCGGCCCTGGGCTGCCTGGTCAAGGACTACTTCCCCGAACCGGTGACGGT
GTCGTGGAAC T CAGGCGCCCTGACCAGCGCGTGCACACCTTCCCGGCTGTCTACAGTCTCAGGACTCTACTCCC
TCAGCAGCGTGGTGACCGTGCCCTCCAGCAGCTTGGGCACCCAGACCTACATCTGCAACGTGAATCACAAGCCCAGC
AACACCAAGGTGGACAAGACAGTTGAGCGCAAATCT

ES 2 540 538 T3

Figura 3d Proteína de cadena pesada de K1-18

MGSTAILALLGLVQGVCGEVQLVQSGAEVKKPGESLKISCKGSGYSFTNYWIGWVRQMPGKGLEWMGI IYPYDSDT
RYS PSEFEGQVTISADKSIRTAYLHWSSLKASDTAMYICVRRPRDGSYPYDAFDIWGQGTMTVTVSSASTKGPSVFPLAP
SSKSTSGGTAALGCLVKDYFPEPVTVSWNSGALTSGVHTFPAVLQSSGLYSLSSVTVTPSSSLGTQTYICNVNHKPS
NTKVDKTKVERKS

mgstailallglvqgvcgEVQLVQSGAEVKKPGESLKISCKGSGYSFTNYWIGWVRQMPGKGLEWMGI IYPYDSDT
cebador de PCR secuencia líder CDR I

YWIGWVRQMPGKGLEWMGI IYPYDSDTRYSPSEFEGQVTISADKSIRTAYL
CDR II

HWSSLKASDTAMYICVRRPRDGSYPYDAFDIWGQGTMTVTVSSASTKGPSVF
CDR III región constante

PLAPSSKSTSGGTAALGCLVKDYFPEPVTVSWNSGALTSGVHTFPAVLQS

SGLYSLSSVTVTPSSSLGTQTYICNVNHKPSNTKVDKTKVERKS
cebador de PCR

Figura 4a ADN de cadena ligera de K1-18

GAAATTGTGTTGACGCAGTCTCCAGGCACCCTGTCTTTGTCTCCAGGGGA
AAGAGCCACCCTCTCCTGCAGGGCCAGTCAGAGTGTTAGCAACAACACTACT
TAGCCTGGTACCAGCAGAAGCCTGGCCAGGCTCCCAGGCTCCTCATCTAT
GGTGCATCCAGCAGGGCCACTGGCATCCCAGACAGGTTTCAGTGGCAGTGG
GTCTGGGACAGACTTCACTCTCACCATCAGCAGACTGGAGCCTGAAGATT
TTGCAGTGATTACTGTCAGCATTGTGGTAGCTCACTGAGGGCGTTCGGC
CAAGGGACCAAGGTGAAATCAAACGAACTGTGGCTGCACCATCTGTCTT
CATCTTCCGCCATCTGATGAGCAGTTGAAATCTGGAAGTGCCTCTGTTG
TGTGCCTGCTGAATAACTTCTATCCCAGAGAGGCCAAAGTACAGTGGAAAG
GTGGATAACGCCCTCCAATCGGGTAACTCCCAGGAGAGTGTACAGAGCA
GGACAGCAAGGACAGCACCTACAGCCTCAGCAGCACCCCTGACGCTGAGCA
AAGCAGACTACGAGAAACACAACTCTACGCCTGCGAAGTCACCCATCAG
GGCCTGAGCTCGCCCGTC

ES 2 540 538 T3

GAAATTGTGTTGACGCAGTCTCCAGGCACCCTGTCTTTGTCTCCAGGGGA 50
 cebador de PCR

AAGAGCCACCCTCTCCTGCAGGGCCAGTCAGAGTGTAGCAACAACTACT 100
 CDR I

TAGCCTGGTACCAGCAGAAGCCTGGCCAGGCTCCCAGGCTCCTCATCTAT 150

GGTGCATCCAGCAGGGCCACTGGCATCCCAGACAGGTCAGTGGCAGTGG 200
 CDR II

GTCTGGGACAGACTTCACTCTCACCATCAGCAGACTGGAGCCTGAAGATT 250

TTGCAGTGTATTACTGTCAGCATTGTGGTAGCTCACTGAGGGCGTCGGC 300
 CDR III

CAAGGGACCAAGGTGGAAATCAAACGAACTGTGGCTGCACCATCTGTCTT 350
 región constante

CATCTTCCCGCCATCTGATGAGCAGTTGAAATCTGGAACTGCCTCTGTG 400

TGTGCCTGCTGAATAACTTCTATCCCAGAGAGGCCAAAGTACAGTGGAAAG 450

GTGGATAACGCCCTCCAATCGGGTAACTCCCAGGAGAGTGTACACAGAGCA 500

GGACAGCAAGGACAGCACCTACAGCCTCAGCAGCACCCCTGACGCTGAGCA 550

AAGCAGACTACGAGAAACACAAACTCTACGCCTGCGAAGTCACCCATCAG 600

GGCCTGAGCTCGCCCGTC 618
 cebador de PCR

ES 2 540 538 T3

Figura 4b Proteína de cadena ligera de K1-18

EIVLTQSPGTL^SLSLSPGERATL^SSCRASQSVSN^{NY}LAWYQQKPGQAPRLLIY
 GASSRATGIPDRFSGSGSGTDFTLTISRLEPEDFAVYYCQHC^{GSS}LRAFG
 QGTKVEIKRTVAAPSVFIFPPSDEQLKSGTASVVCLLNNFYPREAKVQWK
 VDNALQSGNSQESVTEQDSKDS^{TYS}LSSTLTLSKADYEKHKLYACEVTHQ
 GLSSPV

EIVLTQSPGTL ^S LSLSPGERATL ^S SCRASQSVSN ^{NY} LAWYQQKPGQAPRLLIY	50
cebador de PCR	CDR I
GASSRATGIPDRFSGSGSGTDFTLTISRLEPEDFAVYYCQHC ^{GSS} LRAFG	100
CDR II	CDR
III	
QGTKVEIKRTVAAPSVFIFPPSDEQLKSGTASVVCLLNNFYPREAKVQWK	150
región constante	
VDNALQSGNSQESVTEQDSKDS ^{TYS} LSSTLTLSKADYEKHKLYACEVTHQ	200
GLSSPV	206
cebador de PCR	

Figura 4c ADN de cadena ligera de K1-18

ATGGAAACCCAGCGCAGCTTCTCTTCCTCCTGCTACTCTGGCTCCCAGATACCACCGGAGAAATTGTGTTGACGCA
GTCTCCAGGCACCCTGTCTTTGTCTCCAGGGGAAAAGAGCCACCCTCTCCTGCAGGGCCAGTCAGAGTGTTAGCAACA
ACTACTTAGCCTGGTACCAGCAGAAGCCTGGCCAGGCTCCCAGGCTCCTCATCTATGGTGCATCCAGCAGGGCCACT
GGCATCCCAGACAGGTTCAGTGGCAGTGGGTCTGGGACAGACTTCACTCTCACCATCAGCAGACTGGAGCCTGAAGA
TTTTCAGTGTATTACTGTCAGCATTGTGGTAGCTCACTGAGGGCGTTCGGCCAAGGGACCAAGGTGGAAATCAAAC
GAACTGTGGCTGCACCATCTGTCTTCATCTTCCCGCCATCTGATGAGCAGTTGAAATCTGGAAGTGCCTCTGTTGTG
TGCTGCTGAATAACTTCTATCCCAGAGAGGCCAAAGTACAGTGAAGGTGGATAACGCCCTCCAATCGGGTAACTC
CCAGGAGAGTGTACAGAGCAGGACAGCAAGGACAGCACCTACAGCCTCAGCAGCACCTGACGCTGAGCAAAGCAG
ACTACGAGAAACACAAACTCTACGCCTGCGAAGTCACCCATCAGGGCCTGAGCTCGCCCGTCACA

atggaaaccccagcgcagcttctcttctctctctgtactctggtctcccaga
cebador de PCR secuencia líder

taccaccggaGAAATTGTGTTGACGCAGTCTCCAGGCACCCTGTCTTTGT

CTCCAGGGGAAAGAGCCACCCTCTCCTGCAGGGCCAGTCAGAGTGTTAGC
CDR I

AACAACTACTTAGCCCTGGTACCAGCAGAAGCCTGGCCAGGCTCCCAGGCT

CCTCATCTATGGTGCATCCAGCAGGGCCACTGGCATCCCAGACAGGTTCA
CDR II

GTGGCAGTGGGTCTGGGACAGACTTCACTCTCACCATCAGCAGACTGGAG

CCTGAAGATTTGCAGTGTATTACTGTCAGCATGTGGTAGCTCACTGAG
CDR III

GGCGTTCCGGCCAAGGGACCAAGGTGGAAATCAAACGAACTGTGGCTGCAC
región constante

CATCTGTCTTCATCTTCCCGCCATCTGATGAGCAGTTGAAATCTGGA

GCCTCTGTTGTGTGCCTGCTGAATAACTTCTATCCCAGAGAGGCCAAAGT

ACAGTGGAAAGGTGGATAACGCCCTCCAATCGGGTAACTCCCAGGAGAGTG

TCACAGAGCAGGACAGCAAGGACAGCACCTACAGCCTCAGCAGCACCCCTG

ACGCTGAGCAAAGCAGACTACGAGAAACACAAACTCTACGCCTGCGAAGT

CACCCATCAGGGCCCTGAGCTCGCCCGTCACA
cebador de PCR

Figura 4d Proteína de cadena ligera de K1-18

METPAQLLFLLLLLWLPDTTGEIVLTQSPGTLSSLSPGERATLSCRASQSVSNYYLAWYQOKPGQAPRLLIYGASSRAT
GIPDRFSGSGSGTDFTLTISRLEPEDFAVYYCQHCSSLRATFGQGTKVEIKRTVAAPSVFIFPPSDEQLKSGTASV
VCLLNLFYPREAKVQWKVDNALQSGNSQESVTEQDSKDSSTYSLSSTLTLSKADYEKHKLYACEVTHQGLSSPVT

metpaqlflllllwlpdttgEIVLTQSPGTLSSLSPGERATLSCRASQSVS
cebador secuencia CDR I
de PCR líder

NNYLAWYQOKPGQAPRLLIYGASSRATGIPDRFSGSGSGTDFTLTISRLE
CDR II

PEDFAVYYCQHCSSLRATFGQGTKVEIKRTVAAPSVFIFPPSDEQLKSGT
CDR III región constante

ASVCLLNLFYPREAKVQWKVDNALQSGNSQESVTEQDSKDSSTYSLSSTL

TLISKADYEKHKLYACEVTHQGLSSPVT
cebador de PCR

Figura 5a ADN de cadena pesada de K1-70

CAGGTT CAGCTGGTGCAGTCTGGAGCAGAGGTGAAAAAGCCCGGGCAGTC
TCTGAAGATCTCTGTAAGGCTTCTGGATACAGCTTAACCGACAACCTGGA
TCGGCTGGGTGCGCCAGAAGCCCGGAAAGGCCTGGAGTGGATGGGGATC
ATCTATCCTGGTACTCTGACACCAGATACAGTCCGTCTTCCAAGGCCA
GGTCACCATCTCAGCCGACAAGTCCATCAACACCGCCTACCTGCAGTGGA
GCAGCCTGAAGGCCTCGGACACCGCCATATATTACTGTGTGGGACTCGAT
TGGAACTACAACCCCTGCGATACTGGGGCCCGGGAACCTGGTCACCGT
CTCCTCAGCCTCCACCAAGGGCCCATCGGTCTTCCCCCTGGCACCCCTCCT
CCAAGAGCACCTCTGGGGGCACAGCGGCCCTGGGCTGCCTGGTCAAGGAC
TACTTCCCCGAACCGGTGACGGTGTGCTGGAACCTCAGGCGCCCTGACCAG
CGGCGTGCACACCTTCCCGGCTGTCTACAGTCTCAGGACTCTACTCCC
TCAGCAGCGTGGTGACCGTGCCCTCCAGCAGCTTGGGCACCCAGACCTAC
ATCTGCAACGTGAATCACAAAGCCAGCAACCAAGGTGGACAAGAAAGT
TGAGCCCAAATCTTGTGACAAAAC TAGTG

ES 2 540 538 T3

CAGGTTCAGCTGGTGCAGTCTGGAGCAGAGGTGAAAAGCCCGGGCAGTC 50
 cebador de PCR
 TCTGAAGATCTCCTGTAAGGCTTCTGGATACAGCTTAACCGACAACTGGA 100
 CDR I
TCGGCTGGGTGCGCCAGAAGCCCGGGAAAGGCCTGGAGTGGATGGGGATC 150
 CDR
 II
ATCTATCCTGGTGACTCTGACACCAGATACAGTCCGTCCTTCCAAGGCCA 200
 GGTACCATCTCAGCCGACAAGTCCATCAACACCGCCTACCTGCAGTGGGA 250
 GCAGCCTGAAGGCCTCGGACACCGCCATATATTACTGTGTGGGACTCGAT 300
 CDR III
TGGAACTACAACCCCTGCGATACTGGGGCCCGGGAACCCTGGTCACCCT 350
 CTCTCAGCCTCCACCAAGGGCCCATCGGTCTTCCCCCTGGCACCCCTCCT 400
 región constante
 CCAAGAGCACCTCTGGGGGCACAGCGGCCCTGGGCTGCCGTGGTCAAGGAC 450
 TACTTCCCCGAACCGGTGACGGTGTCTGTGGAACCTCAGGCGCCCTGACCAG 500
 CGGCGTGACACCTTCCC GGCTGTCTACAGTCTCAGGACTCTACTCCC 550
 TCAGCAGCGTGGTGACCGTGCCCTCCAGCAGCTTGGGCACCCAGACCTAC 600
 ATCTGCAACGTGAATCACAAGCCCAGCAACACCAAGGTGGACAAGAAAGT 650
TGAGCCCAAATCTGTGACAAAACTAGTG 679
 cebador de PCR

ES 2 540 538 T3

Figura 5b Proteína de cadena pesada de K1-70

QVQLVQSGAEVKKPGQSLKISCKASGYSLTDNWIGWVRQKPGKGLEWMGI
 IYPGDS DTRYSPSFQGGVTTISADKSINTAYLOWSSLKASDTAIYYCVGLD
 WNYNPLRYWGPGLTVTVSSASTKGPSVFPLAPSSKSTSGGTAALGCLVKD
 YFPEPVTVSWNSGALTSGVHTFPAVLQSSGLYSLSSVTVTPSSSLGTQTY
 ICNVNHKPSNTKVDKKVEPKSCDKTS

<u>QVQLVQSGAEVKKPGQSLKISCKASGYSLTDNWIGWVRQKPGKGLEWMGI</u>	50
cebador de PCR	
II	
<u>IYPGDS DTRYSPSFQGGVTTISADKSINTAYLOWSSLKASDTAIYYCVGLD</u>	100
CDR III	
<u>WNYNPLRYWGPGLTVTVSSASTKGPSVFPLAPSSKSTSGGTAALGCLVKD</u>	150
región constante	
YFPEPVTVSWNSGALTSGVHTFPAVLQSSGLYSLSSVTVTPSSSLGTQTY	200
<u>ICNVNHKPSNTKVDKKVEPKSCDKTS</u>	226
cebador de PCR	

Figura 5c ADN de cadena pesada de K1-70

ATGGGGTCAACCGCCATCCTCGCCCTCCTCTGGCTGTTCTCCAGGGAGTCTGTGCCGAGGTGCAGCTGGTGCAGTC
TGGAGCAGAGGTGAAAAGCCCGGGCAGTCTCTGAAGATCTCCTGTAAGGCTTCTGGATACAGCTTAACCGACAAC
GGATCGGCTGGGTGCGCCAGAAGCCCGGAAAGGCTGGAGTGGATGGGGATCATCTATCCTGGTGA CTCTGACACC
AGATACAGTCCGTCCTTCCAAGGCCAGGTACCATCTCAGCCGACAAGTCCATCAACACCGCCTACCTGCAGTGGAG
CAGCCTGAAGGCCTCGGACACCGCCATATATTACTGTGTGGGACTCGATTGGA ACTACAACCCCTGCGATACTGGG
GCCCCGGAACCTGGTCAACCGTCTCCTCAGCCTCCACCAAGGGCCCATCGGTCTTCCCCCTGGCACCTCCTCCAAG
AGCACCTCTGGGGGCACAGCGGCCCTGGGCTGCCTGGTCAAGGACTACTTCCCCGAACCGGTGACGGTGTCTGGAA
CTCAGGCGCCCTGACCAGCGGCGTGCACACCTTCCCGGCTGTCTACAGTCTCAGGACTCTACTCCCTCAGCAGCG
TGGTGACCGTGCCCTCCAGCAGCTTGGGCACCCAGACCTACATCTGCAACGTGAATCACAAGCCCAGCAACACCAAG
GTGGACAAGACAGTTGAGCGCAAATCT

atgggggtcaaccgcccatacctcgcacctcctcctggtgttctccagggagt
cebador de PCR secuencia líder

ctgtgccGAGGTGCAGCTGGTGCAGTCTGGAGCAGAGGTGAAAAAGCCCG

GGCAGICTCTGAAGATCTCCIGTAAGGCTTGTGGATACAGCTTAACCGAC
CDR I

AACTGGATCGGCTGGGTGCGCCAGAAGCCCGGGAAAGGCCTGGAGTGGAT

GGGGATCATCTATCCCTGGTACTCTGACACCAGATACAGTCUGTCCCTCC
CDR II

AAGGCCAGGTACCATCTCAGCCGACAAGTCCATCAACACCGCCTACCTG

CAGTGGAGCAGCCTGAAGGCCTCGGACACCGCCATATATTACTGTGTGGG

ACTCGATTGGAACTACAACCCCTGCGATACTGGGGCCCGGGAACCCTGG
CDR III

TCACCGTCTCCTCAGCCTCCACCAAGGGCCCATCGGTCTTCCCCCTGGCA
región constante

CCCTCCTCCAAGAGCACCTCTGGGGGCACAGCGCCCTGGGCTGCCTGGT

CAAGGACTACTTCCCCGAACCGGTGACGGTGTTCGTGGAACTCAGGCGCCC

TGACCAGCGGCGTGCACACCTTCCCGGCTGTCCTACAGTCCTCAGGACTC

TACTCCCTCAGCAGCGTGGTGACCCTGCCCTCCAGCAGCTTGGGCACCCA

GACCTACATCTGCAACGTGAATCACAAGCCCAGCAACACCAAGGTGGACA

AGACAGTTGAGCGCAAATCT
cebador de PCR

Figura 6a ADN de cadena ligera de K1-70

CTGCCTGTGCTGACTCAGCCACCCTCAGTGTCCGTGTCCCCAGGACAGAC
AGCCAGCATCACCTGCTCTGGAGATAAATTGGGGATAAATATGCTTGCT
GGTATCAGCAGAAGCCAGGCCAGTCCCTGTGCTGGTCATCTATCAAGAT
AGCAAGCGGCCCTCAGGGATCCCTGAGCGATTCTCTGGCTCCAACCTCTGG
GAACACAGCCACTCTGACCATCAGCGGGACCCAGGCTATGGATGAGGCTG
ACTATTACTGTCTAGGCGTGGGACAGCAGCACTGCCGTGGTATTCGGCGGA
GGGACCAAGCTGACCGTCCTAGGTCAGCCCAAGGCTGCCCCCTCGGTAC
TCTGTTCCCGCCCTCCTCTGAGGAGCTTCAAGCCAACAAGGCCACACTGG
TGTGTCTCATAAGTACTTCTACCCGGGAGCCGTGACAGTGGCCTGGAAG
GCAGATAGCAGCCCGTCAAGGCGGGAGTGGAGACCACCACACCCCTCAA
ACAAAGCAACAACAAGTACGCGGCCAGCAGCTATCTGAGCCTGACGCCTG
AGCAGTGGAAGTCCCACAGAAGCTACAGCTGCCAGGTCACGCATGAAGGG
AGCACCGTGGAGAAGACAGTGGCCCTACAGAATGTTC

ES 2 540 538 T3

CTGCCTGTGCTGACTCAGCCACCCTCAGTGTCCGTGTCCCAGGACAGAC 50
 cebador de PCR

AGCCAGCATCACCTGCTCTGGAGATAAATTGGGGATAAATATGCTTGCT 100
 CDR I

GGTATCAGCAGAAGCCAGGCCAGTCCCCTGTGCTGGTCATCTATCAAGAT 150
 CDR II

AGCAAGCGGCCCTCAGGGATCCCTGAGCGATTCTCTGGCTCCAACTCTGG 200

GAACACAGCCACTCTGACCATCAGCGGGACCCAGGCTATGGATGAGGCTG 250

ACTATTACTGTTCAGGCGTGGGACAGCAGCACTGCCGTGGTATTCGGCGGA 300
 CDR III

GGGACCAAGCTGACCGTCCTAGGTCAGCCCAAGGCTGCCCCCTCGGTCAC 350
 región constante

TCTGTTCCTCCGCTCCTCTGAGGAGCTTCAAGCCAACAAGGCCACACTGG 400

TGTGTCTCATAAGTGACTTCTACCCGGGAGCCGTGACAGTGGCCTGGAAG 450

GCAGATAGCAGCCCCGTCAAGGCGGGAGTGGAGACCACCACACCCCTCAA 500

ACAAAGCAACAACAAGTACGCGGCCAGCAGCTATCTGAGCCTGACGCCTG 550

AGCAGTGAAGTCCCACAGAAGCTACAGCTGCCAGGTCACGCATGAAGGG 600

AGCACCGTGGAGAAGACAGTGGCCCTACAGAATGTCA 639
 cebador de PCR

Figura 6b Proteína de cadena ligera de K1-70

LPVLTQPPSVSVSPGQTASITCSGDKLGDKYACWYQOKPGQSPVLVIYQD
 SKRPSGIPERFSGSNSGNTATLTISGTQAMDEADYICQAWDSSTAVVFGG
 GTKLTVLGQPKAAPSVTLFPPSSEELQANKATLVCLISDFYPGAVTVAWK
 ADSSPVKAGVETTTPSKQSNNKYAASSYLSLTPEQWKSHRSYSCQVTHEG
 STVEKTVAPTECS

LPVLTQPPSVSVSPGQTASITCSGDKLGDKYACWYQOKPGQSPVLVIYQD	50
cebador de PCR	
CDR I	
CDR II	
SKRPSGIPERFSGSNSGNTATLTISGTQAMDEADYICQAWDSSTAVVFGG	100
CDR III	
GTKLTVLGQPKAAPSVTLFPPSSEELQANKATLVCLISDFYPGAVTVAWK	150
región constante	
ADSSPVKAGVETTTPSKQSNNKYAASSYLSLTPEQWKSHRSYSCQVTHEG	200
STVEKTVAPTECS	213
cebador de PCR	

Figura 6c ADN de cadena ligera de K1-70 (preferido)

ATGGCCTGGTCTCCTCCTCCTCACCTTCTCATTCACTGCACAGGGTCCTGGGCCAGTCTGTGTTGACGCAGCC
GCCCTCAGTGTCTGCGGCCCCAGGACAGAAGGTCACCATTTCTGCTCCGGAAGCAGCTCCGACATTGGGAGTAATT
ATGTATCCTGGTACCAGCAGTTCCCGGGAACAGCCCCAAACTCCTCATTATGACAATAATAAGCGACCCTCAGCG
ATTCCTGACCGATTCTCTGGCTCCAAGTCTGGCACGTCAGCCACCCTGGGCATCACCGGACTCCAGACTGGGGACGA
GGCCGATTATTACTGCGGAACATGGGATAGCAGACTGGGTATTGCTGTGTTTCGGAGGAGGCACCCAGCTGACCGTCC
TCGGTCAGCCCAAGGCTGCCCCATCGGTCACTCTGTTCACCCCTCCTCTGAGGAGCTTCAAGCCAACAAGGCCACA
CTGGTGTGTCTCGTAAGTGACTTCTACCCGGGAGCCGTGACAGTGGCC'TGGAAGGCAGATGGCAGCCCCGTCAAGGT
GGGAGTGGAGACCACCAAACCTCCAAACAAGCAACAACAAGTATGCGGCCAGCAGCTACCTGAGCCTGACGCCCG
AGCAGTGGAAAGTCCACAGAAGCTACAGCTGCCGGGTCACGCATGAAGGGAGCACCGTGGAGAAGACAGTGGCCCT
ACAGAATGTCA

Figura 6e Secuencia N-terminal de cadena ligera de K1-70 (aminoácidos 2-21; el primer aminoácido N-terminal se retiró por tratamiento con piroglutamato aminopeptidasa para permitir la reacción de Edman)

SVLTQPPSVSAAPGQKVTIS

Figura 7a La secuencia de aminoácidos consenso del TSHR humano (n° de referencia P16473, <http://www.ncbi.nlm.nih.gov/entrez/viewer.fcgi?db=protein&val=62298994>). La secuencia líder (secuencia de aminoácidos 1-21) se muestra en minúsculas.

mrpadllqlv	llldlprdlg	gMGCSSPFC	CHQEDFRVT	CKDIQRIPSL	PPSTQTLKLI
ETHLRTIPSH	AFSNLPNISR	IYVSIDVTLQ	QLESHSFYNL	SKVTHIEIRN	TRNLTYIDPD
ALKELPLLKF	LGIFNTGLKM	FPDLTKVYST	DIFFILEITD	NPVMTSIPVN	AFQGLCNETL
TLKLYNNGFT	SVQGYAFNGT	KLDAVYLNKN	KYLTVIDKDA	FGGVYSGPSL	LDVTSQTSVTA
LPSKGLEHLK	ELIARNIWTL	KKLPLSLSFL	HLTRADLSYP	SHCCAFKQK	KIRGILESIM
QNESSMQSLR	QRKSVNALNS	PLHQEYEENL	GDSTVGYKEK	SKFQDTHNNA	HYVVFEEQE
DEIIGFQEL	KNPQEETLQA	FDSHYDYTIC	GDSEDMVCTP	KSDEFNPCED	IMGYKFLRIV
VWFVSLALL	GNVFLLILL	TSHYKLNVR	FLMCNLAFAD	FQMGMYLLLI	ASVDLYHSE
YYNHAIWQT	GPGCNTAGFF	TVFAEELSVY	TLIVITLERW	YAITFAMRLD	RKIRLRHACA
IMVGGWCCF	LLALLPLVGI	SSYAKVSICL	FMDTETPLAL	AYIVFVLTIN	IVAFVIVCCC
YVKIYITVRN	PQYNFGDKDT	KIAKRMVAVLI	FTDFIQAPI	SFYALSAILN	KPLITVSNSK
ILLVLFYPLN	SCANPFLYAI	FTKAFQRDVE	ILLSKFGICK	RQAQAYRQR	VPEKNSTDIQ
VQKVTHDMRQ	GLHMEDVYE	LIENSHLTPK	KQQQISEEYM	QIVL	

Figura 7b La secuencia de aminoácidos consenso de TSHR humano (aminoácidos 1-260 incluyendo la secuencia líder (aminoácidos 1-21) mostrados en minúscula), Una secuencia de 6 histidinas añadida en el extremo C-terminal (después de asparaginas en la posición 260) se muestra en **negrita**

mrpadllqlv	llldlprdlg	gMGSSPPCE	CHQEEDFRVT	CKDIQRIPSL	PPSTQTLKLI
ETHLRTIPSH	AFSNLPNISR	IYVSIDVTLQ	QLESHSFYNL	SKVTHIEIRN	TRNLTYIDPD
ALKELPLLKF	LGIFNIGLKM	FPDLTKVYST	DIFFILEITD	NPYMTSIPVN	AFQGLCNETL
TLKLYNNGFT	SVQGYAFNGT	KLDAVYLNKN	KYLTVIDKDA	FGVYSGPSL	LDVTSQTSVTA
LPSKGLEHLK	ELIARNIWTL	NHHHHH			

Figura 7c La secuencia de aminoácidos del TSHR LRD C-CAP humano con un marcador de 6 histidinas C-terminal. La secuencia líder (aminoácidos 1-21) se muestra en minúscula

mrpadllqlv	llldlprdlg	gMCCSSPCE	CHQEEDFRVT	CKDIQRIPSL	PPSTQTLLKI
ETHLRTIPSH	AFSNLPNISR	IYVSIDVTIQ	QLESHSFYNL	SKVTHIEIRN	TRNLTYIDPD
ALKELPLLLKF	LGIFNIGLKM	FPDLTKVYST	DIFFILEITD	NPYMTSIPVN	AFQGLONETL
TLKLYNNGFT	SVQGYAFNGT	KLDAVYLNKN	KYLTVIDKDA	FGGVYSGPSL	LDVSOQTSVTA
LPSKGLEHLK	ELIARNIWTL	KKLPLSLSFL	HLTRADLSYP	SHOCAFKNQK	KIRGILESIM
CNESSDYTI	OGDSEDMVCT	PKSDEFNPCE	HHHHHH		

ES 2 540 538 T3

Figura 8 Coordenadas de Fab K1-70

```

HEADER      ----                XX-XXX-9-      xxxxx
COMPND      ----
REMARK      3
REMARK      3      REFINAMIENTO.
REMARK      3      PROGRAMA : REFMAC 5,5,0072
REMARK      3      AUTORES  : MURSHUDOV,VAGINDODSON
REMARK      3
REMARK      3      DIANA DE REFINAMIENTO: MÁXIMA PROBABILIDAD
REMARK      3
REMARK      3      DATOS USADOS EN EL REFINAMIENTO.
REMARK      3      INTERVALO DE RESOLUCIÓN ALTO      (ANGSTROMS) : 2,22
REMARK      3      INTERVALO DE RESOLUCIÓN BAJO      (ANGSTROMS) : 44,86
REMARK      3      PUNTO DE CORTE DE LOS DATOS      (SIGMA(F)) : NINGUNO
REMARK      3      COMPLECIÓN PARA INTERVALO      (%) : 97,66
REMARK      3      NÚMERO DE REFLEJOS      : 51482
REMARK      3
REMARK      3      AJUSTE A DATOS USADOS EN EL REFINAMIENTO.
REMARK      3      MÉTODO DE VALIDACIÓN CRUZADA:      : COMPLETAMENTE
REMARK      3      SELECCIÓN DE CONJUNTO DE ENSAYO DE VALOR R LIBRE      : ALEATORIA
REMARK      3      VALOR R(CONJUNTO DE TRABAJO + ENSAYO)      : 0,21907
REMARK      3      VALOR R (CONJUNTO DE TRABAJO)      : 0,21667
REMARK      3      VALOR R LIBRE      : 0,26396
REMARK      3      TAMAÑO DE CONJUNTO DE ENSAYO DE VALOR R LIBRE (%)      : 5,1
REMARK      3      RECuento DE CONJUNTO DE ENSAYO DE VALOR R LIBRE      : 2775
REMARK      3
REMARK      3      AJUSTE EN EL GRUPO DE MÁXIMA RESOLUCIÓN.
REMARK      3      NÚMERO TOTAL DE GRUPOS USADOS:      : 20
REMARK      3      INTERVALO DE RESOLUCIÓN DE GRUPO ALTO:      : 2,220
REMARK      3      INTERVALO DE RESOLUCIÓN DE GRUPO BAJO:      : 2,278
REMARK      3      REFLEJO EN EL GRUPO(CONJUNTO DE TRABAJO)      : 3724
REMARK      3      COMPLECIÓN DEL GRUPO (TRABAJO + ENSAYO (%))      : 96,83
REMARK      3      VALOR DE R DE GRUPO (CONJUNTO DE TRABAJO)      : 0,307
REMARK      3      RECuento DEL CONJUNTO DE VALOR R LIBRE DEL GRUPO      : 217
REMARK      3      VALOR R LIBRE DEL GRUPO      : 0,378
REMARK      3
REMARK      3      NÚMERO DE ÁTOMOS NO DE HIDRÓGENO USADOS EN EL REFINAMIENTO.
REMARK      3      TODOS LOS ÁTOMOS      : 6699
REMARK      3
REMARK      3      VALORES B,
REMARK      3      DE LA REPRESENTACIÓN DE WILSON      (A**2) : NULO
REMARK      3      VALOR B MEDIO      (GENERAL, A**2) : 32,714
REMARK      3      VALOR B ANISOTRÓPICO GENERAL,
REMARK      3      B11 (A**2) : -1,25
REMARK      3      B22 (A**2) : 2,71
REMARK      3      B33 (A**2) : -1,25
REMARK      3      B12 (A**2) : 0,00
REMARK      3      B13 (A**2) : 0,75
REMARK      3      B23 (A**2) : 0,00
REMARK      3
REMARK      3      ERROR DE COORDENADA GENERAL ESTIMADO.
REMARK      3      ESU BASADO EN VALOR R      (A) : 0,257
REMARK      3      ESU BASADO EN VALOR R LIBRE      (A) : 0,217
REMARK      3      ESU BASADO EN PROBABILIDAD MÁXIMA      (A) : 0,158
REMARK      3      ESU PARA VALORES B BASADOS EN PROBABILIDAD MÁXIMA      (A**2) : 6,315
REMARK      3
REMARK      3      COEFICIENTES DE CORRELACIÓN
REMARK      3      COEFICIENTE DE CORRELACIÓN FO-FC      : 0,949
REMARK      3      COEFICIENTE DE CORRELACIÓN FO-FC LIBRE      : 0,927
REMARK      3

```

ES 2 540 538 T3

REMARK 3	DESVIACIONES DE RMS DE LOS VALORES IDEALES		RECuento	RMS	PESO
REMARK 3	ÁTOMOS REFINADOS A LONGITUDES DE ENLACE	(A):	6514 ;	0,014 ;	0,022
REMARK 3	OTRAS LONGITUDES DE ENLACE	(A):	4237 ;	0,001 ;	0,020
REMARK 3	ÁTOMOS REFINADOS PARA ÁNGULOS DE ENLACE	(GRADOS):	8927 ;	1,488 ;	1,955
REMARK 3	OTROS ÁNGULOS DE ENLACE	(GRADOS):	10432 ;	0,888 ;	3,003
REMARK 3	ÁNGULOS DE TORSIÓN, PERIODO 1	(GRADOS):	857 ;	6,849 ;	5,000
REMARK 3	ÁNGULOS DE TORSIÓN, PERIODO 2	(GRADOS):	216 ;	36,386 ;	24,861
REMARK 3	ÁNGULOS DE TORSIÓN, PERIODO 3	(GRADOS):	951 ;	16,906 ;	15,000
REMARK 3	ÁNGULOS DE TORSIÓN, PERIODO 4	(GRADOS):	11 ;	18,673 ;	15,000
REMARK 3	RESTRICCIONES DE CENTROS QUIRALES	(A**3):	1017 ;	0,087 ;	0,200
REMARK 3	ÁTOMOS REFINADOS PARA PLANOS GENERALES	(A):	7293 ;	0,007 ;	0,021
REMARK 3	OTROS PLANOS GENERALES	(A):	1216 ;	0,001 ;	0,020
REMARK 3					
REMARK 3	RESTRICCIONES DE FACTOR TÉRMICO ISOTRÓPICO,		RECuento	RMS	PESO
REMARK 3	ÁTOMOS REFINADOS PARA ENLACE DE CADENA PRINCIPAL	(A**2):	4278 ;	0,743	1,500
REMARK 3	OTROS ÁTOMOS CON ENLACE DE CADENA PRINCIPAL	(A**2):	1731 ;	0,144	1,500
REMARK 3	ÁTOMOS REFINADOS PARA ÁNGULO DE CADENA PRINCIPAL	(A**2):	6916 ;	1,379	2,000
REMARK 3	ÁTOMOS REFINADOS PARA ENLACE DE CADENA LATERAL	(A**2):	2236 ;	1,903	3,000
REMARK 3	ÁTOMOS REFINADOS PARA ÁNGULO DE CADENA LATERAL	(A**2):	2010 ;	3,036	4,500
REMARK 3					
REMARK 3	ESTADÍSTICA DE RESTRICCIONES DE NCS				
REMARK 3	NÚMERO DE GRUPO DE NCS: NULO				
REMARK 3					
REMARK 3	DETALLES DOBLES				
REMARK 3	NÚMERO DE DOMINIOS DOBLES: NULO				
REMARK 3					
REMARK 3	DETALLES DE TLS				
REMARK 3	NÚMERO DE GRUPOS TLS: NULO				
REMARK 3					
REMARK 3	MODELADO DE DISOLVENTE A GRANEL,				
REMARK 3	MÉTODO USADO : MÁSCARA				
REMARK 3	PARÁMETROS PARA CÁLCULO DE MÁSCARA				
REMARK 3	RADIO DE Sonda VDW	:1,40			
REMARK 3	RADIO DE Sonda IÓNICA	:0,80			
REMARK 3	RADIO DE CONTRACCIÓN	:0,80			
REMARK 3					
REMARK 3	OTRAS OBSERVACIONES DE REFINAMIENTO:				
REMARK 3	SE HAN AÑADIDO HIDRÓGENOS EN LAS POSICIONES DE SUPERPOSICIÓN				
REMARK 3	VALORES U: REFINANDOS INDIVIDUALMENTE				
REMARK 3					
REMARK	[no se proporciona título]				
SSBOND 1	CYS A	22	CYS A	92	
SSBOND 2	CYS A	142	CYS A	208	
SSBOND 3	CYS C	22	CYS C	92	
SSBOND 4	CYS C	142	CYS C	208	
SSBOND 5	CYS B	23	CYS B	88	
SSBOND 6	CYS B	134	CYS B	194	
SSBOND 7	CYS D	23	CYS D	88	
SSBOND 8	CYS D	134	CYS D	194	
CISPEP 1	PHE A	148	PRO A	149	0,00
CISPEP 2	GLU A	150	PRO A	151	0,00
CISPEP 3	TYR B	140	PRO B	141	0,00
CISPEP 4	PHE C	148	PRO C	149	0,00
CISPEP 5	GLU C	150	PRO C	151	0,00
CISPEP 6	TYR D	140	PRO D	141	0,00
CRYST1	70,180	62,140	131,030	90,00,	98,29
SCALE1	0,014249	0,000000	0,002076	90,00	P 1
SCALE2		0,016093	0,000000		21 1

ES 2 540 538 T3

SCALE3	0,000000			0,000000	0,007712		0,000000												
ATOM	1	N	GLN	A	1	38,061	-3,592	66,895	1,00	41,03	A	N							
ATOM	2	CA	GLN	A	1	36,758	-3,846	67,593	1,00	39,95	A	C							
ATOM	4	CB	GLN	A	1	36,944	-4,668	68,859	1,00	40,33	A	C							
ATOM	11	C	GLN	A	1	36,080	-2,516	67,908	1,00	39,20	A	C							
ATOM	12	O	GLN	A	1	34,930	-2,338	67,534	1,00	39,71	A	O							
ATOM	16	N	VAL	A	2	36,777	-1,598	68,586	1,00	38,20	A	N							
ATOM	17	CA	VAL	A	2	36,258	-0,226	68,806	1,00	37,19	A	C							
ATOM	19	CB	VAL	A	2	36,917	0,479	70,008	1,00	37,15	A	C							
ATOM	21	CG1	VAL	A	2	36,330	1,908	70,212	1,00	34,81	A	C							
ATOM	25	CG2	VAL	A	2	36,773	-0,372	71,272	1,00	36,30	A	C							
ATOM	29	C	VAL	A	2	36,483	0,662	67,575	1,00	37,15	A	C							
ATOM	30	O	VAL	A	2	37,612	0,841	67,128	1,00	37,22	A	O							
ATOM	32	N	GLN	A	3	35,404	1,211	67,031	1,00	36,48	A	N							
ATOM	33	CA	GLN	A	3	35,485	2,095	65,887	1,00	36,23	A	C							
ATOM	35	CB	GLN	A	3	35,074	1,355	64,601	1,00	36,36	A	C							
ATOM	38	CG	GLN	A	3	35,996	1,588	63,378	1,00	41,25	A	C							
ATOM	41	CD	GLN	A	3	35,251	1,585	62,005	1,00	45,22	A	C							
ATOM	42	OE1	GLN	A	3	35,582	2,372	61,100	1,00	45,42	A	O							
ATOM	43	NE2	GLN	A	3	34,243	0,714	61,863	1,00	46,72	A	N							
ATOM	46	C	GLN	A	3	34,537	3,266	66,148	1,00	34,98	A	C							
ATOM	47	O	GLN	A	3	33,350	3,051	66,434	1,00	34,03	A	O							
ATOM	49	N	LEU	A	4	35,060	4,485	66,068	1,00	33,47	A	N							
ATOM	50	CA	LEU	A	4	34,230	5,674	66,077	1,00	32,90	A	C							
ATOM	52	CB	LEU	A	4	34,876	6,789	66,887	1,00	32,86	A	C							
ATOM	55	CG	LEU	A	4	34,993	6,528	68,385	1,00	33,36	A	C							
ATOM	57	CD1	LEU	A	4	35,732	7,660	69,092	1,00	32,38	A	C							
ATOM	61	CD2	LEU	A	4	33,607	6,282	69,018	1,00	32,62	A	C							
ATOM	65	C	LEU	A	4	34,035	6,115	64,631	1,00	32,85	A	C							
ATOM	66	O	LEU	A	4	35,002	6,357	63,918	1,00	34,56	A	O							
ATOM	68	N	VAL	A	5	32,785	6,198	64,211	1,00	32,01	A	N							
ATOM	69	CA	VAL	A	5	32,393	6,423	62,855	1,00	31,72	A	C							
ATOM	71	CB	VAL	A	5	31,324	5,386	62,500	1,00	32,43	A	C							
ATOM	73	CG1	VAL	A	5	30,791	5,589	61,074	1,00	32,92	A	C							
ATOM	77	CG2	VAL	A	5	31,879	3,968	62,721	1,00	33,09	A	C							
ATOM	81	C	VAL	A	5	31,775	7,807	62,728	1,00	30,89	A	C							
ATOM	82	O	VAL	A	5	30,715	8,061	63,283	1,00	31,93	A	O							
ATOM	84	N	GLN	A	6	32,437	8,713	62,027	1,00	29,82	A	N							
ATOM	85	CA	GLN	A	6	31,972	10,097	61,912	1,00	28,45	A	C							
ATOM	87	CB	GLN	A	6	33,130	11,087	62,064	1,00	27,80	A	C							
ATOM	90	CG	GLN	A	6	33,716	11,042	63,462	1,00	26,92	A	C							
ATOM	93	CD	GLN	A	6	34,628	12,206	63,821	1,00	25,67	A	C							
ATOM	94	OE1	GLN	A	6	35,734	11,990	64,257	1,00	27,99	A	O							
ATOM	95	NE2	GLN	A	6	34,129	13,421	63,738	1,00	24,61	A	N							
ATOM	98	C	GLN	A	6	31,248	10,323	60,618	1,00	28,45	A	C							
ATOM	99	O	GLN	A	6	31,564	9,709	59,611	1,00	29,25	A	O							
ATOM	101	N	SER	A	7	30,288	11,237	60,637	1,00	28,18	A	N							
ATOM	102	CA	SER	A	7	29,512	11,565	59,456	1,00	27,75	A	C							
ATOM	104	CB	SER	A	7	28,270	12,395	59,846	1,00	28,05	A	C							
ATOM	107	OG	SER	A	7	28,647	13,553	60,597	1,00	29,10	A	O							
ATOM	109	C	SER	A	7	30,383	12,312	58,465	1,00	26,46	A	C							
ATOM	110	O	SER	A	7	31,472	12,766	58,795	1,00	26,06	A	O							
ATOM	112	N	GLY	A	8	29,911	12,420	57,235	1,00	26,33	A	N							
ATOM	113	CA	GLY	A	8	30,765	12,828	56,151	1,00	25,91	A	C							
ATOM	116	C	GLY	A	8	31,005	14,328	56,130	1,00	26,32	A	C							
ATOM	117	O	GLY	A	8	30,308	15,105	56,806	1,00	26,37	A	O							
ATOM	119	N	ALA	A	9	31,958	14,731	55,303	1,00	26,31	A	N							
ATOM	120	CA	ALA	A	9	32,346	16,144	55,150	1,00	26,77	A	C							
ATOM	122	CB	ALA	A	9	33,390	16,307	54,042	1,00	25,41	A	C							
ATOM	126	C	ALA	A	9	31,139	16,989	54,852	1,00	26,28	A	C							

ES 2 540 538 T3

ATOM	127	O	ALA	A	9	30,180	16,527	54,275	1,00	28,00	A	O
ATOM	129	N	GLU	A	10	31,196	18,249	55,238	1,00	26,25	A	N
ATOM	130	CA	GLU	A	10	30,062	19,110	55,111	1,00	25,55	A	C
ATOM	132	CB	GLU	A	10	29,462	19,384	56,511	1,00	26,10	A	C
ATOM	135	CG	GLU	A	10	28,805	18,148	57,192	1,00	27,86	A	C
ATOM	138	CD	GLU	A	10	27,379	17,933	56,784	1,00	29,00	A	C
ATOM	139	OE1	GLU	A	10	26,859	18,679	55,926	1,00	29,68	A	O
ATOM	140	OE2	GLU	A	10	26,770	17,025	57,356	1,00	30,45	A	O
ATOM	141	C	GLU	A	10	30,502	20,423	54,537	1,00	24,06	A	C
ATOM	142	O	GLU	A	10	31,543	20,947	54,918	1,00	23,45	A	O
ATOM	144	N	VAL	A	11	29,671	21,004	53,696	1,00	23,28	A	N
ATOM	145	CA	VAL	A	11	30,011	22,300	53,111	1,00	23,88	A	C
ATOM	147	CB	VAL	A	11	30,266	22,203	51,620	1,00	24,18	A	C
ATOM	149	CG1	VAL	A	11	30,668	23,620	51,067	1,00	21,94	A	C
ATOM	153	CG2	VAL	A	11	31,342	21,101	51,361	1,00	21,31	A	C
ATOM	157	C	VAL	A	11	28,834	23,190	53,303	1,00	24,69	A	C
ATOM	158	O	VAL	A	11	27,768	22,863	52,854	1,00	25,13	A	O
ATOM	160	N	LYS	A	12	29,029	24,310	53,986	1,00	25,04	A	N
ATOM	161	CA	LYS	A	12	27,914	25,103	54,459	1,00	26,04	A	C
ATOM	163	CB	LYS	A	12	27,657	24,807	55,959	1,00	26,27	A	C
ATOM	166	CG	LYS	A	12	27,128	23,391	56,246	1,00	28,22	A	C
ATOM	169	CD	LYS	A	12	25,686	23,341	55,916	1,00	31,62	A	C
ATOM	172	CE	LYS	A	12	25,064	22,070	56,293	1,00	33,33	A	C
ATOM	175	NZ	LYS	A	12	23,648	22,167	56,008	1,00	33,77	A	N
ATOM	179	C	LYS	A	12	28,197	26,577	54,277	1,00	26,04	A	C
ATOM	180	O	LYS	A	12	29,335	26,991	54,144	1,00	25,17	A	O
ATOM	182	N	LYS	A	13	27,131	27,357	54,265	1,00	27,42	A	N
ATOM	183	CA	LYS	A	13	27,239	28,813	54,251	1,00	28,77	A	C
ATOM	185	CB	LYS	A	13	26,158	29,390	53,367	1,00	30,06	A	C
ATOM	188	CG	LYS	A	13	26,400	29,072	51,905	1,00	32,35	A	C
ATOM	191	CD	LYS	A	13	25,417	29,806	51,032	1,00	36,42	A	C
ATOM	194	CE	LYS	A	13	25,374	29,252	49,594	1,00	39,04	A	C
ATOM	197	NZ	LYS	A	13	24,008	28,736	49,231	1,00	41,62	A	N
ATOM	201	C	LYS	A	13	27,094	29,348	55,663	1,00	28,55	A	C
ATOM	202	O	LYS	A	13	26,458	28,702	56,505	1,00	27,17	A	O
ATOM	204	N	PRO	A	14	27,674	30,532	55,925	1,00	28,34	A	N
ATOM	205	CA	PRO	A	14	27,589	31,129	57,258	1,00	27,11	A	C
ATOM	207	CB	PRO	A	14	28,312	32,468	57,099	1,00	27,85	A	C
ATOM	210	CG	PRO	A	14	29,224	32,251	55,877	1,00	28,50	A	C
ATOM	213	CD	PRO	A	14	28,338	31,443	54,965	1,00	28,38	A	C
ATOM	216	C	PRO	A	14	26,134	31,344	57,598	1,00	26,49	A	C
ATOM	217	O	PRO	A	14	25,347	31,635	56,718	1,00	23,98	A	O
ATOM	218	N	GLY	A	15	25,775	31,118	58,862	1,00	26,74	A	N
ATOM	219	CA	GLY	A	15	24,390	31,237	59,286	1,00	27,03	A	C
ATOM	222	C	GLY	A	15	23,597	29,961	59,262	1,00	28,01	A	C
ATOM	223	O	GLY	A	15	22,561	29,844	59,945	1,00	28,00	A	O
ATOM	225	N	GLN	A	16	24,071	28,974	58,513	1,00	27,70	A	N
ATOM	226	CA	GLN	A	16	23,319	27,750	58,431	1,00	28,22	A	C
ATOM	228	CB	GLN	A	16	23,713	26,915	57,207	1,00	28,21	A	C
ATOM	231	CG	GLN	A	16	23,205	27,536	55,895	1,00	28,83	A	C
ATOM	234	CD	GLN	A	16	23,486	26,658	54,713	1,00	30,43	A	C
ATOM	235	OE1	GLN	A	16	24,624	26,277	54,482	1,00	30,66	A	O
ATOM	236	NE2	GLN	A	16	22,438	26,278	53,992	1,00	32,45	A	N
ATOM	239	C	GLN	A	16	23,545	26,991	59,694	1,00	28,82	A	C
ATOM	240	O	GLN	A	16	24,550	27,173	60,369	1,00	29,45	A	O
ATOM	242	N	SER	A	17	22,580	26,152	60,013	1,00	29,04	A	N
ATOM	243	CA	SER	A	17	22,699	25,186	61,087	1,00	29,86	A	C
ATOM	245	CB	SER	A	17	21,297	24,786	61,568	1,00	29,97	A	C
ATOM	248	OG	SER	A	17	20,911	25,749	62,516	1,00	34,60	A	O
ATOM	250	C	SER	A	17	23,406	23,914	60,641	1,00	28,94	A	C

ES 2 540 538 T3

ATOM	251	O	SER	A	17	23,327	23,516	59,462	1,00	28,78	A	O
ATOM	253	N	LEU	A	18	24,038	23,248	61,597	1,00	28,07	A	N
ATOM	254	CA	LEU	A	18	24,675	21,975	61,334	1,00	27,68	A	C
ATOM	256	CB	LEU	A	18	26,114	22,167	60,811	1,00	27,02	A	C
ATOM	259	CG	LEU	A	18	26,868	20,868	60,410	1,00	25,74	A	C
ATOM	261	CD1	LEU	A	18	26,153	20,012	59,309	1,00	25,00	A	C
ATOM	265	CD2	LEU	A	18	28,241	21,191	59,919	1,00	25,43	A	C
ATOM	269	C	LEU	A	18	24,745	21,104	62,567	1,00	27,62	A	C
ATOM	270	O	LEU	A	18	25,151	21,557	63,602	1,00	26,27	A	O
ATOM	272	N	LYS	A	19	24,460	19,820	62,381	1,00	28,08	A	N
ATOM	273	CA	LYS	A	19	24,627	18,821	63,396	1,00	28,78	A	C
ATOM	275	CB	LYS	A	19	23,239	18,294	63,775	1,00	29,10	A	C
ATOM	278	CG	LYS	A	19	23,204	17,335	64,935	1,00	31,63	A	C
ATOM	281	CD	LYS	A	19	21,732	17,030	65,332	1,00	33,60	A	C
ATOM	284	CE	LYS	A	19	21,623	16,747	66,827	1,00	34,80	A	C
ATOM	287	NZ	LYS	A	19	20,219	16,487	67,341	1,00	32,71	A	N
ATOM	291	C	LYS	A	19	25,470	17,700	62,807	1,00	28,19	A	C
ATOM	292	O	LYS	A	19	25,046	17,062	61,850	1,00	28,77	A	O
ATOM	294	N	ILE	A	20	26,643	17,450	63,356	1,00	27,75	A	N
ATOM	295	CA	ILE	A	20	27,430	16,303	62,914	1,00	28,12	A	C
ATOM	297	CB	ILE	A	20	28,859	16,705	62,450	1,00	27,37	A	C
ATOM	299	CG1	ILE	A	20	29,725	17,116	63,618	1,00	28,36	A	C
ATOM	302	CD1	ILE	A	20	31,137	17,549	63,210	1,00	28,24	A	C
ATOM	306	CG2	ILE	A	20	28,757	17,817	61,410	1,00	27,20	A	C
ATOM	310	C	ILE	A	20	27,470	15,211	63,984	1,00	28,35	A	C
ATOM	311	O	ILE	A	20	27,205	15,458	65,178	1,00	28,28	A	O
ATOM	313	N	SER	A	21	27,798	14,003	63,564	1,00	29,14	A	N
ATOM	314	CA	SER	A	21	27,590	12,854	64,429	1,00	30,25	A	C
ATOM	316	CB	SER	A	21	26,418	12,018	63,911	1,00	30,68	A	C
ATOM	319	OG	SER	A	21	26,754	11,341	62,711	1,00	31,84	A	O
ATOM	321	C	SER	A	21	28,777	11,976	64,564	1,00	30,78	A	C
ATOM	322	O	SER	A	21	29,643	11,887	63,667	1,00	31,08	A	O
ATOM	324	N	CYS	A	22	28,786	11,276	65,682	1,00	30,73	A	N
ATOM	325	CA	CYS	A	22	29,808	10,317	65,975	1,00	31,75	A	C
ATOM	327	CB	CYS	A	22	30,803	10,920	66,912	1,00	31,48	A	C
ATOM	330	SG	CYS	A	22	31,894	9,691	67,511	1,00	33,53	A	S
ATOM	332	C	CYS	A	22	29,202	9,061	66,624	1,00	33,03	A	C
ATOM	333	O	CYS	A	22	28,734	9,112	67,762	1,00	32,76	A	O
ATOM	335	N	LYS	A	23	29,237	7,947	65,900	1,00	33,70	A	N
ATOM	336	CA	LYS	A	23	28,571	6,716	66,288	1,00	34,58	A	C
ATOM	338	CB	LYS	A	23	27,655	6,289	65,126	1,00	35,41	A	C
ATOM	341	CG	LYS	A	23	26,748	5,082	65,354	1,00	38,61	A	C
ATOM	344	CD	LYS	A	23	26,202	4,638	64,029	1,00	44,88	A	C
ATOM	347	CE	LYS	A	23	25,278	3,428	64,110	1,00	48,06	A	C
ATOM	350	NZ	LYS	A	23	25,501	2,443	62,966	1,00	50,08	A	N
ATOM	354	C	LYS	A	23	29,637	5,641	66,602	1,00	34,46	A	C
ATOM	355	O	LYS	A	23	30,544	5,361	65,786	1,00	34,70	A	O
ATOM	357	N	ALA	A	24	29,584	5,082	67,797	1,00	33,77	A	N
ATOM	358	CA	ALA	A	24	30,580	4,095	68,170	1,00	34,00	A	C
ATOM	360	CB	ALA	A	24	30,931	4,176	69,639	1,00	32,50	A	C
ATOM	364	C	ALA	A	24	30,089	2,696	67,772	1,00	33,62	A	C
ATOM	365	O	ALA	A	24	28,890	2,435	67,758	1,00	33,12	A	O
ATOM	367	N	SER	A	25	31,045	1,850	67,382	1,00	33,88	A	N
ATOM	368	CA	SER	A	25	30,834	0,430	67,099	1,00	33,69	A	C
ATOM	370	CB	SER	A	25	31,206	0,118	65,641	1,00	34,01	A	C
ATOM	373	OG	SER	A	25	30,056	0,230	64,825	1,00	37,14	A	O
ATOM	375	C	SER	A	25	31,714	-0,357	68,040	1,00	32,87	A	C
ATOM	376	O	SER	A	25	32,825	0,055	68,335	1,00	33,66	A	O
ATOM	378	N	GLY	A	26	31,241	-1,504	68,503	1,00	32,68	A	N
ATOM	379	CA	GLY	A	26	32,019	-2,309	69,441	1,00	32,53	A	C

ES 2 540 538 T3

ATOM	382	C	GLY	A	26	32,344	-1,587	70,746	1,00	31,91	A	C
ATOM	383	O	GLY	A	26	33,295	-1,925	71,423	1,00	31,77	A	O
ATOM	385	N	TYR	A	27	31,536	-0,602	71,095	1,00	32,81	A	N
ATOM	386	CA	TYR	A	27	31,833	0,368	72,184	1,00	33,89	A	C
ATOM	388	CB	TYR	A	27	32,808	1,428	71,653	1,00	33,69	A	C
ATOM	391	CG	TYR	A	27	33,524	2,344	72,655	1,00	33,81	A	C
ATOM	392	CD1	TYR	A	27	33,362	3,732	72,611	1,00	34,40	A	C
ATOM	394	CE1	TYR	A	27	34,040	4,566	73,501	1,00	33,86	A	C
ATOM	396	CZ	TYR	A	27	34,897	4,035	74,401	1,00	35,93	A	C
ATOM	397	OH	TYR	A	27	35,597	4,839	75,292	1,00	40,96	A	O
ATOM	399	CE2	TYR	A	27	35,079	2,660	74,455	1,00	36,03	A	C
ATOM	401	CD2	TYR	A	27	34,393	1,840	73,581	1,00	34,01	A	C
ATOM	403	C	TYR	A	27	30,501	1,033	72,534	1,00	34,21	A	C
ATOM	404	O	TYR	A	27	29,891	1,633	71,665	1,00	34,34	A	O
ATOM	406	N	SER	A	28	30,020	0,885	73,767	1,00	35,63	A	N
ATOM	407	CA	SER	A	28	28,781	1,555	74,190	1,00	36,57	A	C
ATOM	409	CB	SER	A	28	27,918	0,699	75,138	1,00	37,09	A	C
ATOM	412	OG	SER	A	28	26,642	1,322	75,357	1,00	36,34	A	O
ATOM	414	C	SER	A	28	29,049	2,897	74,859	1,00	36,63	A	C
ATOM	415	O	SER	A	28	29,811	3,015	75,800	1,00	36,48	A	O
ATOM	417	N	LEU	A	29	28,330	3,896	74,395	1,00	37,55	A	N
ATOM	418	CA	LEU	A	29	28,407	5,220	74,996	1,00	37,99	A	C
ATOM	420	CB	LEU	A	29	27,957	6,278	73,983	1,00	37,33	A	C
ATOM	423	CG	LEU	A	29	28,830	6,539	72,756	1,00	38,98	A	C
ATOM	425	CD1	LEU	A	29	28,543	7,956	72,208	1,00	38,20	A	C
ATOM	429	CD2	LEU	A	29	30,297	6,386	73,064	1,00	38,44	A	C
ATOM	433	C	LEU	A	29	27,573	5,318	76,272	1,00	38,35	A	C
ATOM	434	O	LEU	A	29	27,523	6,384	76,898	1,00	37,68	A	O
ATOM	436	N	THR	A	30	26,928	4,227	76,689	1,00	39,71	A	N
ATOM	437	CA	THR	A	30	26,251	4,251	77,994	1,00	40,66	A	C
ATOM	439	CB	THR	A	30	25,051	3,234	78,127	1,00	40,53	A	C
ATOM	441	OG1	THR	A	30	25,523	1,921	78,373	1,00	44,75	A	O
ATOM	443	CG2	THR	A	30	24,189	3,218	76,894	1,00	37,82	A	C
ATOM	447	C	THR	A	30	27,275	4,158	79,134	1,00	40,96	A	C
ATOM	448	O	THR	A	30	27,033	4,669	80,209	1,00	41,65	A	O
ATOM	450	N	ASP	A	31	28,431	3,554	78,877	1,00	41,88	A	N
ATOM	451	CA	ASP	A	31	29,476	3,386	79,897	1,00	42,66	A	C
ATOM	453	CB	ASP	A	31	29,764	1,892	80,128	1,00	43,71	A	C
ATOM	456	CG	ASP	A	31	28,497	1,066	80,379	1,00	47,27	A	C
ATOM	457	OD1	ASP	A	31	27,522	1,603	80,964	1,00	49,89	A	O
ATOM	458	OD2	ASP	A	31	28,495	-0,137	79,998	1,00	51,66	A	O
ATOM	459	C	ASP	A	31	30,803	4,065	79,519	1,00	42,08	A	C
ATOM	460	O	ASP	A	31	31,847	3,746	80,105	1,00	42,10	A	O
ATOM	462	N	ASP	A	32	30,782	4,954	78,518	1,00	40,76	A	N
ATOM	463	CA	ASP	A	32	31,979	5,704	78,146	1,00	39,74	A	C
ATOM	465	CB	ASP	A	32	32,679	5,052	76,946	1,00	39,76	A	C
ATOM	468	CG	ASP	A	32	33,186	3,644	77,260	1,00	39,91	A	C
ATOM	469	OD1	ASP	A	32	34,193	3,484	77,937	1,00	40,69	A	O
ATOM	470	ND2	ASP	A	32	32,472	2,626	76,780	1,00	38,56	A	N
ATOM	473	C	ASP	A	32	31,612	7,134	77,830	1,00	38,72	A	C
ATOM	474	O	ASP	A	32	30,444	7,427	77,628	1,00	38,68	A	O
ATOM	476	N	TRP	A	33	32,624	8,002	77,788	1,00	37,54	A	N
ATOM	477	CA	TRP	A	33	32,464	9,419	77,513	1,00	36,78	A	C
ATOM	479	CB	TRP	A	33	33,245	10,222	78,521	1,00	36,96	A	C
ATOM	482	CG	TRP	A	33	32,726	10,175	79,920	1,00	39,80	A	C
ATOM	483	CD1	TRP	A	33	32,510	9,061	80,687	1,00	41,28	A	C
ATOM	485	NE1	TRP	A	33	32,064	9,434	81,937	1,00	42,35	A	N
ATOM	487	CE2	TRP	A	33	32,011	10,798	82,010	1,00	40,99	A	C
ATOM	488	CD2	TRP	A	33	32,414	11,303	80,749	1,00	39,55	A	C
ATOM	489	CE3	TRP	A	33	32,435	12,684	80,550	1,00	39,02	A	C

ES 2 540 538 T3

ATOM	491	CZ3	TRP	A	33	32,039	13,520	81,597	1,00	39,76	A	C
ATOM	493	CH2	TRP	A	33	31,629	12,983	82,837	1,00	40,90	A	C
ATOM	495	CZ2	TRP	A	33	31,607	11,626	83,057	1,00	40,06	A	C
ATOM	497	C	TRP	A	33	33,010	9,795	76,133	1,00	35,78	A	C
ATOM	498	O	TRP	A	33	33,983	9,192	75,642	1,00	35,20	A	O
ATOM	500	N	ILE	A	34	32,415	10,823	75,534	1,00	33,55	A	N
ATOM	501	CA	ILE	A	34	32,837	11,284	74,221	1,00	32,00	A	C
ATOM	503	CB	ILE	A	34	31,721	11,140	73,191	1,00	31,80	A	C
ATOM	505	CG1	ILE	A	34	31,506	9,670	72,845	1,00	31,67	A	C
ATOM	508	CD1	ILE	A	34	32,758	9,004	72,292	1,00	30,73	A	C
ATOM	512	CG2	ILE	A	34	32,053	11,975	71,906	1,00	29,12	A	C
ATOM	516	C	ILE	A	34	33,220	12,754	74,289	1,00	31,86	A	C
ATOM	517	O	ILE	A	34	32,426	13,577	74,739	1,00	30,29	A	O
ATOM	519	N	GLY	A	35	34,436	13,059	73,846	1,00	31,21	A	N
ATOM	520	CA	GLY	A	35	34,873	14,439	73,658	1,00	31,94	A	C
ATOM	523	C	GLY	A	35	34,943	14,887	72,192	1,00	31,44	A	C
ATOM	524	O	GLY	A	35	34,911	14,064	71,256	1,00	30,69	A	O
ATOM	526	N	TRP	A	36	35,090	16,192	72,009	1,00	31,05	A	N
ATOM	527	CA	TRP	A	36	35,222	16,767	70,675	1,00	31,30	A	C
ATOM	529	CB	TRP	A	36	33,982	17,552	70,305	1,00	30,75	A	C
ATOM	532	CG	TRP	A	36	32,807	16,706	70,007	1,00	31,05	A	C
ATOM	533	CD1	TRP	A	36	31,810	16,394	70,862	1,00	29,48	A	C
ATOM	535	NE1	TRP	A	36	30,892	15,590	70,234	1,00	31,27	A	N
ATOM	537	CE2	TRP	A	36	31,270	15,394	68,937	1,00	29,21	A	C
ATOM	538	CD2	TRP	A	36	32,479	16,070	68,752	1,00	30,88	A	C
ATOM	539	CE3	TRP	A	36	33,087	16,027	67,494	1,00	26,80	A	C
ATOM	541	CZ3	TRP	A	36	32,476	15,337	66,495	1,00	27,08	A	C
ATOM	543	CH2	TRP	A	36	31,275	14,655	66,699	1,00	26,62	A	C
ATOM	545	CZ2	TRP	A	36	30,648	14,682	67,915	1,00	29,81	A	C
ATOM	547	C	TRP	A	36	36,436	17,672	70,581	1,00	30,61	A	C
ATOM	548	O	TRP	A	36	36,633	18,500	71,439	1,00	31,74	A	O
ATOM	550	N	VAL	A	37	37,233	17,481	69,535	1,00	29,53	A	N
ATOM	551	CA	VAL	A	37	38,476	18,216	69,311	1,00	29,28	A	C
ATOM	553	CB	VAL	A	37	39,674	17,267	69,298	1,00	29,40	A	C
ATOM	555	CG1	VAL	A	37	41,007	18,019	69,037	1,00	30,04	A	C
ATOM	559	CG2	VAL	A	37	39,786	16,553	70,607	1,00	29,50	A	C
ATOM	563	C	VAL	A	37	38,374	18,931	67,955	1,00	28,98	A	C
ATOM	564	O	VAL	A	37	37,968	18,331	66,944	1,00	28,41	A	O
ATOM	566	N	ARG	A	38	38,675	20,223	67,967	1,00	29,32	A	N
ATOM	567	CA	ARG	A	38	38,788	21,009	66,747	1,00	29,81	A	C
ATOM	569	CB	ARG	A	38	38,198	22,387	66,940	1,00	29,72	A	C
ATOM	572	CG	ARG	A	38	38,161	23,221	65,658	1,00	30,20	A	C
ATOM	575	CD	ARG	A	38	37,463	24,537	65,859	1,00	30,02	A	C
ATOM	578	NE	ARG	A	38	38,304	25,547	66,498	1,00	33,82	A	N
ATOM	580	CZ	ARG	A	38	37,895	26,793	66,733	1,00	36,47	A	C
ATOM	581	NH1	ARG	A	38	36,681	27,164	66,379	1,00	37,44	A	N
ATOM	584	NH2	ARG	A	38	38,704	27,678	67,291	1,00	38,80	A	N
ATOM	587	C	ARG	A	38	40,252	21,127	66,302	1,00	30,14	A	C
ATOM	588	O	ARG	A	38	41,162	21,273	67,129	1,00	30,80	A	O
ATOM	590	N	GLN	A	39	40,475	21,024	64,995	1,00	29,78	A	N
ATOM	591	CA	GLN	A	39	41,777	21,297	64,406	1,00	29,38	A	C
ATOM	593	CB	GLN	A	39	42,523	20,016	64,062	1,00	29,55	A	C
ATOM	596	CG	GLN	A	39	43,906	20,276	63,422	1,00	29,62	A	C
ATOM	599	CD	GLN	A	39	44,778	19,050	63,417	1,00	30,20	A	C
ATOM	600	OE1	GLN	A	39	44,343	17,986	63,004	1,00	31,83	A	O
ATOM	601	NE2	GLN	A	39	46,020	19,194	63,861	1,00	31,03	A	N
ATOM	604	C	GLN	A	39	41,527	22,114	63,164	1,00	30,19	A	C
ATOM	605	O	GLN	A	39	41,010	21,592	62,184	1,00	28,48	A	O
ATOM	607	N	LYS	A	40	41,795	23,419	63,257	1,00	31,74	A	N
ATOM	608	CA	LYS	A	40	41,702	24,329	62,108	1,00	33,03	A	C

ES 2 540 538 T3

ATOM	610	CB	LYS	A	40	41,774	25,795	62,557	1,00	33,43	A	C
ATOM	613	CG	LYS	A	40	40,554	26,289	63,320	1,00	36,51	A	C
ATOM	616	CD	LYS	A	40	40,273	27,822	63,150	1,00	40,28	A	C
ATOM	619	CE	LYS	A	40	40,322	28,579	64,483	1,00	43,84	A	C
ATOM	622	NZ	LYS	A	40	39,271	29,689	64,609	1,00	45,71	A	N
ATOM	626	C	LYS	A	40	42,830	24,015	61,103	1,00	33,81	A	C
ATOM	627	O	LYS	A	40	43,832	23,362	61,448	1,00	33,52	A	O
ATOM	629	N	PRO	A	41	42,664	24,440	59,852	1,00	34,32	A	N
ATOM	630	CA	PRO	A	41	43,664	24,018	58,878	1,00	35,22	A	C
ATOM	632	CB	PRO	A	41	43,119	24,533	57,525	1,00	35,80	A	C
ATOM	635	CG	PRO	A	41	41,729	25,058	57,780	1,00	34,99	A	C
ATOM	638	CD	PRO	A	41	41,605	25,288	59,268	1,00	35,10	A	C
ATOM	641	C	PRO	A	41	45,050	24,596	59,169	1,00	35,61	A	C
ATOM	642	O	PRO	A	41	45,195	25,817	59,340	1,00	35,22	A	O
ATOM	643	N	GLY	A	42	46,030	23,692	59,254	1,00	36,25	A	N
ATOM	644	CA	GLY	A	42	47,424	24,017	59,550	1,00	37,18	A	C
ATOM	647	C	GLY	A	42	47,681	24,372	61,000	1,00	37,91	A	C
ATOM	648	O	GLY	A	42	48,728	24,931	61,320	1,00	38,86	A	O
ATOM	650	N	LYS	A	43	46,721	24,093	61,887	1,00	38,20	A	N
ATOM	651	CA	LYS	A	43	46,843	24,507	63,282	1,00	37,59	A	C
ATOM	653	CB	LYS	A	43	45,746	25,505	63,683	1,00	38,43	A	C
ATOM	656	CG	LYS	A	43	45,542	26,717	62,748	1,00	41,36	A	C
ATOM	659	CD	LYS	A	43	46,808	27,587	62,538	1,00	45,27	A	C
ATOM	662	CE	LYS	A	43	46,935	28,739	63,552	1,00	47,69	A	C
ATOM	665	NZ	LYS	A	43	48,136	29,621	63,266	1,00	50,39	A	N
ATOM	669	C	LYS	A	43	46,778	23,261	64,151	1,00	36,49	A	C
ATOM	670	O	LYS	A	43	46,718	22,138	63,647	1,00	34,96	A	O
ATOM	672	N	GLY	A	44	46,808	23,475	65,465	1,00	35,85	A	N
ATOM	673	CA	GLY	A	44	46,851	22,382	66,422	1,00	35,65	A	C
ATOM	676	C	GLY	A	44	45,484	21,909	66,864	1,00	35,17	A	C
ATOM	677	O	GLY	A	44	44,454	22,242	66,264	1,00	34,99	A	O
ATOM	679	N	LEU	A	45	45,486	21,120	67,926	1,00	35,75	A	N
ATOM	680	CA	LEU	A	45	44,262	20,521	68,480	1,00	35,33	A	C
ATOM	682	CB	LEU	A	45	44,577	19,150	69,073	1,00	35,55	A	C
ATOM	685	CG	LEU	A	45	45,366	18,223	68,157	1,00	35,03	A	C
ATOM	687	CD1	LEU	A	45	45,697	16,905	68,844	1,00	32,57	A	C
ATOM	691	CD2	LEU	A	45	44,566	18,001	66,857	1,00	34,27	A	C
ATOM	695	C	LEU	A	45	43,717	21,447	69,549	1,00	35,66	A	C
ATOM	696	O	LEU	A	45	44,495	22,036	70,312	1,00	35,74	A	O
ATOM	698	N	GLU	A	46	42,388	21,592	69,585	1,00	35,51	A	N
ATOM	699	CA	GLU	A	46	41,701	22,338	70,625	1,00	35,35	A	C
ATOM	701	CB	GLU	A	46	41,088	23,603	70,062	1,00	35,03	A	C
ATOM	704	CG	GLU	A	46	42,032	24,534	69,368	1,00	35,81	A	C
ATOM	707	CD	GLU	A	46	41,259	25,511	68,523	1,00	37,54	A	C
ATOM	708	OE1	GLU	A	46	41,034	25,201	67,328	1,00	36,49	A	O
ATOM	709	OE2	GLU	A	46	40,801	26,534	69,074	1,00	35,91	A	O
ATOM	710	C	GLU	A	46	40,581	21,491	71,242	1,00	35,90	A	C
ATOM	711	O	GLU	A	46	39,798	20,879	70,507	1,00	36,50	A	O
ATOM	713	N	TRP	A	47	40,530	21,445	72,579	1,00	35,61	A	N
ATOM	714	CA	TRP	A	47	39,486	20,728	73,308	1,00	35,62	A	C
ATOM	716	CB	TRP	A	47	39,874	20,551	74,781	1,00	35,83	A	C
ATOM	719	CG	TRP	A	47	38,923	19,682	75,558	1,00	38,06	A	C
ATOM	720	CD1	TRP	A	47	38,090	20,068	76,589	1,00	38,95	A	C
ATOM	722	NE1	TRP	A	47	37,379	18,984	77,048	1,00	38,23	A	N
ATOM	724	CE2	TRP	A	47	37,736	17,880	76,323	1,00	38,31	A	C
ATOM	725	CD2	TRP	A	47	38,695	18,281	75,371	1,00	37,86	A	C
ATOM	726	CE3	TRP	A	47	39,223	17,326	74,504	1,00	39,33	A	C
ATOM	728	CZ3	TRP	A	47	38,777	16,019	74,594	1,00	39,47	A	C
ATOM	730	CH2	TRP	A	47	37,818	15,644	75,552	1,00	40,29	A	C
ATOM	732	CZ2	TRP	A	47	37,292	16,559	76,426	1,00	39,63	A	C

ES 2 540 538 T3

ATOM	734	C	TRP	A	47	38,235	21,537	73,263	1,00	34,55	A	C
ATOM	735	O	TRP	A	47	38,268	22,719	73,603	1,00	34,14	A	O
ATOM	737	N	MET	A	48	37,125	20,931	72,842	1,00	33,49	A	N
ATOM	738	CA	MET	A	48	35,862	21,673	72,822	1,00	32,83	A	C
ATOM	740	CB	MET	A	48	35,118	21,405	71,527	1,00	32,10	A	C
ATOM	743	CG	MET	A	48	35,941	21,688	70,274	1,00	31,48	A	C
ATOM	746	SD	MET	A	48	34,973	21,325	68,798	1,00	25,00	A	S
ATOM	747	CE	MET	A	48	33,732	22,617	68,878	1,00	24,93	A	C
ATOM	751	C	MET	A	48	34,949	21,333	74,015	1,00	33,05	A	C
ATOM	752	O	MET	A	48	34,203	22,179	74,516	1,00	32,70	A	O
ATOM	754	N	GLY	A	49	34,975	20,082	74,439	1,00	32,45	A	N
ATOM	755	CA	GLY	A	49	34,122	19,657	75,534	1,00	32,59	A	C
ATOM	758	C	GLY	A	49	33,835	18,168	75,454	1,00	32,99	A	C
ATOM	759	O	GLY	A	49	34,340	17,440	74,563	1,00	31,48	A	O
ATOM	761	N	ILE	A	50	32,988	17,727	76,378	1,00	33,00	A	N
ATOM	762	CA	ILE	A	50	32,812	16,315	76,627	1,00	32,98	A	C
ATOM	764	CB	ILE	A	50	33,790	15,874	77,721	1,00	33,24	A	C
ATOM	766	CG1	ILE	A	50	34,053	14,367	77,652	1,00	33,21	A	C
ATOM	769	CD1	ILE	A	50	35,191	13,968	78,530	1,00	34,22	A	C
ATOM	773	CG2	ILE	A	50	33,274	16,289	79,106	1,00	32,52	A	C
ATOM	777	C	ILE	A	50	31,389	16,073	77,066	1,00	33,14	A	C
ATOM	778	O	ILE	A	50	30,738	16,982	77,577	1,00	33,05	A	O
ATOM	780	N	ILE	A	51	30,910	14,854	76,853	1,00	33,23	A	N
ATOM	781	CA	ILE	A	51	29,594	14,446	77,285	1,00	33,73	A	C
ATOM	783	CB	ILE	A	51	28,544	14,585	76,144	1,00	33,08	A	C
ATOM	785	CG1	ILE	A	51	27,154	14,184	76,648	1,00	32,16	A	C
ATOM	788	CD1	ILE	A	51	25,978	14,743	75,875	1,00	28,16	A	C
ATOM	792	CG2	ILE	A	51	28,939	13,739	74,933	1,00	33,52	A	C
ATOM	796	C	ILE	A	51	29,651	12,993	77,771	1,00	35,33	A	C
ATOM	797	O	ILE	A	51	30,361	12,182	77,191	1,00	34,69	A	O
ATOM	799	N	TYR	A	52	28,928	12,696	78,853	1,00	37,35	A	N
ATOM	800	CA	TYR	A	52	28,657	11,328	79,275	1,00	38,70	A	C
ATOM	802	CB	TYR	A	52	28,803	11,139	80,794	1,00	39,14	A	C
ATOM	805	CG	TYR	A	52	28,552	9,699	81,273	1,00	41,31	A	C
ATOM	806	CD1	TYR	A	52	28,899	8,601	80,474	1,00	41,96	A	C
ATOM	808	CE1	TYR	A	52	28,672	7,298	80,890	1,00	44,89	A	C
ATOM	810	CZ	TYR	A	52	28,105	7,045	82,143	1,00	45,29	A	C
ATOM	811	OH	TYR	A	52	27,900	5,737	82,517	1,00	44,43	A	O
ATOM	813	CE2	TYR	A	CO	27,758	8,107	82,972	1,00	45,28	A	C
ATOM	815	CD2	TYR	A	52	27,981	9,436	82,533	1,00	44,42	A	C
ATOM	817	C	TYR	A	52	27,239	10,998	78,851	1,00	39,57	A	C
ATOM	818	O	TYR	A	52	26,291	11,414	79,516	1,00	40,07	A	O
ATOM	820	N	PRO	A	52A	27,079	10,268	77,724	1,00	41,19	A	N
ATOM	821	CA	PRO	A	52A	25,753	9,980	77,151	1,00	41,70	A	C
ATOM	823	CB	PRO	A	52A	26,084	9,143	75,909	1,00	41,57	A	C
ATOM	826	CG	PRO	A	52A	27,480	9,406	75,620	1,00	41,16	A	C
ATOM	829	CD	PRO	A	52A	28,150	9,651	76,912	1,00	41,38	A	C
ATOM	832	C	PRO	A	52A	24,824	9,195	78,086	1,00	42,86	A	C
ATOM	833	O	PRO	A	52A	23,603	9,291	77,969	1,00	43,51	A	O
ATOM	834	N	GLY	A	53	25,407	8,413	78,989	1,00	44,26	A	N
ATOM	835	CA	GLY	A	53	24,648	7,645	79,970	1,00	45,66	A	C
ATOM	838	C	GLY	A	53	23,625	8,471	80,729	1,00	46,42	A	C
ATOM	839	O	GLY	A	53	22,466	8,047	80,876	1,00	46,33	A	O
ATOM	841	N	ASP	A	54	24,058	9,651	81,180	1,00	47,22	A	N
ATOM	842	CA	ASP	A	54	23,195	10,579	81,899	1,00	48,16	A	C
ATOM	844	CB	ASP	A	54	23,577	10,558	83,389	1,00	48,65	A	C
ATOM	847	CG	ASP	A	54	24,876	11,296	83,673	1,00	50,90	A	C
ATOM	848	OD1	ASP	A	54	25,282	11,397	84,855	1,00	52,26	A	O
ATOM	849	OD2	ASP	A	54	25,487	11,794	82,701	1,00	55,93	A	O
ATOM	850	C	ASP	A	54	23,210	12,036	81,331	1,00	47,98	A	C

ES 2 540 538 T3

ATOM	851	O	ASP	A	54	22,661	12,955	81,955	1,00	47,95	A	O
ATOM	853	N	SER	A	55	23,834	12,237	80,162	1,00	47,67	A	N
ATOM	854	CA	SER	A	55	23,839	13,550	79,458	1,00	46,90	A	C
ATOM	856	CB	SER	A	55	22,423	14,030	79,155	1,00	46,83	A	C
ATOM	859	OG	SER	A	55	21,640	12,966	78,659	1,00	48,59	A	O
ATOM	861	C	SER	A	55	24,571	14,668	80,178	1,00	45,76	A	C
ATOM	862	O	SER	A	55	24,314	15,845	79,922	1,00	46,32	A	O
ATOM	864	N	ASP	A	56	25,480	14,312	81,063	1,00	44,12	A	N
ATOM	865	CA	ASP	A	56	26,333	15,288	81,704	1,00	43,56	A	C
ATOM	867	CB	ASP	A	56	27,068	14,579	82,850	1,00	43,39	A	C
ATOM	870	CG	ASP	A	56	27,897	15,506	83,702	1,00	44,43	A	C
ATOM	871	OD1	ASP	A	56	27,864	16,737	83,517	1,00	44,77	A	O
ATOM	872	OD2	ASP	A	56	28,611	14,970	84,579	1,00	48,72	A	O
ATOM	873	C	ASP	A	56	27,319	15,874	80,656	1,00	43,06	A	C
ATOM	874	O	ASP	A	56	28,128	15,150	80,074	1,00	41,91	A	O
ATOM	876	N	THR	A	57	27,237	17,182	80,432	1,00	42,55	A	N
ATOM	877	CA	THR	A	57	28,011	17,861	79,400	1,00	42,74	A	C
ATOM	879	CB	THR	A	57	27,057	18,540	78,386	1,00	42,72	A	C
ATOM	881	OG1	THR	A	57	26,157	17,560	77,841	1,00	43,16	A	O
ATOM	883	CG2	THR	A	57	27,827	19,153	77,249	1,00	42,99	A	C
ATOM	887	C	THR	A	57	28,950	18,892	80,037	1,00	42,82	A	C
ATOM	888	O	THR	A	57	28,561	19,584	80,970	1,00	43,34	A	O
ATOM	890	N	ARG	A	58	30,193	18,978	79,578	1,00	42,64	A	N
ATOM	891	CA	ARG	A	58	31,118	20,010	80,078	1,00	43,02	A	C
ATOM	893	CB	ARG	A	58	32,043	19,457	81,186	1,00	42,65	A	C
ATOM	902	C	ARG	A	58	31,947	20,617	78,937	1,00	43,10	A	C
ATOM	903	O	ARG	A	58	32,693	19,914	78,269	1,00	44,44	A	O
ATOM	905	N	TYR	A	59	31,827	21,930	78,755	1,00	43,46	A	N
ATOM	906	CA	TYR	A	59	32,446	22,657	77,650	1,00	42,85	A	C
ATOM	908	CB	TYR	A	59	31,495	23,708	77,101	1,00	42,17	A	C
ATOM	911	CG	TYR	A	59	30,236	23,158	76,512	1,00	40,72	A	C
ATOM	912	CD1	TYR	A	59	29,075	23,027	77,278	1,00	39,43	A	C
ATOM	914	CE1	TYR	A	59	27,900	22,530	76,720	1,00	37,31	A	C
ATOM	916	CZ	TYR	A	59	27,888	22,149	75,393	1,00	35,86	A	C
ATOM	917	OH	TYR	A	59	26,738	21,651	74,821	1,00	33,81	A	O
ATOM	919	CE2	TYR	A	59	29,013	22,281	74,624	1,00	37,37	A	C
ATOM	921	CD2	TYR	A	59	30,179	22,785	75,171	1,00	38,00	A	C
ATOM	923	C	TYR	A	59	33,678	23,395	78,090	1,00	43,80	A	C
ATOM	924	O	TYR	A	59	33,738	23,936	79,206	1,00	44,75	A	O
ATOM	926	N	SER	A	60	34,644	23,459	77,190	1,00	43,96	A	N
ATOM	927	CA	SER	A	60	35,753	24,365	77,334	1,00	44,35	A	C
ATOM	929	CB	SER	A	60	36,759	24,114	76,215	1,00	44,47	A	C
ATOM	932	OG	SER	A	60	37,920	24,914	76,380	1,00	47,76	A	O
ATOM	934	C	SER	A	60	35,208	25,795	77,305	1,00	44,29	A	C
ATOM	935	O	SER	A	60	34,313	26,108	76,523	1,00	44,38	A	O
ATOM	937	N	PRO	A	61	35,705	26,667	78,195	1,00	44,88	A	N
ATOM	938	CA	PRO	A	61	35,208	28,065	78,238	1,00	45,02	A	C
ATOM	940	CB	PRO	A	61	36,176	28,779	79,199	1,00	44,99	A	C
ATOM	943	CG	PRO	A	61	36,865	27,697	79,961	1,00	45,76	A	C
ATOM	946	CD	PRO	A	61	36,739	26,397	79,210	1,00	44,78	A	C
ATOM	949	C	PRO	A	61	35,217	28,770	76,879	1,00	44,75	A	C
ATOM	950	O	PRO	A	61	34,276	29,477	76,550	1,00	44,94	A	O
ATOM	951	N	SER	A	62	36,267	28,566	76,095	1,00	44,64	A	N
ATOM	952	CA	SER	A	62	36,325	29,140	74,740	1,00	44,75	A	C
ATOM	954	CB	SER	A	62	37,718	28,952	74,149	1,00	45,07	A	C
ATOM	957	OG	SER	A	62	38,495	28,069	74,952	1,00	47,60	A	O
ATOM	959	C	SER	A	62	35,254	28,633	73,750	1,00	43,80	A	C
ATOM	960	O	SER	A	62	35,063	29,259	72,711	1,00	44,42	A	O
ATOM	962	N	PHE	A	63	34,580	27,515	74,062	1,00	42,13	A	N
ATOM	963	CA	PHE	A	63	33,474	26,976	73,240	1,00	40,78	A	C

ES 2 540 538 T3

ATOM	965	CB	PHE	A	63	33,808	25,554	72,774	1,00	40,41	A	C
ATOM	968	CG	PHE	A	63	34,963	25,505	71,830	1,00	39,48	A	C
ATOM	969	CD1	PHE	A	63	34,763	25,673	70,463	1,00	37,74	A	C
ATOM	971	CE1	PHE	A	63	35,810	25,670	69,595	1,00	36,52	A	C
ATOM	973	CZ	PHE	A	63	37,115	25,498	70,073	1,00	37,30	A	C
ATOM	975	CE2	PHE	A	63	37,339	25,343	71,435	1,00	37,41	A	C
ATOM	977	CD2	PHE	A	63	36,260	25,358	72,308	1,00	38,86	A	C
ATOM	979	C	PHE	A	63	32,113	26,992	73,935	1,00	40,59	A	C
ATOM	980	O	PHE	A	63	31,078	26,746	73,312	1,00	39,47	A	O
ATOM	982	N	GLN	A	64	32,111	27,284	75,230	1,00	40,77	A	N
ATOM	983	CA	GLN	A	64	30,870	27,442	75,956	1,00	40,99	A	C
ATOM	985	CB	GLN	A	64	31,164	27,941	77,381	1,00	41,38	A	C
ATOM	988	CG	GLN	A	64	29,911	28,176	78,238	1,00	43,82	A	C
ATOM	991	CD	GLN	A	64	29,182	26,886	78,583	1,00	45,77	A	C
ATOM	992	OE1	GLN	A	64	28,001	26,705	78,243	1,00	48,79	A	O
ATOM	993	NE2	GLN	A	64	29,874	25,987	79,269	1,00	45,19	A	N
ATOM	996	C	GLN	A	64	29,982	28,445	75,241	1,00	40,20	A	C
ATOM	997	O	GLN	A	64	30,407	29,555	74,980	1,00	40,26	A	O
ATOM	999	N	GLY	A	65	28,750	28,052	74,941	1,00	39,76	A	N
ATOM	1000	CA	GLY	A	65	27,814	28,903	74,237	1,00	39,82	A	C
ATOM	1003	C	GLY	A	65	27,935	29,008	72,718	1,00	39,99	A	C
ATOM	1004	O	GLY	A	65	27,037	29,549	72,078	1,00	40,05	A	O
ATOM	1006	N	GLN	A	66	29,015	28,494	72,139	1,00	39,72	A	N
ATOM	1007	CA	GLN	A	66	29,221	28,546	70,682	1,00	40,48	A	C
ATOM	1009	CB	GLN	A	66	30,715	28,672	70,358	1,00	40,75	A	C
ATOM	1012	CG	GLN	A	66	31,415	29,833	71,069	1,00	43,12	A	C
ATOM	1015	CD	GLN	A	66	30,705	31,162	70,846	1,00	45,98	A	C
ATOM	1016	OE1	GLN	A	66	30,628	31,659	69,721	1,00	46,21	A	O
ATOM	1017	NE2	GLN	A	66	30,154	31,728	71,924	1,00	49,51	A	N
ATOM	1020	C	GLN	A	66	28,657	27,296	69,989	1,00	39,72	A	C
ATOM	1021	O	GLN	A	66	28,154	27,365	68,881	1,00	40,22	A	O
ATOM	1023	N	VAL	A	67	28,680	26,177	70,693	1,00	38,73	A	N
ATOM	1024	CA	VAL	A	67	28,303	24,914	70,130	1,00	37,89	A	C
ATOM	1026	CB	VAL	A	67	29,581	24,233	69,645	1,00	37,43	A	C
ATOM	1028	CG1	VAL	A	67	30,311	23,557	70,800	1,00	37,62	A	C
ATOM	1032	CG2	VAL	A	67	29,276	23,325	68,545	1,00	38,96	A	C
ATOM	1036	C	VAL	A	67	27,533	24,082	71,157	1,00	37,27	A	C
ATOM	1037	O	VAL	A	67	27,625	24,339	72,342	1,00	37,74	A	O
ATOM	1039	N	THR	A	68	26,744	23,114	70,694	1,00	36,10	A	N
ATOM	1040	CA	THR	A	68	26,031	22,219	71,583	1,00	35,19	A	C
ATOM	1042	CB	THR	A	68	24,519	22,348	71,394	1,00	35,75	A	C
ATOM	1044	OG1	THR	A	68	24,131	23,712	71,632	1,00	35,81	A	O
ATOM	1046	CG2	THR	A	68	23,766	21,431	72,340	1,00	35,62	A	C
ATOM	1050	C	THR	A	68	26,478	20,774	71,384	1,00	34,20	A	C
ATOM	1051	O	THR	A	68	26,332	20,197	70,307	1,00	34,38	A	O
ATOM	1053	N	ILE	A	69	27,053	20,205	72,436	1,00	32,55	A	N
ATOM	1054	CA	ILE	A	69	27,362	18,795	72,493	1,00	31,48	A	C
ATOM	1056	CB	ILE	A	69	28,624	18,564	73,318	1,00	31,20	A	C
ATOM	1058	CG1	ILE	A	69	29,795	19,239	72,602	1,00	30,37	A	C
ATOM	1061	CD1	ILE	A	69	31,020	19,384	73,459	1,00	28,68	A	C
ATOM	1065	CG2	ILE	A	69	28,865	17,069	73,564	1,00	28,27	A	C
ATOM	1069	C	ILE	A	69	26,162	18,020	73,071	1,00	31,77	A	C
ATOM	1070	O	ILE	A	69	25,626	18,379	74,128	1,00	31,83	A	O
ATOM	1072	N	SER	A	70	25,729	16,981	72,361	1,00	30,60	A	N
ATOM	1073	CA	SER	A	70	24,611	16,158	72,808	1,00	30,60	A	C
ATOM	1075	CB	SER	A	70	23,280	16,622	72,196	1,00	30,96	A	C
ATOM	1078	OG	SER	A	70	23,144	16,257	70,827	1,00	31,95	A	O
ATOM	1080	C	SER	A	70	24,844	14,701	72,451	1,00	30,63	A	C
ATOM	1081	O	SER	A	70	25,859	14,342	71,856	1,00	28,70	A	O
ATOM	1083	N	ALA	A	71	23,890	13,863	72,818	1,00	31,11	A	N

ES 2 540 538 T3

ATOM	1084	CA	ALA	A	71	24,050	12,434	72,632	1,00	31,93	A	C
ATOM	1086	CB	ALA	A	71	25,048	11,865	73,640	1,00	31,57	A	C
ATOM	1090	C	ALA	A	71	22,714	11,748	72,736	1,00	32,53	A	C
ATOM	1091	O	ALA	A	71	21,806	12,228	73,425	1,00	33,20	A	O
ATOM	1093	N	ASP	A	72	22,605	10,639	72,018	1,00	33,06	A	N
ATOM	1094	CA	ASP	A	72	21,427	9,781	72,002	1,00	33,73	A	C
ATOM	1096	CB	ASP	A	72	20,636	9,949	70,690	1,00	34,23	A	C
ATOM	1099	CG	ASP	A	72	19,399	9,049	70,627	1,00	35,55	A	C
ATOM	1100	OD1	ASP	A	72	18,540	9,249	69,743	1,00	38,48	A	O
ATOM	1101	OD2	ASP	A	72	19,311	8,109	71,438	1,00	38,47	A	O
ATOM	1102	C	ASP	A	72	21,956	8,360	72,210	1,00	33,45	A	C
ATOM	1103	O	ASP	A	72	22,450	7,702	71,290	1,00	32,90	A	O
ATOM	1105	N	LYS	A	73	21,910	7,922	73,461	1,00	33,46	A	N
ATOM	1106	CA	LYS	A	73	22,490	6,641	73,846	1,00	33,23	A	C
ATOM	1108	CB	LYS	A	73	22,572	6,493	75,357	1,00	33,80	A	C
ATOM	1111	CG	LYS	A	73	21,257	6,363	76,067	1,00	35,47	A	C
ATOM	1114	CD	LYS	A	73	21,493	6,499	77,585	1,00	39,67	A	C
ATOM	1117	CE	LYS	A	73	20,223	6,117	78,377	1,00	42,22	A	C
ATOM	1120	NZ	LYS	A	73	20,476	6,151	79,845	1,00	45,12	A	N
ATOM	1124	C	LYS	A	73	21,773	5,460	73,259	1,00	32,52	A	C
ATOM	1125	O	LYS	A	73	22,373	4,424	73,053	1,00	31,83	A	O
ATOM	1127	N	SER	A	74	20,503	5,630	72,952	1,00	32,90	A	N
ATOM	1128	CA	SER	A	74	19,722	4,559	72,368	1,00	33,19	A	C
ATOM	1130	CB	SER	A	74	18,240	4,941	72,357	1,00	33,02	A	C
ATOM	1133	OG	SER	A	74	17,910	5,706	71,204	1,00	33,57	A	O
ATOM	1135	C	SER	A	74	20,203	4,145	70,947	1,00	33,34	A	C
ATOM	1136	O	SER	A	74	19,959	3,012	70,514	1,00	33,75	A	O
ATOM	1138	N	ILE	A	75	20,857	5,060	70,225	1,00	33,58	A	N
ATOM	1139	CA	ILE	A	75	21,534	4,724	68,959	1,00	32,91	A	C
ATOM	1141	CB	ILE	A	75	20,907	5,471	67,755	1,00	33,22	A	C
ATOM	1143	CG1	ILE	A	75	21,117	7,006	67,847	1,00	34,23	A	C
ATOM	1146	CD1	ILE	A	75	20,339	7,830	66,752	1,00	32,37	A	C
ATOM	1150	CG2	ILE	A	75	19,414	5,109	67,601	1,00	31,33	A	C
ATOM	1154	C	ILE	A	75	23,057	4,933	69,035	1,00	33,28	A	C
ATOM	1155	O	ILE	A	75	23,727	5,030	68,004	1,00	34,45	A	O
ATOM	1157	N	ASN	A	76	23,598	5,017	70,252	1,00	33,03	A	N
ATOM	1158	CA	ASN	A	76	25,031	5,091	70,508	1,00	32,93	A	C
ATOM	1160	CB	ASN	A	76	25,679	3,732	70,190	1,00	33,54	A	C
ATOM	1163	CG	ASN	A	76	26,860	3,419	71,089	1,00	32,89	A	C
ATOM	1164	OD1	ASN	A	76	26,758	3,548	72,307	1,00	32,46	A	O
ATOM	1165	ND2	ASN	A	76	28,014	3,032	70,490	1,00	30,43	A	N
ATOM	1168	C	ASN	A	76	25,788	6,210	69,773	1,00	33,66	A	C
ATOM	1169	O	ASN	A	76	26,962	6,028	69,393	1,00	35,07	A	O
ATOM	1171	N	THR	A	77	25,156	7,373	69,630	1,00	32,33	A	N
ATOM	1172	CA	THR	A	77	25,660	8,455	68,792	1,00	31,88	A	C
ATOM	1174	CB	THR	A	77	24,724	8,645	67,571	1,00	32,12	A	C
ATOM	1176	OG1	THR	A	77	24,682	7,416	66,808	1,00	31,80	A	O
ATOM	1178	CG2	THR	A	77	25,171	9,814	66,675	1,00	31,37	A	C
ATOM	1182	C	THR	A	77	25,817	9,742	69,603	1,00	31,75	A	C
ATOM	1183	O	THR	A	77	24,911	10,109	70,363	1,00	31,65	A	O
ATOM	1185	N	ALA	A	78	26,987	10,386	69,508	1,00	30,61	A	N
ATOM	1186	CA	ALA	A	78	27,187	11,740	70,059	1,00	29,81	A	C
ATOM	1188	CB	ALA	A	78	28,482	11,850	70,844	1,00	29,41	A	C
ATOM	1192	C	ALA	A	78	27,177	12,760	68,939	1,00	29,38	A	C
ATOM	1193	O	ALA	A	78	27,474	12,425	67,789	1,00	29,65	A	O
ATOM	1195	N	TYR	A	79	26,823	14,011	69,268	1,00	28,24	A	N
ATOM	1196	CA	TYR	A	79	26,671	15,023	68,261	1,00	27,58	A	C
ATOM	1198	CB	TYR	A	79	25,220	15,306	67,953	1,00	27,23	A	C
ATOM	1201	CG	TYR	A	79	24,348	14,144	67,592	1,00	27,91	A	C
ATOM	1202	CD1	TYR	A	79	24,233	13,705	66,268	1,00	27,66	A	C

ES 2 540 538 T3

ATOM	1204	CE1	TYR	A	79	23,393	12,662	65,947	1,00	29,08	A	C
ATOM	1206	CZ	TYR	A	79	22,643	12,053	66,950	1,00	30,52	A	C
ATOM	1207	OH	TYR	A	79	21,781	11,015	66,675	1,00	30,38	A	O
ATOM	1209	CE2	TYR	A	79	22,718	12,506	68,245	1,00	28,75	A	C
ATOM	1211	CD2	TYR	A	79	23,554	13,537	68,556	1,00	27,70	A	C
ATOM	1213	C	TYR	A	79	27,334	16,360	68,633	1,00	27,75	A	C
ATOM	1214	O	TYR	A	79	27,553	16,661	69,803	1,00	27,38	A	O
ATOM	1216	N	LEU	A	80	27,646	17,144	67,598	1,00	27,53	A	N
ATOM	1217	CA	LEU	A	80	28,156	18,496	67,734	1,00	27,88	A	C
ATOM	1219	CB	LEU	A	80	29,608	18,552	67,311	1,00	28,35	A	C
ATOM	1222	CG	LEU	A	80	30,520	19,725	67,688	1,00	29,17	A	C
ATOM	1224	CD1	LEU	A	80	30,583	19,933	69,203	1,00	27,30	A	C
ATOM	1228	CD2	LEU	A	80	31,902	19,420	67,122	1,00	26,46	A	C
ATOM	1232	C	LEU	A	80	27,297	19,335	66,829	1,00	28,21	A	C
ATOM	1233	O	LEU	A	80	27,001	18,938	65,684	1,00	27,75	A	O
ATOM	1235	N	GLN	A	81	26,867	20,481	67,346	1,00	28,36	A	N
ATOM	1236	CA	GLN	A	81	25,808	21,203	66,727	1,00	28,94	A	C
ATOM	1238	CB	GLN	A	81	24,555	20,818	67,465	1,00	30,50	A	C
ATOM	1241	CG	GLN	A	81	23,248	21,164	66,870	1,00	33,95	A	C
ATOM	1244	CD	GLN	A	81	22,049	20,625	67,735	1,00	40,77	A	C
ATOM	1245	OE1	GLN	A	81	20,878	20,817	67,374	1,00	45,24	A	O
ATOM	1246	NE2	GLN	A	81	22,351	19,951	68,860	1,00	39,31	A	N
ATOM	1249	C	GLN	A	81	26,026	22,709	66,805	1,00	27,75	A	C
ATOM	1250	O	GLN	A	81	26,453	23,231	67,821	1,00	27,75	A	O
ATOM	1252	N	TRP	A	82	25,679	23,390	65,730	1,00	26,47	A	N
ATOM	1253	CA	TRP	A	82	25,816	24,818	65,632	1,00	26,71	A	C
ATOM	1255	CB	TRP	A	82	26,853	25,167	64,575	1,00	26,51	A	C
ATOM	1258	CG	TRP	A	82	28,266	24,933	64,949	1,00	24,55	A	C
ATOM	1259	CD1	TRP	A	82	29,099	25,817	65,549	1,00	22,00	A	C
ATOM	1261	NE1	TRP	A	82	30,325	25,266	65,698	1,00	22,96	A	N
ATOM	1263	CE2	TRP	A	82	30,311	23,989	65,201	1,00	22,28	A	C
ATOM	1264	CD2	TRP	A	82	29,035	23,756	64,697	1,00	22,62	A	C
ATOM	1265	CE3	TRP	A	82	28,761	22,532	64,083	1,00	23,71	A	C
ATOM	1267	CZ3	TRP	A	82	29,762	21,591	63,992	1,00	22,26	A	C
ATOM	1269	CH2	TRP	A	82	31,034	21,854	64,491	1,00	23,34	A	C
ATOM	1271	CZ2	TRP	A	82	31,332	23,054	65,104	1,00	23,33	A	C
ATOM	1273	C	TRP	A	82	24,505	25,285	65,102	1,00	27,67	A	C
ATOM	1274	O	TRP	A	82	23,977	24,676	64,176	1,00	27,76	A	O
ATOM	1276	N	SER	A	82A	23,983	26,376	55,633	1,00	28,10	A	N
ATOM	1277	CA	SER	A	82A	22,777	26,972	65,053	1,00	28,72	A	C
ATOM	1279	CB	SER	A	82A	21,898	27,548	66,160	1,00	28,87	A	C
ATOM	1282	OG	SER	A	82A	22,658	28,416	66,948	1,00	30,93	A	O
ATOM	1284	C	SER	A	82A	23,092	28,059	64,007	1,00	28,34	A	C
ATOM	1285	O	SER	A	82A	22,262	28,382	63,165	1,00	29,96	A	O
ATOM	1287	N	SER	A	82B	24,276	28,622	64,062	1,00	28,05	A	N
ATOM	1288	CA	SER	A	82B	24,690	29,675	63,116	1,00	27,99	A	C
ATOM	1290	CB	SER	A	82B	24,282	31,055	63,637	1,00	28,00	A	C
ATOM	1293	OG	SER	A	82B	24,578	32,089	62,717	1,00	29,16	A	O
ATOM	1295	C	SER	A	82B	26,203	29,615	62,899	1,00	26,85	A	C
ATOM	1296	O	SER	A	82B	26,977	30,113	63,723	1,00	27,31	A	O
ATOM	1298	N	LEU	A	82C	26,608	28,944	61,815	1,00	24,83	A	N
ATOM	1299	CA	LEU	A	82C	28,004	28,717	61,525	1,00	23,64	A	C
ATOM	1301	CB	LEU	A	82C	28,156	27,690	60,389	1,00	23,36	A	C
ATOM	1304	CG	LEU	A	82C	27,802	26,213	60,676	1,00	19,96	A	C
ATOM	1306	CD1	LEU	A	82C	27,537	25,450	59,388	1,00	21,81	A	C
ATOM	1310	CD2	LEU	A	82C	28,908	25,531	61,446	1,00	16,23	A	C
ATOM	1314	C	LEU	A	82C	28,689	29,999	61,106	1,00	23,79	A	C
ATOM	1315	O	LEU	A	82C	28,095	30,840	60,437	1,00	21,28	A	O
ATOM	1317	N	LYS	A	83	29,968	30,083	61,451	1,00	24,55	A	N
ATOM	1318	CA	LYS	A	83	30,841	31,152	61,007	1,00	26,23	A	C

ES 2 540 538 T3

ATOM	1320	CB	LYS	A	83	31,591	31,783	62,196	1,00	27,12	A	C
ATOM	1323	CG	LYS	A	83	30,743	32,167	63,389	1,00	30,85	A	C
ATOM	1326	CD	LYS	A	83	31,635	32,621	64,588	1,00	33,74	A	C
ATOM	1329	CE	LYS	A	83	30,809	32,888	65,859	1,00	36,36	A	C
ATOM	1332	NZ	LYS	A	83	30,174	31,649	66,454	1,00	39,07	A	N
ATOM	1336	C	LYS	A	83	31,898	30,555	60,107	1,00	26,07	A	C
ATOM	1337	O	LYS	A	83	32,324	29,416	60,346	1,00	26,07	A	O
ATOM	1339	N	ALA	A	84	32,385	31,338	59,140	1,00	26,68	A	N
ATOM	1340	CA	ALA	A	84	33,484	30,897	58,233	1,00	27,36	A	C
ATOM	1342	CB	ALA	A	84	33,997	32,037	57,327	1,00	27,24	A	C
ATOM	1346	C	ALA	A	84	34,633	30,364	59,045	1,00	27,22	A	C
ATOM	1347	O	ALA	A	84	35,317	29,374	58,651	1,00	26,83	A	O
ATOM	1349	N	SER	A	85	34,855	31,013	60,178	1,00	26,67	A	N
ATOM	1350	CA	SER	A	85	35,935	30,594	61,066	1,00	27,57	A	C
ATOM	1352	CB	SER	A	85	36,237	31,671	62,108	1,00	27,49	A	C
ATOM	1355	OG	SER	A	85	35,172	31,727	63,029	1,00	29,15	A	O
ATOM	1357	C	SER	A	85	35,661	29,239	61,764	1,00	27,13	A	C
ATOM	1358	O	SER	A	85	36,564	28,671	62,353	1,00	28,51	A	O
ATOM	1360	N	ASP	A	86	34,458	28,691	61,682	1,00	27,17	A	N
ATOM	1361	CA	ASP	A	86	34,261	27,290	62,133	1,00	27,30	A	C
ATOM	1363	CB	ASP	A	86	32,784	27,006	62,365	1,00	27,34	A	C
ATOM	1366	CG	ASP	A	86	32,221	27,807	63,529	1,00	27,89	A	C
ATOM	1367	OD1	ASP	A	86	32,934	27,889	64,567	1,00	25,26	A	O
ATOM	1368	OD2	ASP	A	86	31,087	28,345	63,382	1,00	25,55	A	O
ATOM	1369	C	ASP	A	86	34,837	26,233	61,179	1,00	27,15	A	C
ATOM	1370	O	ASP	A	86	34,691	25,023	61,432	1,00	27,64	A	O
ATOM	1372	N	THR	A	87	35,501	26,675	60,102	1,00	26,60	A	N
ATOM	1373	CA	THR	A	87	36,060	25,764	59,083	1,00	25,29	A	C
ATOM	1375	CB	THR	A	87	36,599	26,532	57,838	1,00	25,27	A	C
ATOM	1377	OG1	THR	A	87	35,499	27,193	57,205	1,00	22,56	A	O
ATOM	1379	CG2	THR	A	87	37,225	25,525	56,803	1,00	26,27	A	C
ATOM	1383	C	THR	A	87	37,138	24,951	59,699	1,00	24,58	A	C
ATOM	1384	O	THR	A	87	38,128	25,492	60,136	1,00	25,12	A	O
ATOM	1386	N	ALA	A	88	36,971	23,635	59,762	1,00	24,07	A	N
ATOM	1387	CA	ALA	A	88	37,949	22,845	60,496	1,00	23,53	A	C
ATOM	1389	CB	ALA	A	88	37,940	23,237	62,026	1,00	23,75	A	C
ATOM	1393	C	ALA	A	88	37,618	21,398	60,338	1,00	23,40	A	C
ATOM	1394	O	ALA	A	88	36,570	21,068	59,813	1,00	22,83	A	O
ATOM	1396	N	ILE	A	89	38,536	20,545	60,770	1,00	24,57	A	N
ATOM	1397	CA	ILE	A	89	38,242	19,114	60,991	1,00	25,53	A	C
ATOM	1399	CB	ILE	A	89	39,452	18,210	60,639	1,00	25,68	A	C
ATOM	1401	CG1	ILE	A	89	39,775	18,349	59,150	1,00	28,20	A	C
ATOM	1404	CD1	ILE	A	89	41,020	17,588	58,744	1,00	30,18	A	C
ATOM	1408	CG2	ILE	A	89	39,123	16,716	60,861	1,00	24,48	A	C
ATOM	1412	C	ILE	A	89	37,846	18,959	62,446	1,00	25,04	A	C
ATOM	1413	O	ILE	A	89	38,472	19,551	63,312	1,00	24,66	A	O
ATOM	1415	N	TYR	A	90	36,780	18,203	62,696	1,00	26,11	A	N
ATOM	1416	CA	TYR	A	90	36,273	17,932	64,058	1,00	26,13	A	C
ATOM	1418	CB	TYR	A	90	34,826	18,392	64,202	1,00	25,90	A	C
ATOM	1421	CG	TYR	A	90	34,698	19,895	64,141	1,00	25,39	A	C
ATOM	1422	CD1	TYR	A	90	34,491	20,543	62,928	1,00	23,85	A	C
ATOM	1424	CE1	TYR	A	90	34,407	21,925	62,850	1,00	24,38	A	C
ATOM	1426	CZ	TYR	A	90	34,557	22,675	63,979	1,00	23,66	A	C
ATOM	1427	OH	TYR	A	90	34,509	24,027	63,879	1,00	22,74	A	O
ATOM	1429	CE2	TYR	A	90	34,802	22,063	65,213	1,00	25,60	A	C
ATOM	1431	CD2	TYR	A	90	34,860	20,673	65,283	1,00	24,00	A	C
ATOM	1433	C	TYR	A	90	36,402	16,439	64,331	1,00	26,99	A	C
ATOM	1434	O	TYR	A	90	35,803	15,634	63,641	1,00	27,36	A	O
ATOM	1436	N	TYR	A	91	37,225	16,091	65,309	1,00	27,77	A	N
ATOM	1437	CA	TYR	A	91	37,429	14,720	65,709	1,00	28,43	A	C

ES 2 540 538 T3

ATOM	1439	CB	TYR	A	91	38,881	14,461	66,074	1,00	27,77	A	C
ATOM	1442	CG	TYR	A	91	39,868	14,759	64,971	1,00	28,69	A	C
ATOM	1443	CD1	TYR	A	91	40,061	13,867	63,922	1,00	28,54	A	C
ATOM	1445	CE1	TYR	A	91	40,957	14,151	62,895	1,00	28,98	A	C
ATOM	1447	CZ	TYR	A	91	41,687	15,319	62,930	1,00	30,92	A	C
ATOM	1448	OH	TYR	A	91	42,574	15,612	61,909	1,00	32,35	A	O
ATOM	1450	CE2	TYR	A	91	41,519	16,223	63,975	1,00	30,62	A	C
ATOM	1452	CD2	TYR	A	91	40,620	15,944	64,981	1,00	30,22	A	C
ATOM	1454	C	TYR	A	91	36,562	14,379	66,922	1,00	30,62	A	C
ATOM	1455	O	TYR	A	91	36,498	15,117	67,895	1,00	30,23	A	O
ATOM	1457	N	CYS	A	92	35,901	13,237	66,791	1,00	32,19	A	N
ATOM	1458	CA	CYS	A	92	35,229	12,505	67,835	1,00	34,04	A	C
ATOM	1460	CB	CYS	A	92	34,272	11,481	67,139	1,00	34,17	A	C
ATOM	1463	SG	CYS	A	92	33,400	10,741	68,304	1,00	43,42	A	S
ATOM	1465	C	CYS	A	92	36,329	11,776	68,637	1,00	33,85	A	C
ATOM	1466	O	CYS	A	92	37,218	11,166	68,058	1,00	33,88	A	O
ATOM	1468	N	VAL	A	93	36,291	11,864	69,959	1,00	34,67	A	N
ATOM	1469	CA	VAL	A	93	37,234	11,148	70,817	1,00	35,23	A	C
ATOM	1471	CB	VAL	A	93	38,176	12,100	71,504	1,00	35,46	A	C
ATOM	1473	CG1	VAL	A	93	38,955	11,359	72,539	1,00	37,41	A	C
ATOM	1477	CG2	VAL	A	93	39,127	12,694	70,481	1,00	37,14	A	C
ATOM	1481	C	VAL	A	93	36,517	10,298	71,900	1,00	35134	A	C
ATOM	1482	O	VAL	A	93	35,590	10,772	72,564	1,00	34,92	A	O
ATOM	1484	N	GLY	A	94	36,948	9,048	72,046	1,00	34,89	A	N
ATOM	1485	CA	GLY	A	94	36,369	8,114	73,006	1,00	35,14	A	C
ATOM	1488	C	GLY	A	94	37,262	8,012	74,239	1,00	35,05	A	C
ATOM	1489	O	GLY	A	94	38,458	7,744	74,113	1,00	35,02	A	O
ATOM	1491	N	LEU	A	95	36,683	8,255	75,413	1,00	34,78	A	N
ATOM	1492	CA	LEU	A	95	37,401	8,197	76,716	1,00	35,40	A	C
ATOM	1494	CB	LEU	A	95	37,472	9,573	77,388	1,00	34,94	A	C
ATOM	1497	CG	LEU	A	95	37,930	10,776	76,552	1,00	36,57	A	C
ATOM	1499	CD1	LEU	A	95	38,518	11,854	77,479	1,00	35,63	A	C
ATOM	1503	CD2	LEU	A	95	36,788	11,371	75,695	1,00	35,22	A	C
ATOM	1507	C	LEU	A	95	36,683	7,229	77,667	1,00	35,40	A	C
ATOM	1508	O	LEU	A	95	35,454	7,142	77,655	1,00	34,45	A	O
ATOM	1510	N	ASP	A	96	37,458	6,517	78,494	1,00	36,80	A	N
ATOM	1511	CA	ASP	A	96	36,908	5,516	79,435	1,00	37,42	A	C
ATOM	1513	CB	ASP	A	96	38,034	4,734	80,092	1,00	37,47	A	C
ATOM	1516	CG	ASP	A	96	38,862	3,928	79,097	1,00	38,55	A	n
ATOM	1517	OD1	ASP	A	96	40,102	3,913	79,251	1,00	39,27	A	O
ATOM	1518	OD2	ASP	A	96	38,296	3,323	78,174	1,00	39,34	A	O
ATOM	1519	C	ASP	A	96	36,086	6,210	80,537	1,00	38,15	A	C
ATOM	1520	O	ASP	A	96	35,105	5,659	81,067	1,00	37,85	A	O
ATOM	1522	N	TRP	A	97	36,526	7,408	80,893	1,00	38,41	A	N
ATOM	1523	CA	TRP	A	97	35,811	8,245	81,812	1,00	39,41	A	C
ATOM	1525	CB	TRP	A	97	35,975	7,752	83,255	1,00	39,03	A	C
ATOM	1528	CG	TRP	A	97	34,869	8,226	84,167	1,00	38,59	A	C
ATOM	1529	CD1	TRP	A	97	34,938	9,251	85,064	1,00	38,82	A	C
ATOM	1531	NE1	TRP	A	97	33,731	9,396	85,691	1,00	39,23	A	N
ATOM	1533	CE2	TRP	A	97	32,849	8,470	85,199	1,00	37,11	A	C
ATOM	1534	CD2	TRP	A	97	33,529	7,714	84,242	1,00	35,85	A	C
ATOM	1535	CE3	TRP	A	97	32,845	6,689	83,586	1,00	39,57	A	C
ATOM	1537	CZ3	TRP	A	97	31,522	6,449	83,913	1,00	40,31	A	C
ATOM	1539	CH2	TRP	A	97	30,868	7,227	84,877	1,00	41,08	A	C
ATOM	1541	CZ2	TRP	A	97	31,513	8,244	85,523	1,00	38,87	A	C
ATOM	1543	C	TRP	A	97	36,392	9,639	81,651	1,00	40,74	A	C
ATOM	1544	O	TRP	A	97	37,346	9,811	80,922	1,00	41,00	A	O
ATOM	1546	N	ASN	A	98	35,810	10,620	82,336	1,00	42,17	A	N
ATOM	1547	CA	ASN	A	98	36,349	11,975	82,418	1,00	43,06	A	C
ATOM	1549	CB	ASN	A	98	35,430	12,827	83,305	1,00	43,42	A	C

ES 2 540 538 T3

ATOM	1552	CG	ASN	A	98	35,356	14,295	82,881	1,00	44,11	A	C
ATOM	1553	OD1	ASN	A	98	34,386	14,981	83,230	1,00	46,73	A	O
ATOM	1554	ND2	ASN	A	98	36,351	14,779	82,143	1,00	39,76	A	N
ATOM	1557	C	ASN	A	98	37,752	11,962	82,999	1,00	44,18	A	C
ATOM	1558	O	ASN	A	98	38,092	11,065	83,771	1,00	44,47	A	O
ATOM	1560	N	TYR	A	99	38,566	12,949	82,613	1,00	45,47	A	N
ATOM	1561	CA	TYR	A	99	39,956	13,088	83,076	1,00	46,38	A	C
ATOM	1563	CB	TYR	A	99	39,964	13,380	84,581	1,00	47,16	A	C
ATOM	1566	CG	TYR	A	99	39,007	14,490	84,942	1,00	49,54	A	C
ATOM	1567	CD1	TYR	A	99	39,167	15,760	84,394	1,00	53,72	A	C
ATOM	1569	CE1	TYR	A	99	38,285	16,799	84,694	1,00	55,48	A	C
ATOM	1571	CZ	TYR	A	99	37,232	16,577	85,556	1,00	55,37	A	C
ATOM	1572	OH	TYR	A	99	36,382	17,619	85,835	1,00	56,89	A	O
ATOM	1574	CE2	TYR	A	99	37,042	15,322	86,118	1,00	53,88	A	C
ATOM	1576	CD2	TYR	A	99	37,930	14,276	85,796	1,00	51,82	A	C
ATOM	1578	C	TYR	A	99	40,836	11,871	82,733	1,00	46,34	A	C
ATOM	1579	O	TYR	A	99	41,816	11,584	83,445	1,00	47,97	A	O
ATOM	1581	N	ASN	A	100	40,487	11,169	81,650	1,00	45,38	A	N
ATOM	1582	CA	ASN	A	100	41,227	9,992	81,168	1,00	44,97	A	C
ATOM	1584	CB	ASN	A	100	40,283	8,797	81,014	1,00	45,22	A	C
ATOM	1587	CG	ASN	A	100	40,073	8,032	82,325	1,00	46,01	A	C
ATOM	1588	OD1	ASN	A	100	39,792	8,629	83,375	1,00	46,33	A	O
ATOM	1589	ND2	ASN	A	100	40,214	6,709	82,261	1,00	44,08	A	N
ATOM	1592	C	ASN	A	100	41,914	10,292	79,831	1,00	44,70	A	C
ATOM	1593	O	ASN	A	100	41,708	11,369	79,238	1,00	44,74	A	O
ATOM	1595	N	PRO	A	100A	42,755	9,365	79,358	1,00	44,02	A	N
ATOM	1596	CA	PRO	A	100A	43,421	9,681	78,103	1,00	43,60	A	C
ATOM	1598	CB	PRO	A	100A	44,513	8,598	77,990	1,00	43,55	A	C
ATOM	1601	CG	PRO	A	100A	44,156	7,542	78,930	1,00	43,58	A	C
ATOM	1604	CD	PRO	A	100A	43,261	8,120	79,970	1,00	44,17	A	C
ATOM	1607	C	PRO	A	100A	42,458	9,662	76,906	1,00	43,06	A	C
ATOM	1608	O	PRO	A	100A	41,457	8,922	76,914	1,00	42,88	A	O
ATOM	1609	N	LEU	A	100B	42,757	10,487	75,900	1,00	41,90	A	N
ATOM	1610	CA	LEU	A	100B	41,974	10,512	74,672	1,00	41,09	A	C
ATOM	1612	CB	LEU	A	100B	42,214	11,783	73,862	1,00	40,86	A	C
ATOM	1615	CG	LEU	A	100B	42,253	13,133	74,584	1,00	40,65	A	C
ATOM	1617	CD1	LEU	A	100B	41,662	14,192	73,686	1,00	40,25	A	C
ATOM	1621	CD2	LEU	A	100B	41,519	13,115	75,919	1,00	42,40	A	C
ATOM	1625	C	LEU	A	100B	42,398	9,293	73,892	1,00	41,02	A	C
ATOM	1626	O	LEU	A	100B	43,342	9,327	73,092	1,00	40,83	A	O
ATOM	1628	N	ARG	A	101	41,669	8,212	74,130	1,00	40,24	A	N
ATOM	1629	CA	ARG	A	101	42,102	6,892	73,769	1,00	39:70	A	C
ATOM	1631	CB	ARG	A	101	41,511	5,910	74,780	1,00	40,24	A	C
ATOM	1634	CG	ARG	A	101	41,855	4,475	74,547	1,00	42,55	A	C
ATOM	1637	CD	ARG	A	101	41,881	3,691	75,867	1,00	45,19	A	C
ATOM	1640	NE	ARG	A	101	41,495	2,316	75,624	1,00	46,70	A	N
ATOM	1642	CZ	ARG	A	101	42,025	1,262	76,229	1,00	50,81	A	C
ATOM	1643	NH1	ARG	A	101	41,592	0,040	75,913	1,00	49,45	A	N
ATOM	1646	NH2	ARG	A	101	42,996	1,416	77,142	1,00	54,96	A	N
ATOM	1649	C	ARG	A	101	41,696	6,502	72,368	1,00	38,55	A	C
ATOM	1650	O	ARG	A	101	42,484	5,899	71,652	1,00	39,34	A	O
ATOM	1652	N	TYR	A	102	40,464	6,809	71,983	1,00	37,16	A	N
ATOM	1653	CA	TYR	A	102	39,934	6,413	70,685	1,00	35,86	A	C
ATOM	1655	CB	TYR	A	102	38,706	5,507	70,826	1,00	35,34	A	C
ATOM	1658	CG	TYR	A	102	38,918	4,195	71,590	1,00	37,22	A	C
ATOM	1659	CD1	TYR	A	102	39,592	3,129	71,024	1,00	37,21	A	C
ATOM	1661	CE1	TYR	A	102	39,770	1,917	71,728	1,00	37,64	A	C
ATOM	1663	CZ	TYR	A	102	39,249	1,784	73,018	1,00	39,53	A	C
ATOM	1664	OH	TYR	A	102	39,416	0,618	73,743	1,00	36,66	A	O
ATOM	1666	CE2	TYR	A	102	38,558	2,834	73,595	1,00	38,93	A	C

ES 2 540 538 T3

ATOM	1668	CD2	TYR	A	102	38,390	4,023	72,887	1,00	38,50	A	C
ATOM	1670	C	TYR	A	102	39,583	7,676	69,866	1,00	34,62	A	C
ATOM	1671	O	TYR	A	102	39,012	8,643	70,364	1,00	34,31	A	O
ATOM	1673	N	TRP	A	103	39,915	7,656	68,592	1,00	33,17	A	N
ATOM	1674	CA	TRP	A	103	39,738	8,831	67,755	1,00	31,66	A	C
ATOM	1676	CB	TRP	A	103	41,096	9,317	67,302	1,00	32,00	A	C
ATOM	1679	CG	TRP	A	103	41,858	9,899	68,403	1,00	30,14	A	C
ATOM	1680	CD1	TRP	A	103	42,482	9,235	69,395	1,00	31,06	A	C
ATOM	1682	NE1	TRP	A	103	43,089	10,128	70,248	1,00	28,68	A	N
ATOM	1684	CE2	TRP	A	103	42,834	11,394	69,814	1,00	25,92	A	C
ATOM	1685	CD2	TRP	A	103	42,073	11,287	68,644	1,00	27,28	A	C
ATOM	1686	CE3	TRP	A	103	41,715	12,448	67,968	1,00	27,73	A	C
ATOM	1688	CZ3	TRP	A	103	42,100	13,687	68,505	1,00	25,84	A	C
ATOM	1690	CH2	TRP	A	103	42,856	13,751	69,663	1,00	27,09	A	C
ATOM	1692	CZ2	TRP	A	103	43,241	12,619	70,333	1,00	27,26	A	C
ATOM	1694	C	TRP	A	103	38,907	8,453	66,561	1,00	30,98	A	C
ATOM	1695	O	TRP	A	103	39,123	7,406	65,967	1,00	31,17	A	O
ATOM	1697	N	GLY	A	104	37,919	9,272	66,239	1,00	29,29	A	N
ATOM	1698	CA	GLY	A	104	37,275	9,164	64,958	1,00	29,48	A	C
ATOM	1701	C	GLY	A	104	38,194	9,701	63,856	1,00	28,58	A	C
ATOM	1702	O	GLY	A	104	39,226	10,270	64,147	1,00	28,16	A	O
ATOM	1704	N	PRO	A	105	37,840	9,484	62,590	1,00	28,63	A	N
ATOM	1705	CA	PRO	A	105	38,732	9,903	61,478	1,00	29,12	A	C
ATOM	1707	CB	PRO	A	105	38,243	9,088	60,276	1,00	29,01	A	C
ATOM	1710	CG	PRO	A	105	36,926	8,582	60,626	1,00	28,98	A	C
ATOM	1713	CD	PRO	A	105	36,734	8,645	62,133	1,00	27,88	A	C
ATOM	1716	C	PRO	A	105	38,611	11,374	61,152	1,00	29,49	A	C
ATOM	1717	O	PRO	A	105	39,421	11,889	60,374	1,00	31,88	A	O
ATOM	1718	N	GLY	A	106	37,594	12,036	61,693	1,00	28,76	A	N
ATOM	1719	CA	GLY	A	106	37,430	13,449	61,505	1,00	27,46	A	C
ATOM	1722	C	GLY	A	106	36,302	13,730	60,546	1,00	27,43	A	C
ATOM	1723	O	GLY	A	106	36,019	12,940	59,643	1,00	27,18	A	O
ATOM	1725	N	THR	A	107	35,609	14,842	60,791	1,00	27,31	A	N
ATOM	1726	CA	THR	A	107	34,643	15,378	59,858	1,00	26,44	A	C
ATOM	1728	CB	THR	A	107	33,261	15,465	60,504	1,00	26,68	A	C
ATOM	1730	OG1	THR	A	107	32,768	14,142	60,756	1,00	25,37	A	O
ATOM	1732	CG2	THR	A	107	32,318	16,216	59,609	1,00	28,54	A	C
ATOM	1736	C	THR	A	107	35,097	16,770	59,456	1,00	25,74	A	C
ATOM	1737	O	THR	A	107	35,194	17,675	60,319	1,00	25,40	A	O
ATOM	1739	N	LEU	A	108	35,340	16,957	58,152	1,00	24,68	A	N
ATOM	1740	CA	LEU	A	108	35,705	18,254	57,613	1,00	24,57	A	C
ATOM	1742	CB	LEU	A	108	36,402	18,138	56,227	1,00	24,92	A	C
ATOM	1745	CG	LEU	A	108	36,690	19,542	55,590	1,00	25,99	A	C
ATOM	1747	CD1	LEU	A	108	37,297	19,429	54,159	1,00	29,31	A	C
ATOM	1751	CD2	LEU	A	108	37,600	20,471	56,473	1,00	23,79	A	C
ATOM	1755	C	LEU	A	108	34,453	19,074	57,471	1,00	23,74	A	C
ATOM	1756	O	LEU	A	108	33,475	18,660	56,839	1,00	24,03	A	O
ATOM	1758	N	VAL	A	109	34,478	20,257	58,031	1,00	23,35	A	N
ATOM	1759	CA	VAL	A	109	33,363	21,176	57,901	1,00	22,89	A	C
ATOM	1761	CB	VAL	A	109	32,718	21,505	59,273	1,00	22,83	A	C
ATOM	1763	CG1	VAL	A	109	31,712	22,625	59,140	1,00	23,49	A	C
ATOM	1767	CG2	VAL	A	109	32,040	20,300	59,837	1,00	19,85	A	C
ATOM	1771	C	VAL	A	109	33,944	22,428	57,290	1,00	23,58	A	C
ATOM	1772	O	VAL	A	109	34,855	23,049	57,877	1,00	23,81	A	O
ATOM	1774	N	THR	A	110	33,440	22,768	56,101	1,00	23,92	A	N
ATOM	1775	CA	THR	A	110	33,872	23,939	55,367	1,00	23,03	A	C
ATOM	1777	CB	THR	A	110	34,177	23,634	53,849	1,00	24,19	A	C
ATOM	1779	OG1	THR	A	110	35,261	22,692	53,722	1,00	24,94	A	O
ATOM	1781	CG2	THR	A	110	34,471	24,949	53,078	1,00	21,39	A	C
ATOM	1785	C	THR	A	110	32,718	24,841	55,397	1,00	23,60	A	C

ES 2 540 538 T3

ATOM	1786	O	THR	A	110	31,640	24,447	54,972	1,00	24,16	A	O
ATOM	1788	N	VAL	A	111	32,945	26,069	55,857	1,00	24,07	A	N
ATOM	1789	CA	VAL	A	111	31,925	27,062	55,924	1,00	24,57	A	C
ATOM	1791	CB	VAL	A	111	31,699	27,545	57,376	1,00	24,61	A	C
ATOM	1793	CG1	VAL	A	111	30,514	28,480	57,431	1,00	22,21	A	C
ATOM	1797	CG2	VAL	A	111	31,545	26,330	58,338	1,00	23,01	A	C
ATOM	1801	C	VAL	A	111	32,419	28,217	55,113	1,00	25,98	A	C
ATOM	1802	O	VAL	A	111	33,446	28,775	55,426	1,00	26,08	A	O
ATOM	1804	N	SER	A	112	31,699	28,573	54,062	1,00	28,32	A	N
ATOM	1805	CA	SER	A	112	32,051	29,770	53,268	1,00	30,32	A	C
ATOM	1807	CB	SER	A	112	33,230	29,513	52,296	1,00	30,72	A	C
ATOM	1810	OG	SER	A	112	32,778	28,842	51,111	1,00	31,46	A	O
ATOM	1812	C	SER	A	112	30,868	30,187	52,479	1,00	31,00	A	C
ATOM	1813	O	SER	A	112	29,893	29,458	52,363	1,00	30,87	A	O
ATOM	1815	N	SER	A	113	30,980	31,365	51,893	1,00	33,92	A	N
ATOM	1816	CA	SER	A	113	29,929	31,902	51,025	1,00	34,78	A	C
ATOM	1818	CB	SER	A	113	30,209	33,369	50,748	1,00	35,72	A	C
ATOM	1821	OG	SER	A	113	30,192	34,115	51,970	1,00	36,27	A	O
ATOM	1823	C	SER	A	113	29,765	31,113	49,724	1,00	36,14	A	C
ATOM	1824	O	SER	A	113	28,651	31,024	49,196	1,00	37,02	A	O
ATOM	1826	N	ALA	A	114	30,819	30,466	49,233	1,00	37,15	A	N
ATOM	1827	CA	ALA	A	114	30,698	29,714	47,967	1,00	37,89	A	C
ATOM	1829	CB	ALA	A	114	32,049	29,654	47,251	1,00	37,91	A	C
ATOM	1833	C	ALA	A	114	30,180	28,316	48,248	1,00	39,05	A	C
ATOM	1834	O	ALA	A	114	30,503	27,732	49,286	1,00	40,56	A	O
ATOM	1836	N	SER	A	115	29,353	27,749	47,375	1,00	39,67	A	N
ATOM	1837	CA	SER	A	115	28,901	26,358	47,612	1,00	39,83	A	C
ATOM	1839	CB	SER	A	115	27,409	26,155	47,312	1,00	40,04	A	C
ATOM	1842	OG	SER	A	115	26,993	26,885	46,179	1,00	41,24	A	O
ATOM	1844	C	SER	A	115	29,765	25,396	46,814	1,00	39,55	A	C
ATOM	1845	O	SER	A	115	30,619	25,813	46,042	1,00	38,70	A	O
ATOM	1847	N	THR	A	116	29,537	24,113	47,003	1,00	39,36	A	N
ATOM	1848	CA	THR	A	116	30,349	23,129	46,334	1,00	40,65	A	C
ATOM	1850	CB	THR	A	116	30,003	21,708	46,822	1,00	40,56	A	C
ATOM	1852	OG1	THR	A	116	30,660	21,537	48,079	1,00	44,01	A	O
ATOM	1854	CG2	THR	A	116	30,540	20,622	45,912	1,00	43,56	A	C
ATOM	1858	C	THR	A	116	30,286	23,310	44,814	1,00	40,20	A	C
ATOM	1859	O	THR	A	116	29,228	23,638	44,265	1,00	39,87	A	O
ATOM	1861	N	LYS	A	117	31,458	23,168	44,180	1,00	39,61	A	N
ATOM	1862	CA	LYS	A	117	31,609	23,147	42,732	1,00	39,11	A	C
ATOM	1864	CB	LYS	A	117	32,273	24,438	42,215	1,00	39,92	A	C
ATOM	1867	CG	LYS	A	117	32,261	24,516	40,672	1,00	40,13	A	C
ATOM	1870	CD	LYS	A	117	33,175	25,589	40,089	1,00	40,87	A	C
ATOM	1873	CE	LYS	A	117	33,307	25,416	38,542	1,00	39,90	A	C
ATOM	1876	NZ	LYS	A	117	33,942	24,114	38,119	1,00	38,37	A	N
ATOM	1880	C	LYS	A	117	32,454	21,938	42,305	1,00	38,16	A	C
ATOM	1881	O	LYS	A	117	33,555	21,715	42,811	1,00	37,03	A	O
ATOM	1883	N	GLY	A	118	31,912	21,157	41,383	1,00	36,96	A	N
ATOM	1884	CA	GLY	A	118	32,651	20,104	40,746	1,00	36,67	A	C
ATOM	1887	C	GLY	A	118	33,724	20,627	39,795	1,00	36,02	A	C
ATOM	1888	O	GLY	A	118	33,675	21,777	39,341	1,00	36,53	A	O
ATOM	1890	N	PRO	A	119	34,718	19,783	39,497	1,00	34,91	A	N
ATOM	1891	CA	PRO	A	119	35,773	20,177	38,593	1,00	34,20	A	C
ATOM	1893	CB	PRO	A	119	36,891	19,218	38,960	1,00	34,04	A	C
ATOM	1896	CG	PRO	A	119	36,108	17,912	39,301	1,00	34,88	A	C
ATOM	1899	CD	PRO	A	119	34,737	18,331	39,753	1,00	34,74	A	C
ATOM	1902	C	PRO	A	119	35,370	19,942	37,146	1,00	33,37	A	C
ATOM	1903	O	PRO	A	119	34,514	19,104	36,864	1,00	33,09	A	O
ATOM	1904	N	SER	A	120	35,991	20,678	36,244	1,00	32,97	A	N
ATOM	1905	CA	SER	A	120	36,067	20,277	34,847	1,00	32,61	A	C

ES 2 540 538 T3

ATOM	1907	CB	SER	A	120	35,927	21,487	33,908	1,00	32,81	A	C
ATOM	1910	OG	SER	A	120	34,777	22,278	34,203	1,00	33,20	A	O
ATOM	1912	C	SER	A	120	37,444	19,650	34,678	1,00	32,07	A	C
ATOM	1913	O	SER	A	120	38,450	20,125	35,213	1,00	31,82	A	O
ATOM	1915	N	VAL	A	121	37,486	18,584	33,905	1,00	32,10	A	N
ATOM	1916	CA	VAL	A	121	38,688	17,814	33,767	1,00	32,04	A	C
ATOM	1918	CB	VAL	A	121	38,458	16,375	34,109	1,00	31,60	A	C
ATOM	1920	CG1	VAL	A	121	39,802	15,631	34,023	1,00	32,48	A	C
ATOM	1924	CG2	VAL	A	121	37,855	16,261	35,508	1,00	31,41	A	C
ATOM	1928	C	VAL	A	121	39,188	17,887	32,349	1,00	31,75	A	C
ATOM	1929	O	VAL	A	121	38,437	17,647	31,410	1,00	32,19	A	O
ATOM	1931	N	PHE	A	122	40,466	18,205	32,210	1,00	30,71	A	N
ATOM	1932	CA	PHE	A	122	41,055	18,404	30,898	1,00	30,31	A	C
ATOM	1934	CB	PHE	A	122	41,496	19,854	30,736	1,00	29,67	A	C
ATOM	1937	CG	PHE	A	122	40,388	20,845	30,813	1,00	29,85	A	C
ATOM	1938	CD1	PHE	A	122	39,380	20,842	29,893	1,00	31,76	A	C
ATOM	1940	CE1	PHE	A	122	38,364	21,794	29,951	1,00	32,41	A	C
ATOM	1942	CZ	PHE	A	122	38,385	22,775	30,947	1,00	32,84	A	C
ATOM	1944	CE2	PHE	A	122	39,389	22,814	31,848	1,00	29,89	A	C
ATOM	1946	CD2	PHE	A	122	40,384	21,836	31,798	1,00	33,68	A	C
ATOM	1948	C	PHE	A	122	42,239	17,454	30,727	1,00	30,21	A	C
ATOM	1949	O	PHE	A	122	42,971	17,216	31,665	1,00	30,03	A	O
ATOM	1951	N	PRO	A	123	42,415	16,890	29,524	1,00	30,69	A	N
ATOM	1952	CA	PRO	A	123	43,562	16,014	29,286	1,00	30,93	A	C
ATOM	1954	CB	PRO	A	123	43,202	15,364	27,952	1,00	31,10	A	C
ATOM	1957	CG	PRO	A	123	42,531	16,489	27,206	1,00	30,26	A	C
ATOM	1960	CD	PRO	A	123	41,739	17,245	28,264	1,00	30,62	A	C
ATOM	1963	C	PRO	A	123	44,906	16,789	29,186	1,00	31,03	A	C
ATOM	1964	O	PRO	A	123	44,941	17,917	28,710	1,00	30,52	A	O
ATOM	1965	N	LEU	A	124	45,973	16,211	29,726	1,00	31,47	A	N
ATOM	1966	CA	LEU	A	124	47,313	16,729	29,548	1,00	32,14	A	C
ATOM	1968	CB	LEU	A	124	48,045	16,885	30,879	1,00	31,69	A	C
ATOM	1971	CG	LEU	A	124	47,365	17,885	31,833	1,00	31,03	A	C
ATOM	1973	CD1	LEU	A	124	48,056	17,917	33,148	1,00	28,70	A	C
ATOM	1977	CD2	LEU	A	124	47,316	19,295	31,235	1,00	28,96	A	C
ATOM	1981	C	LEU	A	124	47,975	15,724	28,607	1,00	33,30	A	C
ATOM	1982	O	LEU	A	124	48,504	14,701	29,024	1,00	32,71	A	O
ATOM	1984	N	ALA	A	125	47,870	16,021	27,320	1,00	34,64	A	N
ATOM	1985	CA	ALA	A	125	48,202	15,059	26,280	1,00	36,33	A	C
ATOM	1987	CB	ALA	A	125	47,691	15,561	24,925	1,00	36,13	A	C
ATOM	1991	C	ALA	A	125	49,714	14,798	26,204	1,00	37,52	A	C
ATOM	1992	O	ALA	A	125	50,503	15,736	26,265	1,00	36,34	A	O
ATOM	1994	N	PRO	A	126	50,104	13,518	26,038	1,00	39,55	A	N
ATOM	1995	CA	PRO	A	126	51,488	13,146	25,754	1,00	40,70	A	C
ATOM	1997	CB	PRO	A	126	51,443	11,622	25,701	1,00	40,71	A	C
ATOM	2000	CG	PRO	A	126	50,063	11,281	25,316	1,00	40,57	A	C
ATOM	2003	CD	PRO	A	126	49,171	12,416	25,739	1,00	40,13	A	C
ATOM	2006	C	PRO	A	126	51,931	13,715	24,419	1,00	41,71	A	C
ATOM	2007	O	PRO	A	126	51,118	13,860	23,513	1,00	41,57	A	O
ATOM	2008	N	SER	A	127	53,199	14,092	24,315	1,00	43,99	A	N
ATOM	2009	CA	SER	A	127	53,703	14,708	23,070	1,00	45,68	A	C
ATOM	2011	CB	SER	A	127	53,383	16,198	23,052	1,00	45,12	A	C
ATOM	2014	OG	SER	A	127	54,308	16,880	23,856	1,00	44,45	A	O
ATOM	2016	C	SER	A	127	55,200	14,512	22,952	1,00	47,25	A	C
ATOM	2017	O	SER	A	127	55,790	13,893	23,820	1,00	48,05	A	O
ATOM	2019	N	SER	A	128	55,821	15,039	21,895	1,00	49,42	A	N
ATOM	2020	CA	SER	A	128	57,289	14,944	21,769	1,00	51,18	A	C
ATOM	2022	CB	SER	A	128	57,788	15,264	20,344	1,00	51,30	A	C
ATOM	2025	OG	SER	A	128	57,308	16,504	19,863	1,00	51,68	A	O
ATOM	2027	C	SER	A	128	57,950	15,829	22,831	1,00	52,47	A	C

ES 2 540 538 T3

ATOM	2028	O	SER	A	128	58,908	15,405	23,476	1,00	52,84	A	O
ATOM	2030	N	LYS	A	129	57,394	17,025	23,060	1,00	53,97	A	N
ATOM	2031	CA	LYS	A	129	57,843	17,907	24,167	1,00	54,90	A	C
ATOM	2033	CB	LYS	A	129	57,132	19,286	24,114	1,00	55,14	A	C
ATOM	2036	CG	LYS	A	129	57,840	20,358	23,253	1,00	55,12	A	C
ATOM	2042	C	LYS	A	129	57,725	17,295	25,590	1,00	55,30	A	C
ATOM	2043	O	LYS	A	129	58,434	17,741	26,514	1,00	55,79	A	O
ATOM	2045	N	SER	A	130	56,872	16,282	25,771	1,00	55,74	A	N
ATOM	2046	CA	SER	A	130	56,732	15,599	27,083	1,00	56,20	A	C
ATOM	2048	CB	SER	A	130	55,242	15,552	27,509	1,00	56,35	A	C
ATOM	2051	OG	SER	A	130	54,536	14,445	26,952	1,00	54,91	A	O
ATOM	2053	C	SER	A	130	57,345	14,181	27,151	1,00	57,08	A	C
ATOM	2054	O	SER	A	130	57,095	13,431	28,114	1,00	56,53	A	O
ATOM	2056	N	THR	A	133	58,149	13,822	26,147	1,00	58,30	A	N
ATOM	2057	CA	THR	A	133	58,665	12,454	26,005	1,00	59,19	A	C
ATOM	2059	CB	THR	A	133	58,010	11,709	24,811	1,00	59,61	A	C
ATOM	2061	OG1	THR	A	133	58,430	12,309	23,584	1,00	61,18	A	O
ATOM	2063	CG2	THR	A	133	56,491	11,745	24,883	1,00	58,93	A	C
ATOM	2067	C	THR	A	133	60,181	12,429	25,780	1,00	59,77	A	C
ATOM	2068	O	THR	A	133	60,715	13,151	24,937	1,00	59,56	A	O
ATOM	2070	N	SER	A	134	60,867	11,569	26,525	1,00	60,10	A	N
ATOM	2071	CA	SER	A	134	62,303	11,473	26,418	1,00	60,32	A	C
ATOM	2073	CB	SER	A	134	62,959	12,608	27,207	1,00	60,91	A	C
ATOM	2076	OG	SER	A	134	62,522	13,879	26,750	1,00	61,32	A	O
ATOM	2078	C	SER	A	134	62,782	10,129	26,950	1,00	59,85	A	C
ATOM	2079	O	SER	A	134	62,249	9,616	27,943	1,00	59,63	A	O
ATOM	2081	N	GLY	A	135	63,784	9,566	26,274	1,00	58,96	A	N
ATOM	2082	CA	GLY	A	135	64,408	8,325	26,707	1,00	58,18	A	C
ATOM	2085	C	GLY	A	135	63,431	7,183	26,835	1,00	57,49	A	C
ATOM	2086	O	GLY	A	135	63,508	6,404	27,779	1,00	57,70	A	O
ATOM	2088	N	GLY	A	136	62,486	7,101	25,904	1,00	56,86	A	N
ATOM	2089	CA	GLY	A	136	61,599	5,942	25,815	1,00	56,44	A	C
ATOM	2092	C	GLY	A	136	60,357	5,924	26,699	1,00	55,76	A	C
ATOM	2093	O	GLY	A	136	59,509	5,038	26,541	1,00	56,25	A	O
ATOM	2095	N	THR	A	137	60,236	6,850	27,649	1,00	54,54	A	N
ATOM	2096	CA	THR	A	137	58,955	6,995	28,366	1,00	53,57	A	C
ATOM	2098	CB	THR	A	137	59,077	6,644	29,867	1,00	53,90	A	C
ATOM	2100	OG1	THR	A	137	60,078	7,457	30,482	1,00	53,59	A	O
ATOM	2102	CG2	THR	A	137	59,413	5,122	30,053	1,00	54,05	A	C
ATOM	2106	C	THR	A	137	58,308	8,377	28,144	1,00	51,96	A	C
ATOM	2107	O	THR	A	137	58,987	9,359	27,885	1,00	51,65	A	O
ATOM	2109	N	ALA	A	138	56,979	8,415	28,186	1,00	50,47	A	N
ATOM	2110	CA	ALA	A	138	56,211	9,652	27,962	1,00	48,82	A	C
ATOM	2112	CB	ALA	A	138	55,270	9,482	26,767	1,00	48,79	A	C
ATOM	2116	C	ALA	A	138	55,415	10,055	29,216	1,00	46,92	A	C
ATOM	2117	O	ALA	A	138	55,007	9,194	30,014	1,00	47,22	A	O
ATOM	2119	N	ALA	A	139	55,214	11,363	29,382	1,00	44,56	A	N
ATOM	2120	CA	ALA	A	139	54,370	11,919	30,454	1,00	42,81	A	C
ATOM	2122	CB	ALA	A	139	55,072	13,098	31,140	1,00	42,04	A	C
ATOM	2126	C	ALA	A	139	53,011	12,359	29,887	1,00	41,02	A	C
ATOM	2127	O	ALA	A	139	52,947	13,069	28,894	1,00	40,89	A	O
ATOM	2129	N	LEU	A	140	51,933	11,908	30,518	1,00	39,64	A	N
ATOM	2130	CA	LEU	A	140	50,577	12,431	30,266	1,00	37,80	A	C
ATOM	2132	CB	LEU	A	140	49,761	11,485	29,394	1,00	37,45	A	C
ATOM	2135	CG	LEU	A	140	49,658	10,102	30,017	1,00	37,70	A	C
ATOM	2137	CD1	LEU	A	140	48,291	9,506	29,868	1,00	38,85	A	C
ATOM	2141	CD2	LEU	A	140	50,695	9,207	29,405	1,00	40,18	A	C
ATOM	2145	C	LEU	A	140	49,884	12,581	31,604	1,00	36,42	A	C
ATOM	2146	O	LEU	A	140	50,363	12,083	32,601	1,00	36,09	A	O
ATOM	2148	N	GLY	A	141	48,747	13,265	31,614	1,00	34,99	A	N

ES 2 540 538 T3

ATOM	2149	CA	GLY	A	141	48,017	13,511	32,854	1,00	33,65	A	C
ATOM	2152	C	GLY	A	141	46,651	14,183	32,659	1,00	32,45	A	C
ATOM	2153	O	GLY	A	141	46,170	14,375	31,519	1,00	29,54	A	O
ATOM	2155	N	CYS	A	142	46,011	14,500	33,786	1,00	31,15	A	N
ATOM	2156	CA	CYS	A	142	44,724	15,178	33,751	1,00	30,33	A	C
ATOM	2158	CB	CYS	A	142	43,628	14,284	34,275	1,00	30,26	A	C
ATOM	2161	SG	CYS	A	142	43,166	12,996	33,064	1,00	35,05	A	S
ATOM	2163	C	CYS	A	142	44,835	16,394	34,590	1,00	28,59	A	C
ATOM	2164	O	CYS	A	142	45,453	16,369	35,647	1,00	28,39	A	O
ATOM	2166	N	LEU	A	143	44,244	17,461	34,102	1,00	27,31	A	N
ATOM	2167	CA	LEU	A	143	44,138	18,696	34,829	1,00	26,81	A	C
ATOM	2169	CB	LEU	A	143	44,347	19,862	33,883	1,00	25,52	A	C
ATOM	2172	CG	LEU	A	143	44,089	21,265	34,435	1,00	25,10	A	C
ATOM	2174	CD1	LEU	A	143	44,910	21,552	35,637	1,00	21,58	A	C
ATOM	2178	CD2	LEU	A	143	44,324	22,307	33,370	1,00	21,21	A	C
ATOM	2182	C	LEU	A	143	42,704	18,721	35,399	1,00	27,61	A	C
ATOM	2183	O	LEU	A	143	41,730	18,670	34,650	1,00	27,90	A	O
ATOM	2185	N	VAL	A	144	42,613	18,793	36,721	1,00	28,25	A	N
ATOM	2186	CA	VAL	A	144	41,366	18,883	37,442	1,00	28,70	A	C
ATOM	2188	CB	VAL	A	144	41,397	17,916	38,613	1,00	29,11	A	C
ATOM	2190	CG1	VAL	A	144	40,052	17,904	39,310	1,00	28,72	A	C
ATOM	2194	CG2	VAL	A	144	41,722	16,500	38,087	1,00	28,65	A	C
ATOM	2198	C	VAL	A	144	41,178	20,314	37,901	1,00	28,97	A	C
ATOM	2199	O	VAL	A	144	41,780	20,762	38,856	1,00	28,85	A	O
ATOM	2201	N	LYS	A	145	40,335	21,040	37,184	1,00	30,50	A	N
ATOM	2202	CA	LYS	A	145	40,277	22,489	37,275	1,00	31,55	A	C
ATOM	2204	CB	LYS	A	145	40,287	23,053	35,860	1,00	32,31	A	C
ATOM	2207	CG	LYS	A	145	40,551	24,520	35,786	1,00	35,59	A	C
ATOM	2210	CD	LYS	A	145	42,044	24,796	35,726	1,00	39,98	A	C
ATOM	2213	CE	LYS	A	145	42,350	26,288	35,893	1,00	42,00	A	C
ATOM	2216	NZ	LYS	A	145	41,343	27,102	35,108	1,00	44,61	A	N
ATOM	2220	C	LYS	A	145	39,014	23,008	38,003	1,00	31,76	A	C
ATOM	2221	O	LYS	A	145	37,918	22,506	37,784	1,00	30,89	A	O
ATOM	2223	N	ASP	A	146	39,219	24,032	38,828	1,00	32,28	A	N
ATOM	2224	CA	ASP	A	146	38,157	24,823	39,486	1,00	34,30	A	C
ATOM	2226	CB	ASP	A	146	37,449	25,715	38,449	1,00	34,78	A	C
ATOM	2229	CG	ASP	A	146	38,368	26,766	37,863	1,00	35,72	A	C
ATOM	2230	OD1	ASP	A	146	39,365	27,112	38,529	1,00	36,33	A	O
ATOM	2231	OD2	ASP	A	146	38,102	27,233	36,726	1,00	43,62	A	O
ATOM	2232	C	ASP	A	146	37,127	24,015	40,278	1,00	34,71	A	C
ATOM	2233	O	ASP	A	146	35,957	23,980	39,921	1,00	35,87	A	O
ATOM	2235	N	TYR	A	147	37,566	23,347	41,338	1,00	35,41	A	N
ATOM	2236	CA	TYR	A	147	36,647	22,571	42,181	1,00	35,47	A	C
ATOM	2238	CB	TYR	A	147	36,977	21,100	42,139	1,00	34,88	A	C
ATOM	2241	CG	TYR	A	147	38,308	20,745	42,748	1,00	35,13	A	C
ATOM	2242	CD1	TYR	A	147	39,449	20,621	41,958	1,00	34,68	A	C
ATOM	2244	CE1	TYR	A	147	40,677	20,271	42,511	1,00	32,33	A	C
ATOM	2246	CZ	TYR	A	147	40,763	20,042	43,863	1,00	33,42	A	C
ATOM	2247	OH	TYR	A	147	41,970	19,690	44,417	1,00	34,96	A	O
ATOM	2249	CE2	TYR	A	147	39,634	20,143	44,675	1,00	34,52	A	C
ATOM	2251	CD2	TYR	A	147	38,420	20,480	44,112	1,00	34,98	A	C
ATOM	2253	C	TYR	A	147	36,702	23,057	43,625	1,00	35,96	A	C
ATOM	2254	O	TYR	A	147	37,668	23,710	44,024	1,00	35,60	A	O
ATOM	2256	N	PHE	A	148	35,665	22,711	44,399	1,00	36,71	A	N
ATOM	2257	CA	PHE	A	148	35,544	23,197	45,768	1,00	36,98	A	C
ATOM	2259	CB	PHE	A	148	35,059	24,636	45,779	1,00	36,82	A	C
ATOM	2262	CG	PHE	A	148	35,066	25,266	47,142	1,00	38,12	A	C
ATOM	2263	CD1	PHE	A	148	36,248	25,742	47,697	1,00	38,90	A	C
ATOM	2265	CE1	PHE	A	148	36,264	26,357	48,951	1,00	37,29	A	C
ATOM	2267	CZ	PHE	A	148	35,086	26,496	49,650	1,00	38,80	A	C

ES 2 540 538 T3

ATOM	2269	CE2	PHE	A	148	33,896	26,016	49,106	1,00	38,78	A	C
ATOM	2271	CD2	PHE	A	148	33,889	25,410	47,864	1,00	37,90	A	C
ATOM	2273	C	PHE	A	148	34,612	22,394	46,646	1,00	37,05	A	C
ATOM	2274	O	PHE	A	148	33,580	21,893	46,181	1,00	37,39	A	O
ATOM	2276	N	PRO	A	149	35,014	22,190	47,915	1,00	36,47	A	N
ATOM	2277	CA	PRO	A	149	36,365	22,382	48,468	1,00	35,88	A	C
ATOM	2279	CB	PRO	A	149	36,086	22,539	49,958	1,00	36,09	A	C
ATOM	2282	CG	PRO	A	149	34,941	21,557	50,187	1,00	36,34	A	C
ATOM	2285	CD	PRO	A	149	34,137	21,518	48,886	1,00	36,87	A	C
ATOM	2288	C	PRO	A	149	37,149	21,090	48,204	1,00	34,64	A	C
ATOM	2289	O	PRO	A	149	36,717	20,281	47,392	1,00	32,91	A	O
ATOM	2290	N	GLU	A	150	38,266	20,892	48,888	1,00	34,28	A	N
ATOM	2291	CA	GLU	A	150	38,988	19,625	48,840	1,00	34,72	A	C
ATOM	2293	CB	GLU	A	150	40,297	19,741	49,619	1,00	35,20	A	C
ATOM	2296	CG	GLU	A	150	41,300	20,700	48,984	1,00	36,93	A	C
ATOM	2299	CD	GLU	A	150	42,307	19,980	48,108	1,00	37,86	A	C
ATOM	2300	OE1	GLU	A	150	41,897	19,126	47,266	1,00	33,67	A	O
ATOM	2301	OE2	GLU	A	150	43,516	20,267	48,308	1,00	39,30	A	O
ATOM	2302	C	GLU	A	150	38,160	18,509	49,444	1,00	34,81	A	C
ATOM	2303	O	GLU	A	150	37,239	18,767	50,208	1,00	35,34	A	O
ATOM	2305	N	PRO	A	151	38,481	17,255	49,124	1,00	34,17	A	N
ATOM	2306	CA	PRO	A	151	39,481	16,734	48,231	1,00	34,03	A	C
ATOM	2308	CB	PRO	A	151	40,061	15,572	49,030	1,00	33,99	A	C
ATOM	2311	CG	PRO	A	151	38,825	14,970	49,691	1,00	34,07	A	C
ATOM	2314	CD	PRO	A	151	37,937	16,196	49,988	1,00	34,72	A	C
ATOM	2317	C	PRO	A	151	38,956	16,140	46,927	1,00	34,11	A	C
ATOM	2318	O	PRO	A	151	37,757	15,863	46,783	1,00	33,00	A	O
ATOM	2319	N	VAL	A	152	39,915	15,867	46,036	1,00	33,93	A	N
ATOM	2320	CA	VAL	A	152	39,700	15,119	44,842	1,00	34,62	A	C
ATOM	2322	CB	VAL	A	152	39,997	15,993	43,594	1,00	34,98	A	C
ATOM	2324	CG1	VAL	A	152	40,526	15,157	42,404	1,00	33,96	A	C
ATOM	2328	CG2	VAL	A	152	38,779	16,768	43,211	1,00	34,31	A	C
ATOM	2332	C	VAL	A	152	40,589	13,882	44,838	1,00	35,42	A	C
ATOM	2333	O	VAL	A	152	41,704	13,918	45,283	1,00	36,57	A	O
ATOM	2335	N	THR	A	153	40,083	12,814	44,267	1,00	36,25	A	N
ATOM	2336	CA	THR	A	153	40,765	11,542	44,191	1,00	37,59	A	C
ATOM	2338	CB	THR	A	153	39,832	10,452	44,818	1,00	37,54	A	C
ATOM	2340	OG1	THR	A	153	40,297	10,161	46,141	1,00	42,31	A	O
ATOM	2342	CG2	THR	A	153	39,788	9,177	44,018	1,00	38,59	A	C
ATOM	2346	C	THR	A	153	41,017	11,276	42,710	1,00	37,26	A	C
ATOM	2347	O	THR	A	153	40,096	11,453	41,915	1,00	37,23	A	O
ATOM	2349	N	VAL	A	154	42,234	10,875	42,330	1,00	36,78	A	N
ATOM	2350	CA	VAL	A	154	42,487	10,487	40,952	1,00	36,88	A	C
ATOM	2352	CB	VAL	A	154	43,441	11,465	40,226	1,00	36,98	A	C
ATOM	2354	CG1	VAL	A	154	43,552	11,118	38,731	1,00	34,44	A	C
ATOM	2358	CG2	VAL	A	154	42,978	12,889	40,419	1,00	33,14	A	C
ATOM	2362	C	VAL	A	154	43,051	9,086	40,915	1,00	38,30	A	C
ATOM	2363	O	VAL	A	154	43,966	8,761	41,648	1,00	39,27	A	O
ATOM	2365	N	SER	A	156	42,464	8,232	40,100	1,00	39,47	A	N
ATOM	2366	CA	SER	A	156	43,099	6,986	39,769	1,00	40,52	A	C
ATOM	2368	CB	SER	A	156	42,264	5,816	40,271	1,00	40,65	A	C
ATOM	2371	OG	SER	A	156	40,958	5,848	39,723	1,00	42,45	A	O
ATOM	2373	C	SER	A	156	43,237	6,959	38,258	1,00	41,24	A	C
ATOM	2374	O	SER	A	156	42,651	7,798	37,561	1,00	41,08	A	O
ATOM	2376	N	TRP	A	157	44,022	6,004	37,766	1,00	42,11	A	N
ATOM	2377	CA	TRP	A	157	44,193	5,776	36,349	1,00	42,86	A	C
ATOM	2379	CB	TRP	A	157	45,638	6,012	35,995	1,00	41,95	A	C
ATOM	2382	CG	TRP	A	157	45,990	7,467	36,027	1,00	39,47	A	C
ATOM	2383	CD1	TRP	A	157	46,431	8,188	37,096	1,00	36,37	A	C
ATOM	2385	NE1	TRP	A	157	46,643	9,489	36,731	1,00	34,76	A	N

ES 2 540 538 T3

ATOM	2387	CE2	TRP	A	157	46,342	9,632	35,406	1,00	34,24	A	C
ATOM	2388	CD2	TRP	A	157	45,915	8,377	34,931	1,00	36,62	A	C
ATOM	2389	CE3	TRP	A	157	45,560	8,243	33,575	1,00	35,48	A	C
ATOM	2391	CZ3	TRP	A	157	45,629	9,374	32,753	1,00	36,47	A	C
ATOM	2393	CH2	TRP	A	157	46,051	10,606	33,266	1,00	36,46	A	C
ATOM	2395	CZ2	TRP	A	157	46,410	10,751	34,593	1,00	35,73	A	C
ATOM	2397	C	TRP	A	157	43,760	4,361	35,953	1,00	45,14	A	C
ATOM	2398	O	TRP	A	157	44,081	3,393	36,639	1,00	45,94	A	O
ATOM	2400	N	ASN	A	162	43,024	4,258	34,852	1,00	47,51	A	N
ATOM	2401	CA	ASN	A	162	42,470	2,993	34,389	1,00	49,57	A	C
ATOM	2403	CB	ASN	A	162	43,551	2,152	33,694	1,00	50,11	A	C
ATOM	2406	CG	ASN	A	162	44,105	2,818	32,449	1,00	51,69	A	C
ATOM	2407	OD1	ASN	A	162	43,545	3,800	31,945	1,00	54,04	A	O
ATOM	2408	ND2	ASN	A	162	45,204	2,274	31,929	1,00	52,87	A	N
ATOM	2411	C	ASN	A	162	41,827	2,214	35,536	1,00	50,79	A	C
ATOM	2412	O	ASN	A	162	42,047	1,007	35,693	1,00	51,11	A	O
ATOM	2414	N	SER	A	L63	41,040	2,940	36,329	1,00	52,02	A	N
ATOM	2415	CA	SER	A	L63	40,342	2,420	37,490	1,00	52,74	A	C
ATOM	2417	CB	SER	A	L63	39,136	1,609	37,034	1,00	52,90	A	C
ATOM	2420	OG	SER	A	L63	38,329	2,379	36,154	1,00	53,87	A	O
ATOM	2422	C	SER	A	L63	41,202	1,593	38,446	1,00	53,22	A	C
ATOM	2423	O	SER	A	L63	40,702	0,648	39,051	1,00	53,74	A	O
ATOM	2425	N	GLY	A	L64	42,474	1,948	38,598	1,00	53,50	A	N
ATOM	2426	CA	GLY	A	L64	43,360	1,250	39,545	1,00	53,85	A	C
ATOM	2429	C	GLY	A	L64	44,380	0,310	38,917	1,00	53,92	A	C
ATOM	2430	O	GLY	A	L64	45,428	0,050	39,500	1,00	54,12	A	O
ATOM	2432	N	ALA	A	L65	44,080	-0,190	37,723	1,00	54,40	A	N
ATOM	2433	CA	ALA	A	L65	45,012	-1,049	36,963	1,00	54,69	A	C
ATOM	2435	CB	ALA	A	L65	44,398	-1,431	35,600	1,00	54,50	A	C
ATOM	2439	C	ALA	A	L65	46,410	-0,444	36,755	1,00	54,81	A	C
ATOM	2440	O	ALA	A	L65	47,398	-1,179	36,652	1,00	54,89	A	O
ATOM	2442	N	LEU	A	L66	46,488	0,886	36,690	1,00	54,73	A	N
ATOM	2443	CA	LEU	A	L66	47,744	1,591	36,485	1,00	54,50	A	C
ATOM	2445	CB	LEU	A	L66	47,620	2,516	35,268	1,00	54,33	A	C
ATOM	2448	CG	LEU	A	L66	48,834	3,336	34,834	1,00	54,33	A	C
ATOM	2450	CD1	LEU	A	L66	50,050	2,441	34,597	1,00	54,69	A	C
ATOM	2454	CD2	LEU	A	L66	48,509	4,152	33,571	1,00	53,54	A	C
ATOM	2458	C	LEU	A	L66	48,046	2,390	37,737	1,00	54,62	A	C
ATOM	2459	O	LEU	A	L66	47,255	3,243	38,140	1,00	54,80	A	O
ATOM	2461	N	THR	A	L67	49,170	2,093	38,375	1,00	54,71	A	N
ATOM	2462	CA	THR	A	L67	49,584	2,810	39,587	1,00	54,59	A	C
ATOM	2464	CB	THR	A	L67	49,391	1,930	40,817	1,00	54,90	A	C
ATOM	2466	OG1	THR	A	L67	50,154	0,731	40,642	1,00	55,75	A	O
ATOM	2468	CG2	THR	A	L67	47,910	1,587	41,022	1,00	54,45	A	C
ATOM	2472	C	THR	A	L67	51,059	3,234	39,556	1,00	54,32	A	C
ATOM	2473	O	THR	A	L67	51,454	4,185	40,237	1,00	54,11	A	O
ATOM	2475	N	SER	A	L68	51,865	2,508	38,780	1,00	54,01	A	N
ATOM	2476	CA	SER	A	L68	53,307	2,774	38,632	1,00	53,44	A	C
ATOM	2478	CB	SER	A	L68	54,007	1,501	38,124	1,00	53,53	A	C
ATOM	2481	OG	SER	A	L68	54,972	1,807	37,133	1,00	54,95	A	O
ATOM	2483	C	SER	A	L68	53,604	3,958	37,693	1,00	52,26	A	C
ATOM	2484	O	SER	A	L68	53,119	4,018	36,573	1,00	51,99	A	O
ATOM	2486	N	GLY	A	L69	54,418	4,891	38,163	1,00	51,56	A	N
ATOM	2487	CA	GLY	A	L69	54,655	6,147	37,451	1,00	50,90	A	C
ATOM	2490	C	GLY	A	L69	53,600	7,220	37,687	1,00	49,91	A	C
ATOM	2491	O	GLY	A	L69	53,685	8,320	37,134	1,00	50,41	A	O
ATOM	2493	N	VAL	A	L71	52,606	6,918	38,506	1,00	48,81	A	N
ATOM	2494	CA	VAL	A	L71	51,508	7,837	38,726	1,00	48,16	A	C
ATOM	2496	CB	VAL	A	L71	50,244	7,124	39,190	1,00	47,77	A	C
ATOM	2498	CG1	VAL	A	L71	49,172	8,153	39,535	1,00	49,03	A	C

ES 2 540 538 T3

ATOM	2502	CG2	VAL	A	171	49,765	6,188	38,115	1,00	48,21	A	C
ATOM	2506	C	VAL	A	171	51,868	8,810	39,799	1,00	47,09	A	C
ATOM	2507	O	VAL	A	171	52,269	8,422	40,877	1,00	47,04	A	O
ATOM	2509	N	HIS	A	172	51,690	10,087	39,535	1,00	46,25	A	N
ATOM	2510	CA	HIS	A	172	51,821	11,025	40,615	1,00	45,20	A	C
ATOM	2512	CB	HIS	A	172	53,209	11,594	40,641	1,00	45,93	A	C
ATOM	2515	CG	HIS	A	172	53,463	12,497	41,805	1,00	47,99	A	C
ATOM	2516	ND1	HIS	A	172	54,593	13,283	41,896	1,00	50,65	A	N
ATOM	2518	CE1	HIS	A	172	54,540	13,988	43,015	1,00	52,66	A	C
ATOM	2520	NE2	HIS	A	172	53,426	13,676	43,659	1,00	51,76	A	N
ATOM	2522	CD2	HIS	A	172	52,738	12,739	42,925	1,00	50,06	A	C
ATOM	2524	C	HIS	A	172	50,769	12,113	40,540	1,00	43,87	A	C
ATOM	2525	O	HIS	A	172	50,699	12,902	39,580	1,00	43,54	A	O
ATOM	2527	N	THR	A	173	49,944	12,133	41,578	1,00	41,94	A	N
ATOM	2528	CA	THR	A	173	48,924	13,136	41,744	1,00	40,21	A	C
ATOM	2530	CB	THR	A	173	47,648	12,454	42,245	1,00	40,25	A	C
ATOM	2532	OG1	THR	A	173	47,157	11,627	41,171	1,00	39,93	A	O
ATOM	2534	CG2	THR	A	173	46,575	13,486	42,695	1,00	38,55	A	C
ATOM	2538	C	THR	A	173	49,454	14,173	42,706	1,00	38,96	A	C
ATOM	2539	O	THR	A	173	49,879	13,829	43,799	1,00	38,92	A	O
ATOM	2541	N	PHE	A	174	49,420	15,433	42,290	1,00	37,48	A	N
ATOM	2542	CA	PHE	A	174	50,044	16,520	43,015	1,00	37,25	A	C
ATOM	2544	CB	PHE	A	174	50,565	17,597	42,053	1,00	37,16	A	C
ATOM	2547	CG	PHE	A	174	51,789	17,182	41,248	1,00	36,29	A	C
ATOM	2548	CD1	PHE	A	174	53,019	17,748	41,498	1,00	36,50	A	C
ATOM	2550	CE1	PHE	A	174	54,137	17,386	40,757	1,00	37,79	A	C
ATOM	2552	CZ	PHE	A	174	54,030	16,420	39,743	1,00	37,21	A	C
ATOM	2554	CE2	PHE	A	174	52,821	15,861	39,480	1,00	37,15	A	C
ATOM	2556	CD2	PHE	A	174	51,690	16,250	40,223	1,00	36,42	A	C
ATOM	2558	C	PHE	A	174	49,087	17,172	43,982	1,00	37,44	A	C
ATOM	2559	O	PHE	A	174	47,900	17,097	43,805	1,00	38,42	A	O
ATOM	2561	N	PRO	A	175	49,611	17,821	45,022	1,00	37,95	A	N
ATOM	2562	CA	PRO	A	175	48,822	18,696	45,876	1,00	37,88	A	C
ATOM	2564	CB	PRO	A	175	49,847	19,180	46,910	1,00	37,69	A	C
ATOM	2567	CG	PRO	A	175	50,771	18,032	47,064	1,00	38,02	A	C
ATOM	2570	CD	PRO	A	175	50,858	17,391	45,692	1,00	38,34	A	C
ATOM	2573	C	PRO	A	175	48,204	19,884	45,145	1,00	37,76	A	C
ATOM	2574	O	PRO	A	175	48,892	20,584	44,403	1,00	38,15	A	O
ATOM	2575	N	ALA	A	176	46,922	20,131	45,407	1,00	37,52	A	N
ATOM	2576	CA	ALA	A	176	46,159	21,163	44,726	1,00	37,53	A	C
ATOM	2578	CB	ALA	A	176	44,706	21,094	45,167	1,00	37,86	A	C
ATOM	2582	C	ALA	A	176	46,703	22,541	45,004	1,00	37,66	A	C
ATOM	2583	O	ALA	A	176	47,319	22,733	46,050	1,00	38,23	A	O
ATOM	2585	N	VAL	A	177	46,508	23,467	44,054	1,00	37,71	A	N
ATOM	2586	CA	VAL	A	177	46,691	24,894	44,275	1,00	38,64	A	C
ATOM	2588	CB	VAL	A	177	47,132	25,735	43,006	1,00	38,04	A	C
ATOM	2590	CG1	VAL	A	177	48,591	25,694	42,824	1,00	38,77	A	C
ATOM	2594	CG2	VAL	A	177	46,397	25,344	41,754	1,00	36,42	A	C
ATOM	2598	C	VAL	A	177	45,361	25,511	44,648	1,00	39,96	A	C
ATOM	2599	O	VAL	A	177	44,329	25,111	44,116	1,00	40,05	A	O
ATOM	2601	N	LEU	A	178	45,394	26,487	45,539	1,00	41,64	A	N
ATOM	2602	CA	LEU	A	178	44,225	27,291	45,825	1,00	43,53	A	C
ATOM	2604	CB	LEU	A	178	44,070	27,544	47,323	1,00	43,53	A	C
ATOM	2607	CG	LEU	A	178	43,081	28,651	47,732	1,00	43,75	A	C
ATOM	2609	CD1	LEU	A	178	41,694	28,474	47,116	1,00	39,85	A	C
ATOM	2613	CD2	LEU	A	178	43,001	28,713	49,273	1,00	42,90	A	C
ATOM	2617	C	LEU	A	178	44,440	28,587	45,090	1,00	44,81	A	C
ATOM	2618	O	LEU	A	178	45,360	29,337	45,414	1,00	44,76	A	O
ATOM	2620	N	GLN	A	179	43,612	28,836	44,081	1,00	46,73	A	N
ATOM	2621	CA	GLN	A	179	43,785	30,020	43,234	1,00	48,30	A	C

ES 2 540 538 T3

ATOM	2623	CB	GLN	A	179	43,097	29,819	41,889	1,00	48,66	A	C
ATOM	2626	CG	GLN	A	179	43,510	28,540	41,169	1,00	51,00	A	C
ATOM	2629	CD	GLN	A	179	42,339	27,879	40,458	1,00	55,23	A	C
ATOM	2630	OE1	GLN	A	179	41,888	26,774	40,830	1,00	56,47	A	O
ATOM	2631	NE2	GLN	A	179	41,819	28,563	39,441	1,00	58,08	A	N
ATOM	2634	C	GLN	A	179	43,195	31,221	43,958	1,00	48,85	A	C
ATOM	2635	O	GLN	A	179	42,700	31,071	45,073	1,00	49,39	A	O
ATOM	2637	N	SER	A	180	43,260	32,398	43,328	1,00	49,37	A	N
ATOM	2638	CA	SER	A	180	42,668	33,644	43,863	1,00	49,75	A	C
ATOM	2640	CB	SER	A	180	43,221	34,880	43,129	1,00	50,42	A	C
ATOM	2643	OG	SER	A	180	44,645	34,947	43,206	1,00	52,63	A	O
ATOM	2645	C	SER	A	180	41,145	33,666	43,736	1,00	48,97	A	C
ATOM	2646	O	SER	A	180	40,490	34,491	44,376	1,00	49,47	A	O
ATOM	2648	N	SER	A	182	40,588	32,787	42,901	1,00	47,54	A	N
ATOM	2649	CA	SER	A	182	39,134	32,627	42,807	1,00	46,42	A	C
ATOM	2651	CB	SER	A	182	38,758	31,766	41,593	1,00	46,51	A	C
ATOM	2654	OG	SER	A	182	39,272	30,437	41,709	1,00	45,25	A	O
ATOM	2656	C	SER	A	182	38,531	31,970	44,056	1,00	45,51	A	C
ATOM	2657	O	SER	A	182	37,325	32,045	44,271	1,00	45,61	A	O
ATOM	2659	N	GLY	A	183	39,361	31,301	44,859	1,00	44,71	A	N
ATOM	2660	CA	GLY	A	183	38,864	30,428	45,946	1,00	43,34	A	C
ATOM	2663	C	GLY	A	183	38,599	28,998	45,485	1,00	42,18	A	C
ATOM	2664	O	GLY	A	183	38,154	28,141	46,268	1,00	42,45	A	O
ATOM	2666	N	LEO	A	184	38,848	28,723	44,206	1,00	40,25	A	N
ATOM	2667	CA	LEU	A	184	38,690	27,367	43,717	1,00	37,85	A	C
ATOM	2669	CB	LEU	A	184	38,110	27,332	42,322	1,00	38,11	A	C
ATOM	2672	CG	LEU	A	184	36,645	27,633	42,022	1,00	38,11	A	C
ATOM	2674	CD1	LEU	A	184	35,735	27,738	43,270	1,00	37,05	A	C
ATOM	2678	CD2	LEU	A	184	36,570	28,860	41,150	1,00	38,91	A	C
ATOM	2682	C	LEU	A	184	40,042	26,724	43,710	1,00	35,45	A	C
ATOM	2683	O	LEU	A	184	41,055	27,402	43,658	1,00	33,45	A	O
ATOM	2685	N	TYR	A	185	40,036	25,396	43,808	1,00	33,45	A	N
ATOM	2686	CA	TYR	A	185	41,246	24,619	43,700	1,00	32,03	A	C
ATOM	2688	CB	TYR	A	185	41,170	23,455	44,683	1,00	32,46	A	C
ATOM	2691	CG	TYR	A	185	41,151	23,866	46,151	1,00	33,17	A	C
ATOM	2692	CD1	TYR	A	185	42,328	24,053	46,855	1,00	33,88	A	C
ATOM	2694	CE1	TYR	A	185	42,320	24,402	48,218	1,00	36,18	A	C
ATOM	2696	CZ	TYR	A	185	41,106	24,558	48,880	1,00	36,80	A	C
ATOM	2697	OH	TYR	A	185	41,084	24,926	50,202	1,00	40,44	A	O
ATOM	2699	CE2	TYR	A	185	39,913	24,392	48,194	1,00	37,28	A	C
ATOM	2701	CD2	TYR	A	185	39,941	24,031	46,836	1,00	36,55	A	C
ATOM	2703	C	TYR	A	185	41,426	24,035	42,280	1,00	31,26	A	C
ATOM	2704	O	TYR	A	185	40,449	23,833	41,550	1,00	29,05	A	O
ATOM	2706	N	SER	A	186	42,677	23,713	41,935	1,00	30,50	A	N
ATOM	2707	CA	SER	A	186	42,959	22,830	40,799	1,00	29,55	A	C
ATOM	2709	CB	SER	A	186	43,330	23,643	39,551	1,00	29,57	A	C
ATOM	2712	OG	SER	A	186	42,291	24,539	39,187	1,00	27,51	A	O
ATOM	2714	C	SER	A	186	44,106	21,927	41,163	1,00	29,19	A	C
ATOM	2715	O	SER	A	186	44,993	22,312	41,918	1,00	29,36	A	O
ATOM	2717	N	LEU	A	187	44,088	20,711	40,648	1,00	27,91	A	N
ATOM	2718	CA	LEU	A	187	45,257	19,900	40,753	1,00	28,25	A	C
ATOM	2720	CB	LEU	A	187	45,159	18,923	41,947	1,00	27,44	A	C
ATOM	2723	CG	LEU	A	187	44,172	17,784	41,956	1,00	27,26	A	C
ATOM	2725	CD1	LEU	A	187	44,539	16,753	40,892	1,00	26,78	A	C
ATOM	2729	CD2	LEU	A	187	44,078	17,122	43,406	1,00	23,16	A	C
ATOM	2733	C	LEU	A	187	45,530	19,179	39,449	1,00	28,11	A	C
ATOM	2734	O	LEU	A	187	44,697	19,177	38,551	1,00	28,57	A	O
ATOM	2736	N	SER	A	188	46,705	18,563	39,366	1,00	28,53	A	N
ATOM	2737	CA	SER	A	188	47,044	17,695	38,244	1,00	28,65	A	C
ATOM	2739	CB	SER	A	188	48,149	18,320	37,398	1,00	28,14	A	C

ES 2 540 538 T3

ATOM	2742	OG	SER	A	188	47,832	19,654	37,037	1,00	28,40	A	O
ATOM	2744	C	SER	A	188	47,489	16,336	38,745	1,00	30,08	A	C
ATOM	2745	O	SER	A	188	48,057	16,222	39,847	1,00	29,82	A	O
ATOM	2747	N	SER	A	189	47,198	15,316	37,937	1,00	31,52	A	N
ATOM	2748	CA	SER	A	189	47,718	13,974	38,114	1,00	33,54	A	C
ATOM	2750	CB	SER	A	189	46,596	12,985	38,328	1,00	33,55	A	C
ATOM	2753	OG	SER	A	189	47,099	11,699	38,677	1,00	33,88	A	O
ATOM	2755	C	SER	A	189	48,467	13,605	36,846	1,00	35,34	A	C
ATOM	2756	O	SER	A	189	47,986	13,883	35,744	1,00	36,52	A	O
ATOM	2758	N	VAL	A	190	49,654	13,030	36,978	1,00	37,19	A	N
ATOM	2759	CA	VAL	A	190	50,441	12,640	35,795	1,00	38,24	A	C
ATOM	2761	CB	VAL	A	190	51,653	13,508	35,636	1,00	38,65	A	C
ATOM	2763	CG1	VAL	A	190	51,244	14,944	35,367	1,00	38,57	A	C
ATOM	2767	CG2	VAL	A	190	52,530	13,385	36,880	1,00	39,36	A	C
ATOM	2771	C	VAL	A	190	50,949	11,207	35,862	1,00	39,50	A	C
ATOM	2772	O	VAL	A	190	51,289	10,683	36,921	1,00	39,12	A	O
ATOM	2774	N	VAL	A	191	51,011	10,575	34,709	1,00	41,42	A	N
ATOM	2775	CA	VAL	A	191	51,619	9,271	34,628	1,00	43,23	A	C
ATOM	2777	CB	VAL	A	191	50,650	8,152	34,197	1,00	43,54	A	C
ATOM	2779	CG1	VAL	A	191	51,094	6,822	34,819	1,00	44,19	A	C
ATOM	2783	CG2	VAL	A	191	49,232	8,476	34,548	1,00	44,73	A	C
ATOM	2787	C	VAL	A	191	52,708	9,278	33,589	1,00	43,92	A	C
ATOM	2788	O	VAL	A	191	52,539	9,860	32,508	1,00	44,20	A	O
ATOM	2790	N	THR	A	192	53,803	8,591	33,920	1,00	44,90	A	N
ATOM	2791	CA	THR	A	192	54,863	8,274	32,981	1,00	45,28	A	C
ATOM	2793	CB	THR	A	192	56,221	8,500	33,628	1,00	45,44	A	C
ATOM	2795	OG1	THR	A	192	56,178	7,948	34,939	1,00	47,35	A	O
ATOM	2797	CG2	THR	A	192	56,533	9,987	33,737	1,00	44,13	A	C
ATOM	2801	C	THR	A	192	54,690	6,811	32,532	1,00	45,78	A	C
ATOM	2802	O	THR	A	192	54,502	5,893	33,342	1,00	45,42	A	O
ATOM	2804	N	VAL	A	193	54,727	6,622	31,219	1,00	46,88	A	N
ATOM	2805	CA	VAL	A	193	54,436	5,338	30,590	1,00	47,53	A	C
ATOM	2807	CB	VAL	A	193	52,988	5,322	30,066	1,00	47,54	A	C
ATOM	2809	CG1	VAL	A	193	52,028	5,683	31,188	1,00	45,97	A	C
ATOM	2813	CG2	VAL	A	193	52,820	6,274	28,871	1,00	45,32	A	C
ATOM	2817	C	VAL	A	193	55,411	5,126	29,431	1,00	48,94	A	C
ATOM	2818	O	VAL	A	193	56,087	6,067	29,019	1,00	48,97	A	O
ATOM	2820	N	PRO	A	194	55,501	3,897	28,897	1,00	50,66	A	N
ATOM	2821	CA	PRO	A	194	56,483	3,761	27,822	1,00	51,51	A	C
ATOM	2823	CB	PRO	A	194	56,672	2,247	27,688	1,00	51,67	A	C
ATOM	2826	CG	PRO	A	194	56,054	1,648	28,934	1,00	51,74	A	C
ATOM	2829	CD	PRO	A	194	54,936	2,596	29,296	1,00	50,85	A	C
ATOM	2832	C	PRO	A	194	55,928	4,375	26,546	1,00	52,48	A	C
ATOM	2833	O	PRO	A	194	54,757	4,181	26,229	1,00	52,57	A	O
ATOM	2834	N	SER	A	195	56,765	5,117	25,833	1,00	53,46	A	N
ATOM	2835	CA	SER	A	195	56,350	5,804	24,624	1,00	54,43	A	C
ATOM	2837	CB	SER	A	195	57,506	6,657	24,067	1,00	54,68	A	C
ATOM	2840	OG	SER	A	195	58,618	5,861	23,636	1,00	55,03	A	O
ATOM	2842	C	SER	A	195	55,834	4,831	23,562	1,00	55,33	A	C
ATOM	2843	O	SER	A	195	55,063	5,221	22,684	1,00	55,67	A	O
ATOM	2845	N	SER	A	196	56,250	3,570	23,639	1,00	56,25	A	N
ATOM	2846	CA	SER	A	196	55,779	2,549	22,704	1,00	57,19	A	C
ATOM	2848	CB	SER	A	196	56,653	1,293	22,801	1,00	57,17	A	C
ATOM	2851	OG	SER	A	196	56,632	0,752	24,117	1,00	58,27	A	O
ATOM	2853	C	SER	A	196	54,308	2,179	22,932	1,00	57,70	A	C
ATOM	2854	O	SER	A	196	53,650	1,701	22,018	1,00	58,48	A	O
ATOM	2856	N	SER	A	197	53,792	2,399	24,140	1,00	57,95	A	N
ATOM	2857	CA	SER	A	197	52,386	2,105	24,447	1,00	57,75	A	C
ATOM	2859	CB	SER	A	197	52,172	2,099	25,970	1,00	58,04	A	C
ATOM	2862	OG	SER	A	197	52,184	3,415	26,520	1,00	55,63	A	O

ES 2 540 538 T3

ATOM	2864	C	SER	A	197	51,364	3,073	23,808	1,00	58,21	A	C
ATOM	2865	O	SER	A	197	50,173	2,762	23,741	1,00	58,03	A	O
ATOM	2867	N	LEU	A	198	51,817	4,238	23,347	1,00	58,57	A	N
ATOM	2868	CA	LEU	A	198	50,905	5,359	23,126	1,00	58,78	A	C
ATOM	2870	CB	LEU	A	198	51,670	6,630	22,759	1,00	58,34	A	C
ATOM	2873	CG	LEU	A	198	52,376	7,299	23,940	1,00	58,43	A	C
ATOM	2875	CD1	LEU	A	198	53,091	8,555	23,466	1,00	58,44	A	C
ATOM	2879	CD2	LEU	A	198	51,405	7,636	25,085	1,00	58,02	A	C
ATOM	2883	C	LEU	A	198	49,797	5,100	22,112	1,00	59,28	A	C
ATOM	2884	O	LEU	A	198	48,676	5,564	22,299	1,00	59,87	A	O
ATOM	2886	N	GLY	A	199	50,098	4,374	21,045	1,00	59,86	A	N
ATOM	2887	CA	GLY	A	199	49,072	4,020	20,041	1,00	60,01	A	C
ATOM	2890	C	GLY	A	199	48,116	2,900	20,456	1,00	59,84	A	C
ATOM	2891	O	GLY	A	199	46,926	2,899	20,093	1,00	60,21	A	O
ATOM	2893	N	THF	A	200	48,629	1,954	21,233	1,00	59,41	A	N
ATOM	2894	CA	THF	A	200	47,884	0,759	21,572	1,00	59,01	A	C
ATOM	2896	CB	THF	A	200	48,835	-0,455	21,619	1,00	59,18	A	C
ATOM	2898	OG1	THF	A	200	49,855	-0,234	22,600	1,00	58,53	A	O
ATOM	2900	CG2	THF	A	200	49,493	-0,653	20,244	1,00	59,07	A	C
ATOM	2904	C	THF	A	200	47,131	0,879	22,893	1,00	58,54	A	C
ATOM	2905	O	THF	A	200	45,987	0,441	22,996	1,00	58,94	A	O
ATOM	2907	N	GLN	A	203	47,764	1,483	23,895	1,00	57,60	A	N
ATOM	2908	CA	GLN	A	203	47,238	1,462	25,251	1,00	56,60	A	C
ATOM	2910	CB	GLN	A	203	48,388	1,432	26,255	1,00	57,20	A	C
ATOM	2913	CG	GLN	A	203	47,946	1,232	27,709	1,00	57,95	A	C
ATOM	2916	CD	GLN	A	203	47,283	-0,110	27,933	1,00	59,41	A	C
ATOM	2917	OE1	GLN	A	203	47,692	-1,120	27,346	1,00	60,68	A	O
ATOM	2918	NE2	GLN	A	203	46,255	-0,133	28,781	1,00	58,11	A	N
ATOM	2921	C	GLN	A	203	46,333	2,656	25,532	1,00	55,31	A	C
ATOM	2922	O	GLN	A	203	46,639	3,788	25,149	1,00	54,76	A	O
ATOM	2924	N	THR	A	205	45,219	2,376	26,206	1,00	53,59	A	N
ATOM	2925	CA	THR	A	205	44,258	3,390	26,608	1,00	52,37	A	C
ATOM	2927	CB	THR	A	205	42,806	2,851	26,603	1,00	52,38	A	C
ATOM	2929	OG1	THR	A	205	42,426	2,514	25,264	1,00	53,77	A	O
ATOM	2931	CG2	THR	A	205	41,820	3,889	27,135	1,00	51,79	A	C
ATOM	2935	C	THR	A	205	44,581	3,847	28,007	1,00	50,81	A	C
ATOM	2936	O	THR	A	205	44,770	3,034	28,904	1,00	51,51	A	O
ATOM	2938	N	TYR	A	206	44,608	5,160	28,192	1,00	49,17	A	N
ATOM	2939	CA	TYR	A	206	44,823	5,779	29,506	1,00	47,52	A	C
ATOM	2941	CB	TYR	A	206	46,149	6,542	29,494	1,00	47,49	A	C
ATOM	2944	CG	TYR	A	206	47,352	5,651	29,269	1,00	47,87	A	C
ATOM	2945	CD1	TYR	A	206	47,869	4,880	30,310	1,00	49,10	A	C
ATOM	2947	CE1	TYR	A	206	48,977	4,038	30,123	1,00	49,38	A	C
ATOM	2949	CZ	TYR	A	206	49,584	3,974	28,895	1,00	49,15	A	C
ATOM	2950	OH	TYR	A	206	50,679	3,153	28,741	1,00	50,12	A	O
ATOM	2952	CE2	TYR	A	206	49,090	4,737	27,829	1,00	49,58	A	C
ATOM	2954	CD2	TYR	A	206	47,974	5,575	28,026	1,00	47,62	A	C
ATOM	2956	C	TYR	A	206	43,650	6,710	29,874	1,00	45,57	A	C
ATOM	2957	O	TYR	A	206	43,301	7,624	29,118	1,00	45,93	A	O
ATOM	2959	N	ILE	A	207	43,040	6,454	31,028	1,00	43,19	A	N
ATOM	2960	CA	ILE	A	207	41,858	7,176	31,480	1,00	41,35	A	C
ATOM	2962	CB	ILE	A	207	40,570	6,297	31,384	1,00	41,54	A	C
ATOM	2964	CG1	ILE	A	207	40,376	5,740	29,966	1,00	42,09	A	C
ATOM	2967	CD1	ILE	A	207	39,115	4,871	29,800	1,00	42,38	A	C
ATOM	2971	CG2	ILE	A	207	39,333	7,091	31,795	1,00	40,33	A	C
ATOM	2975	C	ILE	A	207	42,089	7,547	32,924	1,00	39,54	A	C
ATOM	2976	O	ILE	A	207	42,430	6,689	33,730	1,00	38,87	A	O
ATOM	2978	N	CYS	A	208	41,948	8,822	33,251	1,00	37,90	A	N
ATOM	2979	CA	CYS	A	208	42,012	9,236	34,648	1,00	37,10	A	C
ATOM	2981	CB	CYS	A	208	42,637	10,607	34,811	1,00	36,36	A	C

ES 2 540 538 T3

ATOM	2984	SG	CYS	A	208	41,723	11,907	34,041	1,00	35,33	A	S
ATOM	2986	C	CYS	A	208	40,596	9,229	35,191	1,00	36,90	A	C
ATOM	2987	O	CYS	A	208	39,679	9,669	34,502	1,00	37,27	A	O
ATOM	2989	N	ASN	A	209	40,420	8,677	36,386	1,00	36,32	A	N
ATOM	2990	CA	ASN	A	209	39,114	8,621	37,041	1,00	36,32	A	C
ATOM	2992	CB	ASN	A	209	38,764	7,196	37,533	1,00	35,75	A	C
ATOM	2995	CG	ASN	A	209	39,364	6,096	36,681	1,00	37,43	A	C
ATOM	2996	OD1	ASN	A	209	40,440	5,558	37,004	1,00	39,73	A	O
ATOM	2997	ND2	ASN	A	209	38,690	5,758	35,575	1,00	38,53	A	N
ATOM	3000	C	ASN	A	209	39,190	9,608	38,218	1,00	36,02	A	C
ATOM	3001	O	ASN	A	209	39,915	9,365	39,199	1,00	36,41	A	O
ATOM	3003	N	VAL	A	210	38,471	10,725	38,094	1,00	35,83	A	N
ATOM	3004	CA	VAL	A	210	38,540	11,845	39,032	1,00	35,28	A	C
ATOM	3006	CB	VAL	A	210	38,663	13,181	38,268	1,00	35,64	A	C
ATOM	3008	CG1	VAL	A	210	38,638	14,353	39,190	1,00	34,63	A	C
ATOM	3012	CG2	VAL	A	210	39,943	13,224	37,459	1,00	34,39	A	C
ATOM	3016	C	VAL	A	210	37,253	11,837	39,859	1,00	36,73	A	C
ATOM	3017	O	VAL	A	210	36,143	11,806	39,299	1,00	36,58	A	O
ATOM	3019	N	ASN	A	211	37,395	11,824	41,184	1,00	36,90	A	N
ATOM	3020	CA	ASN	A	211	36,247	11,765	42,089	1,00	37,19	A	C
ATOM	3022	CB	ASN	A	211	36,229	10,424	42,871	1,00	38,09	A	C
ATOM	3025	CG	ASN	A	211	34,922	10,213	43,700	1,00	41,74	A	C
ATOM	3026	OD1	ASN	A	211	33,867	10,793	43,406	1,00	45,98	A	O
ATOM	3027	ND2	ASN	A	211	35,009	9,379	44,748	1,00	45,29	A	N
ATOM	3030	C	ASN	A	211	36,307	12,993	42,986	1,00	36,21	A	C
ATOM	3031	O	ASN	A	211	37,356	13,301	43,591	1,00	35,01	A	O
ATOM	3033	N	HIS	A	212	35,213	13,752	42,969	1,00	34,89	A	N
ATOM	3034	CA	HIS	A	212	35,018	14,871	43,855	1,00	34,21	A	C
ATOM	3036	CB	HIS	A	212	34,874	16,147	43,068	1,00	33,97	A	C
ATOM	3039	CG	HIS	A	212	34,728	17,361	43,915	1,00	32,77	A	C
ATOM	3040	ND1	HIS	A	212	33,667	18,230	43,787	1,00	30,85	A	N
ATOM	3042	CE1	HIS	A	212	33,820	19,231	44,635	1,00	30,11	A	C
ATOM	3044	NE2	HIS	A	212	34,938	19,044	45,311	1,00	30,56	A	N
ATOM	3046	CD2	HIS	A	212	35,521	17,872	44,888	1,00	32,97	A	C
ATOM	3048	C	HIS	A	212	33,759	14,638	44,674	1,00	35,00	A	C
ATOM	3049	O	HIS	A	212	32,688	15,150	44,325	1,00	34,75	A	O
ATOM	3051	N	LYS	A	213	33,911	13,884	45,775	1,00	35,75	A	N
ATOM	3052	CA	LYS	A	213	32,805	13,533	46,687	1,00	36,62	A	C
ATOM	3054	CB	LYS	A	213	33,301	12,824	47,974	1,00	37,38	A	C
ATOM	3057	CG	LYS	A	213	33,755	11,354	47,801	1,00	38,37	A	C
ATOM	3063	C	LYS	A	213	31,891	14,682	47,075	1,00	36,18	A	C
ATOM	3064	O	LYS	A	213	30,685	14,533	46,954	1,00	36,26	A	O
ATOM	3066	N	PRO	A	214	32,439	15,836	47,501	1,00	36,50	A	N
ATOM	3067	CA	PRO	A	214	31,570	16,946	47,956	1,00	36,18	A	C
ATOM	3069	CB	PRO	A	214	32,535	18,106	48,128	1,00	36,05	A	C
ATOM	3072	CG	PRO	A	214	33,855	17,517	48,301	1,00	36,04	A	C
ATOM	3075	CD	PRO	A	214	33,867	16,170	47,641	1,00	36,74	A	C
ATOM	3078	C	PRO	A	214	30,456	17,359	46,978	1,00	37,17	A	C
ATOM	3079	O	PRO	A	214	29,382	17,764	47,419	1,00	37,50	A	O
ATOM	3080	N	SER	A	215	30,723	17,290	45,671	1,00	37,38	A	N
ATOM	3081	CA	SER	A	215	29,761	17,682	44,626	1,00	36,92	A	C
ATOM	3083	CB	SER	A	215	30,490	18,443	43,513	1,00	37,59	A	C
ATOM	3086	OG	SER	A	215	31,327	17,564	42,757	1,00	32,55	A	O
ATOM	3088	C	SER	A	215	29,130	16,441	43,994	1,00	37,81	A	C
ATOM	3089	O	SER	A	215	28,434	16,538	43,002	1,00	38,49	A	O
ATOM	3091	N	ASN	A	216	29,442	15,275	44,537	1,00	38,20	A	N
ATOM	3092	CA	ASN	A	216	28,995	14,004	44,007	1,00	38,72	A	C
ATOM	3094	CB	ASN	A	216	27,504	13,857	44,283	1,00	39,22	A	C
ATOM	3097	CG	ASN	A	216	27,206	13,643	45,738	1,00	40,12	A	C
ATOM	3098	OD1	ASN	A	216	27,595	12,624	46,337	1,00	40,63	A	O

ES 2 540 538 T3

ATOM	3099	ND2	ASN	A	216	26,497	14,589	46,318	1,00	42,23	A	N
ATOM	3102	C	ASN	A	216	29,307	13,793	42,524	1,00	38,81	A	C
ATOM	3103	O	ASN	A	216	28,516	13,197	41,778	1,00	38,88	A	O
ATOM	3105	N	THR	A	217	30,483	14,259	42,115	1,00	38,80	A	N
ATOM	3106	CA	THR	A	217	30,899	14,228	40,728	1,00	37,87	A	C
ATOM	3108	CB	THR	A	217	31,423	15,583	40,308	1,00	37,09	A	C
ATOM	3110	OG1	THR	A	217	30,394	16,537	40,461	1,00	35,10	A	O
ATOM	3112	CG2	THR	A	217	31,849	15,577	38,861	1,00	36,87	A	C
ATOM	3116	C	THR	A	217	32,009	13,214	40,527	1,00	38,45	A	C
ATOM	3117	O	THR	A	217	32,945	13,137	41,313	1,00	37,98	A	O
ATOM	3119	N	LYS	A	218	31,908	12,448	39,458	1,00	38,91	A	N
ATOM	3120	CA	LYS	A	218	32,979	11,548	39,085	1,00	40,05	A	C
ATOM	3122	CB	LYS	A	218	32,606	10,113	39,421	1,00	40,89	A	C
ATOM	3125	CG	LYS	A	218	33,752	9,259	39,913	1,00	44,54	A	C
ATOM	3128	CD	LYS	A	218	33,300	7,867	40,424	1,00	47,50	A	C
ATOM	3131	CE	LYS	A	218	32,157	7,974	41,469	1,00	50,32	A	C
ATOM	3134	NZ	LYS	A	218	32,081	6,831	42,464	1,00	49,31	A	N
ATOM	3138	C	LYS	A	218	33,159	11,754	37,597	1,00	40,02	A	C
ATOM	3139	O	LYS	A	218	32,177	11,726	36,843	1,00	40,14	A	O
ATOM	3141	N	VAL	A	219	34,389	12,034	37,177	1,00	39,58	A	N
ATOM	3142	CA	VAL	A	219	34,676	12,264	35,768	1,00	38,80	A	C
ATOM	3144	CB	VAL	A	219	35,149	13,679	35,522	1,00	38,41	A	C
ATOM	3146	CG1	VAL	A	219	35,420	13,900	34,014	1,00	36,36	A	C
ATOM	3150	CG2	VAL	A	219	34,138	14,654	36,046	1,00	37,51	A	C
ATOM	3154	C	VAL	A	219	35,745	11,305	35,287	1,00	39,14	A	C
ATOM	3155	O	VAL	A	219	36,779	11,201	35,915	1,00	39,93	A	O
ATOM	3157	N	ASP	A	220	35,474	10,585	34,196	1,00	39,03	A	N
ATOM	3158	CA	ASP	A	220	36,492	9,793	33,516	1,00	39,30	A	C
ATOM	3160	CB	ASP	A	220	35,966	8,415	33,126	1,00	39,44	A	C
ATOM	3163	CG	ASP	A	220	35,668	7,524	34,326	1,00	40,84	A	C
ATOM	3164	OD1	ASP	A	220	34,724	6,710	34,211	1,00	43,99	A	O
ATOM	3165	OD2	ASP	A	220	36,362	7,622	35,366	1,00	41,76	A	O
ATOM	3166	C	ASP	A	220	36,914	10,519	32,231	1,00	39,45	A	C
ATOM	3167	O	ASP	A	220	36,065	10,939	31,441	1,00	39,26	A	O
ATOM	3169	N	LYS	A	221	38,223	10,621	32,013	1,00	39,11	A	N
ATOM	3170	CA	LYS	A	221	38,775	11,329	30,868	1,00	39,15	A	C
ATOM	3172	CB	LYS	A	221	39,438	12,622	31,318	1,00	39,33	A	C
ATOM	3175	CG	LYS	A	221	39,665	13,604	30,220	1,00	41,19	A	C
ATOM	3178	CD	LYS	A	221	38,336	14,233	29,812	1,00	43,37	A	C
ATOM	3181	CE	LYS	A	221	38,454	15,074	28,592	1,00	43,33	A	C
ATOM	3184	NZ	LYS	A	221	37,109	15,545	28,229	1,00	44,90	A	N
ATOM	3188	C	LYS	A	221	39,794	10,469	30,172	1,00	39,04	A	C
ATOM	3189	O	LYS	A	221	40,817	10,116	30,755	1,00	39,33	A	O
ATOM	3191	N	LYS	A	222	39,505	10,111	28,933	1,00	39,29	A	N
ATOM	3192	CA	LYS	A	222	40,488	9,451	28,087	1,00	40,11	A	C
ATOM	3194	CB	LYS	A	222	39,838	8,770	26,872	1,00	40,66	A	C
ATOM	3197	CG	LYS	A	222	40,741	7,758	26,169	1,00	42,54	A	C
ATOM	3200	CD	LYS	A	222	39,955	6,800	25,257	1,00	46,18	A	C
ATOM	3203	CE	LYS	A	222	40,887	6,033	24,286	1,00	47,18	A	C
ATOM	3206	NZ	LYS	A	222	41,507	6,944	23,271	1,00	47,46	A	N
ATOM	3210	C	LYS	A	222	41,527	10,491	27,665	1,00	39,30	A	C
ATOM	3211	O	LYS	A	222	41,189	11,604	27,250	1,00	39,34	A	O
ATOM	3213	N	VAL	A	225	42,790	10,146	27,860	1,00	38,84	A	N
ATOM	3214	CA	VAL	A	225	43,887	11,008	27,459	1,00	38,59	A	C
ATOM	3216	CB	VAL	A	225	44,891	11,208	28,587	1,00	37,98	A	C
ATOM	3218	CG1	VAL	A	225	45,930	12,195	28,127	1,00	36,73	A	C
ATOM	3222	CG2	VAL	A	225	44,194	11,671	29,875	1,00	36,08	A	C
ATOM	3226	C	VAL	A	225	44,593	10,344	26,278	1,00	39,53	A	C
ATOM	3227	O	VAL	A	225	45,068	9,223	26,382	1,00	38,94	A	O
ATOM	3229	N	GLU	A	226	44,639	11,033	25,151	1,00	41,52	A	N

ES 2 540 538 T3

ATOM	3230	CA	GLU	A	226	45,255	10,492	23,947	1,00	42,73	A	C
ATOM	3232	CB	GLU	A	226	44,175	10,023	22,962	1,00	43,03	A	C
ATOM	3235	CG	GLU	A	226	43,249	11,101	22,399	1,00	45,15	A	C
ATOM	3238	CD	GLU	A	226	41,977	10,513	21,759	1,00	48,86	A	C
ATOM	3239	OE1	GLU	A	226	41,684	9,314	21,987	1,00	50,60	A	O
ATOM	3240	OE2	GLU	A	226	41,251	11,255	21,052	1,00	51,16	A	O
ATOM	3241	C	GLU	A	226	46,226	11,530	23,371	1,00	43,43	A	C
ATOM	3242	O	GLU	A	226	46,174	12,688	23,754	1,00	42,89	A	O
ATOM	3244	N	PRO	A	227	47,141	11,104	22,471	1,00	44,31	A	N
ATOM	3245	CA	PRO	A	227	48,228	11,956	21,987	1,00	44,04	A	C
ATOM	3247	CB	PRO	A	227	48,986	11,018	21,047	1,00	44,16	A	C
ATOM	3250	CG	PRO	A	227	48,797	9,688	21,643	1,00	44,05	A	C
ATOM	3253	CD	PRO	A	227	47,345	9,700	22,051	1,00	44,59	A	C
ATOM	3256	C	PRO	A	227	47,794	13,215	21,265	1,00	43,96	A	C
ATOM	3257	O	PRO	A	227	46,753	13,184	20,632	1,00	44,44	A	O
TER												
ATOM	3258	N	LEU	B	4	49,940	24,507	76,812	1,00	48,76	B	N
ATOM	3259	CA	LEU	B	4	51,276	23,846	76,911	1,00	49,16	B	C
ATOM	3261	CB	LEU	B	4	51,151	22,322	76,877	1,00	48,29	B	C
ATOM	3264	CG	LEU	B	4	50,109	21,688	77,794	1,00	48,03	B	C
ATOM	3266	CD1	LEU	B	4	50,118	20,137	77,692	1,00	44,08	B	C
ATOM	3270	CD2	LEU	B	4	50,326	22,148	79,244	1,00	47,12	B	C
ATOM	3274	C	LEU	B	4	52,207	24,302	75,792	1,00	49,87	B	C
ATOM	3275	O	LEU	B	4	51,745	24,739	74,727	1,00	50,29	B	O
ATOM	3279	N	THR	B	5	53,518	24,179	76,030	1,00	50,57	B	N
ATOM	3280	CA	THR	B	5	54,536	24,703	75,093	1,00	51,11	B	C
ATOM	3282	CB	THR	B	5	55,298	25,902	75,687	1,00	51,06	B	C
ATOM	3284	OG1	THR	B	5	54,360	26,926	76,033	1,00	51,02	B	O
ATOM	3286	CG2	THR	B	5	56,274	26,455	74,684	1,00	50,93	B	C
ATOM	3290	C	THR	B	5	55,540	23,642	74,661	1,00	51,31	B	C
ATOM	3291	O	THR	B	5	56,221	23,040	75,483	1,00	51,33	B	O
ATOM	3293	N	GLN	B	6	55,600	23,421	73,354	1,00	51,60	B	N
ATOM	3294	CA	GLN	B	6	56,542	22,512	72,760	1,00	51,71	B	C
ATOM	3296	CB	GLN	B	6	55,826	21,382	72,008	1,00	51,57	B	C
ATOM	3299	CG	GLN	B	6	54,779	20,607	72,796	1,00	51,12	B	C
ATOM	3302	CD	GLN	B	6	54,028	19,581	71,937	1,00	49,07	B	C
ATOM	3303	OE1	GLN	B	6	52,792	19,601	71,863	1,00	48,04	B	O
ATOM	3304	NE2	GLN	B	6	54,767	18,700	71,283	1,00	46,66	B	N
ATOM	3307	C	GLN	B	6	57,357	23,332	71,789	1,00	52,16	B	C
ATOM	3308	O	GLN	B	6	56,972	24,437	71,437	1,00	52,51	B	O
ATOM	3310	N	PRO	B	7	58,504	22,809	71,361	1,00	52,87	B	N
ATOM	3311	CA	PRO	B	7	59,194	23,458	70,250	1,00	53,41	B	C
ATOM	3313	CB	PRO	B	7	60,546	22,741	70,215	1,00	53,38	B	C
ATOM	3316	CG	PRO	B	7	60,294	21,413	70,868	1,00	52,89	B	C
ATOM	3319	CD	PRO	B	7	59,233	21,637	71,878	1,00	52,88	B	C
ATOM	3322	C	PRO	B	7	58,423	23,218	68,950	1,00	53,75	B	C
ATOM	3323	O	PRO	B	7	57,823	22,147	68,801	1,00	53,64	B	O
ATOM	3324	N	PRO	B	8	58,412	24,205	68,031	1,00	54,30	B	N
ATOM	3325	CA	PRO	B	8	57,741	23,986	66,744	1,00	54,41	B	C
ATOM	3327	CB	PRO	B	8	57,957	25,301	65,988	1,00	54,43	B	C
ATOM	3330	CG	PRO	B	8	58,249	26,329	67,050	1,00	54,93	B	C
ATOM	3333	CD	PRO	B	8	58,921	25,587	68,169	1,00	54,64	B	C
ATOM	3336	C	PRO	B	8	58,332	22,825	65,953	1,00	54,73	B	C
ATOM	3337	O	PRO	B	8	57,591	22,073	65,309	1,00	54,79	B	O
ATOM	3338	N	SER	B	9	59,653	22,677	66,012	1,00	55,05	B	N
ATOM	3339	CA	SER	B	9	60,348	21,728	65,163	1,00	55,23	B	C
ATOM	3341	CB	SER	B	9	60,908	22,445	63,943	1,00	55,58	B	C
ATOM	3344	OG	SER	B	9	62,253	22,822	64,185	1,00	56,74	B	O
ATOM	3346	C	SER	B	9	61,499	21,015	65,867	1,00	55,11	B	C
ATOM	3347	O	SER	B	9	62,083	21,532	66,801	1,00	54,24	B	O

ES 2 540 538 T3

ATOM	3349	N	VAL	B	11	61,809	19,816	65,382	1,00	55,34	B	N
ATOM	3350	CA	VAL	B	11	62,950	19,056	65,833	1,00	55,75	B	C
ATOM	3352	CB	VAL	B	11	62,606	18,236	67,085	1,00	55,81	B	C
ATOM	3354	CG1	VAL	B	11	63,687	17,225	67,374	1,00	56,17	B	C
ATOM	3358	CG2	VAL	B	11	62,430	19,161	68,282	1,00	56,72	B	C
ATOM	3362	C	VAL	B	11	63,406	18,139	64,695	1,00	56,19	B	C
ATOM	3363	O	VAL	B	11	62,579	17,587	63,959	1,00	56,26	B	O
ATOM	3365	N	SER	B	12	64,721	17,980	64,562	1,00	56,88	B	N
ATOM	3366	CA	SER	B	12	65,336	17,314	63,404	1,00	57,56	B	C
ATOM	3368	CB	SER	B	12	65,946	18,364	62,470	1,00	57,29	B	C
ATOM	3371	OG	SER	B	12	65,160	19,539	62,465	1,00	58,47	B	O
ATOM	3373	C	SER	B	12	66,435	16,374	63,853	1,00	57,73	B	C
ATOM	3374	O	SER	B	12	67,095	16,645	64,842	1,00	57,98	B	O
ATOM	3376	N	ALA	B	13	66,631	15,274	63,135	1,00	58,21	B	N
ATOM	3377	CA	ALA	B	13	67,784	14,391	63,377	1,00	58,73	B	C
ATOM	3379	CB	ALA	B	13	67,716	13,749	64,780	1,00	58,14	B	C
ATOM	3383	C	ALA	B	13	67,902	13,319	62,290	1,00	59,00	B	C
ATOM	3384	O	ALA	B	13	66,940	13,052	61,583	1,00	59,16	B	O
ATOM	3386	N	ALA	B	14	69,093	12,733	62,159	1,00	59,55	B	N
ATOM	3387	CA	ALA	B	14	69,353	11,669	61,187	1,00	60,03	B	C
ATOM	3389	CB	ALA	B	14	70,856	11,429	61,053	1,00	60,06	B	C
ATOM	3393	C	ALA	B	14	68,691	10,374	61,612	1,00	60,49	B	C
ATOM	3394	O	ALA	B	14	68,527	10,133	62,813	1,00	60,54	B	O
ATOM	3396	N	PRO	B	15	68,343	9,517	60,639	1,00	60,99	B	N
ATOM	3397	CA	PRO	B	15	67,902	8,167	60,996	1,00	61,63	B	C
ATOM	3399	CB	PRO	B	15	67,873	7,420	59,657	1,00	61,49	B	C
ATOM	3402	CG	PRO	B	15	67,762	8,488	58,614	1,00	61,60	B	C
ATOM	3405	CD	PRO	B	15	68,388	9,731	59,182	1,00	60,99	B	C
ATOM	3408	C	PRO	B	15	68,899	7,520	61,945	1,00	62,31	B	C
ATOM	3409	O	PRO	B	15	70,097	7,773	61,835	1,00	62,55	B	O
ATOM	3410	N	GLY	B	16	68,405	6,722	62,886	1,00	62,99	B	N
ATOM	3411	CA	GLY	B	16	69,259	6,045	63,850	1,00	63,27	B	C
ATOM	3414	C	GLY	B	16	69,430	6,807	65,152	1,00	63,71	B	C
ATOM	3415	O	GLY	B	16	69,493	6,186	66,219	1,00	64,37	B	O
ATOM	3417	N	GLN	B	17	69,506	8,137	65,084	1,00	63,63	B	N
ATOM	3418	CA	GLN	B	17	69,690	8,957	66,286	1,00	63,84	B	C
ATOM	3420	CB	GLN	B	17	69,956	10,436	65,931	1,00	63,94	B	C
ATOM	3423	CG	GLN	B	17	71,359	10,721	65,412	1,00	65,42	B	C
ATOM	3426	CD	GLN	B	17	71,745	12,200	65,511	1,00	67,33	D	C
ATOM	3427	OE1	GLN	B	17	70,974	13,087	65,129	1,00	68,04	B	A
ATOM	3428	NE2	GLN	B	17	72,954	12,466	66,020	1,00	67,21	B	N
ATOM	3431	C	GLN	B	17	68,500	8,881	67,242	1,00	63,49	B	C
ATOM	3432	O	GLN	B	17	67,442	8,333	66,917	1,00	63,25	B	G
ATOM	3434	N	LYS	B	18	68,713	9,441	68,430	1,00	63,45	B	N
ATOM	3435	CA	LYS	B	18	67,699	9,562	69,459	1,00	63,18	B	C
ATOM	3437	CB	LYS	B	18	68,270	9,140	70,827	1,00	63,24	B	C
ATOM	3440	CG	LYS	B	18	67,478	9,625	72,045	1,00	63,34	B	C
ATOM	3446	C	LYS	B	18	67,231	11,023	69,458	1,00	62,83	B	C
ATOM	3447	O	LYS	B	18	68,046	11,935	69,292	1,00	62,68	B	O
ATOM	3449	N	VAL	B	19	65,921	11,234	69,626	1,00	62,05	B	N
ATOM	3450	CA	VAL	B	19	65,342	12,581	69,612	1,00	61,60	B	C
ATOM	3452	CB	VAL	B	19	64,407	12,805	68,389	1,00	61,71	B	C
ATOM	3454	CG1	VAL	B	19	64,481	14,260	67,942	1,00	61,90	B	C
ATOM	3458	CG2	VAL	B	19	64,769	11,873	67,242	1,00	61,49	B	C
ATOM	3462	C	VAL	B	19	64,528	12,841	70,877	1,00	60,79	B	C
ATOM	3463	O	VAL	B	19	64,019	11,905	71,490	1,00	61,09	B	O
ATOM	3465	N	THR	B	20	64,391	14,113	71,240	1,00	59,79	B	N
ATOM	3466	CA	THR	B	20	63,705	14,489	72,463	1,00	59,07	B	C
ATOM	3468	CB	THR	B	20	64,728	14,674	73,619	1,00	59,12	B	C
ATOM	3470	OG1	THR	B	20	64,357	13,842	74,723	1,00	58,55	B	O

ES 2 540 538 T3

ATOM	3472	CG2	THR	B	20	64,846	16,135	74,072	1,00	58,28	B	C
ATOM	3476	C	THR	B	20	62,844	15,750	72,273	1,00	58,86	B	C
ATOM	3477	O	THR	B	20	63,315	16,772	71,758	1,00	58,67	B	O
ATOM	3479	N	ILE	B	21	61,583	15,670	72,710	1,00	58,34	B	N
ATOM	3480	CA	ILE	B	21	60,621	16,762	72,551	1,00	57,78	B	C
ATOM	3482	CB	ILE	B	21	59,389	16,323	71,686	1,00	57,84	B	C
ATOM	3484	CG1	ILE	B	21	59,806	16,024	70,249	1,00	57,83	B	C
ATOM	3487	CD1	ILE	B	21	58,654	15,547	69,375	1,00	58,60	B	C
ATOM	3491	CG2	ILE	B	21	58,314	17,405	71,650	1,00	57,49	B	C
ATOM	3495	C	ILE	B	21	60,137	17,185	73,922	1,00	57,44	B	C
ATOM	3496	O	ILE	B	21	59,547	16,389	74,634	1,00	56,86	B	O
ATOM	3498	N	SER	B	22	60,377	18,440	74,280	1,00	57,43	B	N
ATOM	3499	CA	SER	B	22	59,965	18,943	75,574	1,00	57,52	B	C
ATOM	3501	CB	SER	B	22	60,839	20,119	76,019	1,00	57,51	B	C
ATOM	3504	OG	SER	B	22	60,305	21,346	75,533	1,00	58,29	B	O
ATOM	3506	C	SER	B	22	58,519	19,399	75,500	1,00	57,60	B	C
ATOM	3507	O	SER	B	22	58,041	19,807	74,442	1,00	57,66	B	O
ATOM	3509	N	CYS	B	23	57,840	19,324	76,644	1,00	57,55	B	N
ATOM	3510	CA	CYS	B	23	56,480	19,824	76,816	1,00	57,36	B	C
ATOM	3512	CB	CYS	B	23	55,477	18,669	76,749	1,00	56,63	B	C
ATOM	3515	SG	CYS	B	23	53,755	19,088	77,136	1,00	55,74	B	S
ATOM	3517	C	CYS	B	23	56,451	20,462	78,190	1,00	58,01	B	C
ATOM	3518	O	CYS	B	23	56,682	19,779	79,184	1,00	58,18	B	O
ATOM	3520	N	SER	B	24	56,200	21,760	78,272	1,00	58,48	B	N
ATOM	3521	CA	SER	B	24	56,177	22,399	79,580	1,00	59,09	B	C
ATOM	3523	CB	SER	B	24	57,408	23,310	79,755	1,00	59,26	B	C
ATOM	3526	OG	SER	B	24	57,203	24,608	79,227	1,00	58,27	B	O
ATOM	3528	C	SER	B	24	54,858	23,148	79,807	1,00	59,66	B	C
ATOM	3529	O	SER	B	24	54,408	23,924	78,960	1,00	59,89	B	O
ATOM	3531	N	GLY	B	25	54,230	22,892	80,947	1,00	59,88	B	N
ATOM	3532	CA	GLY	B	25	53,011	23,592	81,316	1,00	60,23	B	C
ATOM	3535	C	GLY	B	25	53,185	24,268	82,656	1,00	60,58	B	C
ATOM	3536	O	GLY	B	25	54,224	24,874	82,919	1,00	60,52	B	O
ATOM	3538	N	SER	B	26	52,167	24,149	83,509	1,00	60,92	B	N
ATOM	3539	CA	SER	B	26	52,178	24,761	84,837	1,00	60,96	B	C
ATOM	3541	CB	SER	B	26	51,400	26,101	84,815	1,00	61,29	B	C
ATOM	3544	OG	SER	B	26	50,019	25,924	84,547	1,00	61,74	B	O
ATOM	3546	C	SER	B	26	51,657	23,773	85,898	1,00	60,90	B	C
ATOM	3547	O	SER	B	26	51,589	22,556	85,650	1,00	60,67	B	O
ATOM	3549	N	SER	B	27	51,324	24,287	87,080	1,00	60,80	B	N
ATOM	3550	CA	SER	B	27	50,940	23,455	88,227	1,00	60,81	B	C
ATOM	3552	CB	SER	B	27	51,184	24,241	89,526	1,00	61,06	B	C
ATOM	3555	OG	SER	B	27	52,396	24,991	89,442	1,00	61,72	B	O
ATOM	3557	C	SER	B	27	49,476	22,975	88,145	1,00	60,45	B	C
ATOM	3558	O	SER	B	27	49,145	21,856	88,566	1,00	60,53	B	O
ATOM	3560	N	SER	B	27A	48,610	23,838	87,621	1,00	60,09	B	N
ATOM	3561	CA	SER	B	27A	47,243	23,464	87,236	1,00	59,71	B	C
ATOM	3563	CB	SER	B	27A	46,613	24,584	86,388	1,00	59,77	B	C
ATOM	3566	OG	SER	B	27A	47,326	25,811	86,523	1,00	60,50	B	O
ATOM	3568	C	SER	B	27A	47,219	22,159	86,421	1,00	59,16	B	C
ATOM	3569	O	SER	B	27A	46,450	21,234	86,722	1,00	58,99	B	O
ATOM	3571	N	ASP	B	27B	48,078	22,086	85,404	1,00	58,35	B	N
ATOM	3572	CA	ASP	B	27B	47,986	21,022	84,403	1,00	57,77	B	C
ATOM	3574	CB	ASP	B	27B	48,006	21,590	82,959	1,00	57,48	B	C
ATOM	3577	CG	ASP	B	27B	49,077	22,636	82,731	1,00	56,25	B	C
ATOM	3578	OD1	ASP	B	27B	501264	22,250	82,669	1,00	53,12	B	O
ATOM	3579	OD2	ASP	B	27B	48,732	23,838	82,592	1,00	54,99	B	O
ATOM	3580	C	ASP	B	27B	48,964	19,852	84,597	1,00	57,67	B	C
ATOM	3581	O	ASP	B	27B	48,613	18,867	85,243	1,00	58,22	B	O
ATOM	3583	N	ILE	B	28	50,170	19,936	84,049	1,00	57,85	B	N

ES 2 540 538 T3

ATOM	3584	CA	ILE	B	28	51,109	18,810	84,125	1,00	58,15	B	C
ATOM	3586	CB	ILE	B	28	52,361	19,034	83,239	1,00	58,20	B	C
ATOM	3588	CG1	ILE	B	28	51,953	19,187	81,770	1,00	57,74	B	C
ATOM	3591	CD1	ILE	B	28	53,120	19,391	80,839	1,00	56,74	B	C
ATOM	3595	CG2	ILE	B	28	53,356	17,875	83,389	1,00	57,23	B	C
ATOM	3599	C	ILE	B	28	51,527	18,544	85,579	1,00	58,39	B	C
ATOM	3600	O	ILE	B	28	51,721	17,400	85,975	1,00	58,15	B	O
ATOM	3602	N	GLY	B	29	51,643	19,610	86,365	1,00	59,02	B	N
ATOM	3603	CA	GLY	B	29	51,890	19,503	87,812	1,00	59,34	B	C
ATOM	3606	C	GLY	B	29	50,935	18,577	88,550	1,00	59,49	B	C
ATOM	3607	O	GLY	B	29	51,353	17,802	89,424	1,00	59,84	B	O
ATOM	3609	N	SER	B	30	49,657	18,638	88,189	1,00	59,30	B	N
ATOM	3610	CA	SER	B	30	48,633	17,892	88,900	1,00	59,08	B	C
ATOM	3612	CB	SER	B	30	47,441	18,812	89,225	1,00	59,31	B	C
ATOM	3615	OG	SER	B	30	47,851	20,112	89,634	1,00	59,69	B	O
ATOM	3617	C	SER	B	30	48,108	16,662	88,155	1,00	58,83	B	C
ATOM	3618	O	SER	B	30	47,270	15,948	88,708	1,00	58,84	B	O
ATOM	3620	N	ASN	B	31	48,561	16,404	86,922	1,00	58,47	B	N
ATOM	3621	CA	ASN	B	31	47,862	15,424	86,069	1,00	58,04	B	C
ATOM	3623	CB	ASN	B	31	46,824	16,140	85,204	1,00	57,83	B	C
ATOM	3626	CG	ASN	B	31	45,654	16,661	86,010	1,00	57,28	B	C
ATOM	3627	OD1	ASN	B	31	44,724	15,916	86,305	1,00	55,71	B	O
ATOM	3628	ND2	ASN	B	31	45,691	17,955	86,365	1,00	55,50	B	N
ATOM	3631	C	ASN	B	31	48,747	14,567	85,183	1,00	57,84	B	C
ATOM	3632	O	ASN	B	31	49,911	14,861	84,991	1,00	58,03	B	O
ATOM	3634	N	TYR	B	32	48,163	13,498	84,658	1,00	57,74	B	N
ATOM	3635	CA	TYR	B	32	48,848	12,579	83,753	1,00	57,76	B	C
ATOM	3637	CB	TYR	B	32	48,085	11,262	83,621	1,00	58,49	B	C
ATOM	3640	CG	TYR	B	32	48,193	10,328	84,808	1,00	61,38	B	C
ATOM	3641	CD1	TYR	B	32	49,439	9,910	85,286	1,00	64,01	B	C
ATOM	3643	CE1	TYR	B	32	49,546	9,035	86,377	1,00	64,65	B	C
ATOM	3645	CZ	TYR	B	32	48,398	8,567	86,987	1,00	65,78	B	C
ATOM	3646	OH	TYR	B	32	48,493	7,702	88,053	1,00	68,07	B	O
ATOM	3648	CE2	TYR	B	32	47,143	8,957	86,529	1,00	65,63	B	C
ATOM	3650	CD2	TYR	B	32	47,046	9,832	85,437	1,00	64,18	B	C
ATOM	3652	C	TYR	B	32	48,973	13,186	82,363	1,00	56,46	B	C
ATOM	3653	O	TYR	B	32	48,049	13,828	81,866	1,00	56,58	B	O
ATOM	3655	N	VAL	B	33	50,121	12,966	81,741	1,00	54,59	B	N
ATOM	3656	CA	VAL	B	33	50,449	13,580	80,469	1,00	53,12	B	C
ATOM	3658	CB	VAL	B	33	51,889	14,162	80,480	1,00	53,13	B	C
ATOM	3660	CG1	VAL	B	33	52,303	14,657	79,088	1,00	51,95	B	C
ATOM	3664	CG2	VAL	B	33	51,985	15,292	81,500	1,00	53,01	B	C
ATOM	3668	C	VAL	B	33	50,311	12,506	79,402	1,00	51,66	B	C
ATOM	3669	O	VAL	B	33	50,797	11,382	79,589	1,00	51,20	B	O
ATOM	3671	N	SER	B	34	49,627	12,838	78,307	1,00	49,43	B	N
ATOM	3672	CA	SER	B	34	49,552	11,936	77,169	1,00	47,95	B	C
ATOM	3674	CB	SER	B	34	48,099	11,672	76,791	1,00	47,75	B	C
ATOM	3677	OG	SER	B	34	47,438	10,935	77,809	1,00	46,65	B	O
ATOM	3679	C	SER	B	34	50,309	12,552	75,992	1,00	47,07	B	C
ATOM	3680	O	SER	B	34	50,522	13,760	75,951	1,00	46,69	B	O
ATOM	3682	N	TRP	B	35	50,728	11,716	75,052	1,00	45,46	B	N
ATOM	3683	CA	TRP	B	35	51,282	12,189	73,793	1,00	44,74	B	C
ATOM	3685	CB	TRP	B	35	52,750	11,788	73,641	1,00	45,20	B	C
ATOM	3688	CG	TRP	B	35	53,648	12,488	74,613	1,00	47,71	B	C
ATOM	3689	CD1	TRP	B	35	53,916	12,107	75,907	1,00	48,41	B	C
ATOM	3691	NE1	TRP	B	35	54,764	13,017	76,499	1,00	48,74	B	N
ATOM	3693	CE2	TRP	B	35	55,089	13,988	75,592	1,00	49,39	B	C
ATOM	3694	CD2	TRP	B	35	54,401	13,694	74,389	1,00	49,22	B	C
ATOM	3695	CE3	TRP	B	35	54,564	14,547	73,294	1,00	50,62	B	C
ATOM	3697	CZ3	TRP	B	35	55,398	15,639	73,423	1,00	51,20	B	C

ES 2 540 538 T3

ATOM	3699	CH2	TRP	B	35	56,071	15,903	74,630	1,00	51,80	B	C
ATOM	3701	CZ2	TRP	B	35	55,926	15,090	75,724	1,00	50,18	B	C
ATOM	3703	C	TRP	B	35	50,466	11,643	72,619	1,00	43,03	B	C
ATOM	3704	O	TRP	B	35	49,948	10,504	72,660	1,00	41,97	B	O
ATOM	3706	N	TYR	B	36	50,367	12,467	71,576	1,00	41,07	B	N
ATOM	3707	CA	TYR	B	36	49,605	12,108	70,399	1,00	40,16	B	C
ATOM	3709	CB	TYR	B	36	48,308	12,920	70,355	1,00	40,12	B	C
ATOM	3712	CG	TYR	B	36	47,491	12,731	71,609	1,00	37,82	B	C
ATOM	3713	CD1	TYR	B	36	46,596	11,686	71,737	1,00	38,29	B	C
ATOM	3715	CE1	TYR	B	36	45,849	11,525	72,908	1,00	39,22	B	C
ATOM	3717	CZ	TYR	B	36	46,045	12,397	73,970	1,00	38,29	B	C
ATOM	3718	OH	TYR	B	36	45,375	12,278	75,167	1,00	37,82	B	O
ATOM	3720	CE2	TYR	B	36	46,957	13,414	73,858	1,00	38,82	B	C
ATOM	3722	CD2	TYR	B	36	47,678	13,563	72,691	1,00	39,32	B	C
ATOM	3724	C	TYR	B	36	50,445	12,279	69,153	1,00	39,83	B	C
ATOM	3725	O	TYR	B	36	51,206	13,228	69,024	1,00	39,63	B	O
ATOM	3727	N	GLN	B	37	50,349	11,301	68,272	1,00	40,00	B	N
ATOM	3728	CA	GLN	B	37	51,105	11,272	67,033	1,00	39,70	B	C
ATOM	3730	CB	GLN	B	37	51,794	9,909	66,873	1,00	39,86	B	C
ATOM	3733	CG	GLN	B	37	52,621	9,750	65,579	1,00	40,84	B	C
ATOM	3736	CD	GLN	B	37	53,140	8,340	65,359	1,00	42,75	B	C
ATOM	3737	OE1	GLN	B	37	54,322	8,143	65,079	1,00	44,67	B	O
ATOM	3738	NE2	GLN	B	37	52,272	7,363	65,483	1,00	41,83	B	N
ATOM	3741	C	GLN	B	37	50,138	11,461	65,874	1,00	38,96	B	C
ATOM	3742	O	GLN	B	37	49,207	10,680	65,730	1,00	38,03	B	O
ATOM	3744	N	GLN	B	38	50,372	12,484	65,058	1,00	38,58	B	N
ATOM	3745	CA	GLN	B	38	49,545	12,743	63,873	1,00	38,27	B	C
ATOM	3747	CB	GLN	B	38	48,765	14,032	64,031	1,00	38,07	B	C
ATOM	3750	CG	GLN	B	38	47,849	14,368	62,827	1,00	36,38	B	C
ATOM	3753	CD	GLN	B	38	46,985	15,556	63,125	1,00	33,79	B	C
ATOM	3754	OE1	GLN	B	38	47,439	16,502	63,771	1,00	31,70	B	O
ATOM	3755	NE2	GLN	B	38	45,730	15,514	62,696	1,00	28,19	B	N
ATOM	3758	C	GLN	B	38	50,350	12,815	62,583	1,00	38,46	B	C
ATOM	3759	O	GLN	B	38	51,049	13,785	62,323	1,00	37,78	B	O
ATOM	3761	N	PHE	B	39	50,222	11,789	61,767	1,00	39,32	B	N
ATOM	3762	CA	PHE	B	39	50,751	11,839	60,410	1,00	40,54	B	C
ATOM	3764	CB	PHE	B	39	50,755	10,441	59,776	1,00	40,91	B	C
ATOM	3767	CG	PHE	B	39	51,562	9,409	60,552	1,00	41,80	B	C
ATOM	3768	CD1	PHE	B	39	52,933	9,554	60,714	1,00	43,62	B	C
ATOM	3770	CE1	PHE	B	39	53,682	8,595	61,414	1,00	43,97	B	C
ATOM	3772	CZ	PHE	B	39	53,061	7,490	61,958	1,00	43,71	B	C
ATOM	3774	CE2	PHE	B	39	51,683	7,326	61,799	1,00	44,57	B	C
ATOM	3776	CD2	PHE	B	39	50,947	8,285	61,097	1,00	44,12	B	C
ATOM	3778	C	PHE	B	39	49,868	12,783	59,586	1,00	41,16	B	C
ATOM	3779	O	PHE	B	39	48,683	12,970	59,918	1,00	40,98	B	O
ATOM	3781	N	PRO	B	40	50,433	13,387	58,511	1,00	41,43	B	N
ATOM	3782	CA	PRO	B	40	49,710	14,370	57,702	1,00	40,97	B	C
ATOM	3784	CB	PRO	B	40	50,706	14,724	56,587	1,00	41,56	B	C
ATOM	3787	CG	PRO	B	40	52,032	14,226	57,055	1,00	42,49	B	C
ATOM	3790	CD	PRO	B	40	51,726	13,023	57,898	1,00	41,87	B	C
ATOM	3793	C	PRO	B	40	48,470	13,752	57,099	1,00	40,47	B	C
ATOM	3794	O	PRO	B	40	48,505	12,585	56,735	1,00	40,37	B	O
ATOM	3795	N	GLY	B	41	47,379	14,509	57,039	1,00	39,72	B	N
ATOM	3796	CA	GLY	B	41	46,112	13,994	56,550	1,00	39,43	B	C
ATOM	3799	C	GLY	B	41	45,521	12,826	57,343	1,00	39,20	B	C
ATOM	3800	O	GLY	B	41	44,635	12,136	56,844	1,00	40,35	B	O
ATOM	3802	N	THR	B	42	45,978	12,589	58,568	1,00	37,54	B	N
ATOM	3803	CA	THR	B	42	45,410	11,517	59,379	1,00	36,48	B	C
ATOM	3805	CB	THR	B	42	46,437	10,402	59,594	1,00	36,71	B	C
ATOM	3807	OG1	THR	B	42	47,044	10,089	58,340	1,00	37,79	B	O

ES 2 540 538 T3

ATOM	3809	CG2	THR	B	42	45,786	9,145	60,154	1,00	37,99	B	C
ATOM	3813	C	THR	B	42	44,994	12,043	60,739	1,00	35,02	B	C
ATOM	3814	O	THR	B	42	45,474	13,088	61,189	1,00	32,97	B	O
ATOM	3816	N	ALA	B	43	44,107	11,289	61,384	1,00	34,44	B	N
ATOM	3817	CA	ALA	B	43	43,676	11,560	62,746	1,00	33,90	B	C
ATOM	3819	CB	ALA	B	43	42,528	10,643	63,123	1,00	33,47	B	C
ATOM	3823	C	ALA	B	43	44,841	11,337	63,707	1,00	33,90	B	C
ATOM	3824	O	ALA	B	43	45,607	10,394	63,550	1,00	34,57	B	O
ATOM	3826	N	PRO	B	44	44,975	12,199	64,708	1,00	33,41	B	N
ATOM	3827	CA	PRO	B	44	45,865	11,912	65,820	1,00	34,37	B	C
ATOM	3829	CB	PRO	B	44	45,507	12,996	66,853	1,00	34,55	B	C
ATOM	3832	CG	PRO	B	44	44,974	14,128	66,029	1,00	33,46	B	C
ATOM	3835	CD	PRO	B	44	44,221	13,434	64,910	1,00	33,51	B	C
ATOM	3838	C	PRO	B	44	45,608	10,546	66,418	1,00	35,29	B	C
ATOM	3839	O	PRO	B	44	44,518	9,976	66,278	1,00	34,84	B	O
ATOM	3840	N	LYS	B	45	46,629	9,997	67,050	1,00	36,58	B	N
ATOM	3841	CA	LYS	B	45	46,424	8,814	67,833	1,00	37,72	B	C
ATOM	3843	CB	LYS	B	45	46,640	7,553	67,006	1,00	38,16	B	C
ATOM	3846	CG	LYS	B	45	47,977	6,916	67,106	1,00	39,84	B	C
ATOM	3849	CD	LYS	B	45	48,099	5,745	66,089	1,00	42,74	B	C
ATOM	3852	CE	LYS	B	45	49,506	5,107	66,162	1,00	44,78	B	C
ATOM	3855	NZ	LYS	B	45	49,841	4,228	64,996	1,00	46,23	B	N
ATOM	3859	C	LYS	B	45	47,271	8,835	69,080	1,00	38,34	B	C
ATOM	3860	O	LYS	B	45	48,347	9,452	69,119	1,00	37,97	B	O
ATOM	3862	N	LEU	B	46	46,734	8,175	70,101	1,00	38,88	B	N
ATOM	3863	CA	LEU	B	46	47,376	8,068	71,381	1,00	40,00	B	C
ATOM	3865	CB	LEU	B	46	46,447	7,379	72,390	1,00	39,76	B	C
ATOM	3868	CG	LEU	B	46	46,967	7,299	73,834	1,00	40,52	B	C
ATOM	3870	CD1	LEU	B	46	47,005	8,678	74,481	1,00	39,66	B	C
ATOM	3874	CD2	LEU	B	46	46,115	6,310	74,663	1,00	40,14	B	C
ATOM	3878	C	LEU	B	46	48,644	7,250	71,217	1,00	40,95	B	C
ATOM	3879	O	LEU	B	46	48,587	6,116	70,726	1,00	41,18	B	O
ATOM	3881	N	LEU	B	47	49,756	7,839	71,658	1,00	42,16	B	N
ATOM	3882	CA	LEU	B	47	51,098	7,284	71,569	1,00	43,48	B	C
ATOM	3884	CB	LEU	B	47	52,024	8,332	70,927	1,00	43,27	B	C
ATOM	3887	CG	LEU	B	47	53,443	7,919	70,551	1,00	42,09	B	C
ATOM	3889	CD1	LEU	B	47	53,411	6,906	69,437	1,00	42,25	B	C
ATOM	3893	CD2	LEU	B	47	54,276	9,134	70,164	1,00	41,20	B	C
ATOM	3897	C	LEU	B	47	51,679	6,938	72,942	1,00	44,79	B	C
ATOM	3898	O	LEU	B	47	52,339	5,914	73,093	1,00	45,56	B	O
ATOM	3900	N	ILE	B	48	51,489	7,837	73,904	1,00	46,00	B	N
ATOM	3901	CA	ILE	B	48	51,882	7,639	75,298	1,00	47,15	B	C
ATOM	3903	CB	ILE	B	48	53,124	8,437	75,697	1,00	46,74	B	C
ATOM	3905	CG1	ILE	B	48	54,379	7,919	74,990	1,00	48,03	B	C
ATOM	3908	CD1	ILE	B	48	54,670	6,432	75,195	1,00	46,46	B	C
ATOM	3912	CG2	ILE	B	48	53,336	8,344	77,199	1,00	47,97	B	C
ATOM	3916	C	ILE	B	48	50,772	8,136	76,208	1,00	47,84	B	C
ATOM	3917	O	ILE	B	48	50,213	9,192	75,973	1,00	47,29	B	O
ATOM	3919	N	TYR	B	49	50,469	7,365	77,246	1,00	49,09	B	N
ATOM	3920	CA	TYR	B	49	49,495	7,760	78,256	1,00	50,25	B	C
ATOM	3922	CB	TYR	B	49	48,165	7,042	78,018	1,00	50,46	B	C
ATOM	3925	CG	TYR	B	49	48,155	5,564	78,330	1,00	51,06	B	C
ATOM	3926	CD1	TYR	B	49	47,598	5,088	79,517	1,00	50,91	B	C
ATOM	3928	CE1	TYR	B	49	47,576	3,752	79,802	1,00	50,99	B	C
ATOM	3930	CZ	TYR	B	49	48,118	2,862	78,915	1,00	50,67	B	C
ATOM	3931	OH	TYR	B	49	48,096	1,527	79,204	1,00	50,01	B	O
ATOM	3933	CE2	TYR	B	49	48,666	3,304	77,731	1,00	51,09	B	C
ATOM	3935	CD2	TYR	B	49	48,692	4,648	77,452	1,00	51,06	B	C
ATOM	3937	C	TYR	B	49	50,044	7,454	79,640	1,00	51,06	B	C
ATOM	3938	O	TYR	B	49	50,967	6,639	79,778	1,00	51,15	B	O

ES 2 540 538 T3

ATOM	3940	N	ASP	B	50	49,477	8,110	80,651	1,00	52,17	B	N
ATOM	3941	CA	ASP	B	50	49,977	8,040	82,046	1,00	53,00	B	C
ATOM	3943	CB	ASP	B	50	49,624	6,694	82,703	1,00	52,96	B	C
ATOM	3946	CG	ASP	B	50	48,122	6,529	82,982	1,00	54,23	B	C
ATOM	3947	OD1	ASP	B	50	47,321	7,434	82,651	1,00	55,45	B	O
ATOM	3948	OD2	ASP	B	50	47,742	5,469	83,543	1,00	54,90	B	O
ATOM	3949	C	ASP	B	50	51,493	8,302	82,127	1,00	53,34	B	C
ATOM	3950	O	ASP	B	50	52,250	7,533	82,717	1,00	53,00	B	O
ATOM	3952	N	ASN	B	51	51,928	9,387	81,505	1,00	53,69	B	N
ATOM	3953	CA	ASN	B	51	53,328	9,793	81,515	1,00	54,47	B	C
ATOM	3955	CB	ASN	B	51	53,870	9,881	82,942	1,00	54,75	B	C
ATOM	3958	CG	ASN	B	51	52,953	10,645	83,849	1,00	56,45	B	C
ATOM	3959	OD1	ASN	B	51	52,650	10,214	84,971	1,00	59,00	B	O
ATOM	3960	ND2	ASN	B	51	52,478	11,786	83,363	1,00	56,20	B	N
ATOM	3963	C	ASN	B	51	54,246	8,919	80,688	1,00	54,42	B	C
ATOM	3964	O	ASN	B	51	54,999	9,446	79,875	1,00	54,79	B	O
ATOM	3966	N	ASN	B	52	54,183	7,601	80,881	1,00	54,44	B	N
ATOM	3967	CA	ASN	B	52	55,189	6,702	80,315	1,00	54,54	B	C
ATOM	3969	CB	ASN	B	52	56,296	6,503	81,356	1,00	54,83	B	C
ATOM	3972	CG	ASN	B	52	55,780	5,884	82,644	1,00	55,37	B	C
ATOM	3973	OD1	ASN	B	52	54,928	4,992	82,619	1,00	57,24	B	O
ATOM	3974	ND2	ASN	B	52	56,270	6,379	83,779	1,00	56,23	B	N
ATOM	3977	C	ASN	B	52	54,710	5,325	79,826	1,00	54,45	B	C
ATOM	3978	O	ASN	B	52	55,537	4,496	79,455	1,00	54,41	B	O
ATOM	3980	N	LYS	B	53	53,406	5,074	79,815	1,00	54,28	B	N
ATOM	3981	CA	LYS	B	53	52,892	3,794	79,318	1,00	54,67	B	C
ATOM	3983	CB	LYS	B	53	51,607	3,386	80,061	1,00	54,83	B	C
ATOM	3986	CG	LYS	B	53	51,688	3,598	81,586	1,00	55,69	B	C
ATOM	3989	CD	LYS	B	53	50,584	2,869	82,345	1,00	57,43	B	C
ATOM	3992	CE	LYS	B	53	50,622	3,171	83,857	1,00	58,16	B	C
ATOM	3995	NZ	LYS	B	53	49,368	2,699	84,547	1,00	57,62	B	N
ATOM	3999	C	LYS	B	53	52,642	3,903	77,810	1,00	54,74	B	C
ATOM	4000	O	LYS	B	53	52,401	5,002	77,290	1,00	54,52	B	O
ATOM	4002	N	ARG	B	54	52,712	2,764	77,126	1,00	54,33	B	N
ATOM	4003	CA	ARG	B	54	52,455	2,679	75,693	1,00	54,55	B	C
ATOM	4005	CB	ARG	B	54	53,653	2,060	74,979	1,00	55,00	B	C
ATOM	4008	CG	ARG	B	54	54,792	3,021	74,643	1,00	56,53	B	C
ATOM	4011	CD	ARG	B	54	55,874	2,267	73,926	1,00	58,36	B	C
ATOM	4014	NE	ARG	B	54	56,455	1,228	74,782	1,00	60,98	B	N
ATOM	4016	CZ	ARG	B	54	57,470	1,409	75,633	1,00	61,84	B	C
ATOM	4017	NH1	ARG	B	54	58,058	2,604	75,772	1,00	60,97	B	N
ATOM	4020	NH2	ARG	B	54	57,911	0,374	76,349	1,00	61,83	B	N
ATOM	4023	C	ARG	B	54	51,272	1,776	75,403	1,00	54,03	B	C
ATOM	4024	O	ARG	B	54	51,142	0,742	76,022	1,00	54,23	B	O
ATOM	4026	N	PRO	B	55	50,421	2,143	74,434	1,00	53,78	B	N
ATOM	4027	CA	PRO	B	55	49,473	1,160	73,948	1,00	54,07	B	C
ATOM	4029	CB	PRO	B	55	48,578	1,958	72,997	1,00	54,08	B	C
ATOM	4032	CG	PRO	B	55	48,803	3,379	73,360	1,00	53,60	B	C
ATOM	4035	CD	PRO	B	55	50,226	3,444	73,782	1,00	53,65	B	C
ATOM	4038	C	PRO	B	55	50,225	0,061	73,216	1,00	54,46	B	C
ATOM	4039	O	PRO	B	55	51,367	0,265	72,783	1,00	53,63	B	O
ATOM	4040	N	SER	B	56	49,596	-1,101	73,100	1,00	55,41	B	N
ATOM	4041	CA	SER	B	56	50,327	-2,318	72,733	1,00	56,32	B	C
ATOM	4043	CB	SER	B	56	49,516	-3,562	73,092	1,00	56,58	B	C
ATOM	4046	OG	SER	B	56	48,366	-3,671	72,281	1,00	55,99	B	O
ATOM	4048	C	SER	B	56	50,740	-2,368	71,262	1,00	56,75	B	C
ATOM	4049	O	SER	B	56	51,609	-3,158	70,901	1,00	57,11	B	O
ATOM	4051	N	ALA	B	57	50,109	-1,539	70,428	1,00	57,18	B	N
ATOM	4052	CA	ALA	B	57	50,496	-1,402	69,017	1,00	57,50	B	C
ATOM	4054	CB	ALA	B	57	49,318	-0,897	68,193	1,00	57,47	B	C

ES 2 540 538 T3

ATOM	4058	C	ALA	B	57	51,709	-0,476	68,825	1,00	57,60	B	C
ATOM	4059	O	ALA	B	57	52,304	-0,459	67,756	1,00	57,82	B	O
ATOM	4061	N	ILE	B	58	52,066	0,291	69,852	1,00	57,79	B	N
ATOM	4062	CA	ILE	B	58	53,176	1,228	69,755	1,00	57,68	B	C
ATOM	4064	CB	ILE	B	58	52,984	2,435	70,710	1,00	57,26	B	C
ATOM	4066	CG1	ILE	B	58	51,667	3,165	70,388	1,00	56,54	B	C
ATOM	4069	CD1	ILE	B	58	51,424	3,462	68,897	1,00	54,02	B	C
ATOM	4073	CG2	ILE	B	58	54,145	3,418	70,623	1,00	56,58	B	C
ATOM	4077	C	ILE	B	58	54,477	0,497	70,053	1,00	58,63	B	C
ATOM	4078	O	ILE	B	58	54,541	-0,309	70,986	1,00	59,29	B	O
ATOM	4080	N	PRO	B	59	55,522	0,756	69,250	1,00	59,14	B	N
ATOM	4081	CA	PRO	B	59	56,801	0,108	69,511	1,00	59,40	B	C
ATOM	4083	CB	PRO	B	59	57,551	0,286	68,193	1,00	59,74	B	C
ATOM	4086	CG	PRO	B	59	57,038	1,589	67,683	1,00	60,08	B	C
ATOM	4089	CD	PRO	B	59	55,576	1,613	68,053	1,00	59,16	B	C
ATOM	4092	C	PRO	B	59	57,574	0,758	70,655	1,00	59,40	B	C
ATOM	4093	O	PRO	B	59	57,453	1,965	70,899	1,00	59,43	B	O
ATOM	4094	N	ASP	B	60	58,379	-0,062	71,323	1,00	59,19	B	N
ATOM	4095	CA	ASP	B	60	59,184	0,341	72,493	1,00	59,21	B	C
ATOM	4097	CB	ASP	B	60	59,978	-0,877	73,019	1,00	59,40	B	C
ATOM	4100	CG	ASP	B	60	60,578	-1,733	71,881	1,00	60,98	B	C
ATOM	4101	OD1	ASP	B	60	61,622	-1,325	71,312	1,00	63,05	B	O
ATOM	4102	OD2	ASP	B	60	59,990	-2,795	71,542	1,00	61,10	B	O
ATOM	4103	C	ASP	B	60	60,132	1,527	72,251	1,00	58,56	B	C
ATOM	4104	O	ASP	B	60	60,594	2,169	73,196	1,00	58,71	B	O
ATOM	4106	N	ARG	B	61	60,418	1,815	70,990	1,00	58,09	B	N
ATOM	4107	CA	ARG	B	61	61,279	2,940	70,624	1,00	57,52	B	C
ATOM	4109	CB	ARG	B	61	61,384	3,043	69,094	1,00	57,80	B	C
ATOM	4112	CG	ARG	B	61	61,912	1,796	68,414	1,00	57,40	B	C
ATOM	4115	CD	ARG	B	61	62,309	2,052	66,965	1,00	56,92	B	C
ATOM	4118	NE	ARG	B	61	61,169	2,251	66,056	1,00	54,72	B	N
ATOM	4120	CZ	ARG	B	61	60,749	3,428	65,583	1,00	52,29	B	C
ATOM	4121	NH1	ARG	B	61	61,343	4,577	65,940	1,00	51,21	B	N
ATOM	4124	NH2	ARG	B	61	59,708	3,453	64,753	1,00	50,92	B	N
ATOM	4127	C	ARG	B	61	60,794	4,283	71,180	1,00	56,95	B	C
ATOM	4128	O	ARG	B	61	61,600	5,179	71,457	1,00	56,79	B	O
ATOM	4130	N	PHE	B	62	59,476	4,428	71,316	1,00	56,30	B	N
ATOM	4131	CA	PHE	B	62	58,895	5,641	71,891	1,00	55,75	B	C
ATOM	4133	CB	PHE	B	62	57,483	5,900	71,354	1,00	55,49	B	C
ATOM	4136	CG	PHE	B	62	57,417	6,060	69,858	1,00	53,95	B	C
ATOM	4137	CD1	PHE	B	62	57,587	7,307	69,274	1,00	52,57	B	C
ATOM	4139	CE1	PHE	B	62	57,521	7,462	67,901	1,00	52,81	B	C
ATOM	4141	CZ	PHE	B	62	57,283	6,363	67,092	1,00	53,10	B	C
ATOM	4143	CE2	PHE	B	62	57,111	5,099	67,664	1,00	53,27	B	C
ATOM	4145	CD2	PHE	B	62	57,173	4,960	69,043	1,00	53,17	B	C
ATOM	4147	C	PHE	B	62	58,826	5,492	73,394	1,00	55,84	B	C
ATOM	4148	O	PHE	B	62	58,400	4,458	73,901	1,00	55,51	B	O
ATOM	4150	N	SER	B	63	59,241	6,540	74,093	1,00	55,95	B	N
ATOM	4151	CA	SER	B	63	59,196	6,573	75,541	1,00	56,11	B	C
ATOM	4153	CB	SER	B	63	60,595	6,314	76,125	1,00	56,18	B	C
ATOM	4156	OG	SER	B	63	61,461	7,432	75,955	1,00	55,61	B	O
ATOM	4158	C	SER	B	63	58,692	7,937	75,976	1,00	56,15	B	C
ATOM	4159	O	SER	B	63	58,807	8,911	75,236	1,00	56,18	B	O
ATOM	4161	N	GLY	B	64	58,130	7,999	77,173	1,00	56,48	B	N
ATOM	4162	CA	GLY	B	64	57,707	9,259	77,745	1,00	57,27	B	C
ATOM	4165	C	GLY	B	64	58,026	9,361	79,226	1,00	57,87	B	C
ATOM	4166	O	GLY	B	64	58,047	8,355	79,946	1,00	57,71	B	O
ATOM	4168	N	SER	B	65	58,261	10,580	79,686	1,00	58,39	B	N
ATOM	4169	CA	SER	B	65	58,447	10,810	81,099	1,00	59,25	B	C
ATOM	4171	CB	SER	B	65	59,924	10,745	81,435	1,00	59,14	B	C

ES 2 540 538 T3

ATOM	4174	OG	SER	B	65	60,611	11,750	80,722	1,00	59,39	B	O
ATOM	4176	C	SER	B	65	57,910	12,173	81,485	1,00	60,04	B	C
ATOM	4177	O	SER	B	65	57,940	13,113	80,685	1,00	60,20	B	O
ATOM	4179	N	LYS	B	66	57,432	12,255	82,726	1,00	60,91	B	N
ATOM	4180	CA	LYS	B	66	56,992	13,493	83,344	1,00	61,47	B	C
ATOM	4182	CB	LYS	B	66	55,549	13,326	83,843	1,00	61,72	B	C
ATOM	4185	CG	LYS	B	66	55,032	14,463	84,716	1,00	61,99	B	C
ATOM	4188	CD	LYS	B	66	53,676	14,138	85,337	1,00	62,27	B	C
ATOM	4191	CE	LYS	B	66	53,436	14,953	86,591	1,00	61,98	B	C
ATOM	4194	NZ	LYS	B	66	52,004	14,932	87,005	1,00	62,66	B	N
ATOM	4198	C	LYS	B	66	57,934	13,816	84,513	1,00	61,89	B	C
ATOM	4199	O	LYS	B	66	58,391	12,908	85,212	1,00	61,75	B	O
ATOM	4201	N	SER	B	67	58,211	15,110	84,706	1,00	62,33	B	N
ATOM	4202	CA	SER	B	67	58,997	15,622	85,838	1,00	62,36	B	C
ATOM	4204	CB	SER	B	67	60,504	15,572	85,537	1,00	62,68	B	C
ATOM	4207	OG	SER	B	67	60,973	14,239	85,379	1,00	63,67	B	O
ATOM	4209	C	SER	B	67	58,615	17,073	86,161	1,00	62,21	B	C
ATOM	4210	O	SER	B	67	58,954	18,003	85,415	1,00	61,91	B	O
ATOM	4212	N	GLY	B	68	57,940	17,273	87,288	1,00	62,07	B	N
ATOM	4213	CA	GLY	B	68	57,567	18,618	87,715	1,00	61,84	B	C
ATOM	4216	C	GLY	B	68	56,503	19,154	86,777	1,00	61,48	B	C
ATOM	4217	O	GLY	B	66	55,528	18,450	86,491	1,00	61,48	B	O
ATOM	4219	N	THR	B	69	56,716	20,371	86,268	1,00	60,90	B	N
ATOM	4220	CA	THR	B	69	55,764	21,034	85,375	1,00	60,25	B	C
ATOM	4222	CB	THR	B	69	55,760	22,552	85,610	1,00	60,40	B	C
ATOM	4224	OG1	THR	B	69	57,028	23,096	85,226	1,00	60,13	B	O
ATOM	4226	CG2	THR	B	69	55,474	22,878	87,068	1,00	60,27	B	C
ATOM	4230	C	THR	B	69	56,103	20,792	83,901	1,00	59,84	B	C
ATOM	4231	O	THR	B	69	55,692	21,557	83,025	1,00	59,59	B	O
ATOM	4233	N	SER	B	70	56,848	19,723	83,638	1,00	59,09	B	N
ATOM	4234	CA	SER	B	70	57,364	19,441	82,317	1,00	58,46	B	C
ATOM	4236	CB	SER	B	70	58,792	19,993	82,202	1,00	58,66	B	C
ATOM	4239	OG	SER	B	70	59,722	18,986	81,821	1,00	59,26	B	O
ATOM	4241	C	SER	B	70	57,302	17,941	82,008	1,00	57,79	B	C
ATOM	4242	O	SER	B	70	57,195	17,107	82,913	1,00	57,46	B	O
ATOM	4244	N	ALA	B	71	57,323	17,609	80,715	1,00	57,10	B	N
ATOM	4245	CA	ALA	B	71	57,371	16,215	80,269	1,00	56,35	B	C
ATOM	4247	CB	ALA	B	71	55,986	15,647	80,025	1,00	56,19	B	C
ATOM	4251	C	ALA	B	71	58,186	16,153	79,017	1,00	55,83	B	C
ATOM	4252	O	ALA	B	72	58,498	17,175	78,395	1,00	55,87	B	O
ATOM	4254	N	THR	B	72	58,555	14,941	78,660	1,00	55,16	B	N
ATOM	4255	CA	THR	B	72	59,428	14,745	77,538	1,00	54,76	B	C
ATOM	4257	CB	THR	B	72	60,921	14,720	77,972	1,00	54,98	B	C
ATOM	4259	OG1	THR	B	72	61,325	16,032	78,388	1,00	55,34	B	O
ATOM	4261	CG2	THR	B	72	61,808	14,305	76,820	1,00	55,40	B	C
ATOM	4265	C	THR	B	72	59,042	13,456	76,863	1,00	53,75	B	C
ATOM	4266	O	THR	B	72	58,774	12,464	77,524	1,00	53,50	B	O
ATOM	4268	N	LEU	B	73	58,972	13,520	75,542	1,00	52,92	B	N
ATOM	4269	CA	LEU	B	73	58,847	12,361	74,694	1,00	52,39	B	C
ATOM	4271	CB	LEU	B	73	57,820	12,615	73,572	1,00	52,00	B	C
ATOM	4274	CG	LEU	B	73	57,642	11,531	72,504	1,00	51,26	B	C
ATOM	4276	CD1	LEU	B	73	56,975	10,319	73,096	1,00	47,55	B	C
ATOM	4280	CD2	LEU	B	73	56,833	12,064	71,320	1,00	49,84	B	C
ATOM	4284	C	LEU	B	73	60,222	12,169	74,091	1,00	52,35	B	C
ATOM	4285	O	LEU	B	73	60,887	13,146	73,743	1,00	51,85	B	O
ATOM	4287	N	GLY	B	74	60,633	10,907	73,971	1,00	52,76	B	N
ATOM	4288	CA	GLY	B	74	61,907	10,536	73,367	1,00	52,60	B	C
ATOM	4291	C	GLY	B	74	61,672	9,425	72,378	1,00	52,96	B	C
ATOM	4292	O	GLY	B	74	60,834	8,546	72,603	1,00	52,64	B	O
ATOM	4294	N	ILE	B	75	62,395	9,487	71,265	1,00	53,79	B	N

ES 2 540 538 T3

ATOM	4295	CA	ILE	B	75	62,270	8,514	70,186	1,00	54,34	B	C
ATOM	4297	CB	ILE	B	75	61,645	9,138	68,898	1,00	54,68	B	C
ATOM	4299	CG1	ILE	B	75	60,440	10,017	69,244	1,00	54,95	B	C
ATOM	4302	CD1	ILE	B	75	60,168	11,069	68,214	1,00	56,22	B	C
ATOM	4306	CG2	ILE	B	75	61,218	8,048	67,899	1,00	53,39	B	C
ATOM	4310	C	ILE	B	75	63,676	8,033	69,880	1,00	55,20	B	C
ATOM	4311	O	ILE	B	75	64,608	8,832	69,761	1,00	55,26	B	O
ATOM	4313	N	THR	B	76	63,805	6,720	69,751	1,00	55,96	B	N
ATOM	4314	CA	THR	B	76	65,073	6,048	69,582	1,00	56,56	B	C
ATOM	4316	CB	THR	B	76	65,349	5,129	70,787	1,00	56,46	B	C
ATOM	4318	OG1	THR	B	76	66,114	5,858	71,750	1,00	57,27	B	O
ATOM	4320	CG2	THR	B	76	66,106	3,855	70,375	1,00	57,18	B	C
ATOM	4324	C	THR	B	76	64,964	5,216	68,332	1,00	57,06	B	C
ATOM	4325	O	THR	B	76	63,880	4,727	68,006	1,00	57,58	B	O
ATOM	4327	N	GLY	B	77	66,082	5,036	67,639	1,00	57,19	B	N
ATOM	4328	CA	GLY	B	77	66,082	4,275	66,396	1,00	57,31	B	C
ATOM	4331	C	GLY	B	77	65,297	5,037	65,342	1,00	57,23	B	C
ATOM	4332	O	GLY	B	77	64,597	4,443	64,515	1,00	56,64	B	O
ATOM	4334	N	LEU	B	78	65,433	6,360	65,383	1,00	57,22	B	N
ATOM	4335	CA	LEU	B	78	64,690	7,243	64,509	1,00	57,33	B	C
ATOM	4337	CB	LEU	B	78	65,334	8,619	64,499	1,00	57,18	B	C
ATOM	4340	CG	LEU	B	78	64,555	9,743	63,827	1,00	57,95	B	C
ATOM	4342	CD1	LEU	B	78	65,191	11,072	64,157	1,00	58,02	B	C
ATOM	4346	CD2	LEU	B	78	64,527	9,550	62,339	1,00	59,37	B	C
ATOM	4350	C	LEU	B	78	64,615	6,667	63,101	1,00	57,55	B	C
ATOM	4351	O	LEU	B	78	65,635	6,260	62,522	1,00	57,90	B	O
ATOM	4353	N	GLN	B	79	63,389	6,604	62,582	1,00	57,55	B	N
ATOM	4354	CA	GLN	B	79	63,102	6,110	61,242	1,00	57,47	B	C
ATOM	4356	CB	GLN	B	79	62,206	4,872	61,303	1,00	57,65	B	C
ATOM	4359	CG	GLN	B	79	62,820	3,681	62,022	1,00	58,68	B	C
ATOM	4362	CD	GLN	B	79	61,911	2,458	62,022	1,00	60,02	B	C
ATOM	4363	OE1	GLN	B	79	60,869	2,446	61,369	1,00	62,22	B	O
ATOM	4364	NE2	GLN	B	79	62,305	1,427	62,757	1,00	58,95	B	N
ATOM	4367	C	GLN	B	79	62,394	7,190	60,424	1,00	57,13	B	C
ATOM	4368	O	GLN	B	79	61,836	8,151	60,968	1,00	56,93	B	O
ATOM	4370	N	THR	B	80	62,409	7,008	59,109	1,00	56,55	B	N
ATOM	4371	CA	THR	B	80	61,717	7,905	58,209	1,00	56,23	B	C
ATOM	4373	CB	THR	B	80	61,987	7,534	56,737	1,00	56,29	B	C
ATOM	4375	OG1	THR	B	80	61,626	8,647	55,913	1,00	57,61	B	O
ATOM	4377	CG2	THR	B	80	61,187	6,292	56,320	1,00	56,10	B	C
ATOM	4381	C	THR	B	80	60,203	7,893	58,501	1,00	55,29	B	C
ATOM	4382	O	THR	B	80	59,554	8,934	58,467	1,00	54,94	B	O
ATOM	4384	N	GLY	B	81	59,669	6,712	58,822	1,00	54,38	B	N
ATOM	4385	CA	GLY	B	81	58,264	6,541	59,174	1,00	53,37	B	C
ATOM	4388	C	GLY	B	81	57,784	7,275	60,425	1,00	52,48	B	C
ATOM	4389	O	GLY	B	81	56,575	7,296	60,678	1,00	51,95	B	O
ATOM	4391	N	ASP	B	82	58,717	7,861	61,193	1,00	51,40	B	N
ATOM	4392	CA	ASP	B	82	58,428	8,626	62,423	1,00	50,58	B	C
ATOM	4394	CB	ASP	B	82	59,618	8,548	63,390	1,00	50,53	B	C
ATOM	4397	CG	ASP	B	82	59,930	7,130	63,832	1,00	50,71	B	C
ATOM	4398	OD1	ASP	B	82	59,067	6,234	63,681	1,00	50,21	B	O
ATOM	4399	OD2	ASP	B	82	61,054	6,911	64,335	1,00	50,56	B	O
ATOM	4400	C	ASP	B	82	58,105	10,112	62,222	1,00	49,95	B	C
ATOM	4401	O	ASP	B	82	57,706	10,797	63,183	1,00	49,20	B	O
ATOM	4403	N	GLU	B	83	58,318	10,607	60,998	1,00	49,24	B	N
ATOM	4404	CA	GLU	B	83	57,978	11,983	60,600	1,00	48,67	B	C
ATOM	4406	CB	GLU	B	83	58,254	12,203	59,105	1,00	49,01	B	C
ATOM	4409	CG	GLU	B	83	59,723	12,332	58,727	1,00	51,56	B	C
ATOM	4412	CD	GLU	B	83	59,921	13,035	57,387	1,00	53,83	B	C
ATOM	4413	OE1	GLU	B	83	59,249	12,656	56,392	1,00	55,88	B	O

ES 2 540 538 T3

ATOM	4414	OE2	GLU	B	83	60,757	13,959	57,342	1,00	54,34	B	O
ATOM	4415	C	GLU	B	83	56,505	12,253	60,823	1,00	47,08	B	C
ATOM	4416	O	GLU	B	83	55,674	11,614	60,209	1,00	47,04	B	O
ATOM	4418	N	ALA	B	84	56,182	13,207	61,682	1,00	45,51	B	N
ATOM	4419	CA	ALA	B	84	54,788	13,458	62,057	1,00	44,26	B	C
ATOM	4421	CB	ALA	B	84	54,180	12,237	62,776	1,00	43,27	B	C
ATOM	4425	C	ALA	B	84	54,773	14,651	62,970	1,00	43,21	B	C
ATOM	4426	O	ALA	B	84	55,832	15,119	63,378	1,00	42,60	B	O
ATOM	4428	N	ASP	B	85	53,574	15,132	63,286	1,00	42,27	B	N
ATOM	4429	CA	ASP	B	85	53,388	16,107	64,349	1,00	41,75	B	C
ATOM	4431	CB	ASP	B	85	52,251	17,095	64,025	1,00	41,95	B	C
ATOM	4434	CG	ASP	B	85	52,567	18,003	62,820	1,00	43,36	B	C
ATOM	4435	OD1	ASP	B	85	53,759	18,179	62,495	1,00	44,74	B	O
ATOM	4436	OD2	ASP	B	85	51,621	18,555	62,207	1,00	44,21	B	O
ATOM	4437	C	ASP	B	85	53,104	15,332	65,652	1,00	40,69	B	C
ATOM	4438	O	ASP	B	85	52,291	14,406	65,680	1,00	40,02	B	O
ATOM	4440	N	TYR	B	86	53,799	15,722	66,712	1,00	39,70	B	N
ATOM	4441	CA	TYR	B	86	53,648	15,109	68,009	1,00	39,38	B	C
ATOM	4443	CB	TYR	B	86	54,992	14,580	68,534	1,00	38,66	B	C
ATOM	4446	CG	TYR	B	86	55,458	13,390	67,746	1,00	37,96	B	C
ATOM	4447	CD1	TYR	B	86	55,150	12,117	68,152	1,00	37,28	B	C
ATOM	4449	CE1	TYR	B	86	55,537	11,026	67,421	1,00	38,35	B	C
ATOM	4451	CZ	TYR	B	86	56,246	11,188	66,250	1,00	37,20	B	C
ATOM	4452	OH	TYR	B	86	56,618	10,074	65,534	1,00	36,51	B	O
ATOM	4454	CE2	TYR	B	86	56,545	12,449	65,800	1,00	37,21	B	C
ATOM	4456	CD2	TYR	B	86	56,158	13,547	66,553	1,00	37,83	B	C
ATOM	4458	C	TYR	B	86	53,070	16,157	68,929	1,00	39,68	B	C
ATOM	4459	O	TYR	B	86	53,600	17,268	69,012	1,00	39,45	B	O
ATOM	4461	N	TYR	B	87	51,969	15,804	69,596	1,00	40,17	B	N
ATOM	4462	CA	TYR	B	87	51,296	16,722	70,523	1,00	40,76	B	C
ATOM	4464	CB	TYR	B	87	49,832	16,952	70,135	1,00	40,20	B	C
ATOM	4467	CG	TYR	B	87	49,609	17,748	68,867	1,00	39,48	B	C
ATOM	4468	CD1	TYR	B	87,	49,506	19,127	68,905	1,00	39,12	B	C
ATOM	4470	CE1	TYR	B	87	49,310	19,850	67,763	1,00	38,71	B	C
ATOM	4472	CZ	TYR	B	87	49,197	19,207	66,566	1,00	38,03	B	C
ATOM	4473	OH	TYR	B	87	48,990	19,954	65,428	1,00	38,62	B	O
ATOM	4475	CE2	TYR	B	87	49,290	17,839	66,508	1,00	37,19	B	C
ATOM	4477	CD2	TYR	B	87	49,490	17,124	67,638	1,00	36,20	B	C
ATOM	4479	C	TYR	B	87	51,329	16,147	71,940	1,00	42,30	B	C
ATOM	4480	O	TYR	B	87	51,026	14,950	72,164	1,00	42,11	B	O
ATOM	4482	N	CYS	B	88	51,674	16,997	72,898	1,00	43,70	B	N
ATOM	4483	CA	CYS	B	88	51,474	16,638	74,286	1,00	45,63	B	C
ATOM	4485	CB	CYS	B	88	52,622	17,125	75,174	1,00	45,94	B	C
ATOM	4488	SG	CYS	B	88	52,728	18,878	75,341	1,00	48,52	B	S
ATOM	4490	C	CYS	B	88	50,139	17,185	74,752	1,00	46,04	B	C
ATOM	4491	O	CYS	B	88	49,657	18,224	74,261	1,00	46,57	B	O
ATOM	4493	N	GLY	B	89	49,549	16,477	75,707	1,00	46,75	B	N
ATOM	4494	CA	GLY	B	89	48,287	16,878	76,291	1,00	47,25	B	C
ATOM	4497	C	GLY	B	89	48,110	16,351	77,699	1,00	47,91	B	C
ATOM	4498	O	GLY	B	89	48,752	15,384	78,107	1,00	47,22	B	O
ATOM	4500	N	THR	B	90	47,219	17,012	78,423	1,00	48,96	B	N
ATOM	4501	CA	THR	B	90	46,920	16,685	79,803	1,00	50,01	B	C
ATOM	4503	CB	THR	B	90	48,033	17,196	80,806	1,00	50,37	B	C
ATOM	4505	OG1	THR	B	90	47,857	16,582	82,100	1,00	50,29	B	O
ATOM	4507	CG2	THR	B	90	48,013	18,701	80,954	1,00	49,15	B	C
ATOM	4511	C	THR	B	90	45,578	17,304	80,143	1,00	50,80	B	C
ATOM	4512	O	THR	B	90	44,831	17,722	79,251	1,00	50,76	B	O
ATOM	4514	N	TRP	B	91	45,278	17,346	81,437	1,00	51,84	B	N
ATOM	4515	CA	TRP	B	91	44,065	17,956	81,947	1,00	52,22	B	C
ATOM	4517	CB	TRP	B	91	43,228	16,906	82,665	1,00	52,26	B	C

ES 2 540 538 T3

ATOM	4520	CG	TRP	B	91	42,725	15,842	81,756	1,00	51,33	B	C
ATOM	4521	CD1	TRP	B	91	43,367	14,688	81,394	1,00	51,08	B	C
ATOM	4523	NE1	TRP	B	91	42,578	13,958	80,538	1,00	50,13	B	N
ATOM	4525	CE2	TRP	B	91	41,411	14,646	80,322	1,00	49,09	B	C
ATOM	4526	CD2	TRP	B	91	41,472	15,839	81,077	1,00	49,33	B	C
ATOM	4527	CE3	TRP	B	91	40,389	16,724	81,042	1,00	48,26	B	C
ATOM	4529	CZ3	TRP	B	91	39,298	16,404	80,278	1,00	47,68	B	C
ATOM	4531	CH2	TRP	B	91	39,257	15,203	79,541	1,00	48,60	B	C
ATOM	4533	CZ2	TRP	B	91	40,306	14,314	79,546	1,00	48,00	B	C
ATOM	4535	C	TRP	B	91	44,438	19,050	82,911	1,00	53,00	B	C
ATOM	4536	O	TRP	B	91	45,499	18,996	83,522	1,00	53,26	B	O
ATOM	4538	N	ASP	B	92	43,558	20,034	83,048	1,00	53,98	B	N
ATOM	4539	CA	ASP	B	92	43,760	21,126	83,968	1,00	54,79	B	C
ATOM	4541	CB	ASP	B	92	43,579	22,458	83,253	1,00	55,10	B	C
ATOM	4544	CG	ASP	B	92	43,613	23,631	84,208	1,00	55,49	B	C
ATOM	4545	OD1	ASP	B	92	44,528	24,472	84,104	1,00	55,40	B	O
ATOM	4546	OD2	ASP	B	92	42,726	23,691	85,081	1,00	56,62	B	O
ATOM	4547	C	ASP	B	92	42,764	20,986	85,107	1,00	55,44	B	C
ATOM	4548	O	ASP	B	92	41,562	20,930	84,876	1,00	55,38	B	O
ATOM	4550	N	SER	B	93	43,277	20,963	86,339	1,00	56,49	B	N
ATOM	4551	CA	SER	B	93	42,463	20,674	87,538	1,00	56,84	B	C
ATOM	4553	CB	SER	B	93	43,365	20,341	88,733	1,00	57,06	B	C
ATOM	4556	OG	SER	B	93	44,285	19,304	88,410	1,00	58,31	B	O
ATOM	4558	C	SER	B	93	41,480	21,786	87,934	1,00	56,81	B	C
ATOM	4559	O	SER	B	93	40,403	21,485	88,466	1,00	57,15	B	O
ATOM	4561	N	ARG	B	94	41,842	23,050	87,684	1,00	56,69	B	N
ATOM	4562	CA	ARG	B	94	40,945	24,190	87,967	1,00	56,65	B	C
ATOM	4564	CB	ARG	B	94	41,724	25,522	87,961	1,00	56,98	B	C
ATOM	4573	C	ARG	B	94	39,731	24,282	87,003	1,00	56,53	B	C
ATOM	4574	O	ARG	B	94	38,594	24,471	87,464	1,00	56,66	B	O
ATOM	4576	N	LEU	B	95	39,977	24,161	85,686	1,00	55,95	B	N
ATOM	4577	CA	LEU	B	95	38,917	24,241	84,640	1,00	55,24	B	C
ATOM	4579	CB	LEU	B	95	39,466	24,838	83,352	1,00	55,37	B	C
ATOM	4582	CG	LEU	B	95	40,018	26,256	83,405	1,00	55,89	B	C
ATOM	4584	CD1	LEU	B	95	40,779	26,546	82,098	1,00	55,61	B	C
ATOM	4588	CD2	LEU	B	95	38,887	27,244	83,653	1,00	54,91	B	C
ATOM	4592	C	LEU	B	95	38,292	22,894	84,275	1,00	54,35	B	C
ATOM	4593	O	LEU	B	95	37,221	22,852	83,668	1,00	54,33	B	O
ATOM	4595	N	GLY	B	95A	38,970	21,804	84,617	1,00	53,33	8	N
ATOM	4596	CA	GLY	B	95A	38,443	20,461	84,387	1,00	52,79	B	C
ATOM	4599	C	GLY	B	95A	38,312	20,128	82,908	1,00	52,14	B	C
ATOM	4600	O	GLY	B	95A	37,469	19,306	82,515	1,00	51,68	B	O
ATOM	4602	N	ILE	B	95B	39,159	20,765	82,096	1,00	50,97	B	N
ATOM	4603	CA	ILE	B	95B	39,175	20,547	80,658	1,00	50,13	B	C
ATOM	4605	CB	ILE	B	95B	38,934	21,873	79,876	1,00	49,77	B	C
ATOM	4607	CG1	ILE	B	95B	40,102	22,836	80,014	1,00	50,47	B	C
ATOM	4610	CD1	ILE	B	95B	39,903	24,134	79,229	1,00	50,70	B	C
ATOM	4614	CG2	ILE	B	95B	37,657	22,543	80,344	1,00	50,36	B	C
ATOM	4618	C	ILE	B	95B	40,485	19,890	80,221	1,00	48,98	B	C
ATOM	4619	O	ILE	B	95B	41,504	19,988	80,901	1,00	48,50	B	O
ATOM	4621	N	ALA	B	96	40,454	19,200	79,085	1,00	47,98	B	N
ATOM	4622	CA	ALA	B	96	41,688	18,678	78,508	1,00	46,70	B	C
ATOM	4624	CB	ALA	B	96	41,414	17,566	77,538	1,00	46,36	B	C
ATOM	4628	C	ALA	B	96	42,406	19,834	77,843	1,00	45,45	B	C
ATOM	4629	O	ALA	B	96	41,816	20,857	77,557	1,00	45,26	B	O
ATOM	4631	N	VAL	B	97	43,697	19,663	77,618	1,00	44,85	B	N
ATOM	4632	CA	VAL	B	97	44,585	20,781	77,293	1,00	44,17	B	C
ATOM	4634	CB	VAL	B	97	45,048	21,491	78,631	1,00	44,38	B	C
ATOM	4636	CG1	VAL	B	97	46,524	21,654	78,714	1,00	45,55	B	C
ATOM	4640	CG2	VAL	B	97	44,343	22,821	78,800	1,00	43,63	B	C

ES 2 540 538 T3

ATOM	4644	C	VAL	B	97	45,718	20,236	76,431	1,00	43,15	B	C
ATOM	4645	O	VAL	B	97	46,091	19,073	76,563	1,00	43,30	B	O
ATOM	4647	N	PHE	B	98	46,220	21,048	75,513	1,00	42,40	B	N
ATOM	4648	CA	PHE	B	98	47,217	20,590	74,544	1,00	41,72	B	C
ATOM	4650	CB	PHE	B	98	46,594	20,404	73,156	1,00	41,26	B	C
ATOM	4653	CG	PHE	B	98	45,600	19,276	73,041	1,00	39,62	B	C
ATOM	4654	CD1	PHE	B	98	46,017	17,958	73,026	1,00	37,45	B	C
ATOM	4656	CE1	PHE	B	98	45,106	16,927	72,865	1,00	37,73	B	C
ATOM	4658	CZ	PHE	B	98	43,764	17,207	72,681	1,00	37,31	B	C
ATOM	4660	CE2	PHE	B	98	43,341	18,517	72,670	1,00	37,38	B	C
ATOM	4662	CD2	PHE	B	98	44,255	19,545	72,845	1,00	37,68	B	C
ATOM	4664	C	PHE	B	98	48,367	21,581	74,348	1,00	41,90	B	C
ATOM	4665	O	PHE	B	98	48,208	22,802	74,525	1,00	41,10	B	O
ATOM	4667	N	GLY	B	99	49,511	21,030	73,940	1,00	42,03	B	N
ATOM	4668	CA	GLY	B	99	50,594	21,823	73,358	1,00	42,35	B	C
ATOM	4671	C	GLY	B	99	50,375	22,144	71,894	1,00	42,41	B	C
ATOM	4672	O	GLY	B	99	49,561	21,507	71,231	1,00	42,31	B	O
ATOM	4674	N	GLY	B	100	51,102	23,146	71,393	1,00	42,83	B	N
ATOM	4675	CA	GLY	B	100	50,977	23,596	70,005	1,00	42,69	B	C
ATOM	4678	C	GLY	B	100	51,488	22,601	68,979	1,00	43,13	B	C
ATOM	4679	O	GLY	B	100	51,326	22,808	67,777	1,00	43,24	B	O
ATOM	4681	N	GLY	B	101	52,135	21,529	69,432	1,00	43,43	B	N
ATOM	4682	CA	GLY	B	101	52,633	20,491	68,521	1,00	43,57	B	C
ATOM	4685	C	GLY	B	101	54,047	20,753	68,044	1,00	43,65	B	C
ATOM	4686	O	GLY	B	101	54,479	21,904	67,938	1,00	43,13	B	O
ATOM	4688	N	THR	B	102	54,772	19,667	67,789	1,00	43,77	B	N
ATOM	4689	CA	THR	B	102	56,134	19,732	67,310	1,00	44,12	B	C
ATOM	4691	CB	THR	B	102	57,111	19,125	68,339	1,00	44,36	B	C
ATOM	4693	OG1	THR	B	102	56,974	19,799	69,599	1,00	43,89	B	O
ATOM	4695	CG2	THR	B	102	58,570	19,236	67,837	1,00	43,26	B	C
ATOM	4699	C	THR	B	102	56,243	18,935	66,030	1,00	45,17	B	C
ATOM	4700	O	THR	B	102	55,891	17,751	66,010	1,00	45,07	B	O
ATOM	4702	N	GLN	B	103	56,708	19,569	64,957	1,00	46,36	B	N
ATOM	4703	CA	GLN	B	103	56,944	18,829	63,718	1,00	47,64	B	C
ATOM	4705	CB	GLN	B	103	56,899	19,731	62,480	1,00	47,96	B	C
ATOM	4708	CG	GLN	B	103	57,203	18,939	61,197	1,00	49,71	B	C
ATOM	4711	CD	GLN	B	103	56,951	19,719	59,914	1,00	53,71	B	C
ATOM	4712	OE1	GLN	B	103	56,555	20,892	59,949	1,00	55,64	B	O
ATOM	4713	NE2	GLN	B	103	57,182	19,065	58,764	1,00	53,38	B	N
ATOM	4716	C	GLN	B	103	58,285	18,107	63,779	1,00	48,13	B	C
ATOM	4717	O	GLN	B	103	59,328	18,733	64,020	1,00	48,13	B	O
ATOM	4719	N	LEU	B	104	58,251	16,798	63,548	1,00	48,96	B	N
ATOM	4720	CA	LEU	B	104	59,465	15,972	63,510	1,00	49,87	B	C
ATOM	4722	CB	LEU	B	104	59,293	14,667	64,298	1,00	49,84	B	C
ATOM	4725	CG	LEU	B	104	60,609	13,911	64,570	1,00	50,64	B	C
ATOM	4727	CD1	LEU	B	104	61,133	14,293	65,957	1,00	52,09	B	C
ATOM	4731	CD2	LEU	B	104	60,456	12,388	64,457	1,00	49,06	B	C
ATOM	4735	C	LEU	B	104	59,864	15,649	62,060	1,00	50,32	B	C
ATOM	4736	O	LEU	B	104	59,148	14,938	61,341	1,00	49,50	B	O
ATOM	4738	N	THR	B	105	61,021	16,182	61,666	1,00	51,45	B	N
ATOM	4739	CA	THR	B	105	61,653	15,893	60,373	1,00	52,35	B	C
ATOM	4741	CB	THR	B	105	62,121	17,205	59,741	1,00	52,53	B	C
ATOM	4743	OG1	THR	B	105	60,963	17,995	59,433	1,00	52,54	B	O
ATOM	4745	CG2	THR	B	105	62,949	16,955	58,465	1,00	53,23	B	C
ATOM	4749	C	THR	B	105	62,842	14,929	60,511	1,00	52,60	B	C
ATOM	4750	O	THR	B	105	63,708	15,128	61,356	1,00	53,10	B	O
ATOM	4752	N	VAL	B	106	62,870	13,888	59,682	1,00	53,08	B	N
ATOM	4753	CA	VAL	B	106	63,975	12,940	59,648	1,00	53,68	B	C
ATOM	4755	CB	VAL	B	106	63,478	11,495	59,374	1,00	53,86	B	C
ATOM	4757	CG1	VAL	B	106	64,662	10,522	59,212	1,00	53,25	B	C

ES 2 540 538 T3

ATOM	4761	CG2	VAL	B	106	62,524	11,029	60,476	1,00	53,40	B	C
ATOM	4765	C	VAL	B	106	64,932	13,365	58,521	1,00	54,57	B	C
ATOM	4766	O	VAL	B	106	64,580	13,237	57,350	1,00	55,08	B	O
ATOM	4768	N	LEU	B	106A	66,128	13,850	58,876	1,00	54,88	B	N
ATOM	4769	CA	LEU	B	106A	67,103	14,365	57,905	1,00	55,30	B	C
ATOM	4771	CB	LEU	B	106A	68,085	15,319	58,609	1,00	55,07	B	C
ATOM	4774	CG	LEU	B	106A	67,422	16,537	59,273	1,00	54,77	B	C
ATOM	4776	CD1	LEU	B	106A	68,386	17,250	60,216	1,00	54,17	B	C
ATOM	4780	CD2	LEU	B	106A	66,881	17,491	58,215	1,00	52,39	B	C
ATOM	4784	C	LEU	B	106A	67,852	13,240	57,155	1,00	56,11	B	C
ATOM	4785	O	LEU	B	106A	67,386	12,097	57,098	1,00	56,21	B	O
ATOM	4787	N	GLY	B	107	68,979	13,592	56,524	1,00	56,88	B	N
ATOM	4788	CA	GLY	B	107	69,847	12,623	55,861	1,00	56,78	B	C
ATOM	4791	C	GLY	B	107	69,558	12,269	54,406	1,00	56,54	B	C
ATOM	4792	O	GLY	B	107	70,319	11,493	53,829	1,00	57,41	B	O
ATOM	4794	N	GLN	B	108	68,478	12,784	53,805	1,00	55,51	B	N
ATOM	4795	CA	GLN	B	108	68,172	12,476	52,380	1,00	54,74	B	C
ATOM	4797	CB	GLN	B	108	66,775	12,990	51,938	1,00	55,20	B	C
ATOM	4800	CG	GLN	B	108	65,656	11,919	51,833	1,00	57,23	B	C
ATOM	4803	CD	GLN	B	108	65,594	11,157	50,479	1,00	59,15	B	C
ATOM	4804	OE1	GLN	B	108	65,992	11,666	49,417	1,00	58,61	B	O
ATOM	4805	NE2	GLN	B	108	65,063	9,930	50,530	1,00	60,03	B	C
ATOM	4808	C	GLN	B	108	69,252	13,110	51,483	1,00	52,71	B	N
ATOM	4809	O	GLN	B	108	69,687	14,228	51,747	1,00	51,86	B	O
ATOM	4811	N	PRO	B	109	69,687	12,385	50,434	1,00	51,12	B	N
ATOM	4812	CA	PRO	B	109	70,643	12,960	49,493	1,00	50,49	B	C
ATOM	4814	CB	PRO	B	109	71,049	11,762	48,628	1,00	50,42	B	C
ATOM	4817	CG	PRO	B	109	69,885	10,809	48,721	1,00	50,78	B	C
ATOM	4820	CD	PRO	B	109	69,312	11,000	50,073	1,00	50,90	B	C
ATOM	4823	C	PRO	B	109	69,974	14,027	48,634	1,00	49,73	B	C
ATOM	4824	O	PRO	B	109	68,760	13,944	48,410	1,00	49,70	B	O
ATOM	4825	N	LYS	B	110	70,747	15,020	48,185	1,00	48,80	B	N
ATOM	4826	CA	LYS	B	110	70,258	15,994	47,211	1,00	48,13	B	C
ATOM	4828	CB	LYS	B	110	71,390	16,894	46,681	1,00	48,25	B	C
ATOM	4835	C	LYS	B	110	69,607	15,196	46,085	1,00	47,19	B	C
ATOM	4836	O	LYS	B	110	70,096	14,123	45,755	1,00	48,20	B	O
ATOM	4838	N	ALA	B	111	68,456	15,656	45,583	1,00	45,73	B	N
ATOM	4839	CA	ALA	B	111	67,861	15,134	44,349	1,00	44,50	B	C
ATOM	4841	CB	ALA	B	111	66,719	14,222	44,643	1,00	44,76	B	C
ATOM	4845	C	ALA	B	111	67,412	16,307	43,463	1,00	43,93	B	C
ATOM	4846	O	ALA	B	111	66,815	17,294	43,938	1,00	43,35	B	O
ATOM	4848	N	ALA	B	112	67,758	16,218	42,179	1,00	43,05	B	N
ATOM	4849	CA	ALA	B	112	67,404	17,238	41,201	1,00	41,97	B	C
ATOM	4851	CB	ALA	B	112	68,366	17,176	39,977	1,00	42,24	B	C
ATOM	4855	C	ALA	B	112	65,950	17,010	40,769	1,00	40,69	B	C
ATOM	4856	O	ALA	B	112	65,508	15,864	40,645	1,00	40,28	B	O
ATOM	4858	N	PRO	B	113	65,202	18,097	40,549	1,00	39,39	B	N
ATOM	4859	CA	PRO	B	113	63,789	17,967	40,180	1,00	38,89	B	C
ATOM	4861	CB	PRO	B	113	63,261	19,399	40,343	1,00	39,18	B	C
ATOM	4864	CG	PRO	B	113	64,449	20,258	40,210	1,00	38,97	B	C
ATOM	4867	CD	PRO	B	113	65,573	19,500	40,803	1,00	39,07	B	C
ATOM	4870	C	PRO	B	113	63,578	17,494	38,754	1,00	38,47	B	C
ATOM	4871	O	PRO	B	113	64,376	17,814	37,900	1,00	38,19	B	O
ATOM	4872	N	SER	B	114	62,543	16,680	38,537	1,00	38,22	B	N
ATOM	4873	CA	SER	B	114	61,973	16,440	37,211	1,00	38,09	B	C
ATOM	4875	CB	SER	B	114	61,188	15,129	37,154	1,00	38,42	B	C
ATOM	4878	OG	SER	B	114	62,062	14,032	37,145	1,00	40,70	B	O
ATOM	4880	C	SER	B	114	60,988	17,548	36,979	1,00	37,29	B	C
ATOM	4881	O	SER	B	114	60,254	17,919	37,895	1,00	37,90	B	O
ATOM	4883	N	VAL	B	115	60,970	18,080	35,774	1,00	36,03	B	N

ES 2 540 538 T3

ATOM	4884	CA	VAL	B	115	60,092	19,186	35,426	1,00	35,03	B	C
ATOM	4886	CB	VAL	B	115	60,883	20,466	35,193	1,00	35,13	B	C
ATOM	4888	CG1	VAL	B	115	59,973	21,576	34,730	1,00	35,86	B	C
ATOM	4892	CG2	VAL	B	115	61,621	20,889	36,463	1,00	34,21	B	C
ATOM	4896	C	VAL	B	115	59,356	18,800	34,170	1,00	34,59	B	C
ATOM	4897	O	VAL	B	115	59,985	18,417	33,166	1,00	34,77	B	O
ATOM	4899	N	THR	B	116	58,025	18,822	34,242	1,00	33,58	B	N
ATOM	4900	CA	THR	B	116	57,174	18,608	33,076	1,00	32,47	B	C
ATOM	4902	CB	THR	B	116	56,311	17,371	33,251	1,00	33,27	B	C
ATOM	4904	OG1	THR	B	116	57,128	16,278	33,672	1,00	32,18	B	O
ATOM	4906	CG2	THR	B	116	55,618	16,999	31,939	1,00	33,41	B	C
ATOM	4910	C	THR	B	116	56,277	19,830	32,906	1,00	31,65	B	C
ATOM	4911	O	THR	B	116	55,634	20,285	33,858	1,00	31,63	B	O
ATOM	4913	N	LEU	B	117	56,231	20,369	31,697	1,00	30,08	B	N
ATOM	4914	CA	LEU	B	117	55,371	21,487	31,396	1,00	29,80	B	C
ATOM	4916	CB	LEU	B	117	56,189	22,672	30,929	1,00	29,38	B	C
ATOM	4919	CG	LEU	B	117	55,451	23,932	30,451	1,00	30,41	B	C
ATOM	4921	CD1	LEU	B	117	54,718	24,586	31,590	1,00	29,69	B	C
ATOM	4925	CD2	LEU	B	117	56,441	24,915	29,859	1,00	30,40	B	C
ATOM	4929	C	LEU	B	117	54,370	21,070	30,331	1,00	29,32	B	C
ATOM	4930	O	LEU	B	117	54,779	20,555	29,288	1,00	30,05	B	O
ATOM	4932	N	PHE	B	118	53,077	21,303	30,590	1,00	28,64	B	N
ATOM	4933	CA	PHE	B	118	52,013	21,120	29,597	1,00	28,88	B	C
ATOM	4935	CB	PHE	B	118	50,902	20,220	30,118	1,00	28,77	B	C
ATOM	4938	CG	PHE	B	118	51,351	18,792	30,383	1,00	29,52	B	C
ATOM	4939	CD1	PHE	B	118	51,410	17,870	29,341	1,00	29,74	B	C
ATOM	4941	CE1	PHE	B	118	51,792	16,559	29,565	1,00	30,24	B	C
ATOM	4943	CZ	PHE	B	118	52,127	16,150	30,862	1,00	31,72	B	C
ATOM	4945	CE2	PHE	B	118	52,074	17,085	31,916	1,00	31,26	B	C
ATOM	4947	CD2	PHE	B	118	51,694	18,388	31,666	1,00	27,58	B	C
ATOM	4949	C	PHE	B	118	51,404	22,439	29,164	1,00	29,07	B	C
ATOM	4950	O	PHE	B	118	51,197	23,331	29,994	1,00	27,95	B	O
ATOM	4952	N	PRO	B	119	51,110	22,563	27,846	1,00	28,85	B	N
ATOM	4953	CA	PRO	B	119	50,370	23,689	27,357	1,00	29,08	B	C
ATOM	4955	CB	PRO	B	119	50,581	23,610	25,828	1,00	29,47	B	C
ATOM	4958	CG	PRO	B	119	50,825	22,173	25,551	1,00	27,59	B	C
ATOM	4961	CD	PRO	B	119	51,535	21,655	26,748	1,00	28,76	B	C
ATOM	4964	C	PRO	B	119	48,905	23,523	27,676	1,00	29,41	B	C
ATOM	4965	O	PRO	B	119	48,489	22,445	28,012	1,00	28,81	B	O
ATOM	4966	N	PRO	B	120	48,112	24,571	27,481	1,00	30,58	B	N
ATOM	4967	CA	PRO	B	120	46,667	24,402	27,534	1,00	31,63	B	C
ATOM	4969	CB	PRO	B	120	46,140	25,736	27,012	1,00	31,81	B	C
ATOM	4972	CG	PRO	B	120	47,285	26,697	27,119	1,00	31,37	B	C
ATOM	4975	CD	PRO	B	120	48,497	25,885	26,947	1,00	30,69	B	C
ATOM	4978	C	PRO	B	120	46,177	23,297	26,609	1,00	32,75	B	C
ATOM	4979	O	PRO	B	120	46,730	23,117	25,535	1,00	32,30	B	O
ATOM	4980	N	SER	B	121	45,128	22,588	27,008	1,00	33,58	B	N
ATOM	4981	CA	SER	B	121	44,468	21,639	26,116	1,00	34,68	B	C
ATOM	4983	CB	SER	B	121	43,703	20,572	26,941	1,00	34,99	B	C
ATOM	4986	OG	SER	B	121	42,631	21,129	27,682	1,00	33,73	B	O
ATOM	4988	C	SER	B	121	43,524	22,392	25,166	1,00	35,61	B	C
ATOM	4989	O	SER	B	121	43,052	23,508	25,469	1,00	34,23	B	O
ATOM	4991	N	SER	B	122	43,255	21,795	24,002	1,00	37,23	B	N
ATOM	4992	CA	SER	B	122	42,310	22,414	23,043	1,00	38,71	B	C
ATOM	4994	CB	SER	B	122	42,265	21,648	21,714	1,00	39,38	B	C
ATOM	4997	OG	SER	B	122	42,325	20,241	21,915	1,00	42,79	B	O
ATOM	4999	C	SER	B	122	40,923	22,528	23,666	1,00	39,02	B	C
ATOM	5000	O	SER	B	122	40,256	23,571	23,551	1,00	39,37	B	O
ATOM	5002	N	GLU	B	123	40,514	21,471	24,366	1,00	39,29	B	N
ATOM	5003	CA	GLU	B	123	39,284	21,479	25,159	1,00	39,64	B	C

ES 2 540 538 T3

ATOM	5005	CB	GLU	B	123	39,170	20,215	26,024	1,00	40,21	B	C
ATOM	5008	CG	GLU	B	123	38,434	19,081	25,404	1,00	42,36	B	C
ATOM	5011	CD	GLU	B	123	38,516	17,826	26,248	1,00	47,11	B	C
ATOM	5012	OE1	GLU	B	123	37,957	17,844	27,384	1,00	45,43	B	O
ATOM	5013	OE2	GLU	B	123	39,137	16,831	25,771	1,00	49,13	B	O
ATOM	5014	C	GLU	B	123	39,193	22,683	26,074	1,00	39,30	B	C
ATOM	5015	O	GLU	B	123	38,186	23,380	26,062	1,00	39,84	B	O
ATOM	5017	N	GLU	B	124	40,224	22,944	26,872	1,00	39,19	B	N
ATOM	5018	CA	GLU	B	124	40,133	24,079	27,793	1,00	39,19	B	C
ATOM	5020	CB	GLU	B	124	41,328	24,137	28,741	1,00	38,76	B	C
ATOM	5023	CG	GLU	B	124	41,245	25,283	29,723	1,00	35,14	B	C
ATOM	5026	CD	GLU	B	124	42,464	25,423	30,584	1,00	34,43	B	C
ATOM	5027	OE1	GLU	B	124	43,587	24,965	30,197	1,00	30,32	B	O
ATOM	5028	OE2	GLU	B	124	42,294	26,018	31,674	1,00	32,82	B	O
ATOM	5029	C	GLU	B	124	39,988	25,383	27,023	1,00	40,51	B	C
ATOM	5030	O	GLU	B	124	39,249	26,260	27,425	1,00	41,00	B	O
ATOM	5032	N	LEU	B	125	40,705	25,527	25,917	1,00	43,02	B	N
ATOM	5033	CA	LEU	B	125	40,477	26,688	25,022	1,00	44,42	B	C
ATOM	5035	CB	LEU	B	125	41,364	26,604	23,783	1,00	44,01	B	C
ATOM	5038	CG	LEU	B	125	42,843	26,492	24,111	1,00	43,03	B	C
ATOM	5040	CD1	LEU	B	125	43,670	26,444	22,861	1,00	43,29	B	C
ATOM	5044	CD2	LEU	B	125	43,278	27,621	25,012	1,00	40,88	B	C
ATOM	5048	C	LEU	B	125	38,997	26,813	24,623	1,00	45,91	B	C
ATOM	5049	O	LEU	B	125	38,411	27,893	24,748	1,00	46,71	B	O
ATOM	5051	N	GLN	B	126	38,375	25,696	24,239	1,00	47,41	B	N
ATOM	5052	CA	GLN	B	126	36,972	25,706	23,784	1,00	48,25	B	C
ATOM	5054	CB	GLN	B	126	36,480	24,305	23,403	1,00	48,49	B	C
ATOM	5061	C	GLN	B	126	36,084	26,265	24,860	1,00	49,05	B	C
ATOM	5062	O	GLN	B	126	35,061	26,894	24,564	1,00	50,24	B	O
ATOM	5064	N	ALA	B	127	36,482	26,034	26,113	1,00	49,04	B	N
ATOM	5065	CA	ALA	B	127	35,796	26,571	27,277	1,00	48,64	B	C
ATOM	5067	CB	ALA	B	127	35,953	25,605	28,465	1,00	49,33	B	C
ATOM	5071	C	ALA	B	127	36,292	27,967	27,660	1,00	48,29	B	C
ATOM	5072	O	ALA	B	127	35,993	28,457	28,770	1,00	48,47	B	O
ATOM	5074	N	ASN	B	128	37,016	28,625	26,751	1,00	47,24	B	N
ATOM	5075	CA	ASN	B	128	37,485	30,003	26,974	1,00	46,66	B	C
ATOM	5077	CB	ASN	B	128	36,303	30,950	27,090	1,00	47,30	B	C
ATOM	5080	CG	ASN	B	128	36,169	31,831	25,876	1,00	50,69	B	C
ATOM	5081	OD1	ASN	B	128	36,862	32,865	25,766	1,00	50,19	B	O
ATOM	5082	ND2	ASN	B	128	35,281	31,425	24,936	1,00	51,95	B	N
ATOM	5085	C	ASN	B	128	38,437	30,243	28,131	1,00	44,76	B	C
ATOM	5086	O	ASN	B	128	38,410	31,285	28,746	1,00	44,52	B	O
ATOM	5088	N	LYS	B	129	39,311	29,279	28,383	1,00	43,77	B	N
ATOM	5089	CA	LYS	B	129	40,338	29,396	29,414	1,00	42,68	B	C
ATOM	5091	CB	LYS	B	129	39,928	28,633	30,677	1,00	43,16	B	C
ATOM	5094	CG	LYS	B	129	38,716	29,189	31,450	1,00	44,82	B	C
ATOM	5097	CD	LYS	B	129	37,757	28,051	31,878	1,00	46,72	B	C
ATOM	5100	CE	LYS	B	129	38,442	26,841	32,576	1,00	46,89	B	C
ATOM	5103	NZ	LYS	B	129	37,569	25,616	32,504	1,00	45,62	B	N
ATOM	5107	C	LYS	B	129	41,625	28,783	28,896	1,00	40,13	B	C
ATOM	5108	O	LYS	B	129	41,605	28,000	27,961	1,00	38,90	B	O
ATOM	5110	N	ALA	B	130	42,736	29,114	29,545	1,00	37,07	B	N
ATOM	5111	CA	ALA	B	130	44,010	28,516	29,194	1,00	34,91	B	C
ATOM	5113	CB	ALA	B	130	44,703	29,344	28,106	1,00	34,50	B	C
ATOM	5117	C	ALA	B	130	44,882	28,434	30,422	1,00	32,48	B	C
ATOM	5118	O	ALA	B	130	45,194	29,458	31,023	1,00	32,68	B	O
ATOM	5120	N	THR	B	131	45,306	27,223	30,759	1,00	29,90	B	N
ATOM	5121	CA	THR	B	131	46,216	27,004	31,854	1,00	28,77	B	C
ATOM	5123	CB	THR	B	131	45,572	26,140	32,942	1,00	28,26	B	C
ATOM	5125	OG1	THR	B	131	44,206	26,555	33,152	1,00	27,37	B	O

ES 2 540 538 T3

ATOM	5127	CG2	THR	B	131	46,385	26,242	34,209	1,00	25,68	B	C
ATOM	5131	C	THR	B	131	47,487	26,300	31,434	1,00	28,37	B	C
ATOM	5132	O	THR	B	131	47,436	25,233	30,839	1,00	28,94	B	O
ATOM	5134	N	LEU	B	132	48,627	26,876	31,775	1,00	28,03	B	N
ATOM	5135	CA	LEU	B	132	49,893	26,201	31,610	1,00	28,70	B	C
ATOM	5137	CB	LEU	B	132	50,988	27,180	31,197	1,00	28,66	B	C
ATOM	5140	CG	LEU	B	132	50,944	27,714	29,765	1,00	29,66	B	C
ATOM	5142	CD1	LEU	B	132	49,823	28,659	29,629	1,00	27,92	B	C
ATOM	5146	CD2	LEU	B	132	52,277	28,384	29,378	1,00	29,05	B	C
ATOM	5150	C	LEU	B	132	50,224	25,541	32,946	1,00	29,06	B	C
ATOM	5151	O	LEU	B	132	50,110	26,178	34,014	1,00	29,78	B	O
ATOM	5153	N	VAL	B	133	50,587	24,266	32,897	1,00	29,37	B	N
ATOM	5154	CA	VAL	B	133	50,880	23,475	34,093	1,00	29,13	B	C
ATOM	5156	CB	VAL	B	133	50,056	22,166	34,098	1,00	29,87	B	C
ATOM	5158	CG1	VAL	B	133	50,393	21,309	35,325	1,00	28,21	B	C
ATOM	5162	CG2	VAL	B	133	48,537	22,485	34,038	1,00	31,34	B	C
ATOM	5166	C	VAL	B	133	52,340	23,095	34,088	1,00	29,42	B	C
ATOM	5167	O	VAL	B	133	52,801	22,469	33,146	1,00	29,30	B	O
ATOM	5169	N	CYS	B	134	53,064	23,483	35,132	1,00	29,29	B	N
ATOM	5170	CA	CYS	B	134	54,452	23,145	35,296	1,00	29,34	B	C
ATOM	5172	CB	CYS	B	134	55,289	24,409	35,336	1,00	29,13	B	C
ATOM	5175	SG	CYS	B	134	57,098	24,151	35,333	1,00	29,97	B	S
ATOM	5177	C	CYS	B	134	54,607	22,306	36,586	1,00	29,28	B	C
ATOM	5178	O	CYS	B	134	54,474	22,834	37,677	1,00	28,99	B	O
ATOM	5180	N	LEU	B	135	54,875	21,013	36,411	1,00	29,23	B	N
ATOM	5181	CA	LEU	B	135	54,994	20,044	37,484	1,00	30,31	B	C
ATOM	5183	CB	LEU	B	135	54,263	18,779	37,082	1,00	30,20	B	C
ATOM	5186	CG	LEU	B	135	52,844	19,148	36,640	1,00	31,16	B	C
ATOM	5188	CD1	LEU	B	135	52,150	17,981	36,015	1,00	29,38	B	C
ATOM	5192	CD2	LEU	B	135	52,027	19,749	37,823	1,00	27,60	B	C
ATOM	5196	C	LEU	B	135	56,454	19,711	37,809	1,00	31,16	B	C
ATOM	5197	O	LEU	B	135	57,252	19,341	36,937	1,00	30,32	B	O
ATOM	5199	N	VAL	B	136	56,791	19,863	39,089	1,00	31,55	B	N
ATOM	5200	CA	VAL	B	136	58,120	19,650	39,584	1,00	31,27	B	C
ATOM	5202	CB	VAL	B	136	58,613	20,933	40,182	1,00	31,12	B	C
ATOM	5204	CG1	VAL	B	136	60,137	20,867	40,439	1,00	29,99	B	C
ATOM	5208	CG2	VAL	B	136	58,219	22,087	39,268	1,00	29,83	B	C
ATOM	5212	C	VAL	B	136	58,087	18,573	40,644	1,00	32,87	B	C
ATOM	5213	O	VAL	B	136	57,399	18,712	41,658	1,00	32,71	B	O
ATOM	5215	N	SER	B	137	58,824	17,494	40,435	1,00	34,81	B	N
ATOM	5216	CA	SER	B	137	58,807	16,423	41,423	1,00	36,46	B	C
ATOM	5218	CB	SER	B	137	57,894	15,318	40,913	1,00	37,08	B	C
ATOM	5221	OG	SER	B	137	58,410	14,841	39,703	1,00	39,60	B	O
ATOM	5223	C	SER	B	137	60,171	15,820	41,733	1,00	37,09	B	C
ATOM	5224	O	SER	B	137	61,166	16,101	41,048	1,00	36,35	B	O
ATOM	5226	N	ASP	B	138	60,172	14,980	42,775	1,00	38,38	B	N
ATOM	5227	CA	ASP	B	138	61,293	14,138	43,185	1,00	39,25	B	C
ATOM	5229	CB	ASP	B	138	61,579	13,076	42,126	1,00	40,36	B	C
ATOM	5232	CG	ASP	B	138	60,402	12,124	41,942	1,00	43,81	B	C
ATOM	5233	OD1	ASP	B	138	60,046	11,448	42,938	1,00	46,17	B	O
ATOM	5234	OD2	ASP	B	138	59,832	12,052	40,819	1,00	48,58	B	O
ATOM	5235	C	ASP	B	138	62,517	14,968	43,469	1,00	39,42	B	C
ATOM	5236	O	ASP	B	138	63,614	14,654	43,024	1,00	39,90	B	O
ATOM	5238	N	PHE	B	139	62,329	16,047	44,221	1,00	39,40	B	N
ATOM	5239	CA	PHE	B	139	63,454	16,869	44,588	1,00	38,84	B	C
ATOM	5241	CB	PHE	B	139	63,360	18,221	43,887	1,00	38,73	B	C
ATOM	5244	CG	PHE	B	139	62,259	19,102	44,360	1,00	37,86	B	C
ATOM	5245	CD1	PHE	B	139	62,479	20,009	45,386	1,00	37,21	B	C
ATOM	5247	CE1	PHE	B	139	61,501	20,866	45,809	1,00	35,89	B	C
ATOM	5249	CZ	PHE	B	139	60,266	20,844	45,187	1,00	37,19	B	C

ES 2 540 538 T3

ATOM	5251	CE2	PHE	B	139	60,028	19,946	44,144	1,00	35,88	B	C
ATOM	5253	CD2	PHE	B	139	61,032	19,099	43,725	1,00	38,06	B	C
ATOM	5255	C	PHE	B	139	63,692	16,992	46,103	1,00	38,94	B	C
ATOM	5256	O	PHE	B	139	62,774	16,800	46,909	1,00	38,19	B	O
ATOM	5258	N	TYR	B	140	64,954	17,260	46,457	1,00	38,69	B	N
ATOM	5259	CA	TYR	B	140	65,400	17,416	47,849	1,00	38,87	B	C
ATOM	5261	CB	TYR	B	140	65,667	16,053	48,509	1,00	38,64	B	C
ATOM	5264	CG	TYR	B	140	65,840	16,259	49,975	1,00	39,71	B	C
ATOM	5265	CD1	TYR	B	140	64,733	16,192	50,836	1,00	40,11	B	C
ATOM	5267	CE1	TYR	B	140	64,861	16,417	52,192	1,00	41,41	B	C
ATOM	5269	CZ	TYR	B	140	66,111	16,754	52,728	1,00	42,56	B	C
ATOM	5270	OH	TYR	B	140	66,225	17,001	54,093	1,00	42,55	B	O
ATOM	5272	CE2	TYR	B	140	67,224	16,854	51,881	1,00	41,65	B	C
ATOM	5274	CD2	TYR	B	140	67,077	16,613	50,509	1,00	39,71	B	C
ATOM	5276	C	TYR	B	140	66,690	18,246	47,887	1,00	38,73	B	C
ATOM	5277	O	TYR	B	140	67,644	17,901	47,182	1,00	38,34	B	O
ATOM	5279	N	PRO	B	141	66,758	19,301	48,723	1,00	38,58	B	N
ATOM	5280	CA	PRO	B	141	65,806	19,775	49,738	1,00	38,84	B	C
ATOM	5282	CB	PRO	B	141	66,551	20,911	50,469	1,00	38,35	B	C
ATOM	5285	CG	PRO	B	141	67,879	21,049	49,847	1,00	38,48	B	C
ATOM	5288	CD	PRO	B	141	67,977	20,125	48,662	1,00	38,82	B	C
ATOM	5291	C	PRO	B	141	64,491	20,297	49,154	1,00	39,02	B	C
ATOM	5292	O	PRO	B	141	64,356	20,404	47,922	1,00	38,51	B	O
ATOM	5293	N	GLY	B	142	63,544	20,617	50,036	1,00	38,81	B	N
ATOM	5294	CA	GLY	B	142	62,183	21,010	49,642	1,00	39,10	B	C
ATOM	5297	C	GLY	B	142	62,057	22,504	49,497	1,00	39,64	B	C
ATOM	5298	O	GLY	B	142	61,333	23,151	50,269	1,00	40,67	B	O
ATOM	5300	N	ALA	B	143	62,775	23,054	48,520	1,00	39,66	B	N
ATOM	5301	CA	ALA	B	143	62,779	24,481	48,217	1,00	39,56	B	C
ATOM	5303	CB	ALA	B	143	63,810	25,234	49,104	1,00	39,91	B	C
ATOM	5307	C	ALA	B	143	63,133	24,638	46,728	1,00	39,33	B	C
ATOM	5308	O	ALA	B	143	64,197	24,199	46,294	1,00	39,51	B	O
ATOM	5310	N	VAL	B	144	62,209	25,199	45,951	1,00	38,72	B	N
ATOM	5311	CA	VAL	B	144	62,446	25,521	44,562	1,00	38,17	B	C
ATOM	5313	CB	VAL	B	144	61,696	24,615	43,567	1,00	38,59	B	C
ATOM	5315	CG1	VAL	B	144	62,308	23,209	43,482	1,00	39,08	B	C
ATOM	5319	CG2	VAL	B	144	60,199	24,571	43,914	1,00	38,38	B	C
ATOM	5323	C	VAL	B	144	61,899	26,895	44,322	1,00	37,45	B	C
ATOM	5324	O	VAL	B	144	61,046	27,371	45,050	1,00	36,68	B	O
ATOM	5326	N	THR	B	145	62,395	27,519	43,274	1,00	37,61	B	N
ATOM	5327	CA	THR	B	145	61,813	28,732	42,754	1,00	38,07	B	C
ATOM	5329	CB	THR	B	145	62,852	29,820	42,669	1,00	38,08	B	C
ATOM	5331	OG1	THR	B	145	63,285	30,130	44,002	1,00	40,40	B	O
ATOM	5333	CG2	THR	B	145	62,260	31,082	41,988	1,00	39,07	B	C
ATOM	5337	C	THR	B	145	61,305	28,392	41,369	1,00	37,84	B	C
ATOM	5338	O	THR	B	145	61,972	27,672	40,628	1,00	37,63	B	O
ATOM	5340	N	VAL	B	146	60,118	28,891	41,031	1,00	37,94	B	N
ATOM	5341	CA	VAL	B	146	59,553	28,710	39,693	1,00	36,89	B	C
ATOM	5343	CB	VAL	B	146	58,250	27,942	39,778	1,00	36,61	B	C
ATOM	5345	CG1	VAL	B	146	57,671	27,717	38,395	1,00	36,06	B	C
ATOM	5349	CG2	VAL	B	146	58,473	26,634	40,507	1,00	35,72	B	C
ATOM	5353	C	VAL	B	146	59,284	30,095	39,128	1,00	36,84	B	C
ATOM	5354	O	VAL	B	146	58,672	30,898	39,810	1,00	35,92	B	O
ATOM	5356	N	ALA	B	147	59,766	30,375	37,911	1,00	36,67	B	N
ATOM	5357	CA	ALA	B	147	59,489	31,633	37,226	1,00	36,88	B	C
ATOM	5359	CB	ALA	B	147	60,723	32,471	37,151	1,00	36,32	B	C
ATOM	5363	C	ALA	B	147	58,952	31,335	35,825	1,00	37,33	B	C
ATOM	5364	O	ALA	B	147	59,281	30,300	35,244	1,00	38,09	B	O
ATOM	5366	N	TRP	B	148	58,111	32,225	35,292	1,00	37,60	B	N
ATOM	5367	CA	TRP	B	148	57,531	32,044	33,965	1,00	37,08	B	C

ES 2 540 538 T3

ATOM	5369	CB	TRP	B	148	56,002	32,059	34,004	1,00	36,67	B	C
ATOM	5372	CG	TRP	B	148	55,391	30,916	34,702	1,00	34,79	B	C
ATOM	5373	CD1	TRP	B	148	55,182	30,811	36,039	1,00	31,59	B	C
ATOM	5375	NE1	TRP	B	148	54,592	29,618	36,330	1,00	32,26	B	N
ATOM	5377	CE2	TRP	B	148	54,391	28,913	35,174	1,00	32,20	B	C
ATOM	5378	CD2	TRP	B	148	54,867	29,713	34,114	1,00	32,25	B	C
ATOM	5379	CE3	TRP	B	148	54,781	29,229	32,812	1,00	32,19	B	C
ATOM	5381	CZ3	TRP	B	148	54,213	27,953	32,607	1,00	33,91	B	C
ATOM	5383	CH2	TRP	B	148	53,728	27,189	33,698	1,00	33,41	B	C
ATOM	5385	CZ2	TRP	B	148	53,819	27,651	34,979	1,00	31,18	B	C
ATOM	5387	C	TRP	B	148	57,994	33,137	33,031	1,00	37,97	B	C
ATOM	5388	O	TRP	B	148	58,302	34,244	33,455	1,00	38,59	B	O
ATOM	5390	N	LYS	B	149	58,031	32,829	31,745	1,00	38,55	B	N
ATOM	5391	CA	LYS	B	149	58,363	33,828	30,739	1,00	39,18	B	C
ATOM	5393	CB	LYS	B	149	59,815	33,701	30,318	1,00	39,83	B	C
ATOM	5396	CG	LYS	B	149	60,807	34,144	31,386	1,00	43,10	B	C
ATOM	5399	CD	LYS	B	149	62,219	33,750	31,010	1,00	47,23	B	C
ATOM	5402	CE	LYS	B	149	63,229	34,110	32,111	1,00	50,42	B	C
ATOM	5405	NZ	LYS	B	149	63,034	35,457	32,722	1,00	50,83	B	N
ATOM	5409	C	LYS	B	149	57,462	33,674	29,526	1,00	38,50	B	C
ATOM	5410	O	LYS	B	149	57,044	32,559	29,177	1,00	37,90	B	O
ATOM	5412	N	ALA	B	150	57,142	34,813	28,916	1,00	38,20	B	N
ATOM	5413	CA	ALA	B	150	56,412	34,866	27,663	1,00	38,10	B	C
ATOM	5415	CB	ALA	B	150	55,112	35,647	27,831	1,00	37,51	B	C
ATOM	5419	C	ALA	B	150	57,331	35,543	26,662	1,00	38,24	B	C
ATOM	5420	O	ALA	B	150	57,658	36,729	26,827	1,00	38,25	B	O
ATOM	5422	N	ASP	B	151	57,762	34,789	25,647	1,00	38,58	B	N
ATOM	5423	CA	ASP	B	151	58,694	35,291	24,634	1,00	39,34	B	C
ATOM	5425	CB	ASP	B	151	58,002	36,342	23,749	1,00	39,38	B	C
ATOM	5428	CG	ASP	B	151	56,932	35,748	22,856	1,00	38,28	B	C
ATOM	5429	OD1	ASP	B	151	57,105	34,619	22,345	1,00	37,99	B	O
ATOM	5430	OD2	ASP	B	151	55,907	36,422	22,654	1,00	40,49	B	O
ATOM	5431	C	ASP	B	151	59,941	35,897	25,263	1,00	40,78	B	C
ATOM	5432	O	ASP	B	151	60,359	36,997	24,884	1,00	41,31	B	O
ATOM	5434	N	GLY	B	152	60,513	35,197	26,244	1,00	42,22	B	N
ATOM	5435	CA	GLY	B	152	61,663	35,692	26,999	1,00	43,63	B	C
ATOM	5438	C	GLY	B	152	61,417	36,807	28,019	1,00	44,79	B	C
ATOM	5439	O	GLY	B	152	62,353	37,212	28,712	1,00	46,34	B	O
ATOM	5441	N	SER	B	153	60,196	37,324	28,128	1,00	44,97	B	N
ATOM	5442	CA	SER	B	153	59,892	38,335	29,146	1,00	45,44	B	C
ATOM	5444	CB	SER	B	153	58,984	39,412	28,577	1,00	45,53	B	C
ATOM	5447	OG	SER	B	153	59,726	40,243	27,711	1,00	47,92	B	O
ATOM	5449	C	SER	B	153	59,203	37,712	30,366	1,00	45,45	B	C
ATOM	5450	O	SER	B	153	58,322	36,877	30,200	1,00	44,92	B	O
ATOM	5452	N	PRO	B	154	59,590	38,133	31,591	1,00	45,21	B	N
ATOM	5453	CA	PRO	B	154	58,983	37,548	32,782	1,00	44,79	B	C
ATOM	5455	CB	PRO	B	154	59,753	38,214	33,930	1,00	45,09	B	C
ATOM	5458	CG	PRO	B	154	61,071	38,637	33,301	1,00	45,28	B	C
ATOM	5461	CD	PRO	B	154	60,652	39,095	31,944	1,00	45,11	B	C
ATOM	5464	C	PRO	B	154	57,490	37,838	32,908	1,00	44,72	B	C
ATOM	5465	O	PRO	B	154	57,037	38,931	32,614	1,00	44,69	B	O
ATOM	5466	N	VAL	B	155	56,734	36,847	33,351	1,00	44,39	B	N
ATOM	5467	CA	VAL	B	155	55,303	36,980	33,523	1,00	44,14	B	C
ATOM	5469	CB	VAL	B	155	54,560	35,939	32,663	1,00	44,34	B	C
ATOM	5471	CG1	VAL	B	155	53,080	36,251	32,611	1,00	43,73	B	C
ATOM	5475	CG2	VAL	B	155	55,157	35,886	31,252	1,00	43,97	B	C
ATOM	5479	C	VAL	B	155	55,038	36,681	34,980	1,00	44,31	B	C
ATOM	5480	O	VAL	B	155	55,504	35,659	35,462	1,00	43,71	B	O
ATOM	5482	N	LYS	B	156	54,317	37,566	35,675	1,00	44,58	B	N
ATOM	5483	CA	LYS	B	156	54,007	37,392	37,112	1,00	44,90	B	C

ES 2 540 538 T3

ATOM	5485	CB	LYS	B	156	54,625	38,535	37,933	1,00	45,11	B	C
ATOM	5488	CG	LYS	B	156	56,155	38,676	37,780	1,00	46,55	B	C
ATOM	5491	CD	LYS	B	156	56,848	39,245	39,049	1,00	47,64	B	C
ATOM	5496	C	LYS	B	156	52,490	37,316	37,360	1,00	44,50	B	C
ATOM	5497	O	LYS	B	156	51,995	36,530	38,195	1,00	44,84	B	O
ATOM	5499	N	VAL	B	157	51,763	38,148	36,629	1,00	43,41	B	N
ATOM	5500	CA	VAL	B	157	50,314	38,140	36,635	1,00	42,53	B	C
ATOM	5502	CB	VAL	B	157	49,793	39,249	35,678	1,00	42,60	B	C
ATOM	5504	CG1	VAL	B	157	48,348	38,998	35,298	1,00	42,53	B	C
ATOM	5508	CG2	VAL	B	157	50,026	40,661	36,305	1,00	41,89	B	C
ATOM	5512	C	VAL	B	157	49,763	36,772	36,205	1,00	41,68	B	C
ATOM	5513	O	VAL	B	157	50,118	36,264	35,155	1,00	42,12	B	O
ATOM	5515	N	GLY	B	158	48,905	36,179	37,027	1,00	40,39	B	N
ATOM	5516	CA	GLY	B	158	48,251	34,919	36,683	1,00	39,40	B	C
ATOM	5519	C	GLY	B	158	48,990	33,667	37,118	1,00	38,51	B	C
ATOM	5520	O	GLY	B	158	48,563	32,553	36,799	1,00	38,15	B	O
ATOM	5522	N	VAL	B	159	50,087	33,842	37,854	1,00	37,92	B	N
ATOM	5523	CA	VAL	B	159	50,917	32,719	38,334	1,00	36,78	B	C
ATOM	5525	CB	VAL	B	159	52,385	33,137	38,413	1,00	36,34	B	C
ATOM	5527	CG1	VAL	B	159	53,249	32,062	39,042	1,00	33,56	B	C
ATOM	5531	CG2	VAL	B	159	52,877	33,485	37,001	1,00	35,87	B	C
ATOM	5535	C	VAL	B	159	50,466	32,279	39,705	1,00	36,78	B	C
ATOM	5536	O	VAL	B	159	50,287	33,104	40,580	1,00	35,71	B	O
ATOM	5538	N	GLU	B	160	50,275	30,971	39,885	1,00	37,09	B	N
ATOM	5539	CA	GLU	B	160	49,961	30,414	41,196	1,00	37,61	B	C
ATOM	5541	CB	GLU	B	160	48,479	30,077	41,334	1,00	38,24	B	C
ATOM	5544	CG	GLU	B	160	47,508	31,177	40,949	1,00	41,95	B	C
ATOM	5547	CD	GLU	B	160	46,950	31,985	42,141	1,00	48,01	B	C
ATOM	5548	OE1	GLU	B	160	47,725	32,317	43,098	1,00	47,23	B	O
ATOM	5549	OE2	GLU	B	160	45,720	32,303	42,071	1,00	49,63	B	O
ATOM	5550	C	GLU	B	160	50,787	29,168	41,409	1,00	37,03	B	C
ATOM	5551	O	GLU	B	160	50,680	28,201	40,656	1,00	36,74	B	O
ATOM	5553	N	THR	B	161	51,618	29,199	42,442	1,00	36,75	B	N
ATOM	5554	CA	THR	B	161	52,545	28,116	42,705	1,00	36,96	B	C
ATOM	5556	CB	THR	B	161	53,985	28,620	42,599	1,00	37,07	B	C
ATOM	5558	OG1	THR	B	161	54,204	29,087	41,275	1,00	37,64	B	O
ATOM	5560	CG2	THR	B	161	54,985	27,513	42,926	1,00	37,00	B	C
ATOM	5564	C	THR	B	161	52,304	27,547	44,089	1,00	36,23	B	C
ATOM	5565	O	THR	B	161	52,199	28,300	45,036	1,00	36,28	B	O
ATOM	5567	N	THR	B	162	52,219	26,225	44,182	1,00	36,70	B	N
ATOM	5568	CA	THR	B	162	52,089	25,530	45,450	1,00	37,11	B	C
ATOM	5570	CB	THR	B	162	51,730	24,035	45,295	1,00	37,26	B	C
ATOM	5572	OG1	THR	B	162	52,830	23,303	44,724	1,00	34,85	B	O
ATOM	5574	CG2	THR	B	162	50,471	23,863	44,473	1,00	35,96	B	C
ATOM	5578	C	THR	B	162	53,396	25,578	46,226	1,00	38,42	B	C
ATOM	5579	O	THR	B	162	54,473	25,707	45,641	1,00	37,97	B	O
ATOM	5581	N	LYS	B	163	53,285	25,455	47,553	1,00	39,22	B	N
ATOM	5582	CA	LYS	B	163	54,446	25,267	48,423	1,00	39,56	B	C
ATOM	5584	CB	LYS	B	163	54,077	25,486	49,916	1,00	40,66	B	C
ATOM	5587	CG	LYS	B	163	53,484	26,891	50,276	1,00	39,70	B	C
ATOM	5593	C	LYS	B	163	54,902	23,835	48,192	1,00	39,65	B	C
ATOM	5594	O	LYS	B	163	54,091	22,978	47,872	1,00	38,93	B	O
ATOM	5596	N	PRO	B	164	56,202	23,559	48,357	1,00	40,07	B	N
ATOM	5597	CA	PRO	B	164	56,575	22,169	48,168	1,00	40,62	B	C
ATOM	5599	CB	PRO	B	164	58,095	22,168	48,377	1,00	40,78	B	C
ATOM	5602	CG	PRO	B	164	58,522	23,659	48,259	1,00	40,86	B	C
ATOM	5605	CD	PRO	B	164	57,325	24,387	48,824	1,00	39,70	B	C
ATOM	5608	C	PRO	B	164	55,906	21,283	49,205	1,00	41,42	B	C
ATOM	5609	O	PRO	B	164	55,646	21,727	50,319	1,00	41,50	B	O
ATOM	5610	N	SER	B	165	55,656	20,039	48,841	1,00	42,24	B	N

ES 2 540 538 T3

ATOM	5611	CA	SEP	B	165	55,031	19,093	49,735	1,00	43,51	B	C
ATOM	5613	CB	SEP	B	165	53,538	19,008	49,408	1,00	43,76	B	C
ATOM	5616	OG	SEP	B	165	53,110	17,665	49,289	1,00	46,75	B	O
ATOM	5618	C	SEP	B	165	55,732	17,728	49,625	1,00	44,15	B	C
ATOM	5619	O	SEP	B	165	56,188	17,335	48,552	1,00	43,12	B	O
ATOM	5621	N	LYS	B	166	55,842	17,029	50,751	1,00	45,13	B	N
ATOM	5622	CA	LYS	B	166	56,591	15,783	50,822	1,00	46,50	B	C
ATOM	5624	CB	LYS	B	166	56,911	15,414	52,287	1,00	46,47	B	C
ATOM	5627	CG	LYS	B	166	57,761	14,144	52,454	1,00	47,06	B	C
ATOM	5633	C	LYS	B	166	55,765	14,713	50,177	1,00	47,30	B	C
ATOM	5634	O	LYS	B	166	54,626	14,523	50,541	1,00	48,32	B	O
ATOM	5636	N	GLN	B	167	56,309	14,038	49,186	1,00	48,90	B	N
ATOM	5637	CA	GLN	B	167	55,594	12,923	48,591	1,00	50,78	B	C
ATOM	5639	CB	GLN	B	167	55,890	12,812	47,080	1,00	51,03	B	C
ATOM	5642	CG	GLN	B	167	57,326	12,520	46,683	1,00	52,14	B	C
ATOM	5645	CD	GLN	B	167	57,732	13,092	45,293	1,00	52,29	B	C
ATOM	5646	OE1	GLN	B	167	57,390	14,222	44,926	1,00	52,37	B	O
ATOM	5647	NE2	GLN	B	167	58,490	12,307	44,547	1,00	50,67	B	N
ATOM	5650	C	GLN	B	167	55,908	11,642	49,394	1,00	52,15	B	C
ATOM	5651	O	GLN	B	167	56,601	11,692	50,421	1,00	51,99	B	O
ATOM	5653	N	SER	B	168	55,376	10,509	48,948	1,00	53,70	B	N
ATOM	5654	CA	SER	B	168	55,536	9,252	49,675	1,00	54,82	B	C
ATOM	5656	CB	SER	B	168	54,660	8,147	49,057	1,00	54,87	B	C
ATOM	5659	OG	SER	B	168	55,053	7,863	47,720	1,00	56,89	B	O
ATOM	5661	C	SER	B	168	57,009	8,802	49,733	1,00	55,31	B	C
ATOM	5662	O	SER	B	168	57,455	8,237	50,745	1,00	56,02	B	O
ATOM	5664	N	ASN	B	170	57,776	9,055	48,671	1,00	55,04	B	N
ATOM	5665	CA	ASN	B	170	59,156	8,582	48,637	1,00	54,59	B	C
ATOM	5667	CB	ASN	B	170	59,598	8,252	47,196	1,00	54,95	B	C
ATOM	5670	CG	ASN	B	170	59,884	9,495	46,343	1,00	55,81	B	C
ATOM	5671	OD1	ASN	B	170	59,817	10,627	46,819	1,00	56,28	B	O
ATOM	5672	ND2	ASN	B	170	60,233	9,270	45,073	1,00	56,82	B	N
ATOM	5675	C	ASN	B	170	60,098	9,553	49,338	1,00	53,91	B	C
ATOM	5676	O	ASN	B	170	61,303	9,478	49,166	1,00	54,00	B	O
ATOM	5678	N	ASN	B	171	59,527	10,470	50,120	1,00	53,33	B	N
ATOM	5679	CA	ASN	B	171	60,267	11,404	50,981	1,00	52,76	B	C
ATOM	5681	CB	ASN	B	171	61,198	10,649	51,950	1,00	53,39	B	C
ATOM	5684	CG	ASN	B	171	60,419	9,875	52,994	1,00	55,56	B	C
ATOM	5685	OD1	ASN	B	171	59,451	10,391	53,571	1,00	57,85	B	O
ATOM	5686	ND2	ASN	B	171	60,817	8,623	53,228	1,00	58,68	B	N
ATOM	5689	C	ASN	B	171	61,008	12,527	50,276	1,00	51,09	B	C
ATOM	5690	O	ASN	B	171	61,681	13,307	50,924	1,00	49,37	B	O
ATOM	5692	N	LYS	B	172	60,852	12,614	48,952	1,00	50,53	B	N
ATOM	5693	CA	LYS	B	172	61,253	13,806	48,177	1,00	49,50	B	C
ATOM	5695	CB	LYS	B	172	61,724	13,406	46,774	1,00	49,90	B	C
ATOM	5698	CG	LYS	B	172	62,912	12,447	46,784	1,00	51,54	B	C
ATOM	5701	CD	LYS	B	172	63,163	11,827	45,417	1,00	52,55	B	C
ATOM	5704	CE	LYS	B	172	64,266	10,780	45,475	1,00	53,48	B	C
ATOM	5707	NZ	LYS	B	172	64,724	10,400	44,118	1,00	53,77	B	N
ATOM	5711	C	LYS	B	172	60,068	14,771	48,103	1,00	47,67	B	C
ATOM	5712	O	LYS	B	172	59,006	14,486	48,649	1,00	47,85	B	O
ATOM	5714	N	TYR	B	173	60,269	15,916	47,458	1,00	45,35	B	N
ATOM	5715	CA	TYR	B	173	59,280	16,963	47,405	1,00	43,81	B	C
ATOM	5717	CB	TYR	B	173	59,888	18,272	47,885	1,00	43,88	B	C
ATOM	5720	CG	TYR	B	173	60,085	18,278	49,379	1,00	46,42	B	C
ATOM	5721	CD1	TYR	B	173	59,120	18,850	50,230	1,00	46,48	B	C
ATOM	5723	CE1	TYR	B	173	59,285	18,840	51,595	1,00	48,53	B	C
ATOM	5725	CZ	TYR	B	173	60,417	18,242	52,134	1,00	48,27	B	C
ATOM	5726	OH	TYR	B	173	60,581	18,219	53,478	1,00	49,67	B	O
ATOM	5728	CE2	TYR	B	173	61,377	17,664	51,325	1,00	47,26	B	C

ES 2 540 538 T3

ATOM	5730	CD2	TYR	B	173	61,205	17,680	49,954	1,00	46,35	B	C
ATOM	5732	C	TYR	B	173	58,704	17,156	46,014	1,00	42,25	B	C
ATOM	5733	O	TYR	B	173	59,372	16,924	44,998	1,00	42,60	B	O
ATOM	5735	N	ALA	B	174	57,462	17,613	45,986	1,00	40,04	B	N
ATOM	5736	CA	ALA	B	174	56,792	17,988	44,756	1,00	38,72	B	C
ATOM	5738	CB	ALA	B	174	55,662	17,005	44,415	1,00	38,56	B	C
ATOM	5742	C	ALA	B	174	56,247	19,385	44,927	1,00	37,30	B	C
ATOM	5743	O	ALA	B	174	56,001	19,846	46,043	1,00	36,61	B	O
ATOM	5745	N	ALA	B	175	56,078	20,056	43,803	1,00	35,50	B	N
ATOM	5746	CA	ALA	B	175	55,457	21,357	43,755	1,00	33,86	B	C
ATOM	5748	CB	ALA	B	175	56,461	22,449	44,047	1,00	33,14	B	C
ATOM	5752	C	ALA	B	175	54,854	21,511	42,364	1,00	33,20	B	C
ATOM	5753	O	ALA	B	175	55,210	20,761	41,442	1,00	32,44	B	O
ATOM	5755	N	SER	B	176	53,936	22,466	42,244	1,00	32,17	B	N
ATOM	5756	CA	SER	B	176	53,152	22,721	41,045	1,00	31,72	B	C
ATOM	5758	CB	SER	B	176	51,708	22,274	41,248	1,00	31,34	B	C
ATOM	5761	OG	SER	B	176	51,592	20,900	41,064	1,00	34,38	B	O
ATOM	5763	C	SER	B	176	53,118	24,233	40,845	1,00	31,33	B	C
ATOM	5764	O	SER	B	176	53,034	24,973	41,837	1,00	31,20	B	O
ATOM	5766	N	SER	B	177	53,189	24,683	39,589	1,00	30,08	B	N
ATOM	5767	CA	SER	B	177	52,874	26,065	39,235	1,00	29,65	B	C
ATOM	5769	CB	SER	B	177	54,113	26,879	38,922	1,00	29,22	B	C
ATOM	5772	OG	SER	B	177	53,784	28,259	38,851	1,00	29,12	B	O
ATOM	5774	C	SER	B	177	51,912	26,095	38,062	1,00	29,83	B	C
ATOM	5775	O	SER	B	177	52,058	25,298	37,127	1,00	30,25	B	O
ATOM	5777	N	TYR	B	178	50,934	27,002	38,142	1,00	29,13	B	N
ATOM	5778	CA	TYR	B	178	49,906	27,175	37,139	1,00	28,97	B	C
ATOM	5780	CB	TYR	B	178	48,518	26,948	37,738	1,00	28,43	B	C
ATOM	5783	CG	TYR	B	178	48,301	25,510	38,112	1,00	28,69	B	C
ATOM	5784	CD1	TYR	B	178	47,701	24,636	37,233	1,00	29,90	B	C
ATOM	5786	CE1	TYR	B	178	47,525	23,275	37,561	1,00	30,52	B	C
ATOM	5788	CZ	TYR	B	178	47,984	22,785	38,776	1,00	28,98	B	C
ATOM	5789	OH	TYR	B	178	47,824	21,457	39,060	1,00	28,34	B	O
ATOM	5791	CE2	TYR	B	178	48,604	23,635	39,675	1,00	28,91	B	C
ATOM	5793	CD2	TYR	B	178	48,756	25,001	39,340	1,00	30,23	B	C
ATOM	5795	C	TYR	B	178	50,017	28,582	36,613	1,00	29,76	B	C
ATOM	5796	O	TYR	B	178	50,111	29,518	37,394	1,00	29,41	B	O
ATOM	5798	N	LEU	B	179	50,068	28,727	35,290	1,00	30,41	B	N
ATOM	5799	CA	LEU	B	179	49,954	30,037	34,664	1,00	31,13	B	C
ATOM	5801	CB	LEU	B	179	51,123	30,332	33,700	1,00	30,39	B	C
ATOM	5804	CG	LEU	B	179	51,066	31,662	32,920	1,00	30,45	B	C
ATOM	5806	CD1	LEU	B	179	50,772	32,823	33,840	1,00	29,09	B	C
ATOM	5810	CD2	LEU	B	179	52,376	31,962	32,128	1,00	28,46	B	C
ATOM	5814	C	LEU	B	179	48,614	30,040	33,956	1,00	31,80	B	C
ATOM	5815	O	LEU	B	179	48,389	29,260	33,010	1,00	32,23	B	O
ATOM	5817	N	SER	B	180	47,730	30,903	34,436	1,00	32,55	B	N
ATOM	5818	CA	SER	B	180	46,399	31,039	33,897	1,00	33,30	B	C
ATOM	5820	CB	SER	B	180	45,420	31,208	35,047	1,00	33,56	B	C
ATOM	5823	OG	SER	B	180	45,383	29,998	35,816	1,00	36,31	B	O
ATOM	5825	C	SER	B	180	46,368	32,243	32,948	1,00	33,77	B	C
ATOM	5826	O	SER	B	180	46,902	33,304	33,251	1,00	34,62	B	O
ATOM	5828	N	LEU	B	181	45,781	32,061	31,782	1,00	33,76	B	N
ATOM	5829	CA	LEU	B	181	45,821	33,085	30,740	1,00	34,18	B	C
ATOM	5831	CB	LEU	B	181	46,951	32,786	29,739	1,00	34,13	B	C
ATOM	5834	CG	LEU	B	181	48,397	32,741	30,193	1,00	35,50	B	C
ATOM	5836	CD1	LEU	B	181	49,265	32,022	29,111	1,00	35,57	B	C
ATOM	5840	CD2	LEU	B	181	48,928	34,136	30,493	1,00	33,08	B	C
ATOM	5844	C	LEU	B	181	44,523	32,992	29,982	1,00	33,46	B	C
ATOM	5845	O	LEU	B	181	43,880	31,928	29,979	1,00	33,70	B	O
ATOM	5847	N	THR	B	182	44,154	34,076	29,310	1,00	33,04	B	N

ES 2 540 538 T3

ATOM	5848	CA	THR	B	182	43,058	34,009	28,305	1,00	33,22	B	C
ATOM	5850	CB	THR	B	182	42,600	35,394	27,802	1,00	33,17	B	C
ATOM	5852	OG1	THR	B	182	43,702	36,027	27,128	1,00	32,74	B	O
ATOM	5854	CG2	THR	B	182	42,107	36,320	28,978	1,00	34,24	B	C
ATOM	5858	C	THR	B	182	43,611	33,257	27,091	1,00	33,14	B	C
ATOM	5859	O	THR	B	182	44,851	33,263	26,862	1,00	31,32	B	O
ATOM	5861	N	PRO	B	183	42,711	32,592	26,320	1,00	34,14	B	N
ATOM	5862	CA	PRO	B	183	43,150	31,903	25,089	1,00	35,02	B	C
ATOM	5864	CB	PRO	B	183	41,848	31,355	24,513	1,00	35,21	B	C
ATOM	5867	CG	PRO	B	183	40,951	31,146	25,742	1,00	34,73	B	C
ATOM	5870	CD	PRO	B	183	41,307	32,261	26,675	1,00	33,86	B	C
ATOM	5873	C	PRO	B	183	43,862	32,869	24,114	1,00	35,90	B	C
ATOM	5874	O	PRO	B	183	44,804	32,475	23,420	1,00	35,75	B	O
ATOM	5875	N	GLU	B	184	43,449	34,135	24,155	1,00	36,58	B	N
ATOM	5876	CA	GLU	B	184	44,033	35,211	23,366	1,00	37,86	B	C
ATOM	5878	CB	GLU	B	184	43,224	36,525	23,522	1,00	38,24	B	C
ATOM	5881	CG	GLU	B	184	41,713	36,359	23,231	1,00	41,38	B	C
ATOM	5884	CD	GLU	B	184	40,892	36,073	24,511	1,00	43,97	B	C
ATOM	5885	OE1	GLU	B	184	40,234	35,007	24,572	1,00	44,52	B	O
ATOM	5886	OE2	GLU	B	184	40,934	36,922	25,445	1,00	46,83	B	O
ATOM	5887	C	GLU	B	184	45,482	35,465	23,754	1,00	38,25	B	C
ATOM	5888	O	GLU	B	184	46,357	35,499	22,867	1,00	38,71	B	O
ATOM	5890	N	GLN	B	185	45,731	35,667	25,057	1,00	37,86	B	N
ATOM	5891	CA	GLN	B	185	47,100	35,863	25,578	1,00	37,73	B	C
ATOM	5893	CB	GLN	B	185	47,072	36,055	27,101	1,00	38,45	B	C
ATOM	5896	CG	GLN	B	185	46,594	37,430	27,532	1,00	40,63	B	C
ATOM	5899	CD	GLN	B	185	46,125	37,503	28,994	1,00	43,11	B	C
ATOM	5900	OE1	GLN	B	185	46,165	36,528	29,754	1,00	42,38	B	O
ATOM	5901	NE2	GLN	B	185	45,640	38,676	29,373	1,00	45,76	B	N
ATOM	5904	C	GLN	B	185	48,006	34,673	25,252	1,00	36,56	B	C
ATOM	5905	O	GLN	B	185	49,184	34,825	24,939	1,00	37,45	B	O
ATOM	5907	N	TRP	B	186	47,451	33,481	25,320	1,00	34,93	B	N
ATOM	5908	CA	TRP	B	186	48,206	32,274	24,993	1,00	34,36	B	C
ATOM	5910	CB	TRP	B	186	47,342	31,028	25,313	1,00	33,41	B	C
ATOM	5913	CG	TRP	B	186	47,794	29,730	24,651	1,00	31,33	B	C
ATOM	5914	CD1	TRP	B	186	47,081	28,961	23,771	1,00	28,85	B	C
ATOM	5916	NE1	TRP	B	186	47,814	27,838	23,412	1,00	28,77	B	N
ATOM	5918	CE2	TRP	B	186	49,017	27,879	24,070	1,00	30,64	B	C
ATOM	5919	CD2	TRP	B	186	49,041	29,066	24,845	1,00	28,60	B	C
ATOM	5920	CE3	TRP	B	186	50,168	29,334	25,630	1,00	30,65	B	C
ATOM	5922	CZ3	TRP	B	186	51,238	28,441	25,590	1,00	29,81	B	C
ATOM	5924	CH2	TRP	B	186	51,194	27,289	24,776	1,00	28,09	B	C
ATOM	5926	CZ2	TRP	B	186	50,102	26,991	24,022	1,00	27,61	B	C
ATOM	5928	C	TRP	B	186	48,620	32,290	23,498	1,00	34,54	B	C
ATOM	5929	O	TRP	B	186	49,764	31,999	23,167	1,00	33,63	B	O
ATOM	5931	N	LYS	B	187	47,674	32,637	22,620	1,00	35,69	B	N
ATOM	5932	CA	LYS	B	187	47,873	32,530	21,143	1,00	36,42	B	C
ATOM	5934	CB	LYS	B	187	46,522	32,364	20,433	1,00	36,06	B	C
ATOM	5937	CG	LYS	B	187	45,924	30,978	20,614	1,00	39,16	B	C
ATOM	5940	CD	LYS	B	187	44,501	30,849	19,995	1,00	42,57	B	C
ATOM	5943	CE	LYS	B	187	43,911	29,445	20,162	1,00	44,52	B	C
ATOM	5946	NZ	LYS	B	187	42,493	29,338	19,621	1,00	44,29	B	N
ATOM	5950	C	LYS	B	187	48,666	33,692	20,550	1,00	35,99	B	C
ATOM	5951	O	LYS	B	187	49,250	33,581	19,461	1,00	36,39	B	O
ATOM	5953	N	SER	B	188	48,702	34,798	21,286	1,00	36,61	B	N
ATOM	5954	CA	SER	B	188	49,411	36,014	20,860	1,00	36,32	B	C
ATOM	5956	CB	SER	B	188	48,874	37,259	21,603	1,00	36,60	B	C
ATOM	5959	OG	SER	B	188	47,503	37,484	21,296	1,00	35,90	B	O
ATOM	5961	C	SER	B	188	50,908	35,942	21,067	1,00	36,33	B	C
ATOM	5962	O	SER	B	188	51,614	36,811	20,589	1,00	36,91	B	O

ES 2 540 538 T3

ATOM	5964	N	HIS	B	189	51,407	34,923	21,763	1,00	35,84	B	N
ATOM	5965	CA	HIS	B	189	52,835	34,817	22,001	1,00	36,16	B	C
ATOM	5967	CB	HIS	B	189	53,138	34,774	23,512	1,00	36,13	B	C
ATOM	5970	CG	HIS	B	189	52,914	36,092	24,176	1,00	36,40	B	C
ATOM	5971	ND1	HIS	B	189	53,874	37,080	24,194	1,00	37,23	B	N
ATOM	5973	CE1	HIS	B	189	53,388	38,149	24,799	1,00	39,63	B	C
ATOM	5975	NE2	HIS	B	189	52,136	37,900	25,143	1,00	39,70	B	N
ATOM	5977	CD2	HIS	B	189	51,814	36,622	24,755	1,00	36,20	B	C
ATOM	5979	C	HIS	B	189	53,352	33,605	21,292	1,00	36,78	B	C
ATOM	5980	O	HIS	B	189	52,567	32,721	20,937	1,00	37,32	B	O
ATOM	5982	N	ARG	B	190	54,660	33,546	21,071	1,00	36,82	B	N
ATOM	5983	CA	ARG	B	190	55,211	32,394	20,357	1,00	37,28	B	C
ATOM	5985	CB	ARG	B	190	56,061	32,858	19,169	1,00	37,96	B	C
ATOM	5988	CG	ARG	B	190	55,065	33,269	18,052	1,00	39,08	B	C
ATOM	5991	CD	ARG	B	190	55,634	33,508	16,769	1,00	38,39	B	C
ATOM	5994	NE	ARG	B	190	56,079	32,320	16,047	1,00	38,45	B	N
ATOM	5996	CZ	ARG	B	190	55,318	31,475	15,348	1,00	36,90	B	C
ATOM	5997	NH1	ARG	B	190	53,988	31,577	15,313	1,00	36,30	B	N
ATOM	6000	NH2	ARG	B	190	55,923	30,487	14,694	1,00	34,47	B	N
ATOM	6003	C	ARG	B	190	55,881	31,341	21,206	1,00	37,06	B	C
ATOM	6004	O	ARG	B	190	55,950	30,167	20,779	1,00	36,40	B	O
ATOM	6006	N	SER	B	191	56,324	31,741	22,402	1,00	36,92	B	N
ATOM	6007	CA	SER	B	191	56,817	30,792	23,422	1,00	37,50	B	C
ATOM	6009	CB	SER	B	191	58,342	30,680	23,460	1,00	37,32	B	C
ATOM	6012	OG	SER	B	191	58,891	30,584	22,169	1,00	44,45	B	O
ATOM	6014	C	SER	B	191	56,422	31,225	24,816	1,00	35,89	B	C
ATOM	6015	O	SER	B	191	56,374	32,409	25,111	1,00	35,06	B	O
ATOM	6017	N	TYR	B	192	56,201	30,230	25,666	1,00	35,30	B	N
ATOM	6018	CA	TYR	B	192	56,140	30,420	27,112	1,00	34,75	B	C
ATOM	6020	CB	TYR	B	192	54,750	30,131	27,656	1,00	34,04	B	C
ATOM	6023	CG	TYR	B	192	53,771	31,243	27,465	1,00	33,21	B	C
ATOM	6024	CD1	TYR	B	192	53,628	32,225	28,432	1,00	35,70	B	C
ATOM	6026	CE1	TYR	B	192	52,728	33,247	28,282	1,00	35,74	B	C
ATOM	6028	CZ	TYR	B	192	51,930	33,306	27,149	1,00	36,52	B	C
ATOM	6029	OH	TYR	B	192	51,041	34,349	27,034	1,00	39,07	B	O
ATOM	6031	CE2	TYR	B	192	52,034	32,342	26,171	1,00	35,10	B	C
ATOM	6033	CD2	TYR	B	192	52,966	31,310	26,336	1,00	35,29	B	C
ATOM	6035	C	TYR	B	192	57,146	29,474	27,714	1,00	34,60	B	C
ATOM	6036	O	TYR	B	192	57,353	28,381	27,190	1,00	34,60	B	O
ATOM	6038	N	SER	B	193	57,780	29,902	28,804	1,00	34,49	B	N
ATOM	6039	CA	SER	B	193	58,704	29,039	29,513	1,00	34,69	B	C
ATOM	6041	CB	SER	B	193	60,134	29,515	29,305	1,00	34,58	B	C
ATOM	6044	OG	SER	B	193	60,392	29,575	27,911	1,00	37,42	B	O
ATOM	6046	C	SER	B	193	58,392	28,923	31,002	1,00	34,50	B	C
ATOM	6047	O	SER	B	193	57,982	29,882	31,648	1,00	33,08	B	O
ATOM	6049	N	CYS	B	194	58,558	27,710	31,504	1,00	34,35	B	N
ATOM	6050	CA	CYS	B	194	58,617	27,455	32,918	1,00	35,40	B	C
ATOM	6052	CB	CYS	B	194	57,848	26,176	33,285	1,00	34,79	B	C
ATOM	6055	SG	CYS	B	194	57,775	26,010	35,046	1,00	37,55	B	s
ATOM	6057	C	CYS	B	194	60,079	27,281	33,324	1,00	35,78	B	C
ATOM	6058	O	CYS	B	194	60,776	26,402	32,798	1,00	34,81	B	O
ATOM	6060	N	ARG	B	195	60,526	28,071	34,301	1,00	36,72	B	N
ATOM	6061	CA	ARG	B	195	61,925	28,017	34,763	1,00	37,48	B	C
ATOM	6063	CB	ARG	B	195	62,586	29,353	34,479	1,00	38,48	B	C
ATOM	6066	CG	ARG	B	195	63,882	29,595	35,174	1,00	42,76	B	C
ATOM	6069	CD	ARG	B	195	64,449	30,984	34,802	1,00	47,68	B	C
ATOM	6072	NE	ARG	B	195	65,401	30,831	33,707	1,00	52,31	B	N
ATOM	6074	CZ	ARG	B	195	66,728	30,821	33,825	1,00	54,93	B	C
ATOM	6075	NH1	ARG	B	195	67,342	31,044	34,986	1,00	55,43	B	N
ATOM	6078	NH2	ARG	B	195	67,451	30,618	32,732	1,00	58,03	B	N

ES 2 540 538 T3

ATOM	6081	C	ARG	B	195	61,975	27,680	36,243	1,00	37,12	B	C
ATOM	6082	O	ARG	B	195	61,473	28,442	37,090	1,00	37,42	B	O
ATOM	6084	N	VAL	B	196	62,567	26,528	36,539	1,00	36,50	B	N
ATOM	6085	CA	VAL	B	196	62,633	25,979	37,869	1,00	36,09	B	C
ATOM	6087	CB	VAL	B	196	62,004	24,602	37,886	1,00	36,09	B	C
ATOM	6089	CG1	VAL	B	196	62,115	23,975	39,265	1,00	32,48	B	C
ATOM	6093	CG2	VAL	B	196	60,535	24,717	37,427	1,00	34,70	B	C
ATOM	6097	C	VAL	B	196	64,072	25,901	38,389	1,00	37,11	B	C
ATOM	6098	O	VAL	B	196	64,907	25,171	37,843	1,00	36,57	B	O
ATOM	6100	N	THR	B	197	64,340	26,659	39,451	1,00	37,65	B	N
ATOM	6101	CA	THR	B	197	65,652	26,694	40,063	1,00	38,90	B	C
ATOM	6103	CB	THR	B	197	66,087	28,124	40,354	1,00	38,78	B	C
ATOM	6105	OG1	THR	B	197	66,017	28,872	39,137	1,00	41,53	B	O
ATOM	6107	CG2	THR	B	197	67,543	28,173	40,888	1,00	38,69	B	C
ATOM	6111	C	THR	B	197	65,663	25,854	41,349	1,00	39,44	B	C
ATOM	6112	O	THR	B	197	64,822	26,036	42,238	1,00	39,56	B	O
ATOM	6114	N	HIS	B	198	66,598	24,917	41,411	1,00	39,91	B	N
ATOM	6115	CA	HIS	B	198	66,818	24,102	42,596	1,00	41,16	B	C
ATOM	6117	CB	HIS	B	198	66,277	22,700	42,363	1,00	40,74	B	C
ATOM	6120	CG	HIS	B	198	66,543	21,752	43,490	1,00	42,35	B	C
ATOM	6121	ND1	HIS	B	198	65,785	21,726	44,644	1,00	44,35	B	N
ATOM	6123	CE1	HIS	B	198	66,233	20,768	45,435	1,00	43,74	B	C
ATOM	6125	NE2	HIS	B	198	67,242	20,166	44,835	1,00	42,92	B	N
ATOM	6127	CD2	HIS	B	198	67,458	20,766	43,621	1,00	43,20	B	C
ATOM	6129	C	HIS	B	198	68,314	24,040	42,907	1,00	41,81	B	C
ATOM	6130	O	HIS	B	198	69,101	23,540	42,082	1,00	41,20	B	O
ATOM	6132	N	GLU	B	199	68,690	24,563	44,073	1,00	42,98	B	N
ATOM	6133	CA	GLU	B	199	70,065	24,472	44,591	1,00	44,62	B	C
ATOM	6135	CB	GLU	B	199	70,441	23,009	44,959	1,00	45,16	B	C
ATOM	6138	CG	GLU	B	199	69,746	22,459	46,238	1,00	47,65	B	C
ATOM	6141	CD	GLU	B	199	69,904	23,398	47,429	1,00	50,51	B	C
ATOM	6142	OE1	GLU	B	199	71,068	23,717	47,776	1,00	51,48	B	O
ATOM	6143	OE2	GLU	B	199	68,869	23,857	47,988	1,00	52,74	B	O
ATOM	6144	C	GLU	B	199	71,037	25,036	43,569	1,00	44,77	B	C
ATOM	6145	O	GLU	B	199	71,950	24,334	43,112	1,00	45,16	B	O
ATOM	6147	N	GLY	B	200	70,807	26,292	43,179	1,00	44,59	B	N
ATOM	6148	CA	GLY	B	200	71,661	26,966	42,198	1,00	44,59	B	C
ATOM	6151	C	GLY	B	200	71,662	26,403	40,782	1,00	44,38	B	C
ATOM	6152	O	GLY	B	200	72,353	26,922	39,928	1,00	44,65	B	O
ATOM	6154	N	SER	B	203	70,875	25,362	40,531	1,00	43,68	B	N
ATOM	6155	CA	SER	B	203	70,771	24,742	39,218	1,00	43,73	B	C
ATOM	6157	CB	SER	B	203	71,254	23,304	39,348	1,00	43,17	B	C
ATOM	6160	OG	SER	B	203	70,400	22,478	38,625	1,00	46,02	B	O
ATOM	6162	C	SER	B	203	69,329	24,872	38,578	1,00	43,07	B	C
ATOM	6163	O	SER	B	203	68,313	24,776	39,274	1,00	43,36	B	O
ATOM	6165	N	THR	B	204	69,244	25,118	37,267	1,00	42,24	B	N
ATOM	6166	CA	THR	B	204	67,967	25,515	36,634	1,00	41,20	B	C
ATOM	6168	CB	THR	B	204	67,986	26,993	36,234	1,00	41,12	B	C
ATOM	6170	OG1	THR	B	204	68,118	27,801	37,408	1,00	40,14	B	O
ATOM	6172	CG2	THR	B	204	66,699	27,374	35,474	1,00	40,09	B	C
ATOM	6176	C	THR	B	204	67,593	24,747	35,383	1,00	41,34	B	C
ATOM	6177	O	THR	B	204	68,393	24,641	34,461	1,00	41,39	B	O
ATOM	6179	N	VAL	B	205	66,367	24,227	35,357	1,00	41,15	B	N
ATOM	6180	CA	VAL	B	205	65,788	23,605	34,176	1,00	40,79	B	C
ATOM	6182	CB	VAL	B	205	65,084	22,266	34,473	1,00	41,37	B	C
ATOM	6184	CG1	VAL	B	205	64,595	21,641	33,162	1,00	41,56	B	C
ATOM	6188	CG2	VAL	B	205	65,991	21,297	35,227	1,00	41,71	B	C
ATOM	6192	C	VAL	B	205	64,709	24,515	33,638	1,00	40,79	B	C
ATOM	6193	O	VAL	B	205	63,903	25,060	34,391	1,00	40,71	B	O
ATOM	6195	N	GLU	B	206	64,644	24,632	32,327	1,00	40,35	B	N

ES 2 540 538 T3

ATOM	6196	CA	GLU	B	206	63,698	25,535	31,719	1,00	40,17	B	C
ATOM	6198	CB	GLU	B	206	64,462	26,756	31,259	1,00	40,52	B	C
ATOM	6201	CG	GLU	B	206	63,661	27,939	30,825	1,00	41,87	B	C
ATOM	6204	CD	GLU	B	206	64,515	29,213	30,763	1,00	43,69	B	C
ATOM	6205	OE1	GLU	B	206	65,577	29,287	31,451	1,00	44,40	B	O
ATOM	6206	OE2	GLU	B	206	64,102	30,163	30,060	1,00	46,22	B	O
ATOM	6207	C	GLU	B	206	63,028	24,792	30,573	1,00	39,62	B	C
ATOM	6208	O	GLU	B	206	63,702	24,335	29,641	1,00	39,38	B	O
ATOM	6210	N	LYS	B	207	61,712	24,588	30,670	1,00	38,20	B	N
ATOM	6211	CA	LYS	B	207	60,989	23,958	29,582	1,00	36,90	B	C
ATOM	6213	CB	LYS	B	207	60,129	22,798	30,063	1,00	36,28	B	C
ATOM	6216	CG	LYS	B	207	60,812	21,763	30,917	1,00	36,84	B	C
ATOM	6219	CD	LYS	B	207	61,744	20,894	30,135	1,00	37,68	B	C
ATOM	6222	CE	LYS	B	207	61,711	19,448	30,541	1,00	38,95	B	C
ATOM	6225	NZ	LYS	B	207	62,685	19,157	31,581	1,00	40,55	B	N
ATOM	6229	C	LYS	B	207	60,134	25,012	28,909	1,00	36,63	B	C
ATOM	6230	O	LYS	B	207	59,797	26,037	29,505	1,00	36,62	B	O
ATOM	6232	N	THR	B	208	59,742	24,722	27,682	1,00	36,28	B	N
ATOM	6233	CA	THR	B	208	59,089	25,683	26,827	1,00	36,93	B	C
ATOM	6235	CB	THR	B	208	60,131	26,233	25,828	1,00	38,08	B	C
ATOM	6237	OG1	THR	B	208	61,026	27,122	26,532	1,00	39,48	B	O
ATOM	6239	CG2	THR	B	208	59,448	26,988	24,697	1,00	38,01	B	C
ATOM	6243	C	THR	B	208	57,928	25,036	26,064	1,00	36,11	B	C
ATOM	6244	O	THR	B	208	57,965	23,838	25,777	1,00	35,70	B	O
ATOM	6246	N	VAL	B	209	56,910	25,829	25,731	1,00	35,31	B	N
ATOM	6247	CA	VAL	B	209	55,811	25,351	24,892	1,00	34,99	B	C
ATOM	6249	CB	VAL	B	209	54,556	24,916	25,709	1,00	34,80	B	C
ATOM	6251	CG1	VAL	B	209	54,832	23,594	26,417	1,00	34,26	B	C
ATOM	6255	CG2	VAL	B	209	54,124	26,011	26,689	1,00	32,24	B	C
ATOM	6259	C	VAL	B	209	55,406	26,445	23,926	1,00	35,83	B	C
ATOM	6260	O	VAL	B	209	55,488	27,625	24,260	1,00	35,71	B	O
ATOM	6262	N	ALA	B	210	54,979	26,039	22,730	1,00	36,68	B	N
ATOM	6263	CA	ALA	B	210	54,562	26,979	21,671	1,00	37,51	B	C
ATOM	6265	CB	ALA	B	210	55,493	26,885	20,444	1,00	37,92	B	C
ATOM	6269	C	ALA	B	210	53,138	26,676	21,282	1,00	37,57	B	C
ATOM	6270	O	ALA	B	210	52,788	25,522	21,128	1,00	37,93	B	O
ATOM	6272	N	PRO	B	211	52,297	27,705	21,177	1,00	37,94	B	N
ATOM	6273	CA	PRO	B	211	50,956	27,567	20,626	1,00	39,01	B	C
ATOM	6275	CB	PRO	B	211	50,501	29,008	20,509	1,00	39,30	B	C
ATOM	6278	CG	PRO	B	211	51,197	29,657	21,644	1,00	39,75	B	C
ATOM	6281	CD	PRO	B	211	52,528	29,043	21,725	1,00	37,72	B	C
ATOM	6284	C	PRO	B	211	50,882	26,898	19,257	1,00	39,43	B	C
ATOM	6285	O	PRO	B	211	50,107	25,945	19,099	1,00	40,89	B	O
TER												
ATOM	6286	N	GLN	C	1	22,240	-8,732	-0,994	1,00	40,01	C	N
ATOM	6287	CA	GLN	C	1	23,641	-8,863	-1,516	1,00	39,17	C	C
ATOM	6289	CB	GLN	C	1	23,692	-9,908	-2,629	1,00	39,27	C	C
ATOM	6296	C	GLN	C	1	24,253	-7,509	-1,986	1,00	37,68	C	C
ATOM	6297	O	GLN	C	1	25,443	-7,272	-1,758	1,00	38,53	C	O
ATOM	6301	N	VAL	C	2	23,484	-6,627	-2,622	1,00	35,82	G	N
ATOM	6302	CA	VAL	C	2	24,023	-5,293	-2,934	1,00	34,05	G	C
ATOM	6304	CB	VAL	C	2	23,261	-4,535	-4,026	1,00	34,18	C	C
ATOM	6306	CG1	VAL	C	2	23,774	-3,064	-4,119	1,00	31,13	C	C
ATOM	6310	CG2	VAL	C	2	23,374	-5,249	-5,394	1,00	32,74	C	C
ATOM	6314	C	VAL	C	2	24,011	-4,452	-1,670	1,00	34,23	G	C
ATOM	6315	O	VAL	C	2	22,959	-4,258	-1,070	1,00	33,78	G	O
ATOM	6317	N	GLN	C	3	25,177	-3,958	-1,257	1,00	33,68	G	N
ATOM	6318	CA	GLN	C	3	25,241	-3,052	-0,122	1,00	33,28	G	C
ATOM	6320	CB	GLN	C	3	25,667	-3,829	1,116	1,00	34,38	G	C
ATOM	6323	CG	GLN	C	3	25,429	-3,100	2,419	1,00	38,11	G	C

ES 2 540 538 T3

ATOM	6326	CD	GLN	C	3	25,739	-3,981	3,636	1,00	44,27	G	C
ATOM	6327	OE1	GLN	C	3	26,587	-3,634	4,476	1,00	46,34	G	O
ATOM	6328	NE2	GLN	C	3	25,083	-5,148	3,710	1,00	46,46	G	N
ATOM	6331	C	GLN	C	3	26,192	-1,888	-0,341	1,00	32,44	G	C
ATOM	6332	O	GLN	C	3	27,312	-2,048	-0,858	1,00	30,81	G	O
ATOM	6334	N	LEU	C	4	25,751	-0,714	0,101	1,00	32,01	G	N
ATOM	6335	CA	LEU	C	4	26,562	0,481	0,055	1,00	31,02	G	C
ATOM	6337	CB	LEU	C	4	25,788	1,573	-0,671	1,00	31,11	G	C
ATOM	6340	CG	LEU	C	4	25,392	1,244	-2,125	1,00	31,06	G	C
ATOM	6342	CD1	LEU	C	4	24,632	2,409	-2,699	1,00	30,40	G	C
ATOM	6346	CD2	LEU	C	4	26,59B	0,926	-2,991	1,00	28,03	G	C
ATOM	6350	C	LEU	C	4	26,978	0,913	1,468	1,00	31,40	G	C
ATOM	6351	O	LEU	C	4	26,153	1,250	2,308	1,00	32,57	G	O
ATOM	6353	N	VAL	C	5	28,270	0,910	1,723	1,00	30,81	G	N
ATOM	6354	CA	VAL	C	5	28,800	1,230	3,023	1,00	31,05	G	C
ATOM	6356	CB	VAL	C	5	29,824	0,138	3,450	1,00	31,75	C	C
ATOM	6358	CG1	VAL	C	5	30,421	0,395	4,849	1,00	32,33	C	C
ATOM	6362	CG2	VAL	C	5	29,144	-1,265	3,418	1,00	33,05	C	C
ATOM	6366	C	VAL	C	5	29,412	2,644	2,959	1,00	30,04	G	C
ATOM	6367	O	VAL	C	5	30,319	2,938	2,134	1,00	30,14	G	O
ATOM	6369	N	GLN	C	6	28,868	3,522	3,794	1,00	28,57	G	N
ATOM	6370	CA	GLN	C	6	29,280	4,912	3,876	1,00	27,64	G	C
ATOM	6372	CB	GLN	C	6	28,069	5,830	3,786	1,00	27,21	G	C
ATOM	6375	CG	GLN	C	6	27,380	5,786	2,443	1,00	23,97	G	C
ATOM	6378	CD	GLN	C	6	26,408	6,888	2,218	1,00	21,40	G	C
ATOM	6379	OE1	GLN	C	6	25,224	6,642	2,011	1,00	21,28	G	O
ATOM	6380	NE2	GLN	C	6	26,900	8,138	2,197	1,00	23,05	G	N
ATOM	6383	C	GLN	C	6	30,082	5,232	5,141	1,00	28,59	G	C
ATOM	6384	O	GLN	C	6	29,841	4,697	6,228	1,00	29,46	G	O
ATOM	6386	N	SER	C	7	31,026	6,152	4,998	1,00	28,75	G	N
ATOM	6387	CA	SER	C	7	31,914	6,504	6,083	1,00	28,22	G	C
ATOM	6389	CB	SER	C	7	33,066	7,391	5,578	1,00	27,87	G	C
ATOM	6392	OG	SER	C	7	32,581	8,452	4,782	1,00	28,45	G	O
ATOM	6394	C	SER	C	7	31,119	7,187	7,187	1,00	27,27	G	C
ATOM	6395	O	SER	C	7	29,977	7,621	6,988	1,00	27,51	G	O
ATOM	6397	N	GLY	C	8	31,732	7,279	8,352	1,00	26,52	G	N
ATOM	6398	CA	GLY	C	8	31,019	7,703	9,552	1,00	26,68	G	C
ATOM	6401	C	GLY	C	8	30,811	9,203	9,627	1,00	25,66	G	C
ATOM	6402	O	GLY	C	8	31,327	9,972	8,801	1,00	25,82	G	O
ATOM	6404	N	ALA	C	9	30,091	9,599	10,653	1,00	24,38	G	N
ATOM	6405	CA	ALA	C	9	29,665	10,964	10,852	1,00	24,24	G	C
ATOM	6407	CB	ALA	C	9	28,754	11,050	12,072	1,00	24,33	G	C
ATOM	6411	C	ALA	C	9	30,848	11,901	11,000	1,00	23,93	G	C
ATOM	6412	O	ALA	C	9	31,864	11,535	11,548	1,00	23,40	G	O
ATOM	6414	N	GLU	C	10	30,704	13,117	10,485	1,00	23,72	G	N
ATOM	6415	CA	GLU	C	10	31,801	14,048	10,460	1,00	23,73	G	C
ATOM	6417	CB	GLU	C	10	32,243	14,342	9,007	1,00	23,72	G	C
ATOM	6420	CG	GLU	C	10	32,788	13,153	8,237	1,00	25,88	G	C
ATOM	6423	CD	GLU	C	10	34,219	12,871	8,573	1,00	27,28	G	C
ATOM	6424	OE1	GLU	C	10	34,843	13,623	9,355	1,00	31,67	G	O
ATOM	6425	OE2	GLU	C	10	34,721	11,883	8,071	1,00	28,36	G	O
ATOM	6426	C	GLU	C	10	31,353	15,347	11,055	1,00	23,09	G	C
ATOM	6427	O	GLU	C	10	30,248	15,816	10,769	1,00	22,39	G	O
ATOM	6429	N	VAL	C	11	32,266	15,946	11,817	1,00	23,93	G	N
ATOM	6430	CA	VAL	C	11	32,069	17,244	12,404	1,00	24,65	G	C
ATOM	6432	CB	VAL	C	11	31,909	17,142	13,928	1,00	25,12	G	C
ATOM	6434	CG1	VAL	C	11	31,491	18,499	14,512	1,00	23,58	G	C
ATOM	6438	CG2	VAL	C	11	30,844	16,053	14,257	1,00	26,06	G	C
ATOM	6442	C	VAL	C	11	33,295	18,055	12,067	1,00	24,66	G	C
ATOM	6443	O	VAL	C	11	34,409	17,648	12,347	1,00	24,79	G	O

ES 2 540 538 T3

ATOM	6445	N	LYS	C	12	33,072	19,219	11,484	1,00	24,72	G	N
ATOM	6446	CA	LYS	C	12	34,153	20,047	10,968	1,00	25,75	G	C
ATOM	6448	CB	LYS	C	12	34,288	19,833	9,457	1,00	25,55	G	C
ATOM	6451	CG	LYS	C	12	34,600	18,428	9,049	1,00	26,14	G	C
ATOM	6454	CD	LYS	C	12	35,850	17,887	9,657	1,00	28,05	G	C
ATOM	6457	CE	LYS	C	12	36,932	17,602	8,663	1,00	32,41	G	C
ATOM	6460	NZ	LYS	C	12	38,107	16,922	9,357	1,00	32,11	G	N
ATOM	6464	C	LYS	C	12	33,811	21,494	11,168	1,00	25,25	G	C
ATOM	6465	O	LYS	C	12	32,657	21,821	11,313	1,00	24,35	G	O
ATOM	6467	N	LYS	C	13	34,819	22,353	11,082	1,00	26,49	G	N
ATOM	6468	CA	LYS	C	13	34,625	23,808	11,051	1,00	27,08	G	C
ATOM	6470	CB	LYS	C	13	35,777	24,496	11,778	1,00	28,06	G	C
ATOM	6473	CG	LYS	C	13	35,892	24,000	13,209	1,00	31,43	G	C
ATOM	6476	CD	LYS	C	13	36,977	24,639	14,033	1,00	34,60	G	C
ATOM	6479	CE	LYS	C	13	36,501	24,749	15,501	1,00	36,83	G	C
ATOM	6482	NZ	LYS	C	13	37,543	25,229	16,455	1,00	36,99	G	N
ATOM	6486	C	LYS	C	13	34,555	24,320	9,628	1,00	26,82	G	C
ATOM	6487	O	LYS	C	13	35,166	23,756	8,729	1,00	25,97	G	O
ATOM	6489	N	PRO	C	14	33,873	25,448	9,416	1,00	27,45	G	N
ATOM	6490	CA	PRO	C	14	33,893	26,026	8,074	1,00	27,10	G	C
ATOM	6492	CB	PRO	C	14	33,177	27,364	8,251	1,00	27,77	C	C
ATOM	6495	CG	PRO	C	14	32,267	27,163	9,468	1,00	27,33	C	C
ATOM	6498	CD	PRO	C	14	33,115	26,289	10,367	1,00	28,03	C	C
ATOM	6501	C	PRO	C	14	35,313	26,221	7,572	1,00	27,26	G	C
ATOM	6502	O	PRO	C	14	36,206	26,565	8,350	1,00	27,12	G	O
ATOM	6503	N	GLY	C	15	35,532	25,966	6,280	1,00	27,31	G	N
ATOM	6504	CA	GLY	C	15	36,866	26,118	5,679	1,00	27,14	G	C
ATOM	6507	C	GLY	C	15	37,723	24,857	5,705	1,00	27,35	G	C
ATOM	6508	O	GLY	C	15	38,726	24,773	4,978	1,00	27,95	G	O
ATOM	6510	N	GLN	C	16	37,349	23,854	6,497	1,00	26,51	G	N
ATOM	6511	CA	GLN	C	16	38,095	22,579	6,462	1,00	27,16	G	C
ATOM	6513	CB	GLN	C	16	37,847	21,729	7,703	1,00	27,13	C	C
ATOM	6516	CG	GLN	C	16	38,353	22,440	8,952	1,00	28,97	C	C
ATOM	6519	CD	GLN	C	16	38,337	21,570	10,190	1,00	29,54	C	C
ATOM	6520	OE1	GLN	C	16	37,295	21,097	10,591	1,00	32,99	C	O
ATOM	6521	NE2	GLN	C	16	39,491	21,366	10,795	1,00	29,88	C	N
ATOM	6524	C	GLN	C	16	37,733	21,802	5,226	1,00	26,85	G	C
ATOM	6525	O	GLN	C	16	36,637	21,944	4,704	1,00	26,64	G	O
ATOM	6527	N	SER	C	17	38,659	20,993	4,758	1,00	27,50	G	N
ATOM	6528	CA	SER	C	17	38,376	20,106	3,680	1,00	29,18	G	C
ATOM	6530	CB	SER	C	17	39,637	19,845	2,844	1,00	29,84	G	C
ATOM	6533	OG	SER	C	17	40,535	19,010	3,549	1,00	32,90	G	O
ATOM	6535	C	SER	C	17	37,854	18,817	4,274	1,00	28,72	G	C
ATOM	6536	O	SER	C	17	38,002	18,580	5,454	1,00	30,57	G	O
ATOM	6538	N	LEU	C	18	37,253	17,987	3,430	1,00	28,24	G	N
ATOM	6539	CA	LEU	C	18	36,592	16,781	3,833	1,00	26,79	G	C
ATOM	6541	CB	LEU	C	18	35,258	17,088	4,529	1,00	25,88	G	C
ATOM	6544	CG	LEU	C	18	34,325	15,916	4,861	1,00	26,64	G	C
ATOM	6546	CD1	LEU	C	18	34,888	14,986	5,938	1,00	23,57	G	C
ATOM	6550	CD2	LEU	C	18	32,901	16,445	5,236	1,00	23,70	G	C
ATOM	6554	C	LEU	C	18	36,312	15,945	2,608	1,00	27,03	G	C
ATOM	6555	O	LEU	C	18	35,787	16,444	1,600	1,00	26,32	G	O
ATOM	6557	N	LYS	C	19	36,580	14,656	2,766	1,00	26,59	G	N
ATOM	6558	CA	LYS	C	19	36,321	13,645	1,773	1,00	27,36	G	C
ATOM	6560	CB	LYS	C	19	37,671	13,135	1,228	1,00	27,68	G	C
ATOM	6563	CG	LYS	C	19	37,596	12,292	-0,034	1,00	31,52	G	C
ATOM	6566	CD	LYS	C	19	39,034	12,170	-0,679	1,00	35,65	G	C
ATOM	6569	CE	LYS	C	19	39,029	11,546	-2,083	1,00	38,23	G	C
ATOM	6572	NZ	LYS	C	19	40,432	11,331	-2,620	1,00	39,21	G	N
ATOM	6576	C	LYS	C	19	35,575	12,492	2,462	1,00	26,45	G	C

ES 2 540 538 T3

ATOM	6577	O	LYS	C	19	36,054	11,958	3,450	1,00	25,38	G	O
ATOM	6579	N	ILE	C	20	34,381	12,179	1,982	1,00	26,27	G	N
ATOM	6580	CA	ILE	C	20	33,612	11,069	2,496	1,00	26,97	G	C
ATOM	6582	CB	ILE	C	20	32,223	11,482	3,028	1,00	26,60	G	C
ATOM	6584	CG1	ILE	C	20	31,302	11,969	1,934	1,00	26,82	G	C
ATOM	6587	CD1	ILE	C	20	29,932	12,467	2,485	1,00	27,19	G	C
ATOM	6591	CG2	ILE	C	20	32,367	12,519	4,171	1,00	26,13	G	C
ATOM	6595	C	ILE	C	20	33,509	9,992	1,411	1,00	27,34	G	C
ATOM	6596	O	ILE	C	20	33,725	10,276	0,222	1,00	27,42	G	O
ATOM	6598	N	SER	C	21	33,174	8,780	1,835	1,00	27,34	G	N
ATOM	6599	CA	SER	C	21	33,315	7,599	0,998	1,00	27,71	G	C
ATOM	6601	CB	SER	C	21	34,538	6,817	1,461	1,00	28,12	G	C
ATOM	6604	OG	SER	C	21	34,254	6,061	2,628	1,00	31,21	G	O
ATOM	6606	C	SER	C	21	32,082	6,719	0,982	1,00	26,65	G	C
ATOM	6607	O	SER	C	21	31,331	6,639	1,963	1,00	27,47	G	O
ATOM	6609	N	CYS	C	22	31,865	6,092	-0,156	1,00	25,90	G	N
ATOM	6610	CA	CYS	C	22	30,827	5,121	-0,365	1,00	27,13	G	C
ATOM	6612	CB	CYS	C	22	29,760	5,702	-1,220	1,00	27,40	G	C
ATOM	6615	SG	CYS	C	22	28,448	4,622	-1,826	1,00	27,41	G	S
ATOM	6617	C	CYS	C	22	31,447	3,942	-1,067	1,00	28,61	G	C
ATOM	6618	O	CYS	C	22	31,966	4,086	-2,194	1,00	30,76	G	O
ATOM	6620	N	LYS	C	23	31,458	2,797	-0,389	1,00	28,60	G	N
ATOM	6621	CA	LYS	C	23	31,993	1,570	-0,926	1,00	28,82	G	C
ATOM	6623	CB	LYS	C	23	32,981	0,994	0,075	1,00	30,17	C	C
ATOM	6626	CG	LYS	C	23	33,546	-0,365	-0,360	1,00	32,06	C	C
ATOM	6629	CD	LYS	C	23	34,945	-0,585	0,210	1,00	34,96	C	C
ATOM	6632	CE	LYS	C	23	35,226	-2,061	0,478	1,00	38,70	C	C
ATOM	6635	NZ	LYS	C	23	34,822	-2,494	1,849	1,00	42,70	C	N
ATOM	6639	C	LYS	C	23	30,900	0,536	-1,183	1,00	28,02	G	C
ATOM	6640	O	LYS	C	23	30,109	0,256	-0,303	1,00	27,61	G	O
ATOM	6642	N	ALA	C	24	30,829	0,009	-2,401	1,00	26,56	G	N
ATOM	6643	CA	ALA	C	24	29,800	-0,964	-2,746	1,00	25,85	G	C
ATOM	6645	CB	ALA	C	24	29,268	-0,759	-4,192	1,00	24,27	C	C
ATOM	6649	C	ALA	C	24	30,347	-2,377	-2,570	1,00	25,33	G	C
ATOM	6650	O	ALA	C	24	31,530	-2,607	-2,793	1,00	25,25	G	O
ATOM	6652	N	SER	C	25	29,448	-3,280	-2,176	1,00	25,75	G	N
ATOM	6653	CA	SER	C	25	29,668	-4,727	-1,938	1,00	25,78	G	C
ATOM	6655	CB	SER	C	25	29,317	-5,053	-0,500	1,00	25,68	G	C
ATOM	6658	OG	SER	C	25	30,441	-4,868	0,310	1,00	28,66	G	O
ATOM	6660	C	SER	C	25	28,665	-5,465	-2,752	1,00	25,43	G	C
ATOM	6661	O	SER	C	25	27,527	-5,011	-2,782	1,00	25,04	G	O
ATOM	6663	N	GLY	C	26	29,023	-6,626	-3,326	1,00	25,96	G	N
ATOM	6664	CA	GLY	C	26	28,144	-7,367	-4,264	1,00	25,86	G	C
ATOM	6667	C	GLY	C	26	27,633	-6,506	-5,429	1,00	26,29	G	C
ATOM	6668	O	GLY	C	26	26,497	-6,640	-5,884	1,00	26,27	G	O
ATOM	6670	N	TYR	C	27	28,472	-5,604	-5,903	1,00	26,67	G	N
ATOM	6671	CA	TYR	C	27	28,033	-4,542	-6,850	1,00	26,87	G	C
ATOM	6673	CB	TYR	C	27	27,124	-3,529	-6,115	1,00	26,11	G	C
ATOM	6676	CG	TYR	C	27	26,290	-2,617	-6,982	1,00	24,77	G	C
ATOM	6677	CD1	TYR	C	27	25,321	-3,123	-7,828	1,00	25,78	G	C
ATOM	6679	CE1	TYR	C	27	24,528	-2,281	-8,609	1,00	26,52	G	C
ATOM	6681	CZ	TYR	C	27	24,715	-0,907	-8,532	1,00	25,34	G	C
ATOM	6682	OH	TYR	C	27	23,931	-0,072	-9,302	1,00	30,88	G	O
ATOM	6684	CE2	TYR	C	27	25,675	-0,386	-7,725	1,00	23,58	G	C
ATOM	6686	CD2	TYR	C	27	26,453	-1,233	-6,933	1,00	24,38	G	C
ATOM	6688	C	TYR	C	27	29,272	-3,847	-7,333	1,00	26,46	G	C
ATOM	6689	O	TYR	C	27	29,926	-3,175	-6,548	1,00	28,38	G	O
ATOM	6691	N	SER	C	28	29,643	-4,057	-8,584	1,00	26,71	G	N
ATOM	6692	CA	SER	C	28	30,868	-3,498	-9,119	1,00	26,94	G	C
ATOM	6694	CB	SER	C	28	31,441	-4,370	-10,254	1,00	27,55	G	C

ES 2 540 538 T3

ATOM	6697	OG	SER	C	28	32,737	-3,884	-10,597	1,00	27,28	G	O
ATOM	6699	C	SER	C	28	30,607	-2,139	-9,694	1,00	27,30	G	C
ATOM	6700	O	SER	C	28	29,732	-1,971	-10,556	1,00	27,23	G	O
ATOM	6702	N	LEU	C	29	31,387	-1,167	-9,252	1,00	28,24	G	N
ATOM	6703	CA	LEU	C	29	31,287	0,183	-9,804	1,00	29,01	G	C
ATOM	6705	CB	LEU	C	29	31,770	1,196	-8,793	1,00	29,04	C	C
ATOM	6708	CG	LEU	C	29	31,094	1,247	-7,422	1,00	28,87	C	C
ATOM	6710	CD1	LEU	C	29	31,566	2,499	-6,743	1,00	27,96	C	C
ATOM	6714	CD2	LEU	C	29	29,605	1,237	-7,525	1,00	26,44	C	C
ATOM	6718	C	LEU	C	29	32,078	0,336	-11,104	1,00	29,90	G	C
ATOM	6719	O	LEU	C	29	32,230	1,450	-11,629	1,00	30,31	G	O
ATOM	6721	N	THR	C	30	32,582	-0,782	-11,625	1,00	30,73	G	N
ATOM	6722	CA	THR	C	30	33,092	-0,831	-12,988	1,00	31,31	G	C
ATOM	6724	CB	THR	C	30	33,985	-2,052	-13,190	1,00	31,80	C	C
ATOM	6726	OG1	THR	C	30	35,059	-1,990	-12,241	1,00	33,18	C	O
ATOM	6728	CG2	THR	C	30	34,579	-2,099	-14,650	1,00	32,42	C	C
ATOM	6732	C	THR	C	30	31,933	-0,880	-13,966	1,00	31,44	G	C
ATOM	6733	O	THR	C	30	32,064	-0,449	-15,117	1,00	31,43	G	O
ATOM	6735	N	ASP	C	31	30,795	-1,407	-13,513	1,00	31,07	G	N
ATOM	6736	CA	ASP	C	31	29,631	-1,597	-14,366	1,00	31,16	G	C
ATOM	6738	CB	ASP	C	31	29,201	-3,056	-14,296	1,00	31,79	G	C
ATOM	6741	CG	ASP	C	31	30,292	-4,006	-14,735	1,00	32,33	G	C
ATOM	6742	OD1	ASP	C	31	31,173	-3,584	-15,503	1,00	35,84	G	O
ATOM	6743	OD2	ASP	C	31	30,256	-5,174	-14,318	1,00	33,39	G	O
ATOM	6744	C	ASP	C	31	28,411	-0,746	-13,999	1,00	30,81	G	C
ATOM	6745	O	ASP	C	31	27,397	-0,844	-14,667	1,00	30,99	G	O
ATOM	6747	N	ASN	C	32	28,484	0,023	-12,914	1,00	29,63	G	N
ATOM	6748	CA	ASN	C	32	27,324	0,727	-12,377	1,00	28,61	G	C
ATOM	6750	CB	ASN	C	32	26,684	-0,026	-11,187	1,00	28,90	C	C
ATOM	6753	CG	ASN	C	32	26,068	-1,365	-11,584	1,00	29,04	C	C
ATOM	6754	OD1	ASN	C	32	24,997	-1,419	-12,171	1,00	33,06	C	O
ATOM	6755	ND2	ASN	C	32	26,744	-2,449	-11,249	1,00	30,54	C	N
ATOM	6758	C	ASN	C	32	27,746	2,125	-11,955	1,00	27,62	G	C
ATOM	6759	O	ASN	C	32	28,924	2,395	-11,746	1,00	26,77	G	O
ATOM	6761	N	TRP	C	33	26,771	3,012	-11,841	1,00	27,02	G	N
ATOM	6762	CA	TRP	C	33	27,037	4,384	-11,482	1,00	27,33	G	C
ATOM	6764	CB	TRP	C	33	26,232	5,293	-12,409	1,00	27,55	G	C
ATOM	6767	CG	TRP	C	33	26,654	5,200	-13,835	1,00	30,35	G	C
ATOM	6768	CD1	TRP	C	33	26,853	4,043	-14,596	1,00	33,03	G	C
ATOM	6770	NE1	TRP	C	33	27,228	4,384	-15,875	1,00	31,47	G	N
ATOM	6772	CE2	TRP	C	33	27,292	5,749	-15,968	1,00	33,34	G	C
ATOM	6773	CD2	TRP	C	33	26,938	6,293	-14,696	1,00	31,27	G	C
ATOM	6774	CE3	TRP	C	33	26,933	7,680	-14,526	1,00	27,96	G	C
ATOM	6776	CZ3	TRP	C	33	27,302	8,483	-15,589	1,00	30,90	G	C
ATOM	6778	CH2	TRP	C	33	27,648	7,925	-16,855	1,00	31,98	G	C
ATOM	6780	CZ2	TRP	C	33	27,649	6,563	-17,058	1,00	33,09	G	C
ATOM	6782	C	TRP	C	33	26,680	4,688	-10,013	1,00	26,76	G	C
ATOM	6783	O	TRP	C	33	25,830	4,068	-9,436	1,00	25,95	G	O
ATOM	6785	N	ILE	C	34	27,311	5,702	-9,443	1,00	27,56	G	N
ATOM	6786	CA	ILE	C	34	26,981	6,192	-8,099	1,00	26,77	G	C
ATOM	6788	CB	ILE	C	34	28,191	6,074	-7,172	1,00	27,10	G	C
ATOM	6790	CG1	ILE	C	34	28,501	4,581	-6,934	1,00	27,00	G	C
ATOM	6793	CD1	ILE	C	34	27,632	3,914	-5,933	1,00	24,42	G	C
ATOM	6797	CG2	ILE	C	34	27,983	6,876	-5,843	1,00	24,82	G	C
ATOM	6801	C	ILE	C	34	26,516	7,650	-8,171	1,00	27,08	G	C
ATOM	6802	O	ILE	C	34	27,212	8,506	-8,720	1,00	26,82	G	O
ATOM	6804	N	GLY	C	35	25,324	7,904	-7,637	1,00	27,28	G	N
ATOM	6805	CA	GLY	C	35	24,838	9,239	-7,415	1,00	27,29	G	C
ATOM	6808	C	GLY	C	35	25,000	9,653	-5,941	1,00	27,40	G	C
ATOM	6809	O	GLY	C	35	25,124	8,796	-5,054	1,00	26,66	G	O

ES 2 540 538 T3

ATOM	6811	N	TRP	C	36	24,981	10,973	-5,718	1,00	27,05	G	N
ATOM	6812	CA	TRP	C	36	24,976	11,583	-4,414	1,00	27,40	G	C
ATOM	6814	CB	TRP	C	36	26,262	12,358	-4,178	1,00	27,07	G	C
ATOM	6817	CG	TRP	C	36	27,496	11,488	-4,028	1,00	28,27	G	C
ATOM	6818	CD1	TRP	C	36	28,372	11,123	-5,011	1,00	26,37	G	C
ATOM	6820	NE1	TRP	C	36	29,361	10,321	-4,497	1,00	26,22	G	N
ATOM	6822	CE2	TRP	C	36	29,151	10,148	-3,157	1,00	26,64	G	C
ATOM	6823	CD2	TRP	C	36	27,979	10,858	-2,820	1,00	29,45	G	C
ATOM	6824	CE3	TRP	C	36	27,554	10,845	-1,503	1,00	25,66	G	C
ATOM	6826	CZ3	TRP	C	36	28,301	10,131	-0,560	1,00	26,97	G	C
ATOM	6828	CH2	TRP	C	36	29,442	9,452	-0,918	1,00	27,83	G	C
ATOM	6830	CZ2	TRP	C	36	29,902	9,470	-2,213	1,00	29,02	G	C
ATOM	6832	C	TRP	C	36	23,761	12,521	-4,234	1,00	27,39	G	C
ATOM	6833	O	TRP	C	36	23,467	13,364	-5,080	1,00	27,06	G	O
ATOM	6835	N	VAL	C	37	23,074	12,322	-3,112	1,00	26,89	G	N
ATOM	6836	CA	VAL	C	37	21,905	13,062	-2,721	1,00	26,74	G	C
ATOM	6838	CB	VAL	C	37	20,693	12,170	-2,656	1,00	27,37	G	C
ATOM	6840	CG1	VAL	C	37	19,460	12,993	-2,207	1,00	26,09	G	C
ATOM	6844	CG2	VAL	C	37	20,461	11,516	-4,017	1,00	25,82	G	C
ATOM	6848	C	VAL	C	37	22,114	13,695	-1,348	1,00	27,03	G	C
ATOM	6849	O	VAL	C	37	22,555	13,038	-0,405	1,00	26,54	G	O
ATOM	6851	N	ARG	C	38	21,843	14,999	-1,286	1,00	27,29	G	N
ATOM	6852	CA	ARG	C	38	21,965	15,775	-0,070	1,00	28,10	G	C
ATOM	6854	CB	ARG	C	38	22,577	17,151	-0,380	1,00	27,96	G	C
ATOM	6857	CG	ARG	C	38	22,672	18,081	0,834	1,00	28,38	G	C
ATOM	6860	CD	ARG	C	38	23,424	19,373	0,527	1,00	28,65	G	C
ATOM	6863	NE	ARG	C	38	22,587	20,419	-0,061	1,00	30,40	G	N
ATOM	6865	CZ	ARG	C	38	22,992	21,660	-0,367	1,00	32,08	G	C
ATOM	6866	NH1	ARG	C	38	24,249	22,032	-0,197	1,00	34,78	G	N
ATOM	6869	NH2	ARG	C	38	22,141	22,528	-0,897	1,00	33,81	G	N
ATOM	6872	C	ARG	C	38	20,581	15,913	0,549	1,00	28,54	G	C
ATOM	6873	O	ARG	C	38	19,582	16,012	-0,178	1,00	28,27	G	O
ATOM	6875	N	GLN	C	39	20,533	15,870	1,884	1,00	28,37	G	N
ATOM	6876	CA	GLN	C	39	19,303	16,139	2,637	1,00	28,88	G	C
ATOM	6878	CB	GLN	C	39	18,567	14,858	3,011	1,00	28,96	G	C
ATOM	6881	CG	GLN	C	39	17,205	15,116	3,703	1,00	28,56	G	C
ATOM	6884	CD	GLN	C	39	16,390	13,870	3,900	1,00	27,18	G	C
ATOM	6885	OE1	GLN	C	39	16,915	12,840	4,313	1,00	28,56	G	O
ATOM	6886	NE2	GLN	C	39	15,099	13,943	3,588	1,00	26,26	G	N
ATOM	6889	C	GLN	C	39	19,632	16,939	3,896	1,00	29,38	G	C
ATOM	6890	O	GLN	C	39	20,141	16,412	4,885	1,00	28,48	G	O
ATOM	6892	N	LYS	C	40	19,384	18,230	3,831	1,00	30,59	G	N
ATOM	6893	CA	LYS	C	40	19,669	19,081	4,955	1,00	31,84	G	C
ATOM	6895	CB	LYS	C	40	19,718	20,538	4,498	1,00	31,85	C	C
ATOM	6898	CG	LYS	C	40	20,888	20,819	3,599	1,00	33,26	C	C
ATOM	6901	CD	LYS	C	40	20,681	22,008	2,684	1,00	36,81	C	C
ATOM	6904	CE	LYS	C	40	21,096	23,305	3,282	1,00	37,69	C	C
ATOM	6907	NZ	LYS	C	40	21,470	24,276	2,219	1,00	41,50	C	N
ATOM	6911	C	LYS	C	40	18,587	18,815	6,025	1,00	32,48	G	C
ATOM	6912	O	LYS	C	40	17,500	18,351	5,712	1,00	31,60	G	O
ATOM	6914	N	PRO	C	41	18,889	19,101	7,299	1,00	33,77	G	N
ATOM	6915	CA	PRO	C	41	17,987	18,654	8,365	1,00	34,04	G	C
ATOM	6917	CB	PRO	C	41	18,661	19,151	9,656	1,00	34,24	G	C
ATOM	6920	CG	PRO	C	41	19,985	19,620	9,256	1,00	35,15	G	C
ATOM	6923	CD	PRO	C	41	19,924	20,001	7,807	1,00	33,43	G	C
ATOM	6926	C	PRO	C	41	16,610	19,238	8,218	1,00	33,83	G	C
ATOM	6927	O	PRO	C	41	16,449	20,433	7,970	1,00	33,25	G	O
ATOM	6928	N	GLY	C	42	15,628	18,360	8,315	1,00	34,90	G	N
ATOM	6929	CA	GLY	C	42	14,234	18,717	8,095	1,00	35,20	G	C
ATOM	6932	C	GLY	C	42	13,822	19,029	6,670	1,00	35,99	G	C

ES 2 540 538 T3

ATOM	6933	O	GLY	C	42	12,672	19,448	6,460	1,00	36,92	G	O
ATOM	6935	N	LYS	C	43	14,703	18,847	5,674	1,00	35,09	G	N
ATOM	6936	CA	LYS	C	43	14,332	19,221	4,314	1,00	35,02	G	C
ATOM	6938	CB	LYS	C	43	15,334	20,224	3,745	1,00	36,06	G	C
ATOM	6941	CG	LYS	C	43	15,396	21,598	4,451	1,00	39,16	G	C
ATOM	6944	CD	LYS	C	43	14,036	22,302	4,611	1,00	44,48	G	C
ATOM	6947	CE	LYS	C	43	13,217	22,443	3,285	1,00	47,97	G	C
ATOM	6950	NZ	LYS	C	43	12,220	23,583	3,332	1,00	51,00	G	N
ATOM	6954	C	LYS	C	43	14,220	18,020	3,375	1,00	33,79	G	C
ATOM	6955	O	LYS	C	43	14,395	16,869	3,770	1,00	32,32	G	O
ATOM	6957	N	GLY	C	44	13,926	18,316	2,117	1,00	33,29	G	N
ATOM	6958	CA	GLY	C	44	13,862	17,308	1,078	1,00	33,13	G	C
ATOM	6961	C	GLY	C	44	15,193	16,806	0,502	1,00	32,15	G	C
ATOM	6962	O	GLY	C	44	16,277	17,227	0,892	1,00	31,49	G	O
ATOM	6964	N	LEU	C	45	15,071	15,913	-0,476	1,00	31,99	G	N
ATOM	6965	CA	LEU	C	45	16,222	15,319	-1,161	1,00	31,01	G	C
ATOM	6967	CB	LEU	C	45	15,842	13,958	-1,712	1,00	31,18	G	C
ATOM	6970	CG	LEU	C	45	15,210	12,979	-0,746	1,00	30,21	G	C
ATOM	6972	CD1	LEU	C	45	14,672	11,756	-1,528	1,00	29,57	G	C
ATOM	6976	CD2	LEU	C	45	16,196	12,592	0,325	1,00	26,90	G	C
ATOM	6980	C	LEU	C	45	16,672	16,187	-2,309	1,00	30,56	G	C
ATOM	6981	O	LEU	C	45	15,847	16,636	-3,104	1,00	29,91	G	O
ATOM	6983	N	GLU	C	46	17,987	16,388	-2,419	1,00	29,82	G	N
ATOM	6984	CA	GLU	C	46	18,528	17,115	-3,520	1,00	29,71	G	C
ATOM	6986	CB	GLU	C	46	19,178	18,400	-3,042	1,00	29,77	G	C
ATOM	6989	CG	GLU	C	46	18,317	19,338	-2,252	1,00	30,60	G	C
ATOM	6992	CD	GLU	C	46	19,182	20,295	-1,519	1,00	31,95	G	C
ATOM	6993	OE1	GLU	C	46	19,588	19,953	-0,379	1,00	28,00	G	O
ATOM	6994	OE2	GLU	C	46	19,530	21,358	-2,114	1,00	36,27	G	O
ATOM	6995	C	GLU	C	46	19,575	16,278	-4,262	1,00	29,67	G	C
ATOM	6996	O	GLU	C	46	20,464	15,679	-3,651	1,00	29,91	G	O
ATOM	6998	N	TRP	C	47	19,487	16,267	-5,585	1,00	29,61	G	N
ATOM	6999	CA	TRP	C	47	20,426	15,525	-6,419	1,00	29,06	G	C
ATOM	7001	CB	TRP	C	47	19,815	15,284	-7,785	1,00	29,66	G	C
ATOM	7004	CG	TRP	C	47	20,670	14,502	-8,740	1,00	28,84	G	C
ATOM	7005	CD1	TRP	C	47	21,303	14,978	-9,830	1,00	27,40	G	C
ATOM	7007	NE1	TRP	C	47	21,963	13,953	-10,488	1,00	26,99	G	N
ATOM	7009	CE2	TRP	C	47	21,739	12,784	-9,810	1,00	28,64	G	C
ATOM	7010	CD2	TRP	C	47	20,932	13,093	-8,697	1,00	27,66	G	C
ATOM	7011	CE3	TRP	C	47	20,568	12,072	-7,825	1,00	28,38	G	C
ATOM	7013	CZ3	TRP	C	47	21,000	10,802	-8,069	1,00	29,60	G	C
ATOM	7015	CH2	TRP	C	47	21,808	10,508	-9,195	1,00	29,42	G	C
ATOM	7017	CZ2	TRP	C	47	22,198	11,485	-10,065	1,00	28,00	G	C
ATOM	7019	C	TRP	C	47	21,677	16,341	-6,573	1,00	28,38	G	C
ATOM	7020	O	TRP	C	47	21,613	17,514	-6,935	1,00	27,70	G	O
ATOM	7022	N	MET	C	48	22,824	15,747	-6,267	1,00	28,02	G	N
ATOM	7023	CA	MET	C	48	24,064	16,488	-6,391	1,00	28,83	G	C
ATOM	7025	CB	MET	C	48	25,022	16,148	-5,258	1,00	28,89	G	C
ATOM	7028	CG	MET	C	48	24,415	16,469	-3,899	1,00	27,73	G	C
ATOM	7031	SD	MET	C	48	25,480	16,059	-2,594	1,00	24,08	G	S
ATOM	7032	CE	MET	C	48	26,791	17,266	-2,802	1,00	21,60	G	C
ATOM	7036	C	MET	C	48	24,744	16,226	-7,708	1,00	29,23	G	C
ATOM	7037	O	MET	C	48	25,331	17,127	-8,263	1,00	30,53	G	O
ATOM	7039	N	GLY	C	49	24,690	14,986	-8,173	1,00	29,12	G	N
ATOM	7040	CA	GLY	C	49	25,426	14,576	-9,339	1,00	29,37	G	C
ATOM	7043	C	GLY	C	49	25,726	13,101	-9,328	1,00	29,31	G	C
ATOM	7044	O	GLY	C	49	25,259	12,372	-8,444	1,00	29,58	G	O
ATOM	7046	N	ILE	C	50	26,556	12,668	-10,273	1,00	29,20	G	N
ATOM	7047	CA	ILE	C	50	26,721	11,257	-10,540	1,00	29,32	G	C
ATOM	7049	CB	ILE	C	50	25,576	10,748	-11,468	1,00	29,89	G	C

ES 2 540 538 T3

ATOM	7051	CG1	ILE	C	50	25,351	9,251	-11,288	1,00	29,01	G	C
ATOM	7054	CD1	ILE	C	50	24,255	8,675	-12,141	1,00	28,52	G	C
ATOM	7058	CG2	ILE	C	50	25,883	11,060	-12,945	1,00	31,49	G	C
ATOM	7062	C	ILE	C	50	28,091	10,979	-11,148	1,00	29,88	G	C
ATOM	7063	O	ILE	C	50	28,696	11,859	-11,763	1,00	30,79	G	O
ATOM	7065	N	ILE	C	51	28,591	9,755	-10,956	1,00	28,88	G	N
ATOM	7066	CA	ILE	C	51	29,908	9,358	-11,433	1,00	27,64	G	C
ATOM	7068	CB	ILE	C	51	31,064	9,580	-10,392	1,00	27,42	C	C
ATOM	7070	CG1	ILE	C	51	32,443	9,379	-11,069	1,00	26,87	C	C
ATOM	7073	CD1	ILE	C	51	33,635	9,940	-10,361	1,00	23,47	C	C
ATOM	7077	CG2	ILE	C	51	30,908	8,636	-9,160	1,00	25,39	C	C
ATOM	7081	C	ILE	C	51	29,872	7,888	-11,892	1,00	28,35	G	C
ATOM	7082	O	ILE	C	51	29,209	7,015	-11,276	1,00	27,27	G	O
ATOM	7084	N	TYR	C	52	30,551	7,635	-13,007	1,00	29,14	G	N
ATOM	7085	CA	TYR	C	52	30,740	6,281	-13,519	1,00	30,05	G	C
ATOM	7087	CB	TYR	C	52	30,443	6,198	-15,013	1,00	30,54	G	C
ATOM	7090	CG	TYR	C	52	30,648	4,782	-15,578	1,00	31,98	G	C
ATOM	7091	CD1	TYR	C	52	30,424	3,650	-14,779	1,00	32,10	G	C
ATOM	7093	CE1	TYR	C	52	30,621	2,401	-15,263	1,00	32,51	G	C
ATOM	7095	CZ	TYR	C	52	31,061	2,229	-16,551	1,00	34,48	G	C
ATOM	7096	OH	TYR	C	52	31,251	0,955	-16,999	1,00	34,52	G	O
ATOM	7098	CE2	TYR	C	52	31,292	3,311	-17,383	1,00	32,26	G	C
ATOM	7100	CD2	TYR	C	52	31,089	4,584	-16,888	1,00	32,98	G	C
ATOM	7102	C	TYR	C	52	32,187	5,920	-13,263	1,00	29,81	G	C
ATOM	7103	O	TYR	C	52	33,055	6,439	-13,941	1,00	29,22	G	O
ATOM	7105	N	PRO	C	52A	32,454	5,084	-12,236	1,00	30,18	G	N
ATOM	7106	CA	PRO	C	52A	33,846	4,862	-11,889	1,00	30,06	G	C
ATOM	7108	CB	PRO	C	52A	33,755	4,121	-10,547	1,00	29,78	G	C
ATOM	7111	CG	PRO	C	52A	32,423	4,544	-10,003	1,00	30,55	G	C
ATOM	7114	CD	PRO	C	52A	31,551	4,575	-11,181	1,00	30,25	G	C
ATOM	7117	C	PRO	C	52A	34,600	4,047	-12,944	1,00	30,81	G	C
ATOM	7118	O	PRO	C	52A	35,811	3,974	-12,901	1,00	30,53	G	O
ATOM	7119	N	GLY	C	53	33,870	3,421	-13,856	1,00	32,00	G	N
ATOM	7120	CA	GLY	C	53	34,469	2,681	-14,930	1,00	33,17	G	C
ATOM	7123	C	GLY	C	53	35,319	3,588	-15,790	1,00	34,06	G	C
ATOM	7124	O	GLY	C	53	36,364	3,182	-16,230	1,00	34,62	G	O
ATOM	7126	N	ASP	C	54	34,874	4,810	-16,048	1,00	34,85	G	N
ATOM	7127	CA	ASP	C	54	35,684	5,691	-16,875	1,00	35,89	G	C
ATOM	7129	CB	ASP	C	54	35,167	5,643	-18,314	1,00	35,62	G	C
ATOM	7132	CG	ASP	C	54	33,781	6,181	-18,440	1,00	37,04	G	C
ATOM	7133	OD1	ASP	C	54	33,133	5,893	-19,465	1,00	40,07	G	O
ATOM	7134	OD2	ASP	C	54	33,335	6,897	-17,511	1,00	36,97	G	O
ATOM	7135	C	ASP	C	54	35,767	7,108	-16,333	1,00	36,67	G	C
ATOM	7136	O	ASP	C	54	36,302	7,987	-16,997	1,00	36,83	G	O
ATOM	7138	N	SER	C	55	35,265	7,314	-15,111	1,00	37,18	G	N
ATOM	7139	CA	SER	C	55	35,390	8,586	-14,389	1,00	37,61	G	C
ATOM	7141	CB	SER	C	55	36,838	9,089	-14,361	1,00	37,92	G	C
ATOM	7144	OG	SER	C	55	37,681	8,161	-13,695	1,00	39,54	G	O
ATOM	7146	C	SER	C	55	34,492	9,671	-14,923	1,00	37,43	G	C
ATOM	7147	O	SER	C	55	34,662	10,840	-14,574	1,00	37,51	G	O
ATOM	7149	N	ASP	C	56	33,515	9,290	-15,731	1,00	37,34	G	N
ATOM	7150	CA	ASP	C	56	32,591	10,247	-16,317	1,00	37,85	G	C
ATOM	7152	CB	ASP	C	56	31,782	9,524	-17,399	1,00	38,54	G	C
ATOM	7155	CG	ASP	C	56	30,835	10,437	-18,189	1,00	41,30	G	C
ATOM	7156	OD1	ASP	C	56	30,756	11,668	-17,958	1,00	47,25	G	O
ATOM	7157	OD2	ASP	C	56	30,145	9,888	-19,067	1,00	43,59	G	O
ATOM	7158	C	ASP	C	56	31,696	10,780	-15,184	1,00	38,24	G	C
ATOM	7159	O	ASP	C	56	30,966	10,014	-14,515	1,00	37,62	G	O
ATOM	7161	N	THR	C	57	31,781	12,075	-14,928	1,00	37,96	G	N
ATOM	7162	CA	THR	C	57	30,997	12,668	-13,857	1,00	38,58	G	C

ES 2 540 538 T3

ATOM	7164	CB	THR	C	57	31,871	13,120	-12,633	1,00	38,46	C	C
ATOM	7166	OG1	THR	C	57	32,107	14,517	-12,706	1,00	41,37	C	O
ATOM	7168	CG2	THR	C	57	33,205	12,405	-12,577	1,00	36,81	C	C
ATOM	7172	C	THR	C	57	30,133	13,807	-14,415	1,00	38,21	G	C
ATOM	7173	O	THR	C	57	30,597	14,580	-15,252	1,00	38,13	G	O
ATOM	7175	N	ARG	C	58	28,864	13,864	-13,980	1,00	37,45	G	N
ATOM	7176	CA	ARG	C	58	27,945	14,935	-14,374	1,00	36,90	G	C
ATOM	7178	CB	ARG	C	58	26,839	14,416	-15,311	1,00	36,54	G	C
ATOM	7187	C	ARG	C	58	27,324	15,539	-13,126	1,00	36,64	G	C
ATOM	7188	O	ARG	C	58	26,609	14,869	-12,385	1,00	35,96	G	O
ATOM	7190	N	TYR	C	59	27,564	16,826	-12,916	1,00	36,55	G	N
ATOM	7191	CA	TYR	C	59	27,021	17,497	-11,740	1,00	36,20	G	C
ATOM	7193	CB	TYR	C	59	27,973	18,576	-11,269	1,00	35,46	G	C
ATOM	7196	CG	TYR	C	59	29,292	18,080	-10,790	1,00	33,49	G	C
ATOM	7197	CD1	TYR	C	59	30,327	17,874	-11,673	1,00	32,28	G	C
ATOM	7199	CE1	TYR	C	59	31,553	17,410	-11,230	1,00	31,99	G	C
ATOM	7201	CZ	TYR	C	59	31,754	17,162	-9,888	1,00	30,16	G	C
ATOM	7202	OH	TYR	C	59	32,994	16,743	-9,464	1,00	28,30	G	O
ATOM	7204	CE2	TYR	C	59	30,732	17,359	-8,991	1,00	30,40	G	C
ATOM	7206	CD2	TYR	C	59	29,513	17,815	-9,438	1,00	31,48	G	C
ATOM	7208	C	TYR	C	59	25,693	18,133	-12,022	1,00	36,80	G	C
ATOM	7209	O	TYR	C	59	25,437	18,578	-13,134	1,00	38,18	G	O
ATOM	7211	N	SER	C	60	24,845	18,208	-11,008	1,00	37,42	G	N
ATOM	7212	CA	SER	C	60	23,745	19,173	-11,039	1,00	38,28	G	C
ATOM	7214	CB	SER	C	60	22,813	18,998	-9,854	1,00	38,33	G	C
ATOM	7217	OG	SER	C	60	21,961	20,116	-9,752	1,00	40,21	G	O
ATOM	7219	C	SER	C	60	24,351	20,575	-11,045	1,00	38,32	G	C
ATOM	7220	O	SER	C	60	25,361	20,801	-10,410	1,00	38,00	G	O
ATOM	7222	N	PRO	C	61	23,768	21,507	-11,809	1,00	39,82	G	N
ATOM	7223	CA	PRO	C	61	24,273	22,886	-11,863	1,00	40,50	G	C
ATOM	7225	CB	PRO	C	61	23,235	23,609	-12,726	1,00	40,79	G	C
ATOM	7228	CG	PRO	C	61	22,580	22,521	-13,518	1,00	41,43	G	C
ATOM	7231	CD	PRO	C	61	22,568	21,327	-12,645	1,00	39,88	G	C
ATOM	7234	C	PRO	C	61	24,338	23,575	-10,507	1,00	40,88	G	C
ATOM	7235	O	PRO	C	61	25,206	24,392	-10,308	1,00	41,63	G	O
ATOM	7236	N	SER	C	62	23,420	23,261	-9,592	1,00	41,24	G	N
ATOM	7237	CA	SER	C	62	23,451	23,841	-8,240	1,00	41,47	G	C
ATOM	7239	CB	SER	C	62	22,246	23,398	-7,423	1,00	41,65	G	C
ATOM	7242	OG	SER	C	62	21,123	23,159	-8,250	1,00	43,12	G	O
ATOM	7244	C	SER	C	62	24,695	23,435	-7,459	1,00	41,42	G	C
ATOM	7245	O	SER	C	62	25,058	24,110	-6,485	1,00	41,56	G	O
ATOM	7247	N	PHE	C	63	25,346	22,340	-7,876	1,00	40,56	G	N
ATOM	7248	CA	PHE	C	63	26,514	21,826	-7,154	1,00	39,80	G	C
ATOM	7250	CB	PHE	C	63	26,242	20,407	-6,717	1,00	39,54	G	C
ATOM	7253	CG	PHE	C	63	25,154	20,316	-5,730	1,00	38,29	G	C
ATOM	7254	CD1	PHE	C	63	25,423	20,451	-4,376	1,00	36,44	G	C
ATOM	7256	CE1	PHE	C	63	24,431	20,407	-3,470	1,00	34,23	G	C
ATOM	7258	CZ	PHE	C	63	23,125	20,233	-3,876	1,00	35,17	G	C
ATOM	7260	CE2	PHE	C	63	22,827	20,124	-5,205	1,00	36,77	G	C
ATOM	7262	CD2	PHE	C	63	23,848	20,179	-6,139	1,00	37,83	G	C
ATOM	7264	C	PHE	C	63	27,811	21,903	-7,907	1,00	39,75	G	C
ATOM	7265	O	PHE	C	63	28,869	21,690	-7,330	1,00	38,80	G	O
ATOM	7267	N	GLN	C	64	27,717	22,227	-9,196	1,00	40,90	G	N
ATOM	7268	CA	GLN	C	64	28,880	22,389	-10,068	1,00	41,14	G	C
ATOM	7270	CB	GLN	C	64	28,431	22,854	-11,466	1,00	41,68	C	C
ATOM	7273	CG	GLN	C	64	29,558	23,025	-12,502	1,00	43,10	C	C
ATOM	7276	CD	GLN	C	64	30,083	21,695	-13,058	1,00	46,85	C	C
ATOM	7277	OE1	GLN	C	64	31,261	21,330	-12,843	1,00	50,46	C	O
ATOM	7278	NE2	GLN	C	64	29,226	20,972	-13,783	1,00	44,04	C	N
ATOM	7281	C	GLN	C	64	29,804	23,404	-9,430	1,00	40,75	G	C

ES 2 540 538 T3

ATOM	7282	O	GLN	C	64	29,383	24,508	-9,106	1,00	41,26	G	O
ATOM	7284	N	GLY	C	65	31,048	23,005	-9,202	1,00	40,26	G	N
ATOM	7285	CA	GLY	C	65	32,016	23,855	-8,569	1,00	39,83	G	C
ATOM	7288	C	GLY	C	65	31,978	23,964	-7,054	1,00	39,73	G	C
ATOM	7289	O	GLY	C	65	32,894	24,525	-6,473	1,00	39,98	G	O
ATOM	7291	N	GLN	C	66	30,936	23,473	-6,400	1,00	39,75	G	N
ATOM	7292	CA	GLN	C	66	30,863	23,528	-4,926	1,00	40,23	G	C
ATOM	7294	CB	GLN	C	66	29,418	23,722	-4,463	1,00	40,68	G	C
ATOM	7297	CG	GLN	C	66	28,743	24,971	-5,026	1,00	45,02	G	C
ATOM	7300	CD	GLN	C	66	29,417	26,224	-4,517	1,00	48,81	G	C
ATOM	7301	OE1	GLN	C	66	29,625	26,361	-3,314	1,00	52,74	G	O
ATOM	7302	NE2	GLN	C	66	29,809	27,118	-5,424	1,00	50,81	G	N
ATOM	7305	C	GLN	C	66	31,428	22,255	-4,270	1,00	39,30	G	C
ATOM	7306	O	GLN	C	66	31,732	22,245	-3,083	1,00	41,28	G	O
ATOM	7308	N	VAL	C	67	31,577	21,194	-5,044	1,00	37,53	G	N
ATOM	7309	CA	VAL	C	67	31,927	19,899	-4,503	1,00	36,13	G	C
ATOM	7311	CB	VAL	C	67	30,655	19,186	-3,961	1,00	35,93	G	C
ATOM	7313	CG1	VAL	C	67	29,765	18,720	-5,103	1,00	34,00	G	C
ATOM	7317	CG2	VAL	C	67	31,043	18,047	-3,024	1,00	36,38	G	C
ATOM	7321	C	VAL	C	67	32,577	19,096	-5,610	1,00	35,08	G	C
ATOM	7322	O	VAL	C	67	32,370	19,387	-6,781	1,00	34,93	G	O
ATOM	7324	N	THR	C	68	33,398	18,116	-5,248	1,00	33,58	G	N
ATOM	7325	CA	THR	C	68	33,989	17,240	-6,239	1,00	31,97	G	C
ATOM	7327	CB	THR	C	68	35,479	17,330	-6,241	1,00	31,77	G	C
ATOM	7329	OG1	THR	C	68	35,851	18,658	-6,600	1,00	31,06	G	O
ATOM	7331	CG2	THR	C	68	36,079	16,363	-7,261	1,00	32,91	G	C
ATOM	7335	C	THR	C	68	33,556	15,826	-5,982	1,00	31,35	G	C
ATOM	7336	O	THR	C	68	33,733	15,308	-4,878	1,00	31,36	G	O
ATOM	7338	N	ILE	C	69	32,932	15,223	-6,983	1,00	30,28	G	N
ATOM	7339	CA	ILE	C	69	32,627	13,808	-6,937	1,00	29,58	G	C
ATOM	7341	CB	ILE	C	69	31,344	13,516	-7,639	1,00	28,99	C	C
ATOM	7343	CG1	ILE	C	69	30,169	14,160	-6,906	1,00	28,50	C	C
ATOM	7346	CD1	ILE	C	69	28,957	14,308	-7,808	1,00	28,18	C	C
ATOM	7350	CG2	ILE	C	69	31,133	12,028	-7,752	1,00	27,59	C	C
ATOM	7354	C	ILE	C	69	33,764	13,022	-7,592	1,00	29,96	G	C
ATOM	7355	O	ILE	C	69	34,265	13,410	-8,648	1,00	29,95	G	O
ATOM	7357	N	SER	C	70	34,207	11,947	-6,957	1,00	29,86	G	N
ATOM	7358	CA	SER	C	70	35,340	11,196	-7,497	1,00	30,38	G	C
ATOM	7360	CB	SER	C	70	36,690	11,800	-7,078	1,00	30,64	G	C
ATOM	7363	OG	SER	C	70	37,068	11,512	-5,747	1,00	34,10	G	O
ATOM	7365	C	SER	C	70	35,188	9,718	-7,165	1,00	30,39	G	C
ATOM	7366	O	SER	C	70	34,205	9,305	-6,526	1,00	29,50	G	O
ATOM	7368	N	ALA	C	71	36,068	8,901	-7,721	1,00	30,03	G	N
ATOM	7369	CA	ALA	C	71	35,960	7,455	-7,508	1,00	30,17	G	C
ATOM	7371	CB	ALA	C	71	34,842	6,849	-8,337	1,00	28,80	G	C
ATOM	7375	C	ALA	C	71	37,278	6,787	-7,806	1,00	30,43	G	C
ATOM	7376	O	ALA	C	71	38,120	7,368	-8,472	1,00	30,30	G	O
ATOM	7378	N	ASP	C	72	37,422	5,570	-7,282	1,00	31,02	G	N
ATOM	7379	CA	ASP	C	72	38,566	4,720	-7,499	1,00	31,53	G	C
ATOM	7381	CB	ASP	C	72	39,521	4,807	-6,286	1,00	32,02	G	C
ATOM	7384	CG	ASP	C	72	40,684	3,799	-6,341	1,00	33,55	G	C
ATOM	7385	OD1	ASP	C	72	41,612	3,950	-5,520	1,00	34,26	G	O
ATOM	7386	OD2	ASP	C	72	40,665	2,841	-7,149	1,00	34,06	G	O
ATOM	7387	C	ASP	C	72	38,018	3,311	-7,700	1,00	31,67	G	C
ATOM	7388	O	ASP	C	72	37,773	2,615	-6,733	1,00	31,91	G	O
ATOM	7390	N	LYS	C	73	37,796	2,941	-8,965	1,00	31,45	G	N
ATOM	7391	CA	LYS	C	73	37,481	1,574	-9,429	1,00	31,52	G	C
ATOM	7393	CB	LYS	C	73	38,103	1,333	-10,805	1,00	33,18	C	C
ATOM	7396	CG	LYS	C	73	37,305	1,665	-11,932	1,00	36,77	C	C
ATOM	7399	CD	LYS	C	73	37,897	1,022	-13,171	1,00	39,36	C	C

ES 2 540 538 T3

ATOM	7402	CE	LYS	C	73	39,314	1,504	-13,498	1,00	40,65	C	C
ATOM	7405	NZ	LYS	C	73	39,555	1,228	-14,921	1,00	41,04	C	N
ATOM	7409	C	LYS	C	73	38,148	0,473	-8,706	1,00	29,76	G	C
ATOM	7410	O	LYS	C	73	37,563	-0,584	-8,516	1,00	29,75	G	O
ATOM	7412	N	SER	C	74	39,435	0,655	-8,452	1,00	28,45	G	N
ATOM	7413	CA	SER	C	74	40,242	-0,472	-7,969	1,00	28,32	G	C
ATOM	7415	CB	SER	C	74	41,737	-0,141	-8,023	1,00	27,79	G	C
ATOM	7418	OG	SER	C	74	42,110	0,792	-7,042	1,00	29,51	G	O
ATOM	7420	C	SER	C	74	39,786	-0,990	-6,585	1,00	28,16	G	C
ATOM	7421	O	SER	C	74	39,973	-2,175	-6,286	1,00	27,49	G	O
ATOM	7423	N	ILE	C	75	39,162	-0,114	-5,783	1,00	27,07	G	N
ATOM	7424	CA	ILE	C	75	38,647	-0,466	-4,441	1,00	26,79	G	C
ATOM	7426	CB	ILE	C	75	39,446	0,266	-3,348	1,00	27,00	C	C
ATOM	7428	CG1	ILE	C	75	39,265	1,815	-3,443	1,00	27,33	C	C
ATOM	7431	CD1	ILE	C	75	39,914	2,617	-2,305	1,00	29,89	C	C
ATOM	7435	CG2	ILE	C	75	40,894	-0,071	-3,543	1,00	26,93	C	C
ATOM	7439	C	ILE	C	75	37,148	-0,206	-4,329	1,00	26,35	G	C
ATOM	7440	O	ILE	C	75	36,617	0,001	-3,226	1,00	27,72	G	O
ATOM	7442	N	ASN	C	76	36,475	-0,190	-5,491	1,00	25,84	G	N
ATOM	7443	CA	ASN	C	76	35,018	-0,062	-5,629	1,00	24,71	G	C
ATOM	7445	CB	ASN	C	76	34,355	-1,425	-5,442	1,00	24,53	G	C
ATOM	7448	CG	ASN	C	76	33,101	-1,579	-6,241	1,00	22,36	G	C
ATOM	7449	OD1	ASN	C	76	33,144	-1,488	-7,455	1,00	22,64	G	O
ATOM	7450	ND2	ASN	C	76	31,956	-1,825	-5,573	1,00	21,83	G	N
ATOM	7453	C	ASN	C	76	34,376	1,005	-4,724	1,00	26,07	G	C
ATOM	7454	O	ASN	C	76	33,349	0,757	-4,094	1,00	26,38	G	O
ATOM	7456	N	THR	C	77	34,990	2,198	-4,717	1,00	26,43	G	N
ATOM	7457	CA	THR	C	77	34,641	3,284	-3,813	1,00	26,51	G	C
ATOM	7459	CB	THR	C	77	35,737	3,430	-2,721	1,00	26,37	G	C
ATOM	7461	OG1	THR	C	77	35,923	2,161	-2,086	1,00	26,05	G	O
ATOM	7463	CG2	THR	C	77	35,371	4,479	-1,656	1,00	25,39	G	C
ATOM	7467	C	THR	C	77	34,464	4,611	-4,584	1,00	26,41	G	C
ATOM	7468	O	THR	C	77	35,264	4,936	-5,441	1,00	26,59	G	O
ATOM	7470	N	ALA	C	78	33,366	5,313	-4,308	1,00	26,47	G	N
ATOM	7471	CA	ALA	C	78	33,129	6,675	-4,768	1,00	26,27	G	C
ATOM	7473	CB	ALA	C	78	31,744	6,806	-5,408	1,00	25,34	G	C
ATOM	7477	C	ALA	C	78	33,264	7,640	-3,589	1,00	26,70	G	C
ATOM	7478	O	ALA	C	78	33,140	7,257	-2,429	1,00	26,69	G	O
ATOM	7480	N	TYR	C	79	33,528	8,903	-3,897	1,00	27,43	G	N
ATOM	7481	CA	TYR	C	79	33,786	9,897	-2,894	1,00	26,97	G	C
ATOM	7483	CB	TYR	C	79	35,267	10,223	-2,818	1,00	27,10	C	C
ATOM	7486	CG	TYR	C	79	36,178	9,046	-2,585	1,00	28,15	C	C
ATOM	7487	CD1	TYR	C	79	36,463	8,587	-1,296	1,00	28,56	C	C
ATOM	7489	CE1	TYR	C	79	37,356	7,483	-1,096	1,00	29,16	C	C
ATOM	7491	CZ	TYR	C	79	37,948	6,869	-2,204	1,00	29,37	C	C
ATOM	7492	OH	TYR	C	79	38,830	5,795	-2,091	1,00	29,80	C	O
ATOM	7494	CE2	TYR	C	79	37,670	7,335	-3,469	1,00	29,24	C	C
ATOM	7496	CD2	TYR	C	79	36,815	8,427	-3,656	1,00	30,10	C	C
ATOM	7498	C	TYR	C	79	33,058	11,186	-3,207	1,00	27,48	G	C
ATOM	7499	O	TYR	C	79	32,735	11,488	-4,378	1,00	27,98	G	O
ATOM	7501	N	LEU	C	80	32,826	11,948	-2,146	1,00	26,06	G	N
ATOM	7502	CA	LEU	C	80	32,368	13,291	-2,244	1,00	26,26	G	C
ATOM	7504	CB	LEU	C	80	30,995	13,369	-1,597	1,00	26,73	G	C
ATOM	7507	CG	LEU	C	80	30,001	14,406	-2,010	1,00	26,61	G	C
ATOM	7509	CD1	LEU	C	80	29,730	14,283	-3,524	1,00	29,48	G	C
ATOM	7513	CD2	LEU	C	80	28,743	14,203	-1,161	1,00	21,40	G	C
ATOM	7517	C	LEU	C	80	33,399	14,122	-1,501	1,00	26,06	G	C
ATOM	7518	O	LEU	C	80	33,868	13,715	-0,431	1,00	26,00	G	O
ATOM	7520	N	GLN	C	81	33,767	15,266	-2,067	1,00	25,75	G	N
ATOM	7521	CA	GLN	C	81	34,901	16,006	-1,586	1,00	27,06	G	C

ES 2 540 538 T3

ATOM	7523	CB	GLN	C	81	36,077	15,693	-2,501	1,00	28,72	G	C
ATOM	7526	CG	GLN	C	81	37,391	16,249	-2,118	1,00	32,69	G	C
ATOM	7529	CD	GLN	C	81	38,581	15,567	-2,842	1,00	41,81	G	C
ATOM	7530	OE1	GLN	C	81	39,744	15,942	-2,605	1,00	45,73	G	O
ATOM	7531	NE2	GLN	C	81	38,299	14,563	-3,721	1,00	43,01	G	N
ATOM	7534	C	GLN	C	81	34,641	17,513	-1,599	1,00	26,48	G	C
ATOM	7535	O	GLN	C	81	34,102	18,079	-2,549	1,00	26,00	G	O
ATOM	7537	N	TRP	C	82	35,112	18,161	-0,558	1,00	26,70	G	N
ATOM	7538	CA	TRP	C	82	34,920	19,590	-0,378	1,00	26,39	G	C
ATOM	7540	CB	TRP	C	82	33,960	19,853	0,770	1,00	26,56	G	C
ATOM	7543	CG	TRP	C	82	32,578	19,560	0,541	1,00	23,29	G	C
ATOM	7544	CD1	TRP	C	82	31,642	20,402	0,057	1,00	25,47	G	C
ATOM	7546	NE1	TRP	C	82	30,406	19,786	0,040	1,00	26,51	G	N
ATOM	7548	CE2	TRP	C	82	30,549	18,520	0,552	1,00	25,94	G	C
ATOM	7549	CD2	TRP	C	82	31,905	18,357	0,894	1,00	25,28	G	C
ATOM	7550	CE3	TRP	C	82	32,321	17,141	1,454	1,00	26,63	G	C
ATOM	7552	CZ3	TRP	C	82	31,393	16,148	1,643	1,00	25,87	G	C
ATOM	7554	CH2	TRP	C	82	30,053	16,339	1,307	1,00	23,45	G	C
ATOM	7556	CZ2	TRP	C	82	29,617	17,519	0,740	1,00	25,29	G	C
ATOM	7558	C	TRP	C	82	36,251	20,099	0,050	1,00	26,65	G	C
ATOM	7559	O	TRP	C	82	36,891	19,489	0,907	1,00	26,70	G	O
ATOM	7561	N	SER	C	82A	36,679	21,205	-0,521	1,00	26,58	G	N
ATOM	7562	CA	SER	C	82A	37,953	21,787	-0,135	1,00	27,09	G	C
ATOM	7564	CB	SER	C	82A	38,599	22,399	-1,390	1,00	27,79	G	C
ATOM	7567	OG	SER	C	82A	37,763	23,404	-1,956	1,00	27,84	G	O
ATOM	7569	C	SER	C	82A	37,796	22,856	0,995	1,00	27,24	G	C
ATOM	7570	O	SER	C	82A	38,714	23,073	1,777	1,00	27,69	G	O
ATOM	7572	N	SER	C	82B	36,639	23,510	1,056	1,00	27,25	G	N
ATOM	7573	CA	SER	C	82B	36,349	24,569	2,039	1,00	27,29	G	C
ATOM	7575	CB	SER	C	82B	36,584	25,938	1,383	1,00	26,88	G	C
ATOM	7578	OG	SER	C	82B	36,417	27,017	2,302	1,00	30,00	G	O
ATOM	7580	C	SER	C	82B	34,891	24,460	2,479	1,00	26,70	G	C
ATOM	7581	O	SER	C	82B	33,992	24,995	1,835	1,00	26,34	G	O
ATOM	7583	N	LEU	C	82C	34,627	23,732	3,552	1,00	26,46	G	N
ATOM	7584	CA	LEU	C	82C	33,228	23,519	3,949	1,00	25,58	G	C
ATOM	7586	CB	LEU	C	82C	33,124	22,528	5,093	1,00	25,31	G	C
ATOM	7589	CG	LEU	C	82C	33,356	21,038	4,778	1,00	24,46	G	C
ATOM	7591	CD1	LEU	C	82C	33,720	20,271	6,064	1,00	23,38	G	C
ATOM	7595	CD2	LEU	C	82C	32,198	20,381	4,051	1,00	18,90	G	C
ATOM	7599	C	LEU	C	82C	32,556	24,819	4,360	1,00	26,15	G	C
ATOM	7600	O	LEU	C	82C	33,218	25,701	4,916	1,00	25,06	G	O
ATOM	7602	N	LYS	C	83	31,253	24,919	4,061	1,00	26,40	G	N
ATOM	7603	CA	LYS	C	83	30,377	25,932	4,614	1,00	27,16	G	C
ATOM	7605	CB	LYS	C	83	29,511	26,518	3,515	1,00	27,97	G	C
ATOM	7608	CG	LYS	C	83	30,289	27,030	2,319	1,00	30,71	G	C
ATOM	7611	CD	LYS	C	83	29,411	27,275	1,110	1,00	34,25	G	C
ATOM	7614	CE	LYS	C	83	30,268	27,121	-0,186	1,00	37,96	G	C
ATOM	7617	NZ	LYS	C	83	29,706	27,889	-1,295	1,00	38,79	G	N
ATOM	7621	C	LYS	C	83	29,453	25,306	5,692	1,00	27,88	G	C
ATOM	7622	O	LYS	C	83	29,127	24,085	5,635	1,00	28,20	G	O
ATOM	7624	N	ALA	C	84	29,061	26,135	6,664	1,00	26,50	G	N
ATOM	7625	CA	ALA	C	84	27,984	25,830	7,614	1,00	27,19	G	C
ATOM	7627	CB	ALA	C	84	27,496	27,121	8,349	1,00	26,15	C	C
ATOM	7631	C	ALA	C	84	26,816	25,181	6,902	1,00	27,03	G	C
ATOM	7632	O	ALA	C	84	26,327	24,117	7,341	1,00	26,72	G	O
ATOM	7634	N	SER	C	85	26,419	25,810	5,786	1,00	26,61	G	N
ATOM	7635	CA	SER	C	85	25,268	25,401	4,989	1,00	26,44	G	C
ATOM	7637	CB	SER	C	85	24,973	26,456	3,903	1,00	27,80	G	C
ATOM	7640	OG	SER	C	85	26,101	26,654	3,026	1,00	28,40	G	O
ATOM	7642	C	SER	C	85	25,414	24,034	4,332	1,00	26,07	G	C

ES 2 540 538 T3

ATOM	7643	O	SER	C	85	24,446	23,511	3,813	1,00	25,95	G	O
ATOM	7645	N	ASP	C	86	26,609	23,441	4,376	1,00	26,53	G	N
ATOM	7646	CA	ASP	C	86	26,817	22,046	3,918	1,00	25,45	G	C
ATOM	7648	CB	ASP	C	86	28,278	21,791	3,563	1,00	24,76	G	C
ATOM	7651	CG	ASP	C	86	28,757	22,602	2,379	1,00	24,35	G	C
ATOM	7652	OD1	ASP	C	86	28,019	22,719	1,379	1,00	24,74	G	C
ATOM	7653	OD2	ASP	C	86	29,927	23,054	2,416	1,00	22,99	G	C
ATOM	7654	C	ASP	C	86	26,430	21,029	4,964	1,00	24,96	G	C
ATOM	7655	O	ASP	C	86	26,569	19,812	4,732	1,00	24,09	G	C
ATOM	7657	N	THR	C	87	26,013	21,500	6,144	1,00	24,33	G	N
ATOM	7658	CA	THR	C	87	25,459	20,586	7,175	1,00	23,50	G	C
ATOM	7660	CB	THR	C	87	25,105	21,352	8,458	1,00	23,88	G	C
ATOM	7662	OG1	THR	C	87	26,315	21,894	8,996	1,00	23,20	G	O
ATOM	7664	CG2	THR	C	87	24,405	20,421	9,520	1,00	21,55	G	C
ATOM	7668	C	THR	C	87	24,235	19,836	6,637	1,00	22,70	G	C
ATOM	7669	O	THR	C	87	23,268	20,434	6,230	1,00	22,40	G	O
ATOM	7671	N	ALA	C	88	24,314	18,513	6,609	1,00	23,01	G	N
ATOM	7672	CA	ALA	C	88	23,295	17,696	6,002	1,00	22,41	G	C
ATOM	7674	CB	ALA	C	88	23,151	18,050	4,528	1,00	23,66	G	C
ATOM	7678	C	ALA	C	88	23,693	16,257	6,117	1,00	23,78	G	C
ATOM	7679	O	ALA	C	88	24,795	15,942	6,547	1,00	23,79	G	C
ATOM	7681	N	ILE	C	89	22,801	15,367	5,711	1,00	24,47	G	N
ATOM	7682	CA	ILE	C	89	23,178	13,976	5,539	1,00	25,37	G	C
ATOM	7684	CB	ILE	C	89	22,116	13,084	6,138	1,00	26,03	C	C
ATOM	7686	CG1	ILE	C	89	22,531	11,623	6,116	1,00	30,07	C	C
ATOM	7689	CD1	ILE	C	89	21,855	10,814	7,303	1,00	35,70	C	C
ATOM	7693	CG2	ILE	C	89	20,838	13,230	5,383	1,00	27,94	C	C
ATOM	7697	C	ILE	C	89	23,391	13,743	4,035	1,00	25,29	G	C
ATOM	7698	O	ILE	C	89	22,680	14,320	3,211	1,00	25,65	G	O
ATOM	7700	N	TYR	C	90	24,426	12,974	3,683	1,00	25,40	G	N
ATOM	7701	CA	TYR	C	90	24,770	12,684	2,289	1,00	24,84	G	C
ATOM	7703	CB	TYR	C	90	26,201	13,119	1,950	1,00	24,31	G	C
ATOM	7706	CG	TYR	C	90	26,312	14,614	2,056	1,00	24,46	G	C
ATOM	7707	CD1	TYR	C	90	26,549	15,251	3,291	1,00	22,89	G	C
ATOM	7709	CE1	TYR	C	90	26,556	16,636	3,375	1,00	23,13	G	C
ATOM	7711	CZ	TYR	C	90	26,327	17,379	2,238	1,00	23,22	G	C
ATOM	7712	OH	TYR	C	90	26,314	18,759	2,250	1,00	22,93	G	O
ATOM	7714	CE2	TYR	C	90	26,089	16,752	1,031	1,00	23,74	G	C
ATOM	7716	CD2	TYR	C	90	26,055	15,405	0,958	1,00	24,66	G	C
ATOM	7718	C	TYR	C	90	24,550	11,225	2,069	1,00	25,16	G	C
ATOM	7719	O	TYR	C	90	25,147	10,393	2,759	1,00	25,50	G	O
ATOM	7721	N	TYR	C	91	23,678	10,916	1,116	1,00	25,30	G	N
ATOM	7722	CA	TYR	C	91	23,440	9,535	0,709	1,00	26,15	G	C
ATOM	7724	CB	TYR	C	91	21,959	9,260	0,562	1,00	25,68	G	C
ATOM	7727	CG	TYR	C	91	21,089	9,529	1,780	1,00	26,79	G	C
ATOM	7728	CD1	TYR	C	91	20,978	8,603	2,816	1,00	28,37	G	C
ATOM	7730	CE1	TYR	C	91	20,137	8,838	3,940	1,00	28,93	G	C
ATOM	7732	CZ	TYR	C	91	19,406	10,024	3,978	1,00	30,71	G	C
ATOM	7733	OH	TYR	C	91	18,578	10,324	5,014	1,00	31,81	G	O
ATOM	7735	CE2	TYR	C	91	19,496	10,939	2,940	1,00	29,79	G	C
ATOM	7737	CD2	TYR	C	91	20,324	10,686	1,853	1,00	28,44	G	C
ATOM	7739	C	TYR	C	91	24,084	9,280	-0,658	1,00	27,10	G	C
ATOM	7740	O	TYR	C	91	23,967	10,095	-1,585	1,00	26,88	G	O
ATOM	7742	N	CYS	C	92	24,770	8,151	-0,773	1,00	27,84	G	N
ATOM	7743	CA	CYS	C	92	25,237	7,686	-2,057	1,00	28,21	G	C
ATOM	7745	CB	CYS	C	92	26,614	7,018	-1,954	1,00	28,08	G	C
ATOM	7748	SG	CYS	C	92	26,720	5,510	-1,062	1,00	28,09	G	s
ATOM	7750	C	CYS	C	92	24,167	6,735	-2,559	1,00	29,25	G	C
ATOM	7751	O	CYS	C	92	23,486	6,102	-1,776	1,00	29,32	G	O
ATOM	7753	N	VAL	C	93	23,996	6,693	-3,869	1,00	29,73	G	N

ES 2 540 538 T3

ATOM	7754	CA	VAL	C	93	22,944	5,928	-4,496	1,00	30,02	G	C
ATOM	7756	CB	VAL	C	93	21,865	6,829	-5,054	1,00	30,39	C	C
ATOM	7758	CG1	VAL	C	93	20,853	6,018	-5,877	1,00	29,82	C	C
ATOM	7762	CG2	VAL	C	93	21,168	7,585	-3,909	1,00	29,75	C	C
ATOM	7766	C	VAL	C	93	23,561	5,121	-5,638	1,00	30,93	G	C
ATOM	7767	O	VAL	C	93	24,383	5,631	-6,414	1,00	30,29	G	O
ATOM	7769	N	GLY	C	94	23,178	3,858	-5,700	1,00	31,17	G	N
ATOM	7770	CA	GLY	C	94	23,707	2,941	-6,688	1,00	32,18	G	C
ATOM	7773	C	GLY	C	94	22,705	2,862	-7,813	1,00	32,31	G	C
ATOM	7774	O	GLY	C	94	21,551	2,565	-7,566	1,00	31,95	G	O
ATOM	7776	N	LEU	C	95	23,135	3,176	-9,036	1,00	32,46	G	N
ATOM	7777	CA	LEU	C	95	22,257	3,025	-10,196	1,00	33,05	G	C
ATOM	7779	CB	LEU	C	95	21,650	4,335	-10,714	1,00	32,71	G	C
ATOM	7782	CG	LEU	C	95	22,092	5,794	-10,507	1,00	33,37	G	C
ATOM	7784	CD1	LEU	C	95	22,732	6,077	-9,163	1,00	32,33	G	C
ATOM	7788	CD2	LEU	C	95	20,861	6,703	-10,726	1,00	29,16	G	C
ATOM	7792	C	LEU	C	95	22,931	2,249	-11,317	1,00	33,60	G	C
ATOM	7793	O	LEU	C	95	24,142	2,379	-11,574	1,00	33,68	G	O
ATOM	7795	N	ASP	C	96	22,108	1,459	-11,978	1,00	34,18	G	N
ATOM	7796	CA	ASP	C	96	22,546	0,570	-13,018	1,00	35,15	G	C
ATOM	7798	CB	ASP	C	96	21,373	-0,253	-13,498	1,00	35,66	C	C
ATOM	7801	CG	ASP	C	96	20,900	-1,177	-12,460	1,00	36,62	C	C
ATOM	7802	OD1	ASP	C	96	21,732	-1,637	-11,643	1,00	43,92	C	O
ATOM	7803	OD2	ASP	C	96	19,704	-1,434	-12,437	1,00	41,23	C	O
ATOM	7804	C	ASP	C	96	23,177	1,317	-14,166	1,00	35,23	G	C
ATOM	7805	O	ASP	C	96	24,181	0,875	-14,714	1,00	35,12	G	O
ATOM	7807	N	TRP	C	97	22,608	2,455	-14,519	1,00	34,98	G	N
ATOM	7808	CA	TRP	C	97	23,292	3,337	-15,427	1,00	35,31	G	C
ATOM	7810	CB	TRP	C	97	23,066	2,912	-16,891	1,00	35,05	C	C
ATOM	7813	CG	TRP	C	97	24,110	3,450	-17,806	1,00	33,98	C	C
ATOM	7814	CD1	TRP	C	97	24,000	4,548	-18,607	1,00	33,95	C	C
ATOM	7816	NE1	TRP	C	97	25,166	4,763	-19,280	1,00	33,93	C	N
ATOM	7818	CE2	TRP	C	97	26,069	3,797	-18,930	1,00	34,40	C	C
ATOM	7819	CD2	TRP	C	97	25,442	2,959	-17,987	1,00	34,31	C	C
ATOM	7820	CE3	TRP	C	97	26,172	1,887	-17,444	1,00	34,20	C	C
ATOM	7822	CZ3	TRP	C	97	27,478	1,683	-17,877	1,00	35,16	C	C
ATOM	7824	CH2	TRP	C	97	28,081	2,540	-18,821	1,00	34,31	C	C
ATOM	7826	CZ2	TRP	C	97	27,400	3,605	-19,349	1,00	34,51	C	C
ATOM	7828	C	TRP	C	97	22,807	4,740	-15,201	1,00	35,76	G	C
ATOM	7829	O	TRP	C	97	21,795	4,952	-14,513	1,00	35,39	G	O
ATOM	7831	N	ASM	C	98	23,528	5,705	-15,760	1,00	36,07	C	N
ATOM	7832	CA	ASN	C	98	22,997	7,053	-15,834	1,00	37,46	C	C
ATOM	7834	CB	ASN	C	98	23,841	7,968	-16,761	1,00	37,50	C	C
ATOM	7837	CG	ASN	C	98	23,579	9,457	-16,494	1,00	38,37	C	C
ATOM	7838	OD1	ASN	C	98	22,922	9,803	-15,501	1,00	38,86	C	O
ATOM	7839	ND2	ASN	C	98	24,084	10,332	-17,363	1,00	35,74	C	N
ATOM	7842	C	ASN	C	98	21,555	6,958	-16,311	1,00	38,29	C	C
ATOM	7843	O	ASN	C	98	21,205	6,003	-17,034	1,00	38,36	C	O
ATOM	7845	N	TYR	C	99	20,715	7,892	-15,864	1,00	39,09	C	N
ATOM	7846	CA	TYR	C	99	19,305	7,978	-16,299	1,00	40,49	C	C
ATOM	7848	CB	TYR	C	99	19,196	8,003	-17,827	1,00	41,32	C	C
ATOM	7851	CG	TYR	C	99	19,499	9,330	-18,462	1,00	46,56	C	C
ATOM	7852	CD1	TYR	C	99	18,469	10,245	-18,715	1,00	51,64	C	C
ATOM	7854	CE1	TYR	C	99	18,721	11,485	-19,327	1,00	53,91	C	C
ATOM	7856	CZ	TYR	C	99	20,017	11,818	-19,711	1,00	55,38	C	C
ATOM	7857	OH	TYR	C	99	20,230	13,052	-20,319	1,00	57,45	C	O
ATOM	7859	CE2	TYR	C	99	21,076	10,924	-19,468	1,00	53,26	C	C
ATOM	7861	CD2	TYR	C	99	20,799	9,667	-18,856	1,00	51,37	C	C
ATOM	7863	C	TYR	C	99	18,381	6,880	-15,801	1,00	40,20	C	C
ATOM	7864	O	TYR	C	99	17,200	6,876	-16,133	1,00	40,60	C	O

ES 2 540 538 T3

ATOM	7866	N	ASN	C	100	18,897	5,940	-15,027	1,00	39,92	G	N
ATOM	7867	CA	ASN	C	100	18,077	4,835	-14,534	1,00	39,25	G	C
ATOM	7869	CB	ASN	C	100	18,892	3,532	-14,591	1,00	39,25	C	C
ATOM	7872	CG	ASN	C	100	19,041	3,002	-16,025	1,00	37,78	C	C
ATOM	7873	OD1	ASN	C	100	19,642	3,648	-16,871	1,00	37,76	C	O
ATOM	7874	ND2	ASN	C	100	18,473	1,849	-16,289	1,00	36,56	C	N
ATOM	7877	C	ASN	C	100	17,559	5,149	-13,120	1,00	39,40	G	C
ATOM	7878	O	ASN	C	100	17,832	6,233	-12,591	1,00	39,47	G	O
ATOM	7880	N	PRO	C	100A	16,773	4,236	-12,529	1,00	38,81	G	N
ATOM	7881	CA	PRO	C	100A	16,198	4,526	-11,211	1,00	38,95	G	C
ATOM	7883	CB	PRO	C	100A	15,211	3,364	-10,984	1,00	38,71	C	C
ATOM	7886	CG	PRO	C	100A	14,978	2,774	-12,338	1,00	39,46	C	C
ATOM	7889	CD	PRO	C	100A	16,267	2,963	-13,074	1,00	39,23	C	C
ATOM	7892	C	PRO	C	100A	17,250	4,559	-10,086	1,00	38,07	G	C
ATOM	7893	O	PRO	C	100A	18,222	3,813	-10,134	1,00	38,78	G	O
ATOM	7894	N	LEU	C	100B	17,057	5,433	-9,105	1,00	36,95	G	N
ATOM	7895	CA	LEU	C	100B	17,923	5,477	-7,919	1,00	36,15	G	C
ATOM	7897	CB	LEU	C	100B	17,697	6,768	-7,117	1,00	36,32	C	C
ATOM	7900	CG	LEU	C	100B	17,565	8,122	-7,831	1,00	36,33	C	C
ATOM	7902	CD1	LEU	C	100B	17,968	9,274	-6,878	1,00	36,13	C	C
ATOM	7906	CD2	LEU	C	100B	18,323	8,193	-9,091	1,00	36,14	C	C
ATOM	7910	C	LEU	C	100B	17,627	4,220	-7,079	1,00	34,96	G	C
ATOM	7911	O	LEU	C	100B	16,764	4,211	-6,201	1,00	33,32	G	O
ATOM	7913	N	ARG	C	101	18,335	3,147	-7,389	1,00	34,34	G	N
ATOM	7914	CA	ARG	C	101	17,897	1,817	-6,980	1,00	34,45	G	C
ATOM	7916	CB	ARG	C	101	18,273	0,774	-8,069	1,00	35,27	C	C
ATOM	7919	CG	ARG	C	101	18,262	-0,692	-7,567	1,00	38,36	C	C
ATOM	7922	CD	ARG	C	101	17,341	-1,601	-8,366	1,00	44,96	C	C
ATOM	7925	NE	ARG	C	101	17,980	-2,201	-9,532	1,00	47,96	C	N
ATOM	7927	CZ	ARG	C	101	17,949	-3,505	-9,865	1,00	50,57	C	C
ATOM	7928	NH1	ARG	C	101	17,311	-4,426	-9,139	1,00	49,87	C	N
ATOM	7931	NH2	ARG	C	101	18,581	-3,896	-10,966	1,00	50,72	C	N
ATOM	7934	C	ARG	C	101	18,415	1,408	-5,603	1,00	32,80	G	C
ATOM	7935	O	ARG	C	101	17,674	0,828	-4,805	1,00	32,38	G	O
ATOM	7937	N	TYR	C	102	19,686	1,658	-5,335	1,00	31,35	G	N
ATOM	7938	CA	TYR	C	102	20,262	1,228	-4,055	1,00	31,67	G	C
ATOM	7940	CB	TYR	C	102	21,452	0,287	-4,235	1,00	31,60	C	C
ATOM	7943	CG	TYR	C	102	21,141	-0,929	-5,048	1,00	32,92	C	C
ATOM	7944	CD1	TYR	C	102	20,548	-2,044	-4,456	1,00	35,41	C	C
ATOM	7946	CE1	TYR	C	102	20,250	-3,173	-5,192	1,00	36,85	C	C
ATOM	7948	CZ	TYR	C	102	20,569	-3,213	-6,552	1,00	36,19	C	C
ATOM	7949	OH	TYR	C	102	20,253	-4,335	-7,260	1,00	39,93	C	O
ATOM	7951	CE2	TYR	C	102	21,157	-2,126	-7,182	1,00	35,07	C	C
ATOM	7953	CD2	TYR	C	102	21,430	-0,971	-6,423	1,00	34,76	C	C
ATOM	7955	C	TYR	C	102	20,698	2,459	-3,298	1,00	30,94	G	C
ATOM	7956	O	TYR	C	102	21,264	3,399	-3,875	1,00	31,81	G	O
ATOM	7958	N	TRP	C	103	20,415	2,473	-2,008	1,00	29,81	G	N
ATOM	7959	CA	TRP	C	103	20,705	3,661	-1,195	1,00	28,37	G	C
ATOM	7961	CB	TRP	C	103	19,407	4,207	-0,655	1,00	28,53	G	C
ATOM	7964	CG	TRP	C	103	18,584	4,880	-1,686	1,00	27,25	G	C
ATOM	7965	CD1	TRP	C	103	17,859	4,285	-2,657	1,00	27,43	G	C
ATOM	7967	NE1	TRP	C	103	17,251	5,231	-3,431	1,00	29,46	G	N
ATOM	7969	CE2	TRP	C	103	17,585	6,473	-2,972	1,00	26,95	G	C
ATOM	7970	CD2	TRP	C	103	18,410	6,294	-1,862	1,00	28,24	G	C
ATOM	7971	CE3	TRP	C	103	18,886	7,424	-1,188	1,00	27,83	G	C
ATOM	7973	CZ3	TRP	C	103	18,504	8,655	-1,634	1,00	26,85	G	C
ATOM	7975	CH2	TRP	C	103	17,674	8,800	-2,731	1,00	25,38	G	C
ATOM	7977	CZ2	TRP	C	103	17,192	7,714	-3,406	1,00	28,02	G	C
ATOM	7979	C	TRP	C	103	21,665	3,265	-0,080	1,00	27,86	G	C
ATOM	7980	O	TRP	C	103	21,528	2,185	0,512	1,00	28,12	G	O

ES 2 540 538 T3

ATOM	7982	N	GLY	C	104	22,692	4,077	0,153	1,00	26,62	G	N
ATOM	7983	CA	GLY	C	104	23,535	3,894	1,343	1,00	27,19	G	C
ATOM	7986	C	GLY	C	104	22,788	4,428	2,570	1,00	26,63	G	C
ATOM	7987	O	GLY	C	104	21,719	4,988	2,406	1,00	25,36	G	O
ATOM	7989	N	PRO	C	105	23,321	4,217	3,787	1,00	27,23	G	N
ATOM	7990	CA	PRO	C	105	22,611	4,672	4,997	1,00	27,97	G	C
ATOM	7992	CB	PRO	C	105	23,208	3,819	6,128	1,00	28,10	C	C
ATOM	7995	CG	PRO	C	105	24,490	3,340	5,630	1,00	28,11	C	C
ATOM	7998	CD	PRO	C	105	24,352	3,219	4,120	1,00	28,46	C	C
ATOM	8001	C	PRO	C	105	22,777	6,153	5,275	1,00	27,92	G	C
ATOM	8002	O	PRO	C	105	22,010	6,714	6,060	1,00	28,03	G	O
ATOM	8003	N	GLY	C	106	23,719	6,790	4,587	1,00	27,48	G	N
ATOM	8004	CA	GLY	C	106	23,894	8,236	4,690	1,00	26,28	G	C
ATOM	8007	C	GLY	C	106	25,098	8,529	5,561	1,00	25,73	G	C
ATOM	8008	O	GLY	C	106	25,491	7,714	6,410	1,00	25,41	G	O
ATOM	8010	N	THR	C	107	25,703	9,690	5,343	1,00	25,11	G	N
ATOM	8011	CA	THR	C	107	26,810	10,152	6,187	1,00	24,75	G	C
ATOM	8013	CB	THR	C	107	28,151	10,216	5,371	1,00	25,07	G	C
ATOM	8015	OG1	THR	C	107	28,634	8,894	5,163	1,00	24,03	G	O
ATOM	8017	CG2	THR	C	107	29,222	11,014	6,142	1,00	27,91	G	C
ATOM	8021	C	THR	C	107	26,410	11,524	6,671	1,00	24,23	G	C
ATOM	8022	O	THR	C	107	26,136	12,374	5,850	1,00	22,36	G	O
ATOM	8024	N	LEU	C	108	26,308	11,706	7,997	1,00	24,22	G	N
ATOM	8025	CA	LEU	C	108	25,956	12,975	8,580	1,00	24,74	G	C
ATOM	8027	CB	LEU	C	108	25,507	12,885	10,080	1,00	26,35	G	C
ATOM	8030	CG	LEU	C	108	24,374	13,810	10,581	1,00	27,84	G	C
ATOM	8032	CD1	LEU	C	108	24,482	14,089	12,098	1,00	30,69	G	C
ATOM	8036	CD2	LEU	C	108	24,200	15,110	9,866	1,00	27,39	G	C
ATOM	8040	C	LEU	C	108	27,190	13,789	8,557	1,00	23,49	G	C
ATOM	8041	O	LEU	C	108	28,242	13,340	8,985	1,00	22,18	G	O
ATOM	8043	N	VAL	C	109	27,044	14,999	8,076	1,00	22,84	G	N
ATOM	8044	CA	VAL	C	109	28,115	15,948	8,105	1,00	23,30	G	C
ATOM	8046	CB	VAL	C	109	28,612	16,323	6,684	1,00	23,61	G	C
ATOM	8048	CG1	VAL	C	109	29,733	17,416	6,766	1,00	20,71	G	C
ATOM	8052	CG2	VAL	C	109	29,097	15,046	5,981	1,00	22,35	G	C
ATOM	8056	C	VAL	C	109	27,605	17,193	8,814	1,00	23,83	G	C
ATOM	8057	O	VAL	C	109	26,628	17,789	8,389	1,00	23,29	G	O
ATOM	8059	N	THR	C	110	28,303	17,553	9,889	1,00	25,43	G	N
ATOM	8060	CA	THR	C	110	27,940	18,702	10,737	1,00	25,96	G	C
ATOM	8062	CB	THR	C	110	27,778	18,320	12,243	1,00	25,77	G	C
ATOM	8064	OG1	THR	C	110	26,816	17,290	12,364	1,00	26,90	G	O
ATOM	8066	CG2	THR	C	110	27,288	19,540	13,049	1,00	26,85	G	C
ATOM	8070	C	THR	C	110	29,030	19,696	10,615	1,00	25,23	G	C
ATOM	8071	O	THR	C	110	30,159	19,405	10,958	1,00	25,07	G	O
ATOM	8073	N	VAL	C	111	28,698	20,862	10,086	1,00	26,98	G	N
ATOM	8074	CA	VAL	C	111	29,702	21,879	9,869	1,00	27,93	G	C
ATOM	8076	CB	VAL	C	111	29,741	22,337	8,398	1,00	28,46	G	C
ATOM	8078	CG1	VAL	C	111	30,868	23,365	8,199	1,00	27,63	G	C
ATOM	8082	CG2	VAL	C	111	29,920	21,119	7,419	1,00	26,38	G	C
ATOM	8086	C	VAL	C	111	29,357	23,042	10,799	1,00	28,74	G	C
ATOM	8087	O	VAL	C	111	28,296	23,635	10,685	1,00	29,40	G	O
ATOM	8089	N	SER	C	112	30,242	23,360	11,730	1,00	28,82	C	N
ATOM	8090	CA	SER	C	112	29,938	24,472	12,622	1,00	29,77	C	C
ATOM	8092	CB	SER	C	112	29,017	23,969	13,759	1,00	30,04	C	C
ATOM	8095	OG	SER	C	112	29,189	24,718	14,947	1,00	31,35	C	O
ATOM	8097	C	SER	C	112	31,207	25,089	13,186	1,00	29,44	C	C
ATOM	8098	O	SER	C	112	32,223	24,416	13,335	1,00	27,44	C	O
ATOM	8100	N	SER	C	113	31,115	26,370	13,520	1,00	30,82	C	N
ATOM	8101	CA	SER	C	113	32,244	27,072	14,121	1,00	32,05	C	C
ATOM	8103	CB	SER	C	113	32,046	28,581	14,006	1,00	32,71	C	C

ES 2 540 538 T3

ATOM	8106	OG	SER	C	113	32,034	28,971	12,632	1,00	31,62	C	O
ATOM	8108	C	SER	C	113	32,502	26,655	15,577	1,00	32,69	C	C
ATOM	8109	O	SER	C	113	33,592	26,865	16,079	1,00	34,04	C	O
ATOM	8111	N	ALA	C	114	31,542	25,998	16,233	1,00	32,97	C	N
ATOM	8112	CA	ALA	C	114	31,722	25,567	17,619	1,00	31,96	C	C
ATOM	8114	CB	ALA	C	114	30,422	24,898	18,172	1,00	31,54	C	C
ATOM	8118	C	ALA	C	114	32,865	24,602	17,658	1,00	32,25	C	C
ATOM	8119	O	ALA	C	114	33,146	23,943	16,649	1,00	31,77	C	O
ATOM	8121	N	SER	C	115	33,534	24,524	18,808	1,00	31,90	C	N
ATOM	8122	CA	SER	C	115	34,638	23,581	19,003	1,00	32,64	C	C
ATOM	8124	CB	SER	C	115	35,875	24,339	19,551	1,00	33,46	C	C
ATOM	8127	OG	SER	C	115	36,172	25,505	18,765	1,00	35,92	C	O
ATOM	8129	C	SER	C	115	34,251	22,469	19,972	1,00	32,30	C	C
ATOM	8130	O	SER	C	115	33,405	22,683	20,852	1,00	31,01	C	O
ATOM	8132	N	THR	C	116	34,866	21,299	19,847	1,00	32,42	C	N
ATOM	8133	CA	THR	C	116	34,535	20,239	20,793	1,00	33,85	C	C
ATOM	8135	CB	THR	C	116	35,039	18,797	20,438	1,00	34,15	C	C
ATOM	8137	OG1	THR	C	116	35,548	18,160	21,622	1,00	37,17	C	O
ATOM	8139	CG2	THR	C	116	36,032	18,733	19,351	1,00	35,06	C	C
ATOM	8143	C	THR	C	116	34,773	20,575	22,299	1,00	33,55	C	C
ATOM	8144	O	THR	C	116	35,767	21,199	22,689	1,00	33,29	C	O
ATOM	8146	N	LYS	C	117	33,785	20,195	23,113	1,00	32,98	C	N
ATOM	8147	CA	LYS	C	117	33,680	20,616	24,498	1,00	32,12	C	C
ATOM	8149	CB	LYS	C	117	33,060	22,001	24,541	1,00	32,51	C	C
ATOM	8152	CG	LYS	C	117	33,011	22,612	25,954	1,00	32,13	C	C
ATOM	8155	CD	LYS	C	117	32,069	23,787	26,031	1,00	32,99	C	C
ATOM	8158	CE	LYS	C	117	31,919	24,279	27,485	1,00	34,64	C	C
ATOM	8161	NZ	LYS	C	117	31,413	23,199	28,449	1,00	38,23	C	N
ATOM	8165	C	LYS	C	117	32,824	19,639	25,284	1,00	32,27	C	C
ATOM	8166	O	LYS	C	117	31,668	19,402	24,936	1,00	31,28	C	O
ATOM	8168	N	GLY	C	118	33,404	19,031	26,320	1,00	32,86	C	N
ATOM	8169	CA	GLY	C	118	32,663	18,111	27,225	1,00	32,50	C	C
ATOM	8172	C	GLY	C	118	31,586	18,862	27,995	1,00	31,89	C	C
ATOM	8173	O	GLY	C	118	31,673	20,054	28,171	1,00	31,48	C	O
ATOM	8175	N	PRO	C	119	30,524	18,171	28,415	1,00	32,73	G	N
ATOM	8176	CA	PRO	C	119	29,430	18,850	29,105	1,00	32,72	G	C
ATOM	8178	CB	PRO	C	119	28,321	17,819	29,063	1,00	32,80	G	C
ATOM	8181	CG	PRO	C	119	29,042	16,546	29,189	1,00	32,91	G	C
ATOM	8184	CD	PRO	C	119	30,326	16,715	28,410	1,00	32,83	G	C
ATOM	8187	C	PRO	C	119	29,772	19,152	30,553	1,00	32,81	G	C
ATOM	8188	O	PRO	C	119	30,628	18,493	31,129	1,00	32,32	G	C
ATOM	8189	N	SER	C	120	29,136	20,184	31,093	1,00	33,70	G	N
ATOM	8190	CA	SER	C	120	28,948	20,314	32,537	1,00	34,56	G	C
ATOM	8192	CB	SER	C	120	28,944	21,780	32,952	1,00	34,54	G	C
ATOM	8195	OG	SER	C	120	30,218	22,342	32,781	1,00	36,56	G	O
ATOM	8197	C	SER	C	120	27,588	19,692	32,915	1,00	33,97	G	C
ATOM	8198	O	SER	C	120	26,579	20,016	32,315	1,00	34,87	G	O
ATOM	8200	N	VAL	C	121	27,584	18,843	33,930	1,00	34,12	G	N
ATOM	8201	CA	VAL	C	121	26,387	18,153	34,404	1,00	34,35	G	C
ATOM	8203	CB	VAL	C	121	26,644	16,654	34,563	1,00	34,05	G	C
ATOM	8205	CG1	VAL	C	121	25,350	15,926	34,938	1,00	35,46	G	C
ATOM	8209	CG2	VAL	C	121	27,201	16,081	33,302	1,00	31,53	G	C
ATOM	8213	C	VAL	C	121	25,891	18,714	35,746	1,00	34,63	G	C
ATOM	8214	O	VAL	C	121	26,615	18,761	36,737	1,00	34,78	G	O
ATOM	8216	N	PHE	C	122	24,639	19,155	35,764	1,00	35,09	G	N
ATOM	8217	CA	PHE	C	122	24,048	19,652	36,980	1,00	34,53	G	C
ATOM	8219	CB	PHE	C	122	23,650	21,067	36,757	1,00	34,55	G	C
ATOM	8222	CG	PHE	C	122	24,806	21,949	36,478	1,00	35,92	G	C
ATOM	8223	CD1	PHE	C	122	25,773	22,150	37,445	1,00	38,08	G	C
ATOM	8225	CE1	PHE	C	122	26,881	22,946	37,196	1,00	38,13	G	C

ES 2 540 538 T3

ATOM	8227	CZ	PHE	C	122	27,025	23,562	35,964	1,00	38,12	G	C
ATOM	8229	CE2	PHE	C	122	26,071	23,360	34,983	1,00	38,95	G	C
ATOM	8231	CD2	PHE	C	122	24,968	22,541	35,241	1,00	37,95	G	C
ATOM	8233	C	PHE	C	122	22,880	18,779	37,412	1,00	35,17	G	C
ATOM	8234	O	PHE	C	122	22,124	18,282	36,571	1,00	36,46	G	O
ATOM	8236	N	PRO	C	123	22,755	18,528	38,730	1,00	34,89	G	N
ATOM	8237	CA	PRO	C	123	21,650	17,664	39,169	1,00	33,77	G	C
ATOM	8239	CB	PRO	C	123	22,014	17,363	40,630	1,00	33,92	G	C
ATOM	8242	CG	PRO	C	123	22,724	18,615	41,090	1,00	33,48	G	C
ATOM	8245	CD	PRO	C	123	23,504	19,101	39,877	1,00	34,30	G	C
ATOM	8248	C	PRO	C	123	20,351	18,437	39,067	1,00	32,88	G	C
ATOM	8249	O	PRO	C	123	20,360	19,641	39,277	1,00	32,99	G	O
ATOM	8250	N	LEU	C	124	19,262	17,785	38,678	1,00	32,38	G	N
ATOM	8251	CA	LEU	C	124	17,932	18,426	38,744	1,00	32,81	G	C
ATOM	8253	CB	LEU	C	124	17,165	18,308	37,423	1,00	32,17	G	C
ATOM	8256	CG	LEU	C	124	17,909	19,001	36,246	1,00	31,24	G	C
ATOM	8258	CD1	LEU	C	124	17,375	18,571	34,903	1,00	28,25	G	C
ATOM	8262	CD2	LEU	C	124	17,879	20,526	36,367	1,00	28,75	G	C
ATOM	8266	C	LEU	C	124	17,202	17,769	39,929	1,00	33,68	G	C
ATOM	8267	O	LEU	C	124	16,676	16,658	39,825	1,00	32,67	G	O
ATOM	8269	N	ALA	C	125	17,263	18,449	41,071	1,00	35,33	G	N
ATOM	8270	CA	ALA	C	125	16,900	17,840	42,378	1,00	37,19	G	C
ATOM	8272	CB	ALA	C	125	17,390	18,748	43,563	1,00	36,92	G	C
ATOM	8276	C	ALA	C	125	15,385	17,592	42,510	1,00	38,27	G	C
ATOM	8277	O	ALA	C	125	14,575	18,441	42,136	1,00	38,48	G	O
ATOM	8279	N	PRO	C	126	15,001	16,431	43,035	1,00	40,09	G	N
ATOM	8280	CA	PRO	C	126	13,580	16,272	43,357	1,00	41,47	G	C
ATOM	8282	CB	PRO	C	126	13,464	14,814	43,776	1,00	41,13	G	C
ATOM	8285	CG	PRO	C	126	14,829	14,493	44,367	1,00	41,37	G	C
ATOM	8288	CD	PRO	C	126	15,817	15,301	43,523	1,00	40,76	G	C
ATOM	8291	C	PRO	C	126	13,193	17,178	44,502	1,00	42,80	G	C
ATOM	8292	O	PRO	C	126	13,944	17,297	45,474	1,00	43,39	G	O
ATOM	8293	N	SER	C	127	12,056	17,847	44,348	1,00	44,90	G	N
ATOM	8294	CA	SER	C	127	11,495	18,719	45,381	1,00	46,56	G	C
ATOM	8296	CB	SER	C	127	11,709	20,196	45,023	1,00	46,14	G	C
ATOM	8299	OG	SER	C	127	10,735	20,608	44,087	1,00	45,21	G	O
ATOM	8301	C	SER	C	127	9,993	18,448	45,491	1,00	48,16	G	C
ATOM	8302	O	SER	C	127	9,458	17,595	44,786	1,00	48,60	G	O
ATOM	8304	N	SER	C	128	9,312	19,210	46,341	1,00	49,81	G	N
ATOM	8305	CA	SER	C	128	7,871	19,080	46,481	1,00	51,03	G	C
ATOM	8307	CB	SER	C	128	7,371	19,759	47,765	1,00	51,34	G	C
ATOM	8310	OG	SER	C	128	7,545	21,165	47,728	1,00	50,88	G	O
ATOM	8312	C	SER	C	128	7,170	19,638	45,239	1,00	51,99	G	C
ATOM	8313	O	SER	C	128	6,039	19,263	44,976	1,00	52,67	G	O
ATOM	8315	N	LYS	C	129	7,842	20,500	44,464	1,00	52,66	G	N
ATOM	8316	CA	LYS	C	129	7,302	20,955	43,165	1,00	53,03	G	C
ATOM	8318	CB	LYS	C	129	7,979	22,249	42,694	1,00	53,54	G	C
ATOM	8321	CG	LYS	C	129	7,507	23,524	43,413	1,00	54,83	G	C
ATOM	8324	CD	LYS	C	129	6,136	24,030	42,902	1,00	55,80	G	C
ATOM	8327	CE	LYS	C	129	6,076	25,568	42,889	1,00	55,77	G	C
ATOM	8330	NZ	LYS	C	129	4,873	26,120	43,552	1,00	55,96	G	N
ATOM	8334	C	LYS	C	129	7,443	19,894	42,074	1,00	52,94	G	C
ATOM	8335	O	LYS	C	129	6,698	19,907	41,110	1,00	52,70	G	O
ATOM	8337	N	SER	C	130	8,399	18,984	42,214	1,00	53,02	G	N
ATOM	8338	CA	SER	C	130	8,575	17,908	41,223	1,00	53,23	G	C
ATOM	8340	CB	SER	C	130	10,078	17,682	40,945	1,00	52,99	G	C
ATOM	8343	OG	SER	C	130	10,660	16,803	41,909	1,00	52,84	G	O
ATOM	8345	C	SER	C	130	7,917	16,570	41,639	1,00	53,25	G	C
ATOM	8346	O	SER	C	130	8,006	15,587	40,900	1,00	52,18	G	O
ATOM	8348	N	THR	C	133	7,286	16,525	42,819	1,00	54,01	G	N

ES 2 540 538 T3

ATOM	8349	CA	THR	C	133	6,717	15,261	43,328	1,00	54,59	G	C
ATOM	8351	CB	THR	C	133	7,363	14,779	44,669	1,00	54,74	G	C
ATOM	8353	OG1	THR	C	133	6,517	15,103	45,783	1,00	55,66	G	O
ATOM	8355	CG2	THR	C	133	8,752	15,371	44,887	1,00	53,40	G	C
ATOM	8359	C	THR	C	133	5,187	15,353	43,474	1,00	54,96	G	C
ATOM	8360	O	THR	C	133	4,640	16,386	43,883	1,00	54,81	G	O
ATOM	8362	N	SER	C	134	4,508	14,268	43,116	1,00	54,72	G	N
ATOM	8363	CA	SER	C	134	3,060	14,242	43,149	1,00	54,58	G	C
ATOM	8365	CB	SER	C	134	2,476	15,051	41,980	1,00	54,99	G	C
ATOM	8368	OG	SER	C	134	1,139	15,465	42,255	1,00	56,46	G	O
ATOM	8370	C	SER	C	134	2,573	12,805	43,075	1,00	54,20	G	C
ATOM	8371	O	SER	C	134	3,199	11,959	42,416	1,00	53,03	G	O
ATOM	8373	N	GLY	C	135	1,452	12,539	43,758	1,00	53,98	G	N
ATOM	8374	CA	GLY	C	135	0,819	11,214	43,740	1,00	53,45	G	C
ATOM	8377	C	GLY	C	135	1,774	10,118	44,159	1,00	52,95	G	C
ATOM	8378	O	GLY	C	135	1,740	9,020	43,619	1,00	53,15	G	O
ATOM	8380	N	GLY	C	136	2,647	10,428	45,109	1,00	52,57	G	N
ATOM	8381	CA	GLY	C	136	3,661	9,471	45,536	1,00	52,53	G	C
ATOM	8384	C	GLY	C	136	4,766	9,139	44,521	1,00	52,27	G	C
ATOM	8385	O	GLY	C	136	5,442	8,108	44,648	1,00	52,47	G	O
ATOM	8387	N	THR	C	137	4,971	9,997	43,524	1,00	51,49	G	N
ATOM	8388	CA	THR	C	137	6,078	9,811	42,595	1,00	50,91	G	C
ATOM	8390	CB	THR	C	137	5,665	9,052	41,286	1,00	51,04	G	C
ATOM	8392	OG1	THR	C	137	6,201	9,719	40,138	1,00	52,71	G	O
ATOM	8394	CG2	THR	C	137	4,169	8,938	41,135	1,00	51,63	G	C
ATOM	8398	C	THR	C	137	6,767	11,154	42,349	1,00	49,81	G	C
ATOM	8399	O	THR	C	137	6,110	12,188	42,152	1,00	49,86	G	O
ATOM	8401	N	ALA	C	138	8,100	11,133	42,412	1,00	48,43	G	N
ATOM	8402	CA	ALA	C	138	8,914	12,346	42,257	1,00	47,33	G	C
ATOM	8404	CB	ALA	C	138	9,796	12,547	43,496	1,00	47,81	G	C
ATOM	8408	C	ALA	C	138	9,773	12,332	40,982	1,00	45,78	G	C
ATOM	8409	O	ALA	C	138	10,365	11,301	40,628	1,00	44,62	G	O
ATOM	8411	N	ALA	C	139	9,812	13,477	40,294	1,00	44,31	G	N
ATOM	8412	CA	ALA	C	139	10,689	13,665	39,111	1,00	43,42	G	C
ATOM	8414	CB	ALA	C	139	10,037	14,565	38,068	1,00	42,71	G	C
ATOM	8418	C	ALA	C	139	12,013	14,269	39,569	1,00	42,25	G	C
ATOM	8419	O	ALA	C	139	12,022	15,294	40,264	1,00	42,47	G	O
ATOM	8421	N	LEU	C	140	13,107	13,600	39,215	1,00	40,47	G	N
ATOM	8422	CA	LEU	C	140	14,464	14,114	39,388	1,00	39,35	G	C
ATOM	8424	CB	LEU	C	140	15,210	13,366	40,503	1,00	39,33	G	C
ATOM	8427	CG	LEU	C	140	15,409	11,846	40,346	1,00	38,53	G	C
ATOM	8429	CD1	LEU	C	140	16,840	11,495	40,065	1,00	36,20	G	C
ATOM	8433	CD2	LEU	C	140	14,953	11,098	41,617	1,00	40,61	G	C
ATOM	8437	C	LEU	C	140	15,206	13,939	38,069	1,00	38,58	G	C
ATOM	8436	O	LEU	C	140	14,815	13,109	37,227	1,00	38,02	G	O
ATOM	8440	N	GLY	C	141	16,277	14,708	37,885	1,00	37,60	G	N
ATOM	8441	CA	GLY	C	141	17,032	14,615	36,623	1,00	37,23	G	C
ATOM	8444	C	GLY	C	141	18,496	15,014	36,652	1,00	36,12	G	C
ATOM	8445	O	GLY	C	141	19,081	15,282	37,731	1,00	33,67	G	O
ATOM	8447	N	CYS	C	142	19,058	15,029	35,432	1,00	35,21	G	N
ATOM	8448	CA	CYS	C	142	20,380	15,566	35,137	1,00	34,17	G	C
ATOM	8450	CB	CYS	C	142	21,364	14,442	34,897	1,00	35,16	G	C
ATOM	8453	SG	CYS	C	142	22,161	13,915	36,424	1,00	37,24	G	S
ATOM	8455	C	CYS	C	142	20,317	16,491	33,931	1,00	33,56	G	C
ATOM	8456	O	CYS	C	142	19,780	16,125	32,878	1,00	32,39	G	O
ATOM	8458	N	LEU	C	143	20,808	17,718	34,138	1,00	32,37	G	N
ATOM	8459	CA	LEU	C	143	21,032	18,699	33,089	1,00	32,21	G	C
ATOM	8461	CB	LEU	C	143	20,870	20,111	33,659	1,00	31,74	G	C
ATOM	8464	CG	LEU	C	143	21,177	21,329	32,794	1,00	32,26	G	C
ATOM	8466	CD1	LEU	C	143	20,352	21,365	31,516	1,00	27,85	G	C

ES 2 540 538 T3

ATOM	8470	CD2	LEU	C	143	20,919	22,608	33,602	1,00	29,15	G	C
ATOM	8474	C	LEU	C	143	22,454	18,493	32,564	1,00	31,74	G	C
ATOM	8475	O	LEU	C	143	23,424	18,560	33,309	1,00	32,18	G	O
ATOM	8477	N	VAL	C	144	22,560	18,156	31,292	1,00	32,17	G	N
ATOM	8478	CA	VAL	C	144	23,849	18,023	30,604	1,00	31,46	G	C
ATOM	8480	CB	VAL	C	144	23,846	16,763	29,767	1,00	31,63	G	C
ATOM	8482	CG1	VAL	C	144	25,209	16,526	29,182	1,00	32,33	G	C
ATOM	8486	CG2	VAL	C	144	23,415	15,557	30,632	1,00	28,59	G	C
ATOM	8490	C	VAL	C	144	24,025	19,272	29,753	1,00	31,43	G	C
ATOM	8491	O	VAL	C	144	23,366	19,415	28,738	1,00	32,24	G	O
ATOM	8493	N	LYS	C	145	24,899	20,181	30,186	1,00	31,78	G	N
ATOM	8494	CA	LYS	C	145	24,949	21,563	29,650	1,00	33,09	G	C
ATOM	8496	CB	LYS	C	145	24,882	22,561	30,815	1,00	33,79	G	C
ATOM	8499	CG	LYS	C	145	24,345	24,028	30,487	1,00	37,70	G	C
ATOM	8502	CD	LYS	C	145	24,900	25,054	31,550	1,00	41,11	G	C
ATOM	8505	CE	LYS	C	145	24,713	26,540	31,171	1,00	44,39	G	C
ATOM	8508	NZ	LYS	C	145	25,695	27,098	30,124	1,00	46,51	G	N
ATOM	8512	C	LYS	C	145	26,194	21,870	28,787	1,00	32,27	G	C
ATOM	8513	O	LYS	C	145	27,325	21,557	29,144	1,00	32,13	G	O
ATOM	8515	N	ASP	C	146	25,948	22,495	27,646	1,00	32,72	G	N
ATOM	8516	CA	ASP	C	146	26,986	23,126	26,829	1,00	32,44	G	C
ATOM	8518	CB	ASP	C	146	27,570	24,334	27,566	1,00	33,15	G	C
ATOM	8521	CG	ASP	C	146	26,636	25,493	27,576	1,00	33,01	G	C
ATOM	8522	OD1	ASP	C	146	25,626	25,465	26,859	1,00	38,84	G	O
ATOM	8523	OD2	ASP	C	146	26,895	26,447	28,313	1,00	38,44	G	O
ATOM	8524	C	ASP	C	146	28,097	22,201	26,394	1,00	31,92	G	C
ATOM	8525	O	ASP	C	146	29,253	22,367	26,745	1,00	33,07	G	O
ATOM	8527	N	TYR	C	147	27,735	21,214	25,622	1,00	31,01	G	N
ATOM	8528	CA	TYR	C	147	28,703	20,317	25,033	1,00	30,71	G	C
ATOM	8530	CB	TYR	C	147	28,424	18,886	25,462	1,00	29,76	G	C
ATOM	8533	CG	TYR	C	147	27,102	18,367	24,959	1,00	30,83	G	C
ATOM	8534	CD1	TYR	C	147	25,925	18,531	25,695	1,00	31,36	G	C
ATOM	8536	CE1	TYR	C	147	24,712	18,042	25,212	1,00	30,62	G	C
ATOM	8538	CZ	TYR	C	147	24,668	17,376	24,004	1,00	29,92	G	C
ATOM	8539	OH	TYR	C	147	23,488	16,884	23,517	1,00	28,04	G	O
ATOM	8541	CE2	TYR	C	147	25,808	17,213	23,262	1,00	29,94	G	C
ATOM	8543	CD2	TYR	C	147	27,014	17,698	23,741	1,00	31,78	G	C
ATOM	8545	C	TYR	C	147	28,614	20,432	23,492	1,00	30,44	G	C
ATOM	8546	O	TYR	C	147	27,641	20,964	22,927	1,00	29,58	G	O
ATOM	8548	N	PHE	C	148	29,643	19,926	22,835	1,00	30,51	G	N
ATOM	8549	CA	PHE	C	148	29,702	19,929	21,381	1,00	30,20	G	C
ATOM	8551	CB	PHE	C	148	30,093	21,302	20,785	1,00	29,90	G	C
ATOM	8554	CG	PHE	C	148	30,200	21,276	19,283	1,00	30,30	G	C
ATOM	8555	CD1	PHE	C	148	29,106	21,573	18,491	1,00	29,11	G	C
ATOM	8557	CE1	PHE	C	148	29,191	21,477	17,101	1,00	31,35	G	C
ATOM	8559	CZ	PHE	C	148	30,377	21,076	16,478	1,00	27,25	G	C
ATOM	8561	CE2	PHE	C	148	31,452	20,769	17,235	1,00	30,79	G	C
ATOM	8563	CD2	PHE	C	148	31,365	20,854	18,661	1,00	30,21	G	C
ATOM	8565	C	PHE	C	148	30,711	18,881	21,005	1,00	30,13	G	C
ATOM	8566	O	PHE	C	148	31,771	18,806	21,589	1,00	30,96	G	O
ATOM	8568	N	PRO	C	149	30,392	18,040	20,031	1,00	30,49	G	N
ATOM	8569	CA	PRO	C	149	29,179	17,922	19,265	1,00	30,58	G	C
ATOM	8571	CB	PRO	C	149	29,698	17,465	17,898	1,00	31,17	G	C
ATOM	8574	CG	PRO	C	149	30,839	16,630	18,203	1,00	31,10	G	C
ATOM	8577	CD	PRO	C	149	31,444	17,157	19,504	1,00	31,29	G	C
ATOM	8580	C	PRO	C	149	28,274	16,854	19,868	1,00	29,81	G	C
ATOM	8581	O	PRO	C	149	28,677	16,218	20,827	1,00	28,68	G	O
ATOM	8582	N	GLU	C	150	27,074	16,676	19,300	1,00	28,93	G	N
ATOM	8583	CA	GLU	C	150	26,295	15,434	19,512	1,00	29,26	G	C
ATOM	8585	CB	GLU	C	150	25,056	15,388	18,631	1,00	28,49	G	C

ES 2 540 538 T3

ATOM	8588	CG	GLU	C	150	24,027	16,380	19,001	1,00	29,12	G	C
ATOM	8591	CD	GLU	C	150	23,110	15,866	20,074	1,00	27,80	G	C
ATOM	8592	OE1	GLU	C	150	23,599	15,375	21,117	1,00	28,93	G	O
ATOM	8593	OE2	GLU	C	150	21,889	15,951	19,851	1,00	30,10	G	O
ATOM	8594	C	GLU	C	150	27,138	14,238	19,157	1,00	29,01	G	C
ATOM	8595	O	GLU	C	150	28,039	14,357	18,375	1,00	29,31	G	O
ATOM	8597	N	PRO	C	151	26,836	13,077	19,715	1,00	29,94	G	N
ATOM	8598	CA	PRO	C	151	25,791	12,741	20,666	1,00	30,70	G	C
ATOM	8600	CB	PRO	C	151	25,386	11,333	20,207	1,00	30,58	G	C
ATOM	8603	CG	PRO	C	151	26,716	10,719	19,851	1,00	30,88	G	C
ATOM	8606	CD	PRO	C	151	27,606	11,874	19,354	1,00	29,86	G	C
ATOM	8609	C	PRO	C	151	26,306	12,634	22,103	1,00	31,06	G	C
ATOM	8610	O	PRO	C	151	27,508	12,410	22,353	1,00	30,86	G	O
ATOM	8611	N	VAL	C	152	25,376	12,763	23,036	1,00	32,42	G	N
ATOM	8612	CA	VAL	C	152	25,565	12,286	24,390	1,00	33,57	G	C
ATOM	8614	CB	VAL	C	152	25,325	13,393	25,389	1,00	33,61	G	C
ATOM	8616	CG1	VAL	C	152	24,768	12,829	26,712	1,00	33,36	G	C
ATOM	8620	CG2	VAL	C	152	26,613	14,153	25,589	1,00	34,19	G	C
ATOM	8624	C	VAL	C	152	24,588	11,162	24,653	1,00	34,71	G	C
ATOM	8625	O	VAL	C	152	23,457	11,218	24,184	1,00	35,71	G	O
ATOM	8627	N	THR	C	153	25,030	10,148	25,389	1,00	35,58	G	N
ATOM	8628	CA	THR	C	153	24,127	9,157	25,952	1,00	36,23	G	C
ATOM	8630	CB	THR	C	153	24,544	7,709	25,592	1,00	36,72	G	C
ATOM	8632	OG1	THR	C	153	25,850	7,425	26,097	1,00	37,45	G	O
ATOM	8634	CG2	THR	C	153	24,590	7,545	24,090	1,00	37,52	G	C
ATOM	8638	C	THR	C	153	24,070	9,338	27,463	1,00	36,61	G	C
ATOM	8639	O	THR	C	153	25,050	9,742	28,095	1,00	35,53	G	O
ATOM	8641	N	VAL	C	154	22,890	9,075	28,031	1,00	37,46	G	N
ATOM	8642	CA	VAL	C	154	22,692	9,079	29,469	1,00	37,71	G	C
ATOM	8644	CB	VAL	C	154	21,761	10,201	29,920	1,00	38,02	G	C
ATOM	8646	CG1	VAL	C	154	21,683	10,219	31,455	1,00	37,71	G	C
ATOM	8650	CG2	VAL	C	154	22,214	11,549	29,370	1,00	35,07	G	C
ATOM	8654	C	VAL	C	154	22,053	7,776	29,908	1,00	39,34	G	C
ATOM	8655	O	VAL	C	154	21,145	7,266	29,261	1,00	39,59	G	O
ATOM	8657	N	SER	C	156	22,539	7,243	31,017	1,00	40,64	G	N
ATOM	8658	CA	SER	C	156	21,877	6,157	31,723	1,00	40,81	G	C
ATOM	8660	CB	SER	C	156	22,620	4,850	31,505	1,00	40,84	G	C
ATOM	8663	OG	SER	C	156	23,857	4,875	32,181	1,00	40,66	G	O
ATOM	8665	C	SER	C	156	21,816	6,503	33,210	1,00	41,37	G	C
ATOM	8666	O	SER	C	156	22,319	7,543	33,645	1,00	40,15	G	O
ATOM	8668	N	TRP	C	157	21,159	5,636	33,980	1,00	42,46	G	N
ATOM	8669	CA	TRP	C	157	20,983	5,850	35,424	1,00	42,73	G	C
ATOM	8671	CB	TRP	C	157	19,553	6,270	35,725	1,00	42,25	G	C
ATOM	8674	CG	TRP	C	157	19,176	7,638	35,270	1,00	39,71	G	C
ATOM	8675	CD1	TRP	C	157	18,704	7,984	34,049	1,00	38,52	G	C
ATOM	8677	NE1	TRP	C	157	18,419	9,326	34,009	1,00	36,23	G	N
ATOM	8679	CE2	TRP	C	157	18,709	9,870	35,231	1,00	36,12	G	C
ATOM	8680	CD2	TRP	C	157	19,178	8,838	36,051	1,00	36,99	G	C
ATOM	8681	CE3	TRP	C	157	19,542	9,136	37,363	1,00	38,38	G	C
ATOM	8683	CZ3	TRP	C	157	19,419	10,429	37,805	1,00	37,75	G	C
ATOM	8685	CH2	TRP	C	157	18,949	11,442	36,956	1,00	38,54	G	C
ATOM	8687	CZ2	TRP	C	157	18,594	11,176	35,671	1,00	36,31	G	C
ATOM	8689	C	TRP	C	157	21,358	4,597	36,223	1,00	44,03	G	C
ATOM	8690	O	TRP	C	157	21,138	3,475	35,777	1,00	43,81	G	O
ATOM	8692	N	ASN	C	162	21,970	4,808	37,387	1,00	45,91	G	N
ATOM	8693	CA	ASN	C	162	22,531	3,715	38,193	1,00	47,32	G	C
ATOM	8695	CB	ASN	C	162	21,463	3,204	39,169	1,00	47,15	G	C
ATOM	8698	CG	ASN	C	162	21,038	4,282	40,174	1,00	48,12	G	C
ATOM	8699	OD1	ASN	C	162	21,680	5,338	40,283	1,00	46,79	G	O
ATOM	8700	ND2	ASN	C	162	19,966	4,018	40,916	1,00	48,98	G	N

ES 2 540 538 T3

ATOM	8703	C	ASN	C	162	23,140	2,611	37,320	1,00	48,53	G	C
ATOM	8704	O	ASN	C	162	22,791	1,443	37,423	1,00	49,11	G	O
ATOM	8706	N	SER	C	163	24,054	3,037	36,448	1,00	50,24	G	N
ATOM	8707	CA	SER	C	163	24,724	2,203	35,428	1,00	51,15	G	C
ATOM	8709	CB	SER	C	163	25,829	1,361	36,071	1,00	51,23	G	C
ATOM	8712	OG	SER	C	163	26,806	2,213	36,652	1,00	52,68	G	O
ATOM	8714	C	SER	C	163	23,815	1,325	34,559	1,00	52,12	G	C
ATOM	8715	O	SER	C	163	24,208	0,227	34,139	1,00	52,57	G	O
ATOM	8717	N	GLY	C	164	22,620	1,814	34,254	1,00	52,73	G	N
ATOM	8718	CA	GLY	C	164	21,689	1,064	33,417	1,00	53,40	G	C
ATOM	8721	C	GLY	C	164	20,784	0,109	34,179	1,00	53,64	G	C
ATOM	8722	O	GLY	C	164	19,956	-0,558	33,576	1,00	53,89	G	O
ATOM	8724	N	ALA	C	165	20,927	0,049	35,500	1,00	54,07	G	N
ATOM	8725	CA	ALA	C	165	20,068	-0,790	36,323	1,00	54,18	G	C
ATOM	8727	CB	ALA	C	165	20,680	-0,975	37,715	1,00	54,10	G	C
ATOM	8731	C	ALA	C	165	18,657	-0,184	36,424	1,00	54,39	G	C
ATOM	8732	O	ALA	C	165	17,662	-0,912	36,533	1,00	54,77	G	O
ATOM	8734	N	LEU	C	166	18,577	1,146	36,383	1,00	54,07	G	N
ATOM	8735	CA	LEU	C	166	17,308	1,860	36,471	1,00	53,73	G	C
ATOM	8737	CB	LEU	C	166	17,427	3,016	37,475	1,00	53,37	G	C
ATOM	8740	CG	LEU	C	166	16,248	3,979	37,616	1,00	53,31	G	C
ATOM	8742	CD1	LEU	C	166	14,967	3,221	37,983	1,00	53,53	G	C
ATOM	8746	CD2	LEU	C	166	16,537	5,093	38,641	1,00	52,02	G	C
ATOM	8750	C	LEU	C	166	16,929	2,368	35,079	1,00	54,11	G	C
ATOM	8751	O	LEU	C	166	17,544	3,314	34,550	1,00	54,32	G	O
ATOM	8753	N	THR	C	167	15,938	1,723	34,474	1,00	54,11	G	N
ATOM	8754	CA	THR	C	167	15,485	2,093	33,142	1,00	54,28	G	C
ATOM	8756	CB	THR	C	167	15,739	0,946	32,145	1,00	54,62	G	C
ATOM	8758	OG1	THR	C	167	15,127	-0,255	32,629	1,00	56,47	G	O
ATOM	8760	CG2	THR	C	167	17,238	0,708	31,981	1,00	54,32	G	C
ATOM	8764	C	THR	C	167	14,010	2,511	33,117	1,00	54,10	G	C
ATOM	8765	O	THR	C	167	13,591	3,317	32,278	1,00	54,05	G	O
ATOM	8767	N	SER	C	168	13,232	1,977	34,055	1,00	53,81	G	N
ATOM	8768	CA	SER	C	168	11,817	2,241	34,123	1,00	53,26	G	C
ATOM	8770	CB	SER	C	168	11,161	1,216	35,070	1,00	53,85	G	C
ATOM	8773	OG	SER	C	168	9,781	1,056	34,781	1,00	56,05	G	O
ATOM	8775	C	SER	C	168	11,608	3,680	34,607	1,00	52,04	G	C
ATOM	8776	O	SER	C	168	12,177	4,087	35,627	1,00	52,18	G	O
ATOM	8778	N	GLY	C	169	10,809	4,444	33,867	1,00	50,44	G	N
ATOM	8779	CA	GLY	C	169	10,526	5,857	34,188	1,00	49,64	G	C
ATOM	8782	C	GLY	C	169	11,527	6,895	33,661	1,00	48,22	G	C
ATOM	8783	O	GLY	C	169	11,381	8,098	33,911	1,00	47,47	G	O
ATOM	8785	N	VAL	C	171	12,529	6,431	32,919	1,00	46,75	G	N
ATOM	8786	CA	VAL	C	171	13,609	7,292	32,433	1,00	45,40	G	C
ATOM	8788	CB	VAL	C	171	14,927	6,485	32,272	1,00	45,40	G	C
ATOM	8790	CG1	VAL	C	171	15,989	7,279	31,481	1,00	43,58	G	C
ATOM	8794	CG2	VAL	C	171	15,442	6,103	33,636	1,00	45,03	G	C
ATOM	8798	C	VAL	C	171	13,240	7,890	31,099	1,00	44,03	G	C
ATOM	8799	O	VAL	C	171	12,911	7,154	30,176	1,00	44,42	G	O
ATOM	8801	N	HIS	C	172	13,274	9,220	31,015	1,00	42,72	G	N
ATOM	8802	CA	AHIS	C	172	13,117	9,942	29,756	0,50	42,38	G	C
ATOM	8803	CA	BHIS	C	172	13,160	9,906	29,730	0,50	41,67	G	C
ATOM	8806	CB	AHIS	C	172	11,853	10,831	29,787	0,50	42,55	G	C
ATOM	8807	CB	BHIS	C	172	11,854	10,698	29,616	0,50	41,37	G	C
ATOM	8812	CG	AHIS	C	172	10,574	10,095	30,083	0,50	44,32	G	C
ATOM	8813	CG	BHIS	C	172	11,470	11,019	28,201	0,50	39,94	G	C
ATOM	8814	ND1	AHIS	C	172	9,908	9,339	29,140	0,50	45,48	G	N
ATOM	8815	ND1	BHIS	C	172	12,327	10,838	27,136	0,50	36,38	G	N
ATOM	8818	CE1	AHIS	C	172	8,815	8,827	29,680	0,50	45,87	G	C
ATOM	8819	CE1	BHIS	C	172	11,730	11,214	26,023	0,50	36,08	G	C

ES 2 540 538 T3

ATOM	8822	NE2	AHIS	C	172	8,741	9,232	30,936	0,50	45,53	G	N
ATOM	8823	NE2	BHIS	C	172	10,521	11,653	26,327	0,50	37,45	G	N
ATOM	8826	CD2	AHIS	C	172	9,823	10,031	31,212	0,50	45,03	G	C
ATOM	8827	CD2	BHIS	C	172	10,331	11,536	27,681	0,50	38,58	G	C
ATOM	8830	C	HIS	C	172	14,366	10,828	29,509	1,00	41,58	G	C
ATOM	8831	O	HIS	C	172	14,599	11,801	30,244	1,00	40,35	G	O
ATOM	8833	N	THR	C	173	15,164	10,498	28,489	1,00	40,76	G	N
ATOM	8834	CA	THR	C	173	16,277	11,340	28,079	1,00	39,37	G	C
ATOM	8836	CB	THR	C	173	17,520	10,507	27,772	1,00	39,36	G	C
ATOM	8838	OG1	THR	C	173	17,992	9,950	28,988	1,00	41,04	G	O
ATOM	8840	CG2	THR	C	173	18,637	11,357	27,178	1,00	40,10	G	C
ATOM	8844	C	THR	C	173	15,805	12,077	26,856	1,00	37,98	G	C
ATOM	8845	O	THR	C	173	15,479	11,446	25,862	1,00	37,49	G	O
ATOM	8847	N	PHE	C	174	15,776	13,405	26,929	1,00	36,44	G	N
ATOM	8848	CA	PHE	C	174	15,227	14,231	25,881	1,00	36,10	G	C
ATOM	8850	CB	PHE	C	174	14,682	15,538	26,469	1,00	36,32	G	C
ATOM	8853	CG	PHE	C	174	13,439	15,341	27,295	1,00	37,48	G	C
ATOM	8854	CD1	PHE	C	174	12,212	15,815	26,848	1,00	39,31	G	C
ATOM	8856	CE1	PHE	C	174	11,070	15,629	27,582	1,00	38,18	G	C
ATOM	8858	CZ	PHE	C	174	11,126	14,921	28,754	1,00	38,86	G	C
ATOM	8860	CE2	PHE	C	174	12,337	14,408	29,199	1,00	38,94	G	C
ATOM	8862	CD2	PHE	C	174	13,483	14,619	28,472	1,00	36,98	G	C
ATOM	8864	C	PHE	C	174	16,286	14,550	24,828	1,00	36,47	G	C
ATOM	8865	O	PHE	C	174	17,474	14,517	25,145	1,00	36,33	G	O
ATOM	8867	N	PRO	C	175	15,854	14,844	23,578	1,00	36,43	G	N
ATOM	8868	CA	PRO	C	175	16,713	15,370	22,523	1,00	36,83	G	C
ATOM	8870	CB	PRO	C	175	15,770	15,474	21,300	1,00	36,81	G	C
ATOM	8873	CG	PRO	C	175	14,733	14,456	21,540	1,00	37,76	G	C
ATOM	8876	CD	PRO	C	175	14,562	14,379	23,035	1,00	37,07	G	C
ATOM	8879	C	PRO	C	175	17,255	16,755	22,866	1,00	36,28	G	C
ATOM	8880	O	PRO	C	175	16,527	17,598	23,407	1,00	36,42	G	O
ATOM	8881	N	ALA	C	176	18,507	16,999	22,500	1,00	35,16	G	N
ATOM	8882	CA	ALA	C	176	19,179	18,244	22,860	1,00	34,15	G	C
ATOM	8884	CB	ALA	C	176	20,647	18,168	22,441	1,00	33,66	G	C
ATOM	8888	C	ALA	C	176	18,531	19,446	22,213	1,00	33,77	G	C
ATOM	8889	O	ALA	C	176	17,873	19,316	21,218	1,00	33,59	G	O
ATOM	8891	N	VAL	C	177	18,701	20,620	22,806	1,00	34,25	G	N
ATOM	8892	CA	VAL	C	177	18,559	21,898	22,094	1,00	34,60	G	C
ATOM	8894	CB	VAL	C	177	18,099	23,071	23,015	1,00	34,52	G	C
ATOM	8896	CG1	VAL	C	177	16,635	23,084	23,191	1,00	36,30	G	C
ATOM	8900	CG2	VAL	C	177	18,775	23,009	24,359	1,00	33,62	G	C
ATOM	8904	C	VAL	C	177	19,926	22,339	21,580	1,00	34,90	G	C
ATOM	8905	O	VAL	C	177	20,953	22,106	22,215	1,00	35,27	G	O
ATOM	8907	N	LEU	C	178	19,936	23,026	20,458	1,00	35,82	G	N
ATOM	8908	CA	LEU	C	178	21,158	23,618	19,957	1,00	35,50	G	C
ATOM	8910	CB	LEU	C	178	21,261	23,385	18,458	1,00	35,36	G	C
ATOM	8913	CG	LEU	C	178	22,394	24,161	17,774	1,00	34,89	G	C
ATOM	8915	CD1	LEU	C	178	23,707	23,841	18,473	1,00	30,35	G	C
ATOM	8919	CD2	LEU	C	178	22,404	23,833	16,284	1,00	31,34	G	C
ATOM	8923	C	LEU	C	178	21,053	25,099	20,283	1,00	36,18	G	C
ATOM	8924	O	LEU	C	178	20,140	25,761	19,852	1,00	35,24	G	O
ATOM	8926	N	GLN	C	179	21,966	25,620	21,079	1,00	37,63	G	N
ATOM	8927	CA	GLN	C	179	21,839	27,017	21,481	1,00	39,16	G	C
ATOM	8929	CB	GLN	C	179	22,471	27,214	22,865	1,00	39,73	G	C
ATOM	8932	CG	GLN	C	179	21,965	26,193	23,949	1,00	42,76	G	C
ATOM	8935	CD	GLN	C	179	23,036	25,881	24,998	1,00	47,10	G	C
ATOM	8936	OE1	GLN	C	179	23,526	24,746	25,114	1,00	46,66	G	O
ATOM	8937	NE2	GLN	C	179	23,434	26,912	25,742	1,00	51,15	G	N
ATOM	8940	C	GLN	C	179	22,485	27,940	20,438	1,00	39,59	G	C
ATOM	8941	O	GLN	C	179	23,245	27,488	19,589	1,00	38,11	G	O

ES 2 540 538 T3

ATOM	8943	N	SER	C	180	22,190	29,242	20,543	1,00	40,27	G	N
ATOM	8944	CA	SER	C	180	22,787	30,275	19,693	1,00	40,54	G	C
ATOM	8946	CB	SER	C	180	22,200	31,663	20,033	1,00	41,25	G	C
ATOM	8949	OG	SER	C	180	20,899	31,802	19,476	1,00	43,24	G	O
ATOM	8951	C	SER	C	180	24,307	30,348	19,810	1,00	39,77	G	C
ATOM	8952	O	SER	C	180	24,956	30,945	18,971	1,00	39,71	G	O
ATOM	8954	N	SER	C	182	24,851	29,777	20,875	1,00	38,64	G	N
ATOM	8955	CA	SER	C	182	26,290	29,678	21,085	1,00	37,71	G	C
ATOM	8957	CB	SER	C	182	26,536	29,312	22,550	1,00	37,87	G	C
ATOM	8960	OG	SER	C	182	26,092	27,981	22,807	1,00	34,88	G	O
ATOM	8962	C	SER	C	182	26,968	28,587	20,246	1,00	37,42	G	C
ATOM	8963	O	SER	C	182	28,191	28,508	20,234	1,00	37,30	G	O
ATOM	8965	N	GLY	C	183	26,167	27,708	19,625	1,00	36,83	G	N
ATOM	8966	CA	GLY	C	183	26,665	26,532	18,912	1,00	35,69	G	C
ATOM	8969	C	GLY	C	183	26,782	25,282	19,763	1,00	34,66	G	C
ATOM	8970	O	GLY	C	183	27,122	24,210	19,271	1,00	34,92	G	O
ATOM	8972	N	LEU	C	184	26,494	25,402	21,045	1,00	33,49	G	N
ATOM	8973	CA	LEU	C	184	26,641	24,279	21,967	1,00	32,48	G	C
ATOM	8975	CB	LEU	C	184	27,256	24,747	23,284	1,00	32,31	G	C
ATOM	8978	CG	LEU	C	184	28,764	24,912	23,480	1,00	34,73	G	C
ATOM	8980	CD1	LEU	C	184	29,605	24,873	22,203	1,00	34,30	G	C
ATOM	8984	CD2	LEU	C	184	29,031	26,157	24,322	1,00	32,85	G	C
ATOM	8988	C	LEU	C	184	25,267	23,682	22,227	1,00	31,11	G	C
ATOM	8989	O	LEU	C	184	24,250	24,354	22,084	1,00	30,75	G	O
ATOM	8991	N	TYR	C	185	25,261	22,402	22,586	1,00	29,81	G	N
ATOM	8992	CA	TYR	C	185	24,036	21,694	22,901	1,00	29,39	G	C
ATOM	8994	CB	TYR	C	185	24,106	20,272	22,366	1,00	28,51	G	C
ATOM	8997	CG	TYR	C	185	24,195	20,206	20,857	1,00	28,08	G	C
ATOM	8998	CD1	TYR	C	185	23,041	20,163	20,083	1,00	25,38	G	C
ATOM	9000	CE1	TYR	C	185	23,111	20,111	18,706	1,00	29,39	G	C
ATOM	9002	CZ	TYR	C	185	24,369	20,087	18,080	1,00	27,73	G	C
ATOM	9003	OH	TYR	C	185	24,438	20,011	16,715	1,00	29,22	G	O
ATOM	9005	CE2	TYR	C	185	25,526	20,127	18,823	1,00	25,90	G	C
ATOM	9007	CD2	TYR	C	185	25,441	20,166	20,206	1,00	26,78	G	C
ATOM	9009	C	TYR	C	185	23,825	21,594	24,413	1,00	28,72	G	C
ATOM	9010	O	TYR	C	185	24,772	21,474	25,162	1,00	27,66	G	O
ATOM	9012	N	SER	C	186	22,571	21,573	24,835	1,00	29,43	G	N
ATOM	9013	CA	SER	C	186	22,238	21,043	26,150	1,00	30,16	G	C
ATOM	9015	CB	SER	C	186	21,852	22,191	27,067	1,00	30,44	G	C
ATOM	9018	OG	SER	C	186	22,997	23,015	27,351	1,00	29,21	G	O
ATOM	9020	C	SER	C	186	21,117	20,001	26,023	1,00	31,34	G	C
ATOM	9021	O	SER	C	186	20,241	20,120	25,163	1,00	31,06	G	O
ATOM	9023	N	LEU	C	187	21,134	18,996	26,898	1,00	31,87	G	N
ATOM	9024	CA	LEU	C	187	19,978	18,124	27,036	1,00	31,92	G	C
ATOM	9026	CB	LEU	C	187	20,130	16,872	26,168	1,00	31,56	G	C
ATOM	9029	CG	LEU	C	187	21,156	15,781	26,470	1,00	31,50	G	C
ATOM	9031	CD1	LEU	C	187	20,846	15,087	27,799	1,00	29,61	G	C
ATOM	9035	CD2	LEU	C	187	21,174	14,744	25,287	1,00	28,55	G	C
ATOM	9039	C	LEU	C	187	19,707	17,773	28,502	1,00	32,15	G	C
ATOM	9040	O	LEU	C	187	20,504	18,119	29,392	1,00	32,37	G	O
ATOM	9042	N	SER	C	188	18,566	17,125	28,741	1,00	31,55	G	N
ATOM	9043	CA	SER	C	188	18,178	16,689	30,078	1,00	31,66	G	C
ATOM	9045	CB	SER	C	188	17,055	17,546	30,582	1,00	31,36	G	C
ATOM	9048	OG	SER	C	188	17,513	18,882	30,776	1,00	30,72	G	O
ATOM	9050	C	SER	C	188	17,744	15,253	30,071	1,00	33,08	G	C
ATOM	9051	O	SER	C	188	17,169	14,790	29,079	1,00	33,87	G	O
ATOM	9053	N	SER	C	189	18,075	14,524	31,134	1,00	33,83	G	N
ATOM	9054	CA	SER	C	189	17,480	13,220	31,385	1,00	34,88	G	C
ATOM	9056	CB	SER	C	189	18,517	12,126	31,407	1,00	34,86	G	C
ATOM	9059	OG	SER	C	189	17,896	10,853	31,404	1,00	36,04	G	O

ES 2 540 538 T3

ATOM	9061	C	SER	C	189	16,737	13,285	32,720	1,00	36,00	G	C
ATOM	9062	O	SER	C	189	17,232	13,892	33,672	1,00	36,08	G	O
ATOM	9064	N	VAL	C	190	15,537	12,694	32,780	1,00	36,85	G	N
ATOM	9065	CA	VAL	C	190	14,751	12,692	34,020	1,00	37,49	G	C
ATOM	9067	CB	VAL	C	190	13,528	13,609	33,904	1,00	37,67	G	C
ATOM	9069	CG1	VAL	C	190	13,971	15,038	33,718	1,00	37,79	G	C
ATOM	9073	CG2	VAL	C	190	12,659	13,157	32,772	1,00	37,84	G	C
ATOM	9077	C	VAL	C	190	14,242	11,316	34,386	1,00	37,55	G	C
ATOM	9078	O	VAL	C	190	13,821	10,579	33,506	1,00	37,73	G	O
ATOM	9080	N	VAL	C	191	14,260	10,983	35,681	1,00	38,32	G	N
ATOM	9081	CA	VAL	C	191	13,597	9,753	36,176	1,00	38,67	G	C
ATOM	9083	CB	VAL	C	191	14,481	8,823	37,076	1,00	38,92	G	C
ATOM	9085	CG1	VAL	C	191	14,329	7,336	36,658	1,00	38,51	G	C
ATOM	9089	CG2	VAL	C	191	15,918	9,245	37,123	1,00	38,87	G	C
ATOM	9093	C	VAL	C	191	12,434	10,150	37,089	1,00	38,81	G	C
ATOM	9094	O	VAL	C	191	12,555	11,058	37,919	1,00	37,29	G	O
ATOM	9096	N	THR	C	192	11,336	9,420	36,936	1,00	39,58	G	N
ATOM	9097	CA	THR	C	192	10,223	9,408	37,888	1,00	40,10	G	C
ATOM	9099	CB	THR	C	192	8,880	9,386	37,159	1,00	40,24	G	C
ATOM	9101	OG1	THR	C	192	8,837	8,258	36,273	1,00	41,43	G	O
ATOM	9103	CG2	THR	C	192	8,698	10,657	36,331	1,00	39,66	G	C
ATOM	9107	C	THR	C	192	10,367	8,169	38,793	1,00	40,54	G	C
ATOM	9108	O	THR	C	192	10,437	7,035	38,313	1,00	39,91	G	O
ATOM	9110	N	VAL	C	193	10,437	8,408	40,104	1,00	41,17	G	N
ATOM	9111	CA	VAL	C	193	10,668	7,354	41,096	1,00	42,03	G	C
ATOM	9113	CB	VAL	C	193	12,112	7,415	41,638	1,00	41,92	G	C
ATOM	9115	CG1	VAL	C	193	13,139	7,301	40,493	1,00	42,48	G	C
ATOM	9119	CG2	VAL	C	193	12,327	8,720	42,454	1,00	41,17	G	C
ATOM	9123	C	VAL	C	193	9,723	7,527	42,308	1,00	43,25	G	C
ATOM	9124	O	VAL	C	193	9,219	8,633	42,540	1,00	42,96	G	O
ATOM	9126	N	PRO	C	194	9,505	6,446	43,096	1,00	44,80	G	N
ATOM	9127	CA	PRO	C	194	8,653	6,557	44,303	1,00	46,15	G	C
ATOM	9129	CB	PRO	C	194	8,782	5,168	44,976	1,00	46,41	G	C
ATOM	9132	CG	PRO	C	194	9,131	4,221	43,845	1,00	46,23	G	C
ATOM	9135	CD	PRO	C	194	9,940	5,052	42,843	1,00	44,67	G	C
ATOM	9138	C	PRO	C	194	9,162	7,637	45,226	1,00	47,31	G	C
ATOM	9139	O	PRO	C	194	10,360	7,691	45,482	1,00	47,66	G	O
ATOM	9140	N	SER	C	195	8,284	8,517	45,698	1,00	48,94	G	N
ATOM	9141	CA	SER	C	195	8,739	9,604	46,574	1,00	50,41	G	C
ATOM	9143	CB	SER	C	195	7,694	10,733	46,689	1,00	50,47	G	C
ATOM	9146	OG	SER	C	195	6,372	10,233	46,843	1,00	51,21	G	O
ATOM	9148	C	SER	C	195	9,192	9,085	47,950	1,00	51,48	G	C
ATOM	9149	O	SER	C	195	9,992	9,744	48,634	1,00	51,47	G	O
ATOM	9151	N	SER	C	196	8,702	7,895	48,325	1,00	52,96	G	N
ATOM	9152	CA	SER	C	196	9,082	7,214	49,578	1,00	53,59	G	C
ATOM	9154	CB	SER	C	196	8,286	5,906	49,737	1,00	53,56	G	C
ATOM	9157	OG	SER	C	196	8,529	5,007	48,658	1,00	52,65	G	O
ATOM	9159	C	SER	C	196	10,565	6,875	49,641	1,00	54,46	G	C
ATOM	9160	O	SER	C	196	11,144	6,850	50,725	1,00	54,52	G	O
ATOM	9162	N	SER	C	197	11,157	6,613	48,470	1,00	55,48	G	N
ATOM	9163	CA	SER	C	197	12,544	6,128	48,344	1,00	55,91	G	C
ATOM	9165	CB	SER	C	197	12,677	5,358	47,029	1,00	56,25	G	C
ATOM	9168	OG	SER	C	197	12,734	6,266	45,931	1,00	56,59	G	O
ATOM	9170	C	SER	C	197	13,633	7,223	48,368	1,00	55,94	G	C
ATOM	9171	O	SER	C	197	14,835	6,915	48,351	1,00	55,76	G	O
ATOM	9173	N	LEU	C	198	13,225	8,489	48,390	1,00	56,08	G	N
ATOM	9174	CA	LEU	C	198	14,170	9,594	48,252	1,00	56,39	G	C
ATOM	9176	CB	LEU	C	198	13,424	10,927	48,119	1,00	56,43	G	C
ATOM	9179	CG	LEU	C	198	12,598	11,152	46,850	1,00	55,05	G	C
ATOM	9181	CD1	LEU	C	198	11,987	12,531	46,919	1,00	53,85	G	C

ES 2 540 538 T3

ATOM	9185	CD2	LEU	C	198	13,454	11,012	45,589	1,00	54,98	G	C
ATOM	9189	C	LEU	C	198	15,171	9,666	49,413	1,00	57,12	G	C
ATOM	9190	O	LEU	C	198	16,353	9,943	49,205	1,00	57,72	G	O
ATOM	9192	N	GLY	C	199	14,704	9,412	50,634	1,00	57,39	G	N
ATOM	9193	CA	GLY	C	199	15,600	9,318	51,787	1,00	57,36	G	C
ATOM	9196	C	GLY	C	199	16,593	8,155	51,751	1,00	57,24	G	C
ATOM	9197	O	GLY	C	199	17,618	8,205	52,430	1,00	57,67	G	O
ATOM	9199	N	THR	C	200	16,308	7,124	50,960	1,00	56,79	G	N
ATOM	9200	CA	THR	C	200	17,057	5,873	51,030	1,00	56,65	G	C
ATOM	9202	CB	THR	C	200	16,134	4,799	51,573	1,00	56,91	G	C
ATOM	9204	OG1	THR	C	200	15,119	4,523	50,601	1,00	56,87	G	O
ATOM	9206	CG2	THR	C	200	15,475	5,286	52,876	1,00	57,50	G	C
ATOM	9210	C	THR	C	200	17,699	5,352	49,711	1,00	56,05	G	C
ATOM	9211	O	THR	C	200	18,746	4,699	49,765	1,00	56,71	G	O
ATOM	9213	N	GLN	C	203	17,094	5,594	48,545	1,00	54,78	G	N
ATOM	9214	CA	GLN	C	203	17,702	5,124	47,265	1,00	53,79	G	C
ATOM	9216	CB	GLN	C	203	16,641	4,723	46,218	1,00	54,24	G	C
ATOM	9219	CG	GLN	C	203	16,527	3,195	45,944	1,00	56,06	G	C
ATOM	9222	CD	GLN	C	203	17,551	2,659	44,933	1,00	57,90	G	C
ATOM	9223	OE1	GLN	C	203	17,371	1,574	44,364	1,00	59,62	G	O
ATOM	9224	NE2	GLN	C	203	18,624	3,406	44,717	1,00	58,73	G	N
ATOM	9227	C	GLN	C	203	18,658	6,155	46,661	1,00	51,75	G	C
ATOM	9228	O	GLN	C	203	18,351	7,351	46,587	1,00	51,33	G	O
ATOM	9230	N	THR	C	205	19,813	5,669	46,225	1,00	49,75	G	N
ATOM	9231	CA	THR	C	205	20,801	6,498	45,530	1,00	48,21	G	C
ATOM	9233	CB	THR	C	205	22,240	5,971	45,794	1,00	48,14	G	C
ATOM	9235	OG1	THR	C	205	22,752	6,626	46,965	1,00	48,66	G	O
ATOM	9237	CG2	THR	C	205	23,172	6,226	44,619	1,00	47,28	G	C
ATOM	9241	C	THR	C	205	20,502	6,593	44,016	1,00	46,80	G	C
ATOM	9242	O	THR	C	205	20,339	5,570	43,319	1,00	46,54	G	O
ATOM	9244	N	TYR	C	206	20,437	7,826	43,519	1,00	44,54	G	N
ATOM	9245	CA	TYR	C	206	20,211	8,059	42,083	1,00	43,41	G	C
ATOM	9247	CB	TYR	C	206	18,881	8,822	41,880	1,00	43,26	G	C
ATOM	9250	CG	TYR	C	206	17,673	8,057	42,426	1,00	43,70	G	C
ATOM	9251	CD1	TYR	C	206	17,251	6,877	41,820	1,00	43,13	G	C
ATOM	9253	CE1	TYR	C	206	16,177	6,149	42,326	1,00	45,12	G	C
ATOM	9255	CZ	TYR	C	206	15,501	6,606	43,450	1,00	44,89	G	C
ATOM	9256	OH	TYR	C	206	14,438	5,877	43,914	1,00	46,70	G	O
ATOM	9258	CE2	TYR	C	206	15,902	7,779	44,092	1,00	43,25	G	C
ATOM	9260	CD2	TYR	C	206	16,990	8,495	43,581	1,00	43,37	G	C
ATOM	9262	C	TYR	C	206	21,412	8,751	41,371	1,00	41,58	G	C
ATOM	9263	O	TYR	C	206	21,744	9,905	41,620	1,00	41,34	G	O
ATOM	9265	N	ILE	C	207	22,050	8,025	40,476	1,00	40,24	G	N
ATOM	9266	CA	ILE	C	207	23,229	8,528	39,757	1,00	39,58	G	C
ATOM	9268	CB	ILE	C	207	24,472	7,678	40,114	1,00	39,36	G	C
ATOM	9270	CG1	ILE	C	207	24,829	7,833	41,600	1,00	40,90	G	C
ATOM	9273	CD1	ILE	C	207	26,051	6,996	42,051	1,00	40,43	G	C
ATOM	9277	CG2	ILE	C	207	25,673	8,092	39,297	1,00	40,16	G	C
ATOM	9281	C	ILE	C	207	22,999	8,510	38,236	1,00	38,12	G	C
ATOM	9282	O	ILE	C	207	22,801	7,453	37,651	1,00	37,03	G	O
ATOM	9284	N	CYS	C	208	23,028	9,676	37,596	1,00	37,80	G	N
ATOM	9285	CA	CYS	C	208	23,040	9,709	36,120	1,00	37,89	G	C
ATOM	9287	CB	CYS	C	208	22,401	10,993	35,591	1,00	38,12	G	C
ATOM	9290	SG	CYS	C	208	23,404	12,453	35,809	1,00	40,14	G	s
ATOM	9292	C	CYS	C	208	24,465	9,496	35,579	1,00	37,54	G	C
ATOM	9293	O	CYS	C	208	25,423	10,095	36,072	1,00	37,82	G	O
ATOM	9295	N	ASN	C	209	24,602	8,598	34,611	1,00	37,03	G	N
ATOM	9296	CA	ASN	C	209	25,862	8,339	33,935	1,00	36,95	G	C
ATOM	9298	CB	ASN	C	209	26,103	6,848	33,785	1,00	36,76	G	C
ATOM	9301	CG	ASN	C	209	25,574	6,069	34,959	1,00	39,32	G	C

ES 2 540 538 T3

ATOM	9302	OD1	ASN	C	209	26,219	5,998	36,007	1,00	41,88	G	O
ATOM	9303	ND2	ASN	C	209	24,367	5,516	34,811	1,00	38,75	G	N
ATOM	9306	C	ASN	C	209	25,821	8,960	32,546	1,00	36,69	G	C
ATOM	9307	O	ASN	C	209	25,095	8,468	31,679	1,00	37,20	G	O
ATOM	9309	N	VAL	C	210	26,597	10,025	32,347	1,00	35,74	G	N
ATOM	9310	CA	VAL	C	210	26,588	10,809	31,112	1,00	35,84	G	C
ATOM	9312	CB	VAL	C	210	26,567	12,297	31,411	1,00	35,42	G	C
ATOM	9314	CG1	VAL	C	210	26,430	13,110	30,123	1,00	35,78	G	C
ATOM	9318	CG2	VAL	C	210	25,433	12,647	32,367	1,00	34,36	G	C
ATOM	9322	C	VAL	C	210	27,846	10,498	30,289	1,00	36,43	G	C
ATOM	9323	O	VAL	C	210	28,954	10,562	30,803	1,00	37,62	G	O
ATOM	9325	N	ASN	C	211	27,678	10,119	29,033	1,00	36,42	G	N
ATOM	9326	CA	ASN	C	211	28,814	9,800	28,179	1,00	37,19	G	C
ATOM	9328	CB	ASN	C	211	28,770	8,327	27,760	1,00	37,04	G	C
ATOM	9331	CG	ASN	C	211	30,103	7,831	27,190	1,00	41,43	G	C
ATOM	9332	OD1	ASN	C	211	31,027	8,616	26,903	1,00	44,33	G	O
ATOM	9333	ND2	ASN	C	211	30,200	6,512	27,006	1,00	44,14	G	N
ATOM	9336	C	ASN	C	211	28,837	10,706	26,953	1,00	36,48	G	C
ATOM	9337	O	ASN	C	211	27,855	10,765	26,198	1,00	36,26	G	O
ATOM	9339	N	HIS	C	212	29,957	11,397	26,771	1,00	35,92	G	N
ATOM	9340	CA	HIS	C	212	30,207	12,240	25,589	1,00	36,28	G	C
ATOM	9342	CB	HIS	C	212	30,354	13,694	26,026	1,00	35,39	G	C
ATOM	9345	CG	HIS	C	212	30,446	14,664	24,897	1,00	35,58	G	C
ATOM	9346	ND1	HIS	C	212	31,418	15,632	24,829	1,00	35,76	G	N
ATOM	9348	CE1	HIS	C	212	31,231	16,366	23,750	1,00	35,79	G	C
ATOM	9350	NE2	HIS	C	212	30,182	15,898	23,105	1,00	33,86	G	N
ATOM	9352	CD2	HIS	C	212	29,686	14,821	23,789	1,00	36,13	G	C
ATOM	9354	C	HIS	C	212	31,486	11,769	24,863	1,00	37,11	G	C
ATOM	9355	O	HIS	C	212	32,572	12,365	25,006	1,00	36,48	G	O
ATOM	9357	N	LYS	C	213	31,351	10,688	24,091	1,00	38,33	G	N
ATOM	9358	CA	LYS	C	213	32,495	10,084	23,410	1,00	39,27	G	C
ATOM	9360	CB	LYS	C	213	32,064	8,947	22,478	1,00	39,94	G	C
ATOM	9363	CG	LYS	C	213	31,614	7,678	23,209	1,00	43,36	G	C
ATOM	9366	CD	LYS	C	213	31,034	6,665	22,217	1,00	47,65	G	C
ATOM	9369	CE	LYS	C	213	30,600	5,340	22,880	1,00	50,36	G	C
ATOM	9372	NZ	LYS	C	213	31,746	4,361	23,060	1,00	53,67	G	N
ATOM	9376	C	LYS	C	213	33,375	11,122	22,675	1,00	38,37	G	C
ATOM	9377	O	LYS	C	213	34,575	11,131	22,865	1,00	38,36	G	O
ATOM	9379	N	PRO	C	214	32,776	12,026	21,899	1,00	38,02	G	N
ATOM	9380	CA	PRO	C	214	33,597	12,962	21,116	1,00	38,24	G	C
ATOM	9382	CB	PRO	C	214	32,556	13,875	20,479	1,00	37,98	G	C
ATOM	9385	CG	PRO	C	214	31,341	12,995	20,375	1,00	37,97	G	C
ATOM	9388	CD	PRO	C	214	31,340	12,226	21,638	1,00	37,72	G	C
ATOM	9391	C	PRO	C	214	34,604	13,797	21,902	1,00	38,52	G	C
ATOM	9392	O	PRO	C	214	35,596	14,229	21,321	1,00	39,02	G	O
ATOM	9393	N	SER	C	215	34,353	14,051	23,188	1,00	38,28	G	N
ATOM	9394	CA	SER	C	215	35,320	14,769	24,023	1,00	38,23	G	C
ATOM	9396	CB	SER	C	215	34,666	15,935	24,758	1,00	38,47	G	C
ATOM	9399	OG	SER	C	215	33,981	15,495	25,933	1,00	39,53	G	O
ATOM	9401	C	SER	C	215	35,939	13,836	25,034	1,00	37,80	G	C
ATOM	9402	O	SER	C	215	36,554	14,277	25,999	1,00	37,73	G	O
ATOM	9404	N	ASN	C	216	35,792	12,543	24,814	1,00	37,67	G	N
ATOM	9405	CA	ASN	C	216	36,305	11,567	25,749	1,00	38,41	G	C
ATOM	9407	CB	ASN	C	216	37,824	11,510	25,601	1,00	39,27	G	C
ATOM	9410	CG	ASN	C	216	38,258	10,997	24,247	1,00	39,99	G	C
ATOM	9411	OD1	ASN	C	216	37,789	9,956	23,793	1,00	39,18	G	O
ATOM	9412	ND2	ASN	C	216	39,178	11,725	23,600	1,00	41,98	G	N
ATOM	9415	C	ASN	C	216	35,958	11,832	27,225	1,00	38,54	G	C
ATOM	9416	O	ASN	C	216	36,807	11,617	28,095	1,00	39,25	G	O
ATOM	9418	N	THR	C	217	34,734	12,296	27,506	1,00	37,80	G	N

ES 2 540 538 T3

ATOM	9419	CA	THR	C	217	34,303	12,637	28,867	1,00	37,73	G	C
ATOM	9421	CB	THR	C	217	33,931	14,131	28,962	1,00	37,92	G	C
ATOM	9423	OG1	THR	C	217	34,942	14,906	28,309	1,00	36,44	G	C
ATOM	9425	CG2	THR	C	217	33,807	14,587	30,426	1,00	36,80	G	C
ATOM	9429	C	THR	C	217	33,105	11,788	29,288	1,00	37,63	G	C
ATOM	9430	O	THR	C	217	32,095	11,797	28,600	1,00	37,98	G	C
ATOM	9432	N	LYS	C	218	33,248	11,015	30,374	1,00	37,58	G	N
ATOM	9433	CA	LYS	C	218	32,109	10,362	31,075	1,00	37,05	G	C
ATOM	9435	CB	LYS	C	218	32,263	8,845	31,195	1,00	36,10	G	C
ATOM	9442	C	LYS	C	218	31,972	10,969	32,464	1,00	37,29	G	C
ATOM	9443	O	LYS	C	218	32,964	11,075	33,211	1,00	37,13	G	C
ATOM	9445	N	VAL	C	219	30,749	11,361	32,817	1,00	37,57	G	N
ATOM	9446	CA	VAL	C	219	30,482	11,978	34,115	1,00	38,05	G	C
ATOM	9448	CB	VAL	C	219	30,156	13,471	33,973	1,00	37,84	G	C
ATOM	9450	CG1	VAL	C	219	29,973	14,099	35,326	1,00	37,56	G	C
ATOM	9454	CG2	VAL	C	219	31,255	14,209	33,155	1,00	37,80	G	C
ATOM	9458	C	VAL	C	219	29,323	11,262	34,851	1,00	39,14	G	C
ATOM	9459	O	VAL	C	219	28,248	11,026	34,285	1,00	39,52	G	C
ATOM	9461	N	ASP	C	220	29,575	10,908	36,105	1,00	39,60	G	N
ATOM	9462	CA	ASP	C	220	28,574	10,386	37,005	1,00	40,14	G	C
ATOM	9464	CB	ASP	C	220	29,119	9,153	37,740	1,00	40,81	G	C
ATOM	9467	CG	ASP	C	220	29,350	7,988	36,810	1,00	42,53	G	C
ATOM	9468	OD1	ASP	C	220	29,050	8,119	35,610	1,00	46,72	G	C
ATOM	9469	OD2	ASP	C	220	29,824	6,936	37,258	1,00	45,89	G	C
ATOM	9470	C	ASP	C	220	28,220	11,490	37,980	1,00	39,88	G	C
ATOM	9471	O	ASP	C	220	29,105	12,156	38,527	1,00	39,81	G	C
ATOM	9473	N	LYS	C	221	26,919	11,699	38,166	1,00	40,18	G	N
ATOM	9474	CA	LYS	C	221	26,401	12,734	39,029	1,00	40,27	G	C
ATOM	9476	CB	LYS	C	221	25,921	13,925	38,226	1,00	40,01	G	C
ATOM	9479	CG	LYS	C	221	25,669	15,152	39,072	1,00	40,48	G	C
ATOM	9482	CD	LYS	C	221	27,003	15,645	39,656	1,00	41,86	G	C
ATOM	9485	CE	LYS	C	221	26,961	17,061	40,098	1,00	42,21	G	C
ATOM	9488	NZ	LYS	C	221	28,255	17,707	39,855	1,00	44,38	G	N
ATOM	9492	C	LYS	C	221	25,247	12,185	39,874	1,00	41,70	G	C
ATOM	9493	O	LYS	C	221	24,148	11,903	39,369	1,00	41,85	G	C
ATOM	9495	N	LYS	C	222	25,509	12,030	41,169	1,00	42,78	G	N
ATOM	9496	CA	LYS	C	222	24,488	11,595	42,108	1,00	43,28	G	C
ATOM	9498	CB	LYS	C	222	25,140	11,116	43,423	1,00	44,13	G	C
ATOM	9501	CG	LYS	C	222	24,209	10,648	44,556	1,00	46,48	G	C
ATOM	9504	CD	LYS	C	222	25,000	10,572	45,905	1,00	48,69	G	C
ATOM	9507	CE	LYS	C	222	24,312	9,680	46,951	1,00	50,48	G	C
ATOM	9510	NZ	LYS	C	222	23,172	10,320	47,687	1,00	50,58	G	N
ATOM	9514	C	LYS	C	222	23,592	12,799	42,310	1,00	42,19	G	C
ATOM	9515	O	LYS	C	222	24,067	13,927	42,426	1,00	41,19	G	C
ATOM	9517	N	VAL	C	225	22,295	12,539	42,326	1,00	41,85	G	N
ATOM	9518	CA	VAL	C	225	21,280	13,582	42,430	1,00	42,27	G	C
ATOM	9520	CB	VAL	C	225	20,338	13,524	41,222	1,00	41,93	G	C
ATOM	9522	CG1	VAL	C	225	19,222	14,558	41,353	1,00	41,42	G	C
ATOM	9526	CG2	VAL	C	225	21,132	13,719	39,922	1,00	42,66	G	C
ATOM	9530	C	VAL	C	225	20,460	13,369	43,712	1,00	43,37	G	C
ATOM	9531	O	VAL	C	225	19,848	12,307	43,915	1,00	42,62	G	O
ATOM	9533	N	GLU	C	226	20,443	14,370	44,571	1,00	44,25	G	N
ATOM	9534	CA	GLU	C	226	19,795	14,207	45,848	1,00	45,58	G	C
ATOM	9536	CB	GLU	C	226	20,807	13,869	46,972	1,00	46,05	G	C
ATOM	9539	CG	GLU	C	226	22,197	14,446	46,807	1,00	47,53	G	C
ATOM	9542	CD	GLU	C	226	23,196	14,070	47,915	1,00	48,27	G	C
ATOM	9543	OE1	GLU	C	226	23,356	12,863	48,226	1,00	49,13	G	O
ATOM	9544	OE2	GLU	C	226	23,858	15,002	48,441	1,00	48,05	G	O
ATOM	9545	C	GLU	C	226	18,912	15,421	46,149	1,00	46,16	G	C
ATOM	9546	O	GLU	C	226	19,087	16,478	45,551	1,00	45,77	G	O

ES 2 540 538 T3

ATOM	9548	N	PRO	C	227	17,907	15,235	47,034	1,00	46,82	G	N
ATOM	9549	CA	PRO	C	227	16,871	16,217	47,335	1,00	47,19	G	C
ATOM	9551	CB	PRO	C	227	16,204	15,630	48,574	1,00	47,75	G	C
ATOM	9554	CG	PRO	C	227	16,393	14,116	48,433	1,00	47,28	G	C
ATOM	9557	CD	PRO	C	227	17,563	13,886	47,546	1,00	46,87	G	C
ATOM	9560	C	PRO	C	227	17,339	17,662	47,574	1,00	47,42	G	C
ATOM	9561	O	PRO	C	227	18,002	17,951	48,559	1,00	48,31	G	O
TER												
ATOM	9562	N	SER	D	2	12,430	23,465	-5,562	1,00	56,31	D	N
ATOM	9563	CA	SER	D	2	12,061	22,023	-5,755	1,00	56,53	D	C
ATOM	9565	CB	SER	D	2	11,112	21,546	-4,655	1,00	56,98	D	C
ATOM	9568	OG	SER	D	2	10,355	20,419	-5,089	1,00	57,69	D	O
ATOM	9570	C	SER	D	2	11,408	21,822	-7,123	1,00	56,09	D	C
ATOM	9571	O	SER	D	2	10,284	22,280	-7,357	1,00	55,90	D	O
ATOM	9575	N	VAL	D	3	12,106	21,105	-8,005	1,00	55,32	D	N
ATOM	9576	CA	VAL	D	3	11,759	21,063	-9,424	1,00	54,58	D	C
ATOM	9578	CB	VAL	D	3	12,940	20,472	-10,252	1,00	54,69	D	C
ATOM	9580	CG1	VAL	D	3	12,527	20,243	-11,705	1,00	54,06	D	C
ATOM	9584	CG2	VAL	D	3	14,170	21,410	-10,163	1,00	53,86	D	C
ATOM	9588	C	VAL	D	3	10,404	20,364	-9,710	1,00	53,86	D	C
ATOM	9589	O	VAL	D	3	9,676	20,774	-10,617	1,00	53,54	D	O
ATOM	9591	N	LEU	D	4	10,067	19,334	-8,932	1,00	52,87	D	N
ATOM	9592	CA	LEU	D	4	8,737	18,682	-8,998	1,00	52,18	D	C
ATOM	9594	CB	LEU	D	4	8,866	17,158	-8,902	1,00	51,65	D	C
ATOM	9597	CG	LEU	D	4	9,161	16,342	-10,164	1,00	51,65	D	C
ATOM	9599	CD1	LEU	D	4	9,574	14,941	-9,795	1,00	49,63	D	C
ATOM	9603	CD2	LEU	D	4	10,213	16,985	-11,034	1,00	51,19	D	C
ATOM	9607	C	LEU	D	4	7,884	19,206	-7,838	1,00	51,77	D	C
ATOM	9608	O	LEU	D	4	8,432	19,519	-6,785	1,00	51,94	D	O
ATOM	9610	N	THR	D	5	6,561	19,294	-8,017	1,00	51,25	D	N
ATOM	9611	CA	THR	D	5	5,680	19,872	-6,981	1,00	50,49	D	C
ATOM	9613	CB	THR	D	5	4,849	21,051	-7,521	1,00	50,60	D	C
ATOM	9615	OG1	THR	D	5	5,727	22,116	-7,910	1,00	50,20	D	O
ATOM	9617	CG2	THR	D	5	3,901	21,569	-6,461	1,00	50,55	D	C
ATOM	9621	C	THR	D	5	4,748	18,837	-6,405	1,00	49,99	D	C
ATOM	9622	O	THR	D	5	3,944	18,263	-7,125	1,00	50,19	D	O
ATOM	9624	N	GLN	D	6	4,887	18,589	-5,106	1,00	49,34	D	N
ATOM	9625	CA	GLN	D	6	3,999	17,724	-4,355	1,00	49,05	D	C
ATOM	9627	CB	GLN	D	6	4,776	16,617	-3,653	1,00	49,11	D	C
ATOM	9630	CG	GLN	D	6	5,631	15,730	-4,547	1,00	47,70	D	C
ATOM	9633	CD	GLN	D	6	6,434	14,725	-3,733	1,00	44,66	D	C
ATOM	9634	OE1	GLN	D	6	5,884	13,994	-2,906	1,00	41,87	D	O
ATOM	9635	NE2	GLN	D	6	7,744	14,699	-3,961	1,00	39,42	D	N
ATOM	9638	C	GLN	D	6	3,304	18,543	-3,271	1,00	49,62	D	C
ATOM	9639	O	GLN	D	6	3,728	19,673	-2,958	1,00	49,48	D	O
ATOM	9641	N	PRO	D	7	2,231	17,985	-2,695	1,00	49,98	D	N
ATOM	9642	CA	PRO	D	7	1,593	18,592	-1,526	1,00	50,51	D	C
ATOM	9644	CB	PRO	D	7	0,199	17,940	-1,498	1,00	50,26	D	C
ATOM	9647	CG	PRO	D	7	0,357	16,664	-2,234	1,00	50,46	D	C
ATOM	9650	CD	PRO	D	7	1,377	16,950	-3,305	1,00	50,23	D	C
ATOM	9653	C	PRO	D	7	2,360	18,291	-0,231	1,00	51,10	D	C
ATOM	9654	O	PRO	D	7	2,773	17,142	-0,019	1,00	50,66	D	O
ATOM	9655	N	PRO	D	8	2,536	19,314	0,638	1,00	51,71	D	N
ATOM	9656	CA	PRO	D	8	3,321	19,153	1,870	1,00	52,10	D	C
ATOM	9658	CB	PRO	D	8	3,094	20,478	2,609	1,00	52,02	D	C
ATOM	9661	CG	PRO	D	8	2,869	21,467	1,521	1,00	51,89	D	C
ATOM	9664	CD	PRO	D	8	2,149	20,724	0,422	1,00	51,83	D	C
ATOM	9667	C	PRO	D	8	2,886	17,983	2,737	1,00	52,45	D	C
ATOM	9668	O	PRO	D	8	3,717	17,364	3,393	1,00	52,79	D	O
ATOM	9669	N	SER	D	9	1,599	17,686	2,747	1,00	53,05	D	N

ES 2 540 538 T3

ATOM	9670	CA	SER	D	9	1,102	16,625	3,592	1,00	54,08	D	C
ATOM	9672	CB	SER	D	9	0,987	17,088	5,071	1,00	54,96	D	C
ATOM	9675	OG	SER	D	9	0,613	18,461	5,165	1,00	55,03	D	O
ATOM	9677	C	SER	D	9	-0,231	16,085	3,111	1,00	54,47	D	C
ATOM	9678	O	SER	D	9	-0,887	16,652	2,230	1,00	54,26	D	O
ATOM	9680	N	VAL	D	11	-0,596	14,970	3,727	1,00	54,87	D	N
ATOM	9681	CA	VAL	D	11	-1,723	14,182	3,338	1,00	55,34	D	C
ATOM	9683	CB	VAL	D	11	-1,414	13,398	2,036	1,00	55,68	D	C
ATOM	9685	CG1	VAL	D	11	-2,003	12,012	2,073	1,00	54,96	D	C
ATOM	9689	CG2	VAL	D	11	-1,884	14,196	0,803	1,00	55,54	D	C
ATOM	9693	C	VAL	D	11	-2,008	13,261	4,517	1,00	55,94	D	C
ATOM	9694	O	VAL	D	11	-1,106	12,889	5,275	1,00	55,38	D	O
ATOM	9696	N	SER	D	12	-3,282	12,920	4,672	1,00	56,71	D	N
ATOM	9697	CA	SER	D	12	-3,782	12,323	5,901	1,00	56,84	D	C
ATOM	9699	CB	SER	D	12	-4,050	13,433	6,917	1,00	56,91	D	C
ATOM	9702	OG	SER	D	12	-4,072	14,701	6,269	1,00	56,01	D	O
ATOM	9704	C	SER	D	12	-5,045	11,540	5,617	1,00	56,95	D	C
ATOM	9705	O	SER	D	12	-5,842	11,935	4,770	1,00	57,42	D	O
ATOM	9707	N	ALA	D	13	-5,211	10,421	6,314	1,00	57,04	D	N
ATOM	9708	CA	ALA	D	13	-6,389	9,572	6,157	1,00	56,97	D	C
ATOM	9710	CB	ALA	D	13	-6,454	8,988	4,744	1,00	56,94	D	C
ATOM	9714	C	ALA	D	13	-6,391	8,454	7,209	1,00	57,01	D	C
ATOM	9715	O	ALA	D	13	-5,338	8,091	7,751	1,00	56,86	D	O
ATOM	9717	N	ALA	D	14	-7,582	7,920	7,493	1,00	56,74	D	N
ATOM	9718	CA	ALA	D	14	-7,774	6,976	8,591	1,00	56,47	D	C
ATOM	9720	CB	ALA	D	14	-9,255	6,859	8,934	1,00	56,34	D	C
ATOM	9724	C	ALA	D	14	-7,239	5,644	8,149	1,00	56,01	D	C
ATOM	9725	O	ALA	D	14	-7,096	5,430	6,962	1,00	56,16	D	O
ATOM	9727	N	PRO	D	15	-6,934	4,740	9,089	1,00	55,98	D	N
ATOM	9728	CA	PRO	D	15	-6,551	3,422	8,603	1,00	56,10	D	C
ATOM	9730	CB	PRO	D	15	-6,389	2,593	9,877	1,00	56,15	D	C
ATOM	9733	CG	PRO	D	15	-6,072	3,577	10,942	1,00	56,51	D	C
ATOM	9736	CD	PRO	D	15	-6,651	4,914	10,522	1,00	56,07	D	C
ATOM	9739	C	PRO	D	15	-7,624	2,832	7,689	1,00	56,35	D	C
ATOM	9740	O	PRO	D	15	-8,811	3,152	7,829	1,00	56,11	D	O
ATOM	9741	N	GLY	D	16	-7,185	1,999	6,749	1,00	56,55	D	N
ATOM	9742	CA	GLY	D	16	-8,061	1,346	5,804	1,00	56,57	D	C
ATOM	9745	C	GLY	D	16	-8,251	2,149	4,536	1,00	56,65	D	C
ATOM	9746	O	GLY	D	16	-8,371	1,572	3,470	1,00	57,46	D	O
ATOM	9748	N	GLN	D	17	-8,282	3,474	4,632	1,00	56,47	D	N
ATOM	9749	CA	GLN	D	17	-8,659	4,291	3,483	1,00	56,37	D	C
ATOM	9751	CB	GLN	D	17	-8,898	5,754	3,883	1,00	56,53	D	C
ATOM	9758	C	GLN	D	17	-7,628	4,211	2,361	1,00	56,37	D	C
ATOM	9759	O	GLN	D	17	-6,617	3,508	2,460	1,00	56,82	D	O
ATOM	9761	N	LYS	D	18	-7,938	4,898	1,271	1,00	55,96	D	N
ATOM	9762	CA	LYS	D	18	-7,043	5,041	0,164	1,00	55,75	D	C
ATOM	9764	CB	LYS	D	18	-7,774	4,798	-1,166	1,00	55,88	D	C
ATOM	9771	C	LYS	D	18	-6,563	6,472	0,242	1,00	55,60	D	C
ATOM	9772	O	LYS	D	18	-7,351	7,391	0,496	1,00	56,12	D	O
ATOM	9774	N	VAL	D	19	-5,267	6,679	0,062	1,00	54,96	D	N
ATOM	9775	CA	VAL	D	19	-4,786	8,030	-0,092	1,00	54,40	D	C
ATOM	9777	CB	VAL	D	19	-3,880	8,488	1,075	1,00	54,42	D	C
ATOM	9779	CG1	VAL	D	19	-2,428	8,205	0,791	1,00	54,17	D	C
ATOM	9783	CG2	VAL	D	19	-4,091	9,987	1,329	1,00	54,61	D	C
ATOM	9787	C	VAL	D	19	-4,082	8,067	-1,414	1,00	53,81	D	C
ATOM	9788	O	VAL	D	19	-3,734	7,028	-1,952	1,00	53,05	D	O
ATOM	9790	N	THR	D	20	-3,903	9,279	-1,918	1,00	53,52	D	N
ATOM	9791	CA	THR	D	20	-3,408	9,536	-3,255	1,00	53,84	D	C
ATOM	9793	CB	THR	D	20	-4,603	9,832	-4,229	1,00	53,91	D	C
ATOM	9795	OG1	THR	D	20	-4,383	11,059	-4,946	1,00	54,22	D	O

ES 2 540 538 T3

ATOM	9797	CG2	THR	D	20	-5,922	9,975	-3,447	1,00	54,18	D	C
ATOM	9801	C	THR	D	20	-2,451	10,743	-3,146	1,00	53,86	D	C
ATOM	9802	O	THR	D	20	-2,762	11,730	-2,474	1,00	53,60	D	O
ATOM	9804	N	ILE	D	21	-1,279	10,653	-3,768	1,00	53,80	D	N
ATOM	9805	CA	ILE	D	21	-0,315	11,745	-3,686	1,00	53,53	D	C
ATOM	9807	CB	ILE	D	21	0,935	11,380	-2,856	1,00	53,59	D	C
ATOM	9809	CG1	ILE	D	21	0,538	10,939	-1,452	1,00	53,41	D	C
ATOM	9812	CD1	ILE	D	21	1,721	10,469	-0,621	1,00	54,20	D	C
ATOM	9816	CG2	ILE	D	21	1,887	12,585	-2,759	1,00	52,72	D	C
ATOM	9820	C	ILE	D	21	0,090	12,143	-5,081	1,00	53,71	D	C
ATOM	9821	O	ILE	D	21	0,567	11,315	-5,867	1,00	54,06	D	O
ATOM	9823	N	SER	D	22	-0,103	13,420	-5,375	1,00	53,32	D	N
ATOM	9824	CA	SER	D	22	0,130	13,948	-6,695	1,00	53,46	D	C
ATOM	9826	CB	SER	D	22	-0,837	15,105	-6,963	1,00	53,50	D	C
ATOM	9829	OG	SER	D	22	-0,284	16,335	-6,511	1,00	55,11	D	O
ATOM	9831	C	SER	D	22	1,573	14,448	-6,823	1,00	53,00	D	C
ATOM	9832	O	SER	O	22	2,185	14,879	-5,839	1,00	52,89	D	O
ATOM	9834	N	CYS	D	23	2,098	14,390	-8,045	1,00	52,17	D	N
ATOM	9835	CA	CYS	D	23	3,399	14,957	-8,381	1,00	51,41	D	C
ATOM	9837	CB	CYS	D	23	4,475	13,851	-8,426	1,00	51,07	D	C
ATOM	9840	SG	CYS	D	23	6,129	14,394	-8,887	1,00	50,70	D	S
ATOM	9842	C	CYS	D	23	3,248	15,641	-9,737	1,00	51,25	D	C
ATOM	9843	O	CYS	D	23	2,809	15,023	-10,712	1,00	51,15	D	O
ATOM	9845	N	SER	D	24	3,627	16,906	-9,793	1,00	50,86	D	N
ATOM	9846	CA	SER	D	24	3,351	17,725	-10,935	1,00	51,34	D	C
ATOM	9848	CB	SER	D	24	2,374	18,835	-10,533	1,00	51,51	D	C
ATOM	9851	OG	SER	D	24	2,509	19,953	-11,386	1,00	52,85	D	O
ATOM	9853	C	SER	D	24	4,632	18,334	-11,443	1,00	51,11	D	C
ATOM	9854	O	SER	D	24	5,368	18,956	-10,683	1,00	51,65	D	O
ATOM	9856	N	GLY	D	25	4,875	18,196	-12,738	1,00	50,97	D	N
ATOM	9857	CA	GLY	D	25	6,147	18,591	-13,308	1,00	51,04	D	C
ATOM	9860	C	GLY	D	25	6,042	19,393	-14,582	1,00	50,91	D	C
ATOM	9861	O	GLY	D	25	5,145	20,216	-14,742	1,00	50,88	D	O
ATOM	9863	N	SER	D	26	6,983	19,161	-15,485	1,00	50,83	D	N
ATOM	9864	CA	SER	D	26	7,054	19,907	-16,721	1,00	50,83	D	C
ATOM	9866	CB	SER	D	26	8,139	20,997	-16,638	1,00	50,79	D	C
ATOM	9869	OG	SER	D	26	9,422	20,506	-16,990	1,00	52,39	D	O
ATOM	9871	C	SER	D	26	7,307	18,964	-17,886	1,00	50,69	D	C
ATOM	9872	O	SER	D	26	7,469	17,744	-17,708	1,00	50,61	D	O
ATOM	9874	N	SER	D	27	7,317	19,552	-19,078	1,00	50,05	D	N
ATOM	9875	CA	SER	D	27	7,468	18,822	-20,331	1,00	49,96	D	C
ATOM	9877	CB	SER	D	27	7,292	19,821	-21,495	1,00	50,16	D	C
ATOM	9880	OG	SER	D	27	7,669	19,279	-22,740	1,00	51,09	D	O
ATOM	9882	C	SER	D	27	8,811	18,074	-20,412	1,00	49,00	D	C
ATOM	9883	O	SER	D	27	8,866	16,913	-20,792	1,00	48,94	D	O
ATOM	9885	N	SER	D	27A	9,879	18,754	-20,014	1,00	48,71	D	N
ATOM	9886	CA	SER	D	27A	11,245	18,220	-20,067	1,00	47,91	D	C
ATOM	9888	CB	SER	D	27A	12,251	19,377	-20,003	1,00	47,92	D	C
ATOM	9891	OG	SER	D	27A	12,216	20,022	-18,735	1,00	47,58	D	O
ATOM	9893	C	SER	D	27A	11,568	17,197	-18,967	1,00	47,42	D	C
ATOM	9894	O	SER	D	27A	12,520	16,426	-19,111	1,00	47,01	D	O
ATOM	9896	N	ASP	D	27B	10,809	17,197	-17,868	1,00	46,84	D	N
ATOM	9897	CA	ASP	D	27B	11,018	16,190	-16,826	1,00	46,25	D	C
ATOM	9899	CB	ASP	D	27B	11,193	16,796	-15,418	1,00	46,39	D	C
ATOM	9902	CG	ASP	D	27B	10,057	17,724	-14,988	1,00	45,80	D	C
ATOM	9903	OD1	ASP	D	27B	10,304	18,945	-14,859	1,00	44,75	D	O
ATOM	9904	OD2	ASP	D	27B	8,941	17,227	-14,734	1,00	45,26	D	O
ATOM	9905	C	ASP	D	27B	10,006	15,037	-16,906	1,00	45,78	D	C
ATOM	9906	O	ASP	D	27B	10,218	14,140	-17,701	1,00	45,41	D	O
ATOM	9908	N	ILE	D	28	8,941	15,040	-16,109	1,00	45,40	D	N

ES 2 540 538 T3

ATOM	9909	CA	ILE	D	28	7,910	13,973	-16,159	1,00	45,96	D	C
ATOM	9911	CB	ILE	D	28	6,705	14,274	-15,222	1,00	46,02	D	C
ATOM	9913	CG1	ILE	D	28	7,146	14,339	-13,761	1,00	46,87	D	C
ATOM	9916	CD1	ILE	D	28	5,958	14,544	-12,788	1,00	48,33	D	C
ATOM	9920	CG2	ILE	D	28	5,577	13,239	-15,387	1,00	44,78	D	C
ATOM	9924	C	ILE	D	28	7,340	13,801	-17,559	1,00	46,00	D	C
ATOM	9925	O	ILE	D	28	6,969	12,694	-17,962	1,00	45,81	D	O
ATOM	9927	N	GLY	D	29	7,271	14,906	-18,293	1,00	46,19	D	N
ATOM	9928	CA	GLY	D	29	6,775	14,879	-19,669	1,00	46,83	D	C
ATOM	9931	C	GLY	D	29	7,575	13,966	-20,581	1,00	46,82	D	C
ATOM	9932	O	GLY	D	29	7,018	13,374	-21,519	1,00	47,01	D	O
ATOM	9934	N	SER	D	30	8,865	13,809	-20,280	1,00	45,93	D	N
ATOM	9935	CA	SER	D	30	9,761	13,102	-21,169	1,00	45,48	D	C
ATOM	9937	CB	SER	D	30	10,889	14,037	-21,580	1,00	45,46	D	C
ATOM	9940	OG	SER	D	30	10,391	15,257	-22,096	1,00	46,68	D	O
ATOM	9942	C	SER	D	30	10,373	11,829	-20,590	1,00	44,72	D	C
ATOM	9943	O	SER	D	30	11,154	11,169	-21,286	1,00	44,18	D	O
ATOM	9945	N	ASN	D	31	10,027	11,482	-19,346	1,00	43,43	D	N
ATOM	9946	CA	ASN	D	31	10,816	10,510	-18,593	1,00	42,43	D	C
ATOM	9948	CB	ASN	D	31	11,926	11,219	-17,811	1,00	42,32	D	C
ATOM	9951	CG	ASN	D	31	13,045	11,754	-18,719	1,00	41,41	D	C
ATOM	9952	OD1	ASN	D	31	13,852	10,980	-19,243	1,00	43,36	D	O
ATOM	9953	ND2	ASN	D	31	13,083	13,068	-18,921	1,00	38,48	D	N
ATOM	9956	C	ASN	D	31	9,979	9,684	-17,652	1,00	42,13	D	C
ATOM	9957	O	ASN	D	31	8,853	10,043	-17,337	1,00	42,26	D	O
ATOM	9959	N	TYR	D	32	10,524	8,548	-17,233	1,00	41,63	D	N
ATOM	9960	CA	TYR	D	32	9,852	7,694	-16,274	1,00	41,65	D	C
ATOM	9962	CB	TYR	D	32	10,537	6,351	-16,186	1,00	42,36	D	C
ATOM	9965	CG	TYR	D	32	10,392	5,484	-17,408	1,00	44,43	D	C
ATOM	9966	CD1	TYR	D	32	9,254	4,688	-17,586	1,00	46,05	D	C
ATOM	9968	CE1	TYR	D	32	9,121	3,861	-18,694	1,00	47,28	D	C
ATOM	9970	CZ	TYR	D	32	10,130	3,820	-19,640	1,00	48,66	D	C
ATOM	9971	OH	TYR	D	32	9,988	3,002	-20,753	1,00	53,24	D	O
ATOM	9973	CE2	TYR	D	32	11,269	4,609	-19,494	1,00	46,65	D	C
ATOM	9975	CD2	TYR	D	32	11,402	5,429	-18,374	1,00	44,79	D	C
ATOM	9977	C	TYR	D	32	9,871	8,352	-14,893	1,00	40,51	D	C
ATOM	9978	O	TYR	D	32	10,692	9,203	-14,633	1,00	39,89	D	O
ATOM	9980	N	VAL	D	33	8,941	7,960	-14,038	1,00	39,86	D	N
ATOM	9981	CA	VAL	D	33	8,742	8,607	-12,743	1,00	39,60	D	C
ATOM	9983	CB	VAL	D	33	7,314	9,199	-12,603	1,00	39,51	D	C
ATOM	9985	CG1	VAL	D	33	6,983	9,533	-11,122	1,00	38,31	D	C
ATOM	9989	CG2	VAL	D	33	7,163	10,435	-13,494	1,00	37,88	D	C
ATOM	9993	C	VAL	D	33	8,960	7,570	-11,676	1,00	39,68	D	C
ATOM	9994	O	VAL	D	33	8,496	6,466	-11,814	1,00	40,19	D	O
ATOM	9996	N	SER	D	34	9,677	7,941	-10,619	1,00	39,91	D	N
ATOM	9997	CA	SER	D	34	9,919	7,067	-9,486	1,00	40,05	D	C
ATOM	9999	CB	SER	D	34	11,432	6,848	-9,333	1,00	40,49	D	C
ATOM	10002	OG	SER	D	34	11,918	5,905	-10,266	1,00	41,02	D	O
ATOM	10004	C	SER	D	34	9,376	7,708	-8,203	1,00	39,59	D	C
ATOM	10005	O	SER	D	34	9,238	8,933	-8,112	1,00	39,15	D	O
ATOM	10007	N	TRP	D	35	9,119	6,864	-7,216	1,00	39,67	D	N
ATOM	10008	CA	TRP	D	35	8,735	7,283	-5,873	1,00	39,75	D	C
ATOM	10010	CB	TRP	D	35	7,293	6,885	-5,576	1,00	40,39	D	C
ATOM	10013	CG	TRP	D	35	6,310	7,603	-6,430	1,00	42,98	D	C
ATOM	10014	CD1	TRP	D	35	5,846	7,211	-7,662	1,00	42,31	D	C
ATOM	10016	NE1	TRP	D	35	4,985	8,144	-8,150	1,00	44,65	D	N
ATOM	10018	CE2	TRP	D	35	4,850	9,161	-7,244	1,00	44,85	D	C
ATOM	10019	CD2	TRP	D	35	5,683	8,859	-6,147	1,00	44,94	D	C
ATOM	10020	CE3	TRP	D	35	5,736	9,753	-5,071	1,00	47,22	D	C
ATOM	10022	CZ3	TRP	D	35	4,957	10,904	-5,125	1,00	47,98	D	C

ES 2 540 538 T3

ATOM	10024	CH2	TRP	D	35	4,138	11,167	-6,238	1,00	47,51	D	C
ATOM	10026	CZ2	TRP	D	35	4,082	10,310	-7,303	1,00	45,81	D	C
ATOM	10028	C	TRP	D	35	9,631	6,634	-4,836	1,00	39,20	D	C
ATOM	10029	O	TRP	D	35	10,003	5,459	-4,990	1,00	38,14	D	O
ATOM	10031	N	TYR	D	36	9,949	7,403	-3,781	1,00	38,36	D	N
ATOM	10032	CA	TYR	D	36	10,785	6,940	-2,684	1,00	38,14	D	C
ATOM	10034	CB	TYR	D	36	12,120	7,687	-2,714	1,00	38,60	D	C
ATOM	10037	CG	TYR	D	36	12,787	7,620	-4,064	1,00	38,04	D	C
ATOM	10038	CD1	TYR	D	36	13,596	6,557	-4,394	1,00	38,96	D	C
ATOM	10040	CE1	TYR	D	36	14,180	6,451	-5,633	1,00	38,28	D	C
ATOM	10042	CZ	TYR	D	36	13,953	7,403	-6,578	1,00	36,78	D	C
ATOM	10043	OH	TYR	D	36	14,568	7,261	-7,823	1,00	39,74	D	O
ATOM	10045	CE2	TYR	D	36	13,132	8,466	-6,292	1,00	36,81	D	C
ATOM	10047	CD2	TYR	D	36	12,548	8,571	-5,036	1,00	38,19	D	C
ATOM	10049	C	TYR	D	36	10,087	7,115	-1,324	1,00	37,91	D	C
ATOM	10050	O	TYR	D	36	9,446	8,120	-1,065	1,00	38,73	D	O
ATOM	10052	N	GLN	D	37	10,202	6,115	-0,475	1,00	37,14	D	N
ATOM	10053	CA	GLN	D	37	9,647	6,146	0,869	1,00	37,47	D	C
ATOM	10055	CB	GLN	D	37	8,973	4,810	1,197	1,00	37,13	D	C
ATOM	10058	CG	GLN	D	37	8,288	4,793	2,545	1,00	38,71	D	C
ATOM	10061	CD	GLN	D	37	7,711	3,433	2,914	1,00	41,31	D	C
ATOM	10062	OE1	GLN	D	37	6,513	3,315	3,176	1,00	43,96	D	O
ATOM	10063	NE2	GLN	D	37	8,556	2,412	2,950	1,00	41,14	D	N
ATOM	10066	C	GLN	D	37	10,753	6,344	1,898	1,00	37,46	D	C
ATOM	10067	O	GLN	D	37	11,642	5,505	2,000	1,00	37,62	D	O
ATOM	10069	N	GLN	D	38	10,655	7,395	2,700	1,00	37,29	D	N
ATOM	10070	CA	GLN	D	38	11,616	7,636	3,789	1,00	37,51	D	C
ATOM	10072	CB	GLN	D	38	12,337	8,964	3,573	1,00	37,07	D	C
ATOM	10075	CG	GLN	D	38	13,515	9,179	4,550	1,00	36,00	D	C
ATOM	10078	CD	GLN	D	38	14,295	10,438	4,269	1,00	31,81	D	C
ATOM	10079	OE1	GLN	D	38	13,760	11,433	3,768	1,00	29,78	D	O
ATOM	10080	NE2	GLN	D	38	15,566	10,413	4,620	1,00	31,14	D	N
ATOM	10083	C	GLN	D	38	10,953	7,651	5,182	1,00	38,30	D	C
ATOM	10084	O	GLN	D	38	10,288	8,593	5,550	1,00	37,27	D	O
ATOM	10086	N	PHE	D	39	11,164	6,591	5,941	1,00	39,63	D	N
ATOM	10087	CA	PHE	D	39	10,840	6,587	7,340	1,00	40,57	D	C
ATOM	10089	CB	PHE	D	39	11,031	5,192	7,896	1,00	40,45	D	C
ATOM	10092	CG	PHE	D	39	10,101	4,191	7,301	1,00	43,78	D	C
ATOM	10093	CD1	PHE	D	39	8,729	4,350	7,423	1,00	45,92	D	C
ATOM	10095	CE1	PHE	D	39	7,854	3,416	6,868	1,00	46,30	D	C
ATOM	10097	CZ	PHE	D	39	8,352	2,315	6,191	1,00	47,45	D	C
ATOM	10099	CE2	PHE	D	39	9,722	2,137	6,064	1,00	46,96	D	C
ATOM	10101	CD2	PHE	D	39	10,589	3,070	6,623	1,00	46,61	D	C
ATOM	10103	C	PHE	D	39	11,729	7,593	8,074	1,00	40,37	D	C
ATOM	10104	O	PHE	D	39	12,720	8,032	7,517	1,00	40,22	D	O
ATOM	10106	N	PRO	D	40	11,345	8,003	9,301	1,00	41,00	D	N
ATOM	10107	CA	PRO	D	40	12,158	9,018	9,992	1,00	41,24	D	C
ATOM	10109	CB	PRO	D	40	11,268	9,442	11,183	1,00	41,65	D	C
ATOM	10112	CG	PRO	D	40	9,874	9,152	10,732	1,00	41,44	D	C
ATOM	10115	CD	PRO	D	40	10,004	7,876	9,918	1,00	41,56	D	C
ATOM	10118	C	PRO	D	40	13,468	8,435	10,460	1,00	40,74	D	C
ATOM	10119	O	PRO	D	40	13,510	7,258	10,845	1,00	41,35	D	O
ATOM	10120	N	GLY	D	41	14,541	9,223	10,389	1,00	40,26	D	N
ATOM	10121	CA	GLY	D	41	15,882	8,701	10,694	1,00	39,76	D	C
ATOM	10124	C	GLY	D	41	16,360	7,514	9,839	1,00	39,73	D	C
ATOM	10125	O	GLY	D	41	17,242	6,753	10,268	1,00	40,13	D	O
ATOM	10127	N	THR	D	42	15,798	7,353	8,636	1,00	38,47	D	N
ATOM	10128	CA	THR	D	42	16,148	6,245	7,743	1,00	37,93	D	C
ATOM	10130	CB	THR	D	42	14,996	5,185	7,707	1,00	38,20	D	C
ATOM	10132	OG1	THR	D	42	14,886	4,585	9,003	1,00	41,96	D	O

ES 2 540 538 T3

ATOM	10134	CG2	THR	D	42	15,281	4,061	6,745	1,00	39,42	D	C
ATOM	10138	C	THR	D	42	16,482	6,760	6,332	1,00	36,13	D	C
ATOM	10139	O	THR	D	42	16,037	7,836	5,913	1,00	35,78	D	O
ATOM	10141	N	ALA	D	43	17,302	6,006	5,616	1,00	34,70	D	N
ATOM	10142	CA	ALA	D	43	17,574	6,289	4,214	1,00	34,32	D	C
ATOM	10144	CB	ALA	D	43	18,661	5,352	3,661	1,00	33,79	D	C
ATOM	10148	C	ALA	D	43	16,287	6,114	3,428	1,00	33,54	D	C
ATOM	10149	O	ALA	D	43	15,439	5,306	3,775	1,00	32,65	D	O
ATOM	10151	N	PRO	D	44	16,129	6,894	2,371	1,00	33,53	D	N
ATOM	10152	CA	PRO	D	44	15,053	6,633	1,466	1,00	33,84	D	C
ATOM	10154	CB	PRO	D	44	15,225	7,700	0,400	1,00	33,39	D	C
ATOM	10157	CG	PRO	D	44	15,989	8,739	1,014	1,00	33,57	D	C
ATOM	10160	CD	PRO	D	44	16,932	8,032	1,918	1,00	34,07	D	C
ATOM	10163	C	PRO	D	44	15,214	5,277	0,835	1,00	34,34	D	C
ATOM	10164	O	PRO	D	44	16,308	4,719	0,825	1,00	33,88	D	O
ATOM	10165	N	LYS	D	45	14,120	4,793	0,273	1,00	35,80	D	N
ATOM	10166	CA	LYS	D	45	14,049	3,490	-0,355	1,00	36,72	D	C
ATOM	10168	CB	LYS	D	45	13,396	2,518	0,603	1,00	37,26	D	C
ATOM	10171	CG	LYS	D	45	13,419	1,074	0,126	1,00	40,39	D	C
ATOM	10174	CD	LYS	D	45	12,937	0,113	1,237	1,00	41,56	D	C
ATOM	10177	CE	LYS	D	45	11,504	0,378	1,621	1,00	42,39	D	C
ATOM	10180	NZ	LYS	D	45	10,886	-0,852	2,187	1,00	44,14	D	N
ATOM	10184	C	LYS	D	45	13,199	3,637	-1,595	1,00	37,23	D	C
ATOM	10185	O	LYS	D	45	12,151	4,284	-1,576	1,00	37,15	D	O
ATOM	10187	N	LEU	D	46	13,665	3,051	-2,688	1,00	38,23	D	N
ATOM	10188	CA	LEU	D	46	12,901	3,010	-3,935	1,00	37,85	D	C
ATOM	10190	CB	LEU	D	46	13,712	2,306	-5,042	1,00	37,11	D	C
ATOM	10193	CG	LEU	D	46	13,054	2,297	-6,439	1,00	37,00	D	C
ATOM	10195	CD1	LEU	D	46	12,719	3,740	-6,900	1,00	31,89	D	C
ATOM	10199	CD2	LEU	D	46	13,904	1,552	-7,488	1,00	34,56	D	C
ATOM	10203	C	LEU	D	46	11,577	2,276	-3,707	1,00	37,55	D	C
ATOM	10204	O	LEU	D	46	11,584	1,136	-3,289	1,00	37,79	D	O
ATOM	10206	N	LEU	D	47	10,466	2,943	-4,012	1,00	37,91	D	N
ATOM	10207	CA	LEU	D	47	9,123	2,415	-3,777	1,00	38,12	D	C
ATOM	10209	CB	LEU	D	47	8,320	3,513	-3,122	1,00	38,36	D	C
ATOM	10212	CG	LEU	D	47	6,884	3,226	-2,726	1,00	37,64	D	C
ATOM	10214	CD1	LEU	D	47	6,869	2,239	-1,606	1,00	36,60	D	C
ATOM	10218	CD2	LEU	D	47	6,215	4,545	-2,360	1,00	37,84	D	C
ATOM	10222	C	LEU	D	47	8,397	1,997	-5,062	1,00	38,67	D	C
ATOM	10223	O	LEU	D	47	7,765	0,936	-5,129	1,00	37,80	D	O
ATOM	10225	N	ILE	D	48	8,444	2,899	-6,037	1,00	38,93	D	N
ATOM	10226	CA	ILE	D	48	7,924	2,684	-7,374	1,00	39,31	D	C
ATOM	10228	CB	ILE	D	48	6,648	3,522	-7,642	1,00	39,47	D	C
ATOM	10230	CG1	ILE	D	48	5,467	3,075	-6,779	1,00	39,00	D	C
ATOM	10233	CD1	ILE	D	48	4,875	1,751	-7,186	1,00	38,14	D	C
ATOM	10237	CG2	ILE	D	48	6,252	3,457	-9,153	1,00	40,77	D	C
ATOM	10241	C	ILE	D	48	8,969	3,200	-8,372	1,00	39,08	D	C
ATOM	10242	O	ILE	D	48	9,589	4,263	-8,150	1,00	39,19	D	O
ATOM	10244	N	TYR	D	49	9,143	2,450	-9,461	1,00	38,58	D	N
ATOM	10245	CA	TYR	D	49	9,913	2,893	-10,624	1,00	38,87	D	C
ATOM	10247	CB	TYR	D	49	11,293	2,227	-10,622	1,00	39,46	D	C
ATOM	10250	CG	TYR	D	49	11,277	0,730	-10,862	1,00	39,35	D	C
ATOM	10251	CD1	TYR	D	49	11,636	0,195	-12,106	1,00	40,77	D	C
ATOM	10253	CE1	TYR	D	49	11,618	-1,183	-12,327	1,00	39,42	D	C
ATOM	10255	CZ	TYR	D	49	11,230	-2,013	-11,300	1,00	39,01	D	C
ATOM	10256	OH	TYR	D	49	11,211	-3,367	-11,471	1,00	36,37	D	O
ATOM	10258	CE2	TYR	D	49	10,872	-1,491	-10,068	1,00	39,21	D	C
ATOM	10260	CD2	TYR	D	49	10,890	-0,137	-9,867	1,00	38,29	D	C
ATOM	10262	C	TYR	D	49	9,215	2,611	-11,974	1,00	39,16	D	C
ATOM	10263	O	TYR	D	49	8,307	1,769	-12,085	1,00	38,19	D	O

ES 2 540 538 T3

ATOM	10265	N	ASP	D	50	9,691	3,307	-13,002	1,00	39,95	D	N
ATOM	10266	CA	ASP	D	50	9,200	3,136	-14,374	1,00	40,67	D	C
ATOM	10268	CB	ASP	D	50	9,581	1,746	-14,962	1,00	40,10	D	C
ATOM	10271	CG	ASP	D	50	11,072	1,630	-15,342	1,00	39,83	D	C
ATOM	10272	OD1	ASP	D	50	11,810	2,629	-15,338	1,00	35,53	D	O
ATOM	10273	OD2	ASP	D	50	11,522	0,513	-15,690	1,00	41,41	D	O
ATOM	10274	C	ASP	D	50	7,690	3,351	-14,304	1,00	41,09	D	C
ATOM	10275	O	ASP	D	50	6,896	2,508	-14,723	1,00	40,89	D	O
ATOM	10277	N	ASN	D	51	7,326	4,484	-13,712	1,00	42,12	D	N
ATOM	10278	CA	ASN	D	51	5,931	4,918	-13,528	1,00	42,57	D	C
ATOM	10280	CB	ASN	D	51	5,215	5,044	-14,880	1,00	42,83	D	C
ATOM	10283	CG	ASN	D	51	5,888	6,034	-15,807	1,00	43,52	D	C
ATOM	10284	OD1	ASN	D	51	6,705	6,847	-15,388	1,00	45,31	D	O
ATOM	10285	ND2	ASN	D	51	5,515	5,990	-17,076	1,00	43,78	D	N
ATOM	10288	C	ASN	D	51	5,072	4,066	-12,608	1,00	42,74	D	C
ATOM	10289	O	ASN	D	51	4,343	4,605	-11,785	1,00	42,92	D	O
ATOM	10291	N	ASN	D	52	5,115	2,753	-12,751	1,00	43,52	D	N
ATOM	10292	CA	ASN	D	52	4,125	1,912	-12,082	1,00	44,51	D	C
ATOM	10294	CB	ASN	D	52	2,902	1,709	-13,004	1,00	44,52	D	C
ATOM	10297	CG	ASN	D	52	3,281	1,179	-14,376	1,00	45,48	D	C
ATOM	10298	OD1	ASN	D	52	4,069	0,247	-14,501	1,00	43,30	D	O
ATOM	10299	ND2	ASN	D	52	2,720	1,794	-15,420	1,00	47,50	D	N
ATOM	10302	C	ASN	D	52	4,584	0,567	-11,577	1,00	45,03	D	C
ATOM	10303	O	ASN	D	52	3,751	-0,222	-11,130	1,00	44,77	D	O
ATOM	10305	N	LYS	D	53	5,884	0,291	-11,623	1,00	46,42	D	N
ATOM	10306	CA	LYS	D	53	6,386	-1,003	-11,158	1,00	47,74	D	C
ATOM	10308	CB	LYS	D	53	7,549	-1,482	-12,032	1,00	47,77	D	C
ATOM	10311	CG	LYS	D	53	7,232	-1,638	-13,520	1,00	48,16	D	C
ATOM	10314	CD	LYS	D	53	8,377	-2,381	-14,274	1,00	48,37	D	C
ATOM	10317	CE	LYS	D	53	8,482	-1,969	-15,758	1,00	49,03	D	C
ATOM	10320	NZ	LYS	D	53	9,871	-2,203	-16,330	1,00	49,85	D	N
ATOM	10324	C	LYS	D	53	6,836	-0,951	-9,695	1,00	48,95	D	C
ATOM	10325	O	LYS	D	53	7,266	0,101	-9,182	1,00	49,29	D	O
ATOM	10327	N	ARG	D	54	6,764	-2,110	-9,046	1,00	49,97	D	N
ATOM	10328	CA	ARG	D	54	7,192	-2,276	-7,667	1,00	50,91	D	C
ATOM	10330	CB	ARG	D	54	6,090	-2,926	-6,837	1,00	51,34	D	C
ATOM	10333	CG	ARG	D	54	5,062	-1,959	-6,309	1,00	53,56	D	C
ATOM	10336	CD	ARG	D	54	3,996	-2,696	-5,555	1,00	55,85	D	C
ATOM	10339	NE	ARG	D	54	3,463	-3,791	-6,362	1,00	59,35	D	N
ATOM	10341	CZ	ARG	D	54	2,582	-3,656	-7,354	1,00	60,82	D	C
ATOM	10342	NH1	ARG	D	54	2,184	-4,739	-8,017	1,00	61,25	D	N
ATOM	10345	NH2	ARG	D	54	2,086	-2,460	-7,685	1,00	60,25	D	N
ATOM	10348	C	ARG	D	54	8,391	-3,184	-7,555	1,00	51,15	D	C
ATOM	10349	O	ARG	D	54	8,361	-4,303	-8,068	1,00	50,99	D	O
ATOM	10351	N	PRO	D	55	9,426	-2,739	-6,823	1,00	51,35	D	N
ATOM	10352	CA	PRO	D	55	10,425	-3,678	-6,313	1,00	51,48	D	C
ATOM	10354	CB	PRO	D	55	11,265	-2,814	-5,369	1,00	51,43	D	C
ATOM	10357	CG	PRO	D	55	11,142	-1,441	-5,906	1,00	51,10	D	C
ATOM	10360	CD	PRO	D	55	9,759	-1,341	-6,491	1,00	51,41	D	C
ATOM	10363	C	PRO	D	55	9,763	-4,837	-5,567	1,00	51,85	D	C
ATOM	10364	O	PRO	D	55	8,657	-4,673	-5,058	1,00	50,75	D	O
ATOM	10365	N	SER	D	56	10,446	-5,983	-5,521	1,00	52,96	D	N
ATOM	10366	CA	SER	D	56	9,900	-7,247	-4,973	1,00	53,80	D	C
ATOM	10368	CB	SER	D	56	10,995	-8,333	-4,874	1,00	53,95	D	C
ATOM	10371	OG	SER	D	56	11,925	-8,273	-5,943	1,00	54,80	D	O
ATOM	10373	C	SER	D	56	9,305	-7,096	-3,587	1,00	54,35	D	C
ATOM	10374	O	SER	D	56	8,216	-7,597	-3,307	1,00	54,14	D	O
ATOM	10376	N	ALA	D	57	10,058	-6,428	-2,716	1,00	54,97	D	N
ATOM	10377	CA	ALA	D	57	9,701	-6,323	-1,313	1,00	55,49	D	C
ATOM	10379	CB	ALA	D	57	10,908	-5,857	-0,489	1,00	55,73	D	C

ES 2 540 538 T3

ATOM	10383	C	ALA	D	57	8,520	-5,391	-1,096	1,00	55,86	D	C
ATOM	10384	O	ALA	D	57	7,861	-5,481	-0,064	1,00	56,55	D	O
ATOM	10386	N	ILE	D	58	8,245	-4,507	-2,055	1,00	56,26	D	N
ATOM	10387	CA	ILE	D	58	7,140	-3,552	-1,930	1,00	56,81	D	C
ATOM	10389	CB	ILE	D	58	7,307	-2,366	-2,907	1,00	56,63	D	C
ATOM	10391	CG1	ILE	D	58	8,672	-1,695	-2,709	1,00	57,32	D	C
ATOM	10394	CD1	ILE	D	58	9,083	-1,468	-1,244	1,00	56,86	D	C
ATOM	10398	CG2	ILE	D	58	6,176	-1,354	-2,748	1,00	55,95	D	C
ATOM	10402	C	ILE	D	58	5,778	-4,242	-2,156	1,00	57,41	D	C
ATOM	10403	O	ILE	D	58	5,572	-4,865	-3,205	1,00	58,33	D	O
ATOM	10405	N	PRO	D	59	4,859	-4,160	-1,165	1,00	57,52	D	N
ATOM	10406	CA	PRO	D	59	3,544	-4,796	-1,332	1,00	57,42	D	C
ATOM	10408	CB	PRO	D	59	2,946	-4,779	0,092	1,00	57,70	D	C
ATOM	10411	CG	PRO	D	59	3,685	-3,700	0,823	1,00	57,32	D	C
ATOM	10414	CD	PRO	D	59	5,067	-3,669	0,216	1,00	57,54	D	C
ATOM	10417	C	PRO	D	59	2,603	-4,088	-2,299	1,00	57,40	D	C
ATOM	10418	O	PRO	D	59	2,780	-2,915	-2,608	1,00	57,14	D	O
ATOM	10419	N	ASP	D	60	1,568	-4,820	-2,694	1,00	57,50	D	N
ATOM	10420	CA	ASP	D	60	0,619	-4,439	-3,743	1,00	57,75	D	C
ATOM	10422	CB	ASP	D	60	-0,443	-5,538	-3,918	1,00	58,29	D	C
ATOM	10425	CG	ASP	D	60	0,110	-6,955	-3,692	1,00	60,37	D	C
ATOM	10426	OD1	ASP	D	60	1,144	-7,100	-2,985	1,00	62,26	D	O
ATOM	10427	OD2	ASP	D	60	-0,509	-7,926	-4,209	1,00	62,89	D	O
ATOM	10428	C	ASP	D	60	-0,115	-3,135	-3,458	1,00	57,23	D	C
ATOM	10429	O	ASP	D	60	-0,544	-2,444	-4,378	1,00	57,16	D	O
ATOM	10431	N	ARG	D	61	-0,261	-2,821	-2,174	1,00	56,70	D	N
ATOM	10432	CA	ARG	D	61	-1,005	-1,654	-1,703	1,00	55,89	D	C
ATOM	10434	CB	ARG	D	61	-0,994	-1,635	-0,170	1,00	56,32	D	C
ATOM	10437	CG	ARG	D	61	-1,623	-2,888	0,454	1,00	57,52	D	C
ATOM	10440	CD	ARG	D	61	-1,668	-2,848	1,984	1,00	58,67	D	C
ATOM	10443	NE	ARG	D	61	-0,346	-2,756	2,622	1,00	58,67	D	N
ATOM	10445	CZ	ARG	D	61	0,184	-1,643	3,144	1,00	58,38	D	C
ATOM	10446	NH1	ARG	D	61	-0,454	-0,470	3,114	1,00	56,72	D	N
ATOM	10449	NH2	ARG	D	61	1,380	-1,703	3,707	1,00	59,71	D	N
ATOM	10452	C	ARG	D	61	-0,483	-0,329	-2,262	1,00	54,56	D	C
ATOM	10453	O	ARG	D	61	-1,233	0,640	-2,389	1,00	54,41	D	O
ATOM	10455	N	PHE	D	62	0,798	-0,301	-2,613	1,00	53,31	D	N
ATOM	10456	CA	PHE	D	62	1,410	0,877	-3,232	1,00	52,29	D	C
ATOM	10458	CB	PHE	D	62	2,872	1,004	-2,803	1,00	52,41	D	C
ATOM	10461	CG	PHE	D	62	3,045	1,260	-1,337	1,00	51,94	D	C
ATOM	10462	CD1	PHE	D	62	3,094	2,556	-0,849	1,00	51,72	D	C
ATOM	10464	CE1	PHE	D	62	3,234	2,793	0,513	1,00	52,62	D	C
ATOM	10466	CZ	PHE	D	62	3,324	1,731	1,398	1,00	51,35	D	C
ATOM	10468	CE2	PHE	D	62	3,279	0,454	0,927	1,00	53,01	D	C
ATOM	10470	CD2	PHE	D	62	3,130	0,216	-0,448	1,00	52,36	D	C
ATOM	10472	C	PHE	D	62	1,346	0,766	-4,740	1,00	51,73	D	C
ATOM	10473	O	PHE	D	62	1,578	-0,294	-5,299	1,00	50,85	D	O
ATOM	10475	N	SER	D	63	1,039	1,869	-5,400	1,00	50,98	D	N
ATOM	10476	CA	SER	D	63	0,918	1,855	-6,832	1,00	50,81	D	C
ATOM	10478	CB	SER	D	63	-0,509	1,431	-7,227	1,00	51,26	D	C
ATOM	10481	OG	SER	D	63	-1,485	2,385	-6,799	1,00	51,55	D	O
ATOM	10483	C	SER	D	63	1,250	3,229	-7,369	1,00	50,42	D	C
ATOM	10484	O	SER	D	63	1,283	4,204	-6,611	1,00	49,66	D	O
ATOM	10486	N	GLY	D	64	1,507	3,302	-8,672	1,00	50,14	D	N
ATOM	10487	CA	GLY	D	64	1,803	4,571	-9,328	1,00	50,31	D	C
ATOM	10490	C	GLY	D	64	1,255	4,662	-10,740	1,00	50,55	D	C
ATOM	10491	O	GLY	D	64	1,005	3,648	-11,394	1,00	50,80	D	O
ATOM	10493	N	SER	D	65	1,069	5,887	-11,210	1,00	50,65	D	N
ATOM	10494	CA	SER	D	65	0,684	6,126	-12,584	1,00	50,86	D	C
ATOM	10496	CB	SER	D	65	-0,841	6,150	-12,718	1,00	50,88	D	C

ES 2 540 538 T3

ATOM	10499	OG	SEP	D	65	-1,431	7,097	-11,850	1,00	50,60	D	O
ATOM	10501	C	SEP	D	65	1,282	7,449	-13,013	1,00	51,09	D	C
ATOM	10502	O	SER	D	65	1,672	8,250	-12,177	1,00	50,81	D	O
ATOM	10504	N	LYS	D	66	1,379	7,655	-14,322	1,00	51,45	D	N
ATOM	10505	CA	LYS	D	66	1,837	8,915	-14,881	1,00	51,52	D	C
ATOM	10507	CB	LYS	D	66	3,257	8,793	-15,444	1,00	51,27	D	C
ATOM	10510	CG	LYS	D	66	3,750	10,025	-16,218	1,00	50,67	D	C
ATOM	10513	CD	LYS	D	66	5,094	9,775	-16,915	1,00	50,91	D	C
ATOM	10516	CE	LYS	D	66	5,087	10,256	-18,368	1,00	50,43	D	C
ATOM	10519	NZ	LYS	D	66	6,337	9,903	-19,103	1,00	48,61	D	N
ATOM	10523	C	LYS	D	66	0,871	9,296	-15,982	1,00	52,00	D	C
ATOM	10524	O	LYS	D	66	0,419	8,443	-16,747	1,00	52,37	D	O
ATOM	10526	N	SER	D	67	0,551	10,582	-16,056	1,00	52,49	D	N
ATOM	10527	CA	SER	D	67	-0,269	11,094	-17,136	1,00	52,62	D	C
ATOM	10529	CB	SER	D	67	-1,744	11,077	-16,743	1,00	52,95	D	C
ATOM	10532	OG	SER	D	67	-2,515	11,877	-17,634	1,00	54,93	D	O
ATOM	10534	C	SER	D	67	0,180	12,503	-17,440	1,00	52,25	D	C
ATOM	10535	O	SER	D	67	0,063	13,384	-16,597	1,00	52,40	D	O
ATOM	10537	N	GLY	D	68	0,692	12,698	-18,653	1,00	51,73	D	N
ATOM	10538	CA	GLY	D	68	1,186	13,982	-19,092	1,00	51,36	D	C
ATOM	10541	C	GLY	D	68	2,406	14,357	-18,274	1,00	51,49	D	C
ATOM	10542	O	GLY	D	68	3,398	13,598	-18,208	1,00	51,55	D	O
ATOM	10544	N	THR	D	69	2,318	15,524	-17,642	1,00	51,16	D	N
ATOM	10545	CA	THR	D	69	3,369	16,064	-16,790	1,00	50,70	D	C
ATOM	10547	CB	THR	D	69	3,491	17,571	-17,019	1,00	50,77	D	C
ATOM	10549	OG1	THR	D	69	2,200	18,166	-16,866	1,00	51,14	D	O
ATOM	10551	CG2	THR	D	69	4,029	17,862	-18,427	1,00	51,43	D	C
ATOM	10555	C	THR	D	69	3,063	15,786	-15,312	1,00	50,13	D	C
ATOM	10556	O	THR	D	69	3,629	16,417	-14,422	1,00	49,97	D	O
ATOM	10558	N	SER	D	70	2,174	14,828	-15,056	1,00	49,69	D	N
ATOM	10559	CA	SER	D	70	1,795	14,488	-13,700	1,00	49,28	D	C
ATOM	10561	CB	SER	D	70	0,343	14,868	-13,425	1,00	49,59	D	C
ATOM	10564	OG	SER	D	70	0,158	16,248	-13,637	1,00	50,20	D	O
ATOM	10566	C	SER	D	70	1,926	13,010	-13,462	1,00	48,48	D	C
ATOM	10567	O	SER	D	70	1,836	12,200	-14,377	1,00	48,48	D	O
ATOM	10569	N	ALA	D	71	2,109	12,676	-12,196	1,00	47,46	D	N
ATOM	10570	CA	ALA	D	71	2,071	11,308	-11,743	1,00	46,99	D	C
ATOM	10572	CB	ALA	D	71	3,496	10,709	-11,680	1,00	46,96	D	C
ATOM	10576	C	ALA	D	71	1,436	11,336	-10,379	1,00	46,14	D	C
ATOM	10577	O	ALA	D	71	1,313	12,396	-9,764	1,00	46,02	D	O
ATOM	10579	N	THR	D	72	1,006	10,183	-9,916	1,00	45,53	D	N
ATOM	10580	CA	THR	D	72	0,430	10,107	-8,606	1,00	45,63	D	C
ATOM	10582	CB	THR	D	72	-1,130	10,368	-8,606	1,00	46,04	D	C
ATOM	10584	OG1	THR	D	72	-1,831	9,205	-8,155	1,00	45,80	D	O
ATOM	10586	CG2	THR	D	72	-1,640	10,820	-9,976	1,00	45,08	D	C
ATOM	10590	C	THR	D	72	0,759	8,746	-8,033	1,00	45,80	D	C
ATOM	10591	O	THR	D	72	0,808	7,750	-8,750	1,00	45,32	D	O
ATOM	10593	N	LEU	D	73	1,020	8,732	-6,737	1,00	45,70	D	N
ATOM	10594	CA	LEU	D	73	1,279	7,522	-6,011	1,00	45,69	D	C
ATOM	10596	CB	LEU	D	73	2,373	7,744	-4,956	1,00	45,23	D	C
ATOM	10599	CG	LEU	D	73	2,531	6,679	-3,871	1,00	43,28	D	C
ATOM	10601	CD1	LEU	D	73	3,279	5,488	-4,357	1,00	42,17	D	C
ATOM	10605	CD2	LEU	D	73	3,269	7,281	-2,703	1,00	45,50	D	C
ATOM	10609	C	LEU	D	73	-0,016	7,142	-5,339	1,00	46,38	D	C
ATOM	10610	O	LEU	D	73	-0,769	8,004	-4,917	1,00	47,36	D	O
ATOM	10612	N	GLY	D	74	-0,261	5,847	-5,229	1,00	47,11	D	N
ATOM	10613	CA	GLY	D	74	-1,442	5,350	-4,565	1,00	47,75	D	C
ATOM	10616	C	GLY	D	74	-1,059	4,389	-3,477	1,00	48,35	D	C
ATOM	10617	O	GLY	D	74	-0,175	3,546	-3,679	1,00	47,97	D	O
ATOM	10619	N	ILE	D	75	-1,707	4,545	-2,322	1,00	49,18	D	N

ES 2 540 538 T3

ATOM	10620	CA	ILE	D	75	-1,532	3,664	-1,184	1,00	50,25	D	C
ATOM	10622	CB	ILE	D	75	-0,765	4,358	-0,019	1,00	50,62	D	C
ATOM	10624	CG1	ILE	D	75	0,500	5,074	-0,531	1,00	50,39	D	C
ATOM	10627	CD1	ILE	D	75	1,217	5,925	0,512	1,00	50,03	D	C
ATOM	10631	CG2	ILE	D	75	-0,434	3,344	1,080	1,00	49,20	D	C
ATOM	10635	C	ILE	D	75	-2,933	3,315	-0,713	1,00	51,54	D	C
ATOM	10636	O	ILE	D	75	-3,761	4,210	-0,519	1,00	52,06	D	O
ATOM	10638	N	THR	D	76	-3,200	2,029	-0,542	1,00	52,92	D	N
ATOM	10639	CA	THR	D	76	-4,520	1,546	-0,137	1,00	54,18	D	C
ATOM	10641	CB	THR	D	76	-5,197	0,646	-1,227	1,00	54,40	D	C
ATOM	10643	OG1	THR	D	76	-4,729	-0,707	-1,092	1,00	53,25	D	O
ATOM	10645	CG2	THR	D	76	-4,940	1,178	-2,658	1,00	53,63	D	C
ATOM	10649	C	THR	D	76	-4,344	0,704	1,106	1,00	55,14	D	C
ATOM	10650	O	THR	D	76	-3,248	0,238	1,380	1,00	55,35	D	O
ATOM	10652	N	GLY	D	77	-5,430	0,488	1,841	1,00	56,48	D	N
ATOM	10653	CA	GLY	D	77	-5,362	-0,239	3,105	1,00	57,16	D	C
ATOM	10656	C	GLY	D	77	-4,323	0,369	4,028	1,00	57,68	D	C
ATOM	10657	O	GLY	D	77	-3,451	-0,346	4,536	1,00	58,02	D	O
ATOM	10659	N	LEO	D	78	-4,409	1,688	4,224	1,00	58,32	D	N
ATOM	10660	CA	LEU	D	78	-3,471	2,426	5,096	1,00	58,74	D	C
ATOM	10662	CB	LEU	D	78	-3,956	3,831	5,408	1,00	58,75	D	C
ATOM	10665	CG	LEU	D	78	-3,441	4,959	4,534	1,00	59,84	D	C
ATOM	10667	CD1	LEU	D	78	-3,954	4,778	3,103	1,00	60,30	D	C
ATOM	10671	CD2	LEU	D	78	-3,875	6,305	5,121	1,00	58,71	D	C
ATOM	10675	C	LEU	D	78	-3,296	1,743	6,421	1,00	59,11	D	C
ATOM	10676	O	LEU	D	78	-4,262	1,245	7,010	1,00	59,21	D	O
ATOM	10678	N	GLN	D	79	-2,056	1,728	6,885	1,00	59,08	D	N
ATOM	10679	CA	GLN	D	79	-1,748	1,217	8,193	1,00	59,22	D	C
ATOM	10681	CB	GLN	D	79	-0,954	-0,069	8,103	1,00	59,31	D	C
ATOM	10684	CG	GLN	D	79	-1,463	-1,061	7,100	1,00	60,09	D	C
ATOM	10687	CD	GLN	D	79	-0,530	-2,225	7,013	1,00	60,47	D	C
ATOM	10688	OE1	GLN	D	79	0,531	-2,210	7,643	1,00	60,66	D	O
ATOM	10689	NE2	GLN	D	79	-0,894	-3,237	6,226	1,00	59,85	D	N
ATOM	10692	C	GLN	D	79	-0,905	2,243	8,918	1,00	59,06	D	C
ATOM	10693	O	GLN	D	79	-0,465	3,248	8,334	1,00	59,37	D	O
ATOM	10695	N	THR	D	80	-0,673	1,957	10,193	1,00	58,27	D	N
ATOM	10696	CA	THR	D	80	0,179	2,778	11,016	1,00	57,65	D	C
ATOM	10698	CB	THR	D	80	0,189	2,264	12,487	1,00	57,69	D	C
ATOM	10700	OG1	THR	D	80	0,794	3,255	13,327	1,00	60,07	D	O
ATOM	10702	CG2	THR	D	80	0,949	0,929	12,630	1,00	57,43	D	C
ATOM	10706	C	THR	D	80	1,594	2,786	10,415	1,00	56,30	D	C
ATOM	10707	O	THR	D	80	2,224	3,841	10,317	1,00	56,19	D	O
ATOM	10709	N	GLY	D	81	2,052	1,612	9,972	1,00	54,82	D	N
ATOM	10710	CA	GLY	D	81	3,373	1,448	9,377	1,00	53,48	D	C
ATOM	10713	C	GLY	D	81	3,749	2,390	8,237	1,00	51,96	D	C
ATOM	10714	O	GLY	D	81	4,928	2,645	8,034	1,00	52,16	D	O
ATOM	10716	N	ASP	D	82	2,773	2,918	7,505	1,00	50,08	D	N
ATOM	10717	CA	ASP	D	82	3,056	3,681	6,277	1,00	48,87	D	C
ATOM	10719	CB	ASP	D	82	1,860	3,626	5,313	1,00	48,71	D	C
ATOM	10722	CG	ASP	D	82	1,385	2,198	5,013	1,00	49,11	D	C
ATOM	10723	OD1	ASP	D	82	2,096	1,219	5,314	1,00	49,49	D	O
ATOM	10724	OD2	ASP	D	82	0,267	2,067	4,473	1,00	51,18	D	O
ATOM	10725	C	ASP	D	82	3,409	5,154	6,522	1,00	48,00	D	C
ATOM	10726	O	ASP	D	82	3,697	5,904	5,567	1,00	46,89	D	O
ATOM	10728	N	GLU	D	83	3,364	5,565	7,791	1,00	46,73	D	N
ATOM	10729	CA	GLU	D	83	3,661	6,944	8,196	1,00	46,05	D	C
ATOM	10731	CB	GLU	D	83	3,398	7,105	9,708	1,00	46,66	D	C
ATOM	10734	CG	GLU	D	83	2,831	8,463	10,147	1,00	49,27	D	C
ATOM	10737	CD	GLU	D	83	2,023	8,384	11,468	1,00	51,64	D	C
ATOM	10738	OE1	GLU	D	83	2,273	7,464	12,286	1,00	53,81	D	O

ES 2 540 538 T3

ATOM	10739	OE2	GLU	D	83	1,115	9,230	11,660	1,00	53,28	D	O
ATOM	10740	C	GLU	D	83	5,127	7,258	7,846	1,00	43,83	D	C
ATOM	10741	O	GLU	D	83	6,022	6,556	8,273	1,00	42,86	D	O
ATOM	10743	N	ALA	D	84	5,342	8,294	7,037	1,00	42,35	D	N
ATOM	10744	CA	ALA	D	84	6,627	8,506	6,365	1,00	41,46	D	C
ATOM	10746	CB	ALA	D	84	7,054	7,246	5,616	1,00	40,92	D	C
ATOM	10750	C	ALA	D	84	6,572	9,670	5,401	1,00	40,52	D	C
ATOM	10751	O	ALA	D	84	5,527	10,266	5,176	1,00	40,52	D	O
ATOM	10753	N	ASP	D	85	7,723	9,987	4,830	1,00	39,43	D	N
ATOM	10754	CA	ASP	D	85	7,806	10,990	3,808	1,00	38,55	D	C
ATOM	10756	CB	ASP	D	85	9,018	11,883	4,065	1,00	38,42	D	C
ATOM	10759	CG	ASP	D	85	8,794	12,879	5,204	1,00	39,98	D	C
ATOM	10760	OD1	ASP	D	85	7,620	13,244	5,459	1,00	42,64	D	O
ATOM	10761	OD2	ASP	D	85	9,788	13,322	5,812	1,00	37,53	D	O
ATOM	10762	C	ASP	D	85	7,923	10,289	2,456	1,00	37,58	D	C
ATOM	10763	O	ASP	D	85	8,678	9,335	2,310	1,00	37,32	D	O
ATOM	10765	N	TYR	D	86	7,204	10,812	1,474	1,00	36,66	D	N
ATOM	10766	CA	TYR	D	86	7,125	10,244	0,156	1,00	36,06	D	C
ATOM	10768	CB	TYR	D	86	5,691	9,787	-0,117	1,00	36,39	D	C
ATOM	10771	CG	TYR	D	86	5,305	8,623	0,748	1,00	35,96	D	C
ATOM	10772	CD1	TYR	D	86	5,659	7,352	0,392	1,00	33,69	D	C
ATOM	10774	CE1	TYR	D	86	5,325	6,273	1,171	1,00	36,08	D	C
ATOM	10776	CZ	TYR	D	86	4,639	6,455	2,364	1,00	34,99	D	C
ATOM	10777	OH	TYR	D	86	4,339	5,346	3,115	1,00	34,59	D	O
ATOM	10779	CE2	TYR	D	86	4,280	7,719	2,769	1,00	34,41	D	C
ATOM	10781	CD2	TYR	D	86	4,623	8,807	1,961	1,00	37,03	D	C
ATOM	10783	C	TYR	D	86	7,523	11,276	-0,850	1,00	35,89	D	C
ATOM	10784	O	TYR	D	86	6,965	12,365	-0,876	1,00	35,81	D	O
ATOM	10786	N	TYR	D	87	8,476	10,899	-1,696	1,00	35,68	D	N
ATOM	10787	CA	TYR	D	87	9,048	11,769	-2,693	1,00	35,58	D	C
ATOM	10789	CB	TYR	D	87	10,547	11,900	-2,429	1,00	34,87	D	C
ATOM	10792	CG	TYR	D	87	10,918	12,637	-1,161	1,00	31,39	D	C
ATOM	10793	CD1	TYR	D	87	11,160	14,010	-1,179	1,00	29,39	D	C
ATOM	10795	CE1	TYR	D	87	11,524	14,694	-0,011	1,00	31,27	D	C
ATOM	10797	CZ	TYR	D	87	11,653	13,989	1,173	1,00	30,60	D	C
ATOM	10798	OH	TYR	D	87	12,013	14,634	2,340	1,00	35,88	D	O
ATOM	10800	CE2	TYR	D	87	11,450	12,622	1,193	1,00	31,25	D	C
ATOM	10802	CD2	TYR	D	87	11,083	11,956	0,031	1,00	29,33	D	C
ATOM	10804	C	TYR	D	87	8,889	11,163	-4,096	1,00	36,66	D	C
ATOM	10805	O	TYR	D	87	9,072	9,963	-4,281	1,00	35,17	D	O
ATOM	10807	N	CYS	D	88	8,583	11,999	-5,076	1,00	37,88	D	N
ATOM	10808	CA	CYS	D	88	8,621	11,552	-6,452	1,00	39t63	D	C
ATOM	10810	CB	CYS	D	88	7,456	12,091	-7,295	1,00	40,24	D	C
ATOM	10813	SG	CYS	D	88	7,301	13,896	-7,274	1,00	43,57	D	s
ATOM	10815	C	CYS	D	88	9,916	12,066	-6,995	1,00	39,60	D	C
ATOM	10816	O	CYS	D	88	10,494	13,006	-6,461	1,00	39,61	D	O
ATOM	10818	N	GLY	D	89	10,372	11,418	-8,057	1,00	40,26	D	N
ATOM	10819	CA	GLY	D	89	11,554	11,841	-8,775	1,00	40,16	D	C
ATOM	10822	C	GLY	D	89	11,483	11,380	-10,200	1,00	39,68	D	C
ATOM	10823	O	GLY	D	89	10,719	10,500	-10,525	1,00	40,12	D	O
ATOM	10825	N	THR	D	90	12,274	12,005	-11,051	1,00	39,91	D	N
ATOM	10826	CA	THR	D	90	12,352	11,618	-12,440	1,00	40,09	D	C
ATOM	10828	CB	THR	D	90	11,149	12,195	-13,285	1,00	40,47	D	C
ATOM	10830	OG1	THR	D	90	11,174	11,643	-14,611	1,00	40,57	D	O
ATOM	10832	CG2	THR	D	90	11,205	13,741	-13,380	1,00	39,21	D	C
ATOM	10836	C	THR	D	90	13,685	12,136	-12,927	1,00	40,28	D	C
ATOM	10837	O	THR	D	90	14,548	12,471	-12,092	1,00	39,63	D	O
ATOM	10839	N	TRP	D	91	13,846	12,188	-14,261	1,00	39,91	D	N
ATOM	10840	CA	TRP	D	91	15,007	12,800	-14,914	1,00	40,08	D	C
ATOM	10842	CB	TRP	D	91	15,707	11,737	-15,780	1,00	40,09	D	C

ES 2 540 538 T3

ATOM	10845	CG	TRP	D	91	16,276	10,647	-14,909	1,00	38,30	D	C
ATOM	10846	CD1	TRP	D	91	15,606	9,574	-14,370	1,00	36,20	D	C
ATOM	10848	NE1	TRP	D	91	16,447	8,832	-13,603	1,00	35,63	D	N
ATOM	10850	CE2	TRP	D	91	17,684	9,427	-13,607	1,00	35,47	D	C
ATOM	10851	CD2	TRP	D	91	17,600	10,579	-14,419	1,00	35,46	D	C
ATOM	10852	CE3	TRP	D	91	18,741	11,354	-14,618	1,00	34,42	D	C
ATOM	10854	CZ3	TRP	D	91	19,908	10,964	-14,007	1,00	35,37	D	C
ATOM	10856	CH2	TRP	D	91	19,952	9,819	-13,192	1,00	31,90	D	C
ATOM	10858	CZ2	TRP	D	91	18,857	9,044	-12,982	1,00	31,29	D	C
ATOM	10860	C	TRP	D	91	14,593	14,015	-15,747	1,00	40,89	D	C
ATOM	10861	O	TRP	D	91	13,426	14,133	-16,144	1,00	41,10	D	O
ATOM	10863	N	ASP	D	92	15,522	14,939	-15,973	1,00	41,87	D	N
ATOM	10864	CA	ASP	D	92	15,261	16,041	-16,872	1,00	43,13	D	C
ATOM	10866	CB	ASP	D	92	15,504	17,391	-16,221	1,00	43,85	D	C
ATOM	10869	CG	ASP	D	92	15,237	18,545	-17,191	1,00	45,28	D	C
ATOM	10870	OD1	ASP	D	92	14,092	19,059	-17,198	1,00	47,08	D	O
ATOM	10871	OD2	ASP	D	92	16,157	18,897	-17,975	1,00	48,00	D	O
ATOM	10872	C	ASP	D	92	16,100	15,937	-18,139	1,00	43,83	D	C
ATOM	10873	O	ASP	D	92	17,334	15,940	-18,086	1,00	43,72	D	O
ATOM	10875	N	SER	D	93	15,411	15,905	-19,279	1,00	44,46	D	N
ATOM	10876	CA	SER	D	93	16,047	15,695	-20,574	1,00	45,28	D	C
ATOM	10878	CB	SER	D	93	15,003	15,339	-21,631	1,00	45,26	D	C
ATOM	10881	OG	SER	D	93	14,554	14,001	-21,426	1,00	46,87	D	O
ATOM	10883	C	SER	D	93	16,857	16,885	-21,036	1,00	45,64	D	C
ATOM	10884	O	SER	D	93	17,827	16,706	-21,754	1,00	46,24	D	O
ATOM	10886	N	ARG	D	94	16,480	18,095	-20,632	1,00	46,04	D	N
ATOM	10887	CA	ARG	D	94	17,248	19,277	-21,028	1,00	46,36	D	C
ATOM	10889	CB	ARG	D	94	16,445	20,580	-20,837	1,00	46,66	D	C
ATOM	10898	C	ARG	D	94	18,568	19,325	-20,255	1,00	46,19	D	C
ATOM	10899	O	ARG	D	94	19,625	19,579	-20,845	1,00	46,59	D	O
ATOM	10901	N	LEU	D	95	18,518	19,072	-18,944	1,00	46,06	D	N
ATOM	10902	CA	LEU	D	95	19,718	19,207	-18,073	1,00	45,31	D	C
ATOM	10904	CB	LEU	D	95	19,309	19,735	-16,695	1,00	45,55	D	C
ATOM	10907	CG	LEU	D	95	19,267	21,234	-16,312	1,00	45,87	D	C
ATOM	10909	CD1	LEU	D	95	19,556	22,193	-17,450	1,00	46,37	D	C
ATOM	10913	CD2	LEU	D	95	17,920	21,540	-15,653	1,00	45,57	D	C
ATOM	10917	C	LEU	D	95	20,483	17,877	-17,934	1,00	44,71	D	C
ATOM	10918	O	LEU	D	95	21,694	17,860	-17,769	1,00	45,54	D	O
ATOM	10920	N	GLY	D	95A	19,775	16,762	-18,002	1,00	43,80	D	N
ATOM	10921	CA	GLY	D	95A	20,420	15,461	-17,974	1,00	42,96	D	C
ATOM	10924	C	GLY	D	95A	20,815	15,017	-16,580	1,00	42,36	D	C
ATOM	10925	O	GLY	D	95A	21,826	14,315	-16,413	1,00	42,49	D	O
ATOM	10927	N	ILE	D	95B	20,013	15,412	-15,586	1,00	41,07	D	N
ATOM	10928	CA	ILE	D	95B	20,213	15,028	-14,194	1,00	39,41	D	C
ATOM	10930	CB	ILE	D	95B	20,728	16,227	-13,373	1,00	39,90	D	C
ATOM	10932	CG1	ILE	D	95B	19,626	17,306	-13,219	1,00	39,80	D	C
ATOM	10935	CD1	ILE	D	95B	20,100	18,638	-12,620	1,00	38,35	D	C
ATOM	10939	CG2	ILE	D	95B	22,051	16,744	-14,017	1,00	39,84	D	C
ATOM	10943	C	ILE	D	95B	18,899	14,539	-13,631	1,00	38,30	D	C
ATOM	10944	O	ILE	D	95B	17,866	14,754	-14,246	1,00	37,72	D	O
ATOM	10946	N	ALA	D	96	18,946	13,862	-12,482	1,00	37,03	D	N
ATOM	10947	CA	ALA	D	96	17,739	13,473	-11,742	1,00	36,26	D	C
ATOM	10949	CB	ALA	D	96	18,073	12,449	-10,692	1,00	36,15	D	C
ATOM	10953	C	ALA	D	96	17,122	14,676	-11,059	1,00	35,64	D	C
ATOM	10954	O	ALA	D	96	17,816	15,609	-10,745	1,00	34,12	D	O
ATOM	10956	N	VAL	D	97	15,820	14,615	-10,796	1,00	35,97	D	N
ATOM	10957	CA	VAL	D	97	15,128	15,637	-10,032	1,00	36,36	D	C
ATOM	10959	CB	VAL	D	97	14,381	16,667	-10,923	1,00	36,79	D	C
ATOM	10961	CG1	VAL	D	97	15,371	17,600	-11,629	1,00	36,74	D	C
ATOM	10965	CG2	VAL	D	97	13,467	15,966	-11,928	1,00	37,40	D	C

ES 2 540 538 T3

ATOM	10969	C	VAL	D	97	14,170	15,002	-9,051	1,00	36,98	D	C
ATOM	10970	O	VAL	D	97	13,774	13,852	-9,203	1,00	36,89	D	O
ATOM	10972	N	PHE	D	98	13,819	15,751	-8,009	1,00	37,80	D	N
ATOM	10973	CA	PHE	D	98	12,932	15,239	-6,985	1,00	37,95	D	C
ATOM	10975	CB	PHE	D	98	13,639	15,134	-5,631	1,00	37,94	D	C
ATOM	10978	CG	PHE	D	98	14,642	14,012	-5,540	1,00	34,68	D	C
ATOM	10979	CD1	PHE	D	98	14,225	12,706	-5,430	1,00	32,27	D	C
ATOM	10981	CE1	PHE	D	98	15,124	11,689	-5,326	1,00	31,34	D	C
ATOM	10983	CZ	PHE	D	98	16,474	11,964	-5,342	1,00	31,68	D	C
ATOM	10985	CE2	PHE	D	98	16,905	13,254	-5,433	1,00	32,93	D	C
ATOM	10987	CD2	PHE	D	98	15,986	14,277	-5,530	1,00	33,15	D	C
ATOM	10989	C	PHE	D	98	11,795	16,192	-6,799	1,00	38,99	D	C
ATOM	10990	O	PHE	D	98	11,911	17,380	-7,091	1,00	39,22	D	O
ATOM	10992	N	GLY	D	99	10,707	15,670	-6,250	1,00	39,52	D	N
ATOM	10993	CA	GLY	D	99	9,702	16,534	-5,657	1,00	40,03	D	C
ATOM	10996	C	GLY	D	99	10,124	16,906	-4,256	1,00	39,81	D	C
ATOM	10997	O	GLY	D	99	11,142	16,451	-3,773	1,00	39,12	D	O
ATOM	10999	N	GLY	D	100	9,305	17,719	-3,605	1,00	40,22	D	N
ATOM	11000	CA	GLY	D	100	9,651	18,325	-2,328	1,00	40,25	D	C
ATOM	11003	C	GLY	D	100	9,257	17,501	-1,126	1,00	40,59	D	C
ATOM	11004	O	GLY	D	100	9,504	17,903	-0,001	1,00	41,29	D	O
ATOM	11006	N	GLY	D	101	8,639	16,354	-1,349	1,00	40,51	D	N
ATOM	11007	CA	GLY	D	101	8,241	15,479	-0,259	1,00	40,56	D	C
ATOM	11010	C	GLY	D	101	6,798	15,693	0,160	1,00	41,03	D	C
ATOM	11011	O	GLY	D	101	6,263	16,807	0,074	1,00	40,76	D	O
ATOM	11013	N	THR	D	102	6,170	14,619	0,613	1,00	41,27	D	N
ATOM	11014	CA	THR	D	102	4,858	14,698	1,204	1,00	42,08	D	C
ATOM	11016	CB	THR	D	102	3,784	14,105	0,300	1,00	41,86	D	C
ATOM	11018	OG1	THR	D	102	3,777	14,805	-0,947	1,00	41,36	D	O
ATOM	11020	CG2	THR	D	102	2,443	14,222	0,968	1,00	40,10	D	C
ATOM	11024	C	THR	D	102	4,851	13,884	2,470	1,00	43,45	D	C
ATOM	11025	O	THR	D	102	5,117	12,681	2,436	1,00	43,03	D	O
ATOM	11027	N	GLN	D	103	4,542	14,544	3,583	1,00	44,87	D	N
ATOM	11028	CA	GLN	D	103	4,424	13,852	4,860	1,00	46,57	D	C
ATOM	11030	CB	GLN	D	103	4,654	14,788	6,062	1,00	46,87	D	C
ATOM	11033	CG	GLN	D	103	4,774	14,022	7,408	1,00	49,00	D	C
ATOM	11036	CD	GLN	D	103	4,721	14,918	8,652	1,00	52,25	D	C
ATOM	11037	OE1	GLN	D	103	4,056	15,962	8,665	1,00	55,91	D	O
ATOM	11038	NE2	GLN	D	103	5,413	14,499	9,709	1,00	53,97	D	N
ATOM	11041	C	GLN	D	103	3,041	13,232	4,935	1,00	46,85	D	C
ATOM	11042	O	GLN	D	103	2,042	13,880	4,663	1,00	45,84	D	O
ATOM	11044	N	LEU	D	104	3,010	11,961	5,294	1,00	48,40	D	N
ATOM	11045	CA	LEU	D	104	1,772	11,226	5,390	1,00	49,61	D	C
ATOM	11047	CB	LEU	D	104	1,868	9,909	4,622	1,00	49,50	D	C
ATOM	11050	CG	LEU	D	104	0,633	8,980	4,597	1,00	50,41	D	C
ATOM	11052	CD1	LEU	D	104	0,630	8,101	3,335	1,00	49,62	D	C
ATOM	11056	CD2	LEU	D	104	0,543	8,083	5,855	1,00	49,72	D	C
ATOM	11060	C	LEU	D	104	1,494	10,983	6,859	1,00	50,28	D	C
ATOM	11061	O	LEU	D	104	2,316	10,400	7,560	1,00	50,71	D	O
ATOM	11063	N	THR	D	105	0,342	11,449	7,321	1,00	51,48	D	N
ATOM	11064	CA	THR	D	105	-0,090	11,217	8,691	1,00	52,38	D	C
ATOM	11066	CB	THR	D	105	-0,592	12,515	9,334	1,00	52,75	D	C
ATOM	11068	OG1	THR	D	105	0,386	13,546	9,130	1,00	52,70	D	O
ATOM	11070	CG2	THR	D	105	-0,837	12,311	10,835	1,00	53,13	D	C
ATOM	11074	C	THR	D	105	-1,216	10,214	8,640	1,00	52,91	D	C
ATOM	11075	O	THR	D	105	-2,144	10,361	7,838	1,00	52,87	D	O
ATOM	11077	N	VAL	D	106	-1,129	9,187	9,476	1,00	53,93	D	N
ATOM	11078	CA	VAL	D	106	-2,203	8,205	9,595	1,00	54,84	D	C
ATOM	11080	CB	VAL	D	106	-1,635	6,795	9,803	1,00	54,87	D	C
ATOM	11082	CG1	VAL	D	106	-2,714	5,856	10,319	1,00	55,86	D	C

ES 2 540 538 T3

ATOM	11086	CG2	VAL	D	106	-1,029	6,279	8,494	1,00	55,85	D	C
ATOM	11090	C	VAL	D	106	-3,118	8,621	10,763	1,00	55,52	D	C
ATOM	11091	O	VAL	D	106	-2,719	8,535	11,937	1,00	55,41	D	O
ATOM	11093	N	LEU	D	106A	-4,334	9,071	10,431	1,00	56,04	D	N
ATOM	11094	CA	LEU	D	106A	-5,261	9,653	11,429	1,00	56,61	D	C
ATOM	11096	CB	LEU	D	106A	-6,431	10,400	10,739	1,00	56,67	D	C
ATOM	11099	CG	LEU	D	106A	-6,049	11,714	10,026	1,00	57,60	D	C
ATOM	11101	CD1	LEU	D	106A	-7,233	12,344	9,261	1,00	57,67	D	C
ATOM	11105	CD2	LEU	D	106A	-5,434	12,740	10,995	1,00	57,57	D	C
ATOM	11109	C	LEU	D	106A	-5,810	8,672	12,472	1,00	56,47	D	C
ATOM	11110	O	LEU	D	106A	-5,662	7,448	12,362	1,00	56,34	D	O
ATOM	11112	N	GLY	D	107	-6,402	9,253	13,519	1,00	56,89	D	N
ATOM	11113	CA	GLY	D	107	-7,136	8,509	14,537	1,00	56,71	D	C
ATOM	11116	C	GLY	D	107	-6,304	7,822	15,601	1,00	56,68	D	C
ATOM	11117	O	GLY	D	107	-6,835	6,982	16,339	1,00	57,54	D	O
ATOM	11119	N	GLN	D	108	-5,012	8,143	15,699	1,00	56,26	D	N
ATOM	11120	CA	GLN	D	108	-4,237	7,697	16,859	1,00	55,43	D	C
ATOM	11122	CB	GLN	D	108	-2,729	7,855	16,643	1,00	55,87	D	C
ATOM	11129	C	GLN	D	108	-4,740	8,541	18,043	1,00	54,62	D	C
ATOM	11130	O	GLN	D	108	-5,111	9,714	17,860	1,00	53,34	D	O
ATOM	11132	N	PRO	D	109	-4,768	7,937	19,245	1,00	53,46	D	N
ATOM	11133	CA	PRO	D	109	-5,449	8,503	20,409	1,00	53,31	D	C
ATOM	11135	CB	PRO	D	109	-5,500	7,323	21,395	1,00	53,58	D	C
ATOM	11138	CG	PRO	D	109	-4,298	6,487	21,049	1,00	53,76	D	C
ATOM	11141	CD	PRO	D	109	-4,073	6,673	19,563	1,00	54,30	D	C
ATOM	11144	C	PRO	D	109	-4,732	9,698	21,037	1,00	52,06	D	C
ATOM	11145	O	PRO	D	109	-3,516	9,665	21,213	1,00	51,73	D	O
ATOM	11146	N	LYS	D	110	-5,486	10,740	21,370	1,00	50,71	D	N
ATOM	11147	CA	LYS	D	110	-4,898	11,900	22,037	1,00	50,05	D	C
ATOM	11149	CB	LYS	D	110	-5,923	12,999	22,291	1,00	50,22	D	C
ATOM	11152	CG	LYS	D	110	-6,203	13,863	21,069	1,00	52,22	D	C
ATOM	11155	CD	LYS	D	110	-7,372	14,824	21,305	1,00	54,89	D	C
ATOM	11158	CE	LYS	D	110	-7,031	15,913	22,343	1,00	56,16	D	C
ATOM	11161	NZ	LYS	D	110	-8,155	16,878	22,536	1,00	54,50	D	N
ATOM	11165	C	LYS	D	110	-4,218	11,514	23,341	1,00	48,52	D	C
ATOM	11166	O	LYS	D	110	-4,646	10,597	24,033	1,00	48,37	D	O
ATOM	11168	N	ALA	D	111	-3,108	12,190	23,623	1,00	47,23	D	N
ATOM	11169	CA	ALA	D	111	-2,424	12,084	24,905	1,00	46,10	D	C
ATOM	11171	CB	ALA	D	111	-1,226	11,179	24,797	1,00	46,02	D	C
ATOM	11175	C	ALA	D	111	-2,024	13,509	25,346	1,00	45,04	D	C
ATOM	11176	O	ALA	D	111	-1,507	14,317	24,544	1,00	44,69	D	O
ATOM	11178	N	ALA	D	112	-2,321	13,842	26,598	1,00	43,09	D	N
ATOM	11179	CA	ALA	D	112	-2,012	15,179	27,112	1,00	41,82	D	C
ATOM	11181	CB	ALA	D	112	-2,995	15,578	28,252	1,00	41,48	D	C
ATOM	11185	C	ALA	D	112	-0,553	15,228	27,596	1,00	40,49	D	C
ATOM	11186	O	ALA	D	112	-0,037	14,259	28,175	1,00	39,93	D	O
ATOM	11188	N	PRO	D	113	0,112	16,368	27,381	1,00	39,14	D	N
ATOM	11189	CA	PRO	D	113	1,514	16,437	27,776	1,00	39,29	D	C
ATOM	11191	CB	PRO	D	113	1,978	17,797	27,226	1,00	38,90	D	C
ATOM	11194	CG	PRO	D	113	0,735	18,603	27,095	1,00	39,72	D	C
ATOM	11197	CD	PRO	D	113	-0,387	17,643	26,845	1,00	39,13	D	C
ATOM	11200	C	PRO	D	113	1,698	16,397	29,272	1,00	38,53	D	C
ATOM	11201	O	PRO	D	113	1,023	17,126	29,983	1,00	38,87	D	O
ATOM	11202	N	SER	D	114	2,612	15,567	29,740	1,00	37,69	D	N
ATOM	11203	CA	SER	D	114	3,089	15,691	31,103	1,00	37,63	D	C
ATOM	11205	CB	SER	D	114	3,540	14,354	31,637	1,00	37,90	D	C
ATOM	11208	OG	SER	D	114	4,349	14,585	32,768	1,00	41,57	D	O
ATOM	11210	C	SER	D	114	4,226	16,738	31,151	1,00	36,68	D	C
ATOM	11211	O	SER	D	114	5,068	16,796	30,244	1,00	37,42	D	O
ATOM	11213	N	VAL	D	115	4,234	17,584	32,181	1,00	34,76	D	N

ES 2 540 538 T3

ATOM	11214	CA	VAL	D	115	5,118	18,734	32,213	1,00	33,30	D	C
ATOM	11216	CB	VAL	D	115	4,336	20,037	32,010	1,00	32,67	D	C
ATOM	11218	CG1	VAL	D	115	5,254	21,234	32,016	1,00	31,42	D	C
ATOM	11222	CG2	VAL	D	115	3,581	19,986	30,705	1,00	32,08	D	C
ATOM	11226	C	VAL	D	115	5,879	18,802	33,518	1,00	33,83	D	C
ATOM	11227	O	VAL	D	115	5,285	18,833	34,592	1,00	32,91	D	O
ATOM	11229	N	THR	D	116	7,207	18,850	33,411	1,00	34,09	D	N
ATOM	11230	CA	THR	D	116	8,074	18,978	34,563	1,00	33,79	D	C
ATOM	11232	CB	THR	D	116	8,881	17,736	34,729	1,00	33,81	D	C
ATOM	11234	OG1	THR	D	116	8,008	16,614	34,631	1,00	33,78	D	O
ATOM	11236	CG2	THR	D	116	9,572	17,745	36,092	1,00	35,09	D	C
ATOM	11240	C	THR	D	116	9,010	20,154	34,387	1,00	33,88	D	C
ATOM	11241	O	THR	D	116	9,677	20,282	33,353	1,00	34,24	D	O
ATOM	11243	N	LEU	D	117	9,082	20,995	35,408	1,00	32,87	D	N
ATOM	11244	CA	LEU	D	117	9,832	22,228	35,357	1,00	31,90	D	C
ATOM	11246	CB	LEU	D	117	8,875	23,385	35,460	1,00	31,65	D	C
ATOM	11249	CG	LEU	D	117	9,503	24,749	35,689	1,00	32,32	D	C
ATOM	11251	CD1	LEU	D	117	10,403	25,077	34,460	1,00	32,64	D	C
ATOM	11255	CD2	LEU	D	117	8,430	25,826	35,919	1,00	32,81	D	C
ATOM	11259	C	LEU	D	117	10,803	22,271	36,524	1,00	32,23	D	C
ATOM	11260	O	LEU	D	117	10,376	22,183	37,672	1,00	32,51	D	O
ATOM	11262	N	PHE	D	118	12,097	22,397	36,238	1,00	31,99	D	N
ATOM	11263	CA	PHE	D	118	13,111	22,477	37,266	1,00	32,19	D	C
ATOM	11265	CB	PHE	D	118	14,216	21,446	37,065	1,00	31,62	D	C
ATOM	11268	CG	PHE	D	118	13,780	20,022	37,212	1,00	31,42	D	C
ATOM	11269	CD1	PHE	D	118	13,688	19,432	38,476	1,00	32,57	D	C
ATOM	11271	CE1	PHE	D	118	13,305	18,127	38,619	1,00	32,84	D	C
ATOM	11273	CZ	PHE	D	118	13,022	17,363	37,483	1,00	34,39	D	C
ATOM	11275	CE2	PHE	D	118	13,126	17,952	36,214	1,00	31,51	D	C
ATOM	11277	CD2	PHE	D	118	13,488	19,262	36,100	1,00	30,25	D	C
ATOM	11279	C	PHE	D	118	13,745	23,873	37,218	1,00	33,19	D	C
ATOM	11280	O	PHE	D	118	14,007	24,386	36,130	1,00	33,74	D	O
ATOM	11282	N	PRO	D	119	14,000	24,489	38,400	1,00	33,14	D	N
ATOM	11283	CA	PRO	D	119	14,833	25,679	38,518	1,00	33,41	D	C
ATOM	11285	CB	PRO	D	119	14,490	26,206	39,936	1,00	33,56	D	C
ATOM	11288	CG	PRO	D	119	14,186	24,988	40,713	1,00	33,95	D	C
ATOM	11291	CD	PRO	D	119	13,558	23,997	39,720	1,00	33,70	D	C
ATOM	11294	C	PRO	D	119	16,336	25,370	38,427	1,00	33,13	D	C
ATOM	11295	O	PRO	D	119	16,740	24,211	38,405	1,00	32,34	D	O
ATOM	11296	N	PRO	D	120	17,173	26,408	38,450	1,00	33,80	D	N
ATOM	11297	CA	PRO	D	120	18,614	26,164	38,392	1,00	34,31	D	C
ATOM	11299	CB	PRO	D	120	19,196	27,560	38,243	1,00	34,10	D	C
ATOM	11302	CG	PRO	D	120	18,119	28,502	38,470	1,00	33,62	D	C
ATOM	11305	CD	PRO	D	120	16,832	27,828	38,315	1,00	33,62	D	C
ATOM	11308	C	PRO	D	120	19,146	25,470	39,639	1,00	35,15	D	C
ATOM	11309	O	PRO	D	120	18,731	25,809	40,715	1,00	35,74	D	O
ATOM	11310	N	SER	D	121	20,024	24,484	39,494	1,00	36,06	D	N
ATOM	11311	CA	SER	D	121	20,700	23,887	40,640	1,00	37,19	D	C
ATOM	11313	CB	SER	D	121	21,553	22,718	40,181	1,00	37,36	D	C
ATOM	11316	OG	SER	D	121	22,553	23,154	39,252	1,00	36,99	D	O
ATOM	11318	C	SER	D	121	21,606	24,901	41,356	1,00	38,58	D	C
ATOM	11319	O	SER	D	121	22,028	25,914	40,766	1,00	39,51	D	O
ATOM	11321	N	SER	D	122	21,951	24,644	42,613	1,00	39,15	D	N
ATOM	11322	CA	SER	D	122	22,922	25,538	43,271	1,00	39,73	D	C
ATOM	11324	CB	SER	D	122	22,958	25,343	44,802	1,00	39,96	D	C
ATOM	11327	OG	SER	D	122	22,954	23,976	45,159	1,00	41,00	D	O
ATOM	11329	C	SER	D	122	24,323	25,443	42,629	1,00	39,70	D	C
ATOM	11330	O	SER	D	122	25,008	26,460	42,493	1,00	39,22	D	O
ATOM	11332	N	GLU	D	123	24,729	24,247	42,200	1,00	40,25	D	N
ATOM	11333	CA	GLU	D	123	26,008	24,080	41,482	1,00	41,17	D	C

ES 2 540 538 T3

ATOM	11335	CB	GLU	D	123	26,150	22,681	40,879	1,00	41,59	D	C
ATOM	11338	CG	GLU	D	123	26,512	21,625	41,880	1,00	44,20	D	C
ATOM	11341	CD	GLU	D	123	26,927	20,295	41,277	1,00	45,58	D	C
ATOM	11342	OE1	GLU	D	123	26,441	19,280	41,835	1,00	49,93	D	O
ATOM	11343	OE2	GLU	D	123	27,750	20,259	40,319	1,00	44,71	D	O
ATOM	11344	C	GLU	D	123	26,178	25,064	40,348	1,00	40,95	D	C
ATOM	11345	O	GLU	D	123	27,252	25,651	40,199	1,00	40,94	D	O
ATOM	11347	N	GLU	D	124	25,123	25,212	39,546	1,00	40,90	D	N
ATOM	11348	CA	GLU	D	124	25,154	26,038	38,356	1,00	40,88	D	C
ATOM	11350	CB	GLU	D	124	23,913	25,813	37,457	1,00	40,80	D	C
ATOM	11353	CG	GLU	D	124	24,021	26,458	36,052	1,00	39,08	D	C
ATOM	11356	CD	GLU	D	124	22,733	26,391	35,220	1,00	38,89	D	C
ATOM	11357	OE1	GLU	D	124	21,672	25,995	35,753	1,00	33,93	D	O
ATOM	11358	OE2	GLU	D	124	22,781	26,786	34,027	1,00	38,32	D	O
ATOM	11359	C	GLU	D	124	25,204	27,486	38,734	1,00	41,26	D	C
ATOM	11360	O	GLU	D	124	25,869	28,269	38,076	1,00	41,90	D	O
ATOM	11362	N	LEU	D	125	24,450	27,867	39,743	1,00	41,84	D	N
ATOM	11363	CA	LEU	D	125	24,531	29,237	40,244	1,00	42,79	D	C
ATOM	11365	CB	LEU	D	125	23,459	29,520	41,293	1,00	42,48	D	C
ATOM	11368	CG	LEU	D	125	22,022	29,403	40,771	1,00	41,95	D	C
ATOM	11370	CD1	LEU	D	125	21,024	29,341	41,937	1,00	39,50	D	C
ATOM	11374	CD2	LEU	D	125	21,676	30,510	39,797	1,00	39,21	D	C
ATOM	11378	C	LEU	D	125	25,935	29,567	40,769	1,00	43,54	D	C
ATOM	11379	O	LEU	D	125	26,375	30,688	40,596	1,00	44,07	D	O
ATOM	11381	N	GLN	D	126	26,655	28,606	41,351	1,00	44,85	D	N
ATOM	11382	CA	GLN	D	126	28,076	28,839	41,703	1,00	46,31	D	C
ATOM	11384	CB	GLN	D	126	28,691	27,701	42,545	1,00	46,63	D	C
ATOM	11387	CG	GLN	D	126	28,856	28,019	44,068	1,00	48,55	D	C
ATOM	11390	CD	GLN	D	126	29,699	29,279	44,376	1,00	47,46	D	C
ATOM	11391	OE1	GLN	D	126	30,892	29,354	44,067	1,00	48,49	D	O
ATOM	11392	NE2	GLN	D	126	29,066	30,258	44,988	1,00	47,38	D	N
ATOM	11395	C	GLN	D	126	28,972	29,065	40,463	1,00	47,23	D	C
ATOM	11396	O	GLN	D	126	30,009	29,728	40,564	1,00	47,67	D	O
ATOM	11398	N	ALA	D	127	28,581	28,529	39,305	1,00	47,01	D	N
ATOM	11399	CA	ALA	D	127	29,283	28,819	38,055	1,00	47,00	D	C
ATOM	11401	CB	ALA	D	127	29,153	27,627	37,077	1,00	46,85	D	C
ATOM	11405	C	ALA	D	127	28,799	30,124	37,411	1,00	47,05	D	C
ATOM	11406	O	ALA	D	127	29,186	30,444	36,283	1,00	48,37	D	O
ATOM	11408	N	ASN	D	128	27,982	30,873	38,147	1,00	46,54	D	N
ATOM	11409	CA	ASN	D	128	27,329	32,114	37,695	1,00	46,73	D	C
ATOM	11411	CB	ASN	D	128	28,323	33,271	37,559	1,00	47,32	D	C
ATOM	11414	CG	ASN	D	128	27,663	34,640	37,833	1,00	50,17	D	C
ATOM	11415	OD1	ASN	D	128	27,003	34,838	38,864	1,00	55,62	D	O
ATOM	11416	ND2	ASN	D	128	27,823	35,578	36,903	1,00	54,72	D	N
ATOM	11419	C	ASN	D	128	26,406	32,016	36,454	1,00	45,83	D	C
ATOM	11420	O	ASN	D	128	26,216	32,989	35,692	1,00	45,97	D	O
ATOM	11422	N	LYS	D	129	25,755	30,862	36,323	1,00	44,41	D	N
ATOM	11423	CA	LYS	D	129	24,772	30,629	35,278	1,00	42,39	D	C
ATOM	11425	CB	LYS	D	129	25,321	29,541	34,359	1,00	42,66	D	C
ATOM	11428	CG	LYS	D	129	26,567	29,946	33,499	1,00	42,10	D	C
ATOM	11431	CD	LYS	D	129	27,721	28,858	33,559	1,00	42,79	D	C
ATOM	11434	CE	LYS	D	129	27,306	27,375	33,189	1,00	41,94	D	C
ATOM	11437	NZ	LYS	D	129	28,259	26,313	33,676	1,00	37,35	D	N
ATOM	11441	C	LYS	D	129	23,466	30,186	35,931	1,00	41,43	D	C
ATOM	11442	O	LYS	D	129	23,486	29,599	37,012	1,00	41,89	D	O
ATOM	11444	N	ALA	D	130	22,336	30,481	35,286	1,00	39,79	D	N
ATOM	11445	CA	ALA	D	130	21,023	29,992	35,710	1,00	38,00	D	C
ATOM	11447	CB	ALA	D	130	20,267	31,098	36,385	1,00	37,82	D	C
ATOM	11451	C	ALA	D	130	20,212	29,454	34,512	1,00	36,36	D	C
ATOM	11452	O	ALA	D	130	19,899	30,184	33,596	1,00	35,68	D	O

ES 2 540 538 T3

ATOM	11454	N	THR	D	131	19,877	28,171	34,524	1,00	35,17	D	N
ATOM	11455	CA	THR	D	131	18,989	27,615	33,492	1,00	33,26	D	C
ATOM	11457	CB	THR	D	131	19,700	26,511	32,695	1,00	33,20	D	C
ATOM	11459	OG1	THR	D	131	20,971	26,974	32,243	1,00	30,97	D	O
ATOM	11461	CG2	THR	D	131	18,841	26,044	31,504	1,00	30,92	D	C
ATOM	11465	C	THR	D	131	17,718	26,987	34,096	1,00	32,72	D	C
ATOM	11466	O	THR	D	131	17,814	26,082	34,945	1,00	31,76	D	O
ATOM	11468	N	LEU	D	132	16,545	27,429	33,628	1,00	31,79	D	N
ATOM	11469	CA	LEU	D	132	15,286	26,759	33,958	1,00	31,57	D	C
ATOM	11471	CB	LEU	D	132	14,135	27,748	34,030	1,00	31,61	D	C
ATOM	11474	CG	LEU	D	132	14,019	28,633	35,290	1,00	33,15	D	C
ATOM	11476	CD1	LEU	D	132	15,283	29,348	35,516	1,00	32,29	D	C
ATOM	11480	CD2	LEU	D	132	12,889	29,627	35,112	1,00	30,76	D	C
ATOM	11484	C	LEU	D	132	14,983	25,739	32,868	1,00	31,50	D	C
ATOM	11485	O	LEU	D	132	15,060	26,063	31,682	1,00	31,63	D	O
ATOM	11487	N	VAL	D	133	14,603	24,538	33,273	1,00	30,95	D	N
ATOM	11488	CA	VAL	D	133	14,424	23,395	32,388	1,00	31,08	D	C
ATOM	11490	CB	VAL	D	133	15,300	22,262	32,858	1,00	30,69	D	C
ATOM	11492	CG1	VAL	D	133	15,172	21,070	31,941	1,00	30,13	D	C
ATOM	11496	CG2	VAL	D	133	16,746	22,745	32,967	1,00	32,01	D	C
ATOM	11500	C	VAL	D	133	12,954	22,913	32,380	1,00	31,46	D	C
ATOM	11501	O	VAL	D	133	12,453	22,381	33,385	1,00	31,87	D	O
ATOM	11503	N	CYS	D	134	12,250	23,158	31,279	1,00	31,37	D	N
ATOM	11504	CA	CYS	D	134	10,866	22,714	31,120	1,00	30,92	D	C
ATOM	11506	CB	CYS	D	134	10,009	23,839	30,570	1,00	31,21	D	C
ATOM	11509	SG	CYS	D	134	8,166	23,524	30,709	1,00	29,39	D	S
ATOM	11511	C	CYS	D	134	10,817	21,519	30,187	1,00	31,27	D	C
ATOM	11512	O	CYS	D	134	11,042	21,676	28,987	1,00	31,91	D	O
ATOM	11514	N	LEU	D	135	10,524	20,344	30,748	1,00	30,86	D	N
ATOM	11515	CA	LEU	D	135	10,408	19,098	30,023	1,00	30,75	D	C
ATOM	11517	CB	LEU	D	135	11,149	18,021	30,792	1,00	30,32	D	C
ATOM	11520	CG	LEU	D	135	12,563	18,459	31,156	1,00	28,97	D	C
ATOM	11522	CD1	LEU	D	135	13,190	17,361	31,936	1,00	32,37	D	C
ATOM	11526	CD2	LEU	D	135	13,399	18,810	29,927	1,00	27,45	D	C
ATOM	11530	C	LEU	D	135	8,938	18,682	29,780	1,00	32,28	D	C
ATOM	11531	O	LEU	D	135	8,120	18,667	30,713	1,00	32,86	D	O
ATOM	11533	N	VAL	D	136	8,624	18,331	28,531	1,00	32,61	D	N
ATOM	11534	CA	VAL	D	136	7,283	18,041	28,092	1,00	33,55	D	C
ATOM	11536	CB	VAL	D	136	6,799	19,077	27,077	1,00	33,45	D	C
ATOM	11538	CG1	VAL	D	136	5,295	18,956	26,871	1,00	32,49	D	C
ATOM	11542	CG2	VAL	D	136	7,194	20,485	27,505	1,00	31,23	D	C
ATOM	11546	C	VAL	D	136	7,235	16,674	27,422	1,00	35,80	D	C
ATOM	11547	O	VAL	D	136	7,898	16,471	26,392	1,00	36,79	D	O
ATOM	11549	N	SER	D	137	6,466	15,728	27,966	1,00	37,09	D	N
ATOM	11550	CA	SER	D	137	6,488	14,389	27,398	1,00	38,98	D	C
ATOM	11552	CB	SER	D	137	7,437	13,496	28,187	1,00	39,08	D	C
ATOM	11555	OG	SER	D	137	6,979	13,276	29,500	1,00	41,74	D	O
ATOM	11557	C	SER	D	137	5,154	13,695	27,264	1,00	40,55	D	C
ATOM	11558	O	SER	D	137	4,171	14,026	27,943	1,00	41,63	D	O
ATOM	11560	N	ASP	D	138	5,152	12,705	26,374	1,00	41,94	D	N
ATOM	11561	CA	ASP	D	138	4,076	11,740	26,215	1,00	42,94	D	C
ATOM	11563	CB	ASP	D	138	3,802	11,002	27,544	1,00	43,73	D	C
ATOM	11566	CG	ASP	D	138	4,811	9,889	27,803	1,00	47,39	D	C
ATOM	11567	OD1	ASP	D	138	5,098	9,135	26,838	1,00	51,98	D	O
ATOM	11568	OD2	ASP	D	138	5,290	9,736	28,958	1,00	52,60	D	O
ATOM	11569	C	ASP	D	138	2,823	12,363	25,649	1,00	42,76	D	C
ATOM	11570	O	ASP	D	138	1,737	11,960	25,993	1,00	43,16	D	O
ATOM	11572	N	PHE	D	139	2,987	13,323	24,746	1,00	42,98	D	N
ATOM	11573	CA	PHE	D	139	1,856	13,971	24,136	1,00	43,17	D	C
ATOM	11575	CB	PHE	D	139	1,941	15,488	24,266	1,00	42,85	D	C

ES 2 540 538 T3

ATOM	11578	CG	PHE	D	139	3,132	16,126	23,593	1,00	42,67	D	C
ATOM	11579	CD1	PHE	D	139	4,331	16,288	24,280	1,00	42,33	D	C
ATOM	11581	CE1	PHE	D	139	5,421	16,904	23,692	1,00	41,73	D	C
ATOM	11583	CZ	PHE	D	139	5,323	17,420	22,400	1,00	43,07	D	C
ATOM	11585	CE2	PHE	D	139	4,114	17,297	21,702	1,00	44,76	D	C
ATOM	11587	CD2	PHE	D	139	3,021	16,659	22,310	1,00	43,21	D	C
ATOM	11589	C	PHE	D	139	1,623	13,543	22,671	1,00	44,39	D	C
ATOM	11590	O	PHE	D	139	2,559	13,151	21,949	1,00	43,52	D	O
ATOM	11592	N	TYR	D	140	0,351	13,608	22,270	1,00	45,00	D	N
ATOM	11593	CA	TYR	D	140	-0,074	13,280	20,912	1,00	46,04	D	C
ATOM	11595	CB	TYR	D	140	-0,306	11,777	20,705	1,00	45,71	D	C
ATOM	11598	CG	TYR	D	140	-0,513	11,501	19,234	1,00	49,04	D	C
ATOM	11599	CD1	TYR	D	140	0,554	11,127	18,418	1,00	51,02	D	C
ATOM	11601	CE1	TYR	D	140	0,364	10,917	17,038	1,00	53,13	D	C
ATOM	11603	CZ	TYR	D	140	-0,900	11,101	16,473	1,00	53,35	D	C
ATOM	11604	OH	TYR	D	140	-1,102	10,917	15,124	1,00	54,96	D	O
ATOM	11606	CE2	TYR	D	140	-1,965	11,494	17,268	1,00	52,48	D	C
ATOM	11608	CD2	TYR	D	140	-1,766	11,703	18,632	1,00	50,61	D	C
ATOM	11610	C	TYR	D	140	-1,344	14,064	20,556	1,00	46,36	D	C
ATOM	11611	O	TYR	D	140	-2,297	14,080	21,326	1,00	46,13	D	O
ATOM	11613	N	PRO	D	141	-1,369	14,693	19,375	1,00	47,10	D	N
ATOM	11614	CA	PRO	D	141	-0,335	14,728	18,325	1,00	47,85	D	C
ATOM	11616	CB	PRO	D	141	-1,077	15,316	17,119	1,00	47,97	D	C
ATOM	11619	CG	PRO	D	141	-2,158	16,166	17,720	1,00	48,27	D	C
ATOM	11622	CD	PRO	D	141	-2,574	15,442	18,990	1,00	47,55	D	C
ATOM	11625	C	PRO	D	141	0,877	15,591	18,697	1,00	48,31	D	C
ATOM	11626	O	PRO	D	141	0,905	16,192	19,770	1,00	48,54	D	O
ATOM	11627	N	GLY	D	142	1,882	15,634	17,826	1,00	48,65	D	N
ATOM	11628	CA	GLY	D	142	3,167	16,259	18,152	1,00	48,40	D	C
ATOM	11631	C	GLY	D	142	3,240	17,718	17,769	1,00	48,52	D	C
ATOM	11632	O	GLY	D	142	4,099	18,119	16,968	1,00	49,95	D	O
ATOM	11634	N	ALA	D	143	2,351	18,513	18,334	1,00	48,03	D	N
ATOM	11635	CA	ALA	D	143	2,329	19,936	18,095	1,00	47,74	D	C
ATOM	11637	CB	ALA	D	143	1,282	20,277	17,043	1,00	47,87	D	C
ATOM	11641	C	ALA	D	143	2,002	20,628	19,418	1,00	47,39	D	C
ATOM	11642	O	ALA	D	143	0,904	20,452	19,951	1,00	47,07	D	O
ATOM	11644	N	VAL	D	144	2,968	21,383	19,946	1,00	46,73	D	N
ATOM	11645	CA	VAL	D	144	2,798	22,137	21,183	1,00	46,17	D	C
ATOM	11647	CB	VAL	D	144	3,530	21,507	22,406	1,00	45,78	D	C
ATOM	11649	CG1	VAL	D	144	2,630	20,605	23,159	1,00	46,40	D	C
ATOM	11653	CG2	VAL	D	144	4,790	20,783	22,003	1,00	45,77	D	C
ATOM	11657	C	VAL	D	144	3,364	23,506	21,018	1,00	45,76	D	C
ATOM	11658	O	VAL	D	144	4,300	23,698	20,251	1,00	46,66	D	O
ATOM	11660	N	THR	D	145	2,802	24,458	21,748	1,00	44,72	D	N
ATOM	11661	CA	THR	D	145	3,426	25,751	21,936	1,00	44,18	D	C
ATOM	11663	CB	THR	D	145	2,431	26,877	21,678	1,00	44,22	D	C
ATOM	11665	OG1	THR	D	145	2,264	27,007	20,265	1,00	46,91	D	O
ATOM	11667	CG2	THR	D	145	2,912	28,196	22,232	1,00	44,98	D	C
ATOM	11671	C	THR	D	145	3,950	25,776	23,373	1,00	43,14	D	C
ATOM	11672	O	THR	D	145	3,262	25,301	24,297	1,00	42,39	D	O
ATOM	11674	N	VAL	D	146	5,180	26,271	23,534	1,00	41,41	D	N
ATOM	11675	CA	VAL	D	146	5,760	26,518	24,842	1,00	40,56	D	C
ATOM	11677	CB	VAL	D	146	7,055	25,725	25,073	1,00	40,40	D	C
ATOM	11679	CG1	VAL	D	146	7,545	25,950	26,497	1,00	39,03	D	C
ATOM	11683	CG2	VAL	D	146	6,849	24,233	24,803	1,00	39,09	D	C
ATOM	11687	C	VAL	D	146	6,070	28,003	24,982	1,00	40,30	D	C
ATOM	11688	O	VAL	D	146	6,724	28,569	24,121	1,00	39,97	D	O
ATOM	11690	N	ALA	D	147	5,610	28,606	26,076	1,00	40,27	D	N
ATOM	11691	CA	ALA	D	147	5,889	30,005	26,398	1,00	40,69	D	C
ATOM	11693	CB	ALA	D	147	4,630	30,846	26,179	1,00	40,33	D	C

ES 2 540 538 T3

ATOM	11697	C	ALA	D	147	6,366	30,143	27,850	1,00	41,20	D	C
ATOM	11698	O	ALA	D	147	6,047	29,292	28,693	1,00	41,22	D	O
ATOM	11700	N	TRP	D	148	7,074	31,238	28,146	1,00	41,39	D	N
ATOM	11701	CA	TRP	D	148	7,609	31,491	29,466	1,00	41,82	D	C
ATOM	11703	CB	TRP	D	148	9,129	31,505	29,432	1,00	41,79	D	C
ATOM	11706	CG	TRP	D	148	9,782	30,188	29,214	1,00	39,07	D	C
ATOM	11707	CD1	TRP	D	148	10,084	29,624	28,015	1,00	37,53	D	C
ATOM	11709	NE1	TRP	D	148	10,722	28,431	28,198	1,00	37,41	D	N
ATOM	11711	CE2	TRP	D	148	10,864	28,205	29,538	1,00	37,15	D	C
ATOM	11712	CD2	TRP	D	148	10,280	29,297	30,213	1,00	37,74	D	C
ATOM	11713	CE3	TRP	D	148	10,299	29,315	31,610	1,00	36,33	D	C
ATOM	11715	CZ3	TRP	D	148	10,872	28,262	32,276	1,00	36,22	D	C
ATOM	11717	CH2	TRP	D	148	11,431	27,175	31,574	1,00	37,61	D	C
ATOM	11719	CZ2	TRP	D	148	11,437	27,133	30,208	1,00	37,27	D	C
ATOM	11721	C	TRP	D	148	7,157	32,815	30,032	1,00	43,46	D	C
ATOM	11722	O	TRP	D	148	7,007	33,795	29,303	1,00	43,86	D	O
ATOM	11724	N	LYS	D	149	6,945	32,848	31,344	1,00	45,33	D	N
ATOM	11725	CA	LYS	D	149	6,592	34,093	32,022	1,00	47,13	D	C
ATOM	11727	CB	LYS	D	149	5,122	34,102	32,464	1,00	47,72	D	C
ATOM	11730	CG	LYS	D	149	4,155	34,509	31,362	1,00	49,60	D	C
ATOM	11733	CD	LYS	D	149	2,797	33,815	31,471	1,00	52,03	D	C
ATOM	11736	CE	LYS	D	149	1,966	34,014	30,177	1,00	53,37	D	C
ATOM	11739	NZ	LYS	D	149	1,371	35,400	30,039	1,00	53,10	D	N
ATOM	11743	C	LYS	D	149	7,502	34,364	33,210	1,00	47,80	D	C
ATOM	11744	O	LYS	D	149	8,092	33,442	33,765	1,00	47,66	D	O
ATOM	11746	N	ALA	D	150	7,647	35,651	33,529	1,00	49,21	D	N
ATOM	11747	CA	ALA	D	150	8,294	36,129	34,755	1,00	50,47	D	C
ATOM	11749	CB	ALA	D	150	9,552	36,893	34,432	1,00	50,11	D	C
ATOM	11753	C	ALA	D	150	7,283	37,032	35,464	1,00	51,82	D	C
ATOM	11754	O	ALA	D	150	6,924	38,092	34,940	1,00	52,25	D	O
ATOM	11756	N	ASP	D	151	6,783	36,585	36,617	1,00	53,10	D	N
ATOM	11757	CA	ASP	D	151	5,736	37,303	37,342	1,00	54,38	D	C
ATOM	11759	CB	ASP	D	151	6,306	38,545	38,026	1,00	54,91	D	C
ATOM	11762	CG	ASP	D	151	7,469	38,224	38,905	1,00	56,72	D	C
ATOM	11763	OD1	ASP	D	151	7,559	37,063	39,370	1,00	59,24	D	O
ATOM	11764	OD2	ASP	D	151	8,296	39,133	39,119	1,00	60,32	D	O
ATOM	11765	C	ASP	D	151	4,616	37,732	36,431	1,00	54,75	D	C
ATOM	11766	O	ASP	D	151	4,236	38,901	36,431	1,00	54,23	D	O
ATOM	11768	N	GLY	D	152	4,118	36,790	35,633	1,00	55,83	D	N
ATOM	11769	CA	GLY	D	152	2,956	37,032	34,787	1,00	56,50	D	C
ATOM	11772	C	GLY	D	152	3,241	37,625	33,423	1,00	57,41	D	C
ATOM	11773	O	GLY	D	152	2,380	37,538	32,544	1,00	58,35	D	O
ATOM	11775	N	SER	D	153	4,431	38,216	33,237	1,00	57,81	D	N
ATOM	11776	CA	SER	D	153	4,826	38,864	31,970	1,00	57,75	D	C
ATOM	11778	CB	SER	D	153	5,798	40,014	32,238	1,00	57,94	D	C
ATOM	11781	OG	SER	D	153	5,180	41,063	32,945	1,00	58,44	D	O
ATOM	11783	C	SER	D	153	5,555	37,884	31,063	1,00	57,61	D	C
ATOM	11784	O	SER	D	153	6,392	37,131	31,549	1,00	57,85	D	O
ATOM	11786	N	PRO	D	154	5,291	37,924	29,739	1,00	57,13	D	N
ATOM	11787	CA	PRO	D	154	6,001	37,016	28,839	1,00	56,38	D	C
ATOM	11789	CB	PRO	D	154	5,364	37,286	27,472	1,00	56,53	D	C
ATOM	11792	CG	PRO	D	154	4,115	38,049	27,754	1,00	56,73	D	C
ATOM	11795	CD	PRO	D	154	4,399	38,830	28,994	1,00	57,24	D	C
ATOM	11798	C	PRO	D	154	7,479	37,331	28,780	1,00	55,85	D	C
ATOM	11799	O	PRO	D	154	7,866	38,501	28,861	1,00	56,07	D	O
ATOM	11800	N	VAL	D	155	8,289	36,283	28,680	1,00	54,95	D	N
ATOM	11801	CA	VAL	D	155	9,725	36,396	28,512	1,00	54,25	D	C
ATOM	11803	CB	VAL	D	155	10,490	35,686	29,658	1,00	54,25	D	C
ATOM	11805	CG1	VAL	D	155	11,984	35,711	29,410	1,00	54,24	D	C
ATOM	11809	CG2	VAL	D	155	10,173	36,318	30,996	1,00	54,06	D	C

ES 2 540 538 T3

ATOM	11813	C	VAL	D	155	10,064	35,708	27,194	1,00	53,87	D	C
ATOM	11814	O	VAL	D	155	9,688	34,558	26,986	1,00	53,16	D	O
ATOM	11816	N	LYS	D	156	10,764	36,424	26,316	1,00	53,51	D	N
ATOM	11817	CA	LYS	D	156	11,229	35,898	25,019	1,00	53,17	D	C
ATOM	11819	CB	LYS	D	156	10,771	36,830	23,885	1,00	52,94	D	C
ATOM	11826	C	LYS	D	156	12,762	35,717	24,971	1,00	52,44	D	C
ATOM	11827	O	LYS	D	156	13,271	34,753	24,369	1,00	52,57	D	O
ATOM	11829	N	VAL	D	157	13,497	36,626	25,601	1,00	51,40	D	N
ATOM	11830	CA	VAL	D	157	14,961	36,577	25,558	1,00	50,97	D	C
ATOM	11832	CB	VAL	D	157	15,587	37,951	25,935	1,00	51,18	D	C
ATOM	11834	CG1	VAL	D	157	15,244	38,348	27,377	1,00	52,05	D	C
ATOM	11838	CG2	VAL	D	157	17,081	37,936	25,723	1,00	52,02	D	C
ATOM	11842	C	VAL	D	157	15,489	35,452	26,454	1,00	50,04	D	C
ATOM	11843	O	VAL	D	157	15,064	35,314	27,605	1,00	50,98	D	O
ATOM	11845	N	GLY	D	158	16,378	34,625	25,914	1,00	48,43	D	N
ATOM	11846	CA	GLY	D	158	16,991	33,533	26,669	1,00	46,90	D	C
ATOM	11849	C	GLY	D	158	16,320	32,193	26,476	1,00	46,10	D	C
ATOM	11850	O	GLY	D	158	16,789	31,182	26,999	1,00	44,86	D	O
ATOM	11852	N	VAL	D	159	15,232	32,180	25,707	1,00	45,57	D	N
ATOM	11853	CA	VAL	D	159	14,479	30,964	25,458	1,00	45,25	D	C
ATOM	11855	CB	VAL	D	159	12,989	31,272	25,262	1,00	45,36	D	C
ATOM	11857	CG1	VAL	D	159	12,202	29,970	25,055	1,00	44,29	D	C
ATOM	11861	CG2	VAL	D	159	12,449	32,065	26,443	1,00	43,92	D	C
ATOM	11865	C	VAL	D	159	14,981	30,172	24,235	1,00	45,37	D	C
ATOM	11866	O	VAL	D	159	15,159	30,714	23,139	1,00	46,10	D	O
ATOM	11868	N	GLU	D	160	15,192	28,881	24,430	1,00	44,90	D	N
ATOM	11869	CA	GLU	D	160	15,515	27,979	23,339	1,00	44,76	D	C
ATOM	11871	CB	GLU	D	160	17,041	27,709	23,268	1,00	44,85	D	C
ATOM	11874	CG	GLU	D	160	17,824	28,803	22,408	1,00	46,95	D	C
ATOM	11877	CD	GLU	D	160	19,250	29,165	22,916	1,00	48,91	D	C
ATOM	11878	OE1	GLU	D	160	19,644	28,764	24,051	1,00	49,03	D	O
ATOM	11879	OE2	GLU	D	160	19,984	29,866	22,166	1,00	45,52	D	O
ATOM	11880	C	GLU	D	160	14,654	26,718	23,503	1,00	44,15	D	C
ATOM	11881	O	GLU	D	160	14,757	25,991	24,485	1,00	43,22	D	O
ATOM	11883	N	THR	D	161	13,761	26,504	22,545	1,00	43,89	D	N
ATOM	11884	CA	THR	D	161	12,822	25,398	22,593	1,00	43,94	D	C
ATOM	11886	CB	THR	D	161	11,407	25,908	22,439	1,00	44,31	D	C
ATOM	11888	OG1	THR	D	161	11,112	26,777	23,537	1,00	44,51	D	O
ATOM	11890	CG2	THR	D	161	10,427	24,734	22,375	1,00	44,26	D	C
ATOM	11894	C	THR	D	161	13,061	24,408	21,473	1,00	43,43	D	C
ATOM	11895	O	THR	D	161	13,263	24,780	20,338	1,00	43,26	D	O
ATOM	11897	N	THR	D	162	13,011	23,146	21,837	1,00	43,89	D	N
ATOM	11898	CA	THR	D	162	13,176	22,019	20,954	1,00	44,40	D	C
ATOM	11900	CB	THR	D	162	13,340	20,776	21,836	1,00	44,47	D	C
ATOM	11902	OG1	THR	D	162	14,726	20,399	21,898	1,00	45,68	D	O
ATOM	11904	CG2	THR	D	162	12,491	19,653	21,408	1,00	43,46	D	C
ATOM	11908	C	THR	D	162	11,949	21,887	20,066	1,00	45,57	D	C
ATOM	11909	O	THR	D	162	10,840	22,177	20,496	1,00	44,65	D	O
ATOM	11911	N	LYS	D	163	12,146	21,491	18,811	1,00	46,84	D	N
ATOM	11912	CA	LYS	D	163	11,022	21,010	18,001	1,00	47,85	D	C
ATOM	11914	CB	LYS	D	163	11,417	20,815	16,523	1,00	48,63	D	C
ATOM	11917	CG	LYS	D	163	11,811	22,109	15,762	1,00	51,65	D	C
ATOM	11920	CD	LYS	D	163	12,546	21,778	14,432	1,00	54,63	D	C
ATOM	11923	CE	LYS	D	163	13,274	23,004	13,837	1,00	56,90	D	C
ATOM	11926	NZ	LYS	D	163	14,467	23,498	14,646	1,00	58,35	D	N
ATOM	11930	C	LYS	D	163	10,559	19,671	18,601	1,00	47,28	D	C
ATOM	11931	O	LYS	D	163	11,368	18,922	19,128	1,00	46,00	D	O
ATOM	11933	N	PRO	D	164	9,256	19,369	18,513	1,00	47,97	D	N
ATOM	11934	CA	PRO	D	164	8,740	18,074	18,984	1,00	48,60	D	C
ATOM	11936	CB	PRO	D	164	7,262	18,111	18,590	1,00	48,36	D	C

ES 2 540 538 T3

ATOM	11939	CG	PRO	D	164	6,928	19,576	18,396	1,00	48,47	D	C
ATOM	11942	CD	PRO	D	164	8,197	20,237	17,960	1,00	48,06	D	C
ATOM	11945	C	PRO	D	164	9,410	16,910	18,285	1,00	49,59	D	C
ATOM	11946	O	PRO	D	164	9,644	16,999	17,090	1,00	49,42	D	O
ATOM	11947	N	SER	D	165	9,697	15,834	19,009	1,00	50,77	D	N
ATOM	11948	CA	SER	D	165	10,291	14,656	18,406	1,00	52,35	D	C
ATOM	11950	CB	SER	D	165	11,785	14,590	18,729	1,00	52,51	D	C
ATOM	11953	OG	SER	D	165	12,021	13,713	19,821	1,00	54,94	D	O
ATOM	11955	C	SER	D	165	9,612	13,380	18,896	1,00	53,17	D	C
ATOM	11956	O	SER	D	165	9,382	13,212	20,086	1,00	52,77	D	O
ATOM	11958	N	LYS	D	166	9,336	12,462	17,972	1,00	54,50	D	N
ATOM	11959	CA	LYS	D	166	8,606	11,236	18,293	1,00	55,49	D	C
ATOM	11961	CB	LYS	D	166	8,335	10,421	17,021	1,00	55,97	D	C
ATOM	11964	CG	LYS	D	166	7,283	9,329	17,170	1,00	57,10	D	C
ATOM	11967	CD	LYS	D	166	6,788	8,816	15,807	1,00	59,01	D	C
ATOM	11970	CE	LYS	D	166	7,683	7,711	15,230	1,00	60,22	D	C
ATOM	11973	NZ	LYS	D	166	6,909	6,791	14,323	1,00	61,04	D	N
ATOM	11977	C	LYS	D	166	9,378	10,392	19,277	1,00	55,72	D	C
ATOM	11978	O	LYS	D	166	10,546	10,131	19,070	1,00	56,27	D	O
ATOM	11980	N	GLN	D	167	8,719	9,970	20,349	1,00	56,45	D	N
ATOM	11981	CA	GLN	D	167	9,323	9,094	21,340	1,00	56,84	D	C
ATOM	11983	CB	GLN	D	167	8,602	9,188	22,692	1,00	56,98	D	C
ATOM	11986	CG	GLN	D	167	8,611	10,576	23,361	1,00	57,36	D	C
ATOM	11989	CD	GLN	D	167	7,815	10,615	24,679	1,00	56,67	D	C
ATOM	11990	OE1	GLN	D	167	7,314	9,593	25,158	1,00	55,70	D	O
ATOM	11991	NE2	GLN	D	167	7,713	11,797	25,265	1,00	54,10	D	N
ATOM	11994	C	GLN	D	167	9,261	7,652	20,865	1,00	57,49	D	C
ATOM	11995	O	GLN	D	167	8,640	7,345	19,851	1,00	57,52	D	O
ATOM	11997	N	SER	D	168	9,927	6,795	21,633	1,00	58,28	D	N
ATOM	11998	CA	SER	D	168	9,928	5,341	21,504	1,00	58,93	D	C
ATOM	12000	CB	SER	D	168	10,552	4,774	22,797	1,00	58,99	D	C
ATOM	12003	OG	SER	D	168	10,626	3,367	22,818	1,00	60,16	D	O
ATOM	12005	C	SER	D	168	8,520	4,772	21,297	1,00	59,60	D	C
ATOM	12006	O	SER	D	168	8,298	3,904	20,429	1,00	59,79	D	O
ATOM	12008	N	ASN	D	170	7,573	5,298	22,084	1,00	59,67	D	N
ATOM	12009	CA	ASN	D	170	6,199	4,802	22,158	1,00	59,16	D	C
ATOM	12011	CB	ASN	D	170	5,712	4,947	23,600	1,00	59,57	D	C
ATOM	12014	CG	ASN	D	170	5,478	6,412	24,000	1,00	60,29	D	C
ATOM	12015	OD1	ASN	D	170	5,609	7,333	23,187	1,00	60,37	D	O
ATOM	12016	ND2	ASN	D	170	5,116	6,619	25,254	1,00	62,07	D	N
ATOM	12019	C	ASN	D	170	5,221	5,528	21,246	1,00	58,51	D	C
ATOM	12020	O	ASN	D	170	4,019	5,496	21,489	1,00	58,49	D	O
ATOM	12022	N	ASN	D	171	5,734	6,224	20,236	1,00	57,66	D	N
ATOM	12023	CA	ASN	D	171	4,915	6,995	19,274	1,00	57,01	D	C
ATOM	12025	CB	ASN	D	171	3,898	6,104	18,561	1,00	57,59	D	C
ATOM	12028	CG	ASN	D	171	4,558	4,978	17,785	1,00	60,12	D	C
ATOM	12029	OD1	ASN	D	171	5,150	5,192	16,715	1,00	64,15	D	O
ATOM	12030	ND2	ASN	D	171	4,454	3,766	18,317	1,00	61,69	D	N
ATOM	12033	C	ASN	D	171	4,218	8,265	19,799	1,00	55,54	D	C
ATOM	12034	O	ASN	D	171	3,606	9,001	19,018	1,00	54,88	D	O
ATOM	12036	N	LYS	D	172	4,317	8,537	21,097	1,00	54,12	D	N
ATOM	12037	CA	LYS	D	172	3,952	9,855	21,613	1,00	52,94	D	C
ATOM	12039	CB	LYS	D	172	3,468	9,742	23,066	1,00	52,82	D	C
ATOM	12046	C	LYS	D	172	5,189	10,763	21,453	1,00	51,63	D	C
ATOM	12047	O	LYS	D	172	6,292	10,270	21,234	1,00	51,75	D	O
ATOM	12049	N	TYR	D	173	5,004	12,074	21,530	1,00	49,83	D	N
ATOM	12050	CA	TYR	D	173	6,084	13,034	21,305	1,00	48,52	D	C
ATOM	12052	CB	TYR	D	173	5,563	14,190	20,451	1,00	48,93	D	C
ATOM	12055	CG	TYR	D	173	5,411	13,834	18,980	1,00	52,15	D	C
ATOM	12056	CD1	TYR	D	173	6,440	14,109	18,061	1,00	54,32	D	C

ES 2 540 538 T3

ATOM	12058	CE1	TYR	D	173	6,308	13,792	16,702	1,00	56,71	D	C
ATOM	12060	CZ	TYR	D	173	5,126	13,188	16,246	1,00	57,96	D	C
ATOM	12061	OH	TYR	D	173	4,985	12,861	14,921	1,00	58,69	D	O
ATOM	12063	CE2	TYR	D	173	4,091	12,904	17,139	1,00	57,15	D	C
ATOM	12065	CD2	TYR	D	173	4,239	13,232	18,501	1,00	55,10	D	C
ATOM	12067	C	TYR	D	173	6,718	13,595	22,593	1,00	46,53	D	C
ATOM	12068	O	TYR	D	173	6,110	13,547	23,676	1,00	45,78	D	O
ATOM	12070	N	ALA	D	174	7,945	14,119	22,456	1,00	43,83	D	N
ATOM	12071	CA	ALA	D	174	8,632	14,858	23,538	1,00	41,88	D	C
ATOM	12073	CB	ALA	D	174	9,702	14,020	24,201	1,00	41,08	D	C
ATOM	12077	C	ALA	D	174	9,203	16,182	23,028	1,00	40,23	D	C
ATOM	12078	O	ALA	D	174	9,412	16,375	21,829	1,00	40,66	D	O
ATOM	12080	N	ALA	D	175	9,396	17,112	23,947	1,00	37,82	D	N
ATOM	12081	CA	ALA	D	175	10,030	18,396	23,654	1,00	36,65	D	C
ATOM	12083	CB	ALA	D	175	9,060	19,348	22,987	1,00	35,92	D	C
ATOM	12087	C	ALA	D	175	10,584	19,015	24,948	1,00	35,67	D	C
ATOM	12088	O	ALA	D	175	10,236	18,556	26,044	1,00	35,62	D	O
ATOM	12090	N	SER	D	176	11,423	20,044	24,804	1,00	34,20	D	N
ATOM	12091	CA	SER	D	176	12,150	20,654	25,916	1,00	33,76	D	C
ATOM	12093	CB	SER	D	176	13,575	20,151	25,996	1,00	33,90	D	C
ATOM	12096	OG	SER	D	176	13,657	18,767	26,182	1,00	37,95	D	O
ATOM	12098	C	SER	D	176	12,229	22,127	25,603	1,00	33,49	D	C
ATOM	12099	O	SER	D	176	12,349	22,486	24,422	1,00	33,36	D	O
ATOM	12101	N	SER	D	177	12,171	22,962	26,640	1,00	32,74	D	N
ATOM	12102	CA	SER	D	177	12,469	24,390	26,530	1,00	32,58	D	C
ATOM	12104	CB	SER	D	177	11,222	25,217	26,545	1,00	32,36	D	C
ATOM	12107	OG	SER	D	177	11,505	26,574	26,261	1,00	34,79	D	O
ATOM	12109	C	SER	D	177	13,381	24,774	27,679	1,00	33,21	D	C
ATOM	12110	O	SER	D	177	13,381	24,141	28,756	1,00	33,36	D	O
ATOM	12112	N	TYR	D	178	14,214	25,771	27,425	1,00	32,74	D	N
ATOM	12113	CA	TYR	D	178	15,252	26,151	28,343	1,00	32,69	D	C
ATOM	12115	CB	TYR	D	178	16,585	25,660	27,813	1,00	32,53	D	C
ATOM	12118	CG	TYR	D	178	16,801	24,173	27,913	1,00	31,05	D	C
ATOM	12119	CD1	TYR	D	178	17,414	23,623	29,030	1,00	29,97	D	C
ATOM	12121	CE1	TYR	D	178	17,650	22,254	29,122	1,00	30,03	D	C
ATOM	12123	CZ	TYR	D	178	17,243	21,410	28,103	1,00	28,47	D	C
ATOM	12124	OH	TYR	D	178	17,483	20,058	28,228	1,00	27,38	D	O
ATOM	12126	CE2	TYR	D	178	16,631	21,932	26,979	1,00	28,84	D	C
ATOM	12128	CD2	TYR	D	178	16,430	23,325	26,887	1,00	30,12	D	C
ATOM	12130	C	TYR	D	178	15,254	27,659	28,430	1,00	33,35	D	C
ATOM	12131	O	TYR	D	178	15,254	28,299	27,392	1,00	34,52	D	O
ATOM	12133	N	LEU	D	179	15,188	28,216	29,636	1,00	33,82	D	N
ATOM	12134	CA	LEU	D	179	15,346	29,675	29,868	1,00	35,35	D	C
ATOM	12136	CB	LEU	D	179	14,212	30,256	30,712	1,00	35,27	D	C
ATOM	12139	CG	LEU	D	179	14,240	31,759	31,057	1,00	36,37	D	C
ATOM	12141	CD1	LEU	D	179	14,476	32,644	29,806	1,00	36,69	D	C
ATOM	12145	CD2	LEU	D	179	12,959	32,183	31,748	1,00	32,79	D	C
ATOM	12149	C	LEU	D	179	16,698	29,934	30,555	1,00	36,44	D	C
ATOM	12150	O	LEU	D	179	16,995	29,369	31,624	1,00	36,04	D	O
ATOM	12152	N	SER	D	180	17,531	30,729	29,886	1,00	37,72	D	N
ATOM	12153	CA	SER	D	180	18,853	31,041	30,359	1,00	38,93	D	C
ATOM	12155	CB	SER	D	180	19,843	31,004	29,210	1,00	38,65	D	C
ATOM	12158	OG	SER	D	180	19,946	29,685	28,714	1,00	39,89	D	O
ATOM	12160	C	SER	D	180	18,774	32,425	30,981	1,00	40,04	D	C
ATOM	12161	O	SER	D	180	18,109	33,317	30,457	1,00	40,07	D	O
ATOM	12163	N	LEU	D	181	19,420	32,591	32,122	1,00	41,31	D	N
ATOM	12164	CA	LEU	D	181	19,303	33,839	32,887	1,00	41,95	D	C
ATOM	12166	CB	LEU	D	181	18,173	33,737	33,918	1,00	42,36	D	C
ATOM	12169	CG	LEU	D	181	16,743	33,526	33,479	1,00	41,07	D	C
ATOM	12171	CD1	LEU	D	181	15,907	33,441	34,726	1,00	40,77	D	C

ES 2 540 538 T3

ATOM	12175	CD2	LEU	D	181	16,284	34,649	32,571	1,00	41,79	D	C
ATOM	12179	C	LEU	D	181	20,558	34,011	33,654	1,00	42,12	D	C
ATOM	12180	O	LEU	D	181	21,181	33,016	33,986	1,00	42,53	D	C
ATOM	12182	N	THR	D	182	20,918	35,256	33,965	1,00	43,83	D	N
ATOM	12183	CA	THR	D	182	21,993	35,533	34,951	1,00	44,97	D	C
ATOM	12185	CB	THR	D	182	22,450	37,002	35,003	1,00	45,29	D	C
ATOM	12187	OG1	THR	D	182	21,334	37,839	35,365	1,00	47,80	D	C
ATOM	12189	CG2	THR	D	182	23,018	37,448	33,654	1,00	46,09	D	C
ATOM	12193	C	THR	D	182	21,415	35,215	36,314	1,00	45,24	D	C
ATOM	12194	O	THR	D	182	20,179	35,256	36,502	1,00	45,07	D	O
ATOM	12196	N	PRO	D	183	22,291	34,899	37,273	1,00	46,00	D	N
ATOM	12197	CA	PRO	D	183	21,733	34,669	38,596	1,00	46,99	D	C
ATOM	12199	CB	PRO	D	183	22,957	34,277	39,417	1,00	47,11	D	C
ATOM	12202	CG	PRO	D	183	23,795	33,538	38,416	1,00	46,40	D	C
ATOM	12205	CD	PRO	D	183	23,655	34,368	37,160	1,00	45,50	D	C
ATOM	12208	C	PRO	D	183	21,003	35,870	39,152	1,00	47,41	D	C
ATOM	12209	O	PRO	D	183	19,998	35,694	39,828	1,00	48,22	D	O
ATOM	12210	N	GLU	D	184	21,443	37,078	38,823	1,00	48,38	D	N
ATOM	12211	CA	GLU	D	184	20,732	38,276	39,274	1,00	48,99	D	C
ATOM	12213	CB	GLU	D	184	21,479	39,576	38,895	1,00	49,01	D	C
ATOM	12220	C	GLU	D	184	19,283	38,243	38,758	1,00	49,18	D	C
ATOM	12221	O	GLU	D	184	18,353	38,302	39,556	1,00	49,89	D	O
ATOM	12223	N	GLN	D	185	19,076	38,077	37,451	1,00	49,35	D	N
ATOM	12224	CA	GLN	D	185	17,692	38,006	36,908	1,00	48,70	D	C
ATOM	12226	CB	GLN	D	185	17,692	37,745	35,413	1,00	49,41	D	C
ATOM	12229	CG	GLN	D	185	18,379	38,781	34,539	1,00	51,29	D	C
ATOM	12232	CD	GLN	D	185	19,042	38,134	33,340	1,00	51,64	D	C
ATOM	12233	OE1	GLN	D	185	18,576	37,118	32,820	1,00	48,59	D	C
ATOM	12234	NE2	GLN	D	185	20,166	38,692	32,932	1,00	54,14	D	N
ATOM	12237	C	GLN	D	185	16,854	36,888	37,519	1,00	47,67	D	C
ATOM	12238	O	GLN	D	185	15,659	37,031	37,689	1,00	46,95	D	C
ATOM	12240	N	TRP	D	186	17,457	35,741	37,791	1,00	47,16	D	N
ATOM	12241	CA	TRP	D	186	16,686	34,641	38,393	1,00	46,72	D	C
ATOM	12243	CB	TRP	D	186	17,560	33,416	38,536	1,00	46,03	D	C
ATOM	12246	CG	TRP	D	186	17,122	32,363	39,529	1,00	44,74	D	C
ATOM	12247	CD1	TRP	D	186	17,866	31,868	40,566	1,00	44,40	D	C
ATOM	12249	NE1	TRP	D	186	17,171	30,878	41,225	1,00	43,48	D	N
ATOM	12251	CE2	TRP	D	186	15,965	30,699	40,607	1,00	42,01	D	C
ATOM	12252	CD2	TRP	D	186	15,898	31,613	39,530	1,00	42,71	D	C
ATOM	12253	CE3	TRP	D	186	14,754	31,619	38,726	1,00	41,97	D	C
ATOM	12255	CZ3	TRP	D	186	13,722	30,738	39,036	1,00	41,75	D	C
ATOM	12257	CH2	TRP	D	186	13,818	29,864	40,118	1,00	39,93	D	C
ATOM	12259	CZ2	TRP	D	186	14,930	29,825	40,910	1,00	40,24	D	C
ATOM	12261	C	TRP	D	186	16,131	35,077	39,757	1,00	47,68	D	C
ATOM	12262	O	TRP	D	186	14,914	35,041	39,974	1,00	46,70	D	C
ATOM	12264	N	LYS	D	187	17,038	35,510	40,645	1,00	48,40	D	N
ATOM	12265	CA	LYS	D	187	16,695	35,848	42,038	1,00	49,14	D	C
ATOM	12267	CB	LYS	D	187	17,955	36,032	42,900	1,00	48,68	D	C
ATOM	12270	CG	LYS	D	187	18,781	34,753	43,136	1,00	48,91	D	C
ATOM	12273	CD	LYS	D	187	18,387	33,996	44,416	1,00	48,78	D	C
ATOM	12278	C	LYS	D	187	15,831	37,099	42,132	1,00	49,74	D	C
ATOM	12279	O	LYS	D	187	15,143	37,296	43,125	1,00	50,12	D	C
ATOM	12281	N	SER	D	188	15,831	37,922	41,088	1,00	50,58	D	N
ATOM	12282	CA	SER	D	188	15,156	39,214	41,155	1,00	51,07	D	C
ATOM	12284	CB	SER	D	188	15,909	40,225	40,281	1,00	51,52	D	C
ATOM	12287	OG	SER	D	188	15,764	39,883	38,912	1,00	52,85	D	O
ATOM	12289	C	SER	D	188	13,669	39,198	40,771	1,00	50,81	D	C
ATOM	12290	O	SER	D	188	13,057	40,271	40,670	1,00	51,42	D	C
ATOM	12292	N	HIS	D	189	13,085	38,020	40,549	1,00	50,20	D	N
ATOM	12293	CA	HIS	D	189	11,628	37,903	40,326	1,00	49,84	D	C

ES 2 540 538 T3

ATOM	12295	CB	HIS	D	189	11,303	37,502	38,883	1,00	50,71	D	C
ATOM	12298	CG	HIS	D	189	11,635	38,548	37,868	1,00	53,06	D	C
ATOM	12299	ND1	HIS	D	189	10,792	39,602	37,583	1,00	57,11	D	N
ATOM	12301	CE1	HIS	D	189	11,336	40,361	36,647	1,00	57,54	D	C
ATOM	12303	NE2	HIS	D	189	12,504	39,837	36,316	1,00	57,63	D	N
ATOM	12305	CD2	HIS	D	189	12,710	38,697	37,059	1,00	55,78	D	C
ATOM	12307	C	HIS	D	189	11,010	36,867	41,279	1,00	48,63	D	C
ATOM	12308	O	HIS	D	189	11,698	35,972	41,778	1,00	47,50	D	O
ATOM	12310	N	ARG	D	190	9,709	37,002	41,517	1,00	47,17	D	N
ATOM	12311	CA	ARG	D	190	9,028	36,219	42,538	1,00	46,92	D	C
ATOM	12313	CB	ARG	D	190	7,709	36,893	42,969	1,00	46,62	D	C
ATOM	12322	C	ARG	D	190	8,732	34,823	42,034	1,00	46,26	D	C
ATOM	12323	O	ARG	D	190	8,583	33,897	42,814	1,00	45,98	D	O
ATOM	12325	N	SER	D	191	8,649	34,680	40,721	1,00	45,96	D	N
ATOM	12325	CA	SER	D	191	8,066	33,505	40,115	1,00	45,44	D	C
ATOM	12328	CB	SER	D	191	6,549	33,618	40,241	1,00	45,52	D	C
ATOM	12331	OG	SER	D	191	5,887	32,757	39,346	1,00	47,64	D	O
ATOM	12333	C	SER	D	191	8,446	33,458	38,637	1,00	44,67	D	C
ATOM	12334	O	SER	D	191	8,533	34,495	37,989	1,00	44,91	D	O
ATOM	12336	N	TYR	D	192	8,677	32,256	38,120	1,00	43,05	D	N
ATOM	12337	CA	TYR	D	192	8,727	32,038	36,690	1,00	42,53	D	C
ATOM	12339	CB	TYR	D	192	10,134	31,664	36,247	1,00	42,53	D	C
ATOM	12342	CG	TYR	D	192	11,109	32,807	36,213	1,00	44,43	D	C
ATOM	12343	CD1	TYR	D	192	11,364	33,481	35,028	1,00	44,79	D	C
ATOM	12345	CE1	TYR	D	192	12,276	34,521	34,981	1,00	46,29	D	C
ATOM	12347	CZ	TYR	D	192	12,950	34,894	36,127	1,00	45,99	D	C
ATOM	12348	OH	TYR	D	192	13,844	35,932	36,060	1,00	48,64	D	O
ATOM	12350	CE2	TYR	D	192	12,731	34,228	37,322	1,00	45,25	D	C
ATOM	12352	CD2	TYR	D	192	11,816	33,193	37,365	1,00	44,51	D	C
ATOM	12354	C	TYR	D	192	7,780	30,899	36,337	1,00	41,45	D	C
ATOM	12355	O	TYR	D	192	7,592	29,975	37,116	1,00	39,70	D	O
ATOM	12357	N	SER	D	193	7,225	30,933	35,136	1,00	40,41	D	N
ATOM	12358	CA	SER	D	193	6,399	29,832	34,722	1,00	40,18	D	C
ATOM	12360	CB	SER	D	193	4,942	30,227	34,857	1,00	40,16	D	C
ATOM	12363	OG	SER	D	193	4,757	31,453	34,222	1,00	43,26	D	O
ATOM	12365	C	SER	D	193	6,718	29,329	33,318	1,00	39,45	D	C
ATOM	12366	O	SER	D	193	7,060	30,098	32,427	1,00	39,36	D	O
ATOM	12368	N	CYS	D	194	6,623	28,021	33,158	1,00	38,90	D	N
ATOM	12369	CA	CYS	D	194	6,616	27,381	31,872	1,00	39,36	D	C
ATOM	12371	CB	CYS	D	194	7,515	26,160	31,861	1,00	38,92	D	C
ATOM	12374	SG	CYS	D	194	7,468	25,294	30,297	1,00	38,33	D	S
ATOM	12376	C	CYS	D	194	5,185	26,976	31,535	1,00	40,29	D	C
ATOM	12377	O	CYS	D	194	4,556	26,225	32,273	1,00	40,39	D	O
ATOM	12379	N	ARG	D	195	4,700	27,462	30,399	1,00	40,97	D	N
ATOM	12380	CA	ARG	D	195	3,319	27,305	29,997	1,00	42,00	D	C
ATOM	12382	CB	ARG	D	195	2,680	28,688	29,986	1,00	42,61	D	C
ATOM	12385	CG	ARG	D	195	1,346	28,828	29,278	1,00	47,40	D	C
ATOM	12388	CD	ARG	D	195	0,872	30,300	29,361	1,00	53,15	D	C
ATOM	12391	NE	ARG	D	195	-0,279	30,559	28,498	1,00	58,12	D	N
ATOM	12393	CZ	ARG	D	195	-1,554	30,317	28,825	1,00	62,91	D	C
ATOM	12394	NH1	ARG	D	195	-1,875	29,806	30,012	1,00	64,34	D	N
ATOM	12397	NH2	ARG	D	195	-2,527	30,584	27,952	1,00	64,38	D	N
ATOM	12400	C	ARG	D	195	3,237	26,590	28,637	1,00	41,41	D	C
ATOM	12401	O	ARG	D	195	3,657	27,121	27,595	1,00	41,72	D	O
ATOM	12403	N	VAL	D	196	2,678	25,390	28,662	1,00	40,62	D	N
ATOM	12404	CA	VAL	D	196	2,621	24,515	27,508	1,00	40,49	D	C
ATOM	12406	CB	VAL	D	196	3,165	23,138	27,882	1,00	40,41	D	C
ATOM	12408	CG1	VAL	D	196	3,026	22,172	26,707	1,00	40,35	D	C
ATOM	12412	CG2	VAL	D	196	4,623	23,244	28,359	1,00	39,06	D	C
ATOM	12416	C	VAL	D	196	1,183	24,347	27,001	1,00	41,18	D	C

ES 2 540 538 T3

ATOM	12417	O	VAL	D	196	0,324	23,821	27,721	1,00	41,23	D	O
ATOM	12419	N	THR	D	197	0,908	24,794	25,776	1,00	41,50	D	N
ATOM	12420	CA	THR	D	197	-0,425	24,610	25,180	1,00	41,73	D	C
ATOM	12422	CB	THR	D	197	-0,892	25,880	24,477	1,00	41,81	D	C
ATOM	12424	OG1	THR	D	197	-0,832	26,983	25,390	1,00	41,23	D	O
ATOM	12426	CG2	THR	D	197	-2,320	25,736	23,999	1,00	42,52	D	C
ATOM	12430	C	THR	D	197	-0,456	23,402	24,206	1,00	42,41	D	C
ATOM	12431	O	THR	D	197	0,383	23,310	23,305	1,00	42,31	D	O
ATOM	12433	N	HIS	D	198	-1,407	22,483	24,414	1,00	42,79	D	N
ATOM	12434	CA	HIS	D	198	-1,596	21,303	23,560	1,00	44,10	D	C
ATOM	12436	CB	HIS	D	198	-1,004	20,070	24,229	1,00	43,83	D	C
ATOM	12439	CG	HIS	D	198	-1,189	18,787	23,459	1,00	44,73	D	C
ATOM	12440	ND1	HIS	D	198	-0,501	18,501	22,295	1,00	44,77	D	N
ATOM	12442	CE1	HIS	D	198	-0,823	17,287	21,884	1,00	43,76	D	C
ATOM	12444	NE2	HIS	D	198	-1,680	16,764	22,743	1,00	44,22	D	N
ATOM	12446	CD2	HIS	D	198	-1,922	17,681	23,738	1,00	43,54	D	C
ATOM	12448	C	HIS	D	198	-3,080	21,044	23,273	1,00	45,45	D	C
ATOM	12449	O	HIS	D	198	-3,867	20,774	24,208	1,00	45,08	D	O
ATOM	12451	N	GLU	D	199	-3,445	21,117	21,987	1,00	46,36	D	N
ATOM	12452	CA	GLU	D	199	-4,816	20,900	21,542	1,00	47,79	D	C
ATOM	12454	CB	GLU	D	199	-5,167	19,398	21,586	1,00	48,43	D	C
ATOM	12457	CG	GLU	D	199	-4,371	18,510	20,588	1,00	50,76	D	C
ATOM	12460	CD	GLU	D	199	-4,585	18,918	19,131	1,00	52,67	D	C
ATOM	12461	OE1	GLU	D	199	-5,767	19,078	18,746	1,00	56,09	D	O
ATOM	12462	OE2	GLU	D	199	-3,585	19,082	18,382	1,00	51,68	D	O
ATOM	12463	C	GLU	D	199	-5,790	21,696	22,410	1,00	47,83	D	C
ATOM	12464	O	GLU	D	199	-6,659	21,122	23,067	1,00	48,55	D	O
ATOM	12466	N	GLY	D	200	-5,607	23,009	22,468	1,00	47,81	D	N
ATOM	12467	CA	GLY	D	200	-6,545	23,869	23,177	1,00	48,10	D	C
ATOM	12470	C	GLY	D	200	-6,363	23,956	24,677	1,00	48,26	D	C
ATOM	12471	O	GLY	D	200	-6,686	24,980	25,273	1,00	49,17	D	O
ATOM	12473	N	SER	D	203	-5,837	22,913	25,305	1,00	47,94	D	N
ATOM	12474	CA	SER	D	203	-5,622	22,956	26,736	1,00	47,96	D	C
ATOM	12476	CB	SER	D	203	-6,106	21,645	27,378	1,00	47,81	D	C
ATOM	12479	OG	SER	D	203	-5,035	20,768	27,612	1,00	51,20	D	O
ATOM	12481	C	SER	D	203	-4,149	23,322	27,077	1,00	47,51	D	C
ATOM	12482	O	SER	D	203	-3,208	22,964	26,364	1,00	47,50	D	O
ATOM	12484	N	THR	D	204	-3,987	24,081	28,156	1,00	46,64	D	N
ATOM	12485	CA	THR	D	204	-2,709	24,623	28,599	1,00	45,65	D	C
ATOM	12487	CB	THR	D	204	-2,782	26,138	28,685	1,00	45,40	D	C
ATOM	12489	OG1	THR	D	204	-2,722	26,722	27,379	1,00	44,50	D	O
ATOM	12491	CG2	THR	D	204	-1,649	26,665	29,522	1,00	45,84	D	C
ATOM	12495	C	THR	D	204	-2,342	24,119	30,004	1,00	45,52	D	C
ATOM	12496	O	THR	D	204	-3,115	24,288	30,954	1,00	45,03	D	O
ATOM	12498	N	VAL	D	205	-1,162	23,517	30,132	1,00	45,34	D	N
ATOM	12499	CA	VAL	D	205	-0,585	23,164	31,426	1,00	44,99	D	C
ATOM	12501	CB	VAL	D	205	-0,022	21,764	31,414	1,00	44,91	D	C
ATOM	12503	CG1	VAL	D	205	0,590	21,450	32,740	1,00	44,97	D	C
ATOM	12507	CG2	VAL	D	205	-1,086	20,777	31,066	1,00	45,39	D	C
ATOM	12511	C	VAL	D	205	0,570	24,108	31,764	1,00	45,13	D	C
ATOM	12512	O	VAL	D	205	1,516	24,274	30,974	1,00	44,93	D	O
ATOM	12514	N	GLU	D	206	0,513	24,686	32,959	1,00	44,54	D	N
ATOM	12515	CA	GLU	D	206	1,449	25,690	33,362	1,00	44,59	D	C
ATOM	12517	CB	GLU	D	206	0,722	27,027	33,396	1,00	45,06	D	C
ATOM	12520	CG	GLU	D	206	1,356	28,067	34,284	1,00	47,42	D	C
ATOM	12523	CD	GLU	D	206	0,928	29,474	33,904	1,00	50,28	D	C
ATOM	12524	OE1	GLU	D	206	-0,195	29,633	33,348	1,00	50,11	D	O
ATOM	12525	OE2	GLU	D	206	1,742	30,409	34,130	1,00	52,94	D	O
ATOM	12526	C	GLU	D	206	2,065	25,361	34,718	1,00	44,07	D	C
ATOM	12527	O	GLU	D	206	1,346	25,188	35,710	1,00	44,87	D	O

ES 2 540 538 T3

ATOM	12529	N	LYS	D	207	3,391	25,293	34,770	1,00	42,68	D	N
ATOM	12530	CA	LYS	D	207	4,100	24,991	36,013	1,00	41,74	D	C
ATOM	12532	CB	LYS	D	207	4,983	23,765	35,869	1,00	40,89	D	C
ATOM	12535	CG	LYS	D	207	4,244	22,548	35,468	1,00	40,76	D	C
ATOM	12538	CD	LYS	D	207	3,792	21,691	36,658	1,00	39,60	D	C
ATOM	12541	CE	LYS	D	207	2,851	20,586	36,156	1,00	39,02	D	C
ATOM	12544	NZ	LYS	D	207	3,296	19,207	36,592	1,00	39,28	D	N
ATOM	12548	C	LYS	D	207	4,936	26,172	36,442	1,00	41,46	D	C
ATOM	12549	O	LYS	D	207	5,328	26,999	35,619	1,00	41,28	D	O
ATOM	12551	N	THR	D	208	5,188	26,263	37,747	1,00	40,96	D	N
ATOM	12552	CA	THR	D	208	5,826	27,429	38,300	1,00	40,93	D	C
ATOM	12554	CB	THR	D	208	4,790	28,369	38,978	1,00	41,32	D	C
ATOM	12556	OG1	THR	D	208	3,700	28,647	38,064	1,00	42,13	D	O
ATOM	12558	CG2	THR	D	208	5,409	29,688	39,313	1,00	40,95	D	C
ATOM	12562	C	THR	D	208	6,989	27,051	39,221	1,00	41,01	D	C
ATOM	12563	O	THR	D	208	7,052	25,972	39,835	1,00	40,80	D	O
ATOM	12565	N	VAL	D	209	7,944	27,953	39,267	1,00	40,96	D	N
ATOM	12566	CA	VAL	D	209	9,111	27,769	40,064	1,00	41,48	D	C
ATOM	12568	CB	VAL	D	209	10,230	27,194	39,164	1,00	41,27	D	C
ATOM	12570	CG1	VAL	D	209	11,131	28,296	38,608	1,00	39,44	D	C
ATOM	12574	CG2	VAL	D	209	10,991	26,133	39,897	1,00	41,52	D	C
ATOM	12578	C	VAL	D	209	9,418	29,142	40,688	1,00	42,15	D	C
ATOM	12579	O	VAL	D	209	9,230	30,162	40,038	1,00	42,03	D	O
ATOM	12581	N	ALA	D	210	9,855	29,151	41,946	1,00	43,26	D	N
ATOM	12582	CA	ALA	D	210	10,060	30,379	42,720	1,00	43,96	D	C
ATOM	12584	CB	ALA	D	210	8,978	30,520	43,752	1,00	44,60	D	C
ATOM	12588	C	ALA	D	210	11,435	30,353	43,388	1,00	44,83	D	C
ATOM	12589	O	ALA	D	210	11,779	29,393	44,085	1,00	44,93	D	O
ATOM	12591	N	PRO	D	211	12,243	31,397	43,154	1,00	45,74	D	N
ATOM	12592	CA	PRO	D	211	13,605	31,450	43,662	1,00	46,72	D	C
ATOM	12594	CB	PRO	D	211	14,206	32,660	42,941	1,00	46,85	D	C
ATOM	12597	CG	PRO	D	211	13,096	33,432	42,466	1,00	46,21	D	C
ATOM	12600	CD	PRO	D	211	11,953	32,522	42,250	1,00	45,68	D	C
ATOM	12603	C	PRO	D	211	13,759	31,638	45,166	1,00	47,93	D	C
ATOM	12604	O	PRO	D	211	14,873	31,494	45,667	1,00	47,80	D	O
ATOM	12605	N	ALA	D	212	12,675	31,968	45,876	1,00	49,38	D	N
ATOM	12606	CA	ALA	D	212	12,686	32,004	47,356	1,00	50,03	D	C
ATOM	12608	CB	ALA	D	212	11,503	32,817	47,875	1,00	50,26	D	C
ATOM	12612	C	ALA	D	212	12,667	30,596	47,957	1,00	50,62	D	C
ATOM	12613	O	ALA	D	212	11,831	29,757	47,591	1,00	52,02	D	O
TER												
HETATM	12615	O	HOH	W	1	8,499	8,717	-20,872	1,00	54,80	W	O
HETATM	12618	O	HOH	W	2	37,448	9,905	-10,211	1,00	25,85	W	O
HETATM	12621	O	HOH	W	3	29,708	29,260	11,327	1,00	27,99	W	O
HETATM	12624	O	HOH	W	4	63,316	17,379	33,894	1,00	37,34	W	O
HETATM	12627	O	HOH	W	5	36,314	20,342	-4,375	1,00	44,17	W	O
HETATM	12630	O	HOH	W	6	35,007	29,277	69,872	1,00	58,84	W	O
HETATM	12633	O	HOH	W	7	44,071	22,582	29,748	1,00	23,48	W	O
HETATM	12636	O	HOH	W	8	34,312	6,070	8,656	1,00	43,31	W	O
HETATM	12639	O	HOH	W	9	59,638	31,927	26,532	1,00	32,96	W	O
HETATM	12642	O	HOH	W	10	27,115	11,253	56,356	1,00	38,81	W	O
HETATM	12645	O	HOH	W	11	28,294	-6,137	-10,164	1,00	31,54	W	O
HETATM	12648	O	HOH	W	12	34,818	16,225	-11,086	1,00	33,68	W	O
HETATM	12651	O	HOH	W	13	47,769	37,345	39,862	1,00	50,62	W	O
HETATM	12654	O	HOH	W	14	18,469	23,752	36,003	1,00	29,88	W	O
HETATM	12657	O	HOH	W	15	30,267	23,685	80,641	1,00	34,93	W	O
HETATM	12660	O	HOH	W	16	17,046	17,680	-6,893	1,00	30,90	W	O
HETATM	12663	O	HOH	W	17	22,819	19,161	59,741	1,00	29,98	W	O
HETATM	12666	O	HOH	W	18	44,724	11,382	81,514	1,00	27,92	W	O
HETATM	12669	O	HOH	W	19	61,537	10,174	22,001	1,00	43,13	W	O

ES 2 540 538 T3

HETATM	12672	O	HOH	W	20	26,557	23,517	44,888	1,00	40,68	W	O
HETATM	12675	O	HOH	W	21	33,514	25,296	21,920	1,00	42,47	W	O
HETATM	12678	O	HOH	W	22	45,098	23,719	75,029	1,00	42,10	W	O
HETATM	12681	O	HOH	W	23	22,326	14,765	75,026	1,00	32,89	W	O
HETATM	12684	O	HOH	W	24	19,144	26,752	63,928	1,00	48,17	W	O
HETATM	12687	O	HOH	W	25	43,593	7,634	65,187	1,00	31,66	W	O
HETATM	12690	O	HOH	W	26	20,716	15,939	69,752	1,00	34,66	W	O
HETATM	12693	O	HOH	W	27	22,712	-0,187	0,996	1,00	33,05	W	O
HETATM	12696	O	HOH	W	28	20,770	9,753	75,577	1,00	47,55	W	O
HETATM	12699	O	HOH	W	29	29,522	7,212	12,652	1,00	35,83	W	O
HETATM	12702	O	HOH	W	30	32,325	20,205	-9,402	1,00	42,82	W	O
HETATM	12705	O	HOH	W	31	33,175	12,637	53,403	1,00	41,33	W	O
HETATM	12708	O	HOH	W	32	36,513	13,681	46,869	1,00	32,99	W	O
HETATM	12711	O	HOH	W	33	38,942	5,050	0,309	1,00	35,93	W	O
HETATM	12714	O	HOH	W	34	34,100	20,006	53,810	1,00	36,76	W	O
HETATM	12717	O	HOH	W	35	5,326	33,632	36,271	1,00	41,06	W	O
HETATM	12720	O	HOH	W	36	23,279	21,733	42,977	1,00	38,08	W	O
HETATM	12723	O	HOH	W	37	6,776	-6,427	-7,418	1,00	57,94	W	O
HETATM	12726	O	HOH	W	38	1,077	4,801	-15,716	1,00	45,59	W	O
HETATM	12729	O	HOH	W	39	65,931	12,105	27,759	1,00	53,27	W	O
HETATM	12732	O	HOH	W	40	20,842	8,323	26,257	1,00	28,44	W	O
HETATM	12735	O	HOH	W	41	38,625	14,048	4,947	1,00	32,67	W	O
HETATM	12738	O	HOH	W	42	28,579	10,282	23,151	1,00	31,23	W	O
HETATM	12741	O	HOH	W	43	31,755	24,040	0,417	1,00	36,84	W	O
HETATM	12744	O	HOH	W	44	15,072	20,966	17,849	1,00	29,23	W	O
HETATM	12747	O	HOH	W	45	44,349	6,057	69,623	1,00	36,20	W	O
HETATM	12750	O	HOH	W	46	36,793	-0,115	-16,795	1,00	41,09	W	O
HETATM	12753	O	HOH	W	47	39,617	5,353	84,589	1,00	43,83	W	O
HETATM	12756	O	HOH	W	48	23,570	25,025	0,081	1,00	41,75	W	O
HETATM	12759	O	HOH	W	49	41,095	13,478	25,345	1,00	38,24	W	O
HETATM	12762	O	HOH	W	50	29,038	29,312	65,036	1,00	38,19	W	O
HETATM	12765	O	HOH	W	51	47,562	25,843	21,241	1,00	39,82	W	O
HETATM	12768	O	HOH	W	52	14,555	19,039	-7,350	1,00	47,21	W	O
HETATM	12771	O	HOH	W	53	23,973	14,109	-12,665	1,00	27,75	W	O
HETATM	12774	O	HOH	W	54	39,736	29,832	39,102	1,00	39,96	W	O
HETATM	12777	O	HOH	W	55	46,857	30,068	37,735	1,00	30,68	W	O
HETATM	12780	O	HOH	W	56	44,275	0,662	79,441	1,00	49,95	W	O
HETATM	12783	O	HOH	W	57	36,070	17,880	30,052	1,00	52,65	W	O
HETATM	12786	O	HOH	W	58	69,397	13,883	41,355	1,00	38,05	W	O
HETATM	12789	O	HOH	W	59	44,282	8,836	84,222	1,00	50,89	W	O
HETATM	12792	O	HOH	W	60	19,863	14,967	20,860	1,00	32,92	W	O
HETATM	12795	O	HOH	W	61	22,267	23,144	6068	1,00	34,05	W	O
HETATM	12798	O	HOH	W	62	34,189	33,876	60,427	1,00	32,90	W	O
HETATM	12801	O	HOH	W	63	15,845	1,130	-2,723	1,00	30,02	W	O
HETATM	12804	O	HOH	W	64	43,467	2,746	71,761	1,00	54,18	W	O
HETATM	12807	O	HOH	W	65	38,773	3,393	-18,299	1,00	50,52	W	O
HETATM	12810	O	HOH	W	66	27,075	19,459	53,431	1,00	38,24	W	O
HETATM	12813	O	HOH	W	67	28,870	26,769	51,401	1,00	34,72	W	O
HETATM	12816	O	HOH	W	68	13,371	28,745	20,458	1,00	40,66	W	O
HETATM	12819	O	HOH	W	69	41,636	10,410	59,405	1,00	41,53	W	O
HETATM	12822	O	HOH	W	70	26,590	9,160	9,621	1,00	31,13	W	O
HETATM	12825	O	HOH	W	71	41,581	13,691	-3,357	1,00	43,03	W	O
HETATM	12828	O	HOH	W	72	14,821	20,798	41,625	1,00	30,01	W	O
HETATM	12831	O	HOH	W	73	26,262	4,254	38,332	1,00	42,12	W	O
HETATM	12834	O	HOH	W	74	27,479	11,760	-18,915	1,00	55,62	W	O
HETATM	12837	O	HOH	W	75	41,226	9,385	-1,031	1,00	42,86	W	O
HETATM	12840	O	HOH	W	76	34,334	23,532	-1,043	1,00	29,93	W	O
HETATM	12843	O	HOH	W	77	2,309	17,723	34,408	1,00	44,11	W	O
HETATM	12846	O	HOH	W	78	31,455	28,397	66,670	1,00	41,63	W	O
HETATM	12849	O	HOH	W	79	63,618	29,904	38,501	1,00	39,06	W	O

ES 2 540 538 T3

HETATM	12852	O	HOH	W	80	36,420	12,120	-11,305	1,00	43,01	W	O
HETATM	12855	O	HOH	W	81	22,273	4,873	81,281	1,00	39,77	W	O
HETATM	12858	O	HOH	W	82	35,640	14,837	56,431	1,00	35,41	W	O
HETATM	12861	O	HOH	W	83	24,778	21,217	76,560	1,00	37,29	W	O
HETATM	12864	O	HOH	W	84	55,535	23,856	61,149	1,00	58,84	W	O
HETATM	12867	O	HOH	W	85	24,224	18,712	69,596	1,00	34,76	W	O
HETATM	12870	O	HOH	W	86	27,039	4,310	7,910	1,00	51,25	W	O
HETATM	12873	O	HOH	W	87	32,930	22,041	14,455	1,00	31,02	W	O
HETATM	12876	O	HOH	W	88	33,662	8,919	26,695	1,00	39,91	W	O
HETATM	12879	O	HOH	W	89	53,135	14,621	46,280	1,00	52,45	W	O
HETATM	12882	O	HOH	W	90	45,277	4,200	39,474	1,00	47,20	W	O
HETATM	12885	O	HOH	W	91	2,897	18,910	39,485	1,00	48,52	W	O
HETATM	12888	O	HOH	W	92	27,999	15,072	11,945	1,00	29,07	W	O
HETATM	12891	O	HOH	W	93	42,039	30,938	31,576	1,00	54,70	W	O
HETATM	12894	O	HOH	W	94	22,713	24,460	-3,405	1,00	59,56	W	O
HETATM	12897	O	HOH	W	95	26,490	20,865	0,388	1,00	24,68	W	O
HETATM	12900	O	HOH	W	96	11,929	10,404	17,110	1,00	48,87	W	O
HETATM	12903	O	HOH	W	97	50,590	25,095	48,654	1,00	38,98	W	O
HETATM	12906	O	HOH	W	98	36,736	7,493	-11,448	1,00	29,60	W	O
HETATM	12909	O	HOH	W	99	24,959	-1,505	-15,524	1,00	40,10	W	O
HETATM	12912	O	HOH	W	100	34,813	14,581	51,040	1,00	35,62	W	O
HETATM	12915	O	HOH	W	101	29,060	23,482	-0,894	1,00	33,54	W	O
HETATM	12918	O	HOH	W	102	28,273	8,795	62,221	1,00	33,24	W	O
HETATM	12921	O	HOH	W	103	8,261	32,675	25,988	1,00	37,09	W	O
HETATM	12924	O	HOH	W	104	47,189	22,289	69,915	1,00	34,59	W	O
HETATM	12927	O	HOH	W	105	47,303	25,688	66,663	1,00	43,74	W	O
HETATM	12930	O	HOH	W	106	46,241	18,321	26,378	1,00	25,44	W	O
HETATM	12933	O	HOH	W	107	28,649	18,493	-14,805	1,00	36,16	W	O
HETATM	12936	O	HOH	W	108	32,733	10,315	6,456	1,00	30,75	W	O
HETATM	12939	O	HOH	W	109	8,116	-0,071	2,569	1,00	47,27	W	O
HETATM	12942	O	HOH	W	110	16,974	22,896	19,017	1,00	43,46	W	O
HETATM	12945	O	HOH	W	111	33,952	7,842	59,493	1,00	41,83	W	O
HETATM	12948	O	HOH	W	112	18,225	28,742	26,922	1,00	30,17	W	O
HETATM	12951	O	HOH	W	113	28,786	15,405	58,888	1,00	33,82	W	O
HETATM	12954	O	HOH	W	114	1,703	10,486	14,020	1,00	55,58	W	O
HETATM	12957	O	HOH	W	115	35,195	17,046	51,749	1,00	42,18	W	O
HETATM	12960	O	HOH	W	116	7,468	11,951	13,160	1,00	47,98	W	O
HETATM	12963	O	HOH	W	117	34,311	25,896	65,642	1,00	22,19	W	O
HETATM	12966	O	HOH	W	118	37,229	30,306	65,813	1,00	49,82	W	O
HETATM	12969	O	HOH	W	119	57,092	26,796	70,768	1,00	52,51	W	O
HETATM	12972	O	HOH	W	120	1,029	18,937	-6,903	1,00	49,85	W	O
HETATM	12975	O	HOH	W	121	21,871	23,307	66,081	1,00	46,42	W	O
HETATM	12978	O	HOH	W	122	52,669	4,847	64,738	1,00	61,08	W	O
HETATM	12981	O	HOH	W	123	17,884	19,234	1,672	1,00	31,80	W	O
HETATM	12984	O	HOH	W	124	9,457	4,037	31,649	1,00	50,32	W	O
HETATM	12987	O	HOH	W	125	10,344	18,337	8,751	1,00	56,85	W	O
HETATM	12990	O	HOH	W	126	50,808	7,227	18,692	1,00	58,78	W	O
HETATM	12993	O	HOH	W	127	72,592	26,019	46,425	1,00	50,44	W	O
HETATM	12996	O	HOH	W	128	0,442	14,595	33,847	1,00	46,64	W	O
HETATM	12999	O	HOH	W	129	43,773	4,694	-7,777	1,00	62,49	W	O
HETATM	13002	O	HOH	W	130	20,496	9,909	45,114	1,00	38,47	W	O
HETATM	13005	O	HOH	W	131	50,298	18,101	25,912	1,00	30,67	W	O
HETATM	13008	O	HOH	W	132	33,785	28,021	2,902	1,00	32,49	W	O
HETATM	13011	O	HOH	W	133	27,271	28,580	5,200	1,00	33,21	W	O
HETATM	13014	O	HOH	W	134	48,265	9,766	62,966	1,00	37,46	W	O
HETATM	13017	O	HOH	W	135	37,021	2,431	0,305	1,00	36,52	W	O
HETATM	13020	O	HOH	W	136	58,329	30,019	43,124	1,00	34,03	W	O
HETATM	13023	O	HOH	W	137	18,872	21,057	41,323	1,00	32,97	W	O
HETATM	13026	O	HOH	W	138	57,704	18,806	29,741	1,00	37,32	W	O
HETATM	13029	O	HOH	W	139	16,331	18,568	26,230	1,00	31,09	W	O

ES 2 540 538 T3

HETATM	13032	O	HOH	W	140	52,236	31,737	43,552	1,00	46,38	W	O
HETATM	13035	O	HOH	W	141	47,863	8,758	25,332	1,00	41,57	W	O
HETATM	13038	O	HOH	W	142	39,004	3,296	33,589	1,00	45,97	W	O
HETATM	13041	O	HOH	W	143	41,129	1,331	31,049	1,00	49,57	W	O
HETATM	13044	O	HOH	W	144	12,199	11,241	22,745	1,00	52,88	W	O
HETATM	13047	O	HOH	W	145	46,878	4,444	70,328	1,00	36,97	W	O
HETATM	13050	O	HOH	W	146	25,678	28,153	25,562	1,00	39,98	W	O
HETATM	13053	O	HOH	W	147	35,532	31,966	19,304	1,00	48,23	W	O
HETATM	13056	O	HOH	W	148	10,826	20,707	-23,109	1,00	50,27	W	O
HETATM	13059	O	HOH	W	149	20,700	17,253	17,915	1,00	43,86	W	O
HETATM	13062	O	HOH	W	150	24,013	19,699	-16,290	1,00	55,10	W	O
HETATM	13065	O	HOH	W	151	41,955	19,032	24,546	1,00	40,60	W	O
HETATM	13068	O	HOH	W	152	35,497	18,957	79,079	1,00	37,13	W	O
HETATM	13071	O	HOH	W	153	26,573	17,885	16,613	1,00	38,56	W	O
HETATM	13074	O	HOH	W	154	11,748	4,410	37,962	1,00	43,54	W	O
HETATM	13077	O	HOH	W	155	-4,172	18,122	25,333	1,00	40,85	W	O
HETATM	13080	O	HOH	W	156	5,790	2,201	16,874	1,00	63,13	W	O
HETATM	13083	O	HOH	W	157	-8,987	9,924	1,682	1,00	60,14	W	O
HETATM	13086	O	HOH	W	158	-2,664	14,790	31,938	1,00	50,82	W	O
HETATM	13089	O	HOH	W	159	29,505	31,854	41,404	1,00	54,03	W	O
HETATM	13092	O	HOH	W	160	54,018	14,562	19,190	1,00	46,93	W	O
HETATM	13095	O	HOH	W	161	32,869	-0,254	77,655	1,00	53,38	W	O
HETATM	13098	O	HOH	W	162	34,858	-1,063	-9,543	1,00	39,16	W	O
HETATM	13101	O	HOH	W	163	42,941	24,392	65,791	1,00	22,64	W	O
HETATM	13104	O	HOH	W	164	12,950	27,417	43,218	1,00	48,59	W	O
HETATM	13107	O	HOH	W	165	13,759	17,726	23,762	1,00	30,05	W	O
HETATM	13110	O	HOH	W	166	26,137	29,393	2,666	1,00	43,49	W	O
HETATM	13113	O	HOH	W	167	26,164	18,591	82,779	1,00	51,62	W	O
HETATM	13116	O	HOH	W	168	42,496	22,888	74,171	1,00	42,18	W	O
HETATM	13119	O	HOH	W	169	41,308	7,385	64,288	1,00	41,53	W	O
HETATM	13122	O	HOH	W	170	29,598	8,899	2,504	1,00	28,64	W	O
HETATM	13125	O	HOH	W	171	21,364	16,942	43,864	1,00	42,77	W	O
HETATM	13128	O	HOH	W	172	23,413	19,047	75,386	1,00	46,27	W	O
HETATM	13131	O	HOH	W	173	61,987	35,026	35,208	1,00	54,60	W	O
HETATM	13134	O	HOH	W	174	17,504	0,546	-0,587	1,00	41,34	W	O
HETATM	13137	O	HOH	W	175	14,169	0,090	36,572	1,00	45,83	W	O
HETATM	13140	O	HOH	W	176	33,952	12,061	58,319	1,00	39,34	W	O
HETATM	13143	O	HOH	W	177	-1,095	9,644	-12,829	1,00	54,40	W	O
HETATM	13146	O	HOH	W	178	1,974	28,087	25,746	1,00	42,14	W	O
HETATM	13149	O	HOH	W	179	9,522	2,376	18,092	1,00	56,59	W	O
HETATM	13152	O	HOH	W	180	43,576	13,688	25,135	1,00	38,37	W	O
HETATM	13155	O	HOH	W	181	56,933	34,309	36,994	1,00	34,14	W	O
HETATM	13158	O	HOH	W	182	24,881	3,851	74,243	1,00	43,80	W	O
HETATM	13161	O	HOH	W	183	60,883	19,217	61,842	1,00	55,47	W	O
HETATM	13164	O	HOH	W	184	27,188	33,044	61,924	1,00	36,12	W	O
HETATM	13167	O	HOH	W	185	35,035	14,216	11,761	1,00	38,83	W	O
HETATM	13170	O	HOH	W	186	5,187	21,392	-19,097	1,00	54,47	W	O
HETATM	13173	O	HOH	W	187	41,205	3,919	0,968	1,00	47,36	W	O
HETATM	13176	O	HOH	W	188	53,372	26,330	78,972	1,00	58,68	W	O
HETATM	13179	O	HOH	W	189	62,735	3,195	73,452	1,00	53,71	W	O
HETATM	13182	O	HOH	W	190	60,387	15,071	81,554	1,00	62,79	W	O
HETATM	13185	O	HOH	W	191	54,796	24,202	69,273	1,00	47,77	W	O
HETATM	13188	O	HOH	W	192	26,097	7,024	-20,722	1,00	41,55	W	O
HETATM	13191	O	HOH	W	193	35,939	13,422	-15,584	1,00	55,86	W	O
HETATM	13194	O	HOH	W	194	14,386	11,198	8,905	1,00	69,27	W	O
HETATM	13197	O	HOH	W	195	35,727	9,704	10,011	1,00	56,20	W	O
HETATM	13200	O	HOH	W	196	25,920	6,986	29,435	1,00	55,85	W	O
HETATM	13203	O	HOH	W	197	35,662	8,906	28,712	1,00	61,97	W	O
HETATM	13206	O	HOH	W	198	26,351	-5,162	-11,568	1,00	42,69	W	O
HETATM	13209	O	HOH	W	199	40,930	6,899	-9,162	1,00	56,25	W	O

ES 2 540 538 T3

HETATM	13212	O	HOH	W	200	39,054	4,494	-15,378	1,00	59,13	W	O
HETATM	13215	O	HOH	W	201	69,554	3,510	65,950	1,00	66,41	W	O
HETATM	13218	O	HOH	W	202	53,576	24,614	71,550	1,00	40,01	W	O
HETATM	13221	O	HOH	W	203	48,954	20,598	41,453	1,00	28,69	W	O
HETATM	13224	O	HOH	W	204	21,520	-4,294	-9,976	1,00	49,20	W	O
HETATM	13227	O	HOH	W	205	40,444	6,819	78,202	1,00	37,87	W	O
HETATM	13230	O	HOH	W	206	16,878	21,956	39,905	1,00	33,54	W	O
HETATM	13233	O	HOH	W	207	9,310	28,289	23,064	1,00	36,86	W	O
HETATM	13236	O	HOH	W	208	38,852	7,415	85,809	1,00	49,26	W	O
HETATM	13239	O	HOH	W	209	26,082	25,051	0,943	1,00	36,23	W	O
HETATM	13242	O	HOH	W	210	49,127	18,465	63,114	1,00	33,90	W	O
HETATM	13245	O	HOH	W	211	17,833	22,833	7,609	1,00	38,97	W	O
HETATM	13248	O	HOH	W	212	53,019	39,558	34,389	1,00	45,17	W	O
HETATM	13251	O	HOH	W	213	44,294	6,598	25,802	1,00	46,90	W	O
HETATM	13254	O	HOH	W	214	52,129	31,440	18,663	1,00	35,79	W	O
HETATM	13257	O	HOH	W	215	39,799	24,425	74,498	1,00	45,45	W	O
HETATM	13260	O	HOH	W	216	7,617	16,477	31,612	1,00	40,00	W	O
HETATM	13263	O	HOH	W	217	27,286	23,255	48,836	1,00	34,86	W	O
HETATM	13266	O	HOH	W	218	45,520	18,723	47,786	1,00	31,88	W	O
HETATM	13269	O	HOH	W	219	6,153	19,056	-0,800	1,00	43,25	W	O
HETATM	13272	O	HOH	W	220	38,075	18,606	-8,258	1,00	65,29	W	O
HETATM	13275	O	HOH	W	221	16,138	15,511	7,854	1,00	39,86	W	O
HETATM	13278	O	HOH	W	222	31,345	14,315	63,218	1,00	29,83	W	O
HETATM	13281	O	HOH	W	223	21,677	23,411	57,573	1,00	31,12	W	O
HETATM	13284	O	HOH	W	224	41,674	21,953	0,552	1,00	38,62	W	O
HETATM	13287	O	HOH	W	225	25,022	-8,952	-4,794	1,00	44,03	W	O
HETATM	13290	O	HOH	W	226	44,653	10,838	44,361	1,00	36,27	W	O
HETATM	13293	O	HOH	W	227	37,644	23,555	53,304	1,00	33,36	W	O
HETATM	13296	O	HOH	W	228	49,393	30,317	45,055	1,00	50,55	W	O
HETATM	13299	O	HOH	W	229	20,873	21,520	63,477	1,00	43,41	W	O
HETATM	13302	O	HOH	W	230	12,528	-5,563	-3,548	1,00	51,28	W	O
HETATM	13305	O	HOH	W	231	27,498	7,051	8,155	1,00	39,44	W	O
HETATM	13308	O	HOH	W	232	9,952	31,704	23,588	1,00	61,76	W	O
HETATM	13311	O	HOH	W	233	35,663	17,209	14,711	1,00	47,40	W	O
HETATM	13314	O	HOH	W	234	35,363	10,043	-18,715	1,00	53,17	W	O
HETATM	13317	O	HOH	W	235	54,420	29,372	18,428	1,00	50,27	W	O
HETATM	13320	O	HOH	W	236	47,495	5,978	24,430	1,00	46,00	W	O
HETATM	13323	O	HOH	W	237	17,223	2,553	1,613	1,00	32,10	W	O
HETATM	13326	O	HOH	W	238	43,086	16,769	46,994	1,00	39,24	W	O
HETATM	13329	O	HOH	W	239	1,646	0,597	-9,743	1,00	46,45	W	O
HETATM	13332	O	HOH	W	240	22,641	13,095	22,274	1,00	39,55	W	O
HETATM	13335	O	HOH	W	241	19,111	18,774	67,607	1,00	50,47	W	O
HETATM	13338	O	HOH	W	242	28,922	18,621	49,902	1,00	46,77	W	O
HETATM	13341	O	HOH	W	243	12,052	-4,049	-14,944	1,00	60,17	W	O
HETATM	13344	O	HOH	W	244	34,986	20,682	14,955	1,00	37,24	W	O
HETATM	13347	O	HOH	W	245	32,599	31,315	26,856	1,00	60,88	W	O
HETATM	13350	O	HOH	W	246	26,708	13,944	55,450	1,00	50,41	W	O
HETATM	13353	O	HOH	W	247	48,007	20,471	61,655	1,00	39,05	W	O
HETATM	13356	O	HOH	W	248	30,082	17,946	35,051	1,00	33,73	W	O
HETATM	13359	O	HOH	W	249	-0,199	-1,680	-10,444	1,00	55,46	W	O
HETATM	13362	O	HOH	W	250	73,782	13,682	48,272	1,00	50,41	W	O
HETATM	13365	O	HOH	W	251	36,508	21,154	17,443	1,00	33,16	W	O
HETATM	13368	O	HOH	W	252	14,507	-2,860	-7,946	1,00	48,06	W	O
HETATM	13371	O	HOH	W	253	5,330	18,078	14,743	1,00	54,35	W	O
HETATM	13374	O	HOH	W	254	24,667	24,836	52,199	1,00	41,21	W	O
HETATM	13377	O	HOH	W	255	30,813	9,200	56,747	1,00	50,99	W	O
HETATM	13380	O	HOH	W	256	9,116	20,719	-13,254	1,00	38,69	W	O
HETATM	13383	O	HOH	W	257	66,753	24,921	46,310	1,00	50,35	W	O
HETATM	13386	O	HOH	W	258	40,947	6,010	-3,390	1,00	54,55	W	O
HETATM	13389	O	HOH	W	259	45,481	22,402	21,009	1,00	54,16	W	O

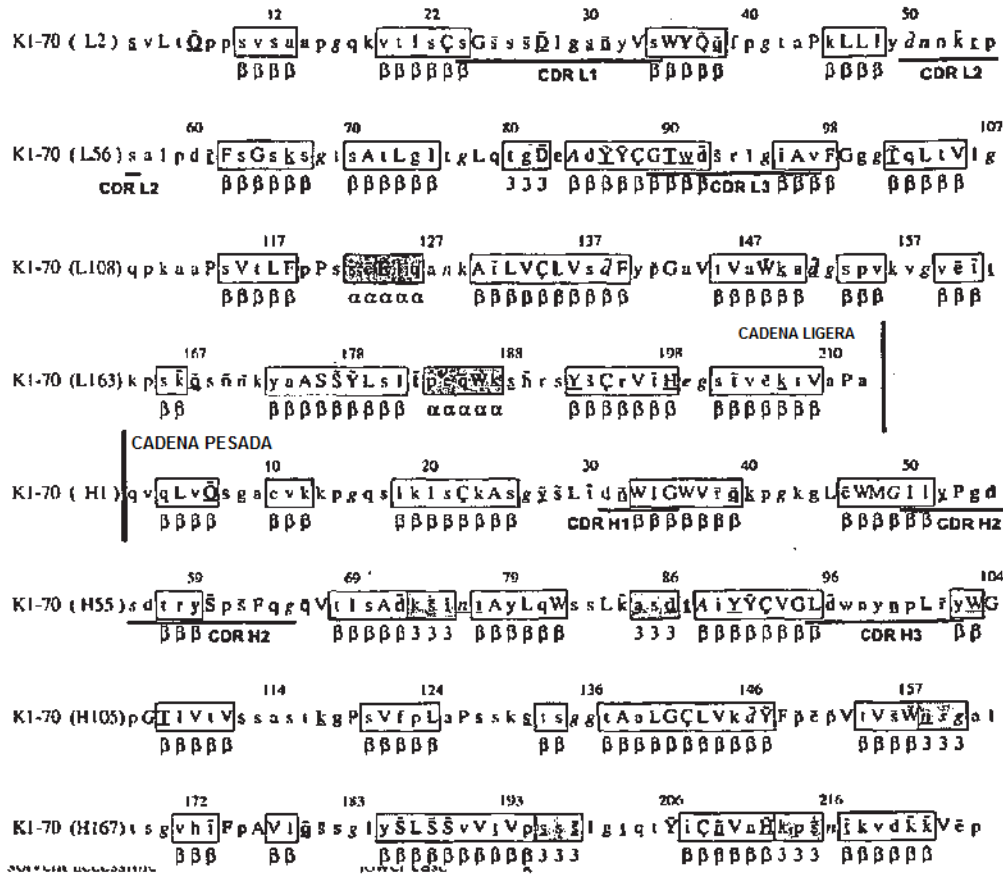
ES 2 540 538 T3




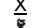





HETATM	13392	O	H0H	w	260	33,871	6,641	12,221	1,00	49,10	W	O
HETATM	13395	O	H0H	w	261	58,206	18,850	55,241	1,00	50,68	W	O
HETATM	13398	O	H0H	w	262	34,490	30,044	65,088	1,00	33,32	W	O
HETATM	13401	O	H0H	w	263	7,339	20,632	37,593	1,00	43,07	W	O
HETATM	13404	O	H0H	w	264	68,985	28,058	44,005	1,00	49,79	W	O
HETATM	13407	O	H0H	w	265	43,530	-0,357	25,493	1,00	51,46	W	O
HETATM	13410	O	H0H	w	266	25,233	8,905	12,400	1,00	49,12	W	O
HETATM	13413	O	H0H	w	267	15,451	19,773	15,069	1,00	54,64	W	O
HETATM	13416	O	H0H	w	268	27,804	13,841	14,599	1,00	25,88	W	O
HETATM	13419	O	H0H	w	269	26,020	11,800	14,851	1,00	50,63	W	O
HETATM	13422	O	H0H	w	270	20,288	21,837	43,617	1,00	33,97	W	O
HETATM	13425	O	H0H	w	271	35,227	2,506	2,531	1,00	37,05	W	O
HETATM	13428	O	H0H	w	272	40,312	4,872	-12,008	1,00	43,59	W	O
HETATM	13431	O	H0H	w	273	21,243	19,206	74,266	1,00	37,94	W	O
HETATM	13434	O	H0H	w	274	15,114	19,518	12,264	1,00	54,52	W	O
HETATM	13437	O	H0H	w	275	38,526	0,128	0,704	1,00	30,62	W	O
HETATM	13440	O	H0H	w	276	11,339	24,847	43,134	1,00	49,71	W	O
HETATM	13443	O	H0H	w	277	44,832	18,711	23,887	1,00	41,06	W	O
HETATM	13446	O	H0H	w	278	25,616	7,716	62,404	1,00	43,55	W	O
HETATM	13449	O	H0H	w	279	38,328	17,331	15,548	1,00	49,19	W	O
HETATM	13452	O	H0H	w	280	38,135	25,991	53,111	1,00	38,86	W	O
HETATM	13455	O	H0H	w	281	13,491	-5,811	-7,223	1,00	56,79	W	O
HETATM	13458	O	H0H	w	282	39,829	26,600	55,087	1,00	48,43	W	O
HETATM	13461	O	H0H	w	283	34,225	16,042	16,700	1,00	50,88	W	O
HETATM	13464	O	H0H	w	284	68,897	2,089	67,883	1,00	57,28	W	O
HETATM	13467	O	H0H	w	285	23,172	24,777	69,352	1,00	39,00	W	O
HETATM	13470	O	H0H	w	286	37,687	5,150	65,275	1,00	34,97	W	O
HETATM	13473	O	H0H	w	287	25,875	21,851	15,223	1,00	27,72	W	O
HETATM	13476	O	H0H	w	288	26,945	24,110	16,597	1,00	31,48	W	O
HETATM	13479	O	H0H	w	289	24,350	26,910	72,951	1,00	52,83	W	O
HETATM	13482	O	H0H	w	290	26,309	15,941	14,678	1,00	27,95	W	O
HETATM	13485	O	H0H	w	291	26,117	28,539	66,258	1,00	35,02	W	O
HETATM	13488	O	H0H	w	292	39,156	18,090	-0,671	1,00	50,30	W	O
HETATM	13491	O	H0H	w	293	28,407	27,834	12,913	1,00	37,67	W	O
HETATM	13494	O	H0H	w	294	29,583	13,171	16,181	1,00	32,50	W	O
HETATM	13497	O	H0H	w	295	39,584	-1,886	70,145	1,00	38,79	W	O
HETATM	13500	O	H0H	w	296	31,165	-0,828	75,815	1,00	33,82	W	O
HETATM	13503	O	H0H	w	297	39,551	10,039	-5,579	1,00	48,79	W	O
HETATM	13506	O	H0H	w	298	27,343	25,683	74,918	1,00	37,84	W	O
HETATM	13509	O	H0H	w	299	50,292	10,273	43,723	1,00	46,48	W	O
HETATM	13512	O	H0H	w	300	75,684	11,955	66,594	1,00	61,93	W	O
HETATM	13515	O	H0H	w	301	20,975	23,880	36,704	1,00	31,31	W	O
HETATM	13518	O	H0H	w	302	32,921	3,899	2,917	1,00	32,70	W	O
HETATM	13521	O	H0H	w	303	46,916	22,566	30,447	1,00	24,61	W	O
HETATM	13524	O	H0H	w	304	37,413	29,458	69,887	1,00	60,20	W	O
HETATM	13527	O	H0H	w	305	9,882	33,249	44,962	1,00	42,97	W	O
HETATM	13530	O	H0H	w	306	53,398	10,967	46,392	1,00	51,81	W	O
HETATM	13533	O	H0H	w	307	44,010	2,442	-4,760	1,00	47,20	W	O
HETATM	13536	O	H0H	w	308	37,802	5,098	-11,011	1,00	35,78	W	O
HETATM	13539	O	H0H	w	309	20,340	5,115	7,733	1,00	47,00	W	O
HETATM	13542	O	H0H	w	310	18,846	3,711	6,523	1,00	39,88	W	O
HETATM	13545	O	H0H	w	311	32,943	5,685	36,049	1,00	60,24	W	O
HETATM	13548	O	H0H	w	312	10,229	12,834	15,255	1,00	59,00	W	O
HETATM	13551	O	H0H	w	313	26,326	29,124	77,222	1,00	51,16	W	O
HETATM	13554	O	H0H	w	314	32,643	24,044	-12,221	1,00	49,49	W	O
HETATM	13557	O	H0H	w	315	17,710	34,398	22,977	1,00	60,44	W	O
HETATM	13560	O	H0H	w	316	52,804	25,552	17,953	1,00	52,57	W	O
HETATM	13563	O	H0H	w	317	56,529	10,546	43,008	1,00	57,50	W	O
HETATM	13566	O	H0H	w	318	21,995	10,253	64,317	1,00	36,37	W	O
HETATM	13569	O	H0H	w	319	22,711	12,565	76,552	1,00	40,48	W	O




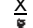


ES 2 540 538 T3

HETATM	13572	O	HOH	w	320	29,939	10,635	16,308	1,00	41,25	W	O
HETATM	13575	O	HOH	w	321	11,963	33,143	22,437	1,00	53,86	W	O
HETATM	13578	O	HOH	w	322	57,503	16,661	37,041	1,00	48,80	W	O
HETATM	13581	O	HOH	w	323	26,078	15,356	49,969	1,00	63,05	W	O
HETATM	13584	O	HOH	w	324	33,999	8,882	11,833	1,00	52,96	W	O
HETATM	13587	O	HOH	w	325	46,549	34,186	39,426	1,00	57,86	W	O
HETATM	13590	O	HOH	w	326	19,510	11,663	82,345	1,00	55,17	W	O
HETATM	13593	O	HOH	w	327	32,348	13,618	16,161	1,00	44,89	W	O
HETATM	13596	O	HOH	w	328	35,787	28,989	37,222	1,00	56,27	W	O
HETATM	13599	O	HOH	w	329	13,754	4,520	-15,135	1,00	37,01	W	O
HETATM	13602	O	HOH	w	330	56,620	12,938	36,580	1,00	54,48	W	O
HETATM	13605	O	HOH	w	331	7,424	19,035	2,916	1,00	48,53	W	O
HETATM	13608	O	HOH	w	332	10,325	15,240	8,222	1,00	55,26	W	O
HETATM	13611	O	HOH	w	333	28,815	-10,109	-6,736	1,00	24,77	W	O
HETATM	13614	O	HOH	w	334	28,130	-8,302	-9,093	1,00	37,30	W	O
HETATM	13617	O	HOH	w	335	20,573	-7,027	-3,479	1,00	41,58	W	O
HETATM	13620	O	HOH	w	336	9,311	17,249	4,241	1,00	54,20	W	O
HETATM	13623	O	HOH	w	337	31,134	-5,136	71,708	1,00	23,44	W	O
HETATM	13626	O	HOH	w	338	31,988	-3,920	73,912	1,00	43,99	W	O
HETATM	13629	O	HOH	w	339	34,354	3,477	80,976	1,00	35,34	W	O
HETATM	13632	O	HOH	w	340	40,007	3,137	84,507	1,00	61,88	W	O
HETATM	13635	O	HOH	w	341	25,706	25,953	15,235	1,00	42,51	W	O
HETATM	13638	O	HOH	w	342	29,239	29,638	16,700	1,00	45,16	W	O
HETATM	13641	O	HOH	w	343	24,445	22,926	13,349	1,00	44,13	W	O
HETATM	13644	O	HOH	w	344	23,910	12,531	16,405	1,00	43,84	W	O
HETATM	13647	O	HOH	w	345	20,214	15,656	9,349	1,00	49,51	W	O
HETATM	13650	O	HOH	w	346	12,177	13,389	4,668	1,00	35,16	W	O
HETATM	13653	O	HOH	w	347	36,141	19,193	27,635	1,00	34,78	W	O
HETATM	13656	O	HOH	w	348	44,000	15,949	58,466	1,00	44,92	W	O
HETATM	13659	O	HOH	w	349	37,611	11,312	56,206	1,00	50,63	W	O
HETATM	13662	O	HOH	w	350	40,807	4,407	67,716	1,00	51,05	W	O
HETATM	13665	O	HOH	w	351	27,686	32,142	65,492	1,00	32,43	W	O
HETATM	13668	O	HOH	w	352	28,494	34,547	64,050	1,00	43,73	W	O
HETATM	13671	O	HOH	w	353	29,365	36,266	65,838	1,00	29,00	W	O
HETATM	13674	O	HOH	w	354	41,221	9,733	-12,445	1,00	50,02	W	O
HETATM	13677	O	HOH	w	355	18,955	2,971	75,403	1,00	40,59	W	O
HETATM	13680	O	HOH	w	356	19,397	14,578	65,553	1,00	45,45	W	O
HETATM	13683	O	HOH	w	357	51,200	13,105	88,192	1,00	52,01	W	O
HETATM	13686	O	HOH	w	358	35,910	21,816	87,123	1,00	50,82	W	O
HETATM	13689	O	HOH	w	359	31,737	17,297	84,947	1,00	41,46	W	O
HETATM	13692	O	HOH	w	360	13,466	37,940	32,697	1,00	47,66	W	O
HETATM	13695	O	HOH	w	361	61,915	11,485	30,317	1,00	54,44	W	O
HETATM	13698	O	HOH	w	362	60,285	16,233	29,215	1,00	58,14	W	O
HETATM	13701	O	HOH	w	363	61,941	8,797	23,833	1,00	51,29	W	O
TER		O										
END		O										

Figura 9a Representación de la estructura de Fab K1-70 en formato JOY

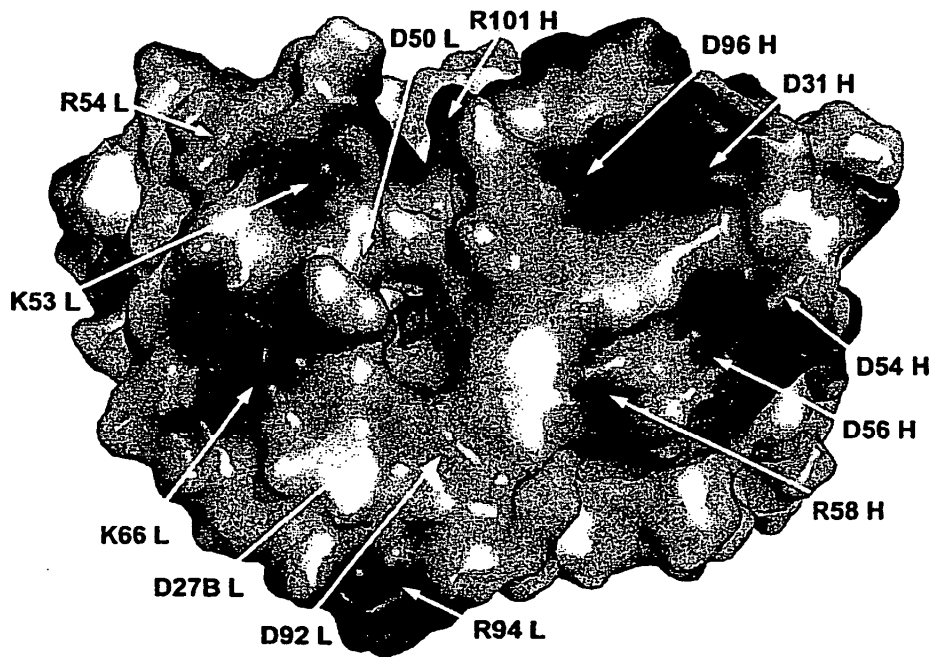


hélice α 
 cadena β 
 hélice 3_{10} 
 enlace de hidrógeno con la amida de cadena principal 
 enlace de hidrógeno con carbonilo de la cadena principal 
 enlace de hidrógeno con otra cadena lateral 
 enlace disulfuro 
 ϕ positivo 
 péptido en cis 

negrita 
subrayado 
 tilde 
 cedilla 
cursiva 
 breve 

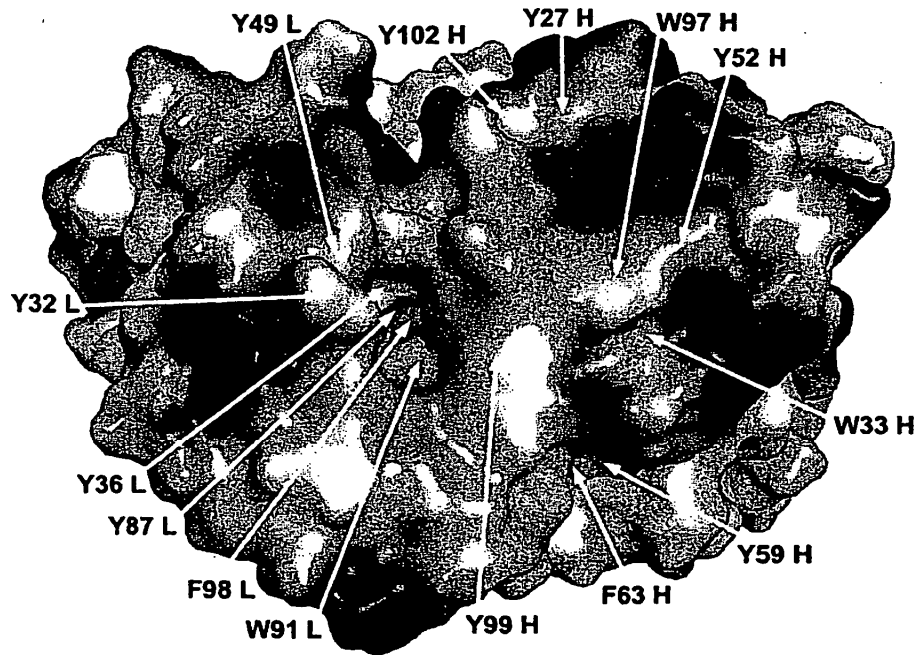
Los restos se numeran de acuerdo con el esquema de Kabat (Rabat E et al., 1991 mencionado anteriormente) como se muestra en la Figura 8.

Figura 9b Potencial electroestático del sitio de combinación de K1-70



Los restos se numeran de acuerdo con el esquema de Kabat (Rabat E *et al.*, 1991 mencionado anteriormente) como se muestra en las Figuras 8 y 9a

Figura 9c Aminoácidos aromáticos del sitio de combinación de K1 -70



Los restos se numeran de acuerdo con el esquema de Kabat (Rabat E *et al.*, 1991 mencionado anteriormente) como se muestra en las Figuras 8 y 9a